

【非公開版】

日本原燃株式会社	
資料番号	耐震機電 07 <u>R11</u>
提出年月日	<u>令和4年8月19日</u>

設工認に係る補足説明資料

耐震設計の基本方針に関する 機器・配管系の類型化に対する分類の 考え方について

1. 文章中の下線部は，R9 から R10 への変更箇所を示す。
2. また，文章中の二重下線部は，R10 から R11 への変更箇所を示す。
3. R10 の主な変更内容としては，6 月 10 日に提示した「機器・配管系の類型化に対する分類の考え方について R9」に対し，以下に示すヒアリングでの指摘事項等について反映したものである。
 - ・類型化対象が基本方針である事が明確となる構成に見直し。
 - ・後次回申請に向けた対応として，類型化分類ごとの計算式に対する説明方法，代表設備及び差分となる説明事項の対応方法に対するサンプルを追加。
4. R11 の主な変更内容としては，R10 で追加したサンプルについて，第 2 回申請以降の差分等を抽出するために申請設備全体を対象に見直したものを添付した。

目 次

1. 概要	1
2. 類型化の対応方針	2
3. <u>機器・配管系の類型化について</u>	3
3.1 対象となる設備の範囲	3
3.2 機器・配管系における評価手法及び計算式	3
3.3 評価手法ごとの計算式を示す基本方針	3
3.4 計算式を示す基本方針に対する類型化	4
4. 設工認申請における <u>類型化を用いた対応方法について</u>	6
4.1 耐震計算書の説明内容	6
4.2 補足説明資料の説明内容	7
4.3 代表設備等の選定	8
5. まとめ	10

添付－1 設工認添付書類における計算式を示す基本方針について

添付－2 基本方針に対する類型化の分類

添付－3－1 各分類の計算式に対する根拠書（定型式による評価）

添付－3－2 各分類の計算式に対する比較表（定型式による評価）

添付－3－3 各分類の計算式に対する根拠書（FEM等を用いた応力解析による評価）

添付－3－4 各分類の計算式に対する根拠書（多質点系はりモデルによる評価）

添付－4 各説明事項における説明内容について

添付－5－1 代表設備選定手順の具体例

添付－5－2 差分の説明を行う設備選定手順の具体例

添付－6 代表設備選定に対する該当設備の推移イメージ

添付－7 類型化分類ごとの代表設備選定結果

参考資料－1 機器に対する類型化分類の推移

参考資料－2 各分類の計算式に対する根拠書及び比較表（サンプル）

参考資料－3 各説明事項における説明内容について（サンプル）

参考資料－4 類型化分類ごとの代表設備選定結果（サンプル）

 : 次回以降の申請で示す範囲

 : 商業機密の観点から公開できない箇所

1. 概要

本資料は、再処理施設、MOX 燃料加工施設（以下「当社施設」という。）における機器・配管系の耐震性に関する類型化について補足説明するものである。

機器・配管系の耐震性に関する類型化は、第 12 回 原子力規制委員会資料（令和 2 年 6 月 24 日）に示されているとおり、設備数は膨大ではあるものの構造が類似する設備が多いことから、各設備の構造に応じた評価内容ごとの検討を行うこととした。

機器・配管系における評価内容としては、設備の構造及び「再処理施設の技術基準に関する規則」において要求される安全上重要な施設の安全機能（以下「要求される安全機能」という。）に応じて設定した評価手法ごとの計算式を添付書類の基本方針に示しているため、類型化は基本方針に示す評価手法ごとの計算式に対して行う。

本資料では、機器・配管系の耐震性に関する類型化の検討内容として、類型化の考え方や分類結果を示した上で、設工認申請における類型化を用いた対応方法について示す。

設工認申請における類型化を用いた対応としては、機器・配管系の耐震性に関する計算書（以下「耐震計算書」という。）で示す耐震計算に用いているモデル、入力条件、計算結果までの一連の評価内容や、補足説明資料等で示す各設備の論点となり得る説明事項*について、類型化した分類を踏まえた説明を行う。

これらの説明に当たっては、類型化分類ごとの代表設備を選定した上で行うが、代表設備に説明項目が該当しない場合は、差分として個別の設備にて行うことで網羅的な対応を行う。

なお、重大事故等対処設備の設備の類型化については、当該設備を申請する後次回で示す。

本資料は、第 2 回申請以降の再処理施設及び MOX 燃料加工施設に対しても適用し、廃棄物管理施設については、別途整理するものとする。

*: 今回設工認における主な説明事項については、補足説明資料 耐震建物01「耐震評価対象の網羅性、既設工認との手法の相違点の整理について」の中で各項目に対する考え方等について示している。

2. 類型化の対応方針

機器・配管系における類型化の対応方針として、耐震計算書の評価手法及び計算式ごとの類型化を行い、類型化を用いた対応は、評価手法及び補足説明資料にて示す論点となり得る説明事項（以下「説明事項」という。）に対して説明を行う。これらの対応方針について以下に示す。

(1) 類型化による分類

①基本方針の評価手法ごとの計算式による分類

耐震計算書の評価手法及び計算式は、設備の構造及び要求される安全機能に応じて設定しており、設備の構造や要求される安全機能が同様となる場合は、評価手法や計算式も同様となる。これらの評価手法や計算式については、各種基本方針に示すため、機器・配管系における類型化は、評価手法ごとの計算式を示す基本方針に対して行う。

(2) 類型化を用いた説明方法

①分類ごとの代表設備選定

類型化分類ごとの代表設備の選定に当たっては、補足説明資料にて示す説明事項が多く合致する設備を選定。

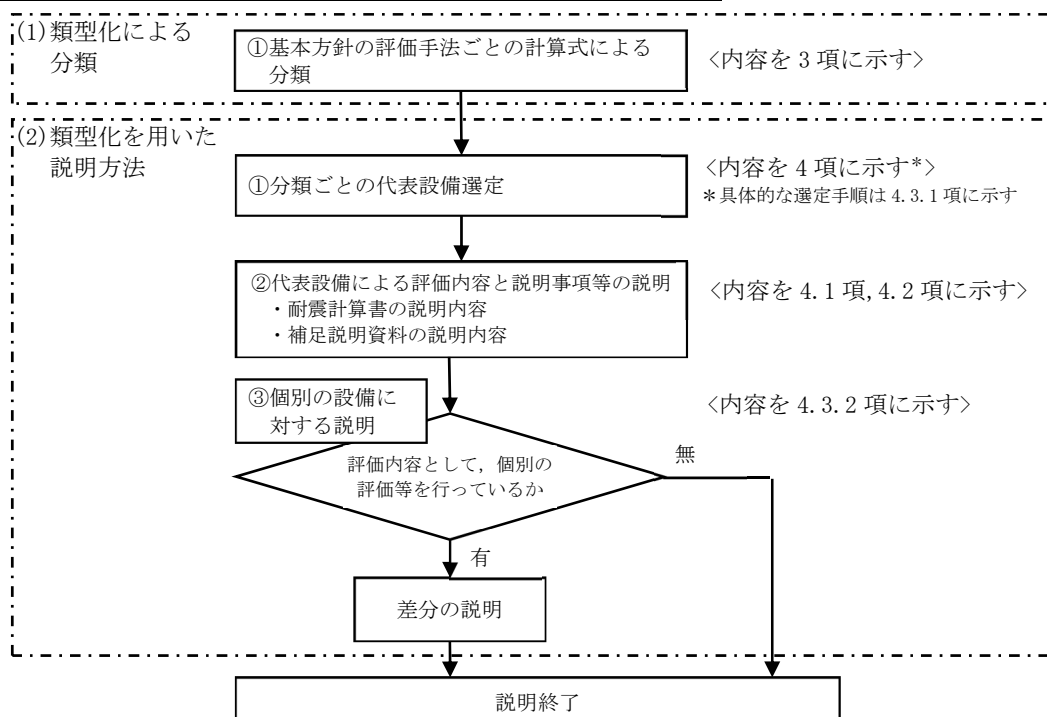
②代表設備による評価内容と説明事項等の説明

選定した代表設備に対する対応としては、耐震計算書に記載の一連の評価内容として耐震計算に用いているモデル、入力条件、計算結果までの説明及び補足説明資料で示す説明事項の説明を行う。

③個別の設備に対する説明

各設備の説明事項の中には、個別の評価内容等、各設備において説明を行う必要が生じる可能性があることから、その場合は、代表設備の差分として個別の設備にて説明を行う。

これら類型化の対応方針の流れについて、第 2-1 図に示す。



第 2-1 図 類型化の対応方針の流れ

3. 機器・配管系の類型化について

本項では、機器・配管系に対する類型化として、類型化の対象となる設備の範囲、類型化を行う評価手法及び計算式の考え方、類型化による分類結果について示す。

3.1 対象となる設備の範囲

類型化を行う設備は、Sクラス設備、上位クラス施設に波及的影響を及ぼすおそれのある下位クラス施設並びに重大事故等対処設備とする。

なお、Bクラス設備の扱いについては、今回設工認においては基本方針までを示し、基本方針に則った評価を行った上で、評価結果自体は事業者にて管理する*ことに対応する。

*: Bクラス設備に対する申請上の扱いについては、第12回 原子力規制委員会資料（令和2年6月24日）に基づいた対応を行う。

3.2 機器・配管系における評価手法及び計算式

機器・配管系の耐震評価のうち機器の評価手法としては、JEAG4601-1987(以下「JEAG4601」という。)に基づく1質点系又は2質点系モデルによる定型化された計算式による評価（以下「定型式による評価」という。）及び複雑な設備の構造に対して計算を行うFEMを用いた計算機プログラムによる評価がある。また、配管系は、配管及びダクトの標準支持間隔による評価及び多質点系はりモデルによる計算機プログラムを用いた評価がある。

これら各評価手法に用いる計算式について、各基本方針上に示す。

3.3 評価手法ごとの計算式を示す基本方針

設備の構造及び要求される安全機能に応じた評価手法ごとの計算式を示す基本方針について以下に示す。

【定型式による評価を行う設備】

- ・ 定型式による評価を行う設備は、JEAG4601に基づく1質点系又は2質点系モデルによる定型化された計算式を用いる容器及びポンプ等があり、これら設備に適用する計算式26種類を添付書類「IV-1-2-1 機器の耐震性に関する計算書作成の基本方針」*に示す。

【FEM等を用いた応力解析による評価を行う設備】

- ・ FEM等を用いた応力解析による評価を行う設備としては、複雑な設備の構造に対して計算を行う冷却塔、クレーン類、容器等があり、これら設備に適用する計算式44種類を添付書類「IV-1-2-1 機器の耐震性に関する計算書作成の基本方針」*に示す。

【配管標準支持間隔による評価を行う設備】

- ・ 標準支持間隔による評価を行う配管は、共通の計算式を用いており、添付書類「IV-1-1-11-1 配管の耐震支持方針」*に計算式を示す。

【ダクト標準支持間隔による評価を行う設備】

- ・ 標準支持間隔による評価を行うダクトは、共通の計算式を用いており、添付書類「IV-1-1-11-2 ダクトの耐震支持方針」*に計算式を示す。

【配管多質点系はりモデルによる評価を行う設備】

- ・ 多質点系はりモデルを用いた応力解析評価を行う配管は共通の計算式を用いており、添付書類「IV-1-2-2 配管系の耐震性に関する計算書作成の基本方針」*に計算式を示す。

以上より、基本方針に示す評価手法ごとの計算式の種類としては73種類となり、それぞれの計算式を示す設工認添付書類について添付-1に示す。

*:本資料における添付書類の名称は、例として再処理施設における「添付書類IV」の基本方針を示す。
なお、MOX燃料加工施設の場合は「添付書類III」、廃棄物管理施設の場合は「添付書類II」にそれぞれ置き換えるものとする。

3.4 計算式を示す基本方針に対する類型化

機器・配管系における類型化に当たっては、2.4項に示す73種類の評価手法ごとの計算式を示す基本方針に対して行う。

これら評価手法のうち、配管系の評価については、各評価手法における基本方針と計算式が1種類ずつであることに対し、機器の評価は定型式による評価26種類、FEM等を用いた応力解析による評価44種類と基本方針の数が多いことから、類似する機器の構造及び安全機能等の評価内容の特徴を踏まえた類型化を行う。

- ・ 定型式による評価の類型化として、26種類の計算式には、JEAGに示す計算式をそのまま適用するものや、材料力学及びJEAGの計算式を参考に構築した式等があるが、いずれも機器を質点系モデルに置き換えて計算を行うことは同様である。そのうち機器の構造に応じた支持方法が類似するものは、支持部及び構造を模擬するパラメータ式が類似するため、支持方法の違いに応じた対応を行う。その場合のパラメータ式としては傾斜や支持の違いによるものであり、これらパラメータ式を除き、類似する基本の計算式は8パターンとなるため、類型化分類としては8分類となる。

- ・ FEM等を用いた応力解析による評価の類型化は、44種類のいずれも評価過程である入力条件までの設定方法は同様であり、異なる部分としては構造の違いにより

適用式が単純なものと複雑なものに分かれるため、適用式の設定に応じた対応を行う。その場合の対応として、単純な計算式の設備は材料力学の構造に応じた基本式を適用しており、複雑な計算式の設備は地震による応力以外に圧力や支持部に生じる局部応力を考慮することから、適用する計算式は設備の構造に応じ複数の基本式を組み合わせたJEAG4601の計算式を基とし、設備の特徴等を踏まえ構築した計算式を適用している。そのため、類型化分類としては単純な計算式の設備、複雑な計算式の設備の2分類となる。

以上より、基本方針に対する類型化の分類数は、評価手法ごとの分類として配管系における評価3分類、機器の定型式における評価8分類、FEM等を用いた応力解析による評価の2分類の合計13分類となる（第2.5-1表参照）。

これら類型化を行った結果を添付-2に示す。

第2.5-1表 機器・配管系に対する類型化分類数

項目	機器		配管系			総数
	定型式	FEM	標準支持間隔		配管多質点系 はりモデル	
			配管	ダクト		
類型化分類	<u>8</u>	<u>2</u>	1	1	1	<u>13*</u>

*：重大事故等対処設備に対する類型化は後次回申請で示すが、耐震計算に用いる計算式は設備の構造及び要求される安全機能により決定することから、設計基準及び重大事故に係わらず、評価手法が同一な場合は同一の分類を用いるため、後次回申請において示す重大事故設備の評価手法が本類型化分類に該当する場合は該当する分類を示し、新たな分類となる場合は、新たに分類を追加する。

4. 設工認申請における類型化を用いた対応方法について

設工認申請における類型化を用いた具体的な対応方法として、類型化分類ごとの代表設備を選定した上で説明を行う。代表設備の選定に当たっては、説明内容に応じて行うため、耐震計算書や補足説明資料等に対する説明内容を示した上で代表設備の選定方法について示す。

4.1 耐震計算書の説明内容

耐震計算書に示す評価内容の対応としては、評価に適用する計算式を示す 73 種類の基本方針について、類型化 13 分類における代表設備により評価手法を詳細に示し、その他代表設備以外の基本方針は、類似する計算式のパラメータ式の違い等に対して比較表を用いた対応を行う。

なお、耐震計算書の作成に当たっては、計算書の構成パターン*ごとに記載方法の横並びを図るため、各パターンにおける評価条件、モデルの設定方法、評価結果等の具体的な項目に対する記載方法を補足説明資料 耐震機電19「機電設備の耐震計算書の作成について」に示す。

*：耐震計算書の構成としては、各設備の固有周期算出方法の違いにより内容が異なる。固有周期の算出方法としては解析、振動試験、理論式の3種類があり、各算出方法に応じた構成による対応を行う。

これら耐震計算書の説明内容としては、評価手法ごとに異なるため、次項では評価手法ごとの説明内容を示す。

4.1.1 評価手法ごとの説明内容

評価手法ごとにおける耐震評価の説明方法は以下のとおり。

【定型式による評価を行う設備】：8分類

定型式による評価については、26 種類の計算式を添付書類「IV-1-2-1 機器の耐震性に関する計算書作成の基本方針」の別紙として示し、耐震計算書には、設備ごとの対応として適用する別紙を呼び込んだ上で機器要目及び評価結果を示す。

これらの説明に当たっては、代表設備に対する基本方針に対して計算式の適用性及び出典元を示す根拠書を用いて説明を行い、代表設備以外の基本方針については類型化した各分類の基本方針に対する比較表を用いた対応を行う。

本対応に当たっては、類型化 8 分類のうち JEAG に示す計算式をそのまま適用するものが 5 分類、材料力学及び JEAG の計算式を参考に構築した式を適用するものが 3 分類となり、そのうち 3 分類については材料力学等の計算式の根拠書を添付-3-1 に示した上で 8 分類の計算式に対する比較表を示す。

なお、8 分類のうち複数の基本方針が該当するものは 6 分類となるため、比較表の対象としてはこれら 6 分類に対する計算式及び類似の計算式におけるパラメータ式の違いを添付-3-2 に示す。

【FEM 等を用いた応力解析による評価を行う設備】：2 分類

FEM 等を用いた評価については、44 種類の計算式を添付書類「IV-1-2-1 機器の耐震性に関する計算書作成の基本方針」の別紙として示し、耐震計算書には、設備ごとの対応として適用する別紙を呼び込んだ上で解析モデル、機器要目及び評価結果を示す。

これらの説明に当たっては、複雑な計算式、単純な計算式それぞれの各計算式の適用性及び出典元の根拠書を添付-3-3に示す。

【配管標準支持間隔による評価を行う設備】：1 分類

標準支持間隔法により設計している配管については、適用する計算式を添付書類「IV-1-1-11-1 配管の耐震支持方針」に示し、別紙*として計算諸元となる設計条件及び評価結果となる設計条件ごとの最大支持間隔を示す。

本説明に当たっては、適用する計算式等を含む評価手法について耐震機電 16「配管系の評価手法（定ピッチスパン法）について」にて示す。

【ダクト標準支持間隔による評価を行う設備】：1 分類

標準支持間隔法により設計しているダクトについては、適用する計算式を添付書類「IV-1-1-11-2 ダクトの耐震支持方針」に示し、別紙*として、計算諸元となる設計条件及び評価結果となる設計条件ごとの最大支持間隔を示す。

本説明に当たっては、適用する計算式等を含む評価手法について耐震機電 16「配管系の評価手法（定ピッチスパン法）について」にて示す。

【配管多質点系はりモデルによる評価を行う設備】：1 分類

多質点系はりモデルによる評価を行う配管については、適用する計算式を添付書類「IV-1-2-2 配管系の耐震性に関する計算書作成の基本方針」に示し、耐震計算書には、設備ごとの対応として適用する基本方針を呼び込んだ上で解析モデル、設計条件及び評価結果を示す。

本説明に当たっては、適用する計算式に対する適用性及び出典元の根拠書を添付-3-4に示す。

*：標準支持間隔については設計方針であるため、耐震計算書ではなく、基本方針の別紙として示す。

4.2 補足説明資料の説明内容

補足説明資料で示す説明事項については、説明事項ごとの特性に応じた説明を行う。これらの説明は、類型化 13 分類ごとの代表設備にて行うが、代表設備で説明事項が該当しない場合は、差分として対応を行う。

各説明事項における説明内容について添付-4に示す。

4.3 代表設備等の選定

代表設備の選定方法及び差分の説明となる説明事項の対応方法について示す。

4.3.1 代表設備の選定方法

代表設備の選定方法としては、各説明事項に合致する設備を抽出し、説明事項ごとの説明内容を整理をした上で、類型化分類ごとの説明事項数等に応じて行う。

本項では、これら代表設備選定の流れについて示す。

(1) 説明事項に合致する設備の抽出

説明事項に合致する設備の抽出に当たっては、全ての設備に合致するもの、個別の設備ごとに合致するもの等、以下の観点により行う。

《説明事項ごとの説明対象に合致する設備抽出の観点》

- ① 事業変更許可申請書の記載内容のうち当社特有の説明事項*の観点
 - ・ 一関東評価用地震力（鉛直）に対する影響評価の検討範囲としては全設備が対象となり、説明対象は影響有りの設備となる。
- *：後次回申請においては、重大事故等対処設備に対する説明事項についても選定の観点として追加。その場合、重大事故等対処設備が対象となる。
- ② 新規制基準における追加要求に係る説明事項の観点
 - ・ 水平2方向及び鉛直方向地震力の組合せに関する影響評価の検討範囲としては全設備が対象となり、説明対象は影響有りの設備となる。
- ③ 既設工認からの変更点に係る説明事項の観点
 - ・ 申請を行う全設備に対する既設工認からの変更点の有無について示し、そのうち説明対象としては、既設工認において説明を行っていない評価条件を変更した設備や新規設計設備、補強設備が対象となる。
- ④ その他先行発電プラントの審査実績を踏まえた説明事項等の観点
 - ・ 鉛直方向の動的地震力考慮による設備の浮き上がり等の影響、下位クラス施設の波及的影響の検討等、個別の設備ごとに合致するものが対象となる。

代表設備の選定に当たっては、3.2 項に示す説明事項ごとの説明内容に合致する設備から各分類において説明事項が最も合致する設備により、効率的な説明を行う。

(2) 代表設備の選定

(1) を踏まえた代表設備選定の手順を以下に示す。

《代表設備選定の手順》：具体例は添付－5－1を参照。

- ① 説明事項数が多い設備を選定。
- ② ①で選定した設備が複数となった場合は、各説明事項における説明内容の

違いの有無を確認し、各説明内容の重要度に応じた設備を選定。

③ ②で選定した設備が複数となった場合は、最も応力比が大きい設備を選定。

4.3.2 差分となる説明事項の対応方法

前項の代表設備において該当しない説明事項又は同じ説明事項であっても代表設備による説明内容以外で説明が必要な場合は、差分として個別の設備の中から説明を行う設備を選定（以下「差分説明を行う設備」という。）し、網羅的な対応を行う。

選定に当たっては、3.2 項の説明事項を網羅する上で差分となる説明事項による抜け漏れが無い様に、全設備に対する説明事項を確認した上で行う。

代表設備との差分としては、各説明事項によって設備ごとの説明内容に応じた差分が生じる。また、同一の説明事項内でも評価実施内容に応じて差分が生じる。これらの差分説明を行う設備については、以下の内容を整理した上で選定を行う。

a. 説明事項の差分

説明事項の差分として、評価条件変更の有無に対する内容等、該当する説明事項における設備ごとで説明内容に差分が生じる。

b. 同一の説明事項内での差分

同一の説明事項内での差分として、簡易評価又は詳細評価を行っているもの等、説明事項における検討内容が異なるものについて差分が生じる。

これらを踏まえた差分説明を行う設備選定の手順を以下に示す。

《差分説明を行う設備選定の手順》：具体例は添付-5-2を参照。

① 差分となる説明事項数が多い設備を選定（差分の内容に依らず網羅的となる設備を選定）。

② 残りの差分の項目については、差分が該当する設備にて説明する。

③ ②で選定した設備が複数となった場合は、最も応力比が大きい設備を選定。

以上を踏まえ、代表設備及び差分説明を行う設備の選定に対する該当設備の推移のイメージについて添付-6に示す。

4.3.3 各分類に対する代表設備

各分類に対する代表設備は、3.3.1 項に示す方法により選定する。第1回申請の申請対象は、安全冷却水 B 冷却塔であることから、当該設備を代表設備とする（安全冷却水 B 冷却塔、配管標準支持間隔(安全冷却水 B 冷却塔)）。

第1回申請に係る代表設備が該当する類型化分類の説明事項の一覧表を添付-7に示す。なお、その他の分類及び各分類の代表設備については、後次回以降の申請

回次ごとに示す。

5. まとめ

耐震評価に対する類型化の対応としては、各計算式を示す基本方針に対して、評価内容の特徴を踏まえた類型化を行い、合理的かつ効率的な対応を行う。

なお、評価内容及び説明事項の説明に当たっては、類型化分類ごとの代表設備、差分説明を行う設備を用いた網羅的な対応を行う。

設工認添付書類における計算式を示す基本方針について
(再処理施設)

- ・機器・配管系の設備の構造及び要求される安全機能に応じた評価手法ごとの計算式を示す基本方針は、以下に示す通り73種類となる。
- ・なお、Bクラス設備の扱いについては、今回設工認においては基本方針までを示し、基本方針に則った評価を行った上で、評価結果自体は事業者にて管理することで対応する。
- ・本資料では、再処理施設における添付書類上における計算式を示す基本方針の添付先について示す。

《添付書類IV 耐震性に関する説明書の構成》

資料番号	資料名	第1回申請範囲
IV-1	再処理施設の耐震性に関する基本方針	
IV-1-1	耐震設計の基本方針	○
IV-1-1-1	基準地震動S _s 及び弾性設計用地震動S _d の概要	○
IV-1-1-2	地盤の支持性能に係る基本方針	○
IV-1-1-3	重要度分類及び重大事故等対処施設の設備分類の基本方針	○
IV-1-1-4	波及的影響に係る基本方針	○
IV-1-1-5	地震応答解析の基本方針	○
IV-1-1-6	設計用床応答曲線の作成方針	○
IV-1-1-6別紙1	各施設の設計用床応答曲線	-
IV-1-1-7	水平2方向及び鉛直方向地震力の組合せに関する影響評価方針	○
IV-1-1-8	機能維持の基本方針	○
IV-1-1-9	構造計画、材料選択上の留意点	○
IV-1-1-10	機器の耐震支持方針	○
IV-1-1-11	配管系の耐震支持方針	○
IV-1-1-11-1	配管の耐震支持方針	○
IV-1-1-11-1別紙1	各施設の直管部標準支持間隔	○
IV-1-1-11-1別紙2	重大事故等対処施設の直管部標準支持間隔	-
IV-1-1-11-2	ダクトの耐震支持方針	-
IV-1-1-11-2別紙1	各施設の直管部標準支持間隔	-
IV-1-1-11-2別紙2	重大事故等対処施設の直管部標準支持間隔	-
IV-1-1-12	電気計測制御装置等の耐震支持方針	○
IV-1-1-13	地震時の臨界安全性検討方針	-

IV-1-2	耐震計算書作成の基本方針	
IV-1-2-1	機器の耐震性に関する計算書作成の基本方針	○
IV-1-2-1 別紙1	各設備の定式化された計算式を用いた解析法の計算式	-
IV-1-2-1 別紙2	各設備のFEMモデルを用いた解析法の計算式	○
IV-1-2-2	配管系の耐震性に関する計算書作成の基本方針	-

IV-2	再処理施設の耐震性に関する計算書	
IV-2-1	再処理設備本体等に係る耐震性に関する計算書	
IV-2-1-2	機器・配管系	○
IV-2-2	波及的影響を及ぼすおそれのある下位クラス施設の耐震評価結果	-
IV-2-3	水平2方向及び鉛直方向地震力の組合せに関する影響評価結果	
IV-2-3-2	機器・配管系	○
IV-2-4	耐震性に関する影響評価結果	
IV-2-4-1	一関東評価用地震動(鉛直)に関する影響評価結果	○
IV-2-4-2	隣接建屋に関する影響評価結果	○
IV-2-4-3	液状化に関する影響評価結果	○
IV-3	計算機プログラム(解析コード)の概要	○
IV-4	火災防護設備の耐震性に関する説明書	-
IV-5	溢水及び化学薬品防護設備の耐震性に関する説明書	-
IV-6	地震を要因とする重大事故等に對する施設の耐震性に関する説明書	-

：計算式を示している基本方針

IV-1-2-1 機器の耐震性に関する計算書作成の基本方針 別紙1 【定形式による評価を行う設備：26種類（事業者管理であるBクラス設備の基本方針19種類を除く）】			
別紙番号	基本方針名称	別紙番号	基本方針名称
1-1	中間支持たて置円筒形容器（4ラグ支持、耐震設計上の重要度分類Bクラス）の耐震性に関する計算書作成の基本方針	1-24	中間支持たて置円筒形容器（1ラグ支持）の耐震性に関する計算書作成の基本方針
1-2	中間支持たて置円筒形容器（2ラグ支持、耐震設計上の重要度分類Bクラス）の耐震性に関する計算書作成の基本方針	1-25	横置一胴円筒形容器の耐震性に関する計算書作成の基本方針
1-3	中間支持たて置角形容器（2ラグ支持、耐震設計上の重要度分類Bクラス）の耐震性に関する計算書作成の基本方針	1-26	横置一胴円筒形容器（3脚以上支持）の耐震性に関する計算書作成の基本方針
1-4	中間支持たて置円筒形容器（1ラグ支持、耐震設計上の重要度分類Bクラス）の耐震性に関する計算書作成の基本方針	1-27	デミスタ（2脚支持）の耐震性に関する計算書作成の基本方針
1-5	横置一胴円筒形容器（耐震設計上の重要度分類Bクラス）の耐震性に関する計算書作成の基本方針	1-28	デミスタ（1脚支持）の耐震性に関する計算書作成の基本方針
1-6	デミスタ（2脚支持、耐震設計上の重要度分類Bクラス）の耐震性に関する計算書作成の基本方針	1-29	平底たて置円筒形容器の耐震性に関する計算書作成の基本方針
1-7	デミスタ（1脚支持、耐震設計上の重要度分類Bクラス）の耐震性に関する計算書作成の基本方針	1-30	スカート支持たて置円筒形容器の耐震性に関する計算書作成の基本方針
1-8	平底たて置円筒形容器（耐震設計上の重要度分類Bクラス）の耐震性に関する計算書作成の基本方針	1-31	四脚たて置円筒形容器の耐震性に関する計算書作成の基本方針
1-9	スカート支持たて置円筒形容器（耐震設計上の重要度分類Bクラス）の耐震性に関する計算書作成の基本方針	1-32	横軸ポンプの耐震性に関する計算書作成の基本方針
1-10	四脚たて置円筒形容器（耐震設計上の重要度分類Bクラス）の耐震性に関する計算書作成の基本方針	1-33	ディーゼル機関・発電機の耐震性に関する計算書作成の基本方針
1-11	横軸ポンプ（耐震設計上の重要度分類Bクラス）の耐震性に関する計算書作成の基本方針	1-34	たて軸ポンプの耐震性に関する計算書作成の基本方針
1-12	たて軸ポンプ（耐震設計上の重要度分類Bクラス）の耐震性に関する計算書作成の基本方針	1-35	フィルタユニットの耐震性に関する計算書作成の基本方針
1-13	フィルタユニット（耐震設計上の重要度分類Bクラス）の耐震性に関する計算書作成の基本方針	1-36	フィルタユニット（遮蔽体一体形）の耐震性に関する計算書作成の基本方針
1-14	フィルタユニット（遮蔽体一体形、耐震設計上の重要度分類Bクラス）の耐震性に関する計算書作成の基本方針	1-37	矩形電気計装設備の耐震性に関する計算書作成の基本方針
1-15	溶媒フィルタ（耐震設計上の重要度分類Bクラス）の耐震性に関する計算書作成の基本方針	1-38	プレート式熱交換器の耐震性に関する計算書作成の基本方針
1-16	中間支持たて置円筒形容器（長手方向2ラグ支持、耐震設計上の重要度分類Bクラス）の耐震性に関する計算書作成の基本方針	1-39	駆体付構造設備の耐震性に関する計算書作成の基本方針
1-17	中間支持横置円筒形容器（1ラグ支持、耐震設計上の重要度分類Bクラス）の耐震性に関する計算書作成の基本方針	1-40	駆体付構造設備（架橋支持）の耐震性に関する計算書作成の基本方針
1-18	上部スカート支持たて置円筒形容器（耐震設計上の重要度分類Bクラス）の耐震性に関する計算書作成の基本方針	1-41	固定式クレーンの耐震性に関する計算書作成の基本方針
1-19	天井クレーン（耐震設計上の重要度分類Bクラス）の耐震性に関する計算書作成の基本方針	1-42	昇降装置の耐震性に関する計算書作成の基本方針
1-20	中間支持たて置円筒形容器（4ラグ支持）の耐震性に関する計算書作成の基本方針	1-43	中間支持たて置円筒形容器（長手方向2ラグ支持）の耐震性に関する計算書作成の基本方針
1-21	中間支持たて置円筒形容器（2ラグ支持）の耐震性に関する計算書作成の基本方針	1-44	燃料仮置きラックの耐震性に関する計算書作成の基本方針
1-22	中間支持たて置角形容器（2ラグ支持）の耐震性に関する計算書作成の基本方針	1-45	溶媒フィルタの耐震性に関する計算書作成の基本方針
1-23	中間支持たて置円筒形容器（フランジ固定）の耐震性に関する計算書作成の基本方針		

IV-1-2-1 機器の耐震性に関する計算書作成の基本方針 別紙2 【FEM等を用いた応力解析による評価を行う設備：44種類（事業者管理であるBクラス設備の基本方針5種類を除く）】			
別紙番号	基本方針名称	別紙番号	基本方針名称
2-1	冷却塔の耐震性に関する計算書作成の基本方針	2-26	充てん塔の耐震性に関する計算書作成の基本方針
2-2	環状形槽（平底たて置、耐震設計上の重要度分類Bクラス）の耐震性に関する計算書作成の基本方針	2-27	中間支持たて置円筒形容器（4ラグ支持、コイル付）の耐震性に関する計算書作成の基本方針
2-3	ミキサ・セトラ（耐震設計上の重要度分類Bクラス）の耐震性に関する計算書作成の基本方針	2-28	スカート支持たて置円筒形容器（コイル付）の耐震性に関する計算書作成の基本方針
2-4	パフファチューブ（2ラグ支持、耐震設計上の重要度分類Bクラス）の耐震性に関する計算書作成の基本方針	2-29	ハル洗浄槽の耐震性に関する計算書作成の基本方針
2-5	円筒形バルスカラム（耐震設計上の重要度分類Bクラス）の耐震性に関する計算書作成の基本方針	2-30	ウラン洗浄塔の耐震性に関する計算書作成の基本方針
2-6	パフファチューブ（小口径タイプ、耐震設計上の重要度分類Bクラス）の耐震性に関する計算書作成の基本方針	2-31	よう素追出し塔の耐震性に関する計算書作成の基本方針
2-7	環状形槽（平底たて置）の耐震性に関する計算書作成の基本方針	2-32	清澄機の耐震性に関する計算書作成の基本方針
2-8	ミキサ・セトラの耐震性に関する計算書作成の基本方針	2-33	ガラス溶融炉の耐震性に関する計算書作成の基本方針
2-9	パフファチューブ（2ラグ支持）の耐震性に関する計算書作成の基本方針	2-34	セル内クーラの耐震性に関する計算書作成の基本方針
2-10	グローブボックス等の耐震性に関する計算書作成の基本方針	2-35	ガラス固化体放射能測定装置の耐震性に関する計算書作成の基本方針
2-11	平板容器の耐震性に関する計算書作成の基本方針	2-36	溶解槽の耐震性に関する計算書作成の基本方針
2-12	環状形バルスカラムの耐震性に関する計算書作成の基本方針	2-37	固化セル移送台車の耐震性に関する計算書作成の基本方針
2-13	デミスタの耐震性に関する計算書作成の基本方針	2-38	高レベル廃液濃縮缶の耐震性に関する計算書作成の基本方針
2-14	通風管の耐震性に関する計算書作成の基本方針	2-39	バスケット搬送機の耐震性に関する計算書作成の基本方針
2-15	収納管の耐震性に関する計算書作成の基本方針	2-40	トレンチ移送台車の耐震性に関する計算書作成の基本方針
2-16	迷路板の耐震性に関する計算書作成の基本方針	2-41	貯蔵ホールの耐震性に関する計算書作成の基本方針
2-17	ラグ支持たて置容器の耐震性に関する計算書作成の基本方針	2-42	補助油水分離槽の耐震性に関する計算書作成の基本方針
2-18	クレーン・台車類の耐震性に関する計算書作成の基本方針	2-43	燃料貯蔵ラックの耐震性に関する計算書作成の基本方針
2-19	シュートの耐震性に関する計算書作成の基本方針	2-44	バスケット仮置き架台の耐震性に関する計算書作成の基本方針
2-20	遮蔽容器付クレーンの耐震性に関する計算書作成の基本方針	2-45	燃料移送水中台車の耐震性に関する計算書作成の基本方針
2-21	整流板の耐震性に関する計算書作成の基本方針	2-46	プール水冷却系熱交換器の耐震性に関する計算書作成の基本方針
2-22	流路形成板の耐震性に関する計算書作成の基本方針	2-47	第1チャンネルボックス切断装置の耐震性に関する計算書作成の基本方針
2-23	架橋支持貯蔵設備の耐震性に関する計算書作成の基本方針	2-48	第1バーナブルポイズン切断装置の耐震性に関する計算書作成の基本方針
2-24	円筒形バルスカラムの耐震性に関する計算書作成の基本方針	2-49	ブルトニウム濃縮缶の耐震性に関する計算書作成の基本方針
2-25	パフファチューブ（小口径タイプ）の耐震性に関する計算書作成の基本方針		

：Bクラス設備の評価に用いる基本方針

設工認添付書類における計算式を示す基本方針について
(MOX燃料加工施設)

- ・機器・配管系の設備の構造及び要求される安全機能に応じた評価手法ごとの計算式を示す基本方針は、以下に示す通り10種類となる。
- ・本資料では、MOX燃料加工施設における添付書類上における計算式を示す基本方針の添付先について示す。

《添付書類Ⅲ 耐震性に関する説明書の構成》

資料番号	資料名	第1回申請範囲
Ⅲ-1	加工施設の耐震性に関する基本方針	
Ⅲ-1-1	耐震設計の基本方針	○
Ⅲ-1-1-1	基準地震動Ss及び弾性設計用地震動Sdの概要	○
Ⅲ-1-1-2	地盤の支持性能に係る基本方針	○
Ⅲ-1-1-3	重要度分類及び重大事故等対処施設の設備分類の基本方針	○
Ⅲ-1-1-4	波及的影響に係る基本方針	○
Ⅲ-1-1-5	地震応答解析の基本方針	○
Ⅲ-1-1-6	設計用床応答曲線の作成方針	○
Ⅲ-1-1-6別紙1	加工施設の設計用床応答曲線	○
Ⅲ-1-1-7	水平2方向及び鉛直方向地震力の組合せに関する影響評価方針	○
Ⅲ-1-1-8	機能維持の基本方針	○
Ⅲ-1-1-9	構造計画、材料選択上の留意点	○
Ⅲ-1-1-10	機器の耐震支持方針	-
Ⅲ-1-1-11	配管系の耐震支持方針	-
Ⅲ-1-1-11-1	配管の耐震支持方針	-
Ⅲ-1-1-11-1別紙1	燃料加工建屋の直管部標準支持間隔	-
Ⅲ-1-1-11-1別紙2	重大事故等対処施設の直管部標準支持間隔	-
Ⅲ-1-1-11-2	ダクトの耐震支持方針	-
Ⅲ-1-1-11-2別紙1	燃料加工建屋の直管部標準支持間隔	-
Ⅲ-1-1-11-2別紙2	重大事故等対処施設の直管部標準支持間隔	-
Ⅲ-1-1-12	電気計測制御装置等の耐震支持方針	-

配管標準支持間隔による評価を行う設備

ダクト標準支持間隔による評価を行う設備

Ⅲ-1-2-1 機器の耐震性に関する計算書作成の基本方針 別紙1 【定形式による評価を行う設備：5種類】	
別紙番号	基本方針名称
1-1	フィルタユニットの耐震性に関する計算書作成の基本方針
1-2	平底たて置円筒形容器の耐震性に関する計算書作成の基本方針
1-3	スカート支持たて置円筒形容器の耐震性に関する計算書作成の基本方針
1-4	横軸ポンプの耐震性に関する計算書作成の基本方針
1-5	矩形電気計装設備の耐震性に関する計算書作成の基本方針

Ⅲ-1-2 耐震計算書作成の基本方針		
Ⅲ-1-2-1	機器の耐震性に関する計算書作成の基本方針	-
Ⅲ-1-2-1 別紙1	各設備の定式化された計算式を用いた解析法の計算式	-
Ⅲ-1-2-1 別紙2	各設備のFEMモデルを用いた解析法の計算式	-
Ⅲ-1-2-2	配管系の耐震性に関する計算書作成の基本方針	-

定形式による評価を行う設備

FEM等を用いた応力解析による評価を行う設備

配管多質点系はりモデルによる評価を行う設備
【MOX燃料加工施設は該当なし】

Ⅲ-1-2-1 機器の耐震性に関する計算書作成の基本方針 別紙2 【FEM等を用いた応力解析による評価を行う設備：3種類】	
別紙番号	基本方針名称
2-1	グローブボックス等の耐震性に関する計算書作成の基本方針
2-2	クレーン・台車等の耐震性に関する計算書作成の基本方針
2-3	架構支持貯蔵設備の耐震性に関する計算書作成の基本方針

Ⅲ-2	加工施設の耐震性に関する計算書	
Ⅲ-2-1	加工設備等に係る耐震性に関する計算書	
Ⅲ-2-1-2	機器・配管系	-
Ⅲ-2-2	波及的影響を及ぼすおそれのある下位クラス施設の耐震評価結果	○
Ⅲ-2-3	水平2方向及び鉛直方向地震力の組合せに関する影響評価結果	
Ⅲ-2-3-2	機器・配管系	-
Ⅲ-2-4	耐震性に関する影響評価結果	○
Ⅲ-2-4-1	一関車評価用地震動(鉛直)に関する影響評価結果	○
Ⅲ-2-4-2	隣接建屋に関する影響評価結果	○
Ⅲ-3	計算機プログラム(解析コード)の概要	○
Ⅲ-4	火災防護設備の耐震性に関する説明書	-
Ⅲ-5	溢水防護設備の耐震性に関する説明書	-
Ⅲ-6	地震を要因とする重大事故等に対する施設の耐震性に関する説明書	○

□ : 計算式を示している基本方針

基本方針に対する類型化の分類（配管系の評価）
（再処理施設）

添付-1（1/2）の左側部分抜粋

《添付書類Ⅳ 耐震性に関する説明書の構成》

資料番号	資料名	第1回申請範囲
IV-1	再処理施設の耐震性に関する基本方針	
IV-1-1	耐震設計の基本方針	○
IV-1-1-1	基準地震動Ss及び弾性設計用地震動Sdの概要	○
IV-1-1-2	地盤の支持性能に係る基本方針	○
IV-1-1-3	重要度分類及び重大事故等対処施設の設備分類の基本方針	○
IV-1-1-4	波及的影響に係る基本方針	○
IV-1-1-5	地震応答解析の基本方針	○
IV-1-1-6	設計用床応答曲線の作成方針	○
IV-1-1-6別紙1	各施設の設計用床応答曲線	-
IV-1-1-7	水平2方向及び鉛直方向地震力の組合せに関する影響評価方針	○
IV-1-1-8	機能維持の基本方針	○
IV-1-1-9	構造計画、材料選択上の留意点	○
IV-1-1-10	機器の耐震支持方針	○
IV-1-1-11	配管系の耐震支持方針	○
IV-1-1-11-1	配管の耐震支持方針	○
IV-1-1-11-1別紙1	各施設の直管部標準支持間隔	○
IV-1-1-11-1別紙2	重大事故等対処施設の直管部標準支持間隔	-
IV-1-1-11-2	ダクトの耐震支持方針	-
IV-1-1-11-2別紙1	各施設の直管部標準支持間隔	-
IV-1-1-11-2別紙2	重大事故等対処施設の直管部標準支持間隔	-
IV-1-1-12	電気計測制御装置等の耐震支持方針	○
IV-1-1-13	地震時の臨界安全性検討方針	-
IV-1-2	耐震計算書作成の基本方針	
IV-1-2-1	機器の耐震性に関する計算書作成の基本方針	○
IV-1-2-1 別紙1	各設備の定式化された計算式を用いた解析法の計算式	-
IV-1-2-1 別紙2	各設備のFEMモデルを用いた解析法の計算式	○
IV-1-2-2	配管系の耐震性に関する計算書作成の基本方針	-
IV-2	再処理施設の耐震性に関する計算書	
IV-2-1	再処理設備本体等に係る耐震性に関する計算書	
IV-2-1-2	機器・配管系	○
IV-2-2	波及的影響を及ぼすおそれのある下位クラス施設の耐震評価結果	-
IV-2-3	水平2方向及び鉛直方向地震力の組合せに関する影響評価結果	
IV-2-3-2	機器・配管系	○
IV-2-4	耐震性に関する影響評価結果	
IV-2-4-1	一関東評価用地震動（鉛直）に関する影響評価結果	○
IV-2-4-2	隣接建屋に関する影響評価結果	○
IV-2-4-3	液状化に関する影響評価結果	○
IV-3	計算機プログラム（解析コード）の概要	○
IV-4	火災防護設備の耐震性に関する説明書	-
IV-5	溢水及び化学薬品防護設備の耐震性に関する説明書	-
IV-6	地震を要因とする重大事故等に対する施設の耐震性に関する説明書	-

：計算式を示している基本方針

《配管系に関する基本方針ごとの類型化分類結果》

類型化分類数 (配管標準支持間隔)	分類名称
(1)	【配管標準支持間隔による評価を行う設備】

類型化分類数 (ダクト標準支持間隔)	分類名称
(1)	【ダクト標準支持間隔による評価を行う設備】

類型化分類数 (配管多質点系はりモデル)	分類名称
(1)	【配管多質点系はりモデルによる評価を行う設備】

基本方針に対する類型化の分類（定型式による評価）
（再処理施設）

添付-1（1／2）の右側部分抜粋

IV-1-2-1 機器の耐震性に関する計算書作成の基本方針 別紙1 【定型式による評価を行う設備：26種類（事業者管理であるBクラス設備の基本方針19種類を除く）】			
別紙番号	基本方針名称	別紙番号	基本方針名称
1-1	中間支持たて置円筒形容器（4ラグ支持、耐震設計上の重要度分類Bクラス）の耐震性に関する計算書作成の基本方針	1-24	中間支持たて置円筒形容器（1ラグ支持）の耐震性に関する計算書作成の基本方針
1-2	中間支持たて置円筒形容器（2ラグ支持、耐震設計上の重要度分類Bクラス）の耐震性に関する計算書作成の基本方針	1-25	横置一胴円筒形容器の耐震性に関する計算書作成の基本方針
1-3	中間支持たて置円筒形容器（2ラグ支持、耐震設計上の重要度分類Bクラス）の耐震性に関する計算書作成の基本方針	1-26	横置一胴円筒形容器（3脚以上支持）の耐震性に関する計算書作成の基本方針
1-4	中間支持たて置円筒形容器（1ラグ支持、耐震設計上の重要度分類Bクラス）の耐震性に関する計算書作成の基本方針	1-27	デミスタ（2脚支持）の耐震性に関する計算書作成の基本方針
1-5	横置一胴円筒形容器（耐震設計上の重要度分類Bクラス）の耐震性に関する計算書作成の基本方針	1-28	デミスタ（1脚支持）の耐震性に関する計算書作成の基本方針
1-6	デミスタ（2脚支持、耐震設計上の重要度分類Bクラス）の耐震性に関する計算書作成の基本方針	1-29	平底たて置円筒形容器の耐震性に関する計算書作成の基本方針
1-7	デミスタ（1脚支持、耐震設計上の重要度分類Bクラス）の耐震性に関する計算書作成の基本方針	1-30	スカート支持たて置円筒形容器の耐震性に関する計算書作成の基本方針
1-8	平底たて置円筒形容器（耐震設計上の重要度分類Bクラス）の耐震性に関する計算書作成の基本方針	1-31	四脚たて置円筒形容器の耐震性に関する計算書作成の基本方針
1-9	スカート支持たて置円筒形容器（耐震設計上の重要度分類Bクラス）の耐震性に関する計算書作成の基本方針	1-32	横軸ポンプの耐震性に関する計算書作成の基本方針
1-10	四脚たて置円筒形容器（耐震設計上の重要度分類Bクラス）の耐震性に関する計算書作成の基本方針	1-33	ディーゼル機関・発電機の耐震性に関する計算書作成の基本方針
1-11	横軸ポンプ（耐震設計上の重要度分類Bクラス）の耐震性に関する計算書作成の基本方針	1-34	たて軸ポンプの耐震性に関する計算書作成の基本方針
1-12	たて軸ポンプ（耐震設計上の重要度分類Bクラス）の耐震性に関する計算書作成の基本方針	1-35	フィルタユニットの耐震性に関する計算書作成の基本方針
1-13	フィルタユニット（耐震設計上の重要度分類Bクラス）の耐震性に関する計算書作成の基本方針	1-36	フィルタユニット（遮蔽体一体形）の耐震性に関する計算書作成の基本方針
1-14	フィルタユニット（遮蔽体一体形、耐震設計上の重要度分類Bクラス）の耐震性に関する計算書作成の基本方針	1-37	矩形電気計装設備の耐震性に関する計算書作成の基本方針
1-15	溶媒フィルタ（耐震設計上の重要度分類Bクラス）の耐震性に関する計算書作成の基本方針	1-38	プレート式熱交換器の耐震性に関する計算書作成の基本方針
1-16	中間支持たて置円筒形容器（長手方向2ラグ支持、耐震設計上の重要度分類Bクラス）の耐震性に関する計算書作成の基本方針	1-39	躯体付構造設備の耐震性に関する計算書作成の基本方針
1-17	中間支持横置円筒形容器（1ラグ支持、耐震設計上の重要度分類Bクラス）の耐震性に関する計算書作成の基本方針	1-40	躯体付構造設備（架構支持）の耐震性に関する計算書作成の基本方針
1-18	上部スカート支持たて置円筒形容器（耐震設計上の重要度分類Bクラス）の耐震性に関する計算書作成の基本方針	1-41	固定式クレーンの耐震性に関する計算書作成の基本方針
1-19	天井クレーン（耐震設計上の重要度分類Bクラス）の耐震性に関する計算書作成の基本方針	1-42	昇降装置の耐震性に関する計算書作成の基本方針
1-20	中間支持たて置円筒形容器（4ラグ支持）の耐震性に関する計算書作成の基本方針	1-43	中間支持たて置円筒形容器（長手方向2ラグ支持）の耐震性に関する計算書作成の基本方針
1-21	中間支持たて置円筒形容器（2ラグ支持）の耐震性に関する計算書作成の基本方針	1-44	燃料仮置きラックの耐震性に関する計算書作成の基本方針
1-22	中間支持たて置円筒形容器（2ラグ支持）の耐震性に関する計算書作成の基本方針	1-45	溶媒フィルタの耐震性に関する計算書作成の基本方針
1-23	中間支持たて置円筒形容器（フランジ固定）の耐震性に関する計算書作成の基本方針		

IV-1-2-1 機器の耐震性に関する計算書作成の基本方針 別紙2 【FEM等を用いた応力解析による評価を行う設備：44種類（事業者管理であるBクラス設備の基本方針5種類を除く）】			
別紙番号	基本方針名称	別紙番号	基本方針名称
2-1	冷却塔の耐震性に関する計算書作成の基本方針	2-26	充てん塔の耐震性に関する計算書作成の基本方針
2-2	環状形槽（平底たて置、耐震設計上の重要度分類Bクラス）の耐震性に関する計算書作成の基本方針	2-27	中間支持たて置円筒形容器（4ラグ支持、コイル付）の耐震性に関する計算書作成の基本方針
2-3	ミキサ・セトラ（耐震設計上の重要度分類Bクラス）の耐震性に関する計算書作成の基本方針	2-28	スカート支持たて置円筒形容器（コイル付）の耐震性に関する計算書作成の基本方針
2-4	パフファチューブ（2ラグ支持、耐震設計上の重要度分類Bクラス）の耐震性に関する計算書作成の基本方針	2-29	ハル洗浄槽の耐震性に関する計算書作成の基本方針
2-5	円筒形バルスカラム（耐震設計上の重要度分類Bクラス）の耐震性に関する計算書作成の基本方針	2-30	ウラン洗浄槽の耐震性に関する計算書作成の基本方針
2-6	パフファチューブ（小口径タイプ、耐震設計上の重要度分類Bクラス）の耐震性に関する計算書作成の基本方針	2-31	よう素抽出し塔の耐震性に関する計算書作成の基本方針
2-7	環状形槽（平底たて置）の耐震性に関する計算書作成の基本方針	2-32	清澄機の耐震性に関する計算書作成の基本方針
2-8	ミキサ・セトラの耐震性に関する計算書作成の基本方針	2-33	ガラス溶融炉の耐震性に関する計算書作成の基本方針
2-9	パフファチューブ（2ラグ支持）の耐震性に関する計算書作成の基本方針	2-34	セル内クレーンの耐震性に関する計算書作成の基本方針
2-10	グローブボックス等の耐震性に関する計算書作成の基本方針	2-35	ガラス固化体放射能測定装置の耐震性に関する計算書作成の基本方針
2-11	平板容器の耐震性に関する計算書作成の基本方針	2-36	溶解槽の耐震性に関する計算書作成の基本方針
2-12	環状形バルスカラムの耐震性に関する計算書作成の基本方針	2-37	固化セル移送台車の耐震性に関する計算書作成の基本方針
2-13	デミスタの耐震性に関する計算書作成の基本方針	2-38	高レベル廃液濃縮缶の耐震性に関する計算書作成の基本方針
2-14	通風管の耐震性に関する計算書作成の基本方針	2-39	バスケット搬送機の耐震性に関する計算書作成の基本方針
2-15	取納管の耐震性に関する計算書作成の基本方針	2-40	トレンチ移送台車の耐震性に関する計算書作成の基本方針
2-16	迷路板の耐震性に関する計算書作成の基本方針	2-41	貯蔵ホルルの耐震性に関する計算書作成の基本方針
2-17	ラグ支持たて置容器の耐震性に関する計算書作成の基本方針	2-42	補助油水分離槽の耐震性に関する計算書作成の基本方針
2-18	クレーン・台車類の耐震性に関する計算書作成の基本方針	2-43	燃料貯蔵ラックの耐震性に関する計算書作成の基本方針
2-19	シュートの耐震性に関する計算書作成の基本方針	2-44	バスケット仮置き架台の耐震性に関する計算書作成の基本方針
2-20	遮蔽容器付クレーンの耐震性に関する計算書作成の基本方針	2-45	燃料移送水中台車の耐震性に関する計算書作成の基本方針
2-21	整流板の耐震性に関する計算書作成の基本方針	2-46	プール水冷却系熱交換器の耐震性に関する計算書作成の基本方針
2-22	流路形成板の耐震性に関する計算書作成の基本方針	2-47	第1チャンネルボックス切断装置の耐震性に関する計算書作成の基本方針
2-23	架構支持貯蔵設備の耐震性に関する計算書作成の基本方針	2-48	第1バーナブルボイジン切断装置の耐震性に関する計算書作成の基本方針
2-24	円筒形バルスカラムの耐震性に関する計算書作成の基本方針	2-49	ブルトニウム濃縮缶の耐震性に関する計算書作成の基本方針
2-25	パフファチューブ（小口径タイプ）の耐震性に関する計算書作成の基本方針		

：Bクラス設備の評価に用いる基本方針（類型化対象外）

《定型式の類型化分類結果》

・本表の別紙番号については、本資料の左側に示す「添付-1（1／2）の右側部分抜粋」の表中のうち、別紙1（定型式による評価を行う設備）の別紙番号と同一であり、26種類の基本方針に対して支持方法の違いに応じた類型化を行った結果を下表に示す。
・なお、定型式にはJEAGに記載の式をそのまま適用するものと、設備の構造に応じて材料力学及びJEAGの式を参考に構築したものがあため、JEAGの式を適用しているものはJEAGの式を適用していることを示す。

類型化分類（定型式）	分類名称	別紙番号	分類の観点及び類似する計算式のパラメータの違い
(1)	たて置円筒形容器（4種類）	【代表】 1-30 (JEAG式を適用)	<ul style="list-style-type: none"> ・JEAG4601に記載の構造と同様であり、円筒胴又はスカートにより支持されたたて置円筒形の設備 ・計算式に影響が有るパラメータの違いは、①支持方法
		1-45	
		1-29	
		1-23	
(2)	軸直角方向支持容器（6種類）	【代表】 1-25 (JEAG式を適用)	<ul style="list-style-type: none"> ・JEAG4601に記載の構造と同様であり、円筒胴の長辺が固定面に対し並行で一つ以上の支持脚やラグで固定されている設備 ・計算式に影響が有るパラメータの違いは、①荷重の取扱い、②支持方法、③傾斜の考慮
		1-26	
		1-27	
		1-28	
		1-24	
		1-43	
(3)	ラグ支持たて置円筒形容器（2種類）	【代表】 1-20 (JEAG式を適用)	<ul style="list-style-type: none"> ・JEAG4601に記載の構造と同様であり、円筒胴の長辺が固定面に対し並行で、一つ以上の支持脚やラグで固定され、固定点を起点に上下に質点を振り分けた2質点モデルである設備 ・計算式に影響が有るパラメータの違いは、①支持方法
		1-21	
(4)	脚支持たて置円筒形容器（1種類）	【代表】 1-31 (JEAG式を適用)	<ul style="list-style-type: none"> ・JEAG4601に記載の構造と同一であり、脚により支持された、たて置円筒形容器の設備
(5)	ボルト支持剛体設備（6種類）	【代表】 1-32 (JEAG式を適用)	<ul style="list-style-type: none"> ・JEAG4601に記載の構造と同様であり、本体の剛性が高い又は本体に対して評価要求がなく、構造強度評価対象部位が固定ボルトのみの設備 ・計算式に影響が有るパラメータの違いは、①荷重の取扱い、②支持方法、③支持剛性、④支持形状
		1-33	
		1-37	
		1-34	
		1-35	
		1-36	
(6)	昇降設備（1種類）	【代表】 1-42	<ul style="list-style-type: none"> ・鉛直方向を長辺とした昇降シャフトを起点に上下に質点を振り分けた下端固定2質点モデルにて、固有周期及び応力のいずれも材料力学等を参考にした式を用いている設備
(7)	はり構造設備（4種類）	【代表】 1-44	<ul style="list-style-type: none"> ・本体が型鋼などで構成されたはり部材の支持構造物で構成され、固有周期及び応力のいずれも材料力学等を参考にした式を用いている設備 ・計算式に影響が有るパラメータの違いは、①支持方法、②荷重負担方法
		1-39	
		1-41	
		1-40	
(8)	平板構造設備（2種類）	【代表】 1-22	<ul style="list-style-type: none"> ・平板により構成される耐圧部と支持部材で構成され、固有周期及び応力のいずれも材料力学等を参考にした式を用いている設備 ・計算式に影響が有るパラメータの違いは、①支持方法
		1-38	

添付-1 (1 / 2) の右側部分抜粋

IV-1-2-1 機器の耐震性に関する計算書作成の基本方針 別紙1
【定型式による評価を行う設備：26種類 (事業者管理であるBクラス設備の基本方針19種類を除く)】

別紙番号	基本方針名称	別紙番号	基本方針名称
1-1	中間支持たて置円筒形容器 (4ラグ支持, 耐震設計上の重要度分類Bクラス) の耐震性に関する計算書作成の基本方針	1-24	中間支持たて置円筒形容器 (1ラグ支持) の耐震性に関する計算書作成の基本方針
1-2	中間支持たて置円筒形容器 (2ラグ支持, 耐震設計上の重要度分類Bクラス) の耐震性に関する計算書作成の基本方針	1-25	横置一胴円筒形容器の耐震性に関する計算書作成の基本方針
1-3	中間支持たて置角形容器 (2ラグ支持, 耐震設計上の重要度分類Bクラス) の耐震性に関する計算書作成の基本方針	1-26	横置一胴円筒形容器 (3脚以上支持) の耐震性に関する計算書作成の基本方針
1-4	中間支持たて置円筒形容器 (1ラグ支持, 耐震設計上の重要度分類Bクラス) の耐震性に関する計算書作成の基本方針	1-27	デミスタ (2脚支持) の耐震性に関する計算書作成の基本方針
1-5	横置一胴円筒形容器 (耐震設計上の重要度分類Bクラス) の耐震性に関する計算書作成の基本方針	1-28	デミスタ (1脚支持) の耐震性に関する計算書作成の基本方針
1-6	デミスタ (2脚支持, 耐震設計上の重要度分類Bクラス) の耐震性に関する計算書作成の基本方針	1-29	平底たて置円筒形容器の耐震性に関する計算書作成の基本方針
1-7	デミスタ (1脚支持, 耐震設計上の重要度分類Bクラス) の耐震性に関する計算書作成の基本方針	1-30	スカート支持たて置円筒形容器の耐震性に関する計算書作成の基本方針
1-8	平底たて置円筒形容器 (耐震設計上の重要度分類Bクラス) の耐震性に関する計算書作成の基本方針	1-31	四脚たて置円筒形容器の耐震性に関する計算書作成の基本方針
1-9	スカート支持たて置円筒形容器 (耐震設計上の重要度分類Bクラス) の耐震性に関する計算書作成の基本方針	1-32	横軸ポンプの耐震性に関する計算書作成の基本方針
1-10	四脚たて置円筒形容器 (耐震設計上の重要度分類Bクラス) の耐震性に関する計算書作成の基本方針	1-33	ディーゼル機関・発電機の耐震性に関する計算書作成の基本方針
1-11	横軸ポンプ (耐震設計上の重要度分類Bクラス) の耐震性に関する計算書作成の基本方針	1-34	たて軸ポンプの耐震性に関する計算書作成の基本方針
1-12	たて軸ポンプ (耐震設計上の重要度分類Bクラス) の耐震性に関する計算書作成の基本方針	1-35	フィルタユニットの耐震性に関する計算書作成の基本方針
1-13	フィルタユニット (耐震設計上の重要度分類Bクラス) の耐震性に関する計算書作成の基本方針	1-36	フィルタユニット (遮蔽体一体形) の耐震性に関する計算書作成の基本方針
1-14	フィルタユニット (遮蔽体一体形, 耐震設計上の重要度分類Bクラス) の耐震性に関する計算書作成の基本方針	1-37	矩形電気計装設備の耐震性に関する計算書作成の基本方針
1-15	溶媒フィルタ (耐震設計上の重要度分類Bクラス) の耐震性に関する計算書作成の基本方針	1-38	プレート式熱交換器の耐震性に関する計算書作成の基本方針
1-16	中間支持たて置円筒形容器 (長手方向2ラグ支持, 耐震設計上の重要度分類Bクラス) の耐震性に関する計算書作成の基本方針	1-39	躯体付構造設備の耐震性に関する計算書作成の基本方針
1-17	中間支持横置円筒形容器 (1ラグ支持, 耐震設計上の重要度分類Bクラス) の耐震性に関する計算書作成の基本方針	1-40	躯体付構造設備 (架橋支持) の耐震性に関する計算書作成の基本方針
1-18	上部スカート支持たて置円筒形容器 (耐震設計上の重要度分類Bクラス) の耐震性に関する計算書作成の基本方針	1-41	固定式クレーンの耐震性に関する計算書作成の基本方針
1-19	天井クレーン (耐震設計上の重要度分類Bクラス) の耐震性に関する計算書作成の基本方針	1-42	昇降装置の耐震性に関する計算書作成の基本方針
1-20	中間支持たて置円筒形容器 (4ラグ支持) の耐震性に関する計算書作成の基本方針	1-43	中間支持たて置円筒形容器 (長手方向2ラグ支持) の耐震性に関する計算書作成の基本方針
1-21	中間支持たて置円筒形容器 (2ラグ支持) の耐震性に関する計算書作成の基本方針	1-44	燃料仮置きラックの耐震性に関する計算書作成の基本方針
1-22	中間支持たて置角形容器 (2ラグ支持) の耐震性に関する計算書作成の基本方針	1-45	溶媒フィルタの耐震性に関する計算書作成の基本方針
1-23	中間支持たて置円筒形容器 (フランジ固定) の耐震性に関する計算書作成の基本方針		

IV-1-2-1 機器の耐震性に関する計算書作成の基本方針 別紙2
【FEM等を用いた応力解析による評価を行う設備：44種類 (事業者管理であるBクラス設備の基本方針5種類を除く)】

別紙番号	基本方針名称	別紙番号	基本方針名称
2-1	冷却塔の耐震性に関する計算書作成の基本方針	2-26	充てん塔の耐震性に関する計算書作成の基本方針
2-2	環状形槽 (平底たて置, 耐震設計上の重要度分類Bクラス) の耐震性に関する計算書作成の基本方針	2-27	中間支持たて置円筒形容器 (4ラグ支持, コイル付) の耐震性に関する計算書作成の基本方針
2-3	ミキサ・セトラ (耐震設計上の重要度分類Bクラス) の耐震性に関する計算書作成の基本方針	2-28	スカート支持たて置円筒形容器 (コイル付) の耐震性に関する計算書作成の基本方針
2-4	パフファチューブ (2ラグ支持, 耐震設計上の重要度分類Bクラス) の耐震性に関する計算書作成の基本方針	2-29	ハル洗浄槽の耐震性に関する計算書作成の基本方針
2-5	円筒形パルスカラム (耐震設計上の重要度分類Bクラス) の耐震性に関する計算書作成の基本方針	2-30	ウラン洗浄塔の耐震性に関する計算書作成の基本方針
2-6	パフファチューブ (小口径タイプ, 耐震設計上の重要度分類Bクラス) の耐震性に関する計算書作成の基本方針	2-31	よう素追出し塔の耐震性に関する計算書作成の基本方針
2-7	環状形槽 (平底たて置) の耐震性に関する計算書作成の基本方針	2-32	清澄機の耐震性に関する計算書作成の基本方針
2-8	ミキサ・セトラの耐震性に関する計算書作成の基本方針	2-33	ガラス溶融炉の耐震性に関する計算書作成の基本方針
2-9	パフファチューブ (2ラグ支持) の耐震性に関する計算書作成の基本方針	2-34	セル内クーラの耐震性に関する計算書作成の基本方針
2-10	グローブボックス等の耐震性に関する計算書作成の基本方針	2-35	ガラス固化体放射能測定装置の耐震性に関する計算書作成の基本方針
2-11	平板容器の耐震性に関する計算書作成の基本方針	2-36	溶解槽の耐震性に関する計算書作成の基本方針
2-12	環状形パルスカラムの耐震性に関する計算書作成の基本方針	2-37	固化セル移送台車の耐震性に関する計算書作成の基本方針
2-13	デミスタの耐震性に関する計算書作成の基本方針	2-38	高レベル廃液濃縮缶の耐震性に関する計算書作成の基本方針
2-14	通風管の耐震性に関する計算書作成の基本方針	2-39	バスケット搬送機の耐震性に関する計算書作成の基本方針
2-15	収納管の耐震性に関する計算書作成の基本方針	2-40	トレンチ移送台車の耐震性に関する計算書作成の基本方針
2-16	迷路板の耐震性に関する計算書作成の基本方針	2-41	貯蔵ホールの耐震性に関する計算書作成の基本方針
2-17	ラグ支持たて置容器の耐震性に関する計算書作成の基本方針	2-42	補助油水分離槽の耐震性に関する計算書作成の基本方針
2-18	クレーン・台車類の耐震性に関する計算書作成の基本方針	2-43	燃料貯蔵ラックの耐震性に関する計算書作成の基本方針
2-19	シュートの耐震性に関する計算書作成の基本方針	2-44	バスケット仮置き架台の耐震性に関する計算書作成の基本方針
2-20	遮蔽容器付クレーンの耐震性に関する計算書作成の基本方針	2-45	燃料移送水中台車の耐震性に関する計算書作成の基本方針
2-21	整流板の耐震性に関する計算書作成の基本方針	2-46	プール水冷却系熱交換器の耐震性に関する計算書作成の基本方針
2-22	流路形成板の耐震性に関する計算書作成の基本方針	2-47	第1チャンネルボックス切断装置の耐震性に関する計算書作成の基本方針
2-23	架橋支持貯蔵設備の耐震性に関する計算書作成の基本方針	2-48	第1バーナブルボイゾン切断装置の耐震性に関する計算書作成の基本方針
2-24	円筒形パルスカラムの耐震性に関する計算書作成の基本方針	2-49	ブルトニウム濃縮缶の耐震性に関する計算書作成の基本方針
2-25	パフファチューブ (小口径タイプ) の耐震性に関する計算書作成の基本方針		

: Bクラス設備の評価に用いる基本方針 (類型化対象外)

《FEMの類型化分類結果》

・本表の別紙番号については、本資料の左側に示す「添付-1 (1 / 2) の右側部分抜粋」の表中のうち、別紙2(FEM等を用いた応力解析による評価を行う設備)の別紙番号と同一であり、44種類の基本方針に対して適用式の違いに応じた類型化を行った結果を下表に示す。

類型化分類 (FEM)	分類名称	別紙番号	分類の観点
(1)	JEAG4601の計算式を適用する設備 (26種類)	2-7	<ul style="list-style-type: none"> 容器本体に作用する地震による応力に加え、圧力や支持部に生じる応力等複数の応力を組みあわせる。 応力の組み合わせは、JEAG4601の計算式を基に各設備の形状に応じて設定した評価式を適用する。
		2-8	
		2-9	
		2-10	
		2-11	
		2-12	
		2-13	
		2-17	
		2-19	
		2-22	
		2-24	
		2-25	
		2-26	
		2-27	
		2-28	
		2-29	
		2-30	
		2-31	
		2-32	
		2-33	
		2-34	
		2-36	
		2-38	
		2-42	
		2-46	
		2-49	
(2)	材料力学等の計算式を適用する設備 (18種類)	2-1	<ul style="list-style-type: none"> 評価部位に対して作用する荷重が単一方向に作用する。 単一方向の荷重に対する計算は、一般的な材料力学による計算式を適用する。
		2-14	
		2-15	
		2-16	
		2-18	
		2-20	
		2-21	
		2-23	
		2-35	
		2-37	
		2-39	
		2-40	
		2-41	
		2-43	
		2-44	
		2-45	
		2-47	
		2-48	

本資料では、以下に示す類型化分類ごとの計算式に対する根拠書を示す。

評価手法	説明内容	添付番号	名称
定型式による 評価	[根拠書] 計算式の適用性及 び出典元	添付-3-1-1	定型式による評価に用いる計算式の適用性及び出典 (定型式(6)昇降設備)
		添付-3-1-2	定型式による評価に用いる計算式の適用性及び出典 (定型式(7)はり構造設備)
		添付-3-1-3	定型式による評価に用いる計算式の適用性及び出典 (定型式(8)平板構造設備)

※本資料は後次回申請で示す範囲となっており、今回申請の対応では対象外であるが、
6月24日のヒアリング資料に対する指摘を踏まえ、本資料に対するサンプルを参考資料-2に示す。
なお、後次回申請においては、サンプル等の内容を第1回申請に即した内容として添付する。

本資料では、以下に示す類型化分類ごとの計算式に対する比較表を示す。
 なお、比較表の構成としては三段表とし、各分類の代表となる基本方針を左端に示した上で同一分類内の全ての基本方針との比較を行う。

評価手法	説明内容	添付番号	名称
定型式による評価	[比較表] 計算式及び類似の計算式におけるパラメータ式の違い	添付-3-2-1	定型式による評価に用いる類似する計算式の観点(定型式(1) たて置円筒形容器)
		添付-3-2-2	定型式による評価に用いる類似する計算式の観点(定型式(2) 軸直角方向支持容器)
		添付-3-2-3	定型式による評価に用いる類似する計算式の観点(定型式(3) ラグ支持たて置円筒形容器)
		添付-3-2-4	定型式による評価に用いる類似する計算式の観点(定型式(5) ボルト支持剛体設備)
		添付-3-2-5	定型式による評価に用いる類似する計算式の観点(定型式(7) はり構造設備)
		添付-3-2-6	定型式による評価に用いる類似する計算式の観点(定型式(8) 平板構造設備)

※本資料は後次回申請で示す範囲となっており、今回申請の対応では対象外であるが、6月24日のヒアリング資料に対する指摘を踏まえ、本資料に対するサンプルを参考資料-2に示す。なお、後次回申請においては、サンプル等の内容を第1回申請に即した内容として添付する。

本資料では、以下に示す類型化分類ごとの計算式に対する根拠書を示す。

評価手法	説明内容	添付番号	名称
FEM等を用いた応力解析による評価	[根拠書] 計算式の適用性及び出典元	添付-3-3-1	FEM等を用いた応力解析による評価に用いる計算式の適用性及び出典 (<u>JEAG4601</u> の計算式を適用する設備)
		添付-3-3-2	FEM等を用いた応力解析による評価に用いる計算式の適用性及び出典 (<u>材料力学等</u> の計算式を適用する設備)

※本資料は後次回申請で示す範囲となっており、今回申請の対応では対象外であるが、
6月24日のヒアリング資料に対する指摘を踏まえ、本資料に対するサンプルを参考資料-2に示す。
なお、後次回申請においては、サンプル等の内容を第1回申請に即した内容として添付する。

本資料では、以下に示す類型化分類ごとの計算式に対する根拠書を示す。

評価手法	説明内容	添付番号	名称
配管多質点系はりモデルによる評価	[根拠書] 計算式の適用性及び出典元	添付-3-4	配管多質点系はりモデルによる評価に用いる計算式の適用性及び出典

※本資料は後次回申請で示す範囲となっており、今回申請の対応では対象外であるが、
6月24日のヒアリング資料に対する指摘を踏まえ、本資料に対するサンプルを参考資料-2に示す。
なお、後次回申請においては、サンプル等の内容を第1回申請に即した内容として添付する。

・本資料は、各説明事項に該当する設備を抽出し説明を行う代表設備の選定を行うため、説明事項ごとの説明内容に応じた整理を行うものである。

<p>【凡例】 —：補足説明対象外 △：検討対象設備／方針に対する説明を行う設備 ○：検討対象設備／床応答スペクトルの重ね合わせ等により説明を行い、設備個別の検討結果までは示さず妥当性を示す設備 ●：検討対象設備／補足説明資料にて設備個別の検討結果を用いて妥当性を示す設備 ◎：説明代表設備 ☆：差分説明を行う設備</p>
--

カテゴリ	対象	説明内容	対象設備 (対象設備以外は「-」を入力する)	方針のみ説明を行う設備 (「△」を入力する設備)	設備個別の検討結果までは示さない設備 (「○」を入力する設備)	設備個別の検討結果を示す設備 (「●」を入力する設備)	代表選定の考え方	各補足説明資料にて代表又は 差分の説明を行う設備 (「◎」or「☆」を入力する設備)
方針により説明を行うもの(△)								
<p><u>各説明内容の詳細は後次回申請にて示す。</u></p>								
設備個別の検討結果は示さないもの(○)								
設備個別の検討結果を示すもの(●)								

※本資料は後次回申請で示す範囲となっており、今回申請の対応では対象外であるが、6月24日のヒアリング資料に対する指摘を踏まえ、本資料に対するサンプルを参考資料-3に示す。なお、後次回申請においては、サンプル等の内容を第1回申請に即した内容として添付する。

【設備ごとの説明内容に対する凡例】
 —：補足説明対象外
 △：検討対象設備／方針に対する説明を行う設備
 ○：検討対象設備／床応答スペクトルの重ね合わせ等により説明を行い、設備個別の検討結果までは示さず妥当性を示す設備
 ●：検討対象設備／補足説明資料にて設備個別の検討結果を用いて妥当性を示す設備
 ◎：説明代表設備
 ☆：差分説明を行う設備

カテゴリ	各項目説明資料にて添付する
設備個別の検討結果を示すもの(●)と設備個別の検討結果は示さないもの(○)又は方針のみ示すもの(△)が混在し差分となるもの	<p style="text-align: center;"><u>各説明内容の詳細は後次回申請にて示す。</u></p> <p>※本資料は後次回申請で示す範囲となっており、今回申請の対応では対象外であるが、 6月24日のヒアリング資料に対する指摘を踏まえ、本資料に対するサンプルを参考資料-3に示す。 なお、後次回申請においては、サンプル等の内容を第1回申請に即した内容として添付する。</p>
カテゴリ	
設備個別の検討結果を示すもの(●)と設備個別の検討結果は示さないもの(○)が混在し差分となるもの(他の説明代表により説明代表を決定)	

差分説明を行う設備選定手順の具体例

- ・本資料では代表設備との差分を示す。
 - [a. 説明事項の差分]
評価条件変更の有無に対する内容等，該当する説明事項における設備ごとで説明内容が異なるもの。
 - [b. 同一の説明事項内での差分]
検討内容と簡易評価又は詳細評価を行っているもの等，説明事項における検討内容が異なるもの。

【設備選定手順に対する凡例】

	: 代表設備
	: 説明事項の差分
	: 同一の説明事項内での差分
	: 差分説明を行う設備

- 【凡例】
- : 補足説明対象外
 - △ : 検討対象設備/方針に対する説明を行う設備
 - : 検討対象設備/床応答スペクトルの重ね合わせ等により説明を行い，設備個別の検討結果をまでは示さず妥当性を示す設備
 - : 検討対象設備/補足説明資料にて設備個別の検討結果を用いて妥当性を示す設備
 - ◎ : 代表設備

型式化 分類	別紙 番号	番号	施設区分	設置場所	設備名称	①事業変更許可申請書の記載内容のうち当社の説明事項			②新規基準における追加要求に係る説明事項			③評価内容及び既設工点からの変更点に係る説明事項			④その他先行発電プラントの審査実績を踏まえた説明事項等																【事業者確認事項】 説明事項の数																						
						設工認申請 分割申請状況 (✓は申請対象設備)			代表設備と その評価 条件を比較			代表設備と その評価 条件を比較			船道方向 的動的地盤力 考慮による 動的変位 の組合せ		動的変位 の組合せ による		S4評価結果 の記載方法		剛心設備の 固有周期の 算出		配管系の評 価手法		材料物性 のばらつき		動的機能維持 評価手法の 適用		新たに適用 した減衰定 数			機電設備の 耐震計算書 の作成		橋脚等の 影響に対する 影響確認		地震時重量 の組合せ		機器と配管 の相対変位 に対する評 判上の扱い		計算機プロ グラム(解 析コード) の概要		電気設備等 の機能維持 に適用する 水平方向 の許容変位 耐力		評価条件 変更の有無 に関する 説明事項		限内設備に 対するアン カー座落 の確認		機器の耐震 許容変位 から既設工 点からの計 算式の変更点		現状に おける 機械設備 の影響確認		ダクト評価 における補 正係数、安 全係数の設 定機軸	
						第1回申請	第2回申請	後次回以降 申請	耐震機電12	後次回	後次回	耐震機電10	耐震機電13	耐震機電18	耐震機電19	耐震機電21	耐震機電22	耐震機電23	耐震機電29	後次回	後次回	後次回	後次回	後次回	後次回	後次回	後次回	後次回	後次回	後次回		後次回	後次回	後次回	後次回	後次回	後次回	後次回	後次回	後次回	後次回	後次回	後次回	後次回	後次回								
定型式 (2) 軸直角方向 支持容器	別紙1-25	1	再処理施設	高レベル廃液ガラス 固化建屋	純水中間貯槽	◎	○(1)	●(1-2)	-	○(1)	○(2)	△	△	△	△	△	△	△	△	△	△	△	△	△	△	△	△	△	△	△	△	△	△	△	△	△	△	△	△	△	△	17											
		2	再処理施設	高レベル廃液ガラス 固化建屋	安全冷水A,B冷却器	◎	○(1)	●(1-2)	-	○(1)	○(2)	△	△	△	△	△	△	△	△	△	△	△	△	△	△	△	△	△	△	△	△	△	△	△	△	△	△	△	△	△	△	17											
		3	再処理施設	高レベル廃液ガラス 固化建屋	第1,第2加熱器	◎	○(1)	●(1-2)	-	○(1)	○(2)	△	△	△	△	△	△	△	△	△	△	△	△	△	△	△	△	△	△	△	△	△	△	△	△	△	△	△	△	△	△	17											
		4	再処理施設	前処理建屋	洗浄液受槽	◎	○(1)	-	-	○(1)	○(2)	△	△	△	△	△	△	△	△	△	△	△	△	△	△	△	△	△	△	△	△	△	△	△	△	△	△	△	△	△	△	14											
		5	再処理施設	非常用電源用燃料油 貯蔵タンクA,B	燃料油貯蔵771A,2A 燃料油貯蔵771B,2B	◎	○(1)	●(1-1)	-	○(1)	○(2)	△	△	△	△	△	△	△	△	△	△	△	△	△	△	△	△	△	△	△	△	△	△	△	△	△	△	△	△	△	△	15 (差分:4)											
	別紙1-27	6	再処理施設	高レベル廃液ガラス 固化建屋	F13F	◎	○(1)	-	○(1)	○(2)	△	△	△	△	△	△	△	△	△	△	△	△	△	△	△	△	△	△	△	△	△	△	△	△	△	△	△	△	△	△	14 (差分:2)												
		7	再処理施設	高レベル廃液ガラス 固化建屋	F13F	◎	○(1)	-	○(1)	○(2)	△	△	△	△	△	△	△	△	△	△	△	△	△	△	△	△	△	△	△	△	△	△	△	△	△	△	△	△	△	△	14												
		8	再処理施設	高レベル廃液ガラス 固化建屋	高レベル廃液混合槽A,B凝縮器	◎	○(1)	-	○(1)	○(2)	△	△	△	△	△	△	△	△	△	△	△	△	△	△	△	△	△	△	△	△	△	△	△	△	△	△	△	△	△	△	14												
		9	再処理施設	高レベル廃液ガラス 固化建屋	供給液槽A,B凝縮器	◎	○(1)	-	○(1)	○(2)	△	△	△	△	△	△	△	△	△	△	△	△	△	△	△	△	△	△	△	△	△	△	△	△	△	△	△	△	△	△	15												
		10	再処理施設	ウラン・プルトニウム 混合脱硝建屋	廃液第2冷却器	◎	○(1)	-	○(1)	○(2)	△	△	△	△	△	△	△	△	△	△	△	△	△	△	△	△	△	△	△	△	△	△	△	△	△	△	△	△	△	△	14 (差分:1)												
	別紙1-24	11	再処理施設	高レベル廃液ガラス 固化建屋	供給槽A,B気液分離器A,B	◎	○(1)	-	○(1)	○(2)	△	△	△	△	△	△	△	△	△	△	△	△	△	△	△	△	△	△	△	△	△	△	△	△	△	△	△	△	△	△	△	16											
		12	再処理施設	精製建屋	抽出塔流量計測F11	◎	○(1)	-	○(1)	○(2)	△	△	△	△	△	△	△	△	△	△	△	△	△	△	△	△	△	△	△	△	△	△	△	△	△	△	△	△	△	△	14												
		13	再処理施設	精製建屋	核分裂生成物洗浄塔流量計測F11	◎	○(1)	-	○(1)	○(2)	△	△	△	△	△	△	△	△	△	△	△	△	△	△	△	△	△	△	△	△	△	△	△	△	△	△	△	△	△	△	14 (差分:1)												
		14	再処理施設	精製建屋	F11/洗浄塔流量計測F11A	◎	○(1)	-	○(1)	○(2)	△	△	△	△	△	△	△	△	△	△	△	△	△	△	△	△	△	△	△	△	△	△	△	△	△	△	△	△	△	△	14 (差分:1)												
	別紙1-43	15	再処理施設	精製建屋	第1酸化塔F14F11	◎	○(1)	-	○(1)	○(2)	△	△	△	△	△	△	△	△	△	△	△	△	△	△	△	△	△	△	△	△	△	△	△	△	△	△	△	△	△	△	14 (差分:1)												
		16	再処理施設	精製建屋	第1脱液3塔F14F12	◎	○(1)	-	○(1)	○(2)	△	△	△	△	△	△	△	△	△	△	△	△	△	△	△	△	△	△	△	△	△	△	△	△	△	△	△	△	△	△	14												
		17	再処理施設	精製建屋	第2酸化塔供給F11	◎	○(1)	-	○(1)	○(2)	△	△	△	△	△	△	△	△	△	△	△	△	△	△	△	△	△	△	△	△	△	△	△	△	△	△	△	△	△	△	△	14											
		18	再処理施設	精製建屋	第2酸化塔F14F11	◎	○(1)	-	○(1)	○(2)	△	△	△	△	△	△	△	△	△	△	△	△	△	△	△	△	△	△	△	△	△	△	△	△	△	△	△	△	△	△	△	14											
		19	再処理施設	精製建屋	第2脱液3塔F14F12	◎	○(1)	-	○(1)	○(2)	△	△	△	△	△	△	△	△	△	△	△	△	△	△	△	△	△	△	△	△	△	△	△	△	△	△	△	△	△	△	△	14											

b. 同一の説明事項内での差分 (本資料における該当数: 5項目)

- ・ 同じ●でも，検討内容の違いにより差分となる。
- ①-1: 代表設備は許容限界に設計基準以上の値を適用しており，当該設備も許容限界に設計基準以上の値を適用しているが適用する内容が代表設備とは異なるため，差分となる。
- ②: 代表設備は詳細評価までを実施しており，当該設備は簡易評価にて完了しているため差分となる。
- ②-1: 代表設備は転倒落下が対象となり，当該設備は相互影響が対象となるため差分となる。

a. 説明事項の差分 (本資料における該当数: 1項目)

- ・ 代表設備は，既設工認から評価条件の変更を行っていないため，既設工認から条件の変更を行った●の設備が差分となる。

これら差分6項目に対する説明を行う設備の抽出方法について，次頁以降に示す。

差分説明を行う設備選定手順の具体例

- ① 差分となる説明事項数が多い設備を選定。
本資料では差分6項目のうち、説明事項数が多く該当する設備を選定。

【設備選定手順に対する凡例】

- 代表設備
- 説明事項の差分
- 同一の説明事項内での差分
- 差分説明を行う設備

類型化 分類	別紙 番号	番号	施設区分	設置場所	設備名称	設工認申請 分割申請状況 (✓は申請対象設備)			①事業変更許可申請書の記載内容のうち当社特有の説明事項	②新規制基 準における 追加要求に 係る説明事 項	③評価内容 及び既設工 事からの要 求に係る 説明事項	④他先行発電プラントの審査実績を踏まえた説明事項等																								【事業者確認事 項】 説明事項 の数	
						第1回申請	第2回申請	後次回以降 申請				耐震機電12	後次回	後次回	耐震機電10	耐震機電13	耐震機電01	耐震機電02	耐震機電03	耐震機電09	耐震機電17	耐震機電16	耐震機電11	耐震機電14	耐震機電18	耐震機電19	耐震機電21	耐震機電22	耐震機電23	耐震機電29	後次回	後次回	後次回	後次回	後次回		後次回
						①	②	③				④	⑤	⑥	⑦	⑧	⑨	⑩	⑪	⑫	⑬	⑭	⑮	⑯	⑰	⑱	⑲	⑳	㉑	㉒	㉓	㉔	㉕	㉖	㉗		㉘
定型式 (2) 軸直方向 支持容器	別紙1-25	1	再処理施設	高レベル廃液ガラス 固化建屋	純水中間貯槽	✓	◎	○(①)	●(③-2)	-	○(①)	○(②-2)	○(①-2)	△	●(②-2)	△	○(②)	-	●(③)	-	△	-	-	●(③)	-	△	-	○(①-1)	-	17							
		2	再処理施設	高レベル廃液ガラス 固化建屋	安全冷水A, B冷却器	✓		○(①)	●(①-2)	-	○(①)	○(②-2)	○(①-2)	△	●(②-2)	△	○(②)	-	●(③)	-	△	-	-	●(③)	-	△	-	○(①-1)	-	17							
		3	再処理施設	高レベル廃液ガラス 固化建屋	第1, 第2加熱器	✓		○(①)	●(①-2)	-	○(①)	○(②-2)	○(①-2)	△	●(②-2)	△	○(②)	-	●(③)	-	△	-	-	●(③)	-	△	-	○(①-1)	-	17							
	別紙1-26	4	再処理施設	前処理建屋	洗浄廃液受槽	✓		○(①)	-	-	○(①)	○(②-2)	○(①-2)	△	○(①)	-	○(②)	-	○(③)	-	△	-	-	○(③)	-	△	-	○(①-1)	-	14							
		5	再処理施設	非常用電源建屋燃料油 貯蔵タンクA, B	燃料油貯蔵71A, 2A 燃料油貯蔵71B, 2B	✓	☆	○(①)	●(①-1)	-	○(①)	●(①-1)	○(①-2)	△	○(①)	-	○(②)	-	●(③)	-	△	-	-	○(③)	-	△	-	-	-	○(①-1)	-	15 (差分:4) ①					
	別紙1-27	6	再処理施設	高レベル廃液ガラス 固化建屋	F-13A	✓		○(①)	-	-	○(①)	●(①-1)	○(①-2)	△	○(①)	△	○(②)	-	○(①)	-	○(③)	-	△	●(③)	-	△	-	-	-	○(①-1)	-	14 (差分:2)					
		7	再処理施設	高レベル廃液ガラス 固化建屋	F-13B	✓		○(①)	-	-	○(①)	○(②-2)	○(①-2)	△	○(①)	△	○(②)	-	○(①)	-	○(③)	-	△	○(①-1)	-	-	-	-	-	-	14						
		8	再処理施設	高レベル廃液ガラス 固化建屋	高レベル廃液混合槽A, B駆動器	✓		○(①)	-	-	○(①)	○(②-2)	○(①-2)	△	○(①)	△	○(②)	-	○(①)	-	○(③)	-	△	○(①-2)	-	-	-	-	-	-	14						
		9	再処理施設	高レベル廃液ガラス 固化建屋	供給槽A, B駆動器	✓		○(①)	●(①-2)	-	○(①)	○(②-2)	○(①-2)	△	○(①)	△	○(②)	-	○(①)	-	○(③)	-	△	○(①-2)	-	-	-	-	-	-	15						
		10	再処理施設	ウラン・プルトニウム 混合脱硝建屋	廃3*3第2冷却器	✓	☆	○(①)	-	-	○(①)	○(②-2)	○(①-2)	△	○(①)	△	○(②)	-	○(①)	-	○(③)	-	△	○(①-1)	-	△	-	-	-	○(①)	-	14 (差分:1)					
	別紙1-24	11	再処理施設	高レベル廃液ガラス 固化建屋	供給槽A, B気液分離器A, B	✓		○(①)	●(①-2)	-	○(①)	○(②-2)	○(①-2)	△	○(①)	△	○(②)	-	○(①)	-	○(③)	-	△	○(①-2)	-	△	-	-	○(①-1)	-	16						
		12	再処理施設	精製建屋	抽出塔流量計測F-7	✓		○(①)	-	-	○(①)	○(②-2)	○(①-2)	△	○(①)	△	○(②)	-	○(①)	-	○(③)	-	△	○(①-1)	-	△	-	-	-	○(①-1)	-	14					
		13	再処理施設	精製建屋	核分裂生成物洗浄塔流量計測F-7	✓	☆	○(①)	-	-	○(①)	○(②-2)	○(①-2)	△	●(②-1)	△	○(②)	-	○(①)	-	○(③)	-	△	○(①-1)	-	△	-	-	-	○(①-1)	-	14 (差分:1)					
		14	再処理施設	精製建屋	F77洗浄塔流量計測F-7A	✓		○(①)	-	-	○(①)	○(②-2)	○(①-2)	△	●(②-1)	△	○(②)	-	○(①)	-	○(③)	-	△	○(①-1)	-	△	-	-	-	○(①-1)	-	14 (差分:1)					
	別紙1-43	15	再処理施設	精製建屋	第1酸化塔F-48*7	✓		○(①)	-	-	○(①)	○(②-2)	○(①-2)	△	●(②-1)	△	○(②)	-	○(①)	-	○(③)	-	△	○(①-1)	-	△	-	-	-	○(①-1)	-	14 (差分:1)					
		16	再処理施設	精製建屋	第1脱3*3塔F-48*7	✓		○(①)	-	-	○(①)	○(②-2)	○(①-2)	△	○(①)	△	○(②)	-	○(①)	-	○(③)	-	△	○(①-1)	-	△	-	-	-	○(①-1)	-	14					
		17	再処理施設	精製建屋	第2酸化塔供給F-7	✓		○(①)	-	-	○(①)	○(②-2)	○(①-2)	△	○(①)	△	○(②)	-	○(①)	-	○(③)	-	△	○(①-1)	-	△	-	-	-	○(①-1)	-	14					
		18	再処理施設	精製建屋	第2酸化塔F-48*7	✓		○(①)	-	-	○(①)	○(②-2)	○(①-2)	△	○(①)	△	○(②)	-	○(①)	-	○(③)	-	△	○(①-1)	-	△	-	-	-	○(①-1)	-	14					
		19	再処理施設	精製建屋	第2脱3*3塔F-48*7	✓		○(①)	-	-	○(①)	○(②-2)	○(①-2)	△	○(①)	△	○(②)	-	○(①)	-	○(③)	-	△	○(①-1)	-	△	-	-	-	○(①-1)	-	14					

①差分となる説明事項が多い設備の選定(4項目)
a. の差分とb. の差分を合わせて差分の説明事項数が多い設備を選定

差分説明を行う設備選定手順の具体例

添付-5-2 (4/4)

・③ ②で選定した設備が複数となった場合は、最も応力比が大きい設備を選定。

【設備選定手順に対する凡例】

- 代表設備
- 説明事項の差分
- 同一の説明事項内での差分
- 差分説明を行う設備

類型化分類	別紙番号	番号	施設区分	設置場所	設備名称	設工認申請 分割申請状況 (✓は申請対象設備)	はる設備又は 指定設備	①事業変更許可申請書の記載内容のうち当社特有の説明事項										④他先行発電プラントの審査実績を踏まえた説明事項等																		【事業者確認事項】 説明事項の数
								①事業変更許可申請書の記載内容のうち当社特有の説明事項	②新規制基準における追加要求に係る説明事項	③評価内容 及び既設工 事からの要 求に係る 説明事項	④他先行発電プラントの審査実績を踏まえた説明事項等																									
											耐震機電12	後次回	後次回	耐震機電10	耐震機電13	耐震機電01	耐震機電02	耐震機電03	耐震機電09	耐震機電17	耐震機電16	耐震機電11	耐震機電14	耐震機電18	耐震機電19	耐震機電21	耐震機電22	耐震機電23	耐震機電29	後次回	後次回	後次回	後次回	後次回	後次回	
定型式 (2) 軸直角方向 支持容器	別紙1-25	1	再処理施設	高レベル廃液ガラス 固化建屋	純水中間貯槽	✓	◎	○	●	-	○	○	○	△	○	-	●	-	○	△	●	-	△	-	-	●	-	△	○	-	17					
		2	再処理施設	高レベル廃液ガラス 固化建屋	安全冷水A, B冷却器	✓		○	●	-	○	○	○	△	○	-	●	-	○	△	●	-	△	-	-	●	-	△	○	-	17					
		3	再処理施設	高レベル廃液ガラス 固化建屋	第1, 第2加熱器	✓		○	●	-	○	○	○	△	○	-	●	-	○	△	●	-	△	-	-	●	-	△	○	-	17					
	別紙1-26	4	再処理施設	前処理建屋	洗浄廃液受槽	✓		○	-	-	○	○	○	△	○	-	●	-	○	△	●	-	△	-	-	●	-	△	○	-	14					
		5	再処理施設	非常用電源機燃料油 貯蔵タンクA, B	燃料油貯蔵71A, 2A 燃料油貯蔵71B, 2B	✓	☆	○	●	-	○	○	○	△	○	-	●	-	○	△	●	-	△	-	-	-	-	-	○	-	15 (差分:4)					
	別紙1-27	6	再処理施設	高レベル廃液ガラス 固化建屋	貯蔵タンク	✓		○	-	-	○	○	○	△	○	-	●	-	○	△	●	-	△	-	-	-	-	-	○	-	14 (差分:2)					
		7	再処理施設	高レベル廃液ガラス 固化建屋	貯蔵タンク	✓		○	-	-	○	○	○	△	○	-	●	-	○	△	●	-	△	-	-	-	-	-	○	-	14					
		8	再処理施設	高レベル廃液ガラス 固化建屋	高レベル廃液混合槽A, B解凍器	✓		○	-	-	○	○	○	△	○	-	●	-	○	△	●	-	△	-	-	-	-	-	○	-	14					
		9	再処理施設	高レベル廃液ガラス 固化建屋	供給槽A, B解凍器	✓		○	●	-	○	○	○	△	○	-	●	-	○	△	●	-	△	-	-	-	-	-	○	-	15					
		10	再処理施設	ウラン・プルトニウム 混合脱硝建屋	廃3冷却器	✓	☆	○	-	-	○	○	○	△	○	-	●	-	○	△	●	-	△	-	-	-	-	-	○	-	14 (差分:1)					
	別紙1-24	11	再処理施設	高レベル廃液ガラス 固化建屋	供給槽A, B気液分離器A, B	✓		○	●	-	○	○	○	△	○	-	●	-	○	△	●	-	△	-	-	●	-	-	○	-	16					
		12	再処理施設	精製建屋	抽出塔流量計測ポット	✓		○	-	-	○	○	○	△	○	-	●	-	○	△	●	-	△	-	-	-	-	-	○	-	14					
		13	再処理施設	精製建屋	核分裂生成物洗浄塔流量計測ポット	✓	☆	○	-	-	○	○	○	△	○	-	●	-	○	△	●	-	△	-	-	-	-	-	○	-	14 (差分:1)					
		14	再処理施設	精製建屋	177洗浄塔流量計測ポットA	✓		○	-	-	○	○	○	△	○	-	●	-	○	△	●	-	△	-	-	-	-	-	○	-	14 (差分:1)					
	別紙1-43	15	再処理施設	精製建屋	第1酸化塔7-4Eポット	✓		○	-	-	○	○	○	△	○	-	●	-	○	△	●	-	△	-	-	-	-	-	○	-	14 (差分:1)					
		16	再処理施設	精製建屋	第1脱3スポンジ4Eポット	✓		○	-	-	○	○	○	△	○	-	●	-	○	△	●	-	△	-	-	-	-	-	○	-	14					
		17	再処理施設	精製建屋	第2酸化塔供給ポット	✓		○	-	-	○	○	○	△	○	-	●	-	○	△	●	-	△	-	-	-	-	-	○	-	14					
		18	再処理施設	精製建屋	第2酸化塔7-4Eポット	✓		○	-	-	○	○	○	△	○	-	●	-	○	△	●	-	△	-	-	-	-	-	○	-	14					
		19	再処理施設	精製建屋	第2脱3スポンジ4Eポット	✓		○	-	-	○	○	○	△	○	-	●	-	○	△	●	-	△	-	-	-	-	-	○	-	14					

①

②

③

応力比が以下の場合、核分裂生成物
洗浄塔流量計測ポットを説明対象とす
る。
核分裂生成物洗浄塔流量計測ポット
応力比: 0.50
洗浄塔流量計測ポットA
応力比: 0.45
第1酸化塔7-4Eポット
応力比: 0.32

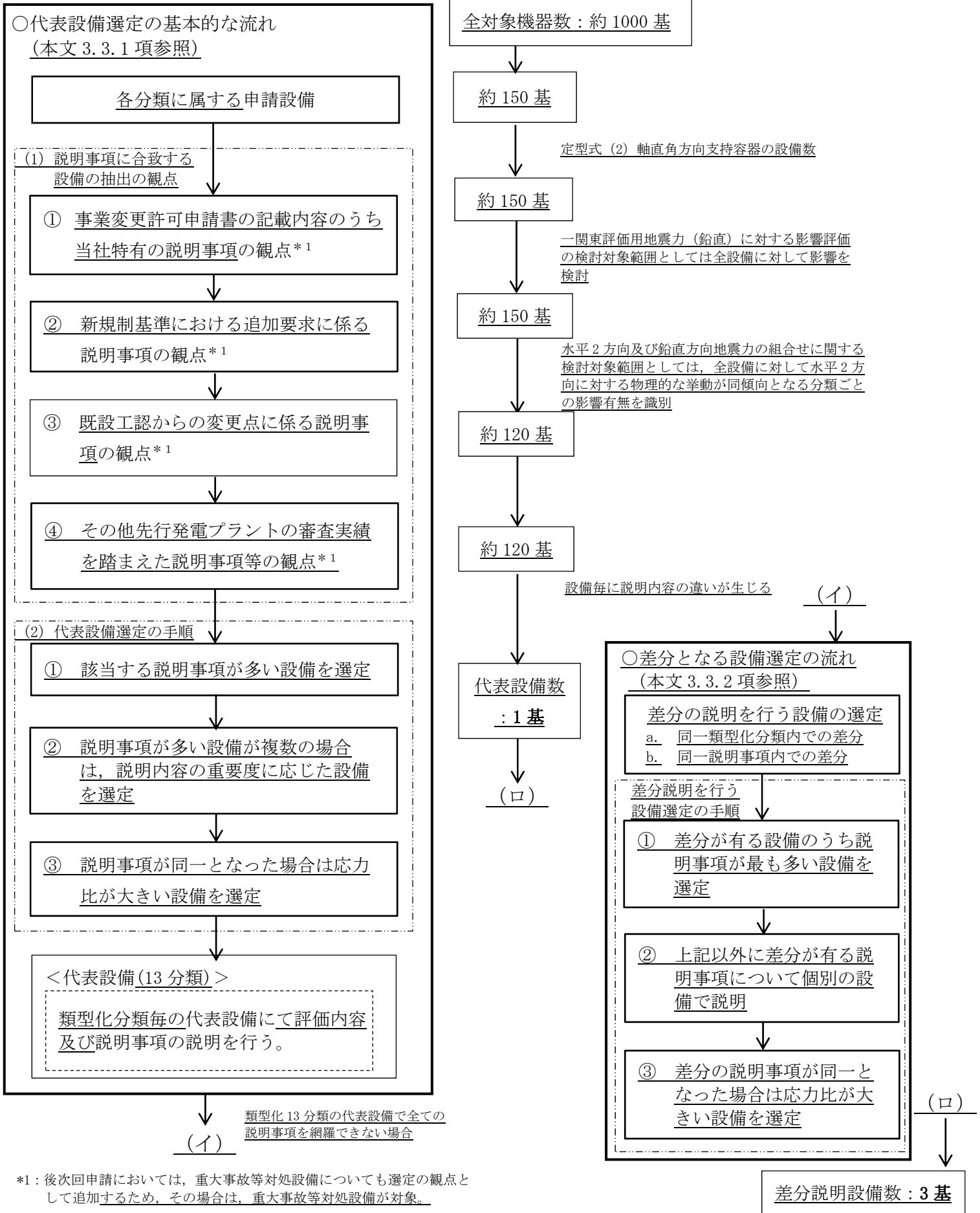
これらの説明から、当該設備3基にて差分の説明を行う。

③ 応力比による差分を説明する設備の選定
②で選定した設備が複数の場合は、当該設備から
応力比が最大となる設備を選定

④ これらは類型化分類ごとに抽出した差分となっているため、同様の対応を全ての類型化分類に行い、最終的な差分については最も効率的な分類の中で行う。

代表設備選定に対する該当設備の推移イメージ

(類型化分類 定型式 (2) 軸直角方向支持容器の例)



類型化分類の一つである定型式 (2) 軸直角方向支持容器に対しては、約 150 基の設備を代表設備 1 基と差分を説明する設備 3 基の合計 4 基で網羅的な説明を行う。

類型化分類ごとの代表設備選定結果
(FEM (2) 材料力学等の計算式を適用する設備)

- ・本表では類型化分類における代表設備の選定結果について示す。
- ・選定に当たっては、本紙3.3項に示す方法により行うものとし、各設備に対して補足説明資料「耐震建物01「耐震評価対象の網羅性、既設工認との手法の相違点の整理について」に示す説明事項の該当項目を示した上で、分類における説明事項が網羅的となる設備を代表として選定する（第1回申請の申請対象は、安全冷却水B冷却塔であることから、当該設備を代表設備とする）。
- ・本類型化分類に属するその他の設備については、後次回以降の申請時に追加する。
- ・説明事項のうち、機器・配管系で共通する方針については、機器側を代表設備として説明する。

【凡例】
—：補足説明対象外
△：検討対象設備／方針に対する説明を行う設備
○：検討対象設備／床応答スペクトルの重ね合わせ等により説明を行い、設備個別の検討結果をまでは示さず妥当性を示す設備
●：検討対象設備／補足説明資料にて設備個別の検討結果を用いて妥当性を示す設備
◎：説明代表設備
☆：差分説明を行う設備

類型化分類	別紙番号	番号	施設区分	設置場所	設備名称	設工認申請分割申請状況 (✓は申請対象設備)			代表設備又は差分設備指定を行う設備	①事業変更許可申請書の記載内容のうち当社特有の説明事項			②新規制基準における追加要求に係る説明事項		③評価内容及び既設工認からの変更点に係る説明事項		④その他先行発電プラントの審査実績を踏まえた説明事項等																	
						第1回申請	第2回申請	後次回以降申請		一関東評価用地震動(鉛直)に対する影響確認	重大事故評価における許容限界等の適用	可搬型SA設備等の耐震計算方針	水平2方向及び鉛直方向地震力の組合せに関する設備の抽出及び考案	既設工認からの変更点	鉛直方向の動的地震力考慮による設備の浮き上がり等の影響	動的地震力のSRSS法による組合せ	下位クラス施設の波及的影響の検討	Sd評価結果の記載方法	剛な設備の固有周期の算出	配管系の評価手法	材料物性のばらつき	動的機能維持評価手法の適用	新たに適用した減衰定数	機電設備の耐震計算書の作成	隣接建屋の影響に対する影響確認	地震荷重と事故時荷重との組合せ	機器と配管の相対変位に対する設計上の扱い	計算機プログラム(解析コード)の概要	電気盤等の機能維持評価に適用する水平方向の評価用地震力	等価繰返し回数性の確認	屋内設備に対するアンカー一定着部の評価	機器の耐震計算における既設工認からの計算式の変更点	液状化に伴う機電設備の影響確認	ダクト評価で用いる補正係数、安全係数の設定根拠
						耐震機電12	後次回	後次回		耐震機電10	耐震機電13	耐震機電01	耐震機電02	耐震機電03	耐震機電09	耐震機電17	耐震機電16	耐震機電11	耐震機電14	耐震機電18	耐震機電19	耐震機電21	耐震機電22	耐震機電23	耐震建物29	後次回	後次回	後次回	後次回	後次回	後次回	後次回		
FEM (2) 単純な計算式を適用する設備	別紙2-1	1	再処理施設	屋外	安全冷却水B冷却塔	✓			◎	○ (1)	-	-	○ (1)	● ¹⁾ (2)	=	△	○ (1)	△	○ (1-1)	=	○ (1)	○ (1)	△ (1)	△	○ (1-1)	=	△	● (2), (3)	-	-	-	-	-	-

注記 1) 補強設備に対する補強内容について説明を行う。

・当該分類に該当する設備のうち後次回以降で申請する設備については、後次回以降の申請回次ごとに本表に追加する。

※本資料のうち、後次回申請で示す範囲については、今回申請の対応では対象外であるが、6月24日のヒアリング資料に対する指摘を踏まえ、本資料に対するサンプルを参考資料-4に示す。
なお、後次回申請においては、サンプル等の内容を第1回申請に即した内容として添付する。

類型化分類ごとの代表設備選定結果
(配管標準支持間隔)

- ・本表では類型化分類における代表設備の選定結果について示す。
- ・選定に当たっては、本紙3.3項に示す方法により行うものとし、各設備に対して補足説明資料「耐震建物01「耐震評価対象の網羅性、既設工認との手法の相違点の整理について」に示す説明事項の該当項目を示した上で、分類における説明事項が網羅的となる設備を代表として選定する（第1回申請の申請対象は、安全冷却水B冷却塔であることから、当該設備の配管を代表設備とする）。
- ・本類型化分類に属するその他の設備については、後次回以降の申請時に追加する。
- ・説明事項のうち、機器・配管系で共通する方針については、機器側を代表設備として説明する。

【凡例】
＝：補足説明対象外
△：検討対象設備／方針に対する説明を行う設備
○：検討対象設備／床応答スペクトルの重ね合わせ等により説明を行い、設備個別の検討結果をまでは示さず妥当性を示す設備
●：検討対象設備／補足説明資料にて設備個別の検討結果を用いて妥当性を示す設備
◎：説明代表設備
☆：差分説明を行う設備

【留意点】
※1：説明事項の内容については第1回申請範囲までを示しており、後次回以降の範囲については随時説明を行う。

類型化分類	別紙番号	番号	施設区分	設置場所	設備名称	設工認申請分割申請状況 (✓は申請対象設備)			代表設備又は差分設備を付記	①事業変更許可申請書の記載内容のうち当社特有の説明事項										②新規制基準における追加要求に係る説明事項										③評価内容からの変更点に係る説明事項										④その他先行発電プラントの審査実績を踏まえた説明事項等									
						一関東評価用地震動(鉛直)に対する影響確認	重大事故評価における許容限界等の適用	可搬型SA設備等の耐震計算方針		水平2方向及び鉛直方向地震力の組合せに関する設備の抽出及び考案方	既設工認からの変更点	鉛直方向の動的地震力考慮による設備の浮き上がり等の影響	動的地震力のSRS法による組合せ	下位クラス施設の影響の検討	SA評価結果の記載方法	剛な設備の固有周期の算出	配管系の評価手法	材料物性のばらつき	動的機能維持評価手法の適用	新たに適用した減衰定数	機電設備の耐震計算書の作成	隣接建屋の影響に対する影響確認	地震荷重と事故時荷重との組合せ	機器と配管の相対変位に対する設計上の扱い	計算機プログラム(軸折コード)の概要	電気盤等の機能維持評価に適用する水平方向の評価用地震力	等価繰返し回数の妥当性確認	屋内設備に対するアンカ一定着部の評価	機器の耐震計算における既設工認からの計算式の変更点	液状化に伴う機電設備の影響確認	ダクト評価で用いる補正係数、安全係数の設定根拠																		
																																第1回申請	第2回申請	後次回以降申請	耐震機電12	後次回	後次回	耐震機電10	耐震機電13	耐震機電01	耐震機電02	耐震機電03	耐震機電09	耐震機電17	耐震機電16	耐震機電11	耐震機電14	耐震機電18	耐震機電19
配管標準支持間隔	二	1	再処理施設	屋外	配管標準支持間隔(安全冷却水B冷却塔)	✓			◎	○ (1)	-	-	○ (1)	● (2)	=	△	○ (1)	-	-	△ (1)	○ (1)	-	-	△ (1)	△	● (2)	=	△	○ (1)	-	-	-	-	-	-	-	-	-	-										

注記 1) 補強設備に対する補強内容について説明を行う。

・当該分類に該当する設備のうち後次回以降で申請する設備については、後次回以降の申請回次ごとに本表に追加する。

※本資料のうち、後次回申請で示す範囲については、今回申請の対応では対象外であるが、6月24日のヒアリング資料に対する指摘を踏まえ、本資料に対するサンプルを参考資料-4に示す。
なお、後次回申請においては、サンプル等の内容を第1回申請に即した内容として添付する。

○2021/7/20(R4)提出時の考え方<総分類数77分類>

- ・定型式の類型化分類としては、基本方針に示している既設工認の47種類に加えて、個別の耐震計算書にて示していた9種類を含めた56種類を基本方針で示し、新たにFEMによる評価を行っている設備の応力算出式と同様となる設備21種類を類型化する計画であった。
- ・その内FEMによる評価を行っている設備の対応としては、各分類の代表設備を選定した上で共通式を代表設備の耐震計算書に記載し、代表以外の設備は代表設備の耐震計算書を用いる計画とした。

○2022/6/10(R5)提出時までの考え方<総分類数94分類>

- ・第2回に向けた対応を含む類型化の整理において、既設工認の47種類の定型式にはFEMによる評価を行っているものが含まれていたため、共通式を用いている設備については代表設備の計算書で共通式を示すのではなく、全て基本方針で示すことと判断し、既設工認の47分類とFEMの21分類に対して以下の再整理を行った。
- ・既設工認の47種類の式について、定型式とFEMに識別した上で今回追加するFEMの共通式の整理を行った。
- ・7/20提出時のFEMの分類は設備の構造及び最終結果である応力算出式と同様となる計算式の観点で21分類としていたが、共通式という観点で再整理を行った場合、応力算出式だけではなく計算過程の式が全て合致する設備に再整理を行った。

○現在(R10以降)の整理結果<総分類数10分類>

- ・これまで整理を行ってきた類型化の考え方としては、機器・配管系の評価に適用する計算式について、設備の構造毎に類型化を行い、その結果となる分類のうち共通は基本方針として示し、個別の計算式は耐震計算書に示すこととしていた。
- ・これら計算式の説明にあたっては、上記の類型化分類に対して構造や評価内容の特徴を踏まえ、更なる類型化を行った上で対応する方針としていた。
- ・本方針について、これまで実施してきた設備の構造毎の計算式に対する類型化は、基本方針を作成する上での設計上の整理を行ったものであり、本来の類型化の考え方としては、審査の効率化が目的であることから、これまで説明時における更なる類型化と位置付けていたものを機器・配管系の類型化として再整理を行った。
- ・また、これまで個別の計算式として耐震計算書に示すこととしていた計算式について、共通式と同様に基本方針として示すことで再整理を行った。

2021/7/20提出時(耐震機電07(R4))の分類の整理

<定型式による評価を行う設備>

IV-1-2-1 機器の耐震性に関する計算書作成の基本方針		
別添-1	横置一胴円筒形容器(耐震設計上の重要度分類Bクラス)の耐震性に関する計算書作成の基本方針	
別添-2	中間支持たて置円筒形容器(4ラグ支持,耐震設計上の重要度分類Sクラス)の耐震性に関する計算書作成の基本方針	
別添-3	中間支持たて置円筒形容器(4ラグ支持,耐震設計上の重要度分類Bクラス)の耐震性に関する計算書作成の基本方針	
別添-4	スカート支持たて置円筒形容器(耐震設計上の重要度分類Sクラス)の耐震性に関する計算書作成の基本方針	
別添-5	スカート支持たて置円筒形容器(基本設計上の重要度分類Bクラス)の耐震性に関する計算書作成の基本方針	
別添-6	たて軸ボンプ(耐震設計上の重要度分類Bクラス)の耐震性に関する計算書作成の基本方針	
別添-7	横軸ボンプ(耐震設計上の重要度分類Sクラス)の耐震性に関する計算書作成の基本方針	
別添-8	横軸ボンプ(耐震設計上の重要度分類Bクラス)の耐震性に関する計算書作成の基本方針	
別添-9	天井クレーン(耐震設計上の重要度分類Bクラス)の耐震性に関する計算書作成の基本方針	
別添-10	横置一胴円筒形容器(耐震設計上の重要度分類Sクラス)の耐震性に関する計算書作成の基本方針	
別添-11	平底たて置円筒形容器(耐震設計上の重要度分類Sクラス)の耐震性に関する計算書作成の基本方針	
別添-12	中間支持たて置円筒形容器(2ラグ支持,耐震設計上の重要度分類Sクラス)の耐震性に関する計算書作成の基本方針	
別添-13	たて軸ボンプ(耐震設計上の重要度分類Sクラス)の耐震性に関する計算書作成の基本方針	
別添-14	デミスタ(2脚支持,耐震設計上の重要度分類Sクラス)の耐震性に関する計算書作成の基本方針	
別添-15	中間支持たて置円筒形容器(1ラグ支持,耐震設計上の重要度分類Sクラス)の耐震性に関する計算書作成の基本方針	
別添-16	中間支持たて置円筒形容器(2ラグ支持,耐震設計上の重要度分類Bクラス)の耐震性に関する計算書作成の基本方針	
別添-17	中間支持たて置円筒形容器(2ラグ支持,耐震設計上の重要度分類Bクラス)の耐震性に関する計算書作成の基本方針	
別添-18	中間支持たて置円筒形容器(1ラグ支持,耐震設計上の重要度分類Bクラス)の耐震性に関する計算書作成の基本方針	
別添-19	デミスタ(1脚支持,耐震設計上の重要度分類Bクラス)の耐震性に関する計算書作成の基本方針	
別添-20	フィルタユニット(耐震設計上の重要度分類Bクラス)の耐震性に関する計算書作成の基本方針	
別添-21	四脚たて置円筒形容器(耐震設計上の重要度分類Sクラス)の耐震性に関する計算書作成の基本方針	
別添-22	四脚たて置円筒形容器(耐震設計上の重要度分類Bクラス)の耐震性に関する計算書作成の基本方針	
別添-23	デミスタ(2脚支持,耐震設計上の重要度分類Sクラス)の耐震性に関する計算書作成の基本方針	
別添-24	プレート式熱交換器(耐震設計上の重要度分類Bクラス)の耐震性に関する計算書作成の基本方針	
別添-25	プレート式熱交換器(耐震設計上の重要度分類Sクラス)の耐震性に関する計算書作成の基本方針	
別添-26	フィルタユニット(耐震設計上の重要度分類Sクラス)の耐震性に関する計算書作成の基本方針	
別添-27	フィルタユニット(しゃへい体一体形,耐震設計上の重要度分類Sクラス)の耐震性に関する計算書作成の基本方針	
別添-28	平底たて置円筒形容器(耐震設計上の重要度分類Bクラス)の耐震性に関する計算書作成の基本方針	
別添-29	上部スカート支持たて置円筒形容器(耐震設計上の重要度分類Bクラス)の耐震性に関する計算書作成の基本方針	
別添-30	中間支持たて置円筒形容器(長手方向2ラグ支持,耐震設計上の重要度分類Sクラス)の耐震性に関する計算書作成の基本方針	
別添-31	中間支持たて置円筒形容器(長手方向2ラグ支持,耐震設計上の重要度分類Bクラス)の耐震性に関する計算書作成の基本方針	
別添-32	中間支持たて置円筒形容器(2ラグ支持,耐震設計上の重要度分類Bクラス)の耐震性に関する計算書作成の基本方針	
別添-33	塵状形槽(平底たて置,耐震設計上の重要度分類Sクラス)の耐震性に関する計算書作成の基本方針	
別添-34	塵状形槽(平底たて置,耐震設計上の重要度分類Bクラス)の耐震性に関する計算書作成の基本方針	
別添-35	円筒形バルスカラム(耐震設計上の重要度分類Sクラス)の耐震性に関する計算書作成の基本方針	
別添-36	円筒形バルスカラム(耐震設計上の重要度分類Bクラス)の耐震性に関する計算書作成の基本方針	
別添-37	充てん塔(耐震設計上の重要度分類Sクラス)の耐震性に関する計算書作成の基本方針	
別添-38	ミキサ・セトラ(耐震設計上の重要度分類Sクラス)の耐震性に関する計算書作成の基本方針	
別添-39	ミキサ・セトラ(耐震設計上の重要度分類Bクラス)の耐震性に関する計算書作成の基本方針	
別添-40	グロブボックス等(耐震設計上の重要度分類S及CBクラス)の耐震性に関する計算書作成の基本方針	
別添-41	パフファチュープ(2ラグ支持,耐震設計上の重要度分類Sクラス)の耐震性に関する計算書作成の基本方針	
別添-42	パフファチュープ(2ラグ支持,耐震設計上の重要度分類Bクラス)の耐震性に関する計算書作成の基本方針	
別添-43	パフファチュープ(小口径タイプ,耐震設計上の重要度分類Sクラス)の耐震性に関する計算書作成の基本方針	
別添-44	パフファチュープ(小口径タイプ,耐震設計上の重要度分類Bクラス)の耐震性に関する計算書作成の基本方針	
別添-45	溶融フィルタ(耐震設計上の重要度分類Bクラス)の耐震性に関する計算書作成の基本方針	
別添-46	フィルタユニット(しゃへい体一体形,耐震設計上の重要度分類Bクラス)の耐震性に関する計算書作成の基本方針	
別添-47	中間支持横置円筒形容器(1ラグ支持,耐震設計上の重要度分類Bクラス)の耐震性に関する計算書作成の基本方針	
既設工認の定型式	別添-48	横置一胴円筒形容器(3脚以上支持,耐震設計上の重要度分類Sクラス)の耐震性に関する計算書作成の基本方針
	別添-49	中間支持たて置円筒形容器(フランジ固定,耐震設計上の重要度分類Sクラス)の耐震性に関する計算書作成の基本方針
	別添-50	ディーゼル機関・発電機(耐震設計上の重要度分類Sクラス)の耐震性に関する計算書作成の基本方針
	別添-51	矩形電気計装設備(耐震設計上の重要度分類Sクラス)の耐震性に関する計算書作成の基本方針
	別添-52	軀体付構造設備(耐震設計上の重要度分類Sクラス)の耐震性に関する計算書作成の基本方針
	別添-53	軀体付構造設備(梁構支持,耐震設計上の重要度分類Sクラス)の耐震性に関する計算書作成の基本方針
	別添-54	燃料置きラック(耐震設計上の重要度分類Sクラス)の耐震性に関する計算書作成の基本方針
	別添-55	昇降装置(耐震設計上の重要度分類Sクラス)の耐震性に関する計算書作成の基本方針
	別添-56	固定式クレーン(耐震設計上の重要度分類Sクラス)の耐震性に関する計算書作成の基本方針

①既設工認で示していた47種類の定型式に対して、今回既設工認では共通となる式を全て基本方針で示すため、9分類を含めて56分類としていた。

<FEMを用いた応力解析による評価を行う設備>

IV-1-2-1-10 機器の耐震支持方針【個別の耐震計算書に計算式を示している設備】	
FEM 1	冷却塔
FEM 2	平板容器
FEM 3	シュート
FEM 4	塵状形バルスカラム
FEM 5	架構設備
FEM 6	クレーン・台車類
FEM 7	しゃへい容器付クレーン
FEM 8	脚支持たて置容器
FEM 9	リブ付円筒形容器
FEM 10	円筒形バルスカラム(ラグ支持)
FEM 11	フランジ固定容器
FEM 12	たて型回転容器
FEM 13	溶融炉
FEM 14	加熱部一体型蒸発缶
FEM 15	加熱部分離型蒸発缶
FEM 16	燃料ラック
FEM 17	架構支持冷却器
FEM 18	デミスタ
FEM 19	軀体付構造設備
FEM 20	架構支持貯蔵設備
FEM 21	架構支持固定装置

総分類数 : 77分類
 Bクラス : 24分類
 定型式 : 32分類
 FEM : 21分類

②FEMを用いた計算式は、同じ応力算出式となる設備を類型化した21分類としていた。

IV-1-2-1 機器の耐震性に関する計算書作成の基本方針		
別添-3	中間支持たて置円筒形容器(4ラグ支持,耐震設計上の重要度分類Bクラス)の耐震性に関する計算書作成の基本方針	
別添-17	中間支持たて置円筒形容器(2ラグ支持,耐震設計上の重要度分類Bクラス)の耐震性に関する計算書作成の基本方針	
別添-32	中間支持たて置円筒形容器(2ラグ支持,耐震設計上の重要度分類Bクラス)の耐震性に関する計算書作成の基本方針	
別添-38	中間支持たて置円筒形容器(1ラグ支持,耐震設計上の重要度分類Bクラス)の耐震性に関する計算書作成の基本方針	
別添-1	横置一胴円筒形容器(耐震設計上の重要度分類Bクラス)の耐震性に関する計算書作成の基本方針	
別添-24	デミスタ(2脚支持,耐震設計上の重要度分類Bクラス)の耐震性に関する計算書作成の基本方針	
別添-19	デミスタ(1脚支持,耐震設計上の重要度分類Bクラス)の耐震性に関する計算書作成の基本方針	
別添-28	平底たて置円筒形容器(耐震設計上の重要度分類Bクラス)の耐震性に関する計算書作成の基本方針	
別添-5	スカート支持たて置円筒形容器(基本設計上の重要度分類Bクラス)の耐震性に関する計算書作成の基本方針	
別添-22	四脚たて置円筒形容器(耐震設計上の重要度分類Bクラス)の耐震性に関する計算書作成の基本方針	
別添-8	横軸ボンプ(耐震設計上の重要度分類Bクラス)の耐震性に関する計算書作成の基本方針	
別添-6	たて軸ボンプ(耐震設計上の重要度分類Bクラス)の耐震性に関する計算書作成の基本方針	
別添-20	フィルタユニット(耐震設計上の重要度分類Bクラス)の耐震性に関する計算書作成の基本方針	
別添-46	フィルタユニット(しゃへい体一体形,耐震設計上の重要度分類Bクラス)の耐震性に関する計算書作成の基本方針	
別添-45	溶融フィルタ(耐震設計上の重要度分類Bクラス)の耐震性に関する計算書作成の基本方針	
別添-31	中間支持たて置円筒形容器(長手方向2ラグ支持,耐震設計上の重要度分類Bクラス)の耐震性に関する計算書作成の基本方針	
別添-47	中間支持横置円筒形容器(1ラグ支持,耐震設計上の重要度分類Bクラス)の耐震性に関する計算書作成の基本方針	
別添-29	上部スカート支持たて置円筒形容器(耐震設計上の重要度分類Bクラス)の耐震性に関する計算書作成の基本方針	
別添-9	天井クレーン(耐震設計上の重要度分類Bクラス)の耐震性に関する計算書作成の基本方針	
別添-2	中間支持たて置円筒形容器(4ラグ支持,耐震設計上の重要度分類Sクラス)の耐震性に関する計算書作成の基本方針	
別添-12	中間支持たて置円筒形容器(2ラグ支持,耐震設計上の重要度分類Sクラス)の耐震性に関する計算書作成の基本方針	
別添-16	中間支持たて置円筒形容器(2ラグ支持,耐震設計上の重要度分類Sクラス)の耐震性に関する計算書作成の基本方針	
別添-15	中間支持たて置円筒形容器(1ラグ支持,耐震設計上の重要度分類Sクラス)の耐震性に関する計算書作成の基本方針	
別添-10	横置一胴円筒形容器(耐震設計上の重要度分類Sクラス)の耐震性に関する計算書作成の基本方針	
別添-14	デミスタ(2脚支持,耐震設計上の重要度分類Sクラス)の耐震性に関する計算書作成の基本方針	
別添-23	デミスタ(1脚支持,耐震設計上の重要度分類Sクラス)の耐震性に関する計算書作成の基本方針	
別添-11	平底たて置円筒形容器(耐震設計上の重要度分類Sクラス)の耐震性に関する計算書作成の基本方針	
別添-4	スカート支持たて置円筒形容器(耐震設計上の重要度分類Sクラス)の耐震性に関する計算書作成の基本方針	
別添-21	四脚たて置円筒形容器(耐震設計上の重要度分類Sクラス)の耐震性に関する計算書作成の基本方針	
別添-7	横軸ボンプ(耐震設計上の重要度分類Sクラス)の耐震性に関する計算書作成の基本方針	
別添-13	たて軸ボンプ(耐震設計上の重要度分類Sクラス)の耐震性に関する計算書作成の基本方針	
別添-26	フィルタユニット(耐震設計上の重要度分類Sクラス)の耐震性に関する計算書作成の基本方針	
別添-27	フィルタユニット(しゃへい体一体形,耐震設計上の重要度分類Sクラス)の耐震性に関する計算書作成の基本方針	
別添-25	プレート式熱交換器(耐震設計上の重要度分類Sクラス)の耐震性に関する計算書作成の基本方針	
別添-30	中間支持たて置円筒形容器(長手方向2ラグ支持,耐震設計上の重要度分類Sクラス)の耐震性に関する計算書作成の基本方針	
別添-34	塵状形槽(平底たて置,耐震設計上の重要度分類Bクラス)の耐震性に関する計算書作成の基本方針	
別添-39	ミキサ・セトラ(耐震設計上の重要度分類Bクラス)の耐震性に関する計算書作成の基本方針	
別添-42	パフファチュープ(2ラグ支持,耐震設計上の重要度分類Bクラス)の耐震性に関する計算書作成の基本方針	
別添-36	円筒形バルスカラム(耐震設計上の重要度分類Bクラス)の耐震性に関する計算書作成の基本方針	
別添-44	パフファチュープ(小口径タイプ,耐震設計上の重要度分類Bクラス)の耐震性に関する計算書作成の基本方針	
別添-33	塵状形槽(平底たて置,耐震設計上の重要度分類Sクラス)の耐震性に関する計算書作成の基本方針	
別添-38	ミキサ・セトラ(耐震設計上の重要度分類Sクラス)の耐震性に関する計算書作成の基本方針	
別添-41	パフファチュープ(2ラグ支持,耐震設計上の重要度分類Sクラス)の耐震性に関する計算書作成の基本方針	
別添-40	グロブボックス等(耐震設計上の重要度分類S及CBクラス)の耐震性に関する計算書作成の基本方針	
別添-35	円筒形バルスカラム(耐震設計上の重要度分類Sクラス)の耐震性に関する計算書作成の基本方針	
別添-43	パフファチュープ(小口径タイプ,耐震設計上の重要度分類Sクラス)の耐震性に関する計算書作成の基本方針	
別添-37	充てん塔(耐震設計上の重要度分類Sクラス)の耐震性に関する計算書作成の基本方針	
既設工認の定型式	別添-48	横置一胴円筒形容器(3脚以上支持,耐震設計上の重要度分類Sクラス)の耐震性に関する計算書作成の基本方針
	別添-49	中間支持たて置円筒形容器(フランジ固定,耐震設計上の重要度分類Sクラス)の耐震性に関する計算書作成の基本方針
	別添-50	ディーゼル機関・発電機(耐震設計上の重要度分類Sクラス)の耐震性に関する計算書作成の基本方針
	別添-51	矩形電気計装設備(耐震設計上の重要度分類Sクラス)の耐震性に関する計算書作成の基本方針
	別添-52	軀体付構造設備(耐震設計上の重要度分類Sクラス)の耐震性に関する計算書作成の基本方針
	別添-53	軀体付構造設備(梁構支持,耐震設計上の重要度分類Sクラス)の耐震性に関する計算書作成の基本方針
	別添-54	燃料置きラック(耐震設計上の重要度分類Sクラス)の耐震性に関する計算書作成の基本方針
	別添-55	昇降装置(耐震設計上の重要度分類Sクラス)の耐震性に関する計算書作成の基本方針
	別添-56	固定式クレーン(耐震設計上の重要度分類Sクラス)の耐震性に関する計算書作成の基本方針

本資料は、機器における類型化分類の推移を示すものであり、後次回申請等で分類を追加した場合は本分類に追加を行い、類型化分類確定後に削除するものである。

③類型化分類の推移の説明に当たってはSクラス設備の推移を示すため、次頁以降ではBクラス設備の分類を除いたもので考え方を示す。

定型式に対する分類の考え方について2/7頁で示す。

FEMに対する分類の考え方について3/7頁で示す。

IV-1-2-1-10 機器の耐震支持方針【個別の計算式を用いる設備】	
FEM 1	冷却塔
FEM 2	平板容器
FEM 3	シュート
FEM 4	塵状形バルスカラム
FEM 5	架構設備
FEM 6	クレーン・台車類
FEM 7	しゃへい容器付クレーン
FEM 8	脚支持たて置容器
FEM 9	リブ付円筒形容器
FEM 10	円筒形バルスカラム(ラグ支持)
FEM 11	フランジ固定容器
FEM 12	たて型回転容器
FEM 13	溶融炉
FEM 14	加熱部一体型蒸発缶
FEM 15	加熱部分離型蒸発缶
FEM 16	燃料ラック
FEM 17	架構支持冷却器
FEM 18	デミスタ
FEM 19	軀体付構造設備
FEM 20	架構支持貯蔵設備
FEM 21	架構支持固定装置

<定型式による評価を行う設備>

2021/7/20提出時(耐震機電07(R4))の分類	
IV-1-2-1 機器の耐震性に関する計算書作成の基本方針	
別添-2	中間支持たて置円筒形容器(4ラグ支持,耐震設計上の重要度分類Sクラス)の耐震性に関する計算書作成の基本方針
別添-12	中間支持たて置円筒形容器(2ラグ支持,耐震設計上の重要度分類Sクラス)の耐震性に関する計算書作成の基本方針
別添-16	中間支持たて置角形容器(2ラグ支持,耐震設計上の重要度分類Sクラス)の耐震性に関する計算書作成の基本方針
別添-15	中間支持たて置円筒形容器(1ラグ支持,耐震設計上の重要度分類Sクラス)の耐震性に関する計算書作成の基本方針
別添-10	横置一胴円筒形容器(耐震設計上の重要度分類Sクラス)の耐震性に関する計算書作成の基本方針
別添-14	デミスタ(2脚支持,耐震設計上の重要度分類Sクラス)の耐震性に関する計算書作成の基本方針
別添-23	デミスタ(1脚支持,耐震設計上の重要度分類Sクラス)の耐震性に関する計算書作成の基本方針
別添-11	平底たて置円筒形容器(耐震設計上の重要度分類Sクラス)の耐震性に関する計算書作成の基本方針
別添-4	スカート支持たて置円筒形容器(耐震設計上の重要度分類Sクラス)の耐震性に関する計算書作成の基本方針
別添-21	四脚たて置円筒形容器(耐震設計上の重要度分類Sクラス)の耐震性に関する計算書作成の基本方針
別添-7	横軸ポンプ(耐震設計上の重要度分類Sクラス)の耐震性に関する計算書作成の基本方針
別添-13	たて軸ポンプ(耐震設計上の重要度分類Sクラス)の耐震性に関する計算書作成の基本方針
別添-26	フィルタユニット(耐震設計上の重要度分類Sクラス)の耐震性に関する計算書作成の基本方針
別添-27	フィルタユニット(しゃへい体一体形,耐震設計上の重要度分類Sクラス)の耐震性に関する計算書作成の基本方針
別添-25	プレート式熱交換器(耐震設計上の重要度分類Sクラス)の耐震性に関する計算書作成の基本方針
別添-30	中間支持たて置円筒形容器(長手方向2ラグ支持,耐震設計上の重要度分類Sクラス)の耐震性に関する計算書作成の基本方針
別添-33	環状形槽(平底たて置,耐震設計上の重要度分類Sクラス)の耐震性に関する計算書作成の基本方針
別添-38	ミキサ・セトラ(耐震設計上の重要度分類Sクラス)の耐震性に関する計算書作成の基本方針
別添-41	パuffアチューブ(2ラグ支持,耐震設計上の重要度分類Sクラス)の耐震性に関する計算書作成の基本方針
別添-40	グローブボックス等(耐震設計上の重要度分類S及UBクラス)の耐震性に関する計算書作成の基本方針
別添-35	円筒形パルスカラム(耐震設計上の重要度分類Sクラス)の耐震性に関する計算書作成の基本方針
別添-43	パuffアチューブ(小口径タイプ,耐震設計上の重要度分類Sクラス)の耐震性に関する計算書作成の基本方針
別添-37	充てん塔(耐震設計上の重要度分類Sクラス)の耐震性に関する計算書作成の基本方針

今回設工認で追加する定型式	
別添-48	横置一胴円筒形容器(3脚以上支持,耐震設計上の重要度分類Sクラス)の耐震性に関する計算書作成の基本方針
別添-49	中間支持たて置円筒形容器(フランジ固定,耐震設計上の重要度分類Sクラス)の耐震性に関する計算書作成の基本方針
別添-50	ディーゼル機関・発電機(耐震設計上の重要度分類Sクラス)の耐震性に関する計算書作成の基本方針
別添-51	矩形電気計装設備(耐震設計上の重要度分類Sクラス)の耐震性に関する計算書作成の基本方針
別添-52	躯体付構造設備(耐震設計上の重要度分類Sクラス)の耐震性に関する計算書作成の基本方針
別添-53	躯体付構造設備(架構支持,耐震設計上の重要度分類Sクラス)の耐震性に関する計算書作成の基本方針
別添-54	燃料仮置きラック(耐震設計上の重要度分類Sクラス)の耐震性に関する計算書作成の基本方針
別添-55	昇降装置(耐震設計上の重要度分類Sクラス)の耐震性に関する計算書作成の基本方針
別添-56	固定式クレーン(耐震設計上の重要度分類Sクラス)の耐震性に関する計算書作成の基本方針

定型式の類型化分類 : 32分類

2022/6/10提出(耐震機電07(R5~R9))までの分類	
共通式	
1-20	中間支持たて置円筒形容器(4ラグ支持)の耐震性に関する計算書作成の基本方針
1-21	中間支持たて置円筒形容器(2ラグ支持)の耐震性に関する計算書作成の基本方針
1-22	中間支持たて置角形容器(2ラグ支持)の耐震性に関する計算書作成の基本方針
1-23	中間支持たて置円筒形容器(フランジ固定)の耐震性に関する計算書作成の基本方針
1-24	中間支持たて置円筒形容器(1ラグ支持)の耐震性に関する計算書作成の基本方針
1-25	横置一胴円筒形容器の耐震性に関する計算書作成の基本方針
1-26	横置一胴円筒形容器(3脚以上支持)の耐震性に関する計算書作成の基本方針
1-27	デミスタ(2脚支持)の耐震性に関する計算書作成の基本方針
1-28	デミスタ(1脚支持)の耐震性に関する計算書作成の基本方針
1-29	平底たて置円筒形容器の耐震性に関する計算書作成の基本方針
1-30	スカート支持たて置円筒形容器の耐震性に関する計算書作成の基本方針
1-31	四脚たて置円筒形容器の耐震性に関する計算書作成の基本方針
1-32	横軸ポンプの耐震性に関する計算書作成の基本方針
1-33	ディーゼル機関・発電機の耐震性に関する計算書作成の基本方針
1-34	たて軸ポンプの耐震性に関する計算書作成の基本方針
1-35	フィルタユニットの耐震性に関する計算書作成の基本方針
1-36	フィルタユニット(しゃへい体一体形)の耐震性に関する計算書作成の基本方針
1-37	矩形電気計装設備の耐震性に関する計算書作成の基本方針
1-38	プレート式熱交換器の耐震性に関する計算書作成の基本方針
1-39	躯体付構造設備の耐震性に関する計算書作成の基本方針
1-40	躯体付構造設備(架構支持)の耐震性に関する計算書作成の基本方針
1-41	固定式クレーンの耐震性に関する計算書作成の基本方針
1-42	昇降装置の耐震性に関する計算書作成の基本方針
1-43	中間支持たて置円筒形容器(長手方向2ラグ支持)の耐震性に関する計算書作成の基本方針
1-44	燃料仮置きラックの耐震性に関する計算書作成の基本方針
1-45	溶媒フィルタの耐震性に関する計算書作成の基本方針

④これら7分類についてはFEMによる計算を行っているため、FEMの分類として整理した。

⑤既設工認で示していた定型式16分類と個別の耐震計算書で示していた9分類を加えた25分類に整理した。

⑥他条文要求の設計進捗により、新たに必要となった定型式を追加した。

定型式の類型化分類 : 26分類

<FEMを用いた応力解析による評価を行う設備>

2021/7/20提出時(耐震機電07(R4))の分類	
IV-1-2-1 機器の耐震性に関する計算書作成の基本方針	
別添-2	中間支持たて置円筒形容器 (4ラグ支持, 耐震設計上の重要度分類Sクラス) の耐震性に関する計算書作成の基本方針
別添-12	中間支持たて置円筒形容器 (2ラグ支持, 耐震設計上の重要度分類Sクラス) の耐震性に関する計算書作成の基本方針
別添-16	中間支持たて置角形容器 (2ラグ支持, 耐震設計上の重要度分類Sクラス) の耐震性に関する計算書作成の基本方針
別添-15	中間支持たて置円筒形容器 (1ラグ支持, 耐震設計上の重要度分類Sクラス) の耐震性に関する計算書作成の基本方針
別添-10	横置一隅円筒形容器 (耐震設計上の重要度分類Sクラス) の耐震性に関する計算書作成の基本方針
別添-14	デミスタ (2脚支持, 耐震設計上の重要度分類Sクラス) の耐震性に関する計算書作成の基本方針
別添-23	デミスタ (1脚支持, 耐震設計上の重要度分類Sクラス) の耐震性に関する計算書作成の基本方針
別添-11	平底たて置円筒形容器 (耐震設計上の重要度分類Sクラス) の耐震性に関する計算書作成の基本方針
別添-4	スカト支持たて置円筒形容器 (耐震設計上の重要度分類Sクラス) の耐震性に関する計算書作成の基本方針
別添-21	吊脚たて置円筒形容器 (耐震設計上の重要度分類Sクラス) の耐震性に関する計算書作成の基本方針
別添-7	横軸ポンプ (耐震設計上の重要度分類Sクラス) の耐震性に関する計算書作成の基本方針
別添-13	たて軸ポンプ (耐震設計上の重要度分類Sクラス) の耐震性に関する計算書作成の基本方針
別添-26	フィルタユニット (耐震設計上の重要度分類Sクラス) の耐震性に関する計算書作成の基本方針
別添-27	フィルタユニット (しゃへい体一体形, 耐震設計上の重要度分類Sクラス) の耐震性に関する計算書作成の基本方針
別添-25	プレート式熱交換器 (耐震設計上の重要度分類Sクラス) の耐震性に関する計算書作成の基本方針
別添-30	中間支持たて置円筒形容器 (長手方向2ラグ支持, 耐震設計上の重要度分類Sクラス) の耐震性に関する計算書作成の基本方針
別添-23	環状形槽 (平底たて置, 耐震設計上の重要度分類Sクラス) の耐震性に関する計算書作成の基本方針
別添-38	ミキサ・セトラ (耐震設計上の重要度分類Sクラス) の耐震性に関する計算書作成の基本方針
別添-41	パフファチューブ (2ラグ支持, 耐震設計上の重要度分類Sクラス) の耐震性に関する計算書作成の基本方針
別添-40	グローブボックス等 (耐震設計上の重要度分類S及びBクラス) の耐震性に関する計算書作成の基本方針
別添-35	円筒形バルスカラム (耐震設計上の重要度分類Sクラス) の耐震性に関する計算書作成の基本方針
別添-43	パフファチューブ (小口径タイプ, 耐震設計上の重要度分類Sクラス) の耐震性に関する計算書作成の基本方針
別添-37	充てん塔 (耐震設計上の重要度分類Sクラス) の耐震性に関する計算書作成の基本方針

今回工認で追加する定型式	
別添-48	横置一隅円筒形容器 (3脚以上支持, 耐震設計上の重要度分類Sクラス) の耐震性に関する計算書作成の基本方針
別添-49	中間支持たて置円筒形容器 (フランジ固定, 耐震設計上の重要度分類Sクラス) の耐震性に関する計算書作成の基本方針
別添-50	ディーゼル機関・発電機 (耐震設計上の重要度分類Sクラス) の耐震性に関する計算書作成の基本方針
別添-51	矩形電気計装設備 (耐震設計上の重要度分類Sクラス) の耐震性に関する計算書作成の基本方針
別添-52	躯体付構造設備 (耐震設計上の重要度分類Sクラス) の耐震性に関する計算書作成の基本方針
別添-53	躯体付構造設備 (梁橋支持, 耐震設計上の重要度分類Sクラス) の耐震性に関する計算書作成の基本方針
別添-54	燃料放散クワック (耐震設計上の重要度分類Sクラス) の耐震性に関する計算書作成の基本方針
別添-55	昇降装置 (耐震設計上の重要度分類Sクラス) の耐震性に関する計算書作成の基本方針
別添-56	固定式クレーン (耐震設計上の重要度分類Sクラス) の耐震性に関する計算書作成の基本方針

IV-1-1-10 機器の耐震支持方針 [個別の耐震計算書に計算式を示している設備]	
FEM 1	冷却塔
FEM 2	平板容器
FEM 3	シャート
FEM 4	環状形バルスカラム
FEM 5	貯蔵設備
FEM 6	クレーン・台車類
FEM 7	しゃへい容器付クレーン
FEM 8	脚支持たて置容器
FEM 9	リブ付角形容器
FEM 10	円筒形バルスカラム (ラグ支持)
FEM 11	フランジ固定容器
FEM 12	たて型回転容器
FEM 13	溶融炉
FEM 14	加熱部一体型蒸発缶
FEM 15	加熱部分離型蒸発缶
FEM 16	燃料ラック
FEM 17	梁橋支持冷却器
FEM 18	デミスタ
FEM 19	躯体付構造設備
FEM 20	梁橋支持貯蔵設備
FEM 21	梁橋支持測定装置

FEMの類型化分類 : 21分類

共通式	
別添-33	環状形槽 (平底たて置, 耐震設計上の重要度分類Sクラス) の耐震性に関する計算書作成の基本方針
別添-38	ミキサ・セトラ (耐震設計上の重要度分類Sクラス) の耐震性に関する計算書作成の基本方針
別添-41	パフファチューブ (2ラグ支持, 耐震設計上の重要度分類Sクラス) の耐震性に関する計算書作成の基本方針
別添-40	グローブボックス等 (耐震設計上の重要度分類S及びBクラス) の耐震性に関する計算書作成の基本方針
別添-35	円筒形バルスカラム (耐震設計上の重要度分類Sクラス) の耐震性に関する計算書作成の基本方針
別添-43	パフファチューブ (小口径タイプ, 耐震設計上の重要度分類Sクラス) の耐震性に関する計算書作成の基本方針
別添-37	充てん塔 (耐震設計上の重要度分類Sクラス) の耐震性に関する計算書作成の基本方針

個別式	
1	安全冷却水S冷却塔
2	安全冷却水A冷却塔
3	安全冷却水系冷却塔
4	冷却塔
5	溶融槽
6	第1, 第2よう素溜出し槽
7	溶融槽デミスタ
8	抽出塔
9	第1洗浄塔
10	第2洗浄塔
11	ブルトニウム分配塔
12	TEP洗浄塔
13	デミスタ
14	安全冷水冷却器
15	通風管
...	...
50	冷却空気入口整流板
51	冷却空気出口整流板
52	冷却空気入口第1, 第2流路形成板
53	冷却空気出口第1, 第2流路形成板
54	ハル洗浄槽
55	ウラン洗浄槽
56	よう素溜出し塔
57	清澄機
58	ガラス溶融炉
59	セル内クーラ
60	ガラス固化体放射能測定装置
61	溶融槽
62	固化セル移送台車
63	バスケット搬送機
64	トレンチ移送台車
65	高レベル廃液濃縮缶
66	貯蔵ホール
67	補助油水分離槽
68	燃料貯蔵クワック
69	バスケット仮置き架台
70	燃料移送水中台車
71	プール水冷却系熱交換器
72	第1チャンネルボックス切断装置
73	第1バーナブルボイゼン切断装置
74	ブルトニウム濃縮缶

⑦前頁④にてFEMに整理するとして7分類についてはFEMの共通式として整理した。

⑧これら21分類は応力算出式が同様となる観点で類型化した分類であり、再整理を行うに当たっては全ての式を詳細化する。

2022/6/10提出(耐震機電07(R5~R9))までの分類	
共通式	
2-7	環状形槽 (平底たて置) の耐震性に関する計算書作成の基本方針
2-8	ミキサ・セトラの耐震性に関する計算書作成の基本方針
2-9	パフファチューブ (2ラグ支持) の耐震性に関する計算書作成の基本方針
2-10	グローブボックス等の耐震性に関する計算書作成の基本方針
2-23	円筒形バルスカラムの耐震性に関する計算書作成の基本方針
2-24	パフファチューブ (小口径タイプ) の耐震性に関する計算書作成の基本方針
2-25	充てん塔の耐震性に関する計算書作成の基本方針
2-1	冷却塔
2-11	平板容器
2-12	環状形バルスカラム
2-13	デミスタ
2-14	通風管
2-15	収納管
2-16	送路板
2-18	ラグ支持たて置容器
2-19	クレーン・台車類
2-20	シャート
2-21	しゃへい容器付クレーン
2-22	整流板
2-26	流路形成板
2-17	梁橋支持貯蔵設備
2-27	中間支持たて置円筒形容器 (4ラグ支持, コイル付) の耐震性に関する計算書作成の基本方針
2-28	スカト支持たて置円筒形容器 (コイル付) の耐震性に関する計算書作成の基本方針

⑨計算過程から応力算出式までが全て一致共通の式を用いる設備については14分類となり、基本方針で示すものに整理した。

⑩既設工認で個別の耐震計算書に記載していたコイルについても、再整理に伴い基本方針に追加した。

FEMの類型化分類(共通) : 23分類

個別式	
1	ハル洗浄槽
2	ウラン洗浄塔
3	よう素溜出し塔
4	清澄機
5	ガラス溶融炉
6	セル内クーラ
7	ガラス固化体放射能測定装置
8	溶融槽
9	固化セル移送台車
12	高レベル廃液濃縮缶
10	バスケット搬送機
11	トレンチ移送台車
13	貯蔵ホール
14	補助油水分離槽
15	燃料貯蔵クワック
16	バスケット仮置き架台
17	燃料移送水中台車
18	プール水冷却系熱交換器
19	第1チャンネルボックス切断装置
20	第1バーナブルボイゼン切断装置
21	ブルトニウム濃縮缶

FEMの類型化分類(個別) : 21分類

⑫代表設備の耐震計算書で示すこととしていた共通式については、基本方針に取り込んだ上で計算書は基本方針を引用する。

2022/6/10提出(耐震機電07(R5~R9))までの整理
【評価手法毎の計算式に対する機器の類型化分類】

<定型式による評価を行う設備>

IV-1-2-1 機器の耐震性に関する計算書作成の基本方針	
1-1	中間支持たて覆円筒形容器(4ラグ支持,耐震設計上の重要度分類Bクラス)の耐震性に関する計算書作成の基本方針
1-2	中間支持たて覆円筒形容器(2ラグ支持,耐震設計上の重要度分類Bクラス)の耐震性に関する計算書作成の基本方針
1-3	中間支持たて覆角形容器(2ラグ支持,耐震設計上の重要度分類Bクラス)の耐震性に関する計算書作成の基本方針
1-4	中間支持たて覆円筒形容器(1ラグ支持,耐震設計上の重要度分類Bクラス)の耐震性に関する計算書作成の基本方針
1-5	横置一胴円筒形容器(耐震設計上の重要度分類Bクラス)の耐震性に関する計算書作成の基本方針
1-6	デミスタ(脚支持,耐震設計上の重要度分類Bクラス)の耐震性に関する計算書作成の基本方針
1-7	デミスタ(脚支持,耐震設計上の重要度分類Bクラス)の耐震性に関する計算書作成の基本方針
1-8	平底たて覆円筒形容器(耐震設計上の重要度分類Bクラス)の耐震性に関する計算書作成の基本方針
1-9	スカート支持たて覆円筒形容器(耐震設計上の重要度分類Bクラス)の耐震性に関する計算書作成の基本方針
1-10	中間たて覆円筒形容器(耐震設計上の重要度分類Bクラス)の耐震性に関する計算書作成の基本方針
1-11	横軸ボンプ(耐震設計上の重要度分類Bクラス)の耐震性に関する計算書作成の基本方針
1-12	たて軸ボンプ(耐震設計上の重要度分類Bクラス)の耐震性に関する計算書作成の基本方針
1-13	フィルタユニット(耐震設計上の重要度分類Bクラス)の耐震性に関する計算書作成の基本方針
1-14	フィルタユニット(しゃへい体一体形,耐震設計上の重要度分類Bクラス)の耐震性に関する計算書作成の基本方針
1-15	前線フィルタ(耐震設計上の重要度分類Bクラス)の耐震性に関する計算書作成の基本方針
1-16	中間支持たて覆円筒形容器(長手方向2ラグ支持,耐震設計上の重要度分類Bクラス)の耐震性に関する計算書作成の基本方針
1-17	中間支持横置円筒形容器(1ラグ支持,耐震設計上の重要度分類Bクラス)の耐震性に関する計算書作成の基本方針
1-18	上部スカート支持たて覆円筒形容器の(耐震設計上の重要度分類Bクラス)耐震性に関する計算書作成の基本方針
1-19	長手クレーン(耐震設計上の重要度分類Bクラス)の耐震性に関する計算書作成の基本方針
1-20	中間支持たて覆円筒形容器(4ラグ支持)の耐震性に関する計算書作成の基本方針
1-21	中間支持たて覆円筒形容器(2ラグ支持)の耐震性に関する計算書作成の基本方針
1-22	中間支持たて覆角形容器(2ラグ支持)の耐震性に関する計算書作成の基本方針
1-23	中間支持たて覆円筒形容器(フランジ固定)の耐震性に関する計算書作成の基本方針
1-24	中間支持たて覆円筒形容器(1ラグ支持)の耐震性に関する計算書作成の基本方針
1-25	横置一胴円筒形容器の耐震性に関する計算書作成の基本方針
1-26	横置一胴円筒形容器(3脚以上支持)の耐震性に関する計算書作成の基本方針
1-27	デミスタ(脚支持)の耐震性に関する計算書作成の基本方針
1-28	デミスタ(脚支持)の耐震性に関する計算書作成の基本方針
1-29	平底たて覆円筒形容器の耐震性に関する計算書作成の基本方針
1-30	スカート支持たて覆円筒形容器の耐震性に関する計算書作成の基本方針
1-31	四脚たて覆円筒形容器の耐震性に関する計算書作成の基本方針
1-32	横軸ボンプの耐震性に関する計算書作成の基本方針
1-33	ディーゼル機関・発電機の耐震性に関する計算書作成の基本方針
1-34	たて軸ボンプの耐震性に関する計算書作成の基本方針
1-35	フィルタユニットの耐震性に関する計算書作成の基本方針
1-36	フィルタユニット(しゃへい体一体形)の耐震性に関する計算書作成の基本方針
1-37	矩形電気計装設備の耐震性に関する計算書作成の基本方針
1-38	プレート式熱交換器の耐震性に関する計算書作成の基本方針
1-39	箱体付構造設備の耐震性に関する計算書作成の基本方針
1-40	箱体付構造設備(架橋支持)の耐震性に関する計算書作成の基本方針
1-41	固定式クレーンの耐震性に関する計算書作成の基本方針
1-42	特殊装置の耐震性に関する計算書作成の基本方針
1-43	中間支持たて覆円筒形容器(長手方向2ラグ支持)の耐震性に関する計算書作成の基本方針
1-44	燃料貯蔵タンクの耐震性に関する計算書作成の基本方針
1-45	前線フィルタの耐震性に関する計算書作成の基本方針

R9まで類型化として整理していた内容は、基本方針設定のための設計上の整理であったことから、これらの内容は類型化分類ではなく基本方針として位置づけを見直し。

耐震機電07(R10)以降の整理
【計算式を示す基本方針】

<定型式による評価を行う設備>

IV-1-2-1 機器の耐震性に関する計算書作成の基本方針	
1-1	中間支持たて覆円筒形容器(4ラグ支持,耐震設計上の重要度分類Bクラス)の耐震性に関する計算書作成の基本方針
1-2	中間支持たて覆円筒形容器(2ラグ支持,耐震設計上の重要度分類Bクラス)の耐震性に関する計算書作成の基本方針
1-3	中間支持たて覆角形容器(2ラグ支持,耐震設計上の重要度分類Bクラス)の耐震性に関する計算書作成の基本方針
1-4	中間支持たて覆円筒形容器(1ラグ支持,耐震設計上の重要度分類Bクラス)の耐震性に関する計算書作成の基本方針
1-5	横置一胴円筒形容器(耐震設計上の重要度分類Bクラス)の耐震性に関する計算書作成の基本方針
1-6	デミスタ(脚支持,耐震設計上の重要度分類Bクラス)の耐震性に関する計算書作成の基本方針
1-7	デミスタ(脚支持,耐震設計上の重要度分類Bクラス)の耐震性に関する計算書作成の基本方針
1-8	平底たて覆円筒形容器(耐震設計上の重要度分類Bクラス)の耐震性に関する計算書作成の基本方針
1-9	スカート支持たて覆円筒形容器(耐震設計上の重要度分類Bクラス)の耐震性に関する計算書作成の基本方針
1-10	中間たて覆円筒形容器(耐震設計上の重要度分類Bクラス)の耐震性に関する計算書作成の基本方針
1-11	横軸ボンプ(耐震設計上の重要度分類Bクラス)の耐震性に関する計算書作成の基本方針
1-12	たて軸ボンプ(耐震設計上の重要度分類Bクラス)の耐震性に関する計算書作成の基本方針
1-13	フィルタユニット(耐震設計上の重要度分類Bクラス)の耐震性に関する計算書作成の基本方針
1-14	フィルタユニット(しゃへい体一体形,耐震設計上の重要度分類Bクラス)の耐震性に関する計算書作成の基本方針
1-15	前線フィルタ(耐震設計上の重要度分類Bクラス)の耐震性に関する計算書作成の基本方針
1-16	中間支持たて覆円筒形容器(長手方向2ラグ支持,耐震設計上の重要度分類Bクラス)の耐震性に関する計算書作成の基本方針
1-17	中間支持横置円筒形容器(1ラグ支持,耐震設計上の重要度分類Bクラス)の耐震性に関する計算書作成の基本方針
1-18	上部スカート支持たて覆円筒形容器の(耐震設計上の重要度分類Bクラス)耐震性に関する計算書作成の基本方針
1-19	長手クレーン(耐震設計上の重要度分類Bクラス)の耐震性に関する計算書作成の基本方針
1-20	中間支持たて覆円筒形容器(4ラグ支持)の耐震性に関する計算書作成の基本方針
1-21	中間支持たて覆円筒形容器(2ラグ支持)の耐震性に関する計算書作成の基本方針
1-22	中間支持たて覆角形容器(2ラグ支持)の耐震性に関する計算書作成の基本方針
1-23	中間支持たて覆円筒形容器(フランジ固定)の耐震性に関する計算書作成の基本方針
1-24	中間支持たて覆円筒形容器(1ラグ支持)の耐震性に関する計算書作成の基本方針
1-25	横置一胴円筒形容器の耐震性に関する計算書作成の基本方針
1-26	横置一胴円筒形容器(3脚以上支持)の耐震性に関する計算書作成の基本方針
1-27	デミスタ(脚支持)の耐震性に関する計算書作成の基本方針
1-28	デミスタ(脚支持)の耐震性に関する計算書作成の基本方針
1-29	平底たて覆円筒形容器の耐震性に関する計算書作成の基本方針
1-30	スカート支持たて覆円筒形容器の耐震性に関する計算書作成の基本方針
1-31	四脚たて覆円筒形容器の耐震性に関する計算書作成の基本方針
1-32	横軸ボンプの耐震性に関する計算書作成の基本方針
1-33	ディーゼル機関・発電機の耐震性に関する計算書作成の基本方針
1-34	たて軸ボンプの耐震性に関する計算書作成の基本方針
1-35	フィルタユニットの耐震性に関する計算書作成の基本方針
1-36	フィルタユニット(しゃへい体一体形)の耐震性に関する計算書作成の基本方針
1-37	矩形電気計装設備の耐震性に関する計算書作成の基本方針
1-38	プレート式熱交換器の耐震性に関する計算書作成の基本方針
1-39	箱体付構造設備の耐震性に関する計算書作成の基本方針
1-40	箱体付構造設備(架橋支持)の耐震性に関する計算書作成の基本方針
1-41	固定式クレーンの耐震性に関する計算書作成の基本方針
1-42	特殊装置の耐震性に関する計算書作成の基本方針
1-43	中間支持たて覆円筒形容器(長手方向2ラグ支持)の耐震性に関する計算書作成の基本方針
1-44	燃料貯蔵タンクの耐震性に関する計算書作成の基本方針
1-45	前線フィルタの耐震性に関する計算書作成の基本方針

<FEMを用いた応力解析による評価を行う設備(共通式)>

IV-1-2-1 機器の耐震性に関する計算書作成の基本方針	
2-1	冷却塔の耐震性に関する計算書作成の基本方針
2-2	環状形槽(平底たて覆,耐震設計上の重要度分類Bクラス)の耐震性に関する計算書作成の基本方針
2-3	ミキサ・セトラ(耐震設計上の重要度分類Bクラス)の耐震性に関する計算書作成の基本方針
2-4	パフファチュープ(耐震設計上の重要度分類Bクラス)の耐震性に関する計算書作成の基本方針
2-5	円筒形ハルスカラム(耐震設計上の重要度分類Bクラス)の耐震性に関する計算書作成の基本方針
2-6	パフファチュープ(小口径タイプ,耐震設計上の重要度分類Bクラス)の耐震性に関する計算書作成の基本方針
2-7	環状形槽(平底たて覆)の耐震性に関する計算書作成の基本方針
2-8	ミキサ・セトラの耐震性に関する計算書作成の基本方針
2-9	パフファチュープ(2ラグ支持)の耐震性に関する計算書作成の基本方針
2-10	グローブボックス等の耐震性に関する計算書作成の基本方針
2-11	平板容器の耐震性に関する計算書作成の基本方針
2-12	環状形ハルスカラムの耐震性に関する計算書作成の基本方針
2-13	デミスタの耐震性に関する計算書作成の基本方針
2-14	通風管の耐震性に関する計算書作成の基本方針
2-15	収納管の耐震性に関する計算書作成の基本方針
2-16	送油管の耐震性に関する計算書作成の基本方針
2-17	ラグ支持たて覆容器の耐震性に関する計算書作成の基本方針
2-18	クレーン・台車類の耐震性に関する計算書作成の基本方針
2-19	シュートの耐震性に関する計算書作成の基本方針
2-20	しゃへい容器付クレーンの耐震性に関する計算書作成の基本方針
2-21	整流板の耐震性に関する計算書作成の基本方針
2-22	流路形成板の耐震性に関する計算書作成の基本方針
2-23	架橋支持貯蔵設備の耐震性に関する計算書作成の基本方針
2-24	円筒形ハルスカラムの耐震性に関する計算書作成の基本方針
2-25	パフファチュープ(小口径タイプ)の耐震性に関する計算書作成の基本方針
2-26	充てん塔の耐震性に関する計算書作成の基本方針
2-27	中間支持たて覆円筒形容器(4ラグ支持,コイル付)の耐震性に関する計算書作成の基本方針
2-28	スカート支持たて覆円筒形容器(コイル付)の耐震性に関する計算書作成の基本方針

<FEMを用いた応力解析による評価を行う設備(個別式)>

IV-1-1-10 機器の耐震支持方針【設備個別の計算式の種類】	
1	ハル洗淨槽
2	クラン洗淨槽
3	よう薬造出し庫
4	渣溜槽
5	ガラス溶融炉
6	セル内クレーン
7	ガラス固化体放射能測定装置
8	溶解槽
9	固化セル移送台車
10	高レベル廃液濃縮缶
11	バスケット搬送機
12	トレンチ移送台車
13	貯蔵ホール
14	補助油水分離槽
15	燃料貯蔵ラック
16	バスケット仮置き架台
17	燃料移送水中台車
18	プール水冷却熱交換器
19	第1チャンネルボックス切断装置
20	第1バーナブルボイソン切断装置
21	アルミニウム濃縮缶

FEMの個別式について、共通式と同様に基本方針として示すことで整理した。

：Bクラス設備に対する計算式については、類型化対象外

耐震機電07(R10)以降の整理

【計算式を示す基本方針】

<定型式による評価を行う設備>

IV-1-2-1 機器の耐震性に関する計算書作成の基本方針	
1-1	中間支持たて置円筒形容器 (4ラグ支持,耐震設計上の重要度分類Bクラス)の耐震性に関する計算書作成の基本方針
1-2	中間支持たて置円筒形容器 (2ラグ支持,耐震設計上の重要度分類Bクラス)の耐震性に関する計算書作成の基本方針
1-3	中間支持たて置角形容器 (2ラグ支持,耐震設計上の重要度分類Bクラス)の耐震性に関する計算書作成の基本方針
1-4	中間支持たて置円筒形容器 (1ラグ支持,耐震設計上の重要度分類Bクラス)の耐震性に関する計算書作成の基本方針
1-5	横置一脚円筒形容器 (耐震設計上の重要度分類Bクラス)の耐震性に関する計算書作成の基本方針
1-6	デミスタ (2脚支持,耐震設計上の重要度分類Bクラス)の耐震性に関する計算書作成の基本方針
1-7	デミスタ (1脚支持,耐震設計上の重要度分類Bクラス)の耐震性に関する計算書作成の基本方針
1-8	平底たて置円筒形容器 (耐震設計上の重要度分類Bクラス)の耐震性に関する計算書作成の基本方針
1-9	スカート支持たて置円筒形容器 (耐震設計上の重要度分類Bクラス)の耐震性に関する計算書作成の基本方針
1-10	両脚たて置円筒形容器 (耐震設計上の重要度分類Bクラス)の耐震性に関する計算書作成の基本方針
1-11	横軸ポンプ (耐震設計上の重要度分類Bクラス)の耐震性に関する計算書作成の基本方針
1-12	たて軸ポンプ (耐震設計上の重要度分類Bクラス)の耐震性に関する計算書作成の基本方針
1-13	フィルタユニット (耐震設計上の重要度分類Bクラス)の耐震性に関する計算書作成の基本方針
1-14	フィルタユニット (しゃへい体一体形,耐震設計上の重要度分類Bクラス)の耐震性に関する計算書作成の基本方針
1-15	溶媒フィルタ (耐震設計上の重要度分類Bクラス)の耐震性に関する計算書作成の基本方針
1-16	中間支持たて置円筒形容器 (長手方向2ラグ支持,耐震設計上の重要度分類Bクラス)の耐震性に関する計算書作成の基本方針
1-17	中間支持横置円筒形容器 (1ラグ支持,耐震設計上の重要度分類Bクラス)の耐震性に関する計算書作成の基本方針
1-18	上部スカート支持たて置円筒形容器 (耐震設計上の重要度分類Bクラス)の耐震性に関する計算書作成の基本方針
1-19	天井クレーン (耐震設計上の重要度分類Bクラス)の耐震性に関する計算書作成の基本方針
1-20	中間支持たて置円筒形容器 (4ラグ支持)の耐震性に関する計算書作成の基本方針
1-21	中間支持たて置円筒形容器 (2ラグ支持)の耐震性に関する計算書作成の基本方針
1-22	中間支持たて置角形容器 (2ラグ支持)の耐震性に関する計算書作成の基本方針
1-23	中間支持たて置円筒形容器 (フランジ固定)の耐震性に関する計算書作成の基本方針
1-24	中間支持たて置円筒形容器 (1ラグ支持)の耐震性に関する計算書作成の基本方針
1-25	横置一脚円筒形容器の耐震性に関する計算書作成の基本方針
1-26	横置一脚円筒形容器 (3脚以上支持)の耐震性に関する計算書作成の基本方針
1-27	デミスタ (2脚支持)の耐震性に関する計算書作成の基本方針
1-28	デミスタ (1脚支持)の耐震性に関する計算書作成の基本方針
1-29	平底たて置円筒形容器の耐震性に関する計算書作成の基本方針
1-30	スカート支持たて置円筒形容器の耐震性に関する計算書作成の基本方針
1-31	両脚たて置円筒形容器の耐震性に関する計算書作成の基本方針
1-32	横軸ポンプの耐震性に関する計算書作成の基本方針
1-33	ディーゼル機関・発電機の耐震性に関する計算書作成の基本方針
1-34	たて軸ポンプの耐震性に関する計算書作成の基本方針
1-35	フィルタユニットの耐震性に関する計算書作成の基本方針
1-36	フィルタユニット (しゃへい体一体形)の耐震性に関する計算書作成の基本方針
1-37	矩形電気計装設備の耐震性に関する計算書作成の基本方針
1-38	プレート式熱交換器の耐震性に関する計算書作成の基本方針
1-39	駆体付構造設備の耐震性に関する計算書作成の基本方針
1-40	駆体付構造設備 (架橋支持)の耐震性に関する計算書作成の基本方針
1-41	固定式クレーンの耐震性に関する計算書作成の基本方針
1-42	昇降装置の耐震性に関する計算書作成の基本方針
1-43	中間支持たて置円筒形容器 (長手方向2ラグ支持)の耐震性に関する計算書作成の基本方針
1-44	燃料置きラックの耐震性に関する計算書作成の基本方針
1-45	溶媒フィルタの耐震性に関する計算書作成の基本方針

機器の形状に応じた支持方法が類似するものは、支持部及び形状を模倣するパラメータ式が類似するため、支持方法に応じて類型化。

<定型式による評価を行う設備>

分類番号	分類名称	基本方針名称
(1)	たて置円筒形容器	1-30 スカート支持たて置円筒形容器の耐震性に関する計算書作成の基本方針
		1-45 溶媒フィルタの耐震性に関する計算書作成の基本方針
		1-29 平底たて置円筒形容器の耐震性に関する計算書作成の基本方針
		1-23 中間支持たて置円筒形容器 (フランジ固定)の耐震性に関する計算書作成の基本方針
		1-25 横置一脚円筒形容器の耐震性に関する計算書作成の基本方針
(2)	軸直角方向支持容器	1-26 横置一脚円筒形容器 (3脚以上支持)の耐震性に関する計算書作成の基本方針
		1-27 デミスタ (2脚支持)の耐震性に関する計算書作成の基本方針
		1-28 デミスタ (1脚支持)の耐震性に関する計算書作成の基本方針
		1-24 中間支持たて置円筒形容器 (1ラグ支持)の耐震性に関する計算書作成の基本方針
		1-13 両脚たて置円筒形容器 (耐震設計上の重要度分類Bクラス)の耐震性に関する計算書作成の基本方針
(3)	ラグ支持たて置円筒形容器	1-14 中間支持たて置円筒形容器 (長手方向2ラグ支持)の耐震性に関する計算書作成の基本方針
		1-21 中間支持たて置円筒形容器 (2ラグ支持)の耐震性に関する計算書作成の基本方針
(4)	脚支持たて置円筒形容器	1-31 両脚たて置円筒形容器の耐震性に関する計算書作成の基本方針
		1-32 横軸ポンプの耐震性に関する計算書作成の基本方針
(5)	ボルト支持剛体設備	1-33 ディーゼル機関・発電機の耐震性に関する計算書作成の基本方針
		1-37 矩形電気計装設備の耐震性に関する計算書作成の基本方針
		1-34 たて軸ポンプの耐震性に関する計算書作成の基本方針
		1-35 フィルタユニットの耐震性に関する計算書作成の基本方針
		1-36 フィルタユニット (しゃへい体一体形)の耐震性に関する計算書作成の基本方針
(6)	昇降設備	1-42 昇降装置の耐震性に関する計算書作成の基本方針
		1-44 燃料置きラックの耐震性に関する計算書作成の基本方針
(7)	はり構造設備	1-39 駆体付構造設備の耐震性に関する計算書作成の基本方針
		1-41 固定式クレーンの耐震性に関する計算書作成の基本方針
(8)	平板構造設備	1-40 駆体付構造設備 (架橋支持)の耐震性に関する計算書作成の基本方針
		1-22 中間支持たて置円筒形容器 (2ラグ支持)の耐震性に関する計算書作成の基本方針
		1-38 プレート式熱交換器の耐震性に関する計算書作成の基本方針

定型式の類型化分類：8分類

<FEMを用いた応力解析による評価を行う設備>

IV-1-2-1 機器の耐震性に関する計算書作成の基本方針	
2-1	冷却塔の耐震性に関する計算書作成の基本方針
2-2	環状形槽 (平底たて置,耐震設計上の重要度分類Bクラス)の耐震性に関する計算書作成の基本方針
2-3	ミキサ・セトラ (耐震設計上の重要度分類Bクラス)の耐震性に関する計算書作成の基本方針
2-4	バフファチュープ (耐震設計上の重要度分類Bクラス)の耐震性に関する計算書作成の基本方針
2-5	円筒形バルスカラム (耐震設計上の重要度分類Bクラス)の耐震性に関する計算書作成の基本方針
2-6	バフファチュープ (小口径タイプ,耐震設計上の重要度分類Bクラス)の耐震性に関する計算書作成の基本方針
2-7	環状形槽 (平底たて置)の耐震性に関する計算書作成の基本方針
2-8	ミキサ・セトラの耐震性に関する計算書作成の基本方針
2-9	バフファチュープ (2ラグ支持)の耐震性に関する計算書作成の基本方針
2-10	グローブボックス等の耐震性に関する計算書作成の基本方針
2-11	平板容器の耐震性に関する計算書作成の基本方針
2-12	環状形バルスカラムの耐震性に関する計算書作成の基本方針
2-13	デミスタの耐震性に関する計算書作成の基本方針
2-14	通風等の耐震性に関する計算書作成の基本方針
2-15	収納等の耐震性に関する計算書作成の基本方針
2-16	遮音板の耐震性に関する計算書作成の基本方針
2-17	ラグ支持たて置容器の耐震性に関する計算書作成の基本方針
2-18	クレーン・台車等の耐震性に関する計算書作成の基本方針
2-19	シュートの耐震性に関する計算書作成の基本方針
2-20	しゃへい容器付クレーンの耐震性に関する計算書作成の基本方針
2-21	整流板の耐震性に関する計算書作成の基本方針
2-22	流路形成板の耐震性に関する計算書作成の基本方針
2-23	架橋支持貯蔵設備の耐震性に関する計算書作成の基本方針
2-24	円筒形バルスカラムの耐震性に関する計算書作成の基本方針
2-25	バフファチュープ (小口径タイプ)の耐震性に関する計算書作成の基本方針
2-26	充てん塔の耐震性に関する計算書作成の基本方針
2-27	中間支持たて置円筒形容器 (4ラグ支持,コイル付)の耐震性に関する計算書作成の基本方針
2-28	スカート支持たて置円筒形容器 (コイル付)の耐震性に関する計算書作成の基本方針
2-29	ハル洗浄槽の耐震性に関する計算書作成の基本方針
2-30	クラン洗浄塔の耐震性に関する計算書作成の基本方針
2-31	よう素出し塔の耐震性に関する計算書作成の基本方針
2-32	清澄機の耐震性に関する計算書作成の基本方針
2-33	ガラス溶融炉の耐震性に関する計算書作成の基本方針
2-34	セル内クレーンの耐震性に関する計算書作成の基本方針
2-35	ガラス固化体放射能測定装置の耐震性に関する計算書作成の基本方針
2-36	溶解槽の耐震性に関する計算書作成の基本方針
2-37	固化セル移送台車の耐震性に関する計算書作成の基本方針
2-38	高レベル廃液濃縮槽の耐震性に関する計算書作成の基本方針
2-39	バスケット搬送機の耐震性に関する計算書作成の基本方針
2-40	トレンチ移送台車の耐震性に関する計算書作成の基本方針
2-41	貯蔵ホールの耐震性に関する計算書作成の基本方針
2-42	補助油水分離槽の耐震性に関する計算書作成の基本方針
2-43	燃料貯蔵ラックの耐震性に関する計算書作成の基本方針
2-44	バスケット置き架台の耐震性に関する計算書作成の基本方針
2-45	燃料移送水中台車の耐震性に関する計算書作成の基本方針
2-46	プール水冷却系熱交換器の耐震性に関する計算書作成の基本方針
2-47	第1チャンネルボックス切断装置の耐震性に関する計算書作成の基本方針
2-48	第1バーナブルボイズン切断装置の耐震性に関する計算書作成の基本方針
2-49	アルミニウム濃縮槽の耐震性に関する計算書作成の基本方針

構造の違いにより適用式が単純なものも複雑なものに分かれるため、適用式の設定方法に応じて類型化。

<FEMを用いた応力解析による評価を行う設備 (類型化分類) >

分類番号	分類名称	基本方針名称
(1)	JFAG4601の計算式を適用する設備	2-7 環状形槽 (平底たて置)の耐震性に関する計算書作成の基本方針
		2-8 ミキサ・セトラの耐震性に関する計算書作成の基本方針
		2-9 バフファチュープ (2ラグ支持)の耐震性に関する計算書作成の基本方針
		2-10 グローブボックス等の耐震性に関する計算書作成の基本方針
		2-11 平板容器の耐震性に関する計算書作成の基本方針
		2-12 環状形バルスカラムの耐震性に関する計算書作成の基本方針
		2-13 デミスタの耐震性に関する計算書作成の基本方針
		2-17 ラグ支持たて置容器の耐震性に関する計算書作成の基本方針
		2-19 シュートの耐震性に関する計算書作成の基本方針
		2-22 流路形成板の耐震性に関する計算書作成の基本方針
		2-24 円筒形バルスカラムの耐震性に関する計算書作成の基本方針
		2-25 バフファチュープ (小口径タイプ)の耐震性に関する計算書作成の基本方針
		2-26 充てん塔の耐震性に関する計算書作成の基本方針
		2-27 中間支持たて置円筒形容器 (4ラグ支持,コイル付)の耐震性に関する計算書作成の基本方針
		2-28 スカート支持たて置円筒形容器 (コイル付)の耐震性に関する計算書作成の基本方針
		2-29 ハル洗浄槽の耐震性に関する計算書作成の基本方針
		2-30 クラン洗浄塔の耐震性に関する計算書作成の基本方針
		2-31 よう素出し塔の耐震性に関する計算書作成の基本方針
		2-32 清澄機の耐震性に関する計算書作成の基本方針
		(2)
2-34 セル内クレーンの耐震性に関する計算書作成の基本方針		
2-36 溶解槽の耐震性に関する計算書作成の基本方針		
2-38 高レベル廃液濃縮槽の耐震性に関する計算書作成の基本方針		
2-42 補助油水分離槽の耐震性に関する計算書作成の基本方針		
2-46 プール水冷却系熱交換器の耐震性に関する計算書作成の基本方針		
2-49 アルミニウム濃縮槽の耐震性に関する計算書作成の基本方針		
2-14 通風管の耐震性に関する計算書作成の基本方針		
2-15 収納等の耐震性に関する計算書作成の基本方針		
2-16 遮音板の耐震性に関する計算書作成の基本方針		
2-18 クレーン・台車等の耐震性に関する計算書作成の基本方針		
2-20 しゃへい容器付クレーンの耐震性に関する計算書作成の基本方針		
2-21 整流板の耐震性に関する計算書作成の基本方針		
2-23 架橋支持貯蔵設備の耐震性に関する計算書作成の基本方針		
2-35 ガラス固化体放射能測定装置の耐震性に関する計算書作成の基本方針		
2-37 固化セル移送台車の耐震性に関する計算書作成の基本方針		
2-39 バスケット搬送機の耐震性に関する計算書作成の基本方針		
2-40 トレンチ移送台車の耐震性に関する計算書作成の基本方針		
2-41 貯蔵ホールの耐震性に関する計算書作成の基本方針		
2-43 燃料貯蔵ラックの耐震性に関する計算書作成の基本方針		
2-44 バスケット置き架台の耐震性に関する計算書作成の基本方針		
2-45 燃料移送水中台車の耐震性に関する計算書作成の基本方針		
2-47 第1チャンネルボックス切断装置の耐震性に関する計算書作成の基本方針		
2-48 第1バーナブルボイズン切断装置の耐震性に関する計算書作成の基本方針		

FEMの類型化分類：2分類

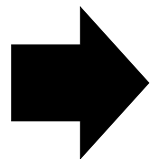
：Bクラス設備に対する計算式については、類型化対象外

今回の整理を踏まえた新旧分類の比較結果を以下に示す。

2022/6/10提出(耐震機電07(R5~R9))までの整理
【評価手法毎の計算式に対する機器の類型化分類】

<定型式による評価を行う設備>

IV-1-2-1 機器の耐震性に関する計算書作成の基本方針	
1-1	中間支持たて置円筒形容器(4ラグ支持,耐震設計上の重要度分類Bクラス)の耐震性に関する計算書作成の基本方針
1-2	中間支持たて置円筒形容器(2ラグ支持,耐震設計上の重要度分類Bクラス)の耐震性に関する計算書作成の基本方針
1-3	中間支持たて置角形容器(2ラグ支持,耐震設計上の重要度分類Bクラス)の耐震性に関する計算書作成の基本方針
1-4	中間支持たて置円筒形容器(1ラグ支持,耐震設計上の重要度分類Bクラス)の耐震性に関する計算書作成の基本方針
1-5	横置一層円筒形容器(耐震設計上の重要度分類Bクラス)の耐震性に関する計算書作成の基本方針
1-6	デミスタ(2脚支持,耐震設計上の重要度分類Bクラス)の耐震性に関する計算書作成の基本方針
1-7	デミスタ(1脚支持,耐震設計上の重要度分類Bクラス)の耐震性に関する計算書作成の基本方針
1-8	平底たて置円筒形容器(耐震設計上の重要度分類Bクラス)の耐震性に関する計算書作成の基本方針
1-9	スカート支持たて置円筒形容器(耐震設計上の重要度分類Bクラス)の耐震性に関する計算書作成の基本方針
1-10	四脚たて置円筒形容器(耐震設計上の重要度分類Bクラス)の耐震性に関する計算書作成の基本方針
1-11	横軸ポンプ(耐震設計上の重要度分類Bクラス)の耐震性に関する計算書作成の基本方針
1-12	たて軸ポンプ(耐震設計上の重要度分類Bクラス)の耐震性に関する計算書作成の基本方針
1-13	フィルタユニット(耐震設計上の重要度分類Bクラス)の耐震性に関する計算書作成の基本方針
1-14	フィルタユニット(しゃへい係一体形,耐震設計上の重要度分類Bクラス)の耐震性に関する計算書作成の基本方針
1-15	溶媒フィルタ(耐震設計上の重要度分類Bクラス)の耐震性に関する計算書作成の基本方針
1-16	中間支持たて置円筒形容器(長手方向2ラグ支持,耐震設計上の重要度分類Bクラス)の耐震性に関する計算書作成の基本方針
1-17	中間支持横置円筒形容器(1ラグ支持,耐震設計上の重要度分類Bクラス)の耐震性に関する計算書作成の基本方針
1-18	上部スカート支持たて置円筒形容器(耐震設計上の重要度分類Bクラス)の耐震性に関する計算書作成の基本方針
1-19	天板クレーン(耐震設計上の重要度分類Bクラス)の耐震性に関する計算書作成の基本方針
1-20	中間支持たて置円筒形容器(4ラグ支持)の耐震性に関する計算書作成の基本方針
1-21	中間支持たて置円筒形容器(2ラグ支持)の耐震性に関する計算書作成の基本方針
1-22	中間支持たて置角形容器(2ラグ支持)の耐震性に関する計算書作成の基本方針
1-23	中間支持たて置円筒形容器(コイル付)の耐震性に関する計算書作成の基本方針
1-24	中間支持たて置円筒形容器(1ラグ支持)の耐震性に関する計算書作成の基本方針
1-25	横置一層円筒形容器の耐震性に関する計算書作成の基本方針
1-26	横置一層円筒形容器(3脚以上支持)の耐震性に関する計算書作成の基本方針
1-27	デミスタ(2脚支持)の耐震性に関する計算書作成の基本方針
1-28	デミスタ(1脚支持)の耐震性に関する計算書作成の基本方針
1-29	平底たて置円筒形容器の耐震性に関する計算書作成の基本方針
1-30	スカート支持たて置円筒形容器の耐震性に関する計算書作成の基本方針
1-31	四脚たて置円筒形容器の耐震性に関する計算書作成の基本方針
1-32	横軸ポンプの耐震性に関する計算書作成の基本方針
1-33	ディーゼル機関・発電機の耐震性に関する計算書作成の基本方針
1-34	たて軸ポンプの耐震性に関する計算書作成の基本方針
1-35	フィルタユニットの耐震性に関する計算書作成の基本方針
1-36	フィルタユニット(しゃへい係一体形)の耐震性に関する計算書作成の基本方針
1-37	矩形電気計装設備の耐震性に関する計算書作成の基本方針
1-38	プレート式熱交換器の耐震性に関する計算書作成の基本方針
1-39	箱体付構造設備の耐震性に関する計算書作成の基本方針
1-40	固定式クレーンの耐震性に関する計算書作成の基本方針
1-41	昇降装置の耐震性に関する計算書作成の基本方針
1-43	中間支持たて置円筒形容器(長手方向2ラグ支持)の耐震性に関する計算書作成の基本方針
1-44	燃料収蔵ラックの耐震性に関する計算書作成の基本方針
1-45	溶媒フィルタの耐震性に関する計算書作成の基本方針



<FEMを用いた応力解析による評価を行う設備(共通式)>

IV-1-2-1 機器の耐震性に関する計算書作成の基本方針	
2-1	念知板の耐震性に関する計算書作成の基本方針
2-2	環状形槽(平底たて置,耐震設計上の重要度分類Bクラス)の耐震性に関する計算書作成の基本方針
2-3	ミニヤ・セトラ(耐震設計上の重要度分類Bクラス)の耐震性に関する計算書作成の基本方針
2-4	バツファチューブ(耐震設計上の重要度分類Bクラス)の耐震性に関する計算書作成の基本方針
2-5	円筒形バルスカラム(耐震設計上の重要度分類Bクラス)の耐震性に関する計算書作成の基本方針
2-6	バツファチューブ(小径タイプ,耐震設計上の重要度分類Bクラス)の耐震性に関する計算書作成の基本方針
2-7	環状形槽(平底たて置)の耐震性に関する計算書作成の基本方針
2-8	ミニヤ・セトラの耐震性に関する計算書作成の基本方針
2-9	バツファチューブ(2ラグ支持)の耐震性に関する計算書作成の基本方針
2-10	グローブボックス等の耐震性に関する計算書作成の基本方針
2-11	平板容器の耐震性に関する計算書作成の基本方針
2-12	環状形バルスカラムの耐震性に関する計算書作成の基本方針
2-13	デミスタの耐震性に関する計算書作成の基本方針
2-14	通風管の耐震性に関する計算書作成の基本方針
2-15	収納管の耐震性に関する計算書作成の基本方針
2-16	送路板の耐震性に関する計算書作成の基本方針
2-17	ラグ支持たて置容器の耐震性に関する計算書作成の基本方針
2-18	クレーン・台車類の耐震性に関する計算書作成の基本方針
2-19	シートの耐震性に関する計算書作成の基本方針
2-20	しゃへい容器付クレーンの耐震性に関する計算書作成の基本方針
2-21	搬送板の耐震性に関する計算書作成の基本方針
2-22	成形板の耐震性に関する計算書作成の基本方針
2-23	架橋支持貯蔵設備の耐震性に関する計算書作成の基本方針
2-24	円筒形バルスカラムの耐震性に関する計算書作成の基本方針
2-25	バツファチューブ(小径タイプ)の耐震性に関する計算書作成の基本方針
2-26	バツファチューブ(小径タイプ)の耐震性に関する計算書作成の基本方針
2-27	平底たて置の耐震性に関する計算書作成の基本方針
2-28	中間支持たて置円筒形容器(4ラグ支持,コイル付)の耐震性に関する計算書作成の基本方針
2-29	スカート支持たて置円筒形容器(コイル付)の耐震性に関する計算書作成の基本方針

<FEMを用いた応力解析による評価を行う設備(個別式)>

IV-1-1-10 機器の耐震支持方針【設備個別の計算式の種類】	
1	ハル洗浄槽
2	クラン洗浄槽
3	よう薬出し塔
4	溶媒機
5	ガス溶融炉
6	セル内クーラ
7	ガス固化体放射線測定装置
8	耐酸槽
9	固化セル移送台車
10	高圧液流装置
11	バスケット搬送機
12	トレンチ移送台車
13	貯蔵ホール
14	補助油水分離槽
15	燃料貯蔵ラック
16	バスケット搬送台車
17	燃料移送台車
18	プレート冷却系熱交換器
19	第1チャンネルボックス切断装置
20	第1バーナブルボイラ切断装置
21	ブルトニウム濃縮缶

：Bクラス設備に対する計算式については、類型化対象外

耐震機電07(R10)以降の整理

【基本方針に対する機器の類型化分類】

<定型式による評価を行う設備>

分類番号	分類名称	基本方針名称	旧分類	2022/6/10提出時からの整理内容
(1)	たて置円筒形容器	1-30 スカート支持たて置円筒形容器の耐震性に関する計算書作成の基本方針	1-30	再整理：形状に応じた支持方法により類型化。
		1-45 溶媒フィルタの耐震性に関する計算書作成の基本方針	1-45	再整理：形状に応じた支持方法により類型化。
		1-29 平底たて置円筒形容器の耐震性に関する計算書作成の基本方針	1-29	再整理：形状に応じた支持方法により類型化。
		1-23 中間支持たて置円筒形容器(フランジ固定)の耐震性に関する計算書作成の基本方針	1-23	再整理：形状に応じた支持方法により類型化。
(2)	軸直角方向支持容器	1-25 横置一層円筒形容器の耐震性に関する計算書作成の基本方針	1-25	再整理：形状に応じた支持方法により類型化。
		1-26 横置一層円筒形容器(3脚以上支持)の耐震性に関する計算書作成の基本方針	1-26	再整理：形状に応じた支持方法により類型化。
		1-27 デミスタ(2脚支持)の耐震性に関する計算書作成の基本方針	1-27	再整理：形状に応じた支持方法により類型化。
		1-28 デミスタ(1脚支持)の耐震性に関する計算書作成の基本方針	1-28	再整理：形状に応じた支持方法により類型化。
(3)	ラグ支持たて置円筒形容器	1-24 中間支持たて置円筒形容器(1ラグ支持)の耐震性に関する計算書作成の基本方針	1-24	再整理：形状に応じた支持方法により類型化。
		1-43 中間支持たて置円筒形容器(長手方向2ラグ支持)の耐震性に関する計算書作成の基本方針	1-43	再整理：形状に応じた支持方法により類型化。
(4)	縦軸ポンプ	1-20 中間支持たて置円筒形容器(4ラグ支持)の耐震性に関する計算書作成の基本方針	1-20	再整理：形状に応じた支持方法により類型化。
		1-21 中間支持たて置円筒形容器(2ラグ支持)の耐震性に関する計算書作成の基本方針	1-21	再整理：形状に応じた支持方法により類型化。
		1-31 四脚たて置円筒形容器の耐震性に関する計算書作成の基本方針	1-31	再整理：形状に応じた支持方法により類型化。
		1-32 横軸ポンプの耐震性に関する計算書作成の基本方針	1-32	再整理：形状に応じた支持方法により類型化。
(5)	ボルト支持剛体設備	1-33 ディーゼル機関・発電機の耐震性に関する計算書作成の基本方針	1-33	再整理：形状に応じた支持方法により類型化。
		1-37 矩形電気計装設備の耐震性に関する計算書作成の基本方針	1-37	再整理：形状に応じた支持方法により類型化。
		1-34 たて軸ポンプの耐震性に関する計算書作成の基本方針	1-34	再整理：形状に応じた支持方法により類型化。
		1-35 フィルタユニットの耐震性に関する計算書作成の基本方針	1-35	再整理：形状に応じた支持方法により類型化。
(6)	昇降設備	1-36 フィルタユニット(しゃへい係一体形)の耐震性に関する計算書作成の基本方針	1-36	再整理：形状に応じた支持方法により類型化。
		1-42 昇降装置の耐震性に関する計算書作成の基本方針	1-42	再整理：形状に応じた支持方法により類型化。
(7)	はり構造設備	1-44 燃料収蔵ラックの耐震性に関する計算書作成の基本方針	1-44	再整理：形状に応じた支持方法により類型化。
		1-39 箱体付構造設備の耐震性に関する計算書作成の基本方針	1-39	再整理：形状に応じた支持方法により類型化。
		1-41 固定式クレーンの耐震性に関する計算書作成の基本方針	1-41	再整理：形状に応じた支持方法により類型化。
		1-40 箱体付構造設備(架橋支持)の耐震性に関する計算書作成の基本方針	1-40	再整理：形状に応じた支持方法により類型化。
(8)	平板構造設備	1-22 環状形バルスカラムの耐震性に関する計算書作成の基本方針	1-22	再整理：形状に応じた支持方法により類型化。
		1-38 プレート式熱交換器の耐震性に関する計算書作成の基本方針	1-38	再整理：形状に応じた支持方法により類型化。

<FEMを用いた応力解析による評価を行う設備(類型化分類)>

分類番号	分類名称	基本方針名称	旧分類	2022/6/10提出時からの整理内容
(1)	JIS規格の計算式を適用する設備	2-7 環状形槽(平底たて置)の耐震性に関する計算書作成の基本方針	2-7	再整理：適用式の設定方法により類型化。
		2-8 ミニヤ・セトラの耐震性に関する計算書作成の基本方針	2-8	再整理：適用式の設定方法により類型化。
		2-9 バツファチューブ(2ラグ支持)の耐震性に関する計算書作成の基本方針	2-9	再整理：適用式の設定方法により類型化。
		2-11 平板容器の耐震性に関する計算書作成の基本方針	2-11	再整理：適用式の設定方法により類型化。
		2-12 環状形バルスカラムの耐震性に関する計算書作成の基本方針	2-12	再整理：適用式の設定方法により類型化。
		2-13 デミスタの耐震性に関する計算書作成の基本方針	2-13	再整理：適用式の設定方法により類型化。
		2-17 ラグ支持たて置容器の耐震性に関する計算書作成の基本方針	2-17	再整理：適用式の設定方法により類型化。
		2-19 シュートの耐震性に関する計算書作成の基本方針	2-19	再整理：適用式の設定方法により類型化。
		2-22 渡路板の耐震性に関する計算書作成の基本方針	2-22	再整理：適用式の設定方法により類型化。
		2-24 円筒形バルスカラムの耐震性に関する計算書作成の基本方針	2-24	再整理：適用式の設定方法により類型化。
		2-25 バツファチューブ(小径タイプ)の耐震性に関する計算書作成の基本方針	2-25	再整理：適用式の設定方法により類型化。
		2-26 平底たて置の耐震性に関する計算書作成の基本方針	2-26	再整理：適用式の設定方法により類型化。
		2-27 中間支持たて置円筒形容器(4ラグ支持,コイル付)の耐震性に関する計算書作成の基本方針	2-27	再整理：適用式の設定方法により類型化。
		2-28 スカート支持たて置円筒形容器(コイル付)の耐震性に関する計算書作成の基本方針	2-28	再整理：適用式の設定方法により類型化。
		2-29 ハル洗浄槽の耐震性に関する計算書作成の基本方針	1(個別式)	再整理：適用式の設定方法により類型化。計算式は基本方針上に示すことで整理した。
		2-30 クラン洗浄槽の耐震性に関する計算書作成の基本方針	2(個別式)	再整理：適用式の設定方法により類型化。計算式は基本方針上に示すことで整理した。
		2-31 よう薬出し塔の耐震性に関する計算書作成の基本方針	3(個別式)	再整理：適用式の設定方法により類型化。計算式は基本方針上に示すことで整理した。
		2-32 溶媒機の耐震性に関する計算書作成の基本方針	4(個別式)	再整理：適用式の設定方法により類型化。計算式は基本方針上に示すことで整理した。
		2-33 ガラス溶融炉の耐震性に関する計算書作成の基本方針	5(個別式)	再整理：適用式の設定方法により類型化。計算式は基本方針上に示すことで整理した。
		2-34 セル内クーラの耐震性に関する計算書作成の基本方針	6(個別式)	再整理：適用式の設定方法により類型化。計算式は基本方針上に示すことで整理した。
		2-36 耐酸槽の耐震性に関する計算書作成の基本方針	8(個別式)	再整理：適用式の設定方法により類型化。計算式は基本方針上に示すことで整理した。
		2-38 高圧液流装置の耐震性に関する計算書作成の基本方針	10(個別式)	再整理：適用式の設定方法により類型化。計算式は基本方針上に示すことで整理した。
		2-42 補助油水分離槽の耐震性に関する計算書作成の基本方針	14(個別式)	再整理：適用式の設定方法により類型化。計算式は基本方針上に示すことで整理した。
		2-46 プレート冷却系熱交換器の耐震性に関する計算書作成の基本方針	18(個別式)	再整理：適用式の設定方法により類型化。計算式は基本方針上に示すことで整理した。
2-49 ブルトニウム濃縮缶の耐震性に関する計算書作成の基本方針	21(個別式)	再整理：適用式の設定方法により類型化。計算式は基本方針上に示すことで整理した。		
(2)	材料力学等の計算式を適用する設備	2-1 溶媒機の耐震性に関する計算書作成の基本方針	2-1	再整理：適用式の設定方法により類型化。
		2-14 送風管の耐震性に関する計算書作成の基本方針	2-14	再整理：適用式の設定方法により類型化。
		2-15 収納管の耐震性に関する計算書作成の基本方針	2-15	再整理：適用式の設定方法により類型化。
		2-16 送路板の耐震性に関する計算書作成の基本方針	2-16	再整理：適用式の設定方法により類型化。
		2-18 クレーン・台車類の耐震性に関する計算書作成の基本方針	2-18	再整理：適用式の設定方法により類型化。
		2-20 しゃへい容器付クレーンの耐震性に関する計算書作成の基本方針	2-20	再整理：適用式の設定方法により類型化。
		2-21 搬送板の耐震性に関する計算書作成の基本方針	2-21	再整理：適用式の設定方法により類型化。
		2-23 架橋支持貯蔵設備の耐震性に関する計算書作成の基本方針	2-23	再整理：適用式の設定方法により類型化。
		2-35 ガラス固化体放射線測定装置の耐震性に関する計算書作成の基本方針	7(個別式)	再整理：適用式の設定方法により類型化。計算式は基本方針上に示すことで整理した。
		2-37 固化セル移送台車の耐震性に関する計算書作成の基本方針	9(個別式)	再整理：適用式の設定方法により類型化。計算式は基本方針上に示すことで整理した。
		2-39 バスケット搬送機の耐震性に関する計算書作成の基本方針	11(個別式)	再整理：適用式の設定方法により類型化。計算式は基本方針上に示すことで整理した。
		2-40 トレンチ移送台車の耐震性に関する計算書作成の基本方針	12(個別式)	再整理：適用式の設定方法により類型化。計算式は基本方針上に示すことで整理した。
		2-41 貯蔵ホールの耐震性に関する計算書作成の基本方針	13(個別式)	再整理：適用式の設定方法により類型化。計算式は基本方針上に示すことで整理した。
		2-43 燃料貯蔵ラックの耐震性に関する計算書作成の基本方針	15(個別式)	再整理：適用式の設定方法により類型化。計算式は基本方針上に示すことで整理した。
		2-44 バスケット搬送台車の耐震性に関する計算書作成の基本方針	16(個別式)	再整理：適用式の設定方法により類型化。計算式は基本方針上に示すことで整理した。
		2-45 燃料移送台車中の耐震性に関する計算書作成の基本方針	17(個別式)	再整理：適用式の設定方法により類型化。計算式は基本方針上に示すことで整理した。
2-47 第1チャンネルボックス切断装置の耐震性に関する計算書作成の基本方針	19(個別式)	再整理：適用式の設定方法により類型化。計算式は基本方針上に示すことで整理した。		
2-48 第1バーナブルボイラ切断装置の耐震性に関する計算書作成の基本方針	20(個別式)	再整理：適用式の設定方法により類型化。計算式は基本方針上に示すことで整理した。		

<機器の分類数推移まとめ>

総分類数	: 77分類	2021/7/20時点	94分類	2022/6/10まで	10分類	2022/8/2以降
Bクラス	: 24分類		24分類		-	
定型式	: 32分類		26分類		8分類	
FEM	: 21分類		23分類(共通式)		2分類	
			21分類(個別式)			

本資料の目的は、6月24日のヒアリングにて指摘のあった類型化分類を用いた計算式の説明方法を示すことである。添付資料としては後次回申請にて申請する基本方針に係る範囲であるため、計算式の適用性及び出典の妥当性に対する根拠書を示した上で、類似する計算式の比較表に対するサンプルとして、評価手法ごとの一例を示す。

以下に、計算式の根拠書及び比較表(添付-3-1~3-4)の一覧表とサンプルを示す資料番号について示す。

添付-3-1 各分類の計算式に対する根拠書(定型式による評価)

評価手法	説明内容	添付番号	名称	サンプルを示す資料番号
定型式による評価	[根拠書] 計算式の適用性及び出典元	添付-3-1-1	定型式による評価に用いる計算式の適用性及び出典(定型式(6)昇降設備)	-
		添付-3-1-2	定型式による評価に用いる計算式の適用性及び出典(定型式(7)はり構造設備)	参考資料-2-1* ¹
		添付-3-1-3	定型式による評価に用いる計算式の適用性及び出典(定型式(8)平板構造設備)	-

添付-3-2 各分類の計算式に対する比較表(定型式による評価)

評価手法	説明内容	添付番号	名称	サンプルを示す資料番号
定型式による評価	[比較表] 計算式及び類似の計算式におけるパラメータの違い	添付-3-2-1	定型式による評価に用いる類似する計算式の観点(定型式(1)たて置円筒形容器)	-
		添付-3-2-2	定型式による評価に用いる類似する計算式の観点(定型式(2)軸直角方向支持容器)	参考資料-2-2-2* ²
		添付-3-2-3	定型式による評価に用いる類似する計算式の観点(定型式(3)ラグ支持たて置円筒形容器)	-
		添付-3-2-4	定型式による評価に用いる類似する計算式の観点(定型式(5)ボルト支持剛体設備)	-
		添付-3-2-5	定型式による評価に用いる類似する計算式の観点(定型式(7)はり構造設備)	参考資料-2-2-1* ¹
		添付-3-2-6	定型式による評価に用いる類似する計算式の観点(定型式(8)平板構造設備)	-

添付-3-3 各分類の計算式に対する根拠書(FEM等を用いた応力解析による評価)

評価手法	説明内容	添付番号	名称	サンプルを示す資料番号
FEM等を用いた応力解析による評価	[根拠書] 計算式の適用性及び出典元	添付-3-3-1	FEM等を用いた応力解析による評価に用いる計算式の適用性及び出典(JEAG4601の計算式を適用する設備)	参考資料-2-3-1
		添付-3-3-2	FEM等を用いた応力解析による評価に用いる計算式の適用性及び出典(材料力学等の計算式を適用する設備)	参考資料-2-3-2

添付-3-4 各分類の計算式に対する根拠書(FEM等を用いた応力解析による評価)

評価手法	説明内容	添付番号	名称	サンプルを示す資料番号
配管多質点系はりモデルによる評価	[根拠書] 計算式の適用性及び出典元	添付-3-4	配管多質点系はりモデルによる評価に用いる計算式の適用性及び出典	(参考資料-2-3-1)* ³

注記 *1:本資料では、定型式のうちJEAG以外の式を適用した場合の計算式を用いている基本方針について、計算式の適用根拠を参考資料-2-1として示し、類似する計算式のパラメータによる差異の比較表を参考資料-2-2-1として示す。

*2:本資料では、定型式のうちJEAG式のみを適用した場合の計算式を用いている基本方針について、類似する計算式のパラメータによる差異の比較表を参考資料-2-2-2として示す。

*3:配管多質点系はりモデル評価に用いる計算式は、複数の基本式を組み合わせたJEAG式を適用するため、FEM等を用いた応力解析による評価に該当するその場合、根拠の示し方としてはFEM等を用いた応力解析による評価と同様の示し方となるため、今回の対応としてはFEMの複雑な式を示す参考資料-2-をサンプルとする。

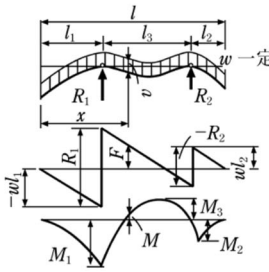
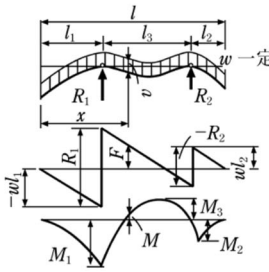
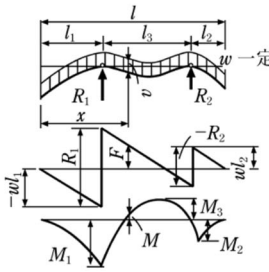
参考資料－２－１

定型式による評価に用いる計算式の適用性及び出典

(定型式(7) はり構造設備)

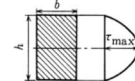
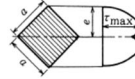
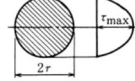
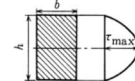
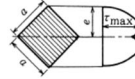
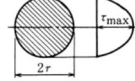
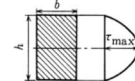
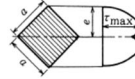
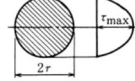
別紙 1-44 燃料仮置きラックの耐震性に関する計算書作成の基本方針	機械工学便覧及び鋼構造設計規準等
<div data-bbox="203 272 1099 512" style="border: 1px solid black; padding: 5px;"> <p>定型式による評価に用いる計算式の出典について、本体が型鋼などの支持構造物で構成された「別紙 1-44 躯体付構造設備(架構支持)の耐震計算書作成の基本方針」を代表として示す。</p> </div> <p style="margin-top: 20px;">IV－１－２－１ 別紙 1－44 燃料仮置きラックの耐震性に関する 計算書作成の基本方針</p>	

別紙 1-44 燃料仮置きラックの耐震性に関する計算書作成の基本方針	機械工学便覧及び鋼構造設計規準等																						
<div data-bbox="203 272 1099 651" style="border: 1px solid black; padding: 5px;"> <ul style="list-style-type: none"> ・本設備に適用する各計算式については、機械工学便覧及び鋼構造設計規準等に示されている計算式を基に設定しており、各計算式に対する根拠について説明を行う。 ・定型式の計算方法を示す別紙 1 は、下記に示す目次の内容で構成されている。このうち、計算式は 3.1.4 応力の計算方法の(3.1.4.1-1)式から(3.1.4.3-5)式に応力計算式が示されることから、本項目の記載を抜粋した上で計算式の出典を示す。 </div> <div data-bbox="203 683 1099 1305" style="text-align: center; margin-top: 20px;"> <p>目 次</p> <table style="width: 100%; border-collapse: collapse;"> <thead> <tr> <th style="width: 80%;"></th> <th style="width: 20%; text-align: right;">ページ</th> </tr> </thead> <tbody> <tr> <td>1. 概要</td> <td style="text-align: right;">1</td> </tr> <tr> <td>2. 準拠規格</td> <td style="text-align: right;">1</td> </tr> <tr> <td>3. 構造強度評価</td> <td style="text-align: right;">2</td> </tr> <tr> <td> 3.1 計算方法</td> <td style="text-align: right;">2</td> </tr> <tr> <td> 3.1.1 計算条件</td> <td style="text-align: right;">2</td> </tr> <tr> <td> 3.1.2 記号の説明</td> <td style="text-align: right;">3</td> </tr> <tr> <td> 3.1.3 固有周期の計算方法</td> <td style="text-align: right;">5</td> </tr> <tr style="border: 2px solid blue;"> <td> 3.1.4 応力の計算方法</td> <td style="text-align: right;">7</td> </tr> <tr> <td> 3.2 評価</td> <td style="text-align: right;">8</td> </tr> <tr> <td>4. 耐震計算書のフォーマット</td> <td style="text-align: right;">8</td> </tr> </tbody> </table> </div>		ページ	1. 概要	1	2. 準拠規格	1	3. 構造強度評価	2	3.1 計算方法	2	3.1.1 計算条件	2	3.1.2 記号の説明	3	3.1.3 固有周期の計算方法	5	3.1.4 応力の計算方法	7	3.2 評価	8	4. 耐震計算書のフォーマット	8	
	ページ																						
1. 概要	1																						
2. 準拠規格	1																						
3. 構造強度評価	2																						
3.1 計算方法	2																						
3.1.1 計算条件	2																						
3.1.2 記号の説明	3																						
3.1.3 固有周期の計算方法	5																						
3.1.4 応力の計算方法	7																						
3.2 評価	8																						
4. 耐震計算書のフォーマット	8																						

別紙 1-44 燃料仮置きラックの耐震性に関する計算書作成の基本方針	機械工学便覧及び鋼構造設計規準等						
<p>3.1.4 応力の計算方法</p> <p>3.1.4.1 ラック箱の応力</p> <p>(1) 曲げ応力</p> <p>曲げモーメントは、次式で表される。</p> <div style="border: 2px solid blue; padding: 5px; width: fit-content; margin: 10px auto;"> $M_i = \frac{C_{Hi} \omega_i l_i}{2 l_{2i}} (l_{1i} + l_{2i} - l_{3i}) \left\{ \frac{l_i}{4 l_{2i}} (l_{1i} + l_{2i} - l_{3i}) - l_{1i} \right\}$ </div> <p style="text-align: right;">..... (3.1.4.1-1)</p> <p>曲げ応力は、次式で表される。</p> $\sigma_{1i} = \frac{M_i}{Z_i} \quad \text{..... (3.1.4.1-2)}$	<p>左記の計算式は、機械工学便覧に示されている材料力学の曲げモーメントの計算式を適用している。</p> $M_i = \frac{C_{Hi} \omega_i l_i}{2 l_{2i}} (l_{1i} + l_{2i} - l_{3i}) \times \left\{ \frac{l_i}{4 l_{2i}} (l_{1i} + l_{2i} - l_{3i}) - l_{1i} \right\}$ <p>ここで、 $C_{Hi} \omega_i$: ラックに作用する等分布荷重 l_i : ラックのはり長さ又は各支持スパン長さ</p> <p>なお、式の形は異なるが荷重算出位置を踏まえて式を変形しているものであり、算出式は同じである。</p> <div style="border: 1px solid black; padding: 5px; margin-top: 20px;"> <p style="text-align: center;">機械工学便覧 抜粋</p> <p style="text-align: center;">表 3・2 はりの図表 (その 4)</p> <table border="1" style="width: 100%; border-collapse: collapse;"> <thead> <tr> <th style="width: 33%;">荷重、弾性線、せん断力図および曲げモーメント図</th> <th style="width: 33%;">反力 R およびせん断力 F</th> <th style="width: 33%;">曲げモーメント M</th> </tr> </thead> <tbody> <tr> <td style="text-align: center;">  </td> <td style="vertical-align: top;"> $R_1 = \frac{wl}{2l_3}(l-2l_2)$ $R_2 = \frac{wl}{2l_3}(l-2l_1)$ $R_1 + R_2 = wl$ $F = -wx + R_1 U(x-l_1) + R_2 U(x-l_1-l_3)$ </td> <td style="vertical-align: top;"> <div style="border: 2px solid blue; padding: 2px; margin-bottom: 5px;"> $M = -\frac{w}{2}x^2 + R_1 \langle x - l_1 \rangle + R_2 \langle x - l_1 - l_3 \rangle$ </div> $M_1 = -\frac{wl_1^2}{2}$ $M_2 = -\frac{wl_2^2}{2}$ $M_3 = \frac{wl}{8l_3^2}(l-2l_1) \times (l-2l_2)(l-2l_1-2l_2)$... ($x = R_1/w$) </td> </tr> </tbody> </table> </div>	荷重、弾性線、せん断力図および曲げモーメント図	反力 R およびせん断力 F	曲げモーメント M		$R_1 = \frac{wl}{2l_3}(l-2l_2)$ $R_2 = \frac{wl}{2l_3}(l-2l_1)$ $R_1 + R_2 = wl$ $F = -wx + R_1 U(x-l_1) + R_2 U(x-l_1-l_3)$	<div style="border: 2px solid blue; padding: 2px; margin-bottom: 5px;"> $M = -\frac{w}{2}x^2 + R_1 \langle x - l_1 \rangle + R_2 \langle x - l_1 - l_3 \rangle$ </div> $M_1 = -\frac{wl_1^2}{2}$ $M_2 = -\frac{wl_2^2}{2}$ $M_3 = \frac{wl}{8l_3^2}(l-2l_1) \times (l-2l_2)(l-2l_1-2l_2)$... ($x = R_1/w$)
荷重、弾性線、せん断力図および曲げモーメント図	反力 R およびせん断力 F	曲げモーメント M					
	$R_1 = \frac{wl}{2l_3}(l-2l_2)$ $R_2 = \frac{wl}{2l_3}(l-2l_1)$ $R_1 + R_2 = wl$ $F = -wx + R_1 U(x-l_1) + R_2 U(x-l_1-l_3)$	<div style="border: 2px solid blue; padding: 2px; margin-bottom: 5px;"> $M = -\frac{w}{2}x^2 + R_1 \langle x - l_1 \rangle + R_2 \langle x - l_1 - l_3 \rangle$ </div> $M_1 = -\frac{wl_1^2}{2}$ $M_2 = -\frac{wl_2^2}{2}$ $M_3 = \frac{wl}{8l_3^2}(l-2l_1) \times (l-2l_2)(l-2l_1-2l_2)$... ($x = R_1/w$)					

別紙 1-44 燃料仮置きラックの耐震性に関する計算書作成の基本方針	機械工学便覧及び鋼構造設計規準等
<p>3.1.4 応力の計算方法</p> <p>3.1.4.1 ラック箱の応力</p> <p>(1) 曲げ応力</p> <p>曲げモーメントは、次式で表される。</p> $M_i = \frac{C_{H_i} \omega_i l_i}{2 l_{z_i}} (l_{1_i} + l_{2_i} - l_{3_i}) \left\{ \frac{l_i}{4 l_{z_i}} (l_{1_i} + l_{2_i} - l_{3_i}) - l_{1_i} \right\} \dots\dots\dots (3.1.4.1-1)$ <p>曲げ応力は、次式で表される。</p> <div style="border: 2px solid blue; padding: 5px; display: inline-block;"> $\sigma_{1_i} = \frac{M_i}{Z_i} \dots\dots\dots (3.1.4.1-2)$ </div>	<p>左記の計算式は、機械工学便覧に示されている材料力学の曲げモーメントによる応力の計算式を適用している。</p> <p>σ_{1_i} : 曲げ応力</p> $\sigma_{1_i} = \frac{M_i}{Z_i}$ <p>ここで、 M_i : 部材に作用するモーメント Z_i : 部材の断面係数</p> <div style="border: 2px solid black; padding: 10px; margin-top: 20px;"> <p style="text-align: center;">機械工学便覧 抜粋</p> <p>3・3 はりの曲げモーメントによる応力</p> <p>はりが曲げモーメントだけを受ける場合、このはりを単純はり (simple beam) という。単純はりの横断面は、曲げを受けた後にも平面を保つが、この面には垂直に図3・13に示す直線的な分布の曲げ応力が生じる。曲がったはりの凸表面には引張ひずみが生じ、凹表面には圧縮ひずみが生じるから、その中間に伸縮のない面があり、これを中立面という。中立面が横断面と交わる直線を断面の中立軸という。はりが塑性変形を起こさない限り、断面の中立軸は断面の図心を通り、また、荷重の作用線と断面の主軸の一つが一致する場合は荷重の作用線と直交する (3・6節参照)。</p> <p>単純はりでは、横断面内の任意の点の垂直応力は、M をその断面に働く曲げモーメント、y を断面の中立軸 NN から考える点までの距離、I を断面の中立軸に関する断面二次モーメントとすれば、</p> $\sigma = My/I \quad (3-14)$ <p>で与えられる。この応力は、y が最大になる点で最大となる。引張りと圧縮の最大応力を σ_1、σ_2 とし、e_1、e_2 を y の引張側および圧縮側の最大値とすれば、</p> <div style="border: 2px solid blue; padding: 5px; display: inline-block;"> $\sigma_1 = Me_1/I = M/Z_1$ </div> $\sigma_2 = -Me_2/I = -M/Z_2 \quad (3-15)$ </div>

別紙 1-44 燃料仮置きラックの耐震性に関する計算書作成の基本方針	機械工学便覧及び鋼構造設計規準等						
<p>(2) せん断応力 せん断力は、次式で表される。</p> <div style="border: 1px solid black; padding: 5px; display: inline-block;"> $F_i = \frac{C_{Hi}\omega_i}{2l_{2i}}(l_{2i}^2 + l_{3i}^2 - l_{1i}^2) \dots\dots\dots (3.1.4.1-3)$ </div> <p>せん断応力は、次式で表される。</p> $\tau_{1i} = \frac{F_i}{A_{1i}} \dots\dots\dots (3.1.4.1-4)$	<p>左記の計算式は、機械工学便覧に示されている材料力学の反力の計算式を適用している。</p> $F_i = \frac{C_{Hi}\omega_i}{2l_{2i}}(l_{2i}^2 + l_{3i}^2 - l_{1i}^2)$ <p>ここで、 $C_{Hi}\omega_i$: ラックに作用する等分布荷重 l_1 : ラックのはり長さ又は各支持スパン長さ</p> <p>なお、式の形は異なるが荷重算出位置を踏まえて式を変形しているものであり、算出式は同じである。</p> <div style="border: 1px solid black; padding: 5px; margin-top: 10px;"> <p style="text-align: center;">機械工学便覧 抜粋</p> <p style="text-align: center;">表 3・2 はりの図表 (その 4)</p> <table border="1" style="width: 100%; border-collapse: collapse;"> <thead> <tr> <th style="width: 33%;">荷重、弾性線、せん断力図 および曲げモーメント図</th> <th style="width: 33%;">反力 R および せん断力 F</th> <th style="width: 33%;">曲げモーメント M</th> </tr> </thead> <tbody> <tr> <td style="text-align: center;"> </td> <td style="text-align: center;"> $R_1 = \frac{wl}{2l_3}(l-2l_2)$ $R_2 = \frac{wl}{2l_3}(l-2l_1)$ $R_1 + R_2 = wl$ $F = -wx + R_1U(x-l_1) + R_2U(x-l_1-l_3)$ </td> <td style="text-align: center;"> $M = -\frac{w}{2}x^2 + R_1\langle x-l_1 \rangle + R_2\langle x-l_1-l_3 \rangle$ $M_1 = -\frac{wl^2}{2}$ $M_2 = -\frac{wl_2^2}{2}$ $M_3 = \frac{wl}{8l_3^2}(l-2l_1) \times (l-2l_2)(l-2l_1-2l_2) \dots(x=R_1/w)$ </td> </tr> </tbody> </table> </div>	荷重、弾性線、せん断力図 および曲げモーメント図	反力 R および せん断力 F	曲げモーメント M		$R_1 = \frac{wl}{2l_3}(l-2l_2)$ $R_2 = \frac{wl}{2l_3}(l-2l_1)$ $R_1 + R_2 = wl$ $F = -wx + R_1U(x-l_1) + R_2U(x-l_1-l_3)$	$M = -\frac{w}{2}x^2 + R_1\langle x-l_1 \rangle + R_2\langle x-l_1-l_3 \rangle$ $M_1 = -\frac{wl^2}{2}$ $M_2 = -\frac{wl_2^2}{2}$ $M_3 = \frac{wl}{8l_3^2}(l-2l_1) \times (l-2l_2)(l-2l_1-2l_2) \dots(x=R_1/w)$
荷重、弾性線、せん断力図 および曲げモーメント図	反力 R および せん断力 F	曲げモーメント M					
	$R_1 = \frac{wl}{2l_3}(l-2l_2)$ $R_2 = \frac{wl}{2l_3}(l-2l_1)$ $R_1 + R_2 = wl$ $F = -wx + R_1U(x-l_1) + R_2U(x-l_1-l_3)$	$M = -\frac{w}{2}x^2 + R_1\langle x-l_1 \rangle + R_2\langle x-l_1-l_3 \rangle$ $M_1 = -\frac{wl^2}{2}$ $M_2 = -\frac{wl_2^2}{2}$ $M_3 = \frac{wl}{8l_3^2}(l-2l_1) \times (l-2l_2)(l-2l_1-2l_2) \dots(x=R_1/w)$					

別紙 1-44 燃料仮置きラックの耐震性に関する計算書作成の基本方針	機械工学便覧及び鋼構造設計規準等												
<p>(2) せん断応力 せん断力は、次式で表される。</p> $F_i = \frac{C_{Hi}\omega_i}{2l_{zi}}(l_{zi}^2 + l_{3i}^2 - l_{1i}^2) \dots\dots\dots (3.1.4.1-3)$ <p>せん断応力は、次式で表される。</p> <div style="border: 2px solid blue; padding: 5px; display: inline-block;"> $\tau_{1i} = \frac{F_i}{A_{1i}} \dots\dots\dots (3.1.4.1-4)$ </div>	<p>左記の計算式は、機械工学便覧に示されている材料力学のせん断荷重による応力の計算式を適用している。</p> <p>τ : せん断応力</p> $\tau_{1i} = \frac{F_i}{A_{1i}}$ <p>ここで、 F_i : ラック箱に作用するせん断荷重 A_{1i} : ラック箱の断面積</p> <p>計算方法の引用元となる機械工学便覧の式は下記式である。</p> $\tau = \frac{3 F}{2 A} \leftarrow$ <p>ここで、 F_i は F と同じであり、 A_{1i} は上式における $\frac{2}{3} A$ に当たることから、記号及び断面積の取り方は異なるが算出式は同じである。</p> <div style="border: 2px solid black; padding: 10px; margin-top: 10px;"> <p style="text-align: center; border: 1px solid black; display: inline-block; margin-bottom: 5px;">機械工学便覧 抜粋</p> <p style="text-align: center; font-size: small;">表 3-4 はり断面におけるせん断応力分布（はりがねじれないように荷重がせん断中心に加わったとき）</p> <table border="1" style="width: 100%; border-collapse: collapse;"> <thead> <tr> <th style="width: 30%;">断面型せん断応力分布図</th> <th style="width: 40%;">$\tau_{xy} = \frac{F}{2I} \int_n^{e_1} zy \, dy$</th> <th style="width: 30%;">$\tau_{xy\max}$</th> </tr> </thead> <tbody> <tr> <td style="text-align: center;">  </td> <td style="text-align: center;"> $\frac{3}{2} \frac{F}{bh} \left\{ 1 - \left(\frac{2y_1}{h} \right)^2 \right\}$ </td> <td style="text-align: center;"> $y_1 = 0: - \frac{3}{2} \frac{F}{bh} \quad \frac{3}{2} \frac{F}{2A}$ </td> </tr> <tr> <td style="text-align: center;">  </td> <td style="text-align: center;"> $0 \leq y_1 \leq \frac{a}{\sqrt{2}}$ $\frac{F}{a^2} \left\{ 1 + \sqrt{2} \frac{y_1}{a} - 4 \left(\frac{y_1}{a} \right)^2 \right\}$ </td> <td style="text-align: center;"> $y_1 = \frac{1}{4} a: - \frac{9}{8} \frac{F}{A}$ </td> </tr> <tr> <td style="text-align: center;">  </td> <td style="text-align: center;"> $\frac{4}{3} \frac{F}{\pi r^2} \left\{ 1 - \left(\frac{y_1}{r} \right)^2 \right\}$ </td> <td style="text-align: center;"> $y_1 = 0: - \frac{4}{3} \frac{F}{\pi r^2} = \frac{4}{3} \frac{F}{A}$ </td> </tr> </tbody> </table> </div>	断面型せん断応力分布図	$\tau_{xy} = \frac{F}{2I} \int_n^{e_1} zy \, dy$	$\tau_{xy\max}$		$\frac{3}{2} \frac{F}{bh} \left\{ 1 - \left(\frac{2y_1}{h} \right)^2 \right\}$	$y_1 = 0: - \frac{3}{2} \frac{F}{bh} \quad \frac{3}{2} \frac{F}{2A}$		$0 \leq y_1 \leq \frac{a}{\sqrt{2}}$ $\frac{F}{a^2} \left\{ 1 + \sqrt{2} \frac{y_1}{a} - 4 \left(\frac{y_1}{a} \right)^2 \right\}$	$y_1 = \frac{1}{4} a: - \frac{9}{8} \frac{F}{A}$		$\frac{4}{3} \frac{F}{\pi r^2} \left\{ 1 - \left(\frac{y_1}{r} \right)^2 \right\}$	$y_1 = 0: - \frac{4}{3} \frac{F}{\pi r^2} = \frac{4}{3} \frac{F}{A}$
断面型せん断応力分布図	$\tau_{xy} = \frac{F}{2I} \int_n^{e_1} zy \, dy$	$\tau_{xy\max}$											
	$\frac{3}{2} \frac{F}{bh} \left\{ 1 - \left(\frac{2y_1}{h} \right)^2 \right\}$	$y_1 = 0: - \frac{3}{2} \frac{F}{bh} \quad \frac{3}{2} \frac{F}{2A}$											
	$0 \leq y_1 \leq \frac{a}{\sqrt{2}}$ $\frac{F}{a^2} \left\{ 1 + \sqrt{2} \frac{y_1}{a} - 4 \left(\frac{y_1}{a} \right)^2 \right\}$	$y_1 = \frac{1}{4} a: - \frac{9}{8} \frac{F}{A}$											
	$\frac{4}{3} \frac{F}{\pi r^2} \left\{ 1 - \left(\frac{y_1}{r} \right)^2 \right\}$	$y_1 = 0: - \frac{4}{3} \frac{F}{\pi r^2} = \frac{4}{3} \frac{F}{A}$											

別紙 1-44 燃料仮置きラックの耐震性に関する計算書作成の基本方針	機械工学便覧及び鋼構造設計規準等						
<p>3.1.4.2 支持部材の応力</p> <p>(1) せん断応力</p> <p>反力は、次式で表される。</p> <div style="border: 2px solid blue; padding: 5px; display: inline-block;"> $R_i = \frac{C_{Hi}\omega_i l_i}{2 l_{2i}} (l_{2i} + l_{3i} - l_{1i}) \quad \dots\dots\dots (3.1.4.2-1)$ </div> <p>全ラック箱の反力によるサポート板の水平力は、次式で表される。</p> $P = \sum (n_i R_i) \quad \dots\dots\dots (3.1.4.2-2)$ <p>せん断応力は、次式で表される。</p> $\tau_2 = \frac{P}{A_2} \quad \dots\dots\dots (3.1.4.2-3)$	<p>左記の計算式は、機械工学便覧に示されている材料力学の反力の計算式を適用している。</p> $R_i = \frac{C_{Hi}\omega_i l_i}{2 l_{2i}} (l_{2i} + l_{3i} - l_{1i})$ <p>ここで、 $C_{Hi}\omega_i$: ラックに作用する等分布荷重 l_i : ラックのはり長さ又は各支持スパン長さ</p> <p>なお、式の形は異なるが荷重算出位置を踏まえて式を変形しているものであり、算出式は同じである。</p> <div style="border: 1px solid black; padding: 5px; margin-top: 10px;"> <p style="text-align: center;">機械工学便覧 抜粋</p> <p style="text-align: center;">表 3・2 はりの図表 (その 4)</p> <table border="1" style="width: 100%; border-collapse: collapse;"> <thead> <tr> <th style="width: 33%;">荷重、弾性線、せん断力図および曲げモーメント図</th> <th style="width: 33%;">反力 R およびせん断力 F</th> <th style="width: 33%;">曲げモーメント M</th> </tr> </thead> <tbody> <tr> <td style="text-align: center;"> </td> <td style="text-align: center;"> $R_1 = \frac{wl}{2l_3}(l-2l_2)$ $R_2 = \frac{wl}{2l_3}(l-2l_1)$ $R_1 + R_2 = wl$ $F = -wx + R_1 U(x-l_1) + R_2 U(x-l_1-l_3)$ </td> <td style="text-align: center;"> $M = -\frac{w}{2}x^2 + R_1 \langle x-l_1 \rangle + R_2 \langle x-l_1-l_3 \rangle$ $M_1 = -\frac{wl^2}{2}$ $M_2 = -\frac{wl_2^2}{2}$ $M_3 = \frac{wl}{8l_3^2}(l-2l_1) \times (l-2l_2)(l-2l_1-2l_2) \dots(x=R_1/w)$ </td> </tr> </tbody> </table> </div>	荷重、弾性線、せん断力図および曲げモーメント図	反力 R およびせん断力 F	曲げモーメント M		$R_1 = \frac{wl}{2l_3}(l-2l_2)$ $R_2 = \frac{wl}{2l_3}(l-2l_1)$ $R_1 + R_2 = wl$ $F = -wx + R_1 U(x-l_1) + R_2 U(x-l_1-l_3)$	$M = -\frac{w}{2}x^2 + R_1 \langle x-l_1 \rangle + R_2 \langle x-l_1-l_3 \rangle$ $M_1 = -\frac{wl^2}{2}$ $M_2 = -\frac{wl_2^2}{2}$ $M_3 = \frac{wl}{8l_3^2}(l-2l_1) \times (l-2l_2)(l-2l_1-2l_2) \dots(x=R_1/w)$
荷重、弾性線、せん断力図および曲げモーメント図	反力 R およびせん断力 F	曲げモーメント M					
	$R_1 = \frac{wl}{2l_3}(l-2l_2)$ $R_2 = \frac{wl}{2l_3}(l-2l_1)$ $R_1 + R_2 = wl$ $F = -wx + R_1 U(x-l_1) + R_2 U(x-l_1-l_3)$	$M = -\frac{w}{2}x^2 + R_1 \langle x-l_1 \rangle + R_2 \langle x-l_1-l_3 \rangle$ $M_1 = -\frac{wl^2}{2}$ $M_2 = -\frac{wl_2^2}{2}$ $M_3 = \frac{wl}{8l_3^2}(l-2l_1) \times (l-2l_2)(l-2l_1-2l_2) \dots(x=R_1/w)$					

別紙 1-44 燃料仮置きラックの耐震性に関する計算書作成の基本方針	機械工学便覧及び鋼構造設計規準等
<p>3.1.4.2 支持部材の応力</p> <p>(1) せん断応力 反力は、次式で表される。</p> $R_i = \frac{C_{Hi}\omega_i l_i}{2 l_{2i}} (l_{2i} + l_{3i} - l_{1i}) \dots\dots\dots (3.1.4.2-1)$ <p>全ラック箱の反力によるサポ-ト板の水平力は、次式で表される。</p> <p>$P = \Sigma (n_i R_i)$ $\dots\dots\dots (3.1.4.2-2)$</p> <p>せん断応力は、次式で表される。</p> $\tau_2 = \frac{P}{A_2} \dots\dots\dots (3.1.4.2-3)$	<p>$P = \Sigma (n_i R_i)$</p> <p>ここで、 n_i : ラック箱の数 R_i : ラックの反力</p> <p>本計算式は、全ラック箱に作用する反力の合計を算出するものである。</p>

別紙 1-44 燃料仮置きラックの耐震性に関する計算書作成の基本方針	機械工学便覧及び鋼構造設計規準等												
<p>3.1.4.2 支持部材の応力</p> <p>(1) せん断応力 反力は、次式で表される。</p> $R_i = \frac{C_{Hi} \omega_i l_i}{2 l_{2i}} (l_{2i} + l_{3i} - l_{1i}) \dots\dots\dots (3.1.4.2-1)$ <p>全ラック箱の反力によるサポート板の水平力は、次式で表される。</p> $P = \sum (n_i R_i) \dots\dots\dots (3.1.4.2-2)$ <p>せん断応力は、次式で表される。</p> <div style="border: 2px solid blue; padding: 5px; display: inline-block;"> $\tau_2 = \frac{P}{A_2} \dots\dots\dots (3.1.4.2-3)$ </div>	<p>機械工学便覧及び鋼構造設計規準等</p> <p>左記の計算式は、機械工学便覧に示されている材料力学のせん断荷重による応力の計算式を適用している。</p> <p>τ_2 : せん断応力</p> $\tau_2 = \frac{P}{A_2}$ <p>ここで、 P : 部材に作用するせん断力 A₂ : 部材の断面積</p> <p>計算方法の引用元となる機械工学便覧の式は下記式である。</p> $\tau = \frac{3 F}{2 A} \leftarrow$ <p>ここで、PはFと同じであり、A₂は上式における$\frac{2}{3}A$に当たることから、記号及び断面積の取り方は異なるが算出式は同じである。</p> <div style="border: 2px solid black; padding: 10px; margin-top: 10px;"> <p style="text-align: center;">機械工学便覧 抜粋</p> <p style="text-align: center;">表 3-4 はり断面におけるせん断応力分布（はりがねじれないように荷重がせん断中心に加わったとき）</p> <table border="1" style="width: 100%; border-collapse: collapse;"> <thead> <tr> <th style="width: 30%;">断面型せん断応力分布図</th> <th style="width: 40%;">$\tau_{xy} = \frac{F}{2I} \int_{y_1}^{e_1} zy \, dy$</th> <th style="width: 30%;">$\tau_{y \max}$</th> </tr> </thead> <tbody> <tr> <td style="text-align: center;"> </td> <td style="text-align: center;">$\frac{3 F}{2 bh} \left\{ 1 - \left(\frac{2y_1}{h} \right)^2 \right\}$</td> <td style="text-align: center;">$y_1=0: \frac{3 F}{2 bh} = \frac{3 F}{2 A}$</td> </tr> <tr> <td style="text-align: center;"> </td> <td style="text-align: center;">$0 \leq y_1 \leq \frac{a}{\sqrt{2}}$ $\frac{F}{a^2} \left\{ 1 + \sqrt{2} \frac{y_1}{a} - 4 \left(\frac{y_1}{a} \right)^2 \right\}$</td> <td style="text-align: center;">$y_1 = \frac{1}{4} a: - \frac{9 F}{8 A}$</td> </tr> <tr> <td style="text-align: center;"> </td> <td style="text-align: center;">$\frac{4 F}{3 \pi r^2} \left\{ 1 - \left(\frac{y_1}{r} \right)^2 \right\}$</td> <td style="text-align: center;">$y_1=0: - \frac{4 F}{3 \pi r^2} = \frac{4 F}{3 A}$</td> </tr> </tbody> </table> </div>	断面型せん断応力分布図	$\tau_{xy} = \frac{F}{2I} \int_{y_1}^{e_1} zy \, dy$	$\tau_{y \max}$		$\frac{3 F}{2 bh} \left\{ 1 - \left(\frac{2y_1}{h} \right)^2 \right\}$	$y_1=0: \frac{3 F}{2 bh} = \frac{3 F}{2 A}$		$0 \leq y_1 \leq \frac{a}{\sqrt{2}}$ $\frac{F}{a^2} \left\{ 1 + \sqrt{2} \frac{y_1}{a} - 4 \left(\frac{y_1}{a} \right)^2 \right\}$	$y_1 = \frac{1}{4} a: - \frac{9 F}{8 A}$		$\frac{4 F}{3 \pi r^2} \left\{ 1 - \left(\frac{y_1}{r} \right)^2 \right\}$	$y_1=0: - \frac{4 F}{3 \pi r^2} = \frac{4 F}{3 A}$
断面型せん断応力分布図	$\tau_{xy} = \frac{F}{2I} \int_{y_1}^{e_1} zy \, dy$	$\tau_{y \max}$											
	$\frac{3 F}{2 bh} \left\{ 1 - \left(\frac{2y_1}{h} \right)^2 \right\}$	$y_1=0: \frac{3 F}{2 bh} = \frac{3 F}{2 A}$											
	$0 \leq y_1 \leq \frac{a}{\sqrt{2}}$ $\frac{F}{a^2} \left\{ 1 + \sqrt{2} \frac{y_1}{a} - 4 \left(\frac{y_1}{a} \right)^2 \right\}$	$y_1 = \frac{1}{4} a: - \frac{9 F}{8 A}$											
	$\frac{4 F}{3 \pi r^2} \left\{ 1 - \left(\frac{y_1}{r} \right)^2 \right\}$	$y_1=0: - \frac{4 F}{3 \pi r^2} = \frac{4 F}{3 A}$											

別紙 1-44 燃料仮置きラックの耐震性に関する計算書作成の基本方針	機械工学便覧及び鋼構造設計規準等
<p>(2) 圧縮応力 圧縮応力は、次式で表される。</p> <div style="border: 1px solid black; padding: 5px; display: inline-block;"> $\sigma_2 = \frac{P}{A_3}$ </div> <p>..... (3.1.4.2-4)</p>	<p>左記の計算式は、機械工学便覧に示されている材料力学の引張・圧縮荷重が部材に作用する場合の計算式を適用している。</p> <p>σ_2 : 圧縮応力</p> $\sigma_2 = \frac{P}{A_3}$ <p>ここで、A_3 : 部材の断面積 P : 部材に作用する圧縮力</p> <div style="border: 1px solid black; padding: 10px; margin-top: 20px;"> <p style="text-align: center;">機械工学便覧 抜粋</p> <p style="text-align: center;">第2章 引張り・圧縮とねじり</p> <p style="text-align: center;">2・1 棒の引張り・圧縮</p> <p style="text-align: center;">2・1・1 断面に生じる応力</p> <p>十分に長い棒の端面に引張り・圧縮荷重が作用するとき、端面から離れた位置ではサンブナンの原理により一様な応力が発生する。棒の断面積を A、端面に作用する引張荷重を F とすれば応力 σ は次のようになる。</p> <div style="border: 1px solid black; padding: 5px; display: inline-block;"> $\sigma = \frac{F}{A}$ </div> <p style="text-align: right;">(2・1)</p> </div>

別紙 1-44 燃料仮置きラックの耐震性に関する計算書作成の基本方針	機械工学便覧及び鋼構造設計規準等												
<p>3.1.4.3 固定部の応力</p> <p>(1) 保持金具溶接部のせん断応力 せん断応力は、次式で表される。</p> $\tau_3 = \frac{P}{A_4} \quad \dots\dots\dots (3.1.4.3-1)$ <p>(2) 保持金具と固定金具の溶接部のせん断応力 せん断応力は、次式で表される。</p> $\tau_4 = \frac{P}{A_5} \quad \dots\dots\dots (3.1.4.3-2)$ <p>(3) 固定金具溶接部の引張応力 引張応力は、次式で表される。</p> $\sigma_3 = \frac{P}{A_6} \quad \dots\dots\dots (3.1.4.3-3)$	<p>左記の計算式は、機械工学便覧に示されている材料力学のせん断荷重による応力の計算式を適用している。</p> <p>τ_3, τ_4 : せん断応力</p> $\tau_3 = \frac{P}{A_4}, \tau_4 = \frac{P}{A_5}$ <p>ここで、P : 固定部に作用するせん断力 A_4, A_5 : 部材の断面積</p> <p>計算方法の引用元となる機械工学便覧の式は下記式である。</p> $\tau = \frac{3F}{2A}$ <p>ここで、P は F と同じであり、A_4 及び A_5 は上式における $\frac{2}{3}A$ に当たることから、記号及び断面積の取り方は異なるが算出式は同じである。</p> <div data-bbox="1137 879 2033 1337" style="border: 1px solid black; padding: 5px;"> <p style="text-align: center;">機械工学便覧 抜粋</p> <p style="text-align: center;">表 3-4 はり断面におけるせん断応力分布（はりがねじれないように荷重がせん断中心に加わったとき）</p> <table border="1" style="width: 100%; border-collapse: collapse;"> <thead> <tr> <th style="width: 30%;">断面型せん断応力分布図</th> <th style="width: 40%;">$\tau_{xy} = \frac{F}{2I} \int_{y_1}^{e_1} zy \, dy$</th> <th style="width: 30%;">$\tau_{xy\max}$</th> </tr> </thead> <tbody> <tr> <td style="text-align: center;"></td> <td style="text-align: center;">$\frac{3}{2} \frac{F}{bh} \left\{ 1 - \left(\frac{2y_1}{h} \right)^2 \right\}$</td> <td style="text-align: center;">$y_1 = 0: -$ $\frac{3}{2} \frac{F}{bh} = \frac{3}{2} \frac{F}{2A}$</td> </tr> <tr> <td style="text-align: center;"></td> <td style="text-align: center;">$0 \leq y_1 \leq \frac{a}{\sqrt{2}}$ $\frac{F}{a^2} \left\{ 1 + \sqrt{2} \frac{y_1}{a} - 4 \left(\frac{y_1}{a} \right)^2 \right\}$</td> <td style="text-align: center;">$y_1 = \frac{1}{4}e: -$ $\frac{9}{8} \frac{F}{A}$</td> </tr> <tr> <td style="text-align: center;"></td> <td style="text-align: center;">$\frac{4}{3} \frac{F}{\pi r^2} \left\{ 1 - \left(\frac{y_1}{r} \right)^2 \right\}$</td> <td style="text-align: center;">$y_1 = 0: -$ $\frac{4}{3} \frac{F}{\pi r^2} = \frac{4}{3} \frac{F}{A}$</td> </tr> </tbody> </table> </div>	断面型せん断応力分布図	$\tau_{xy} = \frac{F}{2I} \int_{y_1}^{e_1} zy \, dy$	$\tau_{xy\max}$		$\frac{3}{2} \frac{F}{bh} \left\{ 1 - \left(\frac{2y_1}{h} \right)^2 \right\}$	$y_1 = 0: -$ $\frac{3}{2} \frac{F}{bh} = \frac{3}{2} \frac{F}{2A}$		$0 \leq y_1 \leq \frac{a}{\sqrt{2}}$ $\frac{F}{a^2} \left\{ 1 + \sqrt{2} \frac{y_1}{a} - 4 \left(\frac{y_1}{a} \right)^2 \right\}$	$y_1 = \frac{1}{4}e: -$ $\frac{9}{8} \frac{F}{A}$		$\frac{4}{3} \frac{F}{\pi r^2} \left\{ 1 - \left(\frac{y_1}{r} \right)^2 \right\}$	$y_1 = 0: -$ $\frac{4}{3} \frac{F}{\pi r^2} = \frac{4}{3} \frac{F}{A}$
断面型せん断応力分布図	$\tau_{xy} = \frac{F}{2I} \int_{y_1}^{e_1} zy \, dy$	$\tau_{xy\max}$											
	$\frac{3}{2} \frac{F}{bh} \left\{ 1 - \left(\frac{2y_1}{h} \right)^2 \right\}$	$y_1 = 0: -$ $\frac{3}{2} \frac{F}{bh} = \frac{3}{2} \frac{F}{2A}$											
	$0 \leq y_1 \leq \frac{a}{\sqrt{2}}$ $\frac{F}{a^2} \left\{ 1 + \sqrt{2} \frac{y_1}{a} - 4 \left(\frac{y_1}{a} \right)^2 \right\}$	$y_1 = \frac{1}{4}e: -$ $\frac{9}{8} \frac{F}{A}$											
	$\frac{4}{3} \frac{F}{\pi r^2} \left\{ 1 - \left(\frac{y_1}{r} \right)^2 \right\}$	$y_1 = 0: -$ $\frac{4}{3} \frac{F}{\pi r^2} = \frac{4}{3} \frac{F}{A}$											

別紙 1-44 燃料仮置きラックの耐震性に関する計算書作成の基本方針	機械工学便覧及び鋼構造設計規準等
<p>3.1.4.3 固定部の応力</p> <p>(1) 保持金具溶接部のせん断応力 せん断応力は、次式で表される。</p> $\tau_3 = \frac{P}{A_4} \dots\dots\dots (3.1.4.3-1)$ <p>(2) 保持金具と固定金具の溶接部のせん断応力 せん断応力は、次式で表される。</p> $\tau_4 = \frac{P}{A_5} \dots\dots\dots (3.1.4.3-2)$ <p>(3) 固定金具溶接部の引張応力 引張応力は、次式で表される。</p> $\sigma_3 = \frac{P}{A_6} \dots\dots\dots (3.1.4.3-3)$	<p>左記の計算式は、機械工学便覧に示されている材料力学の引張・圧縮荷重が部材に作用する場合の計算式を適用している。</p> <p>σ_3 : 引張応力</p> $\sigma_3 = \frac{P}{A_6}$ <p>ここで、P : 固定部に作用する引張力 A₆ : 部材の断面積</p> <div style="border: 1px solid black; padding: 5px; margin-top: 10px;"> <p>機械工学便覧 抜粋</p> <p>第2章 引張り・圧縮とねじり</p> <p>2・1 棒の引張り・圧縮</p> <p>2・1・1 断面に生じる応力 十分に長い棒の端面に引張り・圧縮荷重が作用するとき、端面から離れた位置ではサンプソンの原理により一様な応力が発生する。棒の断面積を A、端面に作用する引張荷重を F とすれば応力 σ は次のようになる。</p> $\sigma = \frac{F}{A} \tag{2-1}$ </div>

別紙 1-44 燃料仮置きラックの耐震性に関する計算書作成の基本方針	機械工学便覧及び鋼構造設計規準等
<p>(4) 止め板溶接部のせん断力 せん断力は、次式で表される。</p> <div style="border: 1px solid blue; padding: 2px; display: inline-block;"> $F_{vi} = W_i (1 + C_{vi}) g$ </div> <p>..... (3.1.4.3-4)</p> <p>せん断応力は、次式で表される。</p> $\tau_{si} = \frac{F_{vi}}{A_{\tau i}}$ <p>..... (3.1.4.3-5)</p>	$F_{vi} = W_i (1 + C_{vi}) g$ <p>ここで、 W_i : 各燃料及び各燃料収納缶の質量 C_{vi} : 各ラック箱の鉛直方向設計震度 g : 重力加速度</p> <p>本計算式は、各燃料及び各燃料収納缶の質量に重力加速度と鉛直方向設計震度を加え、各ラック箱の止め板に作用する荷重を、算出するものである。</p>

別紙 1-44 燃料仮置きラックの耐震性に関する計算書作成の基本方針	機械工学便覧及び鋼構造設計規準等												
<p>(4) 止め板溶接部のせん断力 せん断力は、次式で表される。 $F_{vi} = W_i (1 + C_{vi})g \dots\dots\dots (3.1.4.3-4)$</p> <p>せん断応力は、次式で表される。 $\tau_{si} = \frac{F_{vi}}{A_{\tau i}} \dots\dots\dots (3.1.4.3-5)$</p>	<p>左記の計算式は、機械工学便覧に示されている材料力学のせん断荷重による応力の計算式を適用している。 τ : 水平及び鉛直方向地震によるせん断応力</p> $\tau_{si} = \frac{F_{vi}}{A_{\tau i}}$ <p>ここで、 F_{vi} : 部材に作用するせん断荷重 $A_{\tau i}$: 部材のせん断面積</p> <p>計算方法の引用元となる機械工学便覧の式は下記式である。</p> $\tau = \frac{3 F}{2 A}$ <p>ここで、 F は F_{vi} と同じであり、 $A_{\tau i}$ は上式における $\frac{2}{3} A$ に当たることから、記号及び断面積の取り方は異なるが算出式は同じである。</p> <div style="border: 1px solid black; padding: 5px; margin-top: 10px;"> <p style="text-align: center;">機械工学便覧 抜粋</p> <p style="text-align: center; font-size: small;">表 3-4 はり断面におけるせん断応力分布（はりがねじれないように荷重がせん断中心に加わったとき）</p> <table border="1" style="width: 100%; border-collapse: collapse;"> <thead> <tr> <th style="width: 30%;">断面型せん断応力分布図</th> <th style="width: 40%;">$\tau_{xy} = \frac{F}{2I} \int_{y_1}^{e_1} zy \, dy$</th> <th style="width: 30%;">$\tau_{xy\max}$</th> </tr> </thead> <tbody> <tr> <td style="text-align: center;"> </td> <td style="text-align: center;">$\frac{3}{2} \frac{F}{bh} \left\{ 1 - \left(\frac{2y_1}{h} \right)^2 \right\}$</td> <td style="text-align: center;">$y_1=0: -$ $\frac{3}{2} \frac{F}{bh} = \frac{3}{2} \frac{F}{A}$</td> </tr> <tr> <td style="text-align: center;"> </td> <td style="text-align: center;">$0 \leq y_1 \leq \frac{a}{\sqrt{2}}$ $\frac{F}{a^2} \left\{ 1 + \sqrt{2} \frac{y_1}{a} - 4 \left(\frac{y_1}{a} \right)^2 \right\}$</td> <td style="text-align: center;">$y_1 = \frac{1}{4} e: -$ $\frac{9}{8} \frac{F}{A}$</td> </tr> <tr> <td style="text-align: center;"> </td> <td style="text-align: center;">$\frac{4}{3} \frac{F}{\pi r^2} \left\{ 1 - \left(\frac{y_1}{r} \right)^2 \right\}$</td> <td style="text-align: center;">$y_1=0: -$ $\frac{4}{3} \frac{F}{\pi r^2} = \frac{4}{3} \frac{F}{A}$</td> </tr> </tbody> </table> </div>	断面型せん断応力分布図	$\tau_{xy} = \frac{F}{2I} \int_{y_1}^{e_1} zy \, dy$	$\tau_{xy\max}$		$\frac{3}{2} \frac{F}{bh} \left\{ 1 - \left(\frac{2y_1}{h} \right)^2 \right\}$	$y_1=0: -$ $\frac{3}{2} \frac{F}{bh} = \frac{3}{2} \frac{F}{A}$		$0 \leq y_1 \leq \frac{a}{\sqrt{2}}$ $\frac{F}{a^2} \left\{ 1 + \sqrt{2} \frac{y_1}{a} - 4 \left(\frac{y_1}{a} \right)^2 \right\}$	$y_1 = \frac{1}{4} e: -$ $\frac{9}{8} \frac{F}{A}$		$\frac{4}{3} \frac{F}{\pi r^2} \left\{ 1 - \left(\frac{y_1}{r} \right)^2 \right\}$	$y_1=0: -$ $\frac{4}{3} \frac{F}{\pi r^2} = \frac{4}{3} \frac{F}{A}$
断面型せん断応力分布図	$\tau_{xy} = \frac{F}{2I} \int_{y_1}^{e_1} zy \, dy$	$\tau_{xy\max}$											
	$\frac{3}{2} \frac{F}{bh} \left\{ 1 - \left(\frac{2y_1}{h} \right)^2 \right\}$	$y_1=0: -$ $\frac{3}{2} \frac{F}{bh} = \frac{3}{2} \frac{F}{A}$											
	$0 \leq y_1 \leq \frac{a}{\sqrt{2}}$ $\frac{F}{a^2} \left\{ 1 + \sqrt{2} \frac{y_1}{a} - 4 \left(\frac{y_1}{a} \right)^2 \right\}$	$y_1 = \frac{1}{4} e: -$ $\frac{9}{8} \frac{F}{A}$											
	$\frac{4}{3} \frac{F}{\pi r^2} \left\{ 1 - \left(\frac{y_1}{r} \right)^2 \right\}$	$y_1=0: -$ $\frac{4}{3} \frac{F}{\pi r^2} = \frac{4}{3} \frac{F}{A}$											

参考資料－ 2 － 2 － 1

定型式による評価に用いる類似する計算式の観点
(定型式(2) 軸直角方向支持容器)

比較表 1

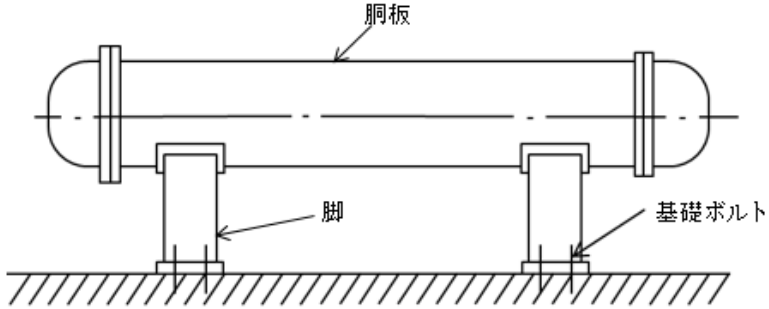
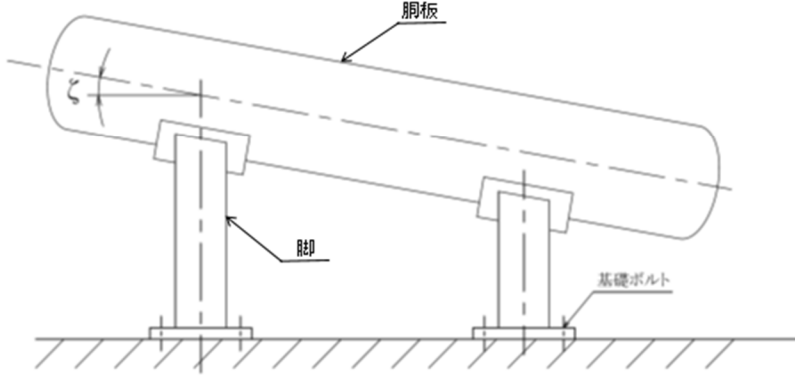
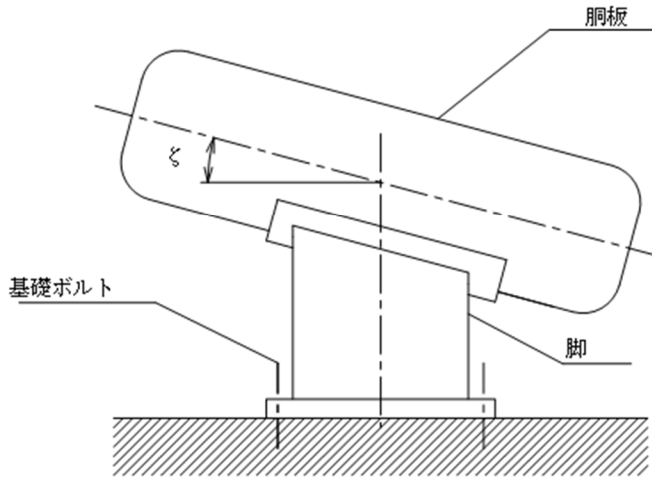
定型式による評価に用いる類似する計算式の観点（定型式(2) 軸直角方向支持容器）

参考資料-2-2-1 (1/105)

別紙 1-25 横置一胴円筒形容器	別紙 1-27 デミスタ（2脚支持）	別紙 1-28 デミスタ（1脚支持）
<div data-bbox="290 262 982 373" style="border: 2px solid blue; padding: 5px;">比較表の代表とする基本方針</div> <p>IV-1-2-1 別紙 1-25 横置一胴円筒形容器の耐震性に関する計算書作成の基本方針</p>	<p>IV-1-2-1 別紙 1-27 デミスタ（2脚支持）の耐震性に関する計算書作成の基本方針</p>	<p>IV-1-2-1 別紙 1-28 デミスタ（1脚支持）の耐震性に関する計算書作成の基本方針</p>
<ul style="list-style-type: none"> ・ 差分が生じている箇所を青枠にて示し，下記凡例の計算式における差異の要因に示す番号を右端に示す。 ・ 差分の比較表は見やすさの観点から 3 段表により示す。3 段表で示すに当たって類型化分類中に定型式が 4 つ以上存在する場合は，最左列を代表とした複数の 3 段表により全ての定型式の差分を示す。 ・ 複数の 3 段表を作成する際は，パラメータによる計算式の違いから比較表のずれを少なくするため，パラメータ式が類似する計算式ごとの比較結果を示す。本比較表においては 6 種類の基本方針に対し 3 つの比較表にて構成しており，比較表 1 では差異の要因として①～③が該当する別紙 1-27 と別紙 1-28 との比較，比較表 2 では差異の要因として①～②が該当する別紙 1-24 と別紙 1-43 の比較，比較表 3 では差異の要因として①が該当する別紙-1-26 との比較について示す。 		
<div data-bbox="231 1325 970 1755" style="border: 1px solid blue; padding: 10px;"> <p>計算式における差異の要因の凡例</p> <ul style="list-style-type: none"> ①荷重作用方向 ②支持方法 ③傾斜の考慮 </div>		

別紙 1-25 横置一胴円筒形容器	別紙 1-27 デミスタ（2脚支持）	別紙 1-28 デミスタ（1脚支持）
<p style="text-align: center;">目 次</p> <p style="text-align: right;">ページ</p> <p>1. 概要 1</p> <p>2. 準拠規格 1</p> <p>3. 構造強度評価 2</p> <p> 3.1 計算方法 2</p> <p> 3.1.1 計算条件 2</p> <p> 3.1.2 記号の説明 3</p> <p> 3.1.3 固有周期の計算方法 9</p> <p> 3.1.4 応力の計算方法 12</p> <p> 3.2 評価 26</p> <p>4. 引用文献 26</p> <p>5. 地震時の臨界安全性評価 27</p> <p> 5.1 評価方針 27</p> <p> 5.1.1 計算条件 27</p> <p> 5.1.2 計算モデルの設定方法 27</p> <p> 5.1.3 許容変位 27</p> <p> 5.1.4 計算方法 27</p> <p> 5.2 評価 28</p> <p> 5.2.1 地震時の変位の評価 28</p> <p>6. 耐震計算書のフォーマット 28</p>	<p style="text-align: center;">目 次</p> <p style="text-align: right;">ページ</p> <p>1. 概要 1</p> <p>2. 準拠規格 1</p> <p>3. 構造強度評価 2</p> <p> 3.1 計算方法 2</p> <p> 3.1.1 計算条件 2</p> <p> 3.1.2 記号の説明 3</p> <p> 3.1.3 固有周期の計算方法 10</p> <p> 3.1.4 応力の計算方法 13</p> <p> 3.2 評価 26</p> <p>4. 引用文献 26</p> <p>5. 耐震計算書のフォーマット 26</p>	<p style="text-align: center;">目 次</p> <p style="text-align: right;">ページ</p> <p>1. 概要 1</p> <p>2. 準拠規格 1</p> <p>3. 構造強度評価 2</p> <p> 3.1 計算方法 2</p> <p> 3.1.1 計算条件 2</p> <p> 3.1.2 記号の説明 3</p> <p> 3.1.3 固有周期の計算方法 9</p> <p> 3.1.4 応力の計算方法 12</p> <p> 3.2 評価 26</p> <p>4. 引用文献 26</p> <p>5. 耐震計算書のフォーマット 26</p>

別紙 1-25 横置一胴円筒形容器	別紙 1-27 デミスタ (2脚支持)	別紙 1-28 デミスタ (1脚支持)																		
<p>1. 概要 本基本方針は、横置一胴円筒形容器の耐震性に関する計算書の計算方法を示す。 なお、本計算方法は、JEAG4601に準拠したものである。</p> <p>2. 準拠規格 「IV-1-1 耐震設計の基本方針」に示す規格のうち、本評価に対する準拠規格について第 2-1 表に示す。</p> <table border="1" data-bbox="243 611 1020 842"> <caption>第 2-1 表 準拠規格</caption> <thead> <tr> <th>準拠規格名</th> </tr> </thead> <tbody> <tr> <td>原子力発電所耐震設計技術指針 JEAG4601-1987</td> </tr> <tr> <td>原子力発電所耐震設計技術指針 重要度分類・許容応力編 JEAG4601・補-1984</td> </tr> <tr> <td>原子力発電所耐震設計技術指針 JEAG4601-1991 追補版</td> </tr> <tr> <td>発電用原子力設備規格 設計・建設規格(2005年版(2007年追補版を含む))</td> </tr> <tr> <td><第 I 編 軽水炉規格> JSME S NC1-2005/2007*</td> </tr> </tbody> </table> <p>注記 * : JSME S NC1 以外に使用している鉄鋼材料の規格については、「V-2 強度計算方法」における添付-1「容器等の材料及び構造に関する設計の基本方針」に定められた値を準用することとする。</p>	準拠規格名	原子力発電所耐震設計技術指針 JEAG4601-1987	原子力発電所耐震設計技術指針 重要度分類・許容応力編 JEAG4601・補-1984	原子力発電所耐震設計技術指針 JEAG4601-1991 追補版	発電用原子力設備規格 設計・建設規格(2005年版(2007年追補版を含む))	<第 I 編 軽水炉規格> JSME S NC1-2005/2007*	<p>1. 概要 本基本方針は、デミスタ(2脚支持)の耐震性に関する計算書の計算方法を示す。 なお、本計算方法は、JEAG4601に準拠したものである。</p> <p>2. 準拠規格 「IV-1-1 耐震設計の基本方針」に示す規格のうち、本評価に対する準拠規格について第 2-1 表に示す。</p> <table border="1" data-bbox="1080 611 1857 842"> <caption>第 2-1 表 準拠規格</caption> <thead> <tr> <th>準拠規格名</th> </tr> </thead> <tbody> <tr> <td>原子力発電所耐震設計技術指針 JEAG4601-1987</td> </tr> <tr> <td>原子力発電所耐震設計技術指針 重要度分類・許容応力編 JEAG4601・補-1984</td> </tr> <tr> <td>原子力発電所耐震設計技術指針 JEAG4601-1991 追補版</td> </tr> <tr> <td>発電用原子力設備規格 設計・建設規格(2005年版(2007年追補版を含む))</td> </tr> <tr> <td><第 I 編 軽水炉規格> JSME S NC1-2005/2007*</td> </tr> </tbody> </table> <p>注記 * : JSME S NC1 以外に使用している鉄鋼材料の規格については、「V-2 強度計算方法」における添付-1「容器等の材料及び構造に関する設計の基本方針」に定められた値を準用することとする。</p>	準拠規格名	原子力発電所耐震設計技術指針 JEAG4601-1987	原子力発電所耐震設計技術指針 重要度分類・許容応力編 JEAG4601・補-1984	原子力発電所耐震設計技術指針 JEAG4601-1991 追補版	発電用原子力設備規格 設計・建設規格(2005年版(2007年追補版を含む))	<第 I 編 軽水炉規格> JSME S NC1-2005/2007*	<p>1. 概要 本基本方針は、デミスタ(1脚支持)の耐震性に関する計算書の計算方法を示す。 なお、本計算方法は、JEAG4601に準拠したものである。</p> <p>2. 準拠規格 「IV-1-1 耐震設計の基本方針」に示す規格のうち、本評価に対する準拠規格について第 2-1 表に示す。</p> <table border="1" data-bbox="1917 611 2694 842"> <caption>第 2-1 表 準拠規格</caption> <thead> <tr> <th>準拠規格名</th> </tr> </thead> <tbody> <tr> <td>原子力発電所耐震設計技術指針 JEAG4601-1987</td> </tr> <tr> <td>原子力発電所耐震設計技術指針 重要度分類・許容応力編 JEAG4601・補-1984</td> </tr> <tr> <td>原子力発電所耐震設計技術指針 JEAG4601-1991 追補版</td> </tr> <tr> <td>発電用原子力設備規格 設計・建設規格(2005年版(2007年追補版を含む))</td> </tr> <tr> <td><第 I 編 軽水炉規格> JSME S NC1-2005/2007*</td> </tr> </tbody> </table> <p>注記 * : JSME S NC1 以外に使用している鉄鋼材料の規格については、「V-2 強度計算方法」における添付-1「容器等の材料及び構造に関する設計の基本方針」に定められた値を準用することとする。</p>	準拠規格名	原子力発電所耐震設計技術指針 JEAG4601-1987	原子力発電所耐震設計技術指針 重要度分類・許容応力編 JEAG4601・補-1984	原子力発電所耐震設計技術指針 JEAG4601-1991 追補版	発電用原子力設備規格 設計・建設規格(2005年版(2007年追補版を含む))	<第 I 編 軽水炉規格> JSME S NC1-2005/2007*
準拠規格名																				
原子力発電所耐震設計技術指針 JEAG4601-1987																				
原子力発電所耐震設計技術指針 重要度分類・許容応力編 JEAG4601・補-1984																				
原子力発電所耐震設計技術指針 JEAG4601-1991 追補版																				
発電用原子力設備規格 設計・建設規格(2005年版(2007年追補版を含む))																				
<第 I 編 軽水炉規格> JSME S NC1-2005/2007*																				
準拠規格名																				
原子力発電所耐震設計技術指針 JEAG4601-1987																				
原子力発電所耐震設計技術指針 重要度分類・許容応力編 JEAG4601・補-1984																				
原子力発電所耐震設計技術指針 JEAG4601-1991 追補版																				
発電用原子力設備規格 設計・建設規格(2005年版(2007年追補版を含む))																				
<第 I 編 軽水炉規格> JSME S NC1-2005/2007*																				
準拠規格名																				
原子力発電所耐震設計技術指針 JEAG4601-1987																				
原子力発電所耐震設計技術指針 重要度分類・許容応力編 JEAG4601・補-1984																				
原子力発電所耐震設計技術指針 JEAG4601-1991 追補版																				
発電用原子力設備規格 設計・建設規格(2005年版(2007年追補版を含む))																				
<第 I 編 軽水炉規格> JSME S NC1-2005/2007*																				

別紙 1-25 横置一胴円筒形容器	別紙 1-27 デミスタ（2脚支持）	別紙 1-28 デミスタ（1脚支持）
<p>3. 構造強度評価</p> <p>3.1 計算方法</p> <p>3.1.1 計算条件</p> <ol style="list-style-type: none"> (1) 容器及び内容物の質量は胴の中心軸に集中するものとする。 (2) 2個のうち1個の脚は胴の長手方向に、基礎に対してスライドできるものとする。 (3) 容器の胴は剛とし、脚の曲げ及びせん断変形を考慮する。 (4) 脚を基礎に固定する基礎ボルトが、脚の変形方向に直角な方向より見て脚1個につき1列の場合は下端を単純支持とする。その他の場合は固定とする。 (5) 地震力は、容器に対して水平方向及び鉛直方向から個別に作用するものとし、応力計算において各応力を適切に組み合わせる。  <p>第3.1.1-1図 全景</p>	<p>3. 構造強度評価</p> <p>3.1 計算方法</p> <p>3.1.1 計算条件</p> <ol style="list-style-type: none"> (1) 容器及び内容物の質量は胴の中心軸に集中するものとする。 (2) 容器の胴は長短2個の脚で支持され、脚はそれぞれ基礎ボルトで基礎に据付けられるものとする。ただし、2個の脚のうち短い方の脚は胴の長手水平方向に、基礎に対してスライドできるものとする。 (3) 容器の胴は剛とし、脚の曲げ及びせん断変形を考慮するものとする。 (4) 脚を基礎に固定する基礎ボルトが、脚の変形方向に直角な方向より見て脚1個につき1列の場合は下端を単純支持とする。その他の場合は固定とする。 (5) 傾斜角は、第3.1.1-1図のθで定義する。 (6) 地震力は、容器に対して水平方向及び鉛直方向から個別に作用するものとし、応力計算において各応力を適切に組み合わせる。  <p>第3.1.1-1図 全景</p>	<p>3. 構造強度評価</p> <p>3.1 計算方法</p> <p>3.1.1 計算条件</p> <ol style="list-style-type: none"> (1) 容器及び内容物の質量は、胴の中心軸に集中するものとし、脚の中心を基準にして左側及び右側に分け、それぞれの質量が、それぞれの重心へ集中するものとする。 (2) 容器の胴は剛とし、脚の曲げ及びせん断変形を考慮するものとする。 (3) 脚は基礎ボルトで基礎に固定されているので、その下端を固定とする。 (4) 傾斜角は、第3.1.1-1図のθで定義する。 (5) 地震力は、容器に対して水平方向及び鉛直方向から個別に作用するものとし、応力計算において各応力を適切に組み合わせる。  <p>第3.1.1-1図 全景</p>

別紙 1-25 横置一胴円筒形容器			別紙 1-27 デミスタ（2脚支持）			別紙 1-28 デミスタ（1脚支持）		
3.1.2 記号の説明			3.1.2 記号の説明			3.1.2 記号の説明		
記号	表示内容	単位	記号	表示内容	単位	記号	表示内容	単位
A_b	基礎ボルトの軸断面積	mm^2	A_b	基礎ボルトの軸断面積	mm^2	A_b	基礎ボルトの軸断面積	mm^2
A_s	脚の断面積	mm^2	A_s	脚の断面積	mm^2	A_s	脚の断面積	mm^2
A_{s1}	脚の長手方向に対する有効せん断断面積	mm^2	A_{s1}	脚の長手方向に対する有効せん断断面積	mm^2	A_{s1}	脚の長手方向に対する有効せん断断面積	mm^2
A_{s2}	脚の横方向に対する有効せん断断面積	mm^2	A_{s2}	脚の横方向に対する有効せん断断面積	mm^2	A_{s2}	脚の横方向に対する有効せん断断面積	mm^2
A_{s3}	脚の長手方向に対するせん断断面積	mm^2	A_{s3}	脚の長手方向に対するせん断断面積	mm^2	A_{s3}	脚の長手方向に対するせん断断面積	mm^2
A_{s4}	脚の横方向に対するせん断断面積	mm^2	A_{s4}	脚の横方向に対するせん断断面積	mm^2	A_{s4}	脚の横方向に対するせん断断面積	mm^2
a	脚底板の長手方向幅	mm	a	脚底板の長手方向幅	mm	C_c	引用文献(1)より得られる値	-
b	脚底板の横方向幅	mm	b	脚底板の横方向幅	mm	C_H	水平方向設計震度	-
C_c	引用文献(1)より得られる値	-	C_o	引用文献(1)より得られる値	-	C_l	引用文献(1)より得られる値	-
C_H	水平方向設計震度	-	C_H	水平方向設計震度	-	C_v	鉛直方向設計震度	-
C_l	引用文献(1)より得られる値	-	C_l	引用文献(1)より得られる値	-	C_1	脚の胴つけ根部のアタッチメント幅の2分の1 (胴の横方向)	mm
C_v	鉛直方向設計震度	-	C_v	鉛直方向設計震度	-	C_2	脚の胴つけ根部のアタッチメント幅の2分の1 (胴の長手方向)	mm
C_1	脚の胴つけ根部のアタッチメント幅の2分の1(胴の横方向)	mm	C_1	脚の胴つけ根部のアタッチメント幅の2分の1(胴の横方向)	mm	D_i	胴の内径	mm
C_2	脚の胴つけ根部のアタッチメント幅の2分の1(胴の長手方向)	mm	C_2	脚の胴つけ根部のアタッチメント幅の2分の1(胴の長手方向)	mm	D_o	胴の外径	mm
D_i	胴の内径	mm	D_i	胴の内径	mm	E_s	脚の縦弾性係数	MPa
D_o	胴の外径	mm	D_o	胴の外径	mm	F	「JSME S NC1」のSSB-3121.1(1)に定める値	MPa
d_1	脚底板端面から基礎ボルト中心までの長手方向の距離	mm	d_1	脚底板端面から基礎ボルト中心までの長手方向の距離	mm	F^*	「JSME S NC1」のSSB-3121.1(1)に定める値 ただし、「 S_y 」を「 $1.2S_y$ 」に読み替える	MPa
d_2	脚底板端面から基礎ボルト中心までの横方向の距離	mm	d_2	脚底板端面から基礎ボルト中心までの横方向の距離	mm	F_b	基礎ボルトに作用する引張力	N
E_s	脚の縦弾性係数	MPa	E_s	脚の縦弾性係数	MPa	F_s	運転時質量により第1脚つけ根に生じる長手方向の接線力	N
e	脚中心から偏心荷重作用点までの距離	mm	e	脚中心から偏心荷重作用点までの距離	mm	F_{se}	鉛直地震力により第1脚つけ根に生じる長手方向の接線力	N
F	「JSME S NC1」のSSB-3121.1(1)に定める値	MPa	F	「JSME S NC1」のSSB-3121.1(1)に定める値	MPa	$1.5f_{1b}$	せん断力のみを受ける基礎ボルトの許容せん断応力	MPa
F^*	「JSME S NC1」のSSB-3121.1(1)に定める値 ただし、「 S_y 」を「 $1.2S_y$ 」に読み替える	MPa	F^*	「JSME S NC1」のSSB-3121.1(1)に定める値 ただし、「 S_y 」を「 $1.2S_y$ 」に読み替える	MPa	$1.5f_{1b}^+$		
F_b	基礎ボルトに作用する引張力	N	F_b	基礎ボルトに作用する引張力	N	$1.5f_{1t}$	引張力とせん断力を同時に受ける基礎ボルトの許容引張応力	MPa
$1.5f_{1b}$	せん断力のみを受ける基礎ボルトの許容せん断応力	MPa	F_s	運転時質量により第1脚つけ根に生じる長手方向の接線力	N	$1.5f_{1t}^+$		
$1.5f_{1b}^+$			F_{se}	鉛直地震力により第1脚つけ根に生じる長手方向の接線力	N	f_{1o}	引張力のみを受ける基礎ボルトの許容引張応力	MPa
$1.5f_{1t}$	脚の許容引張応力	MPa	$1.5f_{1b}$	せん断力のみを受ける基礎ボルトの許容せん断応力	MPa	$1.5f_{1t}$	脚の許容引張応力	MPa
$1.5f_{1t}^+$			$1.5f_{1b}^+$			$1.5f_{1t}^+$		
$1.5f_{1t,t}$	引張力とせん断力を同時に受ける基礎ボルトの許容引張応力	MPa	$1.5f_{1t,t}$	引張力とせん断力を同時に受ける基礎ボルトの許容引張応力	MPa	G_s	脚のせん断弾性係数	MPa
$1.5f_{1t,t}^+$			$1.5f_{1t,t}^+$			g	重力加速度(=9.80665)	m/s^2
f_{1o}	引張力のみを受ける基礎ボルトの許容引張応力	MPa	f_{1o}	引張力のみを受ける基礎ボルトの許容引張応力	MPa	H	静水頭	mm
						h_1	基礎から脚の胴つけ根部までの高さ	mm
						h_2	基礎から胴の中心までの高さ	mm
						I_x	脚の長手方向軸に対する断面二次モーメント	mm^4

別紙 1-25 横置一胴円筒形容器			別紙 1-27 デミスタ（2脚支持）			別紙 1-28 デミスタ（1脚支持）		
記号	表示内容	単位	記号	表示内容	単位	記号	表示内容	単位
G_s	脚のせん断弾性係数	MPa	$1.5 f_t$	脚の許容引張応力	MPa	I_y	脚の横方向軸に対する断面二次モーメント	mm^4
g	重力加速度 (= 9.80665)	m/s^2	$1.5 f_t^*$			k_{c1}, k_{t1}	引用文献(1)より得られる値	-
H	静水頭	mm	G_s	脚のせん断弾性係数	MPa	K_c	脚のばね定数(胴の横方向に水平力が作用する場合)	N/mm
h_1	基礎から脚の胴つけ根部までの高さ	mm	g	重力加速度 (= 9.80665)	m/s^2	K_t	脚のばね定数(胴の長手方向に水平力が作用する場合)	N/mm
h_2	基礎から胴の中心までの高さ	mm	H	静水頭	mm	K_1, K_2	引用文献(1)より得られる値	-
I_x	脚の長手方向軸に対する断面二次モーメント	mm^4	h_1	第1脚における基礎から脚の胴つけ根部までの高さ	mm	K_v	脚のばね定数(胴の鉛直方向に鉛直力が作用する場合)	N/mm
I_y	脚の横方向軸に対する断面二次モーメント	mm^4	h_2	第1脚における基礎から胴の中心までの高さ	mm	l_1	脚の中心より左側荷重点までの距離	mm
j_1	荷重分布で分けられた容器各部の荷重の数	-	h_3	第2脚における基礎から脚の胴つけ根部までの高さ	mm	l_2	脚の中心より右側荷重点までの距離	mm
j_2	第1脚より第2脚と反対の方向に作用する容器各部の荷重の数 (第1脚上の荷重は含まない)	-	h_4	第2脚における基礎から胴の中心までの高さ	mm	l_{b1}, l_{b2}	基礎ボルトの中心間距離	mm
j_3	第2脚より第1脚と反対の方向に作用する容器各部の荷重の数 (第2脚上の荷重は含まない)	-	I_x	脚の長手方向軸に対する断面二次モーメント	mm^4	M	脚底版に作用するモーメント	N·mm
K_c	水平(横)方向ばね定数	N/mm	I_y	脚の横方向軸に対する断面二次モーメント	mm^4	M_c	横方向地震による胴の脚つけ根部のモーメント	N·mm
K_t	水平(長手)方向ばね定数	N/mm	j_1	荷重分布で分けられた容器各部の荷重の数	-	M_{c1}	横方向地震により脚底面に作用するモーメント	N·mm
K_v	鉛直方向ばね定数	N/mm	j_2	第1脚より第2脚と反対の方向に作用する容器各部の荷重の数 (第1脚上の荷重は含まない)	-	M_t	長手方向地震による胴の脚つけ根部のモーメント	N·mm
K_1, K_2	引用文献(1)による定数	-	j_3	第2脚より第1脚と反対の方向に作用する容器各部の荷重の数 (第2脚上の荷重は含まない)	-	M_{t1}	長手方向地震により脚底面に作用するモーメント	N·mm
k_{c1}, k_{t1}	引用文献(1)による定数	-	K_{c1}	脚のばね定数 (胴の横方向に水平力が作用する場合：第1脚について)	N/mm	M_1	脚部における胴の運転時質量によるモーメント	N·mm
l_1	第1脚より各荷重までの距離(ここで第2脚側の距離は正、その反対側は負とする)	mm	K_{c2}	脚のばね定数 (胴の横方向に水平力が作用する場合：第2脚について)	N/mm	M_x	引用文献(1)による胴に作用する軸方向曲げモーメント	N·mm
l_b	脚中心軸間距離	mm	K_t	脚のばね定数(胴の長手方向に水平力が作用する場合)	N/mm	M_ϕ	引用文献(1)による胴に作用する周方向曲げモーメント	N·mm
M	脚底版に作用するモーメント	N·mm	K_v	脚のばね定数(胴の鉛直方向に鉛直力が作用する場合)	N/mm	m_0	容器の有効運転時質量	kg
M_c	横方向地震による胴の脚つけ根部のモーメント	N·mm	K_1, K_2	引用文献(1)による定数	-	m_1	脚の中心より左側の有効運転時質量	kg
M_{c1}	横方向地震により脚底面に作用するモーメント	N·mm	k_{c1}, k_{t1}	引用文献(1)より得られる値	-	m_2	脚の中心より右側の有効運転時質量	kg
M_t	長手方向地震による胴の脚つけ根部のモーメント	N·mm	k_{c2}	引用文献(1)より得られる値	-	m_s	脚の質量	kg
M_{t1}	長手方向地震により脚底面に作用するモーメント	N·mm	l_1	第1脚より各荷重までの距離 (ここで第2脚側の距離は正、その反対側は負とする)	mm	N_x	引用文献(1)による胴に作用する軸方向の膜力	N/mm
M_1, M_2	第1脚部及び第2脚部における胴の運転時質量によるモーメント	N·mm	l_b	脚中心軸間距離	mm	N_ϕ	引用文献(1)による胴に作用する周方向の膜力	N/mm
M_x	引用文献(1)による胴に作用する軸方向曲げモーメント	N·mm	M	脚底版に作用するモーメント	N·mm	n	脚1個当たりの基礎ボルトの本数	-
M_ϕ	引用文献(1)による胴に作用する周方向曲げモーメント	N·mm	M_c	横方向地震による胴の脚つけ根部のモーメント	N·mm	n_1	鉛直方向地震及び水平方向地震(長手方向)により引張りを受ける基礎ボルトの本数	-
N_x	引用文献(1)による胴に作用する軸方向の膜力	N/mm	M_{c1}	横方向地震により第1脚底面に作用するモーメント	N·mm	n_2	鉛直方向地震及び水平方向地震(横方向)により引張りを受ける基礎ボルトの本数	-
N_ϕ	引用文献(1)による胴に作用する周方向の膜力	N/mm	M_{c2}	横方向地震により第2脚底面に作用するモーメント	N·mm	P	運転時質量により胴の脚つけ根部に作用する半径方向反力	N
n	脚1個当たりの基礎ボルトの本数	-	M_t	長手方向地震による胴の脚つけ根部のモーメント	N·mm	P_ϕ	鉛直方向地震により胴の脚つけ根部に作用する半径方向反力	N
n_1	鉛直方向及び水平方向地震力(長手方向)により引張りを受ける基礎ボルトの本数	-	M_{t1}	長手方向地震により脚底面に作用するモーメント	N·mm	P_t	長手方向地震により胴の脚つけ根部に作用する鉛直荷重	N
						P_c	最高使用圧力	MPa

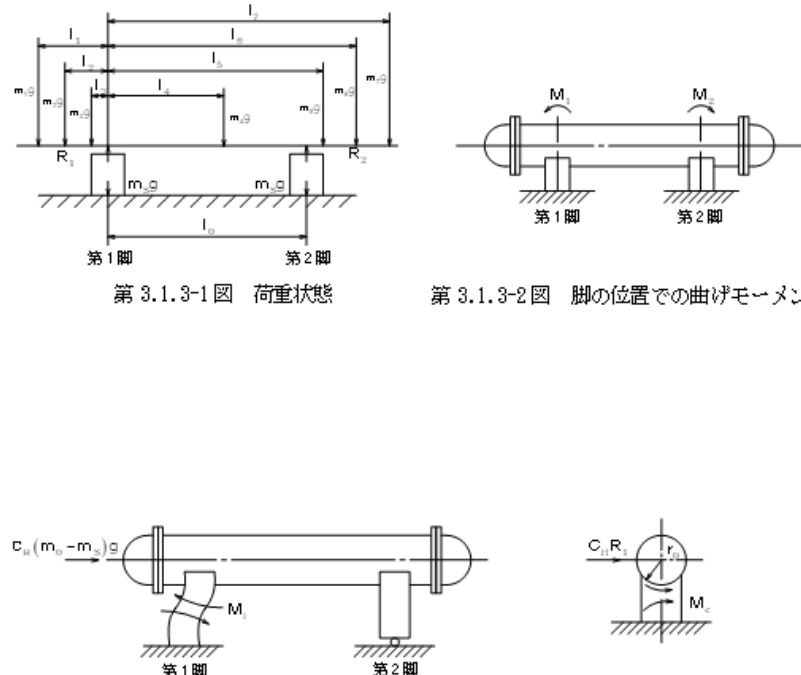
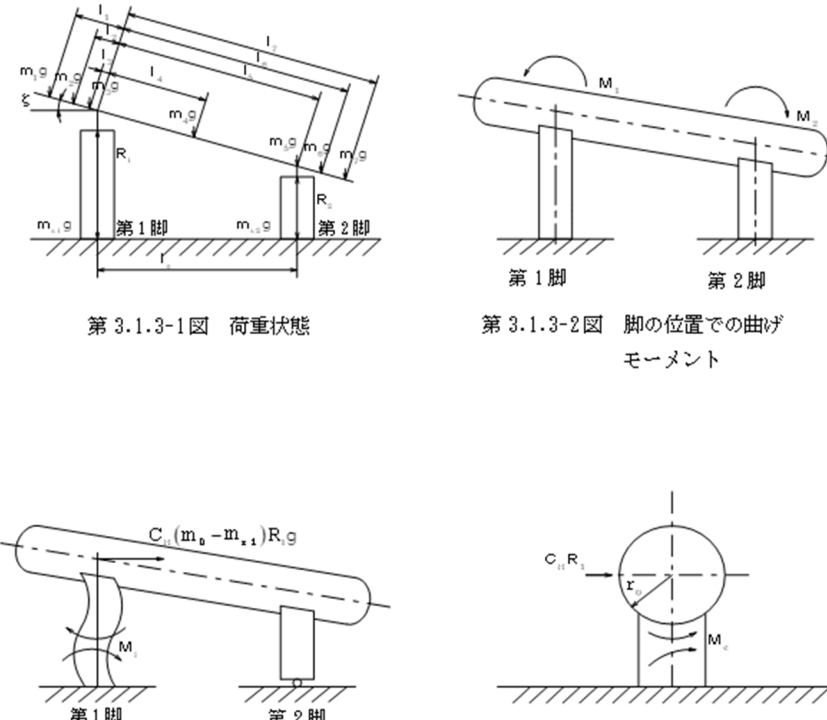
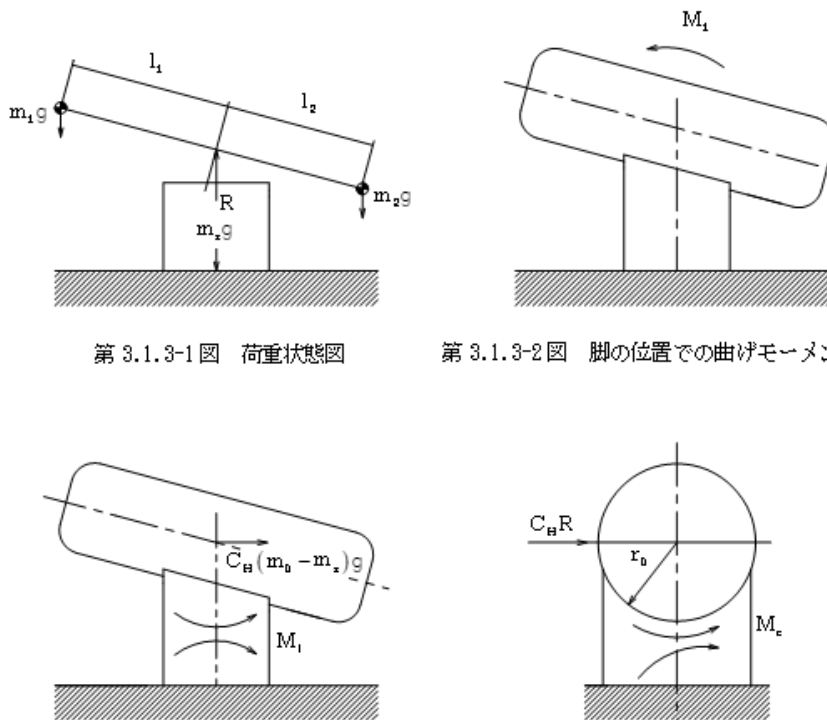
別紙 1-25 横置一胴円筒形容器			別紙 1-27 デミスタ (2脚支持)			別紙 1-28 デミスタ (1脚支持)		
記号	表示内容	単位	記号	表示内容	単位	記号	表示内容	単位
n_2	鉛直方向及び水平方向地震力(横方向)により引張りを受ける基礎ボルトの本数	-	M_1, M_2	第1及び第2脚部における胴の運転時質量によるモーメント	N・mm	Q	運転時質量により胴の脚つけ根部に作用する長手方向反力	N
P	胴の脚つけ根部に作用する運転時質量による反力	N	M_x	引用文献(1)による胴に作用する軸方向曲げモーメント	N・mm	Q_s	鉛直方向地震により胴の脚つけ根部に作用する長手方向反力	N
P_s	胴の脚つけ根部に作用する鉛直方向地震による反力	N	M_ϕ	引用文献(1)による胴に作用する周方向曲げモーメント	N・mm	R	脚の受ける荷重	N
P_l	長手方向地震により胴の脚つけ根部に作用する鉛直荷重	N	m_i	容器各部の質量	kg	r_m	脚つけ根部における胴の平均半径	mm
P_r	最高使用圧力	MPa	m_0	容器の有効運転時質量	kg	r_o	脚つけ根部における胴の外半径	mm
P_s	長手方向地震により脚底部に作用する鉛直荷重	N	m_{s1}	第1脚の質量	kg	r_1	円筒形アタッチメントの半径	mm
P_{s1}	横方向地震により脚底部に作用する鉛直荷重	N	m_{s2}	第2脚の質量	kg	S_a	胴板の許容応力	MPa
R_1, R_2	第1, 第2脚の受ける荷重	N	N_x	引用文献(1)による胴に作用する軸方向の膜力	N/mm	T	固有周期	s
r_m	脚つけ根部における胴の平均半径	mm	N_ϕ	引用文献(1)による胴に作用する周方向の膜力	N/mm	t	胴の板厚	mm
r_o	脚つけ根部における胴の外半径	mm	n	脚1個あたりの基礎ボルトの本数	-	t_s	脚つけ根部における胴の有効板厚	mm
s	基礎ボルトと基礎の縦弾性係数比	-	n_1	鉛直方向及び水平方向地震力(長手方向)により引張りを受ける基礎ボルトの本数	-	t_w	脚取付部の当板板厚	mm
S_a	胴板の許容応力	MPa	n_2	鉛直方向及び水平方向地震力(横方向)により引張りを受ける基礎ボルトの本数	-	Z	引用文献(2)による胴の断面係数	mm ³
T	固有周期	s	P	胴の脚つけ根部に作用する運転時質量による反力	N	Z_{sx}	脚の長手方向軸に対する断面係数	mm ³
t	胴の板厚	mm	P_s	胴の脚つけ根部に作用する鉛直方向地震による反力	N	Z_{sy}	脚の横方向軸に対する断面係数	mm ³
t_s	脚つけ根における胴の有効板厚	mm	P_l	長手方向地震により胴の脚つけ根部に作用する鉛直荷重	N	α	脚の開き角	rad
t_w	脚取付部の当板板厚	mm	P_r	最高使用圧力	MPa	$\beta, \beta_1, \beta_2, \beta_1'$	引用文献(1)によるアタッチメントパラメータ	-
m_i	容器各部の質量	kg	P_s	長手方向地震により脚底部に作用する鉛直荷重	N	β_c	引用文献(1)によるシェルパラメータ	-
m_0	容器の有効運転時質量	kg	P_{s1}	横方向地震により第1脚底部に作用する鉛直荷重	N	γ	胴の傾斜角度	rad
m_s	脚の質量	kg	P_{s2}	横方向地震により第2脚底部に作用する鉛直荷重	N	θ	引用文献(2)による胴の有効範囲角の2分の1	rad
X_n	基礎が圧縮力を受ける幅	mm	R_1, R_2	第1及び第2脚の受ける荷重	N	θ_0	胴の脚端部より鉛直軸までの角度	rad
Z	引用文献(2)による胴の断面係数	mm ³	r_m	脚つけ根部における胴の平均半径	mm	ρ	液体の比重	-
Z_{sx}	脚の長手方向軸に対する断面係数	mm ³	r_o	脚つけ根部における胴の外半径	mm	ρ'	液体の比重量(=10 ⁻⁶ ×gρ)	N/mm ³
Z_{sy}	脚の横方向軸に対する断面係数	mm ³	s	基礎ボルトと基礎の縦弾性係数比	-	σ_0	胴板の一次一般膜応力の最大値	MPa
α	脚の開き角	rad	S_a	胴板の許容応力	MPa	σ_{oc}	横方向地震及び鉛直方向地震が作用した場合の胴板の組合せ一次一般膜応力	MPa
$\beta, \beta_1, \beta_2, \beta_1'$	引用文献(1)によるアタッチメントパラメータ	-	T	固有周期	s	σ_{ocx}	横方向地震及び鉛直方向地震が作用した場合の胴板の軸方向一次一般膜応力の和	MPa
β_c	引用文献(1)によるシェルパラメータ	-	t	胴の板厚	mm			
γ	引用文献(1)によるシェルパラメータ	-	t_s	脚つけ根部における胴の有効板厚	mm			
θ	脚取付部における胴の有効範囲角の2分の1	rad	t_w	脚取付部の当板板厚	mm			
θ_0	胴の脚端部より鉛直軸までの角度	rad						

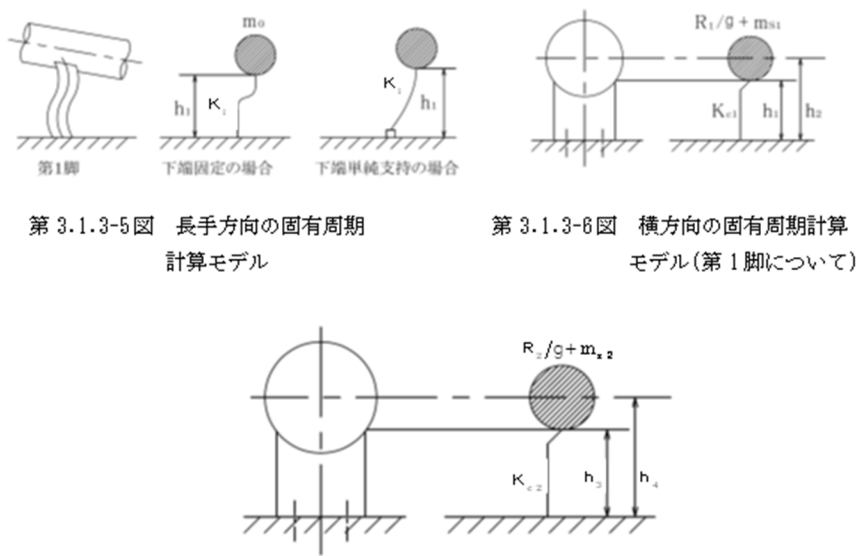
別紙 1-25 横置一胴円筒形容器			別紙 1-27 デミスタ（2脚支持）			別紙 1-28 デミスタ（1脚支持）		
記号	表示内容	単位	記号	表示内容	単位	記号	表示内容	単位
ρ	液体の比重	-	X_n	基礎が圧縮力を受ける幅	mm	$\sigma_{0c\phi}$	横方向地震及び鉛直方向地震が作用した場合の胴板の周方向一次一般膜応力の和	MPa
ρ'	液体の比重量(=10 ⁻⁶ ×gρ)	N/mm ³	Z	引用文献(2)による胴の断面係数	mm ³	σ_{01}	長手方向地震及び鉛直方向地震が作用した場合の胴板の組合せ一次一般膜応力	MPa
σ_0	胴板の一次一般膜応力の最大値	MPa	Z_{sx}	脚の長手方向軸に対する断面係数	mm ³	σ_{01r}	長手方向地震及び鉛直方向地震が作用した場合の胴板の軸方向一次一般膜応力の和	MPa
σ_{0c}	横方向地震及び鉛直方向地震が作用した場合の胴板の組合せ一次一般膜応力	MPa	Z_{sy}	脚の横方向軸に対する断面係数	mm ³	$\sigma_{01\phi}$	長手方向地震及び鉛直方向地震が作用した場合の胴板の周方向一次一般膜応力の和	MPa
σ_{0cx}	横方向地震及び鉛直方向地震が作用した場合の胴板の軸方向一次一般膜応力の和	MPa	α	脚の開き角	rad	σ_1	胴板の一次応力	MPa
$\sigma_{0c\phi}$	横方向地震及び鉛直方向地震が作用した場合の胴板の周方向一次一般膜応力の和	MPa	$\beta, \beta_1, \beta_2, \beta_1'$	引用文献(1)によるアタッチメントパラメータ	-	σ_{1c}	横方向地震及び鉛直方向地震が作用した場合の胴板の組合せ一次応力	MPa
σ_{01}	長手方向地震及び鉛直方向地震が作用した場合の胴板の組合せ一次一般膜応力	MPa	β_c	引用文献(1)によるシェルパラメータ	-	σ_{1cx}	横方向地震及び鉛直方向地震が作用した場合の胴板の軸方向一次応力の和	MPa
σ_{01x}	長手方向地震及び鉛直方向地震が作用した場合の胴板の軸方向一次一般膜応力の和	MPa	γ	引用文献(2)による胴の有効範囲角の2分の1	rad	$\sigma_{1c\phi}$	横方向地震及び鉛直方向地震が作用した場合の胴板の周方向一次応力の和	MPa
$\sigma_{01\phi}$	長手方向地震及び鉛直方向地震が作用した場合の胴板の周方向一次一般膜応力の和	MPa	θ	胴体脚端部より鉛直軸までの角度	rad	σ_{11}	長手方向地震及び鉛直方向地震が作用した場合の胴板の組合せ一次応力	MPa
σ_1	胴板の一次応力の最大値	MPa	θ_0	液体の比重	-	σ_{11r}	長手方向地震及び鉛直方向地震が作用した場合の胴板の軸方向一次応力の和	MPa
σ_{1c}	横方向地震及び鉛直方向地震が作用した場合の胴板の組合せ一次応力	MPa	ρ'	液体の比重量(=10 ⁻⁶ ×gρ)	N/mm ³	$\sigma_{11\phi}$	長手方向地震及び鉛直方向地震が作用した場合の胴板の周方向一次応力の和	MPa
σ_{1cx}	横方向地震及び鉛直方向地震が作用した場合の胴板の軸方向一次応力の和	MPa	σ_0	胴の一次一般膜応力の最大値	MPa	σ_2	胴板の地震動のみによる一次+二次応力の変動値の最大値	MPa
$\sigma_{1c\phi}$	横方向地震及び鉛直方向地震が作用した場合の胴板の周方向一次応力の和	MPa	σ_{0c}	横方向地震及び鉛直方向地震が作用した場合の胴板の組合せ一次一般膜応力	MPa	σ_{2c}	横方向地震及び鉛直方向地震が作用した場合の胴板の組合せ一次+二次応力の変動値	MPa
σ_{11}	長手方向地震及び鉛直方向地震が作用した場合の胴板の組合せ一次応力	MPa	σ_{0cx}	横方向地震及び鉛直方向地震が作用した場合の胴板の軸方向一次一般膜応力の和	MPa	σ_{2cx}	横方向地震及び鉛直方向地震が作用した場合の胴板の軸方向一次+二次応力の和	MPa
σ_{11x}	長手方向地震及び鉛直方向地震が作用した場合の胴板の軸方向一次応力の和	MPa	$\sigma_{0c\phi}$	横方向地震及び鉛直方向地震が作用した場合の胴板の周方向一次一般膜応力の和	MPa	$\sigma_{2c\phi}$	横方向地震及び鉛直方向地震が作用した場合の胴板の周方向一次+二次応力の和	MPa
$\sigma_{11\phi}$	長手方向地震及び鉛直方向地震が作用した場合の胴板の周方向一次応力の和	MPa	σ_{01}	長手方向地震及び鉛直方向地震が作用した場合の胴板の組合せ一次一般膜応力	MPa	σ_{21}	長手方向地震及び鉛直方向地震が作用した場合の胴板の組合せ一次+二次応力の変動値	MPa
σ_2	胴板の地震動のみによる一次+二次応力の変動値の最大値	MPa	σ_{01x}	長手方向地震及び鉛直方向地震が作用した場合の胴板の軸方向一次一般膜応力の和	MPa	σ_{21x}	長手方向地震及び鉛直方向地震が作用した場合の胴板の軸方向一次+二次応力の和	MPa
σ_{2c}	横方向地震及び鉛直方向地震が作用した場合の胴板の組合せ一次+二次応力の変動値	MPa	$\sigma_{01\phi}$	長手方向地震及び鉛直方向地震が作用した場合の胴板の周方向一次一般膜応力の和	MPa			
σ_{2cx}	横方向地震及び鉛直方向地震が作用した場合の胴板の軸方向一次+二次応力の和	MPa	σ_1	胴板の一次応力の最大値	MPa			
$\sigma_{2c\phi}$	横方向地震及び鉛直方向地震が作用した場合の胴板の周方向一次+二次応力の和	MPa	σ_{1c}	横方向地震及び鉛直方向地震が作用した場合の胴板の組合せ一次応力	MPa			

別紙 1-25 横置一胴円筒形容器			別紙 1-27 デミスタ（2脚支持）			別紙 1-28 デミスタ（1脚支持）		
記号	表示内容	単位	記号	表示内容	単位	記号	表示内容	単位
σ_{2cx}	横方向地震及び鉛直方向地震が作用した場合の胴板の軸方向一次+二次応力の和	MPa	σ_{1cx}	横方向地震及び鉛直方向地震が作用した場合の胴板の軸方向一次応力の和	MPa	$\sigma_{21\phi}$	長手方向地震及び鉛直方向地震が作用した場合の胴板の周方向一次+二次応力の和	MPa
$\sigma_{2c\phi}$	横方向地震及び鉛直方向地震が作用した場合の胴板の周方向一次+二次応力の和	MPa	$\sigma_{1c\phi}$	横方向地震及び鉛直方向地震が作用した場合の胴板の周方向一次応力の和	MPa	σ_b	基礎ボルトに生じる引張応力の最大値	MPa
σ_{21}	長手方向地震及び鉛直方向地震が作用した場合の胴板の組合せ一次+二次応力の変動値	MPa	σ_{11}	長手方向地震及び鉛直方向地震が作用した場合の胴板の組合せ一次応力	MPa	σ_{b1}	長手方向地震により基礎ボルトに生じる引張応力	MPa
σ_{21x}	長手方向地震及び鉛直方向地震が作用した場合の胴板の軸方向一次+二次応力の和	MPa	σ_{11x}	長手方向地震及び鉛直方向地震が作用した場合の胴板の軸方向一次応力の和	MPa	σ_{b2}	横方向地震により基礎ボルトに生じる引張応力	MPa
$\sigma_{21\phi}$	長手方向地震及び鉛直方向地震が作用した場合の胴板の周方向一次+二次応力の和	MPa	$\sigma_{11\phi}$	長手方向地震及び鉛直方向地震が作用した場合の胴板の周方向一次応力の和	MPa	σ_s	脚の組合せ応力の最大値	MPa
σ_b	基礎ボルトに生じる引張応力の最大値	MPa	σ_2	胴板の地震動のみによる一次+二次応力の変動値の最大値	MPa	σ_{sc}	横方向地震が作用した場合の脚の組合せ応力	MPa
σ_{b1}	長手方向地震及び鉛直方向地震により基礎ボルトに生じる引張応力	MPa	σ_{2c}	横方向地震及び鉛直方向地震が作用した場合の胴板の組合せ一次+二次応力の変動値	MPa	σ_{s1}	長手方向地震が作用した場合の脚の組合せ応力	MPa
σ_{b2}	横方向地震及び鉛直方向地震により基礎ボルトに生じる引張応力	MPa	σ_{2cx}	横方向地震及び鉛直方向地震が作用した場合の胴板の軸方向一次+二次応力の和	MPa	σ_{s1}	脚の運転時質量による圧縮応力	MPa
σ_s	脚の組合せ応力の最大値	MPa	$\sigma_{2c\phi}$	横方向地震及び鉛直方向地震が作用した場合の胴板の周方向一次+二次応力の和	MPa	σ_{s2}	長手方向地震により脚に生じる圧縮応力及び曲げ応力の和	MPa
σ_{sc}	横方向地震及び鉛直方向地震が作用した場合の脚の組合せ応力	MPa	σ_{21}	長手方向地震及び鉛直方向地震が作用した場合の胴板の組合せ一次+二次応力の変動値	MPa	σ_{s3}	横方向地震により脚に生じる曲げ応力	MPa
σ_{s1}	長手方向地震及び鉛直方向地震が作用した場合の脚の組合せ応力	MPa	σ_{21x}	長手方向地震及び鉛直方向地震が作用した場合の胴板の軸方向一次+二次応力の和	MPa	σ_{s4}	脚の鉛直方向地震による圧縮応力	MPa
σ_{s1}	脚の運転時質量による圧縮応力	MPa	$\sigma_{21\phi}$	長手方向地震及び鉛直方向地震が作用した場合の胴板の周方向一次+二次応力の和	MPa	$\sigma_{\phi 1}, \sigma_{x1}$	静水頭又は内圧により胴板に生じる周方向応力及び軸方向応力	MPa
σ_{s2}	長手方向地震により脚に生じる圧縮応力及び曲げ応力の和	MPa	σ_b	基礎ボルトに生じる引張応力の最大値	MPa	σ_{x2}	運転時質量による長手方向曲げモーメントにより胴板に生じる軸方向応力	MPa
σ_{s3}	横方向地震により脚に生じる曲げ応力	MPa	σ_{b1}	長手方向地震により基礎ボルトに生じる引張応力	MPa	$\sigma_{\phi 3}, \sigma_{x3}$	運転時質量により胴の脚つけ根部に生じる周方向一次応力及び軸方向一次応力	MPa
σ_{s4}	脚の鉛直方向地震による圧縮応力	MPa	σ_{b2}	横方向地震により基礎ボルトに生じる引張応力	MPa	$\sigma_{\phi 2}$	静水頭に鉛直方向地震が加わり胴板に生じる周方向応力	MPa
$\sigma_{\phi 1}, \sigma_{x1}$	静水頭又は内圧により胴に生じる周方向応力及び軸方向応力	MPa	σ_{b21}	横方向地震により第1脚の基礎ボルトに生じる引張応力	MPa	$\sigma_{\phi 4}, \sigma_{x4}$	長手方向地震により胴の脚つけ根部に生じる周方向一次応力及び軸方向一次応力の和	MPa
σ_{x2}	胴の運転時質量による長手方向曲げモーメントにより胴板に生じる軸方向応力	MPa	σ_{b22}	横方向地震により第2脚の基礎ボルトに生じる引張応力	MPa	$\sigma_{\phi 41}, \sigma_{x41}$	長手方向地震による胴の脚つけ根部のモーメントにより生じる周方向一次応力及び軸方向一次応力	MPa
$\sigma_{\phi 2}$	静水頭により鉛直地震力が加わり胴板に生じる周方向応力	MPa	σ_s	脚の組合せ応力の最大値	MPa	$\sigma_{\phi 42}, \sigma_{x42}$	長手方向地震による胴の脚つけ根部の鉛直荷重により生じる周方向一次応力及び軸方向一次応力	MPa
$\sigma_{\phi 3}, \sigma_{x3}$	運転時質量により胴の脚つけ根部に生じる周方向一次応力及び軸方向一次応力	MPa	σ_{sc}	横方向地震が作用した場合の脚の組合せ応力	MPa	σ_{x43}	長手方向地震により生じる水平方向荷重による胴板の応力	MPa
$\sigma_{\phi 4}, \sigma_{x4}$	長手方向地震により胴の脚つけ根部に生じる周方向一次応力及び軸方向一次応力の和	MPa				$\sigma_{\phi 5}, \sigma_{x5}$	横方向地震による胴の脚つけ根部のモーメントにより生じる周方向一次応力及び軸方向一次応力	MPa
$\sigma_{\phi 41}, \sigma_{x41}$	長手方向地震による胴の脚つけ根部のモーメントにより生じる周方向一次応力及び軸方向一次応力	MPa				σ_{x6}	胴の鉛直方向地震による長手方向曲げモーメントにより胴板に生じる軸方向一次応力	MPa
						$\sigma_{\phi 7}, \sigma_{x7}$	鉛直方向地震により胴の脚つけ根部に生じる周方向一次応力及び軸方向一次応力	MPa
						$\sigma_{2\phi 4}, \sigma_{2x4}$	長手方向地震により胴の脚つけ根部に生じる周方向二次応力及び軸方向二次応力の和	MPa

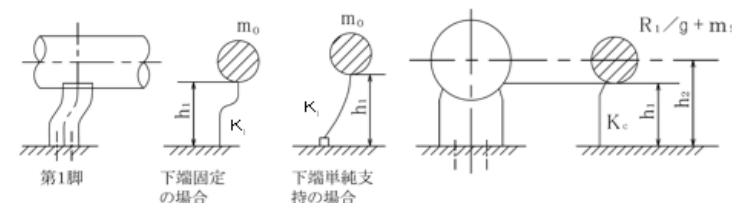
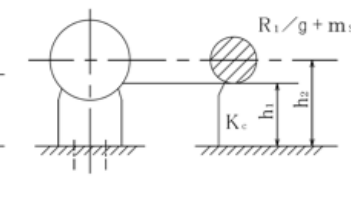
別紙 1-25 横置一胴円筒形容器			別紙 1-27 デミスタ（2脚支持）			別紙 1-28 デミスタ（1脚支持）		
記号	表示内容	単位	記号	表示内容	単位	記号	表示内容	単位
$\sigma_{\phi 42}$	長手方向地震による胴の脚つけ根部の鉛直荷重により生じる	MPa	$\sigma_{\phi 1}$	長手方向地震が作用した場合の脚の組合せ応力	MPa	$\sigma_{2\phi 41}$	長手方向地震による胴の脚つけ根部のモーメントにより生じる	MPa
$\sigma_{x 42}$	周方向一次応力及び軸方向一次応力		$\sigma_{s 1}$	脚の運転時質量による圧縮応力	MPa	$\sigma_{2x 41}$	周方向二次応力及び軸方向二次応力	
$\sigma_{x 43}$	長手方向地震により生じる水平方向荷重による胴の応力	MPa	$\sigma_{s 2}$	長手方向地震により脚に生じる圧縮応力及び曲げ応力の和	MPa	$\sigma_{2\phi 42}$	長手方向地震による胴の脚つけ根部の鉛直荷重により生じる	MPa
$\sigma_{\phi 5}, \sigma_{x 5}$	横方向地震による胴の脚つけ根部のモーメントにより生じる	MPa	$\sigma_{s 3}$	横方向地震により脚に生じる曲げ応力	MPa	$\sigma_{2x 42}$	周方向二次応力及び軸方向二次応力	
	周方向一次応力及び軸方向一次応力		$\sigma_{s 4}$	脚の鉛直方向地震による圧縮応力	MPa	$\sigma_{2\phi 5}$	横方向地震による胴の脚つけ根部のモーメントにより生じる	MPa
$\sigma_{x 6}$	胴の鉛直方向地震による長手方向曲げモーメントにより胴に	MPa	$\sigma_{\phi 1}, \sigma_{x 1}$	静水頭又は内圧により胴に生じる周方向及び軸方向応力	MPa	$\sigma_{2x 5}$	周方向二次応力及び軸方向二次応力	
	生じる軸方向一次応力		$\sigma_{\phi 2}$	静水頭に鉛直方向地震力が加わり胴に生じる周方向応力	MPa	$\sigma_{2\phi 7}$	鉛直方向地震により胴の脚つけ根部に生じる周方向二次応力	MPa
$\sigma_{\phi 7}, \sigma_{x 7}$	鉛直方向地震により胴の脚つけ根部に生じる周方向一次応力	MPa	$\sigma_{x 2}$	胴の運転時質量による長手方向曲げモーメントにより胴に生	MPa	$\sigma_{2x 7}$	及び軸方向二次応力	
	及び軸方向一次応力		$\sigma_{\phi 3}, \sigma_{x 3}$	じる軸方向応力		τ_b	基礎ボルトに生じるせん断応力	MPa
$\sigma_{2\phi 4}$	長手方向地震により胴の脚つけ根部に生じる周方向二次応力	MPa		及び軸方向一次応力		$\tau_{b 1}$	長手方向地震により基礎ボルトに生じるせん断応力	MPa
$\sigma_{2x 4}$	及び軸方向二次応力の和		$\sigma_{\phi 4}, \sigma_{x 4}$	長手方向地震により胴の脚つけ根部に生じる周方向一次応力	MPa	$\tau_{b 2}$	横方向地震により基礎ボルトに生じるせん断応力	MPa
$\sigma_{2\phi 41}$	長手方向地震による胴の脚つけ根部のモーメントにより生じ	MPa		及び軸方向一次応力の和		τ_c	横方向地震により胴の脚つけ根部に生じるせん断応力	MPa
$\sigma_{2x 41}$	る周方向二次応力及び軸方向二次応力		$\sigma_{\phi 41}$	長手方向地震による胴の脚つけ根部のモーメントにより生じ	MPa	τ_{11}	運転時質量により胴の脚つけ根部に生じるせん断応力	MPa
$\sigma_{2\phi 42}$	長手方向地震による胴の脚つけ根部の鉛直荷重により生じる	MPa	$\sigma_{x 41}$	る周方向一次応力及び軸方向一次応力		τ_{12}	鉛直方向地震により胴の脚つけ根部に生じるせん断応力	MPa
$\sigma_{2x 42}$	周方向二次応力及び軸方向二次応力		$\sigma_{\phi 42}$	長手方向地震による胴の脚つけ根部の鉛直荷重により生じる	MPa	τ_{13}	長手方向地震により胴の脚つけ根部に生じるせん断応力	MPa
$\sigma_{2\phi 5}$	横方向地震による胴の脚つけ根部のモーメントにより生じる	MPa	$\sigma_{x 42}$	周方向一次応力及び軸方向一次応力		$\tau_{s 2}$	長手方向地震により脚に生じるせん断応力	MPa
$\sigma_{2x 5}$	周方向二次応力及び軸方向二次応力		$\sigma_{x 43}$	長手方向地震により生じる水平方向荷重による胴の応力	MPa	$\tau_{s 3}$	横方向地震により脚に生じるせん断応力	MPa
$\sigma_{2\phi 7}$	鉛直方向地震により胴の脚つけ根部に生じる周方向二次応力	MPa	$\sigma_{\phi 5}, \sigma_{x 5}$	横方向地震による胴の脚つけ根部のモーメントにより生じる	MPa			
$\sigma_{2x 7}$	及び軸方向二次応力			周方向一次応力及び軸方向一次応力				
τ_b	基礎ボルトに生じるせん断応力	MPa	$\sigma_{x 6}$	胴の鉛直方向地震による長手方向曲げモーメントにより胴に	MPa			
$\tau_{b 1}$	長手方向地震により基礎ボルトに生じるせん断応力	MPa		生じる軸方向一次応力				
$\tau_{b 2}$	横方向地震により基礎ボルトに生じるせん断応力	MPa	$\sigma_{\phi 7}, \sigma_{x 7}$	鉛直方向地震により胴の脚つけ根部に生じる周方向一次応力	MPa			
τ_c	横方向地震により胴の脚つけ根部に生じるせん断応力	MPa		及び軸方向一次応力				
τ_1	長手方向地震により胴の脚つけ根部に生じるせん断応力	MPa	$\sigma_{2\phi 4}$	長手方向地震により胴の脚つけ根部に生じる周方向二次応力	MPa			
$\tau_{s 2}$	長手方向地震により脚に生じるせん断応力	MPa	$\sigma_{2x 4}$	及び軸方向二次応力の和				
$\tau_{s 3}$	横方向地震により脚に生じるせん断応力	MPa	$\sigma_{2\phi 41}$	長手方向地震による胴の脚つけ根部のモーメントにより生じ	MPa			
			$\sigma_{2x 41}$	る周方向二次応力及び軸方向二次応力				
			$\sigma_{2\phi 42}$	長手方向地震による胴の脚つけ根部鉛直荷重により生じる周	MPa			
			$\sigma_{2x 42}$	方向二次応力及び軸方向二次応力				
			$\sigma_{2\phi 5}$	横方向地震による胴の脚つけ根部のモーメントにより生じる	MPa			
			$\sigma_{2x 5}$	周方向二次応力及び軸方向二次応力				

別紙 1-25 横置一胴円筒形容器	別紙 1-27 デミスタ（2脚支持）	別紙 1-28 デミスタ（1脚支持）																																													
	<table border="1"> <thead> <tr> <th data-bbox="1071 344 1190 390">記号</th> <th data-bbox="1190 344 1745 390">表示内容</th> <th data-bbox="1745 344 1857 390">単位</th> </tr> </thead> <tbody> <tr> <td data-bbox="1071 390 1190 422">$\sigma_{2\phi r}$</td> <td data-bbox="1190 390 1745 422">鉛直方向地震により胴の脚つけ根部に生じる周方向二次応力</td> <td data-bbox="1745 390 1857 422">MPa</td> </tr> <tr> <td data-bbox="1071 422 1190 453">$\sigma_{2x r}$</td> <td data-bbox="1190 422 1745 453">及び軸方向二次応力</td> <td data-bbox="1745 422 1857 453"></td> </tr> <tr> <td data-bbox="1071 453 1190 485">τ_b</td> <td data-bbox="1190 453 1745 485">基礎ボルトに生じるせん断応力</td> <td data-bbox="1745 453 1857 485">MPa</td> </tr> <tr> <td data-bbox="1071 485 1190 516">τ_{b1}</td> <td data-bbox="1190 485 1745 516">長手方向地震により基礎ボルトに生じるせん断応力</td> <td data-bbox="1745 485 1857 516">MPa</td> </tr> <tr> <td data-bbox="1071 516 1190 548">τ_{b2}</td> <td data-bbox="1190 516 1745 548">横方向地震により基礎ボルトに生じるせん断応力</td> <td data-bbox="1745 516 1857 548">MPa</td> </tr> <tr> <td data-bbox="1071 548 1190 579">τ_c</td> <td data-bbox="1190 548 1745 579">横方向地震時により胴の脚つけ根部に生じるせん断応力</td> <td data-bbox="1745 548 1857 579">MPa</td> </tr> <tr> <td data-bbox="1071 579 1190 611">τ_{c1}</td> <td data-bbox="1190 579 1745 611">横方向地震により胴の脚つけ根部に生じるせん断応力</td> <td data-bbox="1745 579 1857 611">MPa</td> </tr> <tr> <td data-bbox="1071 611 1190 642">τ_{11}, τ_{21}</td> <td data-bbox="1190 611 1745 642">長手方向地震時により胴の脚つけ根部に生じるせん断応力</td> <td data-bbox="1745 611 1857 642">MPa</td> </tr> <tr> <td data-bbox="1071 642 1190 674">τ_{11}</td> <td data-bbox="1190 642 1745 674">自重により胴の脚つけ根部に生じるせん断応力</td> <td data-bbox="1745 642 1857 674">MPa</td> </tr> <tr> <td data-bbox="1071 674 1190 705">τ_{12}</td> <td data-bbox="1190 674 1745 705">鉛直方向地震により胴の脚つけ根部に生じるせん断応力</td> <td data-bbox="1745 674 1857 705">MPa</td> </tr> <tr> <td data-bbox="1071 705 1190 737">τ_{13}</td> <td data-bbox="1190 705 1745 737">長手方向地震により胴の脚つけ根部に生じるせん断応力</td> <td data-bbox="1745 705 1857 737">MPa</td> </tr> <tr> <td data-bbox="1071 737 1190 768">τ_{21}</td> <td data-bbox="1190 737 1745 768">長手方向地震により脚に生じるせん断応力</td> <td data-bbox="1745 737 1857 768">MPa</td> </tr> <tr> <td data-bbox="1071 768 1190 800">τ_{22}</td> <td data-bbox="1190 768 1745 800">横方向地震により脚に生じるせん断応力</td> <td data-bbox="1745 768 1857 800">MPa</td> </tr> <tr> <td data-bbox="1071 800 1190 831">θ</td> <td data-bbox="1190 800 1745 831">胴の傾斜角度</td> <td data-bbox="1745 800 1857 831">rad</td> </tr> </tbody> </table>	記号	表示内容	単位	$\sigma_{2\phi r}$	鉛直方向地震により胴の脚つけ根部に生じる周方向二次応力	MPa	$\sigma_{2x r}$	及び軸方向二次応力		τ_b	基礎ボルトに生じるせん断応力	MPa	τ_{b1}	長手方向地震により基礎ボルトに生じるせん断応力	MPa	τ_{b2}	横方向地震により基礎ボルトに生じるせん断応力	MPa	τ_c	横方向地震時により胴の脚つけ根部に生じるせん断応力	MPa	τ_{c1}	横方向地震により胴の脚つけ根部に生じるせん断応力	MPa	τ_{11}, τ_{21}	長手方向地震時により胴の脚つけ根部に生じるせん断応力	MPa	τ_{11}	自重により胴の脚つけ根部に生じるせん断応力	MPa	τ_{12}	鉛直方向地震により胴の脚つけ根部に生じるせん断応力	MPa	τ_{13}	長手方向地震により胴の脚つけ根部に生じるせん断応力	MPa	τ_{21}	長手方向地震により脚に生じるせん断応力	MPa	τ_{22}	横方向地震により脚に生じるせん断応力	MPa	θ	胴の傾斜角度	rad	
記号	表示内容	単位																																													
$\sigma_{2\phi r}$	鉛直方向地震により胴の脚つけ根部に生じる周方向二次応力	MPa																																													
$\sigma_{2x r}$	及び軸方向二次応力																																														
τ_b	基礎ボルトに生じるせん断応力	MPa																																													
τ_{b1}	長手方向地震により基礎ボルトに生じるせん断応力	MPa																																													
τ_{b2}	横方向地震により基礎ボルトに生じるせん断応力	MPa																																													
τ_c	横方向地震時により胴の脚つけ根部に生じるせん断応力	MPa																																													
τ_{c1}	横方向地震により胴の脚つけ根部に生じるせん断応力	MPa																																													
τ_{11}, τ_{21}	長手方向地震時により胴の脚つけ根部に生じるせん断応力	MPa																																													
τ_{11}	自重により胴の脚つけ根部に生じるせん断応力	MPa																																													
τ_{12}	鉛直方向地震により胴の脚つけ根部に生じるせん断応力	MPa																																													
τ_{13}	長手方向地震により胴の脚つけ根部に生じるせん断応力	MPa																																													
τ_{21}	長手方向地震により脚に生じるせん断応力	MPa																																													
τ_{22}	横方向地震により脚に生じるせん断応力	MPa																																													
θ	胴の傾斜角度	rad																																													

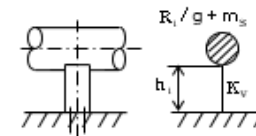
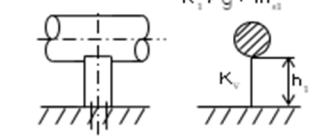
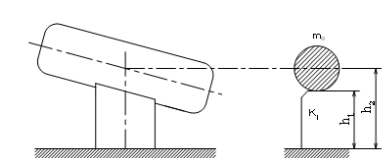
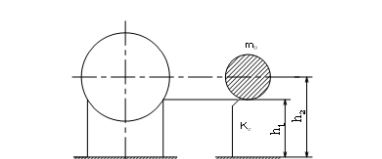
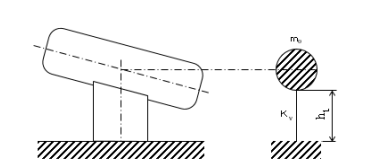
別紙 1-25 横置一胴円筒形容器	別紙 1-27 デミスタ (2脚支持)	別紙 1-28 デミスタ (1脚支持)
<p>3.1.3 固有周期の計算方法</p> <p>長手方向、横方向及び鉛直方向の固有周期Tは、次式により算出する。 本容器の荷重状態及び胴に作用するモーメントを第3.1.3-1図～第3.1.3-4図に示す。ここでは荷重点は7質点とした例を示しているが、質点数は実際の形状に適合させたものとする。 本容器は第3.1.3-5図及び第3.1.3-6図のような1質点系振動と考えられる。</p>  <p>第3.1.3-1図 荷重状態 第3.1.3-2図 脚の位置での曲げモーメント</p> <p>第3.1.3-3図 長手方向荷重により胴が受ける局部モーメント 第3.1.3-4図 横方向荷重により胴が受ける局部モーメント</p>	<p>3.1.3 固有周期の計算方法</p> <p>長手方向、横方向(第1脚, 第2脚)及び鉛直方向の固有周期Tは、次式により算出する。 本容器の荷重状態及び胴に作用するモーメントを第3.1.3-1図～第3.1.3-4図に示す。ここでは荷重点は7質点とした例を示しているが、質点数は実際の形状に適合させたものとする。また、傾斜角θを考慮せず、第2脚(短脚)を第1脚(長脚)に置き換え評価を行う場合は、保守性を考慮した上で適用する。 本容器は第3.1.3-5図及び第3.1.3-6図のような1質点系振動と考えられる。</p>  <p>第3.1.3-1図 荷重状態 第3.1.3-2図 脚の位置での曲げモーメント</p> <p>第3.1.3-3図 長手方向荷重により胴が受ける局部モーメント 第3.1.3-4図 横方向荷重により胴が受ける局部モーメント</p>	<p>3.1.3 固有周期の計算方法</p> <p>長手方向、横方向及び鉛直方向の固有周期Tは、次式により算出する。 本容器の荷重状態及び胴に作用するモーメントを第3.1.3-1図～第3.1.3-4図に示す。また、傾斜角θを考慮せず評価を行う場合は、保守性を考慮した上で適用する。 本容器は第3.1.3-5図～第3.1.3-7図のような1質点系振動と考えられる。</p>  <p>第3.1.3-1図 荷重状態 第3.1.3-2図 脚の位置での曲げモーメント</p> <p>第3.1.3-3図 長手方向荷重により胴が受ける局部モーメント 第3.1.3-4図 横方向荷重により胴が受ける局部モーメント</p>

別紙 1-25 横置一胴円筒形容器	別紙 1-27 デミスタ (2脚支持)	別紙 1-28 デミスタ (1脚支持)
	 <p>第 3.1.3-5 図 長手方向の固有周期計算モデル</p> <p>第 3.1.3-6 図 横方向の固有周期計算モデル(第 1 脚について)</p> <p>第 3.1.3-7 図 横方向の固有周期計算モデル(第 2 脚について)</p> <p>(1) 長手方向 第 3.1.3-5 図におけるばね定数は、次式で表される。</p>	<p>(1) 長手方向 第 3.1.3-5 図におけるばね定数は、次式で表される。</p>
$K_1 = \frac{1}{\frac{h_1^3}{12EI_x} + \frac{h_1}{GA_{s1}}} \dots\dots\dots (3.1.3-1)$	$K_1 = \frac{1}{\frac{h_1^3}{12EI_x} + \frac{h_1}{GA_{s1}}} \dots\dots\dots (3.1.3-1)$	$K_1 = \frac{1}{\frac{h_1^2(3h_2-h_1)}{6EI_x} + \frac{(h_2-h_1)h_1(h_2-h_1/2)}{EI_x} + \frac{h_1}{GA_{s1}}} \dots\dots\dots (3.1.3-1)$
<p>ただし、第 1 脚の基礎ボルトが横方向から見て 1 列の場合は上式の係数 12 を 3 とする。</p> <p>したがって、長手方向の固有周期は、次式で表される。</p> $T = 2\pi \sqrt{\frac{m_0}{10^3 K_1}} \dots\dots\dots (3.1.3-2)$ <p>(2) 横方向 第 3.1.3-6 図におけるばね定数は、次式で表される。</p> $K_{c1} = \frac{1}{\frac{h_1^2(3h_2-h_1)}{6EI_x} + \frac{(h_2-h_1)h_1(h_2-h_1/2)}{EI_x} + \frac{h_1}{GA_{s2}}} \dots\dots (3.1.3-3)$	<p>ただし、第 1 脚の基礎ボルトが横方向から見て 1 列の場合は上式の係数 12 を 3 とする。</p> <p>したがって、長手方向の固有周期は、次式で表される。</p> $T = 2\pi \sqrt{\frac{m_0}{10^3 K_1}} \dots\dots\dots (3.1.3-2)$ <p>(2) 横方向 a. 第 1 脚について 第 3.1.3-6 図におけるばね定数は、次式で表される。</p> $K_{c1} = \frac{1}{\frac{h_1^2(3h_2-h_1)}{6EI_x} + \frac{(h_2-h_1)h_1(h_2-h_1/2)}{EI_x} + \frac{h_1}{GA_{s2}}} \dots\dots (3.1.3-3)$	<p>したがって、長手方向の固有周期は、次式で表される。</p> $T = 2\pi \sqrt{\frac{m_0}{10^3 K_1}} \dots\dots\dots (3.1.3-2)$ <p>(2) 横方向 第 3.1.3-6 図におけるばね定数は、次式で表される。</p> $K_{c1} = \frac{1}{\frac{h_1^2(3h_2-h_1)}{6EI_x} + \frac{(h_2-h_1)h_1(h_2-h_1/2)}{EI_x} + \frac{h_1}{GA_{s2}}} \dots\dots (3.1.3-3)$

①

別紙 1-25 横置一胴円筒形容器	別紙 1-27 デミスタ (2脚支持)	別紙 1-28 デミスタ (1脚支持)
したがって、横方向の固有周期は、次式で表される。	したがって、横方向の固有周期は、次式で表される。	したがって、横方向の固有周期は、次式で表される。
$T = 2\pi \sqrt{\frac{R_1 + m_1}{10^6 K_c}} \dots\dots\dots (3.1.3-4)$	$T = 2\pi \sqrt{\frac{R_1 + m_{1,t}}{10^6 K_{c,t}}} \dots\dots\dots (3.1.3-4)$	$T = 2\pi \sqrt{\frac{m_o}{10^6 K_c}} \dots\dots\dots (3.1.3-4)$
<p>ただし、脚の受ける荷重が$R_2 > R_1$となる場合はR_1をR_2に置き換える。</p> <div style="display: flex; justify-content: space-around;"> <div style="text-align: center;">  <p>第 3.1.3-5 図 長手方向の固有周期の計算モデル</p> </div> <div style="text-align: center;">  <p>第 3.1.3-6 図 横方向の固有周期の計算モデル</p> </div> </div>		

①

別紙 1-25 横置一胴円筒形容器	別紙 1-27 デミスタ (2脚支持)	別紙 1-28 デミスタ (1脚支持)
	b. 第2脚について 第3.1.3-7図におけるばね定数は、次式で表される。	
	$K_{c2} = \frac{1}{\frac{h_3^2(3h_4-h_3)}{8E_s I_x} + \frac{(h_4-h_3)h_3(h_4-h_3/2)}{E_s I_x} + \frac{h_3}{G_s A_s 2}} \cdot (3.1.3-5)$	
したがって、横方向の固有周期は、次式で表される。	したがって、横方向の固有周期は、次式で表される。	
	$T = 2\pi \sqrt{\frac{R_2 + m_{1,2}}{g}} \cdot \frac{1}{\sqrt{10^8 K_{c2}}} \dots\dots\dots (3.1.3-8)$	
(3) 鉛直方向 第3.1.3-7図におけるばね定数は、次式で表される。 $K_v = \frac{E_s A_s}{h_1} \dots\dots\dots (3.1.3-5)$ したがって、鉛直方向の固有周期は、次式で表される。	(3) 鉛直方向 第3.1.3-8図におけるばね定数は、次式で表される。 $K_v = \frac{E_s A_s}{h_1} \dots\dots\dots (3.1.3-7)$ したがって、鉛直方向の固有周期は、次式で表される。	(3) 鉛直方向 第3.1.3-7図におけるばね定数は、次式で表される。 $K_v = \frac{E_s A_s}{h_1} \dots\dots\dots (3.1.3-5)$ したがって、鉛直方向の固有周期は、次式で表される。
$T = 2\pi \sqrt{\frac{R_1 + m_1}{g}} \cdot \frac{1}{\sqrt{10^8 K_v}} \dots\dots\dots (3.1.3-6)$	$T = 2\pi \sqrt{\frac{R_1 + m_{s1}}{g}} \cdot \frac{1}{\sqrt{10^8 K_v}} \dots\dots\dots (3.1.3-8)$	$T = 2\pi \sqrt{\frac{m_0}{g}} \cdot \frac{1}{\sqrt{10^8 K_v}} \dots\dots\dots (3.1.3-6)$
 <p>第3.1.3-7図 鉛直方向の固有周期の計算モデル</p>	 <p>第3.1.3-8図 鉛直方向の固有周期計算モデル</p>	 <p>第3.1.3-5図 長手方向の固有周期計算モデル</p>  <p>第3.1.3-6図 横方向の固有周期計算モデル</p>  <p>第3.1.3-7図 鉛直方向の固有周期計算モデル</p>

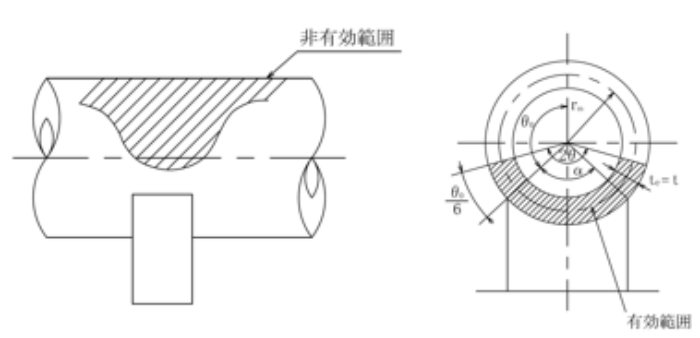
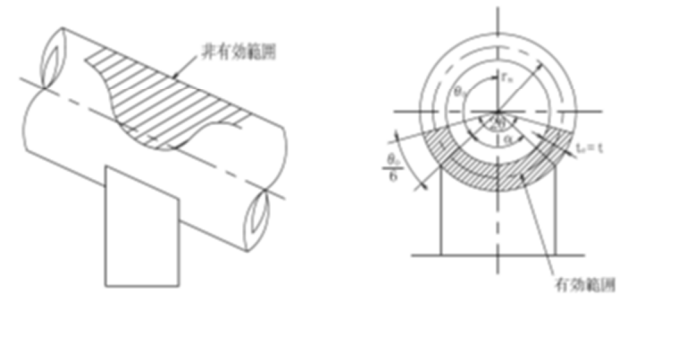
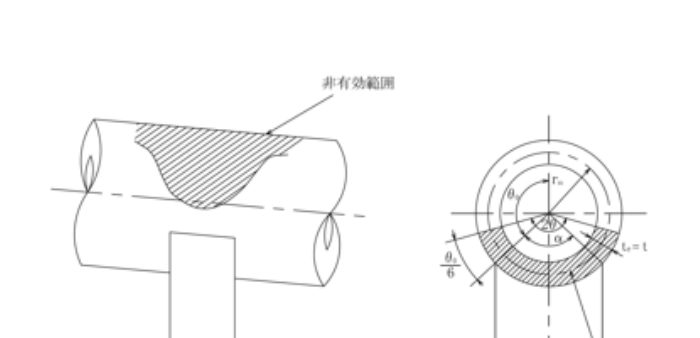
②

②

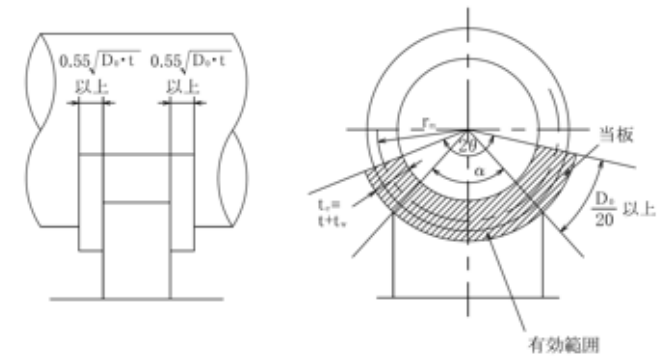
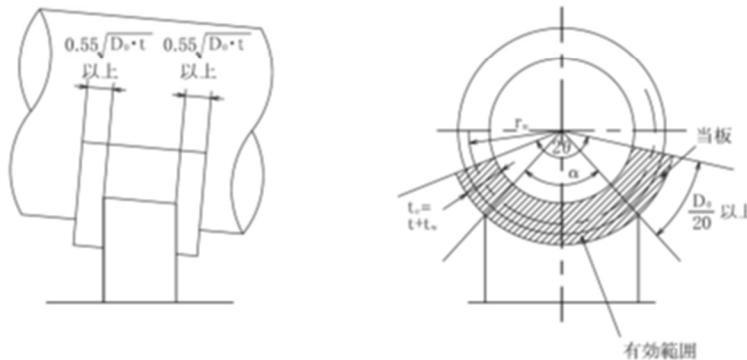
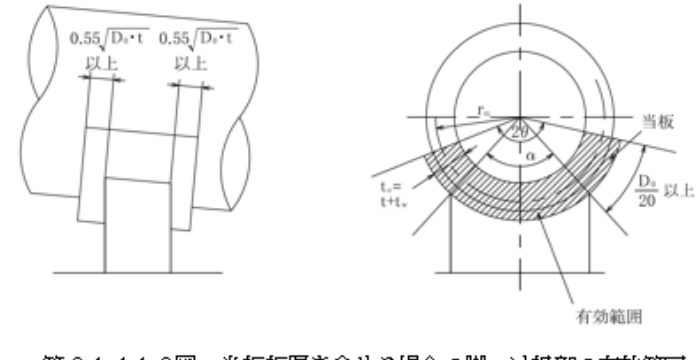
①

別紙 1-25 横置一胴円筒形容器	別紙 1-27 デミスタ (2脚支持)	別紙 1-28 デミスタ (1脚支持)
<p>3.1.4 応力の計算方法</p> <p>3.1.4.1 胴板の応力</p> <p>胴板の一次一般膜応力 σ_0、一次応力 σ_1 及び一次+二次応力 σ_2 は、次式により算出する。</p> <p>(1) 脚の受ける荷重</p> <p>脚にかかる荷重は、モーメントの釣合いより求める。第3.1.3-1図において第1脚まわりのモーメントの釣合いより、次式で表される。</p>	<p>3.1.4 応力の計算方法</p> <p>3.1.4.1 胴の応力</p> <p>胴板の一次一般膜応力 σ_0、一次応力 σ_1 及び一次+二次応力 σ_2 は、次式により算出する。</p> <p>(1) 脚の受ける荷重</p> <p>脚にかかる荷重はモーメントの釣合いより求める。第3.1.3-1図において第1脚まわりのモーメントの釣合いより、次式で表される。</p>	<p>3.1.4 応力の計算方法</p> <p>3.1.4.1 胴板の応力</p> <p>胴板の一次一般膜応力 σ_0、一次応力 σ_1 及び一次+二次応力 σ_2 は、次式により算出する。</p> <p>(1) 脚の受ける荷重</p> <p>脚の受ける荷重は、次式で表される。</p>
$\sum_{i=1}^n m_i g l_i - R_2 l_0 = 0 \quad \dots\dots\dots (3.1.4.1-1)$	$\sum_{i=1}^n m_i g l_i \cos \zeta - R_2 l_0 = 0 \quad \dots\dots\dots (3.1.4.1-1)$	
<p>したがって、脚の受ける荷重は、次式で表される。</p>	<p>したがって、脚の受ける荷重は、次式で表される。</p>	
$R_2 = \sum_{i=1}^n m_i g l_i / l_0 \quad \dots\dots\dots (3.1.4.1-2)$	$R_2 = \sum_{i=1}^n m_i g l_i \cos \zeta / l_0 \quad \dots\dots\dots (3.1.4.1-2)$	$R = m_0 g - m_1 g \quad \dots\dots\dots (3.1.4.1-1)$
$R_1 = \sum_{i=1}^n m_i g - R_2 \quad \dots\dots\dots (3.1.4.1-3)$	$R_1 = \sum_{i=1}^n m_i g - R_2 \quad \dots\dots\dots (3.1.4.1-3)$	
<p>(2) 曲げモーメント</p> <p>第3.1.3-1図に示すように胴を、集中荷重を受けるはりとして考える。</p> <p>第3.1.3-2図において脚つけ根の部分における曲げモーメント M_1、M_2 は、次式で表される。</p>	<p>(2) 曲げモーメント</p> <p>第3.1.3-1図に示すように胴を、斜めに集中荷重を受けるはりとして考える。</p> <p>第3.1.3-2図において脚つけ根の部分における曲げモーメント M_1、M_2 は、次式で表される。</p>	<p>(2) 曲げモーメント</p> <p>第3.1.3-1図に示すように胴に集中荷重を受けるはりとして考える。</p> <p>第3.1.3-2図において脚つけ根の部分における曲げモーメント M_1 は、次式で表される。</p>
$M_1 = \sum_{i=1}^n m_i g l_i \quad \dots\dots\dots (3.1.4.1-4)$	$M_1 = \sum_{i=1}^n m_i g l_i \cos \zeta \quad \dots\dots\dots (3.1.4.1-4)$	$M_1 = \max [m_1 g l_1 \cos \zeta, m_2 g l_2 \cos \zeta] \quad \dots\dots\dots (3.1.4.1-2)$
$M_2 = \sum_{i=1}^n m_i g l_i - l_0 \quad \dots\dots\dots (3.1.4.1-5)$	$M_2 = \sum_{i=1}^n m_i g l_i \cos \zeta - l_0 \quad \dots\dots\dots (3.1.4.1-5)$	
<p>(3) 静水頭又は内圧による応力</p> <p>静水頭又は内圧による応力は、次式で表される。</p> <p>静水頭による場合(鉛直方向地震時を含む)</p> $\sigma_{\theta 1} = \frac{\rho' H D_i}{2t} \quad \dots\dots\dots (3.1.4.1-6)$ $ \sigma_{\theta 2} = \frac{\rho' H D_i C_v}{2t} \quad \dots\dots\dots (3.1.4.1-7)$ $\sigma_{x 1} = \frac{\rho' H D_i}{4t} \quad \dots\dots\dots (3.1.4.1-8)$ <p>内圧による場合</p> $\sigma_{\theta 1} = \frac{P_r (D_i + 1.2t)}{2t} \quad \dots\dots\dots (3.1.4.1-9)$ $\sigma_{\theta 2} = 0 \quad \dots\dots\dots (3.1.4.1-10)$ $\sigma_{x 1} = \frac{P_r (D_i + 1.2t)}{4t} \quad \dots\dots\dots (3.1.4.1-11)$	<p>(3) 静水頭又は内圧による応力</p> <p>静水頭又は内圧による応力は、次式で表される。</p> <p>静水頭による場合(鉛直方向地震時を含む)</p> $\sigma_{\theta 1} = \frac{\rho' H D_i}{2t} \quad \dots\dots\dots (3.1.4.1-6)$ $\sigma_{\theta 2} = \frac{\rho' H D_i C_v}{2t} \quad \dots\dots\dots (3.1.4.1-7)$ $\sigma_{x 1} = \frac{\rho' H D_i}{4t} \quad \dots\dots\dots (3.1.4.1-8)$ <p>内圧による場合</p> $\sigma_{\theta 1} = \frac{P_r (D_i + 1.2t)}{2t} \quad \dots\dots\dots (3.1.4.1-9)$ $\sigma_{\theta 2} = 0 \quad \dots\dots\dots (3.1.4.1-10)$ $\sigma_{x 1} = \frac{P_r (D_i + 1.2t)}{4t} \quad \dots\dots\dots (3.1.4.1-11)$	<p>(3) 静水頭又は内圧による応力</p> <p>静水頭又は内圧による応力は、次式で表される。</p> <p>静水頭による場合(鉛直方向地震時を含む)</p> $\sigma_{\theta 1} = \frac{\rho' H D_i}{2t} \quad \dots\dots\dots (3.1.4.1-3)$ $\sigma_{\theta 2} = \frac{\rho' H D_i C_v}{2t} \quad \dots\dots\dots (3.1.4.1-4)$ $\sigma_{x 1} = \frac{\rho' H D_i}{4t} \quad \dots\dots\dots (3.1.4.1-5)$ <p>内圧による場合</p> $\sigma_{\theta 1} = \frac{P_r (D_i + 1.2t)}{2t} \quad \dots\dots\dots (3.1.4.1-6)$ $\sigma_{\theta 2} = 0 \quad \dots\dots\dots (3.1.4.1-7)$ $\sigma_{x 1} = \frac{P_r (D_i + 1.2t)}{4t} \quad \dots\dots\dots (3.1.4.1-8)$

③
②
③
②

別紙 1-25 横置一胴円筒形容器	別紙 1-27 デミスタ (2脚支持)	別紙 1-28 デミスタ (1脚支持)
<p>(4) 運転時質量及び鉛直方向地震により生じる長手方向曲げモーメントによる応力(第1脚つけ根部)</p> <p>(2)で求めた曲げモーメントにより胴の脚つけ根部に生じる応力は、次のように求められる。</p> <p>引用文献(2)によれば、この曲げモーメントは胴の断面に対して一様に作用するものではなく、脚取付部において円周方向の曲げモーメントに置換され、胴の局部変形を生じさせようとする。</p> <p>今、長手方向の曲げモーメントによる胴の応力の影響範囲を胴下端からθの点とすると、長手方向曲げモーメントに対する胴の有効断面積は、第3.1.4.1-1図及び第3.1.4.1-2図に2θで示される円弧殻である。したがって、運転時質量による応力は、次式で表される。</p> $\sigma_{x2} = \frac{M_1}{Z} \dots\dots\dots (3.1.4.1-12)$ <p>また、鉛直方向地震による応力は、次式で表される。</p> $\sigma_{xe} = \frac{M_1}{Z} C_v \dots\dots\dots (3.1.4.1-13)$ <p>ここで、</p> $r_m = \frac{D_i + t_q}{2} \dots\dots\dots (3.1.4.1-14)$ $Z = r_m^2 t_q \left\{ \frac{\theta + \sin\theta \cos\theta - 2\sin^2\theta/\theta}{(\sin\theta/\theta) - \cos\theta} \right\} \dots\dots\dots (3.1.4.1-15)$	<p>(4) 運転時質量及び鉛直方向地震により作用する長手方向曲げモーメントによる応力(脚つけ根部)</p> <p>(2)で求めた曲げモーメントにより胴の脚つけ根部に生じる応力は、次のように求められる。</p> <p>引用文献(2)によれば、この曲げモーメントは胴の断面に対して一様に作用するものではなく、脚取付部において円周方向の曲げモーメントに置換され、胴の局部変形を生じさせようとする。</p> <p>今、長手方向の曲げモーメントによる胴の応力の影響範囲を胴下端からθの点とすると、長手方向曲げモーメントに対する胴の有効断面積は、第3.1.4.1-1図及び第3.1.4.1-2図に2θで示される円弧殻である。したがって、運転時質量による応力は、次式で表される。</p> $\sigma_{x2} = \frac{M_1}{Z} \dots\dots\dots (3.1.4.1-12)$ <p>また、鉛直方向地震による応力は、次式で表される。</p> $\sigma_{xe} = \frac{M_1}{Z} C_v \dots\dots\dots (3.1.4.1-13)$ <p>ここで、</p> $r_m = \frac{D_i + t_q}{2} \dots\dots\dots (3.1.4.1-14)$ $Z = r_m^2 t_q \left\{ \frac{\theta + \sin\theta \cos\theta - 2\sin^2\theta/\theta}{(\sin\theta/\theta) - \cos\theta} \right\} \dots\dots\dots (3.1.4.1-15)$	<p>(4) 運転時質量及び鉛直方向地震により作用する長手方向曲げモーメントによる応力</p> <p>(2)で求めた曲げモーメントにより胴の脚つけ根部に生じる応力は、次のように求められる。</p> <p>引用文献(2)によれば、この曲げモーメントは胴の断面に対して一様に作用するものではなく、脚取付部において円周方向の曲げモーメントに置換され、胴の局部変形を生じさせようとする。</p> <p>今、長手方向の曲げモーメントによる胴の応力の影響範囲を胴下端からθの点とすると、長手方向曲げモーメントに対する胴の有効断面積は、第3.1.4.1-1図及び第3.1.4.1-2図に2θで示される円弧殻である。したがって、運転時質量による応力は、次式で表される。</p> $\sigma_{x2} = \frac{M_1}{Z} \dots\dots\dots (3.1.4.1-9)$ <p>また、鉛直方向地震による応力は、次式で表される。</p> $\sigma_{xe} = \frac{M_1}{Z} C_v \dots\dots\dots (3.1.4.1-10)$ <p>ここで、</p> $r_m = \frac{D_i + t_q}{2} \dots\dots\dots (3.1.4.1-11)$ $Z = r_m^2 t_q \left\{ \frac{\theta + \sin\theta \cos\theta - 2\sin^2\theta/\theta}{(\sin\theta/\theta) - \cos\theta} \right\} \dots\dots\dots (3.1.4.1-12)$
	<p>ただし、それぞれの脚部における胴の運転時質量によるモーメントが、$M_2 > M_1$となる場合は、M_1をM_2に置き換えるものとする。</p>	
<p>t_qは、tあるいは$(t+t_w)$をとるものとし、θは次式で表される。</p> <p>有効範囲に当板板厚を含まない場合($t_q = t$)</p> $\theta = \pi - \frac{5}{6}\theta_0 \dots\dots\dots (3.1.4.1-16)$ <p>当板板厚を含まない場合の有効範囲の詳細を第3.1.4.1-1図に示す。</p>  <p>第3.1.4.1-1図 当板板厚を含まない場合の脚つけ根部の有効範囲</p>	<p>t_qは、tあるいは$(t+t_w)$をとるものとし、θは以下の式で表される。</p> <p>有効範囲に当板板厚を含まない場合($t_q = t$)</p> $\theta = \pi - \frac{5}{6}\theta_0 \dots\dots\dots (3.1.4.1-16)$ <p>当板板厚を含まない場合の有効範囲の詳細を第3.1.4.1-1図に示す。</p>  <p>第3.1.4.1-1図 当板板厚を含まない場合の脚つけ根部の有効範囲</p>	<p>t_qは、tあるいは$(t+t_w)$をとるものとし、θは次式で表される。</p> <p>有効範囲に当板板厚を含まない場合($t_q = t$)</p> $\theta = \pi - \frac{5}{6}\theta_0 \dots\dots\dots (3.1.4.1-13)$ <p>当板板厚を含まない場合の有効範囲の詳細を第3.1.4.1-1図に示す。</p>  <p>第3.1.4.1-1図 当板板厚を含まない場合の脚つけ根部の有効範囲</p>

①

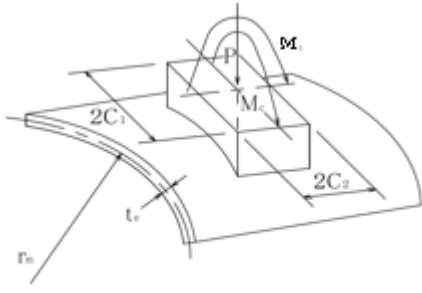
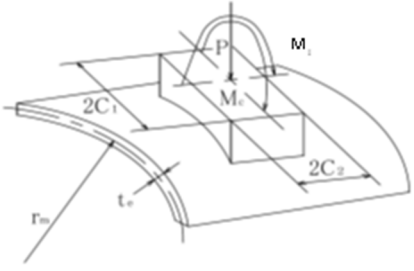
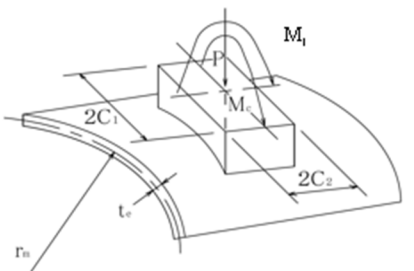
別紙 1-25 横置一胴円筒形容器	別紙 1-27 デミスタ (2脚支持)	別紙 1-28 デミスタ (1脚支持)
<p>当該当板を含める場合は $t_e = t + t_w$ とする。ただし、当板の範囲は、周方向に 2θ 以上、軸方向に脚端部より $0.55\sqrt{D_o \cdot t}$ 以上とする。</p> <p>当板板厚を含める場合の有効範囲の詳細を第3.1.4.1-2図に示す。</p> $\theta = \frac{\alpha}{2} + \frac{\frac{D_o}{20}}{\frac{D_i}{2} + (t + t_w)} \dots\dots\dots (3.1.4.1-17)$  <p>第 3.1.4.1-2 図 当板板厚を含める場合の脚つけ根部の有効範囲</p> <p>(5) 運転時質量及び鉛直方向地震による脚つけ根部の応力 胴の脚つけ根部には、脚反力による局部応力が生じる。 胴の第1脚つけ根部に作用する反力は、次式で表される。</p>	<p>当該当板を含める場合 ($t_e = t + t_w$ ただし当板の範囲は周方向に 2θ 以上、軸方向に脚端部より $0.55\sqrt{D_o \cdot t}$ 以上とする)</p> <p>当板板厚を含める場合の有効範囲の詳細を第3.1.4.1-2図に示す。</p> $\theta = \frac{\alpha}{2} + \frac{\frac{D_o}{20}}{\frac{D_i}{2} + (t + t_w)} \dots\dots\dots (3.1.4.1-17)$  <p>第 3.1.4.1-2 図 当板板厚を含める場合の脚つけ根部の有効範囲</p> <p>(5) 運転時質量及び鉛直方向地震による脚つけ根部の応力 胴の脚つけ根部には、脚反力による局部応力が生じる。 胴の脚つけ根部に作用する半径方向及び接線方向反力は、次式で表される。 運転時質量による反力</p>	<p>当該当板を含める場合 ($t_e = t + t_w$ ただし当板の範囲は周方向に 2θ 以上、軸方向に脚端部より $0.55\sqrt{D_o \cdot t}$ 以上とする)</p> <p>当板板厚を含める場合の有効範囲の詳細を第 3.1.4.1-2 図に示す。</p> $\theta = \frac{\alpha}{2} + \frac{\frac{D_o}{20}}{\frac{D_i}{2} + (t + t_w)} \dots\dots\dots (3.1.4.1-14)$  <p>第 3.1.4.1-2 図 当板板厚を含める場合の脚つけ根部の有効範囲</p> <p>(5) 運転時質量及び鉛直方向地震による脚つけ根部の応力 胴の脚つけ根部には、脚反力による局部応力が生じる。 胴の脚つけ根部に作用する半径方向及び長手方向反力は、次式で表される。 運転時質量による反力</p>
<p>運転時質量による反力</p> $P = R_1 \dots\dots\dots (3.1.4.1-18)$	<p>半径方向地震による反力</p> $P = R_1 \cos \zeta \dots\dots\dots (3.1.4.1-18)$ $F_e = R_1 \sin \zeta \dots\dots\dots (3.1.4.1-19)$	<p>半径方向地震による反力</p> $P = R \cos \zeta \dots\dots\dots (3.1.4.1-15)$ $Q = R \sin \zeta \dots\dots\dots (3.1.4.1-16)$
<p>鉛直方向地震による反力</p> $P_e = R_1 C_v \dots\dots\dots (3.1.4.1-19)$	<p>鉛直方向地震による反力</p> $P_e = R_1 C_v \cos \zeta \dots\dots\dots (3.1.4.1-20)$ $F_{se} = R_1 C_v \sin \zeta \dots\dots\dots (3.1.4.1-21)$	<p>鉛直方向地震による反力</p> $P_e = R C_v \cos \zeta \dots\dots\dots (3.1.4.1-17)$ $Q_e = R C_v \sin \zeta \dots\dots\dots (3.1.4.1-18)$
<p>この反力 P、P_e により生じる胴板の局部応力は、引用文献(1)によると次のようにして求めることができる。</p> $\gamma = r_m / t_s \dots\dots\dots (3.1.4.1-20)$ $\beta_1 = C_1 / r_m \dots\dots\dots (3.1.4.1-21)$ $\beta_2 = C_2 / r_m \dots\dots\dots (3.1.4.1-22)$	<p>ただし、脚の受ける荷重が $R_2 > R_1$ となる場合は、R_1 を R_2 に置き換えるものとする。</p> <p>この反力 P、P_e により生じる胴板の局部応力は、引用文献(1)によると次のようにして求めることができる。</p> $\gamma = r_m / t_e \dots\dots\dots (3.1.4.1-22)$ $\beta_1 = C_1 / r_m \dots\dots\dots (3.1.4.1-23)$ $\beta_2 = C_2 / r_m \dots\dots\dots (3.1.4.1-24)$	<p>この反力 P、P_e により生じる胴板の局部応力は、引用文献(1)によると次のようにして求めることができる。</p> $\gamma = r_m / t_s \dots\dots\dots (3.1.4.1-19)$ $\beta_1 = C_1 / r_m \dots\dots\dots (3.1.4.1-20)$ $\beta_2 = C_2 / r_m \dots\dots\dots (3.1.4.1-21)$

③

③

別紙 1-25 横置一胴円筒形容器	別紙 1-27 デミスタ (2脚支持)	別紙 1-28 デミスタ (1脚支持)
<p>$\beta_1/\beta_2 \geq 1$ のとき</p> $\beta = \left(1 - \frac{1}{3}(\beta_1/\beta_2 - 1)(1 - K_1)\right) \sqrt{\beta_1\beta_2} \quad \dots\dots\dots (3.1.4.1-23)$ <p>$\beta_1/\beta_2 < 1$ のとき</p> $\beta = \left(1 - \frac{4}{3}(1 - \beta_1/\beta_2)(1 - K_2)\right) \sqrt{\beta_1\beta_2} \quad \dots\dots\dots (3.1.4.1-24)$	<p>$\beta_1/\beta_2 \geq 1$ のとき</p> $\beta = \left\{1 - \frac{1}{3}(\beta_1/\beta_2 - 1)(1 - K_1)\right\} \sqrt{\beta_1\beta_2} \quad \dots\dots\dots (3.1.4.1-25)$ <p>$\beta_1/\beta_2 < 1$ のとき</p> $\beta = \left\{1 - \frac{4}{3}(1 - \beta_1/\beta_2)(1 - K_2)\right\} \sqrt{\beta_1\beta_2} \quad \dots\dots\dots (3.1.4.1-26)$	<p>$\beta_1/\beta_2 \geq 1$ のとき</p> $\beta = \left\{1 - \frac{1}{3}(\beta_1/\beta_2 - 1)(1 - K_1)\right\} \sqrt{\beta_1\beta_2} \quad \dots\dots\dots (3.1.4.1-22)$ <p>$\beta_1/\beta_2 < 1$ のとき</p> $\beta = \left\{1 - \frac{4}{3}(1 - \beta_1/\beta_2)(1 - K_2)\right\} \sqrt{\beta_1\beta_2} \quad \dots\dots\dots (3.1.4.1-23)$ <p>なお、円筒形アタッチメントの場合は、</p> $\beta = 0.875 r_1 / r_m \quad \dots\dots\dots (3.1.4.1-24)$
<p>シェルパラメータγ及びアタッチメントパラメータβによって引用文献(1)の表より値を求めること(以下*を付記する)により応力は、次式で表される。</p> <p>反力Pによる応力</p> $\sigma_{\phi\phi} = \left[\frac{N_\phi}{P/r_m}\right]^* \left[\frac{P}{r_m t_\phi}\right] \quad \dots\dots\dots (3.1.4.1-25)$ $\sigma_{x\phi} = \left[\frac{N_x}{P/r_m}\right]^* \left[\frac{P}{r_m t_\phi}\right] \quad \dots\dots\dots (3.1.4.1-26)$ <p>反力P_ϕによる応力</p> <p>一次応力</p> $\sigma_{\phi\tau} = \left[\frac{N_\phi}{P_\phi/r_m}\right]^* \left[\frac{P_\phi}{r_m t_\phi}\right] \quad \dots\dots\dots (3.1.4.1-27)$ $\sigma_{x\tau} = \left[\frac{N_x}{P_\phi/r_m}\right]^* \left[\frac{P_\phi}{r_m t_\phi}\right] \quad \dots\dots\dots (3.1.4.1-28)$ <p>二次応力</p> $\sigma_{2\phi\tau} = \left[\frac{M_\phi}{P_\phi}\right]^* \left[\frac{6P_\phi}{t_\phi^2}\right] \quad \dots\dots\dots (3.1.4.1-29)$ $\sigma_{2x\tau} = \left[\frac{M_x}{P_\phi}\right]^* \left[\frac{6P_\phi}{t_\phi^2}\right] \quad \dots\dots\dots (3.1.4.1-30)$	<p>シェルパラメータγ及びアタッチメントパラメータβによって、引用文献(1)の表より値を求めること(以下*を付記する)により応力は、次式で表される。</p> <p>反力Pによる応力</p> $\sigma_{\phi\phi} = \left[\frac{N_\phi}{P/r_m}\right]^* \left[\frac{P}{r_m t_\phi}\right] \quad \dots\dots\dots (3.1.4.1-27)$ $\sigma_{x\phi} = \left[\frac{N_x}{P/r_m}\right]^* \left[\frac{P}{r_m t_\phi}\right] \quad \dots\dots\dots (3.1.4.1-28)$ <p>反力P_ϕによる応力</p> <p>一次応力</p> $\sigma_{\phi\tau} = \left[\frac{N_\phi}{P_\phi/r_m}\right]^* \left[\frac{P_\phi}{r_m t_\phi}\right] \quad \dots\dots\dots (3.1.4.1-29)$ $\sigma_{x\tau} = \left[\frac{N_x}{P_\phi/r_m}\right]^* \left[\frac{P_\phi}{r_m t_\phi}\right] \quad \dots\dots\dots (3.1.4.1-30)$ <p>二次応力</p> $\sigma_{2\phi\tau} = \left[\frac{M_\phi}{P_\phi}\right]^* \left[\frac{6P_\phi}{t_\phi^2}\right] \quad \dots\dots\dots (3.1.4.1-31)$ $\sigma_{2x\tau} = \left[\frac{M_x}{P_\phi}\right]^* \left[\frac{6P_\phi}{t_\phi^2}\right] \quad \dots\dots\dots (3.1.4.1-32)$	<p>なお、円筒形アタッチメントの場合は、$\beta = 0.875 r_1 / r_m$ として、</p> <p>シェルパラメータγ及びアタッチメントパラメータβによって引用文献(1)の表より値をもとめること(以下*を付記する)により応力は、次式で表される。</p> <p>反力Pによる応力</p> $\sigma_{\phi\phi} = \left[\frac{N_\phi}{P/r_m}\right]^* \left[\frac{P}{r_m t_\phi}\right] \quad \dots\dots\dots (3.1.4.1-25)$ $\sigma_{x\phi} = \left[\frac{N_x}{P/r_m}\right]^* \left[\frac{P}{r_m t_\phi}\right] \quad \dots\dots\dots (3.1.4.1-26)$ <p>反力P_ϕによる応力</p> <p>一次応力</p> $\sigma_{\phi\tau} = \left[\frac{N_\phi}{P_\phi/r_m}\right]^* \left[\frac{P_\phi}{r_m t_\phi}\right] \quad \dots\dots\dots (3.1.4.1-27)$ $\sigma_{x\tau} = \left[\frac{N_x}{P_\phi/r_m}\right]^* \left[\frac{P_\phi}{r_m t_\phi}\right] \quad \dots\dots\dots (3.1.4.1-28)$ <p>二次応力</p> $\sigma_{2\phi\tau} = \left[\frac{M_\phi}{P_\phi}\right]^* \left[\frac{6P_\phi}{t_\phi^2}\right] \quad \dots\dots\dots (3.1.4.1-29)$ $\sigma_{2x\tau} = \left[\frac{M_x}{P_\phi}\right]^* \left[\frac{6P_\phi}{t_\phi^2}\right] \quad \dots\dots\dots (3.1.4.1-30)$

①

別紙 1-25 横置一胴円筒形容器	別紙 1-27 デミスタ (2脚支持)	別紙 1-28 デミスタ (1脚支持)
 <p data-bbox="430 598 890 640">第 3.1.4.1-3 図 脚が胴に及ぼす力の関係</p>	 <p data-bbox="1246 588 1632 630">第 3.1.4.1-3 図 脚が胴に及ぼす力関係</p>	 <p data-bbox="2062 640 2478 682">第 3.1.4.1-3 図 脚が胴に及ぼす力の関係</p>

別紙 1-25 横置一胴円筒形容器	別紙 1-27 デミスタ (2脚支持)	別紙 1-28 デミスタ (1脚支持)
	<p>また、運転時に F_s により第1脚つけ根には</p> $\tau_{11} = \frac{F_s}{4C_2t} \dots\dots\dots (3.1.4.1-33)$ <p>鉛直方向地震が作用した場合には F_{se} により、</p>	<p>また、この反力 Q、Q_s により生じる胴の脚つけ根部のせん断応力は、次式で表される。</p> <p>反力 Q による応力</p> $\tau_{11} = \frac{Q}{4C_2t} \dots\dots\dots (3.1.4.1-31)$ <p>なお、円筒形アタッチメントの場合は、</p>
	$\tau_{12} = \frac{F_{se}}{4C_2t} \dots\dots\dots (3.1.4.1-34)$	$\tau_{11} = \frac{Q}{\pi r_1 t} \dots\dots\dots (3.1.4.1-32)$
	<p>の鉛直せん断応力が生じる。</p>	<p>とする。</p> <p>反力 Q_s による応力</p> $\tau_{12} = \frac{Q_s}{4C_2t} \dots\dots\dots (3.1.4.1-33)$ <p>なお、円筒形アタッチメントの場合は、</p>
		$\tau_{12} = \frac{Q_s}{\pi r_1 t} \dots\dots\dots (3.1.4.1-34)$
<p>(6) 長手方向地震による脚つけ根部の応力 第2脚は、長手方向に自由にスライドできるので第1脚は第3.1.3-3図のように変形し、脚つけ根部に作用する曲げモーメント及び鉛直荷重(偶力)は、次式で表される。</p>	<p>(6) 長手方向地震による脚つけ根部の応力 第2脚は長手方向に自由にスライドできるので第1脚は第3.1.3-3図のように変形し、脚つけ根部に作用する曲げモーメント及び鉛直荷重(偶力)は、次式で表される。</p>	<p>(6) 長手方向地震による脚つけ根部の応力 脚は第3.1.4.1-3図のように変形し、脚つけ根部に作用する曲げモーメント及び鉛直荷重(偶力)は、次式で表される。</p>
$M_1 = \frac{1}{2} C_H (m_o - m_x) g h_1 \dots\dots\dots (3.1.4.1-31)$	$M_1 = \frac{1}{2} C_H (m_o - m_{11}) g h_1 \dots\dots\dots (3.1.4.1-35)$	$M_1 = C_H R (h_2 - h_1) \dots\dots\dots (3.1.4.1-35)$
$P_1 = C_H (m_o - m_x) g \frac{h_2 - \frac{1}{2} h_1}{l_o} \dots\dots\dots (3.1.4.1-32)$	$P_1 = C_H (m_o - m_{11}) g \frac{(h_2 - \frac{1}{2} h_1)}{l_n} \cos \zeta \dots\dots\dots (3.1.4.1-36)$	$P_1 = C_H R \sin \zeta \dots\dots\dots (3.1.4.1-36)$
<p>ただし、脚下端が単純支持の場合は式(3.1.4.1-31)の係数1/2を1に、式(3.1.4.1-32)の係数1/2を0に置き換えるものとする。</p> <p>曲げモーメント M_1 と鉛直荷重 P_1 により生じる胴板の局部応力は(5)と同様な方法で引用文献(1)より求められる。</p> <p>曲げモーメント M_1 により生じる応力は、次式で表される。</p> <p>一次応力</p> $\sigma_{\theta 41} = \left[\frac{N_\theta}{M_1 / (r_w^2 \beta)} \right]^* \left[\frac{M_1}{r_w^2 t_w \beta_1} \right] C_1 \dots\dots\dots (3.1.4.1-33)$ $\sigma_{x 41} = \left[\frac{N_x}{M_1 / (r_w^2 \beta)} \right]^* \left[\frac{M_1}{r_w^2 t_w \beta_1} \right] C_1 \dots\dots\dots (3.1.4.1-34)$	<p>ただし、脚下端が単純支持の場合は式(3.1.4.1-35)の係数1/2を1に、式(3.1.4.1-36)の係数1/2を0に置き換えるものとする。</p> <p>曲げモーメント M_1 と鉛直荷重 P_1 により生じる胴板の局部応力は(5)と同様な方法で引用文献(1)より求められる。</p> <p>曲げモーメント M_1 により生じる応力は、次式で表される。</p> <p>一次応力</p> $\sigma_{\theta 41} = \left[\frac{N_\theta}{M_1 / (r_w^2 \beta)} \right]^* \left[\frac{M_1}{r_w^2 t_w \beta_1} \right] C_1 \dots\dots\dots (3.1.4.1-37)$ $\sigma_{x 41} = \left[\frac{N_x}{M_1 / (r_w^2 \beta)} \right]^* \left[\frac{M_1}{r_w^2 t_w \beta_1} \right] C_1 \dots\dots\dots (3.1.4.1-38)$	<p>曲げモーメント M_1 と鉛直荷重 P_1 により生じる胴板の局部応力は(5)と同様な方法で引用文献(1)より求められる。</p> <p>曲げモーメント M_1 により生じる応力は、次式で表される。</p> <p>一次応力</p> $\sigma_{\theta 41} = \left[\frac{N_\theta}{M_1 / (r_w^2 \beta)} \right]^* \left[\frac{M_1}{r_w^2 t_w \beta_1} \right] C_1 \dots\dots\dots (3.1.4.1-37)$ $\sigma_{x 41} = \left[\frac{N_x}{M_1 / (r_w^2 \beta)} \right]^* \left[\frac{M_1}{r_w^2 t_w \beta_1} \right] C_1 \dots\dots\dots (3.1.4.1-38)$

①

①

①

③

別紙 1-25 横置一胴円筒形容器	別紙 1-27 デミスタ (2脚支持)	別紙 1-28 デミスタ (1脚支持)
<p>二次応力</p> $\sigma_{2\theta 41} = \left[\frac{M_\theta}{M_1 / (r_m \beta)} \right]^* \left[\frac{6M_1}{r_m t_c^2 \beta_1} \right] \dots\dots\dots (3.1.4.1-35)$ $\sigma_{2x 41} = \left[\frac{M_x}{M_1 / (r_m \beta)} \right]^* \left[\frac{6M_1}{r_m t_c^2 \beta_1} \right] \dots\dots\dots (3.1.4.1-36)$ <p>ここで、 $\beta_1 = \sqrt[3]{\beta_1 \beta_2^2} \dots\dots\dots (3.1.4.1-37)$ ただし、二次応力を求める場合はさらに k_{11} を乗じた値とする。</p>	<p>二次応力</p> $\sigma_{2\theta 41} = \left[\frac{M_\theta}{M_1 / (r_w \beta)} \right]^* \left[\frac{6M_1}{r_w t_w^2 \beta_1} \right] \dots\dots\dots (3.1.4.1-39)$ $\sigma_{2x 41} = \left[\frac{M_x}{M_1 / (r_w \beta)} \right]^* \left[\frac{6M_1}{r_w t_w^2 \beta_1} \right] \dots\dots\dots (3.1.4.1-40)$ <p>ここで、 $\beta_1 = \sqrt[3]{\beta_1 \beta_2^2} \dots\dots\dots (3.1.4.1-41)$ ただし、二次応力を求める場合はさらに k_{11} を乗じた値とする。</p>	<p>二次応力</p> $\sigma_{2\theta 41} = \left[\frac{M_\theta}{M_1 / (r_w \beta)} \right]^* \left[\frac{6M_1}{r_w t_w^2 \beta_1} \right] \dots\dots\dots (3.1.4.1-39)$ $\sigma_{2x 41} = \left[\frac{M_x}{M_1 / (r_w \beta)} \right]^* \left[\frac{6M_1}{r_w t_w^2 \beta_1} \right] \dots\dots\dots (3.1.4.1-40)$ <p>ここで、 $\beta_1 = \sqrt[3]{\beta_1 \beta_2^2} \dots\dots\dots (3.1.4.1-41)$ ただし、二次応力を求める場合は、角形アタッチメントのみ、さらに k_{11} を乗じた値とする。 なお、円筒形アタッチメントの場合は、 $\beta_1 = 0.875 r_1 / r_w \dots\dots\dots (3.1.4.1-42)$</p>
<p>鉛直荷重 P_1 により生じる応力は、次式で表される。</p> <p>一次応力</p> $\sigma_{\theta 42} = \left[\frac{N_\theta}{P_1 / r_m} \right]^* \left[\frac{P_1}{r_m t_c} \right] \dots\dots\dots (3.1.4.1-38)$ $\sigma_{x 42} = \left[\frac{N_x}{P_1 / r_m} \right]^* \left[\frac{P_1}{r_m t_c} \right] \dots\dots\dots (3.1.4.1-39)$ <p>二次応力</p> $\sigma_{2\theta 42} = \left[\frac{M_\theta}{P_1} \right]^* \left[\frac{6P_1}{t_c^2} \right] \dots\dots\dots (3.1.4.1-40)$ $\sigma_{2x 42} = \left[\frac{M_x}{P_1} \right]^* \left[\frac{6P_1}{t_c^2} \right] \dots\dots\dots (3.1.4.1-41)$ <p>また、水平方向荷重により胴板に生じる引張応力は、次式で表される。</p>	<p>鉛直荷重 P_1 により生じる応力は、次式で表される。</p> <p>一次応力</p> $\sigma_{\theta 42} = \left[\frac{N_\theta}{P_1 / r_w} \right]^* \left[\frac{P_1}{r_w t_w} \right] \dots\dots\dots (3.1.4.1-42)$ $\sigma_{x 42} = \left[\frac{N_x}{P_1 / r_w} \right]^* \left[\frac{P_1}{r_w t_w} \right] \dots\dots\dots (3.1.4.1-43)$ <p>二次応力</p> $\sigma_{2\theta 42} = \left[\frac{M_\theta}{P_1} \right]^* \left[\frac{6P_1}{t_w^2} \right] \dots\dots\dots (3.1.4.1-44)$ $\sigma_{2x 42} = \left[\frac{M_x}{P_1} \right]^* \left[\frac{6P_1}{t_w^2} \right] \dots\dots\dots (3.1.4.1-45)$ <p>また、水平方向荷重により胴に生じる引張応力は、次式で表される。</p>	<p>鉛直荷重 P_1 により生じる応力は、次式で表される。</p> <p>一次応力</p> $\sigma_{\theta 42} = \left[\frac{N_\theta}{P_1 / r_w} \right]^* \left[\frac{P_1}{r_w t_w} \right] \dots\dots\dots (3.1.4.1-43)$ $\sigma_{x 42} = \left[\frac{N_x}{P_1 / r_w} \right]^* \left[\frac{P_1}{r_w t_w} \right] \dots\dots\dots (3.1.4.1-44)$ <p>二次応力</p> $\sigma_{2\theta 42} = \left[\frac{M_\theta}{P_1} \right]^* \left[\frac{6P_1}{t_w^2} \right] \dots\dots\dots (3.1.4.1-45)$ $\sigma_{2x 42} = \left[\frac{M_x}{P_1} \right]^* \left[\frac{6P_1}{t_w^2} \right] \dots\dots\dots (3.1.4.1-46)$ <p>また、水平方向荷重により胴板に生じる引張応力は、次式で表される。</p>
$\sigma_{x 43} = \frac{C_H (m_0 - m_1) g}{\pi (D_i + t) t} \dots\dots\dots (3.1.4.1-42)$	$\sigma_{x 43} = \frac{C_H (m_0 - m_1) g \cos \zeta}{\pi (D_i + t) t} \dots\dots\dots (3.1.4.1-46)$	$\sigma_{x 43} = \frac{C_H R \cos \zeta}{\pi (D_i + t) t} \dots\dots\dots (3.1.4.1-47)$

①

③

別紙 1-25 横置一胴円筒形容器	別紙 1-27 デミスタ (2脚支持)	別紙 1-28 デミスタ (1脚支持)
<p>したがって、曲げモーメント M_1、鉛直力 F_1 及び水平方向荷重により生じる胴板の応力は、次式で表される。</p> <p>一次応力 $\sigma_{\phi 4} = \sigma_{\phi 41} + \sigma_{\phi 42}$ (3.1.4.1-43) $\sigma_{x 4} = \sigma_{x 41} + \sigma_{x 42} + \sigma_{x 43}$ (3.1.4.1-44)</p> <p>二次応力 $\sigma_{2\phi 4} = \sigma_{2\phi 41} + \sigma_{2\phi 42}$ (3.1.4.1-45) $\sigma_{2x 4} = \sigma_{2x 41} + \sigma_{2x 42}$ (3.1.4.1-46)</p> <p>また、長手方向の地震が作用した場合、第1脚つけ根部に生じるせん断応力は、次式で表される。</p>	<p>したがって、曲げモーメント M_1、鉛直力 F_1 及び水平方向荷重により生じる胴板の応力は、次式で表される。</p> <p>一次応力 $\sigma_{\phi 4} = \sigma_{\phi 41} + \sigma_{\phi 42}$ (3.1.4.1-47) $\sigma_{x 4} = \sigma_{x 41} + \sigma_{x 42} + \sigma_{x 43}$ (3.1.4.1-48)</p> <p>二次応力 $\sigma_{2\phi 4} = \sigma_{2\phi 41} + \sigma_{2\phi 42}$ (3.1.4.1-49) $\sigma_{2x 4} = \sigma_{2x 41} + \sigma_{2x 42}$ (3.1.4.1-50)</p> <p>また、長手方向の地震が作用した場合、第1脚つけ根部に生じるせん断応力は、次式で表される。</p>	<p>したがって、曲げモーメント M_1、鉛直力 F_1 及び水平方向荷重により生じる胴板の応力は、次式で表される。</p> <p>一次応力 $\sigma_{\phi 4} = \sigma_{\phi 41} + \sigma_{\phi 42}$ (3.1.4.1-48) $\sigma_{x 4} = \sigma_{x 41} + \sigma_{x 42} + \sigma_{x 43}$ (3.1.4.1-49)</p> <p>二次応力 $\sigma_{2\phi 4} = \sigma_{2\phi 41} + \sigma_{2\phi 42}$ (3.1.4.1-50) $\sigma_{2x 4} = \sigma_{2x 41} + \sigma_{2x 42}$ (3.1.4.1-51)</p> <p>また、長手方向の地震が作用した場合、脚つけ根部に生じるせん断応力は、次式で表される。</p>
$\tau_1 = \frac{C_H(m_0 - m_x)g}{4C_2t}$ (3.1.4.1-47)	$\tau_{13} = \frac{C_H(m_0 - m_{11})g \cos \zeta}{4C_2t}$ (3.1.4.1-51)	$\tau_{12} = \frac{C_H R \cos \zeta}{4C_2t}$ (3.1.4.1-52)
		<p>なお、円筒形アタッチメントの場合は、次式で表される。</p> $\tau_{12} = \frac{C_H R \cos \zeta}{\pi r_1 t}$ (3.1.4.1-53)
<p>(7) 横方向地震による脚つけ根部の応力 横方向の地震が作用した場合、第1脚のつけ根部に作用する曲げモーメント M_c は、次式で表される。 $M_c = C_H R_1 r_0$ (3.1.4.1-48) $r_0 = \frac{D_1}{2} + t_s$ (3.1.4.1-49)</p> <p>この曲げモーメント M_c により生じる胴板の局部応力は、(5)、(6)と同様な方法で引用文献(1)より求められる。</p> <p>シェルパラメータ β_c は(5)と同じであるが、アタッチメントパラメータ β_c は、次式で表される。 $\beta_c = \sqrt[3]{\beta_1^2 \beta_2}$ (3.1.4.1-50)</p>	<p>(7) 横方向地震による脚つけ根部の応力 横方向の地震が作用した場合、脚つけ根部に作用する曲げモーメント M_c は、次式で表される。 $M_c = C_H R_1 r_0$ (3.1.4.1-52) $r_0 = \frac{D_1}{2} + t_s$ (3.1.4.1-53)</p> <p>ただし、脚の受ける荷重が $R_2 > R_1$ となる場合は、R_1 を R_2 に置き換えるものとする。 この曲げモーメント M_c により生じる胴板の局部応力は、(5)、(6)と同様な方法で引用文献(1)より求められる。</p> <p>シェルパラメータ β_c は(5)と同じであるが、アタッチメントパラメータ β_c は、次式で表される。 $\beta_c = \sqrt[3]{\beta_1^2 \beta_2}$ (3.1.4.1-54)</p>	<p>(7) 横方向地震による脚つけ根部の応力 横方向の地震が作用した場合、脚つけ根部に作用する曲げモーメント M_c は、次式で表される。 $M_c = C_H R r_0$ (3.1.4.1-54) $r_0 = \frac{D_1}{2} + t_s$ (3.1.4.1-55)</p> <p>この曲げモーメント M_c により生じる胴板の局部応力は、(5)、(6)と同様な方法で引用文献(1)より求められる。</p> <p>シェルパラメータ β_c は(5)と同じであるが、アタッチメントパラメータ β_c は、次式で表される。 $\beta_c = \sqrt[3]{\beta_1^2 \beta_2}$ (3.1.4.1-56)</p> <p>なお、円筒形アタッチメントの場合は、次式で表される。 $\beta_c = 0.875 r_1 / r_m$ (3.1.4.1-57)</p>
<p>ただし、二次応力を求める場合はさらに k_{c1} を乗じた値とする。</p>	<p>ただし、二次応力を求める場合はさらに k_{c1} 又は k_{c2} を乗じた値とする。</p>	<p>ただし、二次応力を求める場合は、角形アタッチメントのみ、さらに k_{c1} を乗じた値とする。</p>

③

②

①

別紙 1-25 横置一胴円筒形容器	別紙 1-27 デミスタ (2脚支持)	別紙 1-28 デミスタ (1脚支持)
<p>したがって応力は、次式で表される。</p> <p>一次応力</p> $\sigma_{\theta s} = \left[\frac{N_{\theta}}{M_{\theta} / (r_w^2 \beta)} \right]^* \left[\frac{M_{\theta}}{r_w^2 \beta_c t_{\theta}} \right] C_c \dots\dots\dots (3.1.4.1-51)$ $\sigma_{x s} = \left[\frac{N_x}{M_x / (r_w^2 \beta)} \right]^* \left[\frac{M_x}{r_w^2 \beta_c t_x} \right] C_c \dots\dots\dots (3.1.4.1-52)$ <p>二次応力</p> $\sigma_{2\theta s} = \left[\frac{M_{\theta}}{M_{\theta} / (r_w \beta)} \right]^* \left[\frac{6M_{\theta}}{r_w \beta_c t_{\theta}^2} \right] \dots\dots\dots (3.1.4.1-53)$ $\sigma_{2x s} = \left[\frac{M_x}{M_x / (r_w \beta)} \right]^* \left[\frac{6M_x}{r_w \beta_c t_x^2} \right] \dots\dots\dots (3.1.4.1-54)$ <p>また、横方向に地震が作用した場合第1脚つけ根部に生じるせん断応力は、次式で表される。</p> $\tau_c = \frac{C_H R_1}{4 C_1 t} \dots\dots\dots (3.1.4.1-55)$	<p>したがって、応力は、次式で表される。</p> <p>一次応力</p> $\sigma_{\theta s} = \left[\frac{N_{\theta}}{M_{\theta} / (r_w^2 \beta)} \right]^* \left[\frac{M_{\theta}}{r_w^2 \beta_c t_{\theta}} \right] C_c \dots\dots\dots (3.1.4.1-55)$ $\sigma_{x s} = \left[\frac{N_x}{M_x / (r_w^2 \beta)} \right]^* \left[\frac{M_x}{r_w^2 \beta_c t_x} \right] C_c \dots\dots\dots (3.1.4.1-56)$ <p>二次応力</p> $\sigma_{2\theta s} = \left[\frac{M_{\theta}}{M_{\theta} / (r_w \beta)} \right]^* \left[\frac{6M_{\theta}}{r_w \beta_c t_{\theta}^2} \right] \dots\dots\dots (3.1.4.1-57)$ $\sigma_{2x s} = \left[\frac{M_x}{M_x / (r_w \beta)} \right]^* \left[\frac{6M_x}{r_w \beta_c t_x^2} \right] \dots\dots\dots (3.1.4.1-58)$ <p>また、横方向に地震が作用した場合脚つけ根部に生じるせん断応力は、次式で表される。</p> $\tau_{c1} = \frac{C_H R_1}{4 C_1 t} \dots\dots\dots (3.1.4.1-59)$ <p>ただし、脚の受ける荷重が $R_2 > R_1$ となる場合は、R_1 を R_2 にそれぞれ置き換えるものとする。</p>	<p>したがって、応力は、次式で表される。</p> <p>一次応力</p> $\sigma_{\theta s} = \left[\frac{N_{\theta}}{M_{\theta} / (r_w^2 \beta)} \right]^* \left[\frac{M_{\theta}}{r_w^2 \beta_c t_{\theta}} \right] C_c \dots\dots\dots (3.1.4.1-58)$ $\sigma_{x s} = \left[\frac{N_x}{M_x / (r_w^2 \beta)} \right]^* \left[\frac{M_x}{r_w^2 \beta_c t_x} \right] C_c \dots\dots\dots (3.1.4.1-59)$ <p>二次応力</p> $\sigma_{2\theta s} = \left[\frac{M_{\theta}}{M_{\theta} / (r_w \beta)} \right]^* \left[\frac{6M_{\theta}}{r_w \beta_c t_{\theta}^2} \right] \dots\dots\dots (3.1.4.1-60)$ $\sigma_{2x s} = \left[\frac{M_x}{M_x / (r_w \beta)} \right]^* \left[\frac{6M_x}{r_w \beta_c t_x^2} \right] \dots\dots\dots (3.1.4.1-61)$ <p>また、横方向に地震が作用した場合、脚つけ根部に生じるせん断応力は、次式で表される。</p> $\tau_c = \frac{C_H R}{4 C_1 t} \dots\dots\dots (3.1.4.1-62)$ <p>なお、円筒形アタッチメントの場合は、次式で表される。</p>
		$\tau_c = \frac{C_H R}{\pi r_1 t} \dots\dots\dots (3.1.4.1-63)$
<p>(8) 組合せ応力 (3)~(7)によって算出される第1脚つけ根部に生じる胴板の応力は、以下により組み合わされる。</p> <p>a. 一次一般膜応力 【絶対値和】 (a) 長手方向地震及び鉛直方向地震が作用した場合</p> $\sigma_{\theta 1} = \max [\sigma_{\theta 1 \theta}, \sigma_{\theta 1 x}] \dots\dots\dots (3.1.4.1-56)$ <p>ここで、</p> $\sigma_{\theta 1 \theta} = \sigma_{\theta 1} + \sigma_{\theta 2} \dots\dots\dots (3.1.4.1-57)$ $\sigma_{\theta 1 x} = \sigma_{x 1} + \sigma_{x 2} + \sigma_{x 3} + \sigma_{x 4} \dots\dots\dots (3.1.4.1-58)$	<p>(8) 組合せ応力 (3)~(7)によって算出される脚つけ根部に生じる胴板の応力は、以下により組み合わされる。</p> <p>a. 一次一般膜応力 【絶対値和】 (a) 長手方向地震及び鉛直方向地震が作用した場合</p> $\sigma_{\theta 1} = \max [\sigma_{\theta 1 \theta}, \sigma_{\theta 1 x}] \dots\dots\dots (3.1.4.1-60)$ <p>ここで、</p> $\sigma_{\theta 1 \theta} = \sigma_{\theta 1} + \sigma_{\theta 2} \dots\dots\dots (3.1.4.1-61)$ $\sigma_{\theta 1 x} = \sigma_{x 1} + \sigma_{x 2} + \sigma_{x 3} + \sigma_{x 4} \dots\dots\dots (3.1.4.1-62)$	<p>(8) 組合せ応力 (3)~(7)によって算出される脚つけ根部に生じる胴板の応力は、以下により組み合わされる。</p> <p>a. 一次一般膜応力 【絶対値和】 (a) 長手方向地震及び鉛直方向地震が作用した場合</p> $\sigma_{\theta 1} = \max [\sigma_{\theta 1 \theta}, \sigma_{\theta 1 x}] \dots\dots\dots (3.1.4.1-64)$ <p>ここで、</p> $\sigma_{\theta 1 \theta} = \sigma_{\theta 1} + \sigma_{\theta 2} \dots\dots\dots (3.1.4.1-65)$ $\sigma_{\theta 1 x} = \sigma_{x 1} + \sigma_{x 2} + \sigma_{x 3} + \sigma_{x 4} \dots\dots\dots (3.1.4.1-66)$

①

別紙 1-25 横置一胴円筒形容器	別紙 1-27 デミスタ (2脚支持)	別紙 1-28 デミスタ (1脚支持)
<p>(b) 横方向地震及び鉛直方向地震が作用した場合</p> $\sigma_{0c} = \max[\sigma_{0c\phi}, \sigma_{0cx}] \quad \dots\dots\dots (3.1.4.1-59)$ <p>ここで,</p> $\sigma_{0c\phi} = \sigma_{\phi 1} + \sigma_{\phi 2} \quad \dots\dots\dots (3.1.4.1-60)$ $\sigma_{0cx} = \sigma_{x1} + \sigma_{x2} + \sigma_{x\phi} \quad \dots\dots\dots (3.1.4.1-61)$ <p>【SRSS法】</p> <p>(a) 長手方向地震及び鉛直方向地震が作用した場合</p> $\sigma_{0l} = \max[\sigma_{0l\phi}, \sigma_{0lx}] \quad \dots\dots\dots (3.1.4.1-62)$ <p>ここで,</p> $\sigma_{0l\phi} = \sigma_{\phi 1} + \sigma_{\phi 2} \quad \dots\dots\dots (3.1.4.1-63)$ $\sigma_{0lx} = \sigma_{x1} + \sigma_{x2} + \sqrt{\sigma_{x\phi}^2 + \sigma_{x4\phi}^2} \quad \dots\dots\dots (3.1.4.1-64)$ <p>(b) 横方向地震及び鉛直方向地震が作用した場合</p> $\sigma_{0c} = \max[\sigma_{0c\phi}, \sigma_{0cx}] \quad \dots\dots\dots (3.1.4.1-65)$ <p>ここで,</p> $\sigma_{0c\phi} = \sigma_{\phi 1} + \sigma_{\phi 2} \quad \dots\dots\dots (3.1.4.1-66)$ $\sigma_{0cx} = \sigma_{x1} + \sigma_{x2} + \sigma_{x\phi} \quad \dots\dots\dots (3.1.4.1-67)$ <p>したがって、胴板に生じる一次一般膜応力の最大値は、次式で表される。</p> $\sigma_0 = \max[\sigma_{0l}, \sigma_{0c}] \quad \dots\dots\dots (3.1.4.1-68)$	<p>(b) 横方向地震及び鉛直方向地震が作用した場合</p> $\sigma_{0c} = \max[\sigma_{0c\phi}, \sigma_{0cx}] \quad \dots\dots\dots (3.1.4.1-63)$ <p>ここで,</p> $\sigma_{0c\phi} = \sigma_{\phi 1} + \sigma_{\phi 2} \quad \dots\dots\dots (3.1.4.1-64)$ $\sigma_{0cx} = \sigma_{x1} + \sigma_{x2} + \sigma_{x\phi} \quad \dots\dots\dots (3.1.4.1-65)$ <p>【SRSS法】</p> <p>(a) 長手方向地震及び鉛直方向地震が作用した場合</p> $\sigma_{0l} = \max[\sigma_{0l\phi}, \sigma_{0lx}] \quad \dots\dots\dots (3.1.4.1-66)$ <p>ここで,</p> $\sigma_{0l\phi} = \sigma_{\phi 1} + \sigma_{\phi 2} \quad \dots\dots\dots (3.1.4.1-67)$ $\sigma_{0lx} = \sigma_{x1} + \sigma_{x2} + \sqrt{\sigma_{x\phi}^2 + \sigma_{x4\phi}^2} \quad \dots\dots\dots (3.1.4.1-68)$ <p>(b) 横方向地震及び鉛直方向地震が作用した場合</p> $\sigma_{0c} = \max[\sigma_{0c\phi}, \sigma_{0cx}] \quad \dots\dots\dots (3.1.4.1-69)$ <p>ここで,</p> $\sigma_{0c\phi} = \sigma_{\phi 1} + \sigma_{\phi 2} \quad \dots\dots\dots (3.1.4.1-70)$ $\sigma_{0cx} = \sigma_{x1} + \sigma_{x2} + \sigma_{x\phi} \quad \dots\dots\dots (3.1.4.1-71)$ <p>したがって、胴板に生じる一次一般膜応力の最大値は、次式で表される。</p> $\sigma_0 = \max[\sigma_{0l}, \sigma_{0c}] \quad \dots\dots\dots (3.1.4.1-72)$	<p>(b) 横方向地震及び鉛直方向地震が作用した場合</p> $\sigma_{0c} = \max[\sigma_{0c\phi}, \sigma_{0cx}] \quad \dots\dots\dots (3.1.4.1-67)$ <p>ここで,</p> $\sigma_{0c\phi} = \sigma_{\phi 1} + \sigma_{\phi 2} \quad \dots\dots\dots (3.1.4.1-68)$ $\sigma_{0cx} = \sigma_{x1} + \sigma_{x2} + \sigma_{x\phi} \quad \dots\dots\dots (3.1.4.1-69)$ <p>【SRSS法】</p> <p>(a) 長手方向地震及び鉛直方向地震が作用した場合</p> $\sigma_{0l} = \max[\sigma_{0l\phi}, \sigma_{0lx}] \quad \dots\dots\dots (3.1.4.1-70)$ <p>ここで,</p> $\sigma_{0l\phi} = \sigma_{\phi 1} + \sigma_{\phi 2} \quad \dots\dots\dots (3.1.4.1-71)$ $\sigma_{0lx} = \sigma_{x1} + \sigma_{x2} + \sqrt{\sigma_{x\phi}^2 + \sigma_{x4\phi}^2} \quad \dots\dots\dots (3.1.4.1-72)$ <p>(b) 横方向地震及び鉛直方向地震が作用した場合</p> $\sigma_{0c} = \max[\sigma_{0c\phi}, \sigma_{0cx}] \quad \dots\dots\dots (3.1.4.1-73)$ <p>ここで,</p> $\sigma_{0c\phi} = \sigma_{\phi 1} + \sigma_{\phi 2} \quad \dots\dots\dots (3.1.4.1-74)$ $\sigma_{0cx} = \sigma_{x1} + \sigma_{x2} + \sigma_{x\phi} \quad \dots\dots\dots (3.1.4.1-75)$ <p>したがって、胴板に生じる一次一般膜応力の最大値は、次式で表される。</p> $\sigma_0 = \max[\sigma_{0l}, \sigma_{0c}] \quad \dots\dots\dots (3.1.4.1-76)$
<p>b. 一次応力</p> <p>【絶対値和】</p> <p>(a) 長手方向地震及び鉛直方向地震が作用した場合</p> $\sigma_{11} = \frac{1}{2} \left\{ (\sigma_{11\phi} + \sigma_{11x}) + \sqrt{(\sigma_{11\phi} - \sigma_{11x})^2 + 4\tau_1^2} \right\} \quad \dots (3.1.4.1-69)$ <p>ここで,</p> $\sigma_{11\phi} = \sigma_{\phi 1} + \sigma_{\phi 2} + \sigma_{\phi 3} + \sigma_{\phi 4} + \sigma_{\phi 7} \quad \dots\dots\dots (3.1.4.1-70)$ $\sigma_{11x} = \sigma_{x1} + \sigma_{x2} + \sigma_{x3} + \sigma_{x4} + \sigma_{x5} + \sigma_{x7} \quad \dots\dots\dots (3.1.4.1-71)$	<p>b. 一次応力</p> <p>【絶対値和】</p> <p>(a) 長手方向地震及び鉛直方向地震が作用した場合</p> $\sigma_{11} = \frac{1}{2} \left\{ (\sigma_{11\phi} + \sigma_{11x}) + \sqrt{(\sigma_{11\phi} - \sigma_{11x})^2 + 4\tau_1^2} \right\} \quad \dots\dots\dots (3.1.4.1-73)$ <p>ここで,</p> $\sigma_{11\phi} = \sigma_{\phi 1} + \sigma_{\phi 2} + \sigma_{\phi 3} + \sigma_{\phi 4} + \sigma_{\phi 7} \quad \dots\dots\dots (3.1.4.1-74)$ $\sigma_{11x} = \sigma_{x1} + \sigma_{x2} + \sigma_{x3} + \sigma_{x4} + \sigma_{x5} + \sigma_{x7} \quad \dots\dots\dots (3.1.4.1-75)$ $\tau_{11} = \tau_{11} + \tau_{12} + \tau_{13} \quad \dots\dots\dots (3.1.4.1-76)$	<p>b. 一次応力</p> <p>【絶対値和】</p> <p>(a) 長手方向地震及び鉛直方向地震が作用した場合</p> $\sigma_{11} = \frac{1}{2} \left\{ (\sigma_{11\phi} + \sigma_{11x}) + \sqrt{(\sigma_{11\phi} - \sigma_{11x})^2 + 4(\tau_{11} + \tau_{12} + \tau_{13})^2} \right\} \quad \dots\dots\dots (3.1.4.1-77)$ <p>ここで,</p> $\sigma_{11\phi} = \sigma_{\phi 1} + \sigma_{\phi 2} + \sigma_{\phi 3} + \sigma_{\phi 4} + \sigma_{\phi 7} \quad \dots\dots\dots (3.1.4.1-78)$ $\sigma_{11x} = \sigma_{x1} + \sigma_{x2} + \sigma_{x3} + \sigma_{x4} + \sigma_{x5} + \sigma_{x7} \quad \dots\dots\dots (3.1.4.1-79)$

別紙 1-25 横置一胴円筒形容器	別紙 1-27 デミスタ (2脚支持)	別紙 1-28 デミスタ (1脚支持)
<p>(b) 横方向地震及び鉛直方向地震が発生した場合</p> $\sigma_{1\phi} = \frac{1}{2} \left\{ (\sigma_{1\phi\phi} + \sigma_{1\phi z}) + \sqrt{(\sigma_{1\phi\phi} - \sigma_{1\phi z})^2 + 4\tau_{\phi}^2} \right\} \dots (3.1.4.1-72)$ <p>ここで,</p> $\sigma_{1\phi\phi} = \sigma_{\phi 1} + \sigma_{\phi 2} + \sigma_{\phi 3} + \sigma_{\phi 5} + \sigma_{\phi 7} \dots (3.1.4.1-73)$ $\sigma_{1\phi z} = \sigma_{z 1} + \sigma_{z 2} + \sigma_{z 3} + \sigma_{z 5} + \sigma_{z 6} + \sigma_{z 7} \dots (3.1.4.1-74)$ <p>【SRSS法】</p> <p>(a) 長手方向地震及び鉛直方向地震が作用した場合</p> $\sigma_{11} = \frac{1}{2} \left\{ (\sigma_{11\phi} + \sigma_{11z}) + \sqrt{(\sigma_{11\phi} - \sigma_{11z})^2 + 4\tau_{11}^2} \right\} \dots (3.1.4.1-75)$ <p>ここで,</p> $\sigma_{11\phi} = \sigma_{\phi 1} + \sigma_{\phi 2} + \sqrt{\sigma_{\phi 4}^2 + (\sigma_{\phi 2} + \sigma_{\phi 7})^2} \dots (3.1.4.1-76)$ $\sigma_{11z} = \sigma_{z 1} + \sigma_{z 2} + \sigma_{z 3} + \sqrt{\sigma_{z 4}^2 + (\sigma_{z 6} + \sigma_{z 7})^2} \dots (3.1.4.1-77)$ <p>(b) 横方向地震及び鉛直方向地震が発生した場合</p> $\sigma_{1\phi} = \frac{1}{2} \left\{ (\sigma_{1\phi\phi} + \sigma_{1\phi z}) + \sqrt{(\sigma_{1\phi\phi} - \sigma_{1\phi z})^2 + 4\tau_{\phi}^2} \right\} \dots (3.1.4.1-78)$ <p>ここで,</p> $\sigma_{1\phi\phi} = \sigma_{\phi 1} + \sigma_{\phi 3} + \sqrt{\sigma_{\phi 5}^2 + (\sigma_{\phi 2} + \sigma_{\phi 7})^2} \dots (3.1.4.1-79)$ $\sigma_{1\phi z} = \sigma_{z 1} + \sigma_{z 2} + \sigma_{z 3} + \sqrt{\sigma_{z 5}^2 + (\sigma_{z 6} + \sigma_{z 7})^2} \dots (3.1.4.1-80)$ $\tau_{\phi} = \tau_{\phi 1} \dots (3.1.4.1-88)$ <p>したがって、胴板に生じる一次応力の最大値は、次式で表される。</p> $\sigma_1 = \max [\sigma_{11}, \sigma_{1\phi}] \dots (3.1.4.1-81)$	<p>(b) 横方向地震及び鉛直方向地震が作用した場合</p> $\sigma_{1c} = \frac{1}{2} \left\{ (\sigma_{1c\phi} + \sigma_{1cz}) + \sqrt{(\sigma_{1c\phi} - \sigma_{1cz})^2 + 4\tau_c^2} \right\} \dots (3.1.4.1-77)$ <p>ここで,</p> $\sigma_{1c\phi} = \sigma_{\phi 1} + \sigma_{\phi 2} + \sigma_{\phi 3} + \sigma_{\phi 5} + \sigma_{\phi 7} \dots (3.1.4.1-78)$ $\sigma_{1cz} = \sigma_{z 1} + \sigma_{z 2} + \sigma_{z 3} + \sigma_{z 5} + \sigma_{z 6} + \sigma_{z 7} \dots (3.1.4.1-79)$ $\tau_c = \tau_{c 1} \dots (3.1.4.1-80)$ <p>【SRSS法】</p> <p>(a) 長手方向地震及び鉛直方向地震が作用した場合</p> $\sigma_{11} = \frac{1}{2} \left\{ (\sigma_{11\phi} + \sigma_{11z}) + \sqrt{(\sigma_{11\phi} - \sigma_{11z})^2 + 4\tau_{11}^2} \right\} \dots (3.1.4.1-81)$ <p>ここで,</p> $\sigma_{11\phi} = \sigma_{\phi 1} + \sigma_{\phi 2} + \sqrt{\sigma_{\phi 4}^2 + (\sigma_{\phi 2} + \sigma_{\phi 7})^2} \dots (3.1.4.1-82)$ $\sigma_{11z} = \sigma_{z 1} + \sigma_{z 2} + \sigma_{z 3} + \sqrt{\sigma_{z 4}^2 + (\sigma_{z 6} + \sigma_{z 7})^2} \dots (3.1.4.1-83)$ $\tau_{11} = \tau_{11} + \sqrt{\tau_{12}^2 + \tau_{13}^2} \dots (3.1.4.1-84)$ <p>(b) 横方向地震及び鉛直方向地震が作用した場合</p> $\sigma_{1c} = \frac{1}{2} \left\{ (\sigma_{1c\phi} + \sigma_{1cz}) + \sqrt{(\sigma_{1c\phi} - \sigma_{1cz})^2 + 4\tau_c^2} \right\} \dots (3.1.4.1-85)$ <p>ここで,</p> $\sigma_{1c\phi} = \sigma_{\phi 1} + \sigma_{\phi 3} + \sqrt{\sigma_{\phi 5}^2 + (\sigma_{\phi 2} + \sigma_{\phi 7})^2} \dots (3.1.4.1-86)$ $\sigma_{1cz} = \sigma_{z 1} + \sigma_{z 2} + \sigma_{z 3} + \sqrt{\sigma_{z 5}^2 + (\sigma_{z 6} + \sigma_{z 7})^2} \dots (3.1.4.1-87)$ $\tau_c = \tau_{c 1} \dots (3.1.4.1-88)$ <p>したがって、胴板に生じる一次応力の最大値は、次式で表される。</p> $\sigma_1 = \max [\sigma_{11}, \sigma_{1c}] \dots (3.1.4.1-89)$	<p>(b) 横方向地震及び鉛直方向地震が作用した場合</p> $\sigma_{1\phi} = \frac{1}{2} \left\{ (\sigma_{1\phi\phi} + \sigma_{1\phi z}) + \sqrt{(\sigma_{1\phi\phi} - \sigma_{1\phi z})^2 + 4\tau_{\phi}^2} \right\} \dots (3.1.4.1-80)$ <p>ここで,</p> $\sigma_{1\phi\phi} = \sigma_{\phi 1} + \sigma_{\phi 2} + \sigma_{\phi 3} + \sigma_{\phi 5} + \sigma_{\phi 7} \dots (3.1.4.1-81)$ $\sigma_{1\phi z} = \sigma_{z 1} + \sigma_{z 2} + \sigma_{z 3} + \sigma_{z 5} + \sigma_{z 6} + \sigma_{z 7} \dots (3.1.4.1-82)$ <p>【SRSS法】</p> <p>(a) 長手方向地震及び鉛直方向地震が作用した場合</p> $\sigma_{11} = \frac{1}{2} \left\{ (\sigma_{11\phi} + \sigma_{11z}) + \sqrt{(\sigma_{11\phi} - \sigma_{11z})^2 + 4(\tau_{11} + \sqrt{\tau_{12}^2 + \tau_{13}^2})^2} \right\} \dots (3.1.4.1-83)$ <p>ここで,</p> $\sigma_{11\phi} = \sigma_{\phi 1} + \sigma_{\phi 2} + \sqrt{\sigma_{\phi 4}^2 + (\sigma_{\phi 2} + \sigma_{\phi 7})^2} \dots (3.1.4.1-84)$ $\sigma_{11z} = \sigma_{z 1} + \sigma_{z 2} + \sigma_{z 3} + \sqrt{\sigma_{z 4}^2 + (\sigma_{z 6} + \sigma_{z 7})^2} \dots (3.1.4.1-85)$ <p>(b) 横方向地震及び鉛直方向地震が作用した場合</p> $\sigma_{1\phi} = \frac{1}{2} \left\{ (\sigma_{1\phi\phi} + \sigma_{1\phi z}) + \sqrt{(\sigma_{1\phi\phi} - \sigma_{1\phi z})^2 + 4\tau_{\phi}^2} \right\} \dots (3.1.4.1-86)$ <p>ここで,</p> $\sigma_{1\phi\phi} = \sigma_{\phi 1} + \sigma_{\phi 3} + \sqrt{\sigma_{\phi 5}^2 + (\sigma_{\phi 2} + \sigma_{\phi 7})^2} \dots (3.1.4.1-87)$ $\sigma_{1\phi z} = \sigma_{z 1} + \sigma_{z 2} + \sigma_{z 3} + \sqrt{\sigma_{z 5}^2 + (\sigma_{z 6} + \sigma_{z 7})^2} \dots (3.1.4.1-88)$ <p>したがって、胴板に生じる一次応力の最大値は、次式で表される。</p> $\sigma_1 = \max [\sigma_{11}, \sigma_{1\phi}] \dots (3.1.4.1-89)$

別紙 1-25 横置一胴円筒形容器	別紙 1-27 デミスタ（2脚支持）	別紙 1-28 デミスタ（1脚支持）
<p>c. 地震動のみによる一次+二次応力の変動値 【絶対値和】</p> <p>(a) 長手方向地震及び鉛直方向地震が作用した場合</p> $\sigma_{21} = \sigma_{21\phi} + \sigma_{21x} + \sqrt{(\sigma_{21\phi} - \sigma_{21x})^2 + 4\tau_1^2} \quad \dots\dots\dots (3.1.4.1-82)$ <p>ここで、</p> $\sigma_{21\phi} = \sigma_{\phi 2} + \sigma_{\phi 4} + \sigma_{\phi 5} + \sigma_{\phi 7} + \sigma_{\phi 8} \quad \dots\dots\dots (3.1.4.1-83)$ $\sigma_{21x} = \sigma_{x 4} + \sigma_{x 5} + \sigma_{x 6} + \sigma_{x 7} + \sigma_{x 8} \quad \dots\dots\dots (3.1.4.1-84)$ <p>(b) 横方向地震及び鉛直方向地震が作用した場合</p> $\sigma_{2c} = \sigma_{2c\phi} + \sigma_{2cx} + \sqrt{(\sigma_{2c\phi} - \sigma_{2cx})^2 + 4\tau_c^2} \quad \dots\dots\dots (3.1.4.1-85)$ <p>ここで、</p> $\sigma_{2c\phi} = \sigma_{\phi 2} + \sigma_{\phi 5} + \sigma_{\phi 6} + \sigma_{\phi 7} + \sigma_{\phi 8} \quad \dots\dots\dots (3.1.4.1-86)$ $\sigma_{2cx} = \sigma_{x 5} + \sigma_{x 6} + \sigma_{x 7} + \sigma_{x 8} \quad \dots\dots\dots (3.1.4.1-87)$ <p>【SRSS法】</p> <p>(a) 長手方向地震及び鉛直方向地震が作用した場合</p> $\sigma_{21} = \sigma_{21\phi} + \sigma_{21x} + \sqrt{(\sigma_{21\phi} - \sigma_{21x})^2 + 4\tau_1^2} \quad \dots\dots\dots (3.1.4.1-88)$ <p>ここで、</p> $\sigma_{21\phi} = \sqrt{(\sigma_{\phi 2} + \sigma_{\phi 7} + \sigma_{\phi 8})^2 + (\sigma_{\phi 4} + \sigma_{\phi 5})^2} \quad \dots\dots\dots (3.1.4.1-89)$ $\sigma_{21x} = \sqrt{(\sigma_{x 4} + \sigma_{x 5})^2 + (\sigma_{x 6} + \sigma_{x 7} + \sigma_{x 8})^2} \quad \dots\dots\dots (3.1.4.1-90)$ <p>(b) 横方向地震及び鉛直方向地震が発生した場合</p> $\sigma_{2c} = \sigma_{2c\phi} + \sigma_{2cx} + \sqrt{(\sigma_{2c\phi} - \sigma_{2cx})^2 + 4\tau_c^2} \quad \dots\dots\dots (3.1.4.1-91)$ <p>ここで、</p> $\sigma_{2c\phi} = \sqrt{(\sigma_{\phi 2} + \sigma_{\phi 7} + \sigma_{\phi 8})^2 + (\sigma_{\phi 5} + \sigma_{\phi 6})^2} \quad \dots\dots\dots (3.1.4.1-92)$ $\sigma_{2cx} = \sqrt{(\sigma_{x 5} + \sigma_{x 6})^2 + (\sigma_{x 7} + \sigma_{x 8})^2} \quad \dots\dots\dots (3.1.4.1-93)$ <p>したがって、胴板に生じる地震動のみによる一次+二次応力の変動値の最大値は、次式で表される。</p> $\sigma_2 = \max[\sigma_{21}, \sigma_{2c}] \quad \dots\dots\dots (3.1.4.1-94)$	<p>c. 地震動のみによる一次+二次応力の変動値 【絶対値和】</p> <p>(a) 長手方向地震及び鉛直方向地震が作用した場合</p> $\sigma_{21} = (\sigma_{21\phi} + \sigma_{21x}) + \sqrt{(\sigma_{21\phi} - \sigma_{21x})^2 + 4\tau_1^2} \quad \dots\dots\dots (3.1.4.1-90)$ <p>ここで、</p> $\sigma_{21\phi} = \sigma_{\phi 2} + \sigma_{\phi 4} + \sigma_{\phi 5} + \sigma_{\phi 7} + \sigma_{\phi 8} \quad \dots\dots\dots (3.1.4.1-91)$ $\sigma_{21x} = \sigma_{x 4} + \sigma_{x 5} + \sigma_{x 6} + \sigma_{x 7} + \sigma_{x 8} \quad \dots\dots\dots (3.1.4.1-92)$ $\tau_{21} = \tau_{12} + \tau_{13} \quad \dots\dots\dots (3.1.4.1-93)$ <p>(b) 横方向地震及び鉛直方向地震が作用した場合</p> $\sigma_{2c} = (\sigma_{2c\phi} + \sigma_{2cx}) + \sqrt{(\sigma_{2c\phi} - \sigma_{2cx})^2 + 4\tau_c^2} \quad \dots\dots\dots (3.1.4.1-94)$ <p>ここで、</p> $\sigma_{2c\phi} = \sigma_{\phi 2} + \sigma_{\phi 5} + \sigma_{\phi 6} + \sigma_{\phi 7} + \sigma_{\phi 8} \quad \dots\dots\dots (3.1.4.1-95)$ $\sigma_{2cx} = \sigma_{x 5} + \sigma_{x 6} + \sigma_{x 7} + \sigma_{x 8} \quad \dots\dots\dots (3.1.4.1-96)$ $\tau_c = \tau_{c1} \quad \dots\dots\dots (3.1.4.1-97)$ <p>【SRSS法】</p> <p>(a) 長手方向地震及び鉛直方向地震が作用した場合</p> $\sigma_{21} = (\sigma_{21\phi} + \sigma_{21x}) + \sqrt{(\sigma_{21\phi} - \sigma_{21x})^2 + 4\tau_1^2} \quad \dots\dots\dots (3.1.4.1-98)$ <p>ここで、</p> $\sigma_{21\phi} = \sqrt{(\sigma_{\phi 2} + \sigma_{\phi 7} + \sigma_{\phi 8})^2 + (\sigma_{\phi 4} + \sigma_{\phi 5})^2} \quad \dots\dots\dots (3.1.4.1-99)$ $\sigma_{21x} = \sqrt{(\sigma_{x 4} + \sigma_{x 5})^2 + (\sigma_{x 6} + \sigma_{x 7} + \sigma_{x 8})^2} \quad \dots\dots\dots (3.1.4.1-100)$ $\tau_{21} = \sqrt{\tau_{12}^2 + \tau_{13}^2} \quad \dots\dots\dots (3.1.4.1-101)$ <p>(b) 横方向地震及び鉛直方向地震が作用した場合</p> $\sigma_{2c} = (\sigma_{2c\phi} + \sigma_{2cx}) + \sqrt{(\sigma_{2c\phi} - \sigma_{2cx})^2 + 4\tau_c^2} \quad \dots\dots\dots (3.1.4.1-102)$ <p>ここで、</p> $\sigma_{2c\phi} = \sqrt{(\sigma_{\phi 2} + \sigma_{\phi 7} + \sigma_{\phi 8})^2 + (\sigma_{\phi 5} + \sigma_{\phi 6})^2} \quad \dots\dots\dots (3.1.4.1-103)$ $\sigma_{2cx} = \sqrt{(\sigma_{x 5} + \sigma_{x 6})^2 + (\sigma_{x 7} + \sigma_{x 8})^2} \quad \dots\dots\dots (3.1.4.1-104)$ $\tau_c = \tau_{c1} \quad \dots\dots\dots (3.1.4.1-105)$ <p>したがって、胴に生じる地震動のみによる一次+二次応力の変動値の最大値は、次式で表される。</p> $\sigma_2 = \max[\sigma_{21}, \sigma_{2c}] \quad \dots\dots\dots (3.1.4.1-106)$	<p>c. 地震動のみによる一次+二次応力の変動値 【絶対値和】</p> <p>(a) 長手方向地震及び鉛直方向地震が作用した場合</p> $\sigma_{21} = \sigma_{21\phi} + \sigma_{21x} + \sqrt{(\sigma_{21\phi} - \sigma_{21x})^2 + 4(\tau_{12} + \tau_{13})^2} \quad \dots\dots\dots (3.1.4.1-90)$ <p>ここで、</p> $\sigma_{21\phi} = \sigma_{\phi 2} + \sigma_{\phi 4} + \sigma_{\phi 5} + \sigma_{\phi 7} + \sigma_{\phi 8} \quad \dots\dots\dots (3.1.4.1-91)$ $\sigma_{21x} = \sigma_{x 4} + \sigma_{x 5} + \sigma_{x 6} + \sigma_{x 7} + \sigma_{x 8} \quad \dots\dots\dots (3.1.4.1-92)$ <p>(b) 横方向地震及び鉛直方向地震が作用した場合</p> $\sigma_{2c} = \sigma_{2c\phi} + \sigma_{2cx} + \sqrt{(\sigma_{2c\phi} - \sigma_{2cx})^2 + 4\tau_c^2} \quad \dots\dots\dots (3.1.4.1-93)$ <p>ここで、</p> $\sigma_{2c\phi} = \sigma_{\phi 2} + \sigma_{\phi 5} + \sigma_{\phi 6} + \sigma_{\phi 7} + \sigma_{\phi 8} \quad \dots\dots\dots (3.1.4.1-94)$ $\sigma_{2cx} = \sigma_{x 5} + \sigma_{x 6} + \sigma_{x 7} + \sigma_{x 8} \quad \dots\dots\dots (3.1.4.1-95)$ <p>【SRSS法】</p> <p>(a) 長手方向地震及び鉛直方向地震が作用した場合</p> $\sigma_{21} = \sigma_{21\phi} + \sigma_{21x} + \sqrt{(\sigma_{21\phi} - \sigma_{21x})^2 + 4(\tau_{12}^2 + \tau_{13}^2)} \quad \dots\dots\dots (3.1.4.1-96)$ <p>ここで、</p> $\sigma_{21\phi} = \sqrt{(\sigma_{\phi 2} + \sigma_{\phi 7} + \sigma_{\phi 8})^2 + (\sigma_{\phi 4} + \sigma_{\phi 5})^2} \quad \dots\dots\dots (3.1.4.1-97)$ $\sigma_{21x} = \sqrt{(\sigma_{x 4} + \sigma_{x 5})^2 + (\sigma_{x 6} + \sigma_{x 7} + \sigma_{x 8})^2} \quad \dots\dots\dots (3.1.4.1-98)$ <p>(b) 横方向地震及び鉛直方向地震作用した場合</p> $\sigma_{2c} = \sigma_{2c\phi} + \sigma_{2cx} + \sqrt{(\sigma_{2c\phi} - \sigma_{2cx})^2 + 4\tau_c^2} \quad \dots\dots\dots (3.1.4.1-99)$ <p>ここで、</p> $\sigma_{2c\phi} = \sqrt{(\sigma_{\phi 2} + \sigma_{\phi 7} + \sigma_{\phi 8})^2 + (\sigma_{\phi 5} + \sigma_{\phi 6})^2} \quad \dots\dots\dots (3.1.4.1-100)$ $\sigma_{2cx} = \sqrt{(\sigma_{x 5} + \sigma_{x 6})^2 + (\sigma_{x 7} + \sigma_{x 8})^2} \quad \dots\dots\dots (3.1.4.1-101)$ <p>したがって、胴板に生じる地震動のみによる一次+二次応力の変動値の最大値は、次式で表される。</p> $\sigma_2 = \max[\sigma_{21}, \sigma_{2c}] \quad \dots\dots\dots (3.1.4.1-102)$

別紙 1-25 横置一胴円筒形容器	別紙 1-27 デミスタ（2脚支持）	別紙 1-28 デミスタ（1脚支持）
<p>3.1.4.2 脚の応力 脚の最大組合せ応力σ_sは、次式により算出する。 (1) 運転時質量及び鉛直方向地震による圧縮応力 運転時質量及び鉛直方向地震による圧縮応力は、次式で表される。 $\sigma_{s1} = \frac{R_1 + m_s g}{A_s} \dots\dots\dots (3.1.4.2-1)$ $\sigma_{s4} = \frac{R_1 + m_s g}{A_s} C_v \dots\dots\dots (3.1.4.2-2)$</p>	<p>3.1.4.2 脚の応力 脚の最大組合せ応力σ_sは、次式により算出する。 (1) 運転時質量及び鉛直方向地震による圧縮応力 運転時質量及び鉛直方向地震による圧縮応力は、次式で表される。 $\sigma_{s1} = \frac{R_1 + m_{s1} g}{A_s} \dots\dots\dots (3.1.4.2-1)$ $\sigma_{s4} = \frac{R_1 + m_{s1} g}{A_s} C_v \dots\dots\dots (3.1.4.2-2)$</p>	<p>3.1.4.2 脚の応力 脚の最大組合せ応力σ_sは、次式により算出する。 (1) 運転時質量及び鉛直方向地震による圧縮応力 運転時質量及び鉛直方向地震による圧縮応力は、次式で表される。 $\sigma_{s1} = \frac{m_0 g}{A_s} \dots\dots\dots (3.1.4.2-1)$ $\sigma_{s4} = \frac{m_0 g}{A_s} C_v \dots\dots\dots (3.1.4.2-2)$</p>
	<p>ただし、$R_2 + m_{s2} g > R_1 + m_{s1} g$の場合は、$R_1$を$R_2$に、$m_{s1} g$を$m_{s2} g$にそれぞれ置き換えるものとする。</p>	
<p>(2) 長手方向地震による応力 曲げ、圧縮応力は、次式で表される。 $\sigma_{s2} = \frac{M_{11} + P_1}{Z_{1y} + A_s} \dots\dots\dots (3.1.4.2-3)$</p>	<p>(2) 長手方向地震による応力 曲げ、圧縮応力は、次式で表される。 $\sigma_{s2} = \frac{M_{11} + P_1}{Z_{1y} + A_s \cos \zeta} \dots\dots\dots (3.1.4.2-3)$</p>	<p>(2) 長手方向地震による応力 曲げ、圧縮応力は、次式で表される。 $\sigma_{s2} = \frac{M_{11} + P_1 \cos \zeta}{Z_{1y} + A_s} \dots\dots\dots (3.1.4.2-3)$</p>
<p>ここで、 $M_{11} = \frac{1}{2} C_H m_0 g h_1 \dots\dots\dots (3.1.4.2-4)$</p>	<p>ここで、 $M_{11} = \frac{1}{2} C_H m_0 g h_1 \dots\dots\dots (3.1.4.2-4)$</p>	<p>ここで、 $M_{11} = C_H m_0 g h_2 \dots\dots\dots (3.1.4.2-4)$</p>
<p>ただし、脚下端が単純支持の場合は係数1/2を1に置き換えるものとする。 せん断応力は、次式で表される。 $\tau_{s2} = \frac{C_H m_0 g}{A_{s3}} \dots\dots\dots (3.1.4.2-5)$</p>	<p>ただし、脚下端が単純支持の場合は係数1/2を1に置き換えるものとする。 せん断応力は、次式で表される。 $\tau_{s2} = \frac{C_H m_0 g}{A_{s3}} \dots\dots\dots (3.1.4.2-5)$</p>	<p>せん断応力は、次式で表される。 $\tau_{s2} = \frac{C_H m_0 g}{A_{s3}} \dots\dots\dots (3.1.4.2-5)$</p>
<p>(3) 横方向地震による応力 曲げ応力は、次式で表される。 $\sigma_{s3} = \frac{C_H (R_1 + m_s g) h_2}{Z_{1x}} \dots\dots\dots (3.1.4.2-6)$</p>	<p>(3) 横方向地震による応力 曲げ応力は、次式で表される。 $\sigma_{s3} = \frac{C_H (R_1 + m_{s1} g) h_2}{Z_{1x}} \dots\dots\dots (3.1.4.2-6)$</p>	<p>(3) 横方向地震による応力 曲げ応力は、次式で表される。 $\sigma_{s3} = \frac{C_H m_0 g h_2}{Z_{1x}} \dots\dots\dots (3.1.4.2-6)$</p>
<p>せん断応力は、次式で表される。 $\tau_{s3} = \frac{C_H (R_1 + m_s g)}{A_{s4}} \dots\dots\dots (3.1.4.2-7)$</p>	<p>せん断応力は、次式で表される。 $\tau_{s3} = \frac{C_H (R_1 + m_{s1} g)}{A_{s4}} \dots\dots\dots (3.1.4.2-7)$</p>	<p>せん断応力は、次式で表される。 $\tau_{s3} = \frac{C_H m_0 g}{A_{s4}} \dots\dots\dots (3.1.4.2-7)$</p>
	<p>ただし、$(R_2 + m_{s2} g) h_4 > (R_1 + m_{s1} g) h_2$の場合は、$R_1$を$R_2$に、$m_{s1} g$を$m_{s2} g$に、$h_2$を$h_4$にそれぞれ置き換えるものとする。</p>	
<p>(4) 組合せ応力 脚の最大組合せ応力は、次式で表される。 【絶対値和】 長手方向地震及び鉛直方向地震が作用する場合 $\sigma_{s1} = \sqrt{(\sigma_{s1} + \sigma_{s2} + \sigma_{s4})^2 + 3\tau_{s2}^2} \dots\dots\dots (3.1.4.2-8)$ 横方向地震及び鉛直方向地震が作用する場合 $\sigma_{s3} = \sqrt{(\sigma_{s1} + \sigma_{s3} + \sigma_{s4})^2 + 3\tau_{s3}^2} \dots\dots\dots (3.1.4.2-9)$</p>	<p>(4) 組合せ応力 脚の最大組合せ応力は、次式で表される。 【絶対値和】 長手方向地震及び鉛直方向地震が作用する場合 $\sigma_{s1} = \sqrt{(\sigma_{s1} + \sigma_{s2} + \sigma_{s4})^2 + 3\tau_{s2}^2} \dots\dots\dots (3.1.4.2-8)$ 横方向地震及び鉛直方向地震が作用する場合 $\sigma_{s3} = \sqrt{(\sigma_{s1} + \sigma_{s3} + \sigma_{s4})^2 + 3\tau_{s3}^2} \dots\dots\dots (3.1.4.2-9)$</p>	<p>(4) 組合せ応力 脚の最大組合せ応力は、次式で表される。 【絶対値和】 長手方向地震及び鉛直方向地震が作用する場合 $\sigma_{s1} = \sqrt{(\sigma_{s1} + \sigma_{s2} + \sigma_{s4})^2 + 3\tau_{s2}^2} \dots\dots\dots (3.1.4.2-8)$ 横方向地震及び鉛直方向地震が作用する場合 $\sigma_{s3} = \sqrt{(\sigma_{s1} + \sigma_{s3} + \sigma_{s4})^2 + 3\tau_{s3}^2} \dots\dots\dots (3.1.4.2-9)$</p>

①

③

①

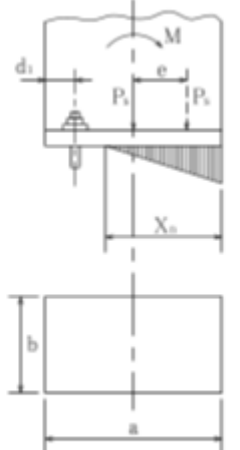
①

①

②

別紙 1-25 横置一胴円筒形容器	別紙 1-27 デミスタ（2脚支持）	別紙 1-28 デミスタ（1脚支持）
<p>【SRSS法】 長手方向地震及び鉛直方向地震が作用する場合 $\sigma_{x1} = \sqrt{(\sigma_{x1} + \sqrt{\sigma_{x2}^2 + \sigma_{x4}^2})^2 + 3\tau_{x2}^2} \dots\dots\dots (3.1.4.2-10)$</p> <p>横方向地震及び鉛直方向地震が作用する場合 $\sigma_{xc} = \sqrt{(\sigma_{x1} + \sqrt{\sigma_{x3}^2 + \sigma_{x4}^2})^2 + 3\tau_{x3}^2} \dots\dots\dots (3.1.4.2-11)$</p> <p>したがって、脚に生じる最大組合せ応力は、次式で表される。 $\sigma_x = \max[\sigma_{x1}, \sigma_{xc}] \dots\dots\dots (3.1.4.2-12)$</p> <p>3.1.4.3 基礎ボルトの応力 基礎ボルトの最大せん断応力τ_b及び最大引張応力σ_bは、次式により算出する。 (1) 長手方向地震及び鉛直方向地震が作用した場合 a. せん断応力 せん断応力は、次式で表される。 $\tau_{b1} = \frac{C_H m_0 g}{n A_b} \dots\dots\dots (3.1.4.3-1)$</p> <p>b. 引張応力 長手方向地震及び鉛直方向地震が作用した場合に脚底面に作用するモーメントは、次式で表される。 $M = M_{11} \dots\dots\dots (3.1.4.3-2)$</p> <p>鉛直荷重は 【絶対値和】</p>	<p>【SRSS法】 長手方向地震及び鉛直方向地震が作用する場合 $\sigma_{i1} = \sqrt{(\sigma_{i1} + \sqrt{\sigma_{i2}^2 + \sigma_{i4}^2})^2 + 3\tau_{i2}^2} \dots\dots\dots (3.1.4.2-10)$</p> <p>横方向地震及び鉛直方向地震が作用する場合 $\sigma_{ic} = \sqrt{(\sigma_{i1} + \sqrt{\sigma_{i3}^2 + \sigma_{i4}^2})^2 + 3\tau_{i3}^2} \dots\dots\dots (3.1.4.2-11)$</p> <p>したがって、脚に生じる最大組合せ応力は、次式で表される。 $\sigma_i = \max[\sigma_{i1}, \sigma_{ic}] \dots\dots\dots (3.1.4.2-12)$</p> <p>3.1.4.3 基礎ボルトの応力 基礎ボルトの最大せん断応力τ_b及び最大引張応力σ_bは、次式により算出する。 (1) 長手方向地震及び鉛直方向地震が作用した場合 a. せん断応力 せん断応力は、次式で表される。 $\tau_{b1} = \frac{C_H m_0 g}{n A_b} \dots\dots\dots (3.1.4.3-1)$</p> <p>b. 引張応力 長手方向地震及び鉛直方向地震が作用した場合に脚底面に作用するモーメントは、次式で表される。 $M = M_{11} \dots\dots\dots (3.1.4.3-2)$</p> <p>鉛直荷重は 【絶対値和】</p>	<p>【SRSS法】 長手方向地震及び鉛直方向地震が作用する場合 $\sigma_{i1} = \sqrt{(\sigma_{i1} + \sqrt{\sigma_{i2}^2 + \sigma_{i4}^2})^2 + 3\tau_{i2}^2} \dots\dots\dots (3.1.4.2-10)$</p> <p>横方向地震及び鉛直方向地震が作用する場合 $\sigma_{ic} = \sqrt{(\sigma_{i1} + \sqrt{\sigma_{i3}^2 + \sigma_{i4}^2})^2 + 3\tau_{i3}^2} \dots\dots\dots (3.1.4.2-11)$</p> <p>したがって、脚に生じる最大応力は、次式で表される。 $\sigma_i = \max[\sigma_{i1}, \sigma_{ic}] \dots\dots\dots (3.1.4.2-12)$</p> <p>3.1.4.3 基礎ボルトの応力 基礎ボルトの最大せん断応力τ_b及び最大引張応力σ_bは、次式により算出する。 (1) 長手方向地震及び鉛直方向地震が作用した場合 a. せん断応力 せん断応力は、次式で表される。 $\tau_{b1} = \frac{C_H m_0 g}{n A_b} \dots\dots\dots (3.1.4.3-1)$</p> <p>b. 引張応力 長手方向地震及び鉛直方向地震が作用した場合に脚底面に作用するモーメントは、次式で表される。 $M = M_{11} \dots\dots\dots (3.1.4.3-2)$</p> <p>鉛直荷重は 【絶対値和】</p>
<p>$P_x = (R_1 + m_0 g)(1 - C_v) - P_1 \dots\dots\dots (3.1.4.3-3)$</p>	<p>$P_i = (R_1 + m_{i1} g)(1 - C_v) - P_1 / \cos \zeta \dots\dots\dots (3.1.4.3-3)$</p>	

③

別紙 1-25 横置一胴円筒形容器	別紙 1-27 デミスタ (2脚支持)	別紙 1-28 デミスタ (1脚支持)
<p>【SRSS法】</p>	<p>【SRSS法】</p>	
$P_i = R_i + m_i g - \sqrt{\{C_v (R_i + m_i g)\}^2 + P_1^2} \dots\dots\dots (3.1.4.3-4)$	$P_i = R_i + m_{i,1} g - \sqrt{\{C_v (R_i + m_{i,1} g)\}^2 + (P_1 / \cos \zeta)^2} \dots\dots\dots (3.1.4.3-4)$	
<p>である。今モーメントと圧縮荷重の比を</p>	<p>である。今モーメントと圧縮荷重の比を</p>	
$e = M / P_i \dots\dots\dots (3.1.4.3-5)$	$e = M / P_i \dots\dots\dots (3.1.4.3-5)$	
<p>とすると、eが負の場合又は</p>	<p>とすると、eが負の場合又は</p>	
$e > \frac{a}{6} + \frac{d_1}{3} \dots\dots\dots (3.1.4.3-6)$	$e > \frac{a}{6} + \frac{d_1}{3} \dots\dots\dots (3.1.4.3-6)$	
<p>の時、基礎ボルトに引張力が作用し、この引張力は次のようにして求められる。</p>	<p>の時、基礎ボルトに引張力が作用し、この引張力は次のようにして求められる。</p>	
<p>今、中立軸の位置 X_n を</p>	<p>今、中立軸の位置 X_n を</p>	
$X_n^3 + 3 \left(e - \frac{a}{2} \right) X_n^2 - \frac{6 s A_b n_1}{b} \left(e + \frac{a}{2} - d_1 \right) (a - d_1 - X_n) = 0 \dots\dots\dots (3.1.4.3-7)$	$X_n^3 + 3 \left(e - \frac{a}{2} \right) X_n^2 - \frac{6 s A_b n_1}{b} \left(e + \frac{a}{2} - d_1 \right) (a - d_1 - X_n) = 0 \dots\dots\dots (3.1.4.3-7)$	
<p>より求めると、基礎ボルトに作用する引張力は、次式で表される。</p>	<p>より求めると、基礎ボルトに作用する引張力は、次式で表される。</p>	
$F_b = \frac{P_i \left(e - \frac{a}{2} + \frac{X_n}{3} \right)}{a - d_1 - \frac{X_n}{3}} \dots\dots\dots (3.1.4.3-8)$	$F_b = \frac{P_i \left(e - \frac{a}{2} + \frac{X_n}{3} \right)}{a - d_1 - \frac{X_n}{3}} \dots\dots\dots (3.1.4.3-8)$	
		
<p>第 3.1.4.3-1 図 基礎部に作用する外荷重により生ずる荷重の関係</p>		

③

別紙 1-25 横置一胴円筒形容器	別紙 1-27 デミスタ (2脚支持)	別紙 1-28 デミスタ (1脚支持)
<p>したがって、基礎ボルトに生じる引張応力は、次式で表される。</p> $\sigma_{b1} = \frac{F_b}{n_1 A_b} \dots\dots\dots (3.1.4.3-9)$ <p>ただし、脚下端が単純支持の場合は脚底面にはモーメントが作用しないので、鉛直荷重 P_s が負のときに基礎ボルトに引張応力が生じる。</p> $F_b = -P_s \dots\dots\dots (3.1.4.3-10)$ $\sigma_{b1} = \frac{F_b}{n A_b} \dots\dots\dots (3.1.4.3-11)$ <p>(2) 横方向地震及び鉛直方向地震が作用した場合 脚の受ける質量 R_2 が R_1 よりも大きいときは、R_1 を R_2 と置き換えて計算する。</p> <p>a. せん断応力 せん断応力は、次式で表される。</p>	<p>したがって、基礎ボルトに生じる引張応力は、次式で表される。</p> $\sigma_{b1} = \frac{F_b}{n_1 A_b} \dots\dots\dots (3.1.4.3-9)$ <p>ただし、脚下端が単純支持の場合は脚底面にはモーメントが作用しないので、鉛直荷重 P_s が負のときに基礎ボルトに引張応力が生じる。</p> $F_b = -P_s \dots\dots\dots (3.1.4.3-10)$ $\sigma_{b1} = \frac{F_b}{n A_b} \dots\dots\dots (3.1.4.3-11)$ <p>(2) 横方向地震及び鉛直方向地震が作用した場合</p> <p>a. せん断応力 せん断応力は、次式で表される。</p>	<p>基礎ボルトに生じる引張応力は、最も厳しい条件として、基礎ボルトを支点とする転倒を考え、これを片側のボルトで受けるものとして、次式で表される。</p> <p>【絶対値和】</p> $\sigma_{b1} = \frac{M - (1 - C_v) m_0 g \frac{l_{b1}}{2}}{n_1 A_b l_{b1}} \dots\dots\dots (3.1.4.3-3)$ <p>【SRSS 法】</p> $\sigma_{b1} = \frac{-m_0 g \frac{l_{b1}}{2} + \sqrt{\left(C_v m_0 g \frac{l_{b1}}{2} \right)^2 + M^2}}{n_1 A_b l_{b1}} \dots\dots\dots (3.1.4.3-4)$ <p>(2) 横方向の地震及び鉛直方向地震が作用した場合</p> <p>a. せん断応力 せん断応力は、次式で表される。</p>
$\tau_{b2} = \frac{C_H (R_1 + m_1 g)}{n A_b} \dots\dots\dots (3.1.4.3-12)$	$\tau_{b2} = \frac{C_H (R_1 + m_{s1} g)}{n A_b} \dots\dots\dots (3.1.4.3-12)$	$\tau_{b2} = \frac{C_H m_0 g}{n A_b} \dots\dots\dots (3.1.4.3-5)$
<p>b. 引張応力 横方向の地震が作用した場合に脚底面に作用するモーメントは、次式で表される。</p>	<p>ただし、$(R_2 + m_{s2} g) > (R_1 + m_{s1} g)$ の場合は、R_1 を R_2 に、$m_{s1} g$ を $m_{s2} g$ にそれぞれ置き換えるものとする。</p> <p>b. 引張応力 横方向の地震が作用した場合に第1脚底面に作用するモーメントは、次式で表される。</p>	<p>b. 引張応力 横方向の地震が作用した場合に脚底面に作用するモーメントは、次式で表される。</p>

①

別紙 1-25 横置一胴円筒形容器	別紙 1-27 デミスタ (2脚支持)	別紙 1-28 デミスタ (1脚支持)
$M_{t1} = C_H(R_1 + m_s g) h_2 \quad \dots\dots\dots (3.1.4.3-13)$	$M_{b1} = C_H(R_1 + m_s g) h_2 \quad \dots\dots\dots (3.1.4.3-13)$	$M_{t1} = C_H m_0 g h_2 \quad \dots\dots\dots (3.1.4.3-6)$
<p>鉛直力は</p> $P_{s1} = (R_1 + m_s g)(1 - C_V) \quad \dots\dots\dots (3.1.4.3-14)$ <p>で表される。</p> <p>(1)と同様にして引張応力は求められるが、M_{t1}はMとし、P_{s1}はP_s、d_2はd_1、aはb、bはa、n_2はn_1と置き換え、得られた基礎ボルトの応力をσ_{b2}とする。</p>	<p>鉛直力は</p> $P_{s1} = (R_1 + m_s g)(1 - C_V) \quad \dots\dots\dots (3.1.4.3-14)$ <p>また、第2脚底面に働くモーメントは、次式で表される。</p> $M_{b2} = C_H(R_2 + m_s g) h_4 \quad \dots\dots\dots (3.1.4.3-15)$ <p>鉛直力は</p> $P_{s2} = (R_2 + m_s g)(1 - C_V) \quad \dots\dots\dots (3.1.4.3-16)$ <p>で表される。</p> <p>(1)と同様にして引張応力は求められるが、MはM_{b1}及びM_{b2}とし、P_sはP_{s1}及びP_{s2}、d_2はd_1、aはb、bはa、n_2はn_1と置き換え、得られた基礎ボルトの応力をそれぞれσ_{b21}、σ_{b22}とする。</p> <p>したがって、横方向地震により基礎ボルトに生じる引張応力は、次式で表される。</p> $\sigma_{b2} = \max[\sigma_{b21}, \sigma_{b22}] \quad \dots\dots\dots (3.1.4.3-17)$	<p>(1)と同様にして引張応力は、次式で表される。</p> <p>【絶対値和】</p> $\sigma_{b2} = \frac{M_{t1} - (1 - C_V) m_0 g \frac{l_{b2}}{2}}{n_2 A_b l_{b2}} \quad \square \quad \dots\dots\dots (3.1.4.3-7)$ <p>【SRSS法】</p> $\sigma_{b2} = \frac{-m_0 g \frac{l_{b2}}{2} + \sqrt{(C_V m_0 g \frac{l_{b2}}{2})^2 + M_{t1}^2}}{n_2 A_b l_{b2}} \quad \square \quad \dots\dots\dots (3.1.4.3-8)$
<p>したがって、基礎ボルトに生じる最大応力は、次式で表される。</p> $\sigma_b = \max[\sigma_{b1}, \sigma_{b2}] \quad \dots\dots\dots (3.1.4.3-15)$ $\tau_b = \max[\tau_{b1}, \tau_{b2}] \quad \dots\dots\dots (3.1.4.3-16)$	<p>したがって、基礎ボルトに生じる最大応力は、次式で表される。</p> $\sigma_b = \max[\sigma_{b1}, \sigma_{b2}] \quad \dots\dots\dots (3.1.4.3-18)$ $\tau_b = \max[\tau_{b1}, \tau_{b2}] \quad \dots\dots\dots (3.1.4.3-19)$	<p>したがって、取付ボルトに生じる最大応力は、次式で表される。</p> $\sigma_b = \max[\sigma_{b1}, \sigma_{b2}] \quad \dots\dots\dots (3.1.4.3-9)$ $\tau_b = \max[\tau_{b1}, \tau_{b2}] \quad \dots\dots\dots (3.1.4.3-10)$ <div data-bbox="1929 1344 2611 1680" data-label="Diagram"> </div> <p style="text-align: center;">第 3.1.4.3-1 図 荷重の作用方向</p>

①

別紙 1-25 横置一胴円筒形容器	別紙 1-27 デミスタ (2脚支持)	別紙 1-28 デミスタ (1脚支持)
<p>3.2 評価</p> <p>3.1.4 項で算出した応力が、「IV-1-1-8 機能維持の基本方針(a.容器, e.支持構造物)」に基づく許容応力以下であること。</p> <p>ここで, 3.1.4.3項で算出した基礎ボルトの引張応力σ_bは, 下記2式より算出した許容引張応力$1.5f_{t_s}$以下であること。なお, 基準地震動S_sによる評価ではf_{t_s}を$f_{t_s}^*$に読み替える。</p> $1.5f_{t_s} = 1.4f_{t_o} - 1.6\tau_b \dots\dots\dots (3.2-1)$ $1.5f_{t_s} \leq f_{t_o} \dots\dots\dots (3.2-2)$ <p>4. 引用文献</p> <p>(1) “Local Stresses in Spherical and Cylindrical Shells due to External Loadings” (WELDING RESEARCH COUNCIL BULLETIN No. 107 AUG. 1965. REV. MAR. 1979)</p> <p>(2) “Stresses in Large Horizontal Cylindrical Pressure Vessels on Two Saddle Supports” (WELDING RESEARCH SUPPLEMENT SEP. 1951)</p> <p>5. 地震時の臨界安全性評価</p> <p>5.1 評価方針</p> <p>横置一胴円筒形容器に対する地震時の臨界安全性評価は, 地震時の変位評価として, 評価対象機器の固有周期の計算を行い, 地震時の変位量が許容変位に対し小さいことを確認する。</p> <p>5.1.1 計算条件</p> <p>計算条件は, 3.1.1項に示す計算条件を用いる。</p> <p>5.1.2 計算モデルの設定方法</p> <p>計算モデルは, 3.1.3項に示す計算モデルを用いる。</p> <p>5.1.3 許容変位</p> <p>許容変位は, 「IV-1-1-13 地震時の臨界安全性検討方針」に基づく。</p> <p>5.1.4 計算方法</p> <p>変位計算は, 本項に示す方法に基づく。</p>	<p>3.2 評価</p> <p>3.1.4 項で算出した応力が、「IV-1-1-8 機能維持の基本方針(a.容器, e.支持構造物)」の許容応力以下であること。</p> <p>ここで, 3.1.4.3項で算出した基礎ボルトの引張応力σ_bは, 下記2式より算出した許容引張応力$1.5f_{t_s}$以下であること。なお, 基準地震動S_sによる評価ではf_{t_s}を$f_{t_s}^*$に読み替える。</p> $1.5f_{t_s} = 1.4f_{t_o} - 1.6\tau_b \dots\dots\dots (3.2-1)$ $1.5f_{t_s} \leq f_{t_o} \dots\dots\dots (3.2-2)$ <p>4. 引用文献</p> <p>(1) “Local Stresses in Spherical and Cylindrical Shells due to External Loadings” (WELDING RESEARCH COUNCIL BULLETIN No.107 AUG.1965.REV.MAR.1979)</p> <p>(2) “Stresses from Radial Loads and External Moments in Cylindrical Pressure Vessels” (THE WELDING JOURNAL,34(12),RESEARCH SUPPLEMENT,1955)</p>	<p>3.2 評価</p> <p>3.1.4項で算出した応力が、「IV-1-1-8 機能維持の基本方針(a.容器, e.支持構造物)」に基づく許容応力以下であること。</p> <p>ここで, 3.1.4.3項で算出した基礎ボルトの引張応力σ_bは, 下記2式より算出した許容引張応力$1.5f_{t_s}$以下であること。なお, 基準地震動S_sによる評価ではf_{t_s}を$f_{t_s}^*$に読み替える。</p> $1.5f_{t_s} = 1.4f_{t_o} - 1.6\tau_b \dots\dots\dots (3.2-1)$ $1.5f_{t_s} \leq f_{t_o} \dots\dots\dots (3.2-2)$ <p>4. 引用文献</p> <p>(1) “Local Stresses in Spherical and Cylindrical Shells due to External Loadings” (WELDING RESEARCH COUNCIL BULLETIN No. 107 AUG. 1965. REV. MAR. 1979)</p> <p>(2) “Stresses in Large Horizontal Cylindrical Pressure Vessels on Two Saddle Supports” (WELDING RESEARCH SUPPLEMENT SEP. 1951)</p>

別紙 1-25 横置一胴円筒形容器	別紙 1-27 デミスタ（2脚支持）	別紙 1-28 デミスタ（1脚支持）																								
<p>5.1.4.1 記号の説明</p> <table border="1" data-bbox="237 378 1023 661"> <thead> <tr> <th>記号</th> <th>表示内容</th> <th>単位</th> </tr> </thead> <tbody> <tr> <td>C_H</td> <td>水平方向設計震度</td> <td>—</td> </tr> <tr> <td>g</td> <td>重力加速度(=9.80665)</td> <td>m/s²</td> </tr> <tr> <td>K_c, K_l</td> <td>脚のばね定数</td> <td>N/mm</td> </tr> <tr> <td>m_0</td> <td>容器の有効運転時質量</td> <td>kg</td> </tr> <tr> <td>x</td> <td>地震時の変位</td> <td>mm</td> </tr> <tr> <td>x_c</td> <td>胴の横方向に水平力が作用する場合の地震時の変位</td> <td>mm</td> </tr> <tr> <td>x_l</td> <td>胴の長手方向に水平力が作用する場合の地震時の変位</td> <td>mm</td> </tr> </tbody> </table> <p>5.1.4.2 地震時の変位</p> <p>地震時変位は、3.1.3項に示すばね定数を求める計算式より、次式により算出する。</p> $x_l = \frac{(C_H m_0 g)}{K_l} \dots\dots\dots (5.1.4.2-1)$ $x_c = \frac{(C_H m_0 g)}{K_c} \dots\dots\dots (5.1.4.2-2)$ $x = \max[x_l, x_c] \dots\dots\dots (5.1.4.2-3)$ <p>5.2 評価</p> <p>5.2.1 地震時の変位の評価</p> <p>5.1.4項で算出した地震時の変位は、「IV-1-1-13 地震時の臨界安全性検討方針」に示す臨界計算により定めた許容変位以下であること。</p> <p>6. 耐震計算書のフォーマット</p> <p>横置一胴円筒形容器の構造強度評価に対する耐震計算書のフォーマットは、以下のとおりである。</p>	記号	表示内容	単位	C_H	水平方向設計震度	—	g	重力加速度(=9.80665)	m/s ²	K_c, K_l	脚のばね定数	N/mm	m_0	容器の有効運転時質量	kg	x	地震時の変位	mm	x_c	胴の横方向に水平力が作用する場合の地震時の変位	mm	x_l	胴の長手方向に水平力が作用する場合の地震時の変位	mm	<p>5. 耐震計算書のフォーマット</p> <p>デミスタ（2脚支持）の構造強度評価に対する耐震計算書のフォーマットは、以下のとおりである。</p>	<p>5. 耐震計算書のフォーマット</p> <p>デミスタ（1脚支持）の構造強度評価に対する耐震計算書のフォーマットは、以下のとおりである。</p>
記号	表示内容	単位																								
C_H	水平方向設計震度	—																								
g	重力加速度(=9.80665)	m/s ²																								
K_c, K_l	脚のばね定数	N/mm																								
m_0	容器の有効運転時質量	kg																								
x	地震時の変位	mm																								
x_c	胴の横方向に水平力が作用する場合の地震時の変位	mm																								
x_l	胴の長手方向に水平力が作用する場合の地震時の変位	mm																								

比較表 2

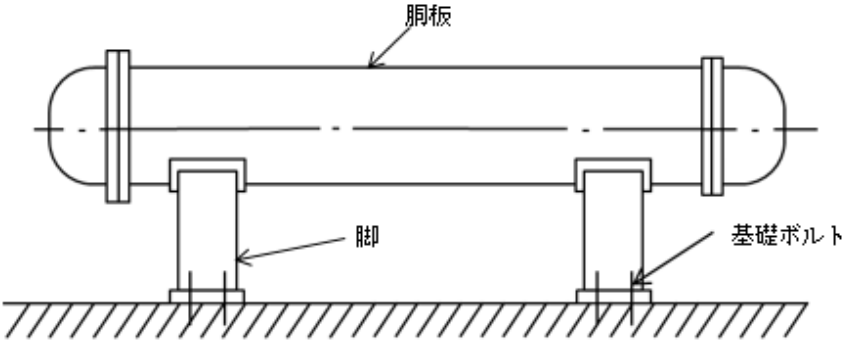
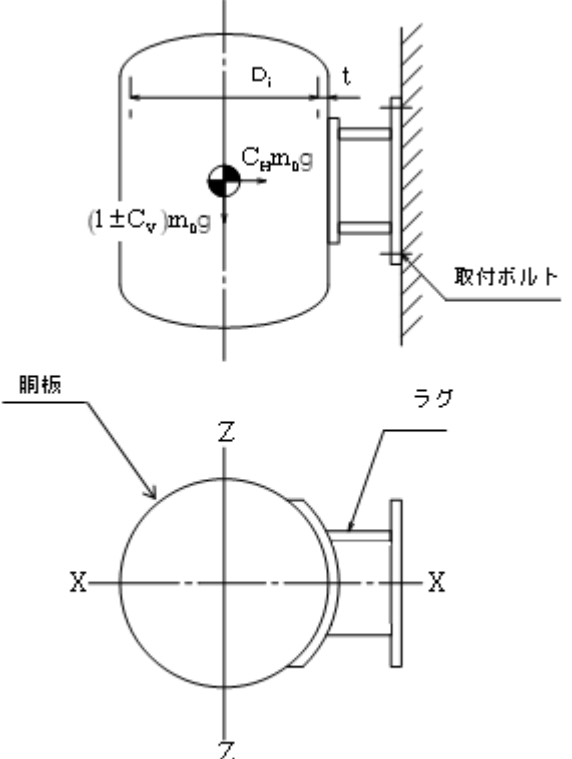
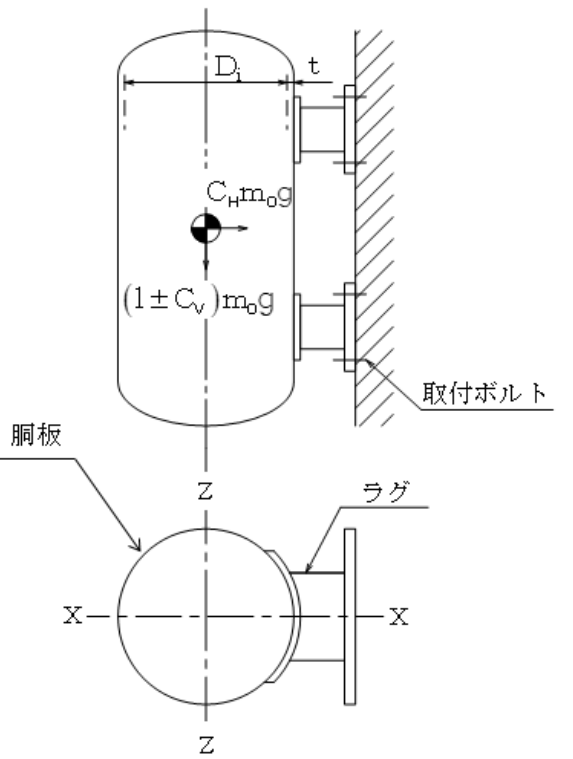
定型式による評価に用いる類似する計算式の観点 (定型式(2) 軸直角方向支持容器)

参考資料 2-2-1 (35/105)

別紙 1-25 横置一胴円筒形容器	別紙 1-24 中間支持たて置円筒形容器 (1 ラグ支持)	別紙 1-43 中間支持たて置円筒形容器 (長手方向 2 ラグ支持)
<p>比較表の代表とする基本方針</p> <p>IV-1-2-1 別紙 1-25 横置一胴円筒形容器の耐震性に関する計算書作成の基本方針</p>	<p>IV-1-2-1 別紙 1-24 中間支持たて置円筒形容器 (1 ラグ支持) の耐震性に関する計算書作成の基本方針</p>	<p>IV-1-2-1 別紙 1-43 中間支持たて置円筒形容器 (長手方向 2 ラグ支持) の耐震性に関する計算書作成の基本方針</p>
<ul style="list-style-type: none"> ・ 差分が生じている箇所を青枠にて示し，下記凡例の計算式における差異の要因に示す番号を右端に示す。 ・ 差分の比較表は見やすさの観点から 3 段表により示す。3 段表で示すに当たって類型化分類中に定型式が 4 つ以上存在する場合は，最左列を代表とした複数の 3 段表により全ての定型式の差分を示す。 ・ 複数の 3 段表を作成する際は，パラメータによる計算式の違いから比較表のずれを少なくするため，パラメータ式が類似する計算式ごとの比較結果を示す。本比較表においては 6 種類の基本方針に対し 3 つの比較表にて構成しており，比較表 1 では差異の要因として①～③が該当する別紙 1-27 と別紙 1-28 との比較，比較表 2 では差異の要因として①～②が該当する別紙 1-24 と別紙 1-43 の比較，比較表 3 では差異の要因として①が該当する別紙-1-26 との比較について示す。 		
<p>計算式における差異の要因の凡例</p> <ul style="list-style-type: none"> ①荷重の取扱い ②支持方法 ③傾斜の考慮 		

別紙 1-25 横置一胴円筒形容器	別紙 1-24 中間支持たて置円筒形容器（1 ラグ支持）	別紙 1-43 中間支持たて置円筒形容器（長手方向 2 ラグ支持）
<p style="text-align: center;">目 次</p> <p style="text-align: right;">ページ</p> <p>1. 概要 1</p> <p>2. 準拠規格 1</p> <p>3. 構造強度評価 2</p> <p> 3.1 計算方法 2</p> <p> 3.1.1 計算条件 2</p> <p> 3.1.2 記号の説明 3</p> <p> 3.1.3 固有周期の計算方法 9</p> <p> 3.1.4 応力の計算方法 12</p> <p> 3.2 評価 26</p> <p>4. 引用文献 26</p> <p>5. 地震時の臨界安全性評価 27</p> <p> 5.1 評価方針 27</p> <p> 5.1.1 計算条件 27</p> <p> 5.1.2 計算モデルの設定方法 27</p> <p> 5.1.3 許容変位 27</p> <p> 5.1.4 計算方法 27</p> <p> 5.2 評価 28</p> <p> 5.2.1 地震時の変位の評価 28</p> <p>6. 耐震計算書のフォーマット 28</p>	<p style="text-align: center;">目 次</p> <p style="text-align: right;">ページ</p> <p>1. 概要 1</p> <p>2. 準拠規格 1</p> <p>3. 構造強度評価 2</p> <p> 3.1 計算方法 2</p> <p> 3.1.1 計算条件 2</p> <p> 3.1.2 記号の説明 3</p> <p> 3.1.3 固有周期の計算方法 8</p> <p> 3.1.4 応力の計算方法 9</p> <p> 3.2 評価 19</p> <p>4. 引用文献 19</p> <p>5. 耐震計算書のフォーマット 19</p>	<p style="text-align: center;">目 次</p> <p style="text-align: right;">ページ</p> <p>1. 概要 1</p> <p>2. 準拠規格 1</p> <p>3. 構造強度評価 2</p> <p> 3.1 計算方法 2</p> <p> 3.1.1 計算条件 2</p> <p> 3.1.2 記号の説明 3</p> <p> 3.1.3 固有周期の計算方法 9</p> <p> 3.1.4 応力の計算方法 11</p> <p> 3.2 評価 27</p> <p>4. 引用文献 27</p> <p>5. 耐震計算書のフォーマット 27</p>

別紙 1-25 横置一胴円筒形容器	別紙 1-24 中間支持たて置円筒形容器（1 ラグ支持）	別紙 1-43 中間支持たて置円筒形容器（長手方向 2 ラグ支持）																																				
<p>1. 概要 本基本方針は、横置一胴円筒形容器の耐震性に関する計算書の計算方法を示す。 なお、本計算方法は、JEAG4601に準拠したものである。</p> <p>2. 準拠規格 「IV-1-1 耐震設計の基本方針」に示す規格のうち、本評価に対する準拠規格について第 2-1 表に示す。</p> <p style="text-align: center;">第 2-1 表 準拠規格</p> <table border="1" data-bbox="246 632 1012 831"> <thead> <tr> <th colspan="2">準拠規格名</th> </tr> </thead> <tbody> <tr> <td>原子力発電所耐震設計技術指針</td> <td>JEAG4601-1987</td> </tr> <tr> <td>原子力発電所耐震設計技術指針 重要度分類・許容応力編</td> <td>JEAG4601・補-1984</td> </tr> <tr> <td>原子力発電所耐震設計技術指針</td> <td>JEAG4601-1991 追補版</td> </tr> <tr> <td>発電用原子力設備規格 設計・建設規格(2005年版(2007年追補版を含む))</td> <td></td> </tr> <tr> <td><第 I 編 軽水炉規格></td> <td>JSME S NC1-2005/2007*</td> </tr> </tbody> </table> <p>注記 *：JSME S NC1 以外に使用している鉄鋼材料の規格については、「V-2 強度計算方法」における添付-1「容器等の材料及び構造に関する設計の基本方針」に定められた値を準用することとする。</p>	準拠規格名		原子力発電所耐震設計技術指針	JEAG4601-1987	原子力発電所耐震設計技術指針 重要度分類・許容応力編	JEAG4601・補-1984	原子力発電所耐震設計技術指針	JEAG4601-1991 追補版	発電用原子力設備規格 設計・建設規格(2005年版(2007年追補版を含む))		<第 I 編 軽水炉規格>	JSME S NC1-2005/2007*	<p>1. 概要 本基本方針は、ラグによる中間支持たて置円筒形容器(1ラグ支持)の耐震性に関する計算書の計算方法を示す。 なお、本計算方法は、JEAG4601に準拠したものである。</p> <p>2. 準拠規格 「IV-1-1 耐震設計の基本方針」に示す規格のうち、本評価に対する準拠規格について第 2-1 表に示す。</p> <p style="text-align: center;">第 2-1 表 準拠規格</p> <table border="1" data-bbox="1071 674 1852 873"> <thead> <tr> <th colspan="2">準拠規格名</th> </tr> </thead> <tbody> <tr> <td>原子力発電所耐震設計技術指針</td> <td>JEAG4601-1987</td> </tr> <tr> <td>原子力発電所耐震設計技術指針 重要度分類・許容応力編</td> <td>JEAG4601・補-1984</td> </tr> <tr> <td>原子力発電所耐震設計技術指針</td> <td>JEAG4601-1991 追補版</td> </tr> <tr> <td>発電用原子力設備規格 設計・建設規格(2005年版(2007年追補版を含む))</td> <td></td> </tr> <tr> <td><第 I 編 軽水炉規格></td> <td>JSME S NC1-2005/2007*</td> </tr> </tbody> </table> <p>注記 *：JSME S NC1 以外に使用している鉄鋼材料の規格については、「V-2 強度計算方法」における添付-1「容器等の材料及び構造に関する設計の基本方針」に定められた値を準用することとする。</p>	準拠規格名		原子力発電所耐震設計技術指針	JEAG4601-1987	原子力発電所耐震設計技術指針 重要度分類・許容応力編	JEAG4601・補-1984	原子力発電所耐震設計技術指針	JEAG4601-1991 追補版	発電用原子力設備規格 設計・建設規格(2005年版(2007年追補版を含む))		<第 I 編 軽水炉規格>	JSME S NC1-2005/2007*	<p>1. 概要 本基本方針は、中間支持たて置円筒形容器(長手方向2ラグ支持)の耐震性に関する計算書の計算方法を示す。 なお、本計算方法は、JEAG4601に準拠したものである。</p> <p>2. 準拠規格 「IV-1-1 耐震設計の基本方針」に示す規格のうち、本評価に対する準拠規格について第 2-1 表に示す。</p> <p style="text-align: center;">第 2-1 表 準拠規格</p> <table border="1" data-bbox="1902 674 2689 873"> <thead> <tr> <th colspan="2">準拠規格名</th> </tr> </thead> <tbody> <tr> <td>原子力発電所耐震設計技術指針</td> <td>JEAG4601-1987</td> </tr> <tr> <td>原子力発電所耐震設計技術指針 重要度分類・許容応力編</td> <td>JEAG4601・補-1984</td> </tr> <tr> <td>原子力発電所耐震設計技術指針</td> <td>JEAG4601-1991 追補版</td> </tr> <tr> <td>発電用原子力設備規格 設計・建設規格(2005年度版(2007年追補版を含む))</td> <td></td> </tr> <tr> <td><第 I 編 軽水炉規格></td> <td>JSME S NC1-2005/2007*</td> </tr> </tbody> </table> <p>注記 *：JSME S NC1 以外に使用している鉄鋼材料の規格については、「V-2 強度計算方法」における添付-1「容器等の材料及び構造に関する設計の基本方針」に定められた値を準用することとする。</p>	準拠規格名		原子力発電所耐震設計技術指針	JEAG4601-1987	原子力発電所耐震設計技術指針 重要度分類・許容応力編	JEAG4601・補-1984	原子力発電所耐震設計技術指針	JEAG4601-1991 追補版	発電用原子力設備規格 設計・建設規格(2005年度版(2007年追補版を含む))		<第 I 編 軽水炉規格>	JSME S NC1-2005/2007*
準拠規格名																																						
原子力発電所耐震設計技術指針	JEAG4601-1987																																					
原子力発電所耐震設計技術指針 重要度分類・許容応力編	JEAG4601・補-1984																																					
原子力発電所耐震設計技術指針	JEAG4601-1991 追補版																																					
発電用原子力設備規格 設計・建設規格(2005年版(2007年追補版を含む))																																						
<第 I 編 軽水炉規格>	JSME S NC1-2005/2007*																																					
準拠規格名																																						
原子力発電所耐震設計技術指針	JEAG4601-1987																																					
原子力発電所耐震設計技術指針 重要度分類・許容応力編	JEAG4601・補-1984																																					
原子力発電所耐震設計技術指針	JEAG4601-1991 追補版																																					
発電用原子力設備規格 設計・建設規格(2005年版(2007年追補版を含む))																																						
<第 I 編 軽水炉規格>	JSME S NC1-2005/2007*																																					
準拠規格名																																						
原子力発電所耐震設計技術指針	JEAG4601-1987																																					
原子力発電所耐震設計技術指針 重要度分類・許容応力編	JEAG4601・補-1984																																					
原子力発電所耐震設計技術指針	JEAG4601-1991 追補版																																					
発電用原子力設備規格 設計・建設規格(2005年度版(2007年追補版を含む))																																						
<第 I 編 軽水炉規格>	JSME S NC1-2005/2007*																																					

別紙 1-25 横置一胴円筒形容器	別紙 1-24 中間支持たて置円筒形容器 (1 ラグ支持)	別紙 1-43 中間支持たて置円筒形容器 (長手方向 2 ラグ支持)
<p>3. 構造強度評価</p> <p>3.1 計算方法</p> <p>3.1.1 計算条件</p> <p>(1) 容器及び内容物の質量は胴の中心軸に集中するものとする。</p> <p>(2) 2個のうち1個の脚は胴の長手方向に、基礎に対してスライドできるものとする。</p> <p>(3) 容器の胴は剛とし、脚の曲げ及びせん断変形を考慮する。</p> <p>(4) 脚を基礎に固定する基礎ボルトが、脚の変形方向に直角な方向よりみて脚1個につき1列の場合は下端を単純支持とする。その他の場合は固定とする。</p> <p>(5) 地震力は、容器に対して水平方向及び鉛直方向から個別に作用するものとし、応力計算において各応力を適切に組み合わせる。</p>  <p>第3.1.1-1図 全景</p>	<p>3. 構造強度評価</p> <p>3.1 計算方法</p> <p>3.1.1 計算条件</p> <p>(1) 容器及び内容物の質量は、重心に集中するものとする。</p> <p>(2) ラグは取付ボルトで壁等に固定されているので固定とする。</p> <p>(3) 容器の胴は剛とし、脚の曲げ及びせん断変形を考慮する。</p> <p>(4) 地震力は、容器に対して水平方向及び鉛直方向から個別に作用するものとし、応力計算において各応力を適切に組み合わせる。</p>  <p>第 3.1.1-1図 全景</p>	<p>3. 構造強度評価</p> <p>3.1 計算方法</p> <p>3.1.1 計算条件</p> <p>(1) 容器及び内容物の質量は胴の中心軸に集中するものとする。</p> <p>(2) 2個のうち1個のラグは胴の長手方向に、取付け面に対してスライドできるものとする。</p> <p>(3) 容器の胴は剛とし、ラグの曲げ及びせん断変形を考慮する。</p> <p>(4) ラグを壁等に固定する取付ボルトが、ラグの変形方向に直角な方向よりみてラグ1個につき1列の場合は下端を単純支持とする。その他の場合は固定とする。</p> <p>(5) 地震力は、容器に対して水平方向及び鉛直方向から個別に作用するものとし、応力計算において各応力を適切に組み合わせる。</p>  <p>第 3.1.1-1図 全景</p>

別紙 1-25 横置一胴円筒形容器			別紙 1-24 中間支持たて置円筒形容器 (1 ラグ支持)			別紙 1-43 中間支持たて置円筒形容器 (長手方向 2 ラグ支持)		
3.1.2 記号の説明			3.1.2 記号の説明			3.1.2 記号の説明		
記号	表示内容	単位	記号	表示内容	単位	記号	表示内容	単位
A_b	基礎ボルトの軸断面積	mm^2	A_b	取付ボルトの軸断面積	mm^2	A_b	取付ボルトの軸断面積	mm^2
A_i	脚の断面積	mm^2	A_s	ラグの断面積	mm^2	A_i	ラグの断面積	mm^2
A_{i1}	脚の長手方向に対する有効せん断断面積	mm^2	A_{s1}	水平方向荷重に対するラグの有効せん断断面積	mm^2	A_{i1}	ラグの水平方向荷重に対する有効せん断断面積	mm^2
A_{i2}	脚の横方向に対する有効せん断断面積	mm^2	A_{s2}	鉛直方向荷重に対するラグのせん断断面積	mm^2	A_{i2}	ラグの鉛直方向荷重に対するせん断断面積	mm^2
A_{i3}	脚の長手方向に対するせん断断面積	mm^2	A_{s3}	水平方向荷重に対するラグのせん断断面積	mm^2	A_{i3}	ラグの水平方向荷重に対するせん断断面積	mm^2
A_{i4}	脚の横方向に対するせん断断面積	mm^2	A_{s4}	鉛直方向荷重に対するラグの有効せん断断面積	mm^2	A_{i4}	ラグの鉛直方向荷重に対する有効せん断断面積	mm^2
a	脚底板の長手方向幅	mm	C_0	引用文献(1)より得られる値	-	C_0	引用文献(1)より得られる値	-
b	脚底板の横方向幅	mm	C_H	水平方向設計震度	-	C_H	水平方向設計震度	-
C_c	引用文献(1)により得られる値	-	C_1	引用文献(1)より得られる値	-	C_1	引用文献(1)より得られる値	-
C_H	水平方向設計震度	-	C_V	鉛直方向設計震度	-	C_V	鉛直方向設計震度	-
C_1	引用文献(1)により得られる値	-	C_1	ラグの胴つけ根部のアタッチメント幅の2分の1(胴の周方向)	mm	C_1	ラグの胴つけ根部のアタッチメント幅の2分の1(胴の横方向)	mm
C_V	鉛直方向設計震度	-	C_2	ラグの胴つけ根部のアタッチメント幅の2分の1(胴の軸方向)	mm	C_2	ラグの胴つけ根部のアタッチメント幅の2分の1(胴の長手方向)	mm
C_L	脚の胴つけ根部のアタッチメント幅の2分の1(胴の横方向)	mm	D_i	胴の内径	mm	D_i	胴の内径	mm
C_2	脚の胴つけ根部のアタッチメント幅の2分の1(胴の長手方向)	mm	E_s	ラグの縦弾性係数	MPa	E_s	ラグの縦弾性係数	MPa
D_i	胴の内径	mm	F	「JSME S NC1」のSSB-3121.1(1)に定める値	MPa	F	「JSME S NC1」のSSB-3121.1(1)に定める値	MPa
D_0	胴の外径	mm	F^*	「JSME S NC1」のSSB-3121.1(1)に定める値 ただし、「 S_y 」を「 $1.2S_y$ 」に読み替える	MPa	F^*	「JSME S NC1」のSSB-3121.1(1)に定める値 ただし、「 S_y 」を「 $1.2S_y$ 」に読み替える	MPa
d_1	脚底板端面から基礎ボルト中心までの長手方向の距離	mm	$1.5 f_{t,b}$	せん断力のみを受ける取付ボルトの許容せん断応力	MPa	$1.5 f_{t,b}$	せん断力のみを受ける取付ボルトの許容せん断応力	MPa
d_2	脚底板端面から基礎ボルト中心までの横方向の距離	mm	$1.5 f_{t,b}^*$			$1.5 f_{t,b}^*$		
E_i	脚の縦弾性係数	MPa	$1.5 f_{t,i}$	ラグの許容引張応力	MPa	$1.5 f_{t,i}$	引張力とせん断力を同時に受ける取付ボルトの許容引張応力	MPa
e	脚中心から偏心荷重作用点までの距離	mm	$1.5 f_{t,i}^*$			$1.5 f_{t,i}^*$		
F	「JSME S NC1」のSSB-3121.1(1)に定める値	MPa	$f_{t,o}$	引張力のみを受ける取付ボルトの許容引張応力	MPa	$f_{t,o}$	引張力のみを受ける取付ボルトの許容引張応力	MPa
F^*	「JSME S NC1」のSSB-3121.1(1)に定める値 ただし、「 S_y 」を「 $1.2S_y$ 」に読み替える	MPa	$1.5 f_{t,i}$	引張力とせん断力を同時に受ける取付ボルトの許容引張応力	MPa	$1.5 f_{t,i}$	ラグの許容引張応力	MPa
F_b	基礎ボルトに作用する引張力	N	$1.5 f_{t,i}^*$			$1.5 f_{t,i}^*$		
$1.5 f_{t,b}$	せん断力のみを受ける基礎ボルトの許容せん断応力	MPa	G_s	ラグのせん断弾性係数	MPa	G_s	ラグのせん断弾性係数	MPa
$1.5 f_{t,b}^*$			g	重力加速度(=9.80665)	m/s^2	g	重力加速度(=9.80665)	m/s^2
$1.5 f_{t,i}$	脚の許容引張応力	MPa	H	静水頭	mm	H	静水頭	mm
$1.5 f_{t,i}^*$			h_1	取付面からラグの胴つけ根部までの高さ	mm	h_1	取付面からラグの胴つけ根部までの高さ	mm
$1.5 f_{t,xx}$	引張力とせん断力を同時に受ける基礎ボルトの許容引張応力	MPa	h_2	取付面から胴の中心までの高さ	mm	h_2	取付面から胴の中心までの高さ	mm
$1.5 f_{t,yy}^*$			I_x	ラグの水平方向軸に対する断面二次モーメント	mm^4	I_x	ラグの長手方向軸に対する断面二次モーメント	mm^4
$f_{t,o}$	引張力のみを受ける基礎ボルトの許容引張応力	MPa	I_y	ラグの鉛直方向軸に対する断面二次モーメント	mm^4	I_y	ラグの横方向軸に対する断面二次モーメント	mm^4

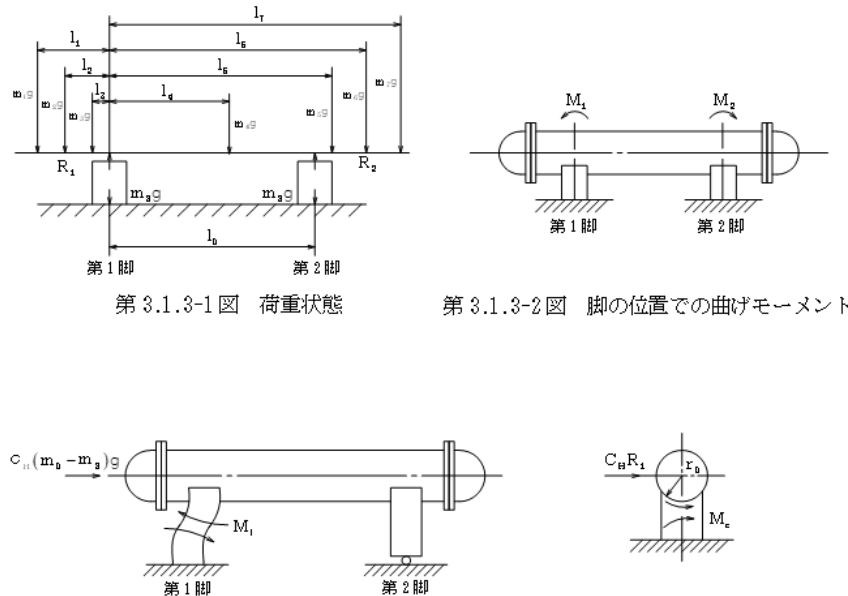
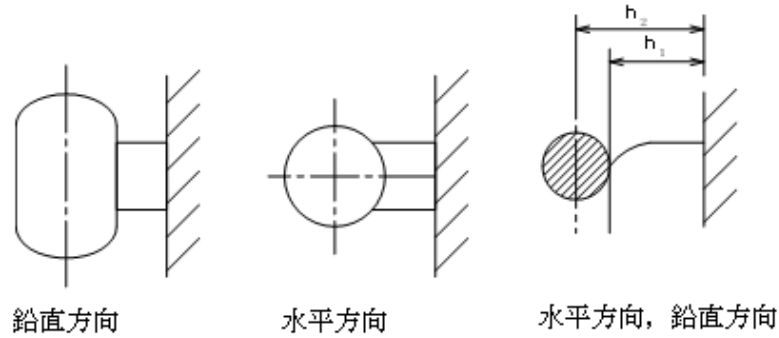
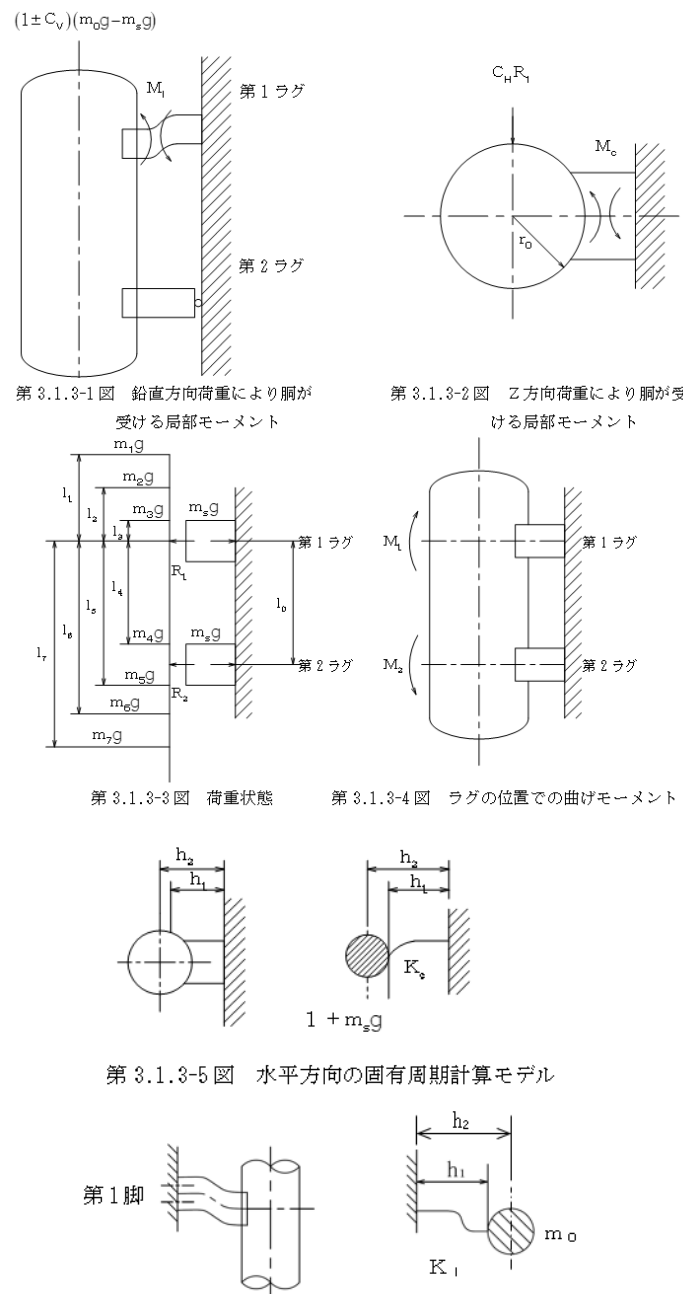
別紙 1-25 横置一胴円筒形容器			別紙 1-24 中間支持たて置円筒形容器 (1 ラグ支持)			別紙 1-43 中間支持たて置円筒形容器 (長手方向 2 ラグ支持)		
記号	表示内容	単位	記号	表示内容	単位	記号	表示内容	単位
G_f	脚のせん断弾性係数	MPa	K_1, K_2	引用文献(1)より得られる値	-	j_1	荷重分布で分けられた静荷重の数	-
g	重力加速度 (=9.80665)	m/s ²	K_f	ラグのばね定数(胴に鉛直力が作用する場合)	N/mm	j_2	第1ラグより第2ラグと反対の方向に作用する静荷重の数(第1ラグ上の荷重は含まない)	-
H	静水頭	mm	K_c	ラグのばね定数(胴に水平力が作用する場合)	N/mm	j_3	第2ラグより第1ラグと反対の方向に作用する静荷重の数(第2ラグ上の荷重は含まない)	-
h_1	基礎から脚の脚つけ根部までの高さ	mm	k_{c1}, k_{c2}	引用文献(1)より得られる値	-	k_{c1}, k_{c2}	引用文献(1)による定数	-
h_2	基礎から胴の中心までの高さ	mm	l_{b1}, l_{b2}	取付ボルトの中心間距離	mm	K_c	ラグのばね定数(胴の横方向に水平力が作用する場合)	N/mm
I_z	脚の長手方向軸に対する断面二次モーメント	mm ⁴	M_c	胴のラグつけ根部に作用する周方向モーメント	N・mm	K_f	ラグのばね定数(胴の長手方向に鉛直力が作用する場合)	N/mm
I_y	脚の横方向軸に対する断面二次モーメント	mm ⁴	M_f	胴のラグつけ根部に作用する鉛直方向モーメント	N・mm	K_1, K_2	引用文献(1)による定数	-
j_1	荷重分布で分けられた容器各部の荷重の数	-	M_{fz}	鉛直方向地震による胴のラグつけ根部の鉛直方向モーメント	N・mm	l_0	ラグ中心間距離	mm
j_2	第1脚より第2脚と反対の方向に作用する容器各部の荷重の数(第1脚上の荷重は含まない)	-	M_x	引用文献(1)による胴に作用する軸方向の曲げモーメント	N・mm	l_1	第1ラグより各荷重までの距離(ここで第2ラグ側の距離は正、その反対側は負とする)	mm
j_3	第2脚より第1脚と反対の方向に作用する容器各部の荷重の数(第2脚上の荷重は含まない)	-	M_ϕ	引用文献(1)による胴に作用する周方向の曲げモーメント	N・mm	l_{b1}, l_{b2}	取付ボルトの中心間距離	mm
K_c	水平(横)方向ばね定数	N/mm	N_x	引用文献(1)による胴に作用する軸方向の膜力	N/mm	M_c	胴のラグつけ根部のモーメント	N・mm
K_f	水平(長手)方向ばね定数	N/mm	N_ϕ	引用文献(1)による胴に作用する周方向の膜力	N/mm	M_f	運転時質量による胴のラグつけ根部の鉛直方向モーメント	N・mm
K_v	鉛直方向ばね定数	N/mm	n	取付ボルトの本数	-	M_{fz}	鉛直方向地震による胴のラグつけ根部の鉛直方向モーメント	N・mm
K_1, K_2	引用文献(1)による定数	-	n_1, n_2	引張りを受ける取付ボルトの本数	-	M_{fx}	長手方向地震による胴のラグつけ根部の鉛直方向モーメント	N・mm
k_{c1}, k_{c2}	引用文献(1)による定数	-	P_r	最高使用圧力	MPa	M_{fz1}	鉛直方向地震によりラグに作用するモーメント	N・mm
l_1	第1脚より各荷重までの距離(ここで第2脚側の距離は正、その反対側は負とする)	mm	P, Q	胴のラグつけ根部に作用する水平方向反力	N	M_{fz2}	鉛直方向地震によりラグに作用するモーメント	N・mm
l_0	脚中心軸間距離	mm	R	胴のラグつけ根部に作用する鉛直方向反力	N	M_{fz1}	鉛直方向地震によりラグに作用するモーメント	N・mm
M	脚底面に作用するモーメント	N・mm	R_0	鉛直方向地震により胴のラグつけ根部に作用する鉛直方向反力	N	M_1, M_2	第1ラグ部及び第2ラグ部における胴の運転時質量によるモーメント	N・mm
M_ϕ	横方向地震による胴の脚つけ根部のモーメント	N・mm	r_0	円筒形アタッチメントの半径	mm	M_x	引用文献(1)による胴に作用する軸方向曲げモーメント	N・mm
$M_{\phi1}$	横方向地震により脚底面に作用するモーメント	N・mm	r_m	ラグつけ根部における胴の平均半径	mm	M_ϕ	引用文献(1)による胴に作用する周方向曲げモーメント	N・mm
M_f	長手方向地震による胴の脚つけ根部のモーメント	N・mm	S_a	胴板の許容応力	MPa	N_x	引用文献(1)による胴に作用する軸方向の膜力	N/mm
M_{f1}	長手方向地震により脚底面に作用するモーメント	N・mm	T	固有周期	s	N_ϕ	引用文献(1)による胴に作用する周方向の膜力	N/mm
M_{f1}	長手方向地震により脚底面に作用するモーメント	N・mm	t	胴の板厚	mm	n	ラグ1個当たりの取付ボルトの本数	-
M_{f1}, M_{f2}	第1脚部及び第2脚部における胴の運転時質量によるモーメント	N・mm	m_0	容器の有効運転時質量	kg	n_1, n_2	引張りを受ける取付ボルトの本数	-
M_x	引用文献(1)による胴に作用する軸方向曲げモーメント	N・mm	Z_{z1}	ラグの水平方向軸に対する断面係数	mm ³	P	胴のラグつけ根部に作用する水平方向地震による反力	N
M_ϕ	引用文献(1)による胴に作用する周方向曲げモーメント	N・mm	Z_{z2}	ラグの鉛直方向軸に対する断面係数	mm ³	P_f	運転時質量により胴のラグつけ根部に作用する水平方向反力	N
N_x	引用文献(1)による胴に作用する軸方向の膜力	N/mm				P_{fz}	鉛直方向地震により胴のラグつけ根部に作用する水平方向反力	N
N_ϕ	引用文献(1)による胴に作用する周方向の膜力	N/mm				P_r	最高使用圧力	MPa
n	脚1個当たりの基礎ボルトの本数	-				R_1, R_2	第1ラグ及び第2ラグの受ける荷重	N
n_1	鉛直方向及び水平方向地震力(長手方向)により引張りを受ける基礎ボルトの本数	-				r_c	円筒形アタッチメントの半径	mm
						r_m	ラグつけ根部における胴の平均半径	mm

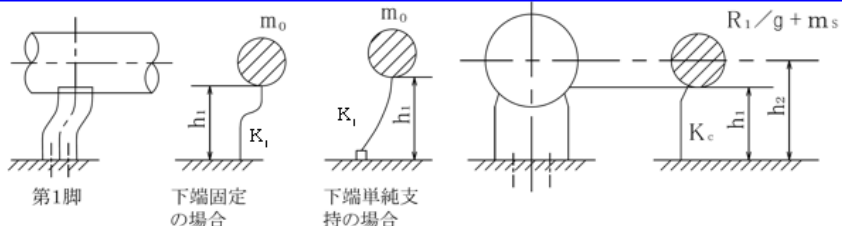
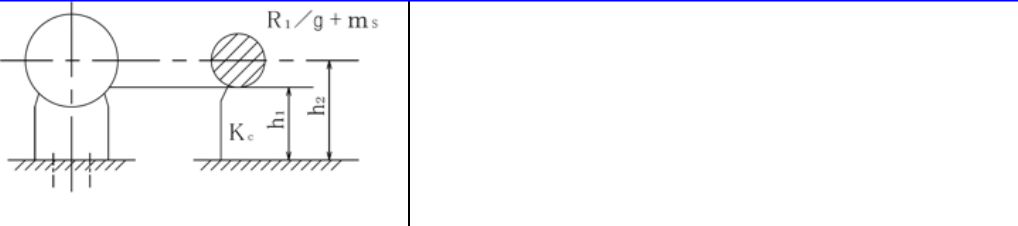
別紙 1-25 横置一胴円筒形容器			別紙 1-24 中間支持たて置円筒形容器 (1 ラグ支持)			別紙 1-43 中間支持たて置円筒形容器 (長手方向 2 ラグ支持)		
記号	表示内容	単位	記号	表示内容	単位	記号	表示内容	単位
n_2	鉛直方向及び水平方向地震力(横方向)により引張りを受ける基礎ボルトの本数	-	$\beta, \beta_1, \beta_2, \beta_1, \beta_c$	引用文献(1)によるアタッチメントパラメータ	-	r_0	ラグつけ根部における胴の外半径	mm
P	胴の脚つけ根部に作用する運転時質量による反力	N	γ	引用文献(1)によるシェルパラメータ	-	S_a	胴板の許容応力	MPa
P_q	胴の脚つけ根部に作用する鉛直方向地震による反力	N	ρ	液体の比重	-	T	固有周期	s
P_1	長手方向地震により胴の脚つけ根部に作用する鉛直荷重	N	ρ'	液体の比重量(=10 ⁻⁶ ×gρ)	N/mm ³	t	胴の板厚	mm
P_T	最高使用圧力	MPa	σ_0	胴板の一次一般膜応力あるいは組合せ応力の最大値	MPa	m_i	静荷重	kg
P_i	長手方向地震により脚底部に作用する鉛直荷重	N	$\sigma_{0\phi}$	胴板の周方向一次一般膜応力	MPa	m_0	容器の有効運転時質量	kg
P_{i1}	横方向地震により脚底部に作用する鉛直荷重	N	σ_{0x}	胴板の軸方向一次一般膜応力	MPa	m_s	ラグの質量	kg
R_1, R_2	第1, 第2脚の受ける荷重	N	σ_1	胴板の一次応力の最大値	MPa	Z	引用文献(2)による胴の断面係数	mm ³
r_m	脚つけ根部における胴の平均半径	mm	σ_2	胴板の地震動のみによる一次+二次応力の変動値の最大値	MPa	Z_{11}	ラグの水平方向軸に対する断面係数	mm ³
r_0	脚つけ根部における胴の外半径	mm	σ_{21}, σ_{22}	X方向及び鉛直方向地震が作用した場合の胴板の一次+二次応力の変動値	MPa	Z_{12}	ラグの鉛直方向軸に対する断面係数	mm ³
s	基礎ボルトと基礎の縦弾性係数比	-	σ_{23}, σ_{24}	Z方向及び鉛直方向地震が作用した場合の胴板の一次+二次応力の変動値	MPa	β, β_1, β_2	引用文献(1)によるアタッチメントパラメータ	-
S_a	胴板の許容応力	MPa	σ_b	取付ボルトに生じる引張応力の最大値	MPa	γ	引用文献(1)によるシェルパラメータ	-
T	固有周期	s	σ_{bx}	X方向及び鉛直方向地震により取付ボルトに生じる引張応力	MPa	θ	ラグ取付部における胴の有効範囲角の2分の1	rad
t	胴の板厚	mm	σ_{bz}	Z方向及び鉛直方向地震により取付ボルトに生じる引張応力	MPa	θ_0	胴のラグ端部より鉛直軸までの角度	rad
t_q	脚つけ根における胴の有効板厚	mm	σ_s	ラグの組合せ応力の最大値	MPa	ρ	液体の比重	-
t_w	脚取付部の当板板厚	mm	σ_{sx}	X方向及び鉛直方向地震が作用した場合のラグの組合せ応力	MPa	ρ'	液体の比重量(=10 ⁻⁶ ×gρ)	N/mm ³
m_i	容器各部の質量	kg	σ_{sz}	Z方向地震による胴板の一次一般膜応力の最大値	MPa	σ_0	胴板に生じる一次一般膜応力の最大値	MPa
m_0	容器の有効運転時質量	kg	σ_{sx}	X方向及び鉛直方向地震が作用した場合のラグの組合せ応力	MPa	σ_{0x}	X方向地震による胴板の一次一般膜応力の最大値	MPa
m_s	脚の質量	kg	σ_{sz}	Z方向及び鉛直方向地震が作用した場合のラグの組合せ応力	MPa	σ_{0z}	Z方向地震による胴板の一次一般膜応力の最大値	MPa
X_0	基礎が圧縮力を受ける幅	mm	σ_{s1}	運転時質量によるラグの曲げ応力	MPa	$\sigma_{0x\phi}$	X方向地震及び鉛直方向地震が作用した場合の周方向及び軸方向一次一般膜応力の和	MPa
Z	引用文献(2)による胴の断面係数	mm ³	σ_{s2}	X方向地震によるラグの引張(圧縮)応力	MPa	σ_{0zx}	Z方向地震及び鉛直方向地震が作用した場合の周方向及び軸方向一次一般膜応力の和	MPa
Z_{1x}	脚の長手方向軸に対する断面係数	mm ³	σ_{s3}	Z方向地震によるラグの曲げ応力	MPa	σ_1	胴板に生じる一次応力の最大値	MPa
Z_{1y}	脚の横方向軸に対する断面係数	mm ³	σ_{s4}	鉛直方向地震が作用した場合のラグの組合せ応力	MPa	σ_2	胴板の地震動のみによる一次+二次応力の変動値の最大値	MPa
α	脚の開き角	rad	σ_{x1}	静水頭又は内圧により胴板に生じる軸方向応力	MPa	σ_b	取付ボルトに生じる引張応力の最大値	MPa
$\beta, \beta_1, \beta_2, \beta_1, \beta_c$	引用文献(1)によるアタッチメントパラメータ	-	σ_{x2}	運転時質量により胴のラグつけ根に生じる軸方向応力	MPa	σ_{b1}	運転時質量及び鉛直方向地震による取付ボルトの引張応力	MPa
γ	引用文献(1)によるシェルパラメータ	-	σ_{x3}	X方向地震が作用した場合の半径方向荷重による胴板の軸方向一次応力	MPa	σ_{b2}	X方向地震による取付ボルトの引張応力	MPa
θ	脚取付部における胴の有効範囲角の2分の1	rad	σ_{x4}	Z方向地震が作用した場合に生じる周方向モーメントによる胴板の軸方向一次応力	MPa	σ_{b3}	Z方向地震による取付ボルトの引張応力	MPa
θ_0	胴の脚端部より鉛直軸までの角度	rad	σ_{x5}	鉛直方向地震が作用した場合に生じる鉛直方向モーメントによる胴板の軸方向一次応力	MPa	σ_{b4}	鉛直方向地震による取付ボルトの引張応力	MPa
						σ_{bx}	X方向地震により取付ボルトに生じる組合せ引張応力	MPa

別紙 1-25 横置一胴円筒形容器			別紙 1-24 中間支持たて置円筒形容器（1 ラグ支持）			別紙 1-43 中間支持たて置円筒形容器（長手方向 2 ラグ支持）		
記号	表示内容	単位	記号	表示内容	単位	記号	表示内容	単位
ρ	液体の比重	—	$\sigma_{2 \times 3}$	X方向地震が作用した場合の半径方向荷重による胴板の軸方向二次応力	MPa	$\sigma_{b z}$	Z方向地震により取付ボルトに生じる組合せ引張応力	MPa
ρ'	液体の比重量(=10 ⁻⁹ ×gρ)	N/mm ³	$\sigma_{2 \times 4}$	Z方向地震が作用した場合に生じる周方向モーメントによる胴板の軸方向二次応力	MPa	σ_s	ラグに生じる組合せ応力の最大値	MPa
σ_0	胴板の一次一般膜応力の最大値	MPa	$\sigma_{2 \times 5}$	鉛直方向地震が作用した場合に生じる鉛直方向モーメントによる胴板の軸方向二次応力	MPa	$\sigma_{s x}$	X方向地震が作用した場合のラグの組合せ応力	MPa
σ_{0c}	横方向地震及び鉛直方向地震が作用した場合の胴板の組合せ一次一般膜応力	MPa	$\sigma_{x c 1'}$	X方向地震及び鉛直方向地震が作用した場合の胴板の組合せ軸方向一次応力	MPa	$\sigma_{s z}$	Z方向地震が作用した場合のラグの組合せ応力	MPa
σ_{0cx}	横方向地震及び鉛直方向地震が作用した場合の胴板の軸方向一次一般膜応力の和	MPa	$\sigma_{x c 2'}$	X方向地震及び鉛直方向地震が作用した場合の胴板の軸方向一次応力の和	MPa	$\sigma_{s 1}$	運転時質量によるラグの曲げ応力及び圧縮応力の和	MPa
σ_{0ce}	横方向地震及び鉛直方向地震が作用した場合の胴板の周方向一次一般膜応力の和	MPa	$\sigma_{x x 1'}$	X方向地震及び鉛直方向地震が作用した場合の胴板の軸方向一次応力の和	MPa	$\sigma_{s 2}$	X方向地震によるラグの引張(圧縮)応力	MPa
σ_{01}	長手方向地震及び鉛直方向地震が作用した場合の胴板の組合せ一次一般膜応力	MPa	$\sigma_{x x 2'}$	X方向地震及び鉛直方向地震が作用した場合の胴板の軸方向一次応力の和	MPa	$\sigma_{s 3}$	Z方向地震によるラグの曲げ応力	MPa
σ_{01x}	長手方向地震及び鉛直方向地震が作用した場合の胴板の軸方向一次一般膜応力の和	MPa	$\sigma_{z c 1'}$	Z方向地震及び鉛直方向地震が作用した場合の胴板の組合せ軸方向一次応力	MPa	$\sigma_{s 4}$	鉛直方向地震によるラグの曲げ応力及び圧縮応力の和	MPa
σ_{01e}	長手方向地震及び鉛直方向地震が作用した場合の胴板の周方向一次一般膜応力の和	MPa	$\sigma_{z c 2'}$	Z方向地震及び鉛直方向地震が作用した場合の胴板の組合せ軸方向一次応力	MPa	$\sigma_{\phi 1}, \sigma_{x 1}$	静水頭又は内圧により胴板に生じる周方向応力及び軸方向応力	MPa
σ_1	胴板の一次応力の最大値	MPa	$\sigma_{2 \times x 1'}$	X方向地震及び鉛直方向地震が作用した場合の胴板の軸方向一次+二次応力の和	MPa	$\sigma_{\phi 2}, \sigma_{x 2}$	運転時質量により胴のラグつけ根部に生じる周方向応力及び軸方向応力	MPa
σ_{1c}	横方向地震及び鉛直方向地震が作用した場合の胴板の組合せ一次応力	MPa	$\sigma_{2 \times x 2'}$	X方向地震及び鉛直方向地震が作用した場合の胴板の軸方向一次+二次応力の和	MPa	$\sigma_{x 2 1'}$	運転時質量による胴のラグつけ根部のモーメントにより生じる周方向応力及び軸方向応力	MPa
σ_{1cx}	横方向地震及び鉛直方向地震が作用した場合の胴板の軸方向一次応力の和	MPa	$\sigma_{\phi 1}$	静水頭又は内圧により胴板に生じる周方向応力	MPa	$\sigma_{x 2 1}$	運転時質量による胴のラグつけ根部の水平方向反力により生じる周方向応力及び軸方向応力	MPa
σ_{1ce}	横方向地震及び鉛直方向地震が作用した場合の胴板の周方向一次応力の和	MPa	$\sigma_{\phi 2}$	運転時質量により胴のラグつけ根に生じる周方向応力	MPa	$\sigma_{x 2 2'}$	運転時質量による胴板に生じる軸方向引張応力	MPa
σ_{11}	長手方向地震及び鉛直方向地震が作用した場合の胴板の組合せ一次応力	MPa	$\sigma_{\phi 3}$	X方向地震が作用した場合の半径方向荷重による胴板の周方向一次応力	MPa	$\sigma_{x 2 3}$	運転時質量による胴板に生じる軸方向引張応力	MPa
σ_{11x}	長手方向地震及び鉛直方向地震が作用した場合の胴板の軸方向一次応力の和	MPa	$\sigma_{\phi 4}$	Z方向地震が作用した場合に生じる周方向モーメントによる胴板の周方向一次応力	MPa	$\sigma_{\phi 5}, \sigma_{x 5}$	鉛直方向地震により胴のラグつけ根部に生じる周方向応力及び軸方向応力	MPa
σ_{11e}	長手方向地震及び鉛直方向地震が作用した場合の胴板の周方向一次応力の和	MPa	$\sigma_{\phi 5}$	鉛直方向地震が作用した場合に生じる鉛直方向モーメントによる胴板の周方向一次応力	MPa	$\sigma_{\phi s 1'}$	鉛直方向地震による胴のラグつけ根部のモーメントにより生じる周方向応力及び軸方向応力	MPa
σ_2	胴板の地震動のみによる一次+二次応力の変動値の最大値	MPa	$\sigma_{\phi 6}$	静水頭に鉛直方向地震力が加わり胴板に生じる周方向応力	MPa	$\sigma_{x s 1}$	鉛直方向地震により胴のラグつけ根部の水平方向反力により生じる周方向応力及び軸方向応力	MPa
σ_{2c}	横方向地震及び鉛直方向地震が作用した場合の胴板の組合せ一次+二次応力の変動値	MPa	$\sigma_{2 \phi 3}$	X方向地震が作用した場合の半径方向荷重による胴板の周方向二次応力	MPa	$\sigma_{\phi s 2'}$	鉛直方向地震により胴のラグつけ根部の水平方向反力により生じる周方向二次応力及び軸方向二次応力の和	MPa
			$\sigma_{2 \phi 4}$	Z方向地震が作用した場合に生じる周方向モーメントによる胴板の周方向二次応力	MPa	$\sigma_{2 \phi s 1'}$	鉛直方向地震による胴のラグつけ根部のモーメントにより生じる周方向二次応力及び軸方向二次応力	MPa
			$\sigma_{2 \phi 5}$	鉛直方向地震が作用した場合に生じる鉛直方向モーメントによる胴板の周方向二次応力	MPa	$\sigma_{2 \phi s 2'}$	鉛直方向地震による胴のラグつけ根部の水平方向反力により生じる周方向二次応力及び軸方向二次応力	MPa
			$\sigma_{\phi x 1'}$	X方向地震及び鉛直方向地震が作用した場合の胴板の周方向一次応力の和	MPa			
			$\sigma_{\phi x 2'}$	X方向地震及び鉛直方向地震が作用した場合の胴板の周方向一次応力の和	MPa			

別紙 1-25 横置一胴円筒形容器			別紙 1-24 中間支持たて置円筒形容器（1 ラグ支持）			別紙 1-43 中間支持たて置円筒形容器（長手方向 2 ラグ支持）		
記号	表示内容	単位	記号	表示内容	単位	記号	表示内容	単位
$\sigma_{2\phi z}$	横方向地震及び鉛直方向地震が作用した場合の胴板の軸方向一次+二次応力の和	MPa	$\sigma_{\phi z 1}$	Z方向地震及び鉛直方向地震が作用した場合の胴板の周方向一次応力の和	MPa	$\sigma_{\phi 3}, \sigma_{x3}$	X方向地震により胴のラグつけ根部に生じる周方向応力及び軸方向応力	MPa
$\sigma_{2\phi \theta}$	横方向地震及び鉛直方向地震が作用した場合の胴板の周方向一次+二次応力の和	MPa	$\sigma_{\phi z 2}$	Z方向地震及び鉛直方向地震が作用した場合の胴板の周方向一次+二次応力の和	MPa	σ_{x31}	X方向地震による胴のラグつけ根部の曲げモーメントにより生じる軸方向応力	MPa
σ_{21}	長手方向地震及び鉛直方向地震が作用した場合の胴板の組合せ一次+二次応力の変動値	MPa	$\sigma_{2\phi x 1}$	X方向地震及び鉛直方向地震が作用した場合の胴板の周方向一次+二次応力の和	MPa	$\sigma_{\phi 32}$	X方向地震による胴のラグつけ根部の水平方向反力により生じる周方向応力及び軸方向応力	MPa
σ_{21x}	長手方向地震及び鉛直方向地震が作用した場合の胴板の軸方向一次+二次応力の和	MPa	$\sigma_{2\phi x 2}$	Z方向地震及び鉛直方向地震が作用した場合の胴板の周方向一次+二次応力の和	MPa	$\sigma_{2\phi 3}$	X方向地震により胴のラグつけ根部に生じる周方向二次応力及び軸方向二次応力	MPa
$\sigma_{21\theta}$	長手方向地震及び鉛直方向地震が作用した場合の胴板の周方向一次+二次応力の和	MPa	τ_b	取付ボルトに生じるせん断応力の最大値	MPa	σ_{2x3}	X方向地震により胴のラグつけ根部に生じる周方向二次応力及び軸方向二次応力	MPa
σ_b	基礎ボルトに生じる引張応力の最大値	MPa	τ_{bx}	X方向地震が作用した場合の取付ボルトのせん断応力	MPa	σ_{2x22}	X方向地震により胴のラグつけ根部に生じる周方向二次応力及び軸方向二次応力	MPa
σ_{b1}	長手方向地震及び鉛直方向地震により基礎ボルトに生じる引張応力	MPa	τ_{bz}	Z方向地震が作用した場合の取付ボルトのせん断応力	MPa	σ_{2x2}	Z方向地震により胴のラグつけ根部に生じる周方向二次応力及び軸方向二次応力	MPa
σ_{b2}	横方向地震及び鉛直方向地震により基礎ボルトに生じる引張応力	MPa	τ_c	周方向せん断力Qにより胴のラグつけ根に生じるせん断応力	MPa	$\sigma_{\phi 4}, \sigma_{x4}$	Z方向地震により胴のラグつけ根部に生じる周方向二次応力及び軸方向応力	MPa
σ_i	脚の組合せ応力の最大値	MPa	τ_1	反力Rにより胴のラグつけ根に生じるせん断応力	MPa	$\sigma_{2\phi 4}$	Z方向地震により胴のラグつけ根部に生じる周方向二次応力及び軸方向二次応力	MPa
$\sigma_{i\phi}$	横方向地震及び鉛直方向地震が作用した場合の脚の組合せ応力	MPa	τ_{11}	反力R ₀ による胴板のせん断応力	MPa	σ_{2x4}	X方向地震及び鉛直方向地震が作用した場合の胴板の組合せ一次応力	MPa
σ_{x1}	長手方向地震及び鉛直方向地震が作用した場合の脚の組合せ応力	MPa	τ_{s1}	運転時質量によるラグのせん断応力	MPa	$\sigma_{x\phi 1}$	X方向地震及び鉛直方向地震が作用した場合の胴板の周方向一次応力及び軸方向一次応力の和(第1評価点)	MPa
σ_{i1}	脚の運転時質量による圧縮応力	MPa	τ_{s2}	鉛直方向地震によるラグのせん断応力	MPa	$\sigma_{x\phi 2}$	X方向地震及び鉛直方向地震が作用した場合の胴板の周方向一次応力及び軸方向一次応力の和(第2評価点)	MPa
σ_{i2}	長手方向地震により脚に生じる圧縮応力及び曲げ応力の和	MPa	τ_{s3}	Z方向地震によるラグのせん断応力	MPa	$\sigma_{z\phi 1}$	Z方向地震が作用した場合の胴板の組合せ一次応力	MPa
σ_{i3}	横方向地震により脚に生じる曲げ応力	MPa				$\sigma_{z\phi 2}$	Z方向地震が作用した場合の胴板の組合せ一次応力	MPa
σ_{i4}	脚の鉛直方向地震による圧縮応力	MPa				$\sigma_{z\tau 1}$	Z方向地震が作用した場合の胴板の周方向一次応力及び軸方向一次応力の和(第1評価点)	MPa
$\sigma_{\phi 1}, \sigma_{x1}$	静水頭又は内圧により胴に生じる周方向応力及び軸方向応力	MPa				$\sigma_{z\tau 2}$	Z方向地震が作用した場合の胴板の周方向一次応力及び軸方向一次応力の和(第2評価点)	MPa
σ_{x2}	胴の運転時質量による長手方向曲げモーメントにより胴板に生じる軸方向応力	MPa				$\sigma_{\phi z 1}$	Z方向地震が作用した場合の胴板の周方向一次応力及び軸方向一次応力の和(第1評価点)	MPa
$\sigma_{\phi 2}$	静水頭により鉛直地震力が加わり胴板に生じる周方向応力	MPa				$\sigma_{\phi z 2}$	Z方向地震が作用した場合の胴板の周方向一次応力及び軸方向一次応力の和(第2評価点)	MPa
$\sigma_{\phi 3}, \sigma_{x3}$	運転時質量により胴の脚つけ根部に生じる周方向一次応力及び軸方向一次応力	MPa				σ_{21}, σ_{22}	X方向地震が作用した場合の胴板の一次+二次応力の変動値の最大値	MPa
$\sigma_{\phi 4}, \sigma_{x4}$	長手方向地震により胴の脚つけ根部に生じる周方向一次応力及び軸方向一次応力の和	MPa				σ_{22}, σ_{24}	Z方向地震が作用した場合の胴板の一次+二次応力の変動値の最大値	MPa
$\sigma_{\phi 41}, \sigma_{x41}$	長手方向地震による胴の脚つけ根部のモーメントにより生じる周方向一次応力及び軸方向一次応力	MPa				$\sigma_{2\phi x 1}, \sigma_{2xx 1}$	X方向地震が作用した場合の胴板の周方向二次応力及び軸方向二次応力の和(第1評価点)	MPa

別紙 1-25 横置一胴円筒形容器			別紙 1-24 中間支持たて置円筒形容器（1 ラグ支持）			別紙 1-43 中間支持たて置円筒形容器（長手方向 2 ラグ支持）		
記号	表示内容	単位	記号	表示内容	単位	記号	表示内容	単位
$\sigma_{\phi 42}$	長手方向地震による胴の脚つけ根部の鉛直荷重により生じる周方向一次応力及び軸方向一次応力	MPa	$\sigma_{2\phi x 2}$	X 方向地震が作用した場合の胴板の周方向二次応力及び軸方向二次応力の和(第 2 評価点)	MPa	$\sigma_{2\phi x 2}$	X 方向地震が作用した場合の胴板の周方向二次応力及び軸方向二次応力の和(第 2 評価点)	MPa
$\sigma_{x 42}$	周方向一次応力及び軸方向一次応力		$\sigma_{2\phi z 1}$	Z 方向地震が作用した場合の胴板の周方向二次応力及び軸方向二次応力の和(第 1 評価点)	MPa	$\sigma_{2\phi z 1}$	Z 方向地震が作用した場合の胴板の周方向二次応力及び軸方向二次応力の和(第 1 評価点)	MPa
$\sigma_{x 43}$	長手方向地震により生じる水平方向荷重による胴の応力	MPa	$\sigma_{2\phi z 2}$	Z 方向地震が作用した場合の胴板の周方向二次応力及び軸方向二次応力の和(第 2 評価点)	MPa	$\sigma_{2\phi z 2}$	Z 方向地震が作用した場合の胴板の周方向二次応力及び軸方向二次応力の和(第 2 評価点)	MPa
$\sigma_{\phi 5}, \sigma_{x 5}$	横方向地震による胴の脚つけ根部のモーメントにより生じる周方向一次応力及び軸方向一次応力	MPa	$\sigma_{\phi 6}$	静水頭により鉛直方向地震力が加わり胴板に生じる周方向応力	MPa	τ_b	取付ボルトに生じるせん断応力	MPa
$\sigma_{x 6}$	胴の鉛直方向地震による長手方向曲げモーメントにより胴に生じる軸方向一次応力	MPa	τ_{b1}	運転時質量により取付ボルトに生じるせん断応力	MPa	τ_{b3}	Z 方向地震により取付ボルトに生じるせん断応力	MPa
$\sigma_{\phi 7}, \sigma_{x 7}$	鉛直方向地震により胴の脚つけ根部に生じる周方向一次応力及び軸方向一次応力	MPa	τ_{b4}	鉛直方向地震による取付ボルトに生じるせん断応力	MPa	τ_{bx}	X 方向地震による取付ボルトに生じるせん断応力	MPa
$\sigma_{2\phi 4}$	長手方向地震により胴の脚つけ根部に生じる周方向二次応力及び軸方向二次応力の和	MPa	τ_{bz}	Z 方向地震による取付ボルトに生じるせん断応力	MPa	τ_c	Z 方向地震により胴のラグつけ根部に生じるせん断応力	MPa
$\sigma_{2\phi 41}$	長手方向地震による胴の脚つけ根部のモーメントにより生じる周方向二次応力及び軸方向二次応力	MPa	τ_1	運転時質量により胴のラグつけ根部に生じるせん断応力	MPa	τ_{11}	鉛直方向地震により胴のラグつけ根部に生じるせん断応力	MPa
$\sigma_{2\phi 42}$	長手方向地震による胴の脚つけ根部の鉛直荷重により生じる周方向二次応力及び軸方向二次応力	MPa	τ_{s1}	運転時質量によりラグに生じるせん断応力	MPa	τ_{s3}	Z 方向地震によりラグに生じるせん断応力	MPa
$\sigma_{2\phi 5}$	横方向地震による胴の脚つけ根部のモーメントにより生じる周方向二次応力及び軸方向二次応力	MPa	τ_{s4}	鉛直方向地震によりラグに生じるせん断応力	MPa			
$\sigma_{2\phi 7}$	鉛直方向地震により胴の脚つけ根部に生じる周方向二次応力及び軸方向二次応力	MPa						
τ_b	基礎ボルトに生じるせん断応力	MPa						
τ_{b1}	長手方向地震により基礎ボルトに生じるせん断応力	MPa						
τ_{b2}	横方向地震により基礎ボルトに生じるせん断応力	MPa						
τ_b	横方向地震により胴の脚つけ根部に生じるせん断応力	MPa						
τ_1	長手方向地震により胴の脚つけ根部に生じるせん断応力	MPa						
τ_{12}	長手方向地震により脚に生じるせん断応力	MPa						
τ_{13}	横方向地震により脚に生じるせん断応力	MPa						

別紙 1-25 横置一胴円筒形容器	別紙 1-24 中間支持たて置円筒形容器 (1 ラグ支持)	別紙 1-43 中間支持たて置円筒形容器 (長手方向 2 ラグ支持)
<p>3.1.3 固有周期の計算方法</p> <p>長手方向、横方向及び鉛直方向の固有周期 T は、次式により算出する。 本容器の荷重点及び脚に作用するモーメントを第3.1.3-1図～第3.1.3-4図に示す。ここでは荷重点は7質点とした例を示しているが、質点数は実際の形状に適合させたものとする。 本容器は第3.1.3-5図及び第3.1.3-6図のような1質点系振動と考えられる。</p>  <p>第3.1.3-1図 荷重状態</p> <p>第3.1.3-2図 脚の位置での曲げモーメント</p> <p>第3.1.3-3図 長手方向荷重により胴が受ける局部モーメント</p> <p>第3.1.3-4図 横方向荷重により胴が受ける局部モーメント</p>	<p>3.1.3 固有周期の計算方法</p> <p>水平方向及び鉛直方向の固有周期 T は、次式により算出する。 本容器は、第3.1.3-1図のような1質点系振動と考えられる。</p>  <p>鉛直方向</p> <p>水平方向</p> <p>水平方向, 鉛直方向</p> <p>第3.1.3-1図 固有周期の計算モデル</p>	<p>3.1.3 固有周期の計算方法</p> <p>水平方向及び鉛直方向の固有周期 T は、次式により算出する。 本容器の荷重点及び脚に作用するモーメントを第3.1.3-1図～第3.1.3-4図に示す。本容器は、第3.1.3-5図及び第3.1.3-6図のような1質点系振動と考えられる。</p>  <p>第3.1.3-1図 鉛直方向荷重により胴が受ける局部モーメント</p> <p>第3.1.3-2図 乙方向荷重により胴が受ける局部モーメント</p> <p>第3.1.3-3図 荷重状態</p> <p>第3.1.3-4図 ラグの位置での曲げモーメント</p> <p>第3.1.3-5図 水平方向の固有周期計算モデル</p> <p>第3.1.3-6図 鉛直方向の固有周期計算モデル</p>

別紙 1-25 横置一胴円筒形容器	別紙 1-24 中間支持たて置円筒形容器（1 ラグ支持）	別紙 1-43 中間支持たて置円筒形容器（長手方向 2 ラグ支持）
<p>(1) 長手方向 第3.1.3-5図におけるばね定数は、次式で表される。</p> $K_1 = \frac{1}{\frac{h_1^3}{12E_s I_y} + \frac{h_1}{G_s A_s 1}} \dots\dots\dots (3.1.3-1)$ <p>ただし、第1脚の基礎ボルトが横方向から見て1列の場合は上式の係数12を3とする。</p> <p>したがって、長手方向の固有周期は、次式で表される。</p> $T = 2\pi \sqrt{\frac{m_o}{10^8 K_1}} \dots\dots\dots (3.1.3-2)$ <p>(2) 横方向 第3.1.3-6図におけるばね定数は、次式で表される。</p> $K_c = \frac{1}{\frac{h_1^2(3h_2-h_1)}{6E_s I_x} + \frac{(h_2-h_1)h_1(h_2-h_1/2)}{E_s I_x} + \frac{h_1}{G_s A_s 2}} \dots\dots (3.1.3-3)$	<p>(1) 水平方向 第3.1.3-1図におけるばね定数は、次式で表される。</p> $K_c = \frac{1}{\frac{h_1^2(3h_2-h_1)}{6E_s I_y} + \frac{(h_2-h_1)h_1(h_2-h_1/2)}{E_s I_y} + \frac{h_1}{G_s A_s 1}} \dots\dots\dots (3.1.3-1)$	<p>(1) 水平方向 第3.1.3-5図におけるばね定数は、次式で表される。</p> $K_c = \frac{1}{\frac{h_1^2(3h_2-h_1)}{6E_s I_x} + \frac{(h_2-h_1)h_1(h_2-h_1/2)}{E_s I_x} + \frac{h_1}{G_s A_s 1}} \dots\dots (3.1.3-1)$
<p>したがって、横方向の固有周期は、次式で表される。</p> $T = 2\pi \sqrt{\frac{R_1 + m_s}{10^8 K_c}} \dots\dots\dots (3.1.3-4)$ <p>ただし、脚の受ける荷重が $R_2 > R_1$ となる場合は R_1 を R_2 に置き換える。</p>	<p>したがって、水平方向の固有周期は、次式で表される。</p> $T = 2\pi \sqrt{\frac{m_o}{10^8 K_c}} \dots\dots\dots (3.1.3-2)$	<p>したがって、水平方向の固有周期は、次式で表される。</p> $T = 2\pi \sqrt{\frac{R_1 + m_s}{10^8 K_c}} \dots\dots\dots (3.1.3-2)$ <p>ただし、ラグの受ける荷重が $R_2 > R_1$ となる場合は R_1 を R_2 に置き換える。</p>
 <p>第 3.1.3-5 図 長手方向の固有周期の計算モデル</p>	 <p>第 3.1.3-6 図 横方向の固有周期の計算モデル</p>	

②

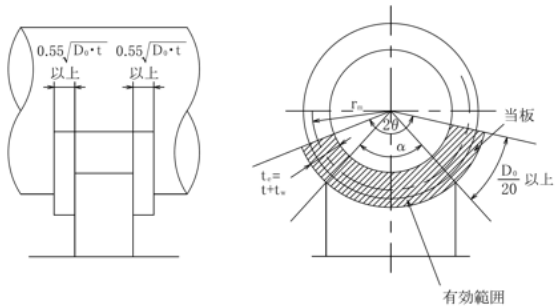
別紙 1-25 横置一胴円筒形容器	別紙 1-24 中間支持たて置円筒形容器 (1 ラグ支持)	別紙 1-43 中間支持たて置円筒形容器 (長手方向 2 ラグ支持)
<p>(3) 鉛直方向 第3.1.3-7図におけるばね定数は、次式で表される。</p> $K_v = \frac{E_s A_s}{h_1} \dots\dots\dots (3.1.3-5)$ <p>したがって、鉛直方向の固有周期は、次式で表される。</p> $T = 2\pi \sqrt{\frac{R_1/g + m_s}{10^3 K_v}} \dots\dots\dots (3.1.3-6)$	<p>(2) 鉛直方向 第3.1.3-1図におけるばね定数は、次式で表される。</p> $K_1 = \frac{1}{\frac{h_1^2 (3h_2 - h_1)}{6E_s I_x} + \frac{(h_2 - h_1)h_1 (h_2 - h_1/2)}{E_s I_x} + \frac{h_1}{G_s A_{s4}}} \dots\dots\dots (3.1.3-3)$ <p>したがって、鉛直方向の固有周期は、次式で表される。</p> $T = 2\pi \sqrt{\frac{m_o}{10^3 K_1}} \dots\dots\dots (3.1.3-4)$	<p>(2) 鉛直方向 第3.1.3-6図におけるばね定数は、次式で表される。</p> $K_1 = \frac{1}{\frac{h_1^2 (3h_2 - h_1)}{6E_s I_y} + \frac{(h_2 - h_1)h_1 (h_2 - h_1/2)}{E_s I_y} + \frac{h_1}{G_s A_{s4}}} \dots\dots (3.1.3-3)$ <p>したがって、鉛直方向の固有周期は、次式で表される。</p> $T = 2\pi \sqrt{\frac{m_o}{10^3 K_1}} \dots\dots\dots (3.1.3-4)$
<div data-bbox="409 808 756 987" data-label="Diagram"> </div> <p>第3.1.3-7図 鉛直方向の固有周期の計算モデル</p>		

②

別紙 1-25 横置一胴円筒形容器	別紙 1-24 中間支持たて置円筒形容器 (1 ラグ支持)	別紙 1-43 中間支持たて置円筒形容器 (長手方向 2 ラグ支持)
<p>3.1.4 応力の計算方法</p> <p>3.1.4.1 胴板の応力</p> <p>胴板の一次一般膜応力 σ_0、一次応力 σ_1 及び一次+二次応力 σ_2 は、次式により算出する。</p>	<p>3.1.4 応力の計算方法</p> <p>3.1.4.1 胴板の応力</p> <p>胴板の一次一般膜応力 σ_0、一次応力 σ_1 及び一次+二次応力 σ_2 は、次式により算出する。</p>	<p>3.1.4 応力の計算方法</p> <p>3.1.4.1 胴板の応力</p> <p>胴板の一次一般膜応力 σ_0、一次応力 σ_1 及び一次+二次応力 σ_2 は、次式により算出する。</p>
<p>(1) 脚の受ける荷重</p> <p>脚にかかる荷重は、モーメントの釣合いより求める。第3.1.3-1図において第1脚まわりのモーメントの釣合いより、次式で表される。</p> $\sum_{i=1}^j m_i g l_i - R_2 l_0 = 0 \quad \dots\dots\dots (3.1.4.1-1)$ <p>したがって、脚の受ける荷重は、次式で表される。</p> $R_2 = \sum_{i=1}^j m_i g l_i / l_0 \quad \dots\dots\dots (3.1.4.1-2)$ $R_1 = \sum_{i=1}^j m_i g - R_2 \quad \dots\dots\dots (3.1.4.1-3)$ <p>(2) 曲げモーメント</p> <p>第3.1.3-1図に示すように胴を、集中荷重を受けるはりとして考える。</p> <p>第3.1.3-2図において脚つけ根の部分における曲げモーメント M_1 及び M_2 は、次式で表される。</p> $M_1 = \sum_{i=1}^j m_i g l_i \quad \dots\dots\dots (3.1.4.1-4)$ $M_2 = \sum_{i=1}^j m_i g l_i - l_0 \quad \dots\dots\dots (3.1.4.1-5)$	<p>(1) 静水頭又は内圧による応力</p> <p>静水頭又は内圧による応力は、次式で表される。</p> <p>静水頭による場合</p> $\sigma_{\phi 1} = \frac{\rho' H D_i}{2 t} \quad \dots\dots\dots (3.1.4.1-1)$ $\sigma_{\phi 2} = \frac{\rho' H D_i C_v}{2 t} \quad \dots\dots\dots (3.1.4.1-2)$ $\sigma_{x 1} = 0 \quad \dots\dots\dots (3.1.4.1-3)$ <p>内圧による場合</p> $\sigma_{\phi 1} = \frac{P_r (D_i + 1.2 t)}{2 t} \quad \dots\dots\dots (3.1.4.1-4)$ $\sigma_{\phi 2} = 0 \quad \dots\dots\dots (3.1.4.1-5)$ $\sigma_{x 1} = \frac{P_r (D_i + 1.2 t)}{4 t} \quad \dots\dots\dots (3.1.4.1-6)$	<p>(1) 静水頭又は内圧による応力</p> <p>静水頭又は内圧による応力は、次式で表される。</p> <p>静水頭による場合(鉛直方向地震時を含む)</p> $\sigma_{\phi 1} = \frac{\rho' H D_i}{2 t} \quad \dots\dots\dots (3.1.4.1-1)$ $\sigma_{\phi 2} = \frac{\rho' H D_i C_v}{2 t} \quad \dots\dots\dots (3.1.4.1-2)$ $\sigma_{x 1} = 0 \quad \dots\dots\dots (3.1.4.1-3)$ <p>内圧による場合</p> $\sigma_{\phi 1} = \frac{P_r (D_i + 1.2 t)}{2 t} \quad \dots\dots\dots (3.1.4.1-4)$ $\sigma_{\phi 2} = 0 \quad \dots\dots\dots (3.1.4.1-5)$ $\sigma_{x 1} = \frac{P_r (D_i + 1.2 t)}{4 t} \quad \dots\dots\dots (3.1.4.1-6)$
<p>(3) 静水頭又は内圧による応力</p> <p>静水頭又は内圧による応力は、次式で表される。</p> <p>静水頭による場合(鉛直方向地震時を含む)</p> $\sigma_{\phi 1} = \frac{\rho' H D_i}{2 t} \quad \dots\dots\dots (3.1.4.1-6)$ $\sigma_{\phi 2} = \frac{\rho' H D_i C_v}{2 t} \quad \dots\dots\dots (3.1.4.1-7)$ $\sigma_{x 1} = \frac{\rho' H D_i}{4 t} \quad \dots\dots\dots (3.1.4.1-8)$ <p>内圧による場合</p> $\sigma_{\phi 1} = \frac{P_r (D_i + 1.2 t)}{2 t} \quad \dots\dots\dots (3.1.4.1-9)$ $\sigma_{\phi 2} = 0 \quad \dots\dots\dots (3.1.4.1-10)$ $\sigma_{x 1} = \frac{P_r (D_i + 1.2 t)}{4 t} \quad \dots\dots\dots (3.1.4.1-11)$	<p>(1) 静水頭又は内圧による応力</p> <p>静水頭又は内圧による応力は、次式で表される。</p> <p>静水頭による場合</p> $\sigma_{\phi 1} = \frac{\rho' H D_i}{2 t} \quad \dots\dots\dots (3.1.4.1-1)$ $\sigma_{\phi 2} = \frac{\rho' H D_i C_v}{2 t} \quad \dots\dots\dots (3.1.4.1-2)$ $\sigma_{x 1} = 0 \quad \dots\dots\dots (3.1.4.1-3)$ <p>内圧による場合</p> $\sigma_{\phi 1} = \frac{P_r (D_i + 1.2 t)}{2 t} \quad \dots\dots\dots (3.1.4.1-4)$ $\sigma_{\phi 2} = 0 \quad \dots\dots\dots (3.1.4.1-5)$ $\sigma_{x 1} = \frac{P_r (D_i + 1.2 t)}{4 t} \quad \dots\dots\dots (3.1.4.1-6)$	<p>(1) 静水頭又は内圧による応力</p> <p>静水頭又は内圧による応力は、次式で表される。</p> <p>静水頭による場合(鉛直方向地震時を含む)</p> $\sigma_{\phi 1} = \frac{\rho' H D_i}{2 t} \quad \dots\dots\dots (3.1.4.1-1)$ $\sigma_{\phi 2} = \frac{\rho' H D_i C_v}{2 t} \quad \dots\dots\dots (3.1.4.1-2)$ $\sigma_{x 1} = 0 \quad \dots\dots\dots (3.1.4.1-3)$ <p>内圧による場合</p> $\sigma_{\phi 1} = \frac{P_r (D_i + 1.2 t)}{2 t} \quad \dots\dots\dots (3.1.4.1-4)$ $\sigma_{\phi 2} = 0 \quad \dots\dots\dots (3.1.4.1-5)$ $\sigma_{x 1} = \frac{P_r (D_i + 1.2 t)}{4 t} \quad \dots\dots\dots (3.1.4.1-6)$

①

別紙 1-25 横置一胴円筒形容器	別紙 1-24 中間支持たて置円筒形容器 (1 ラグ支持)	別紙 1-43 中間支持たて置円筒形容器 (長手方向 2 ラグ支持)
<p>(4) 運転時質量及び鉛直方向地震により生じる長手方向曲げモーメントによる応力(第 1 脚つけ根部)</p> <p>(2)で求めた曲げモーメントにより胴の脚つけ根部に生じる応力は、次のように求められる。</p> <p>引用文献(2)によれば、この曲げモーメントは胴の断面に対して一様に作用するものではなく、脚取付部において円周方向の曲げモーメントに置換され、胴の局部変形を生じさせようとする。</p> <p>今、長手方向の曲げモーメントによる胴の応力の影響範囲を胴下端からθの点とすると、長手方向曲げモーメントに対する胴の有効断面積は、第3.1.4.1-1図及び第3.1.4.1-2図にθで示される円弧殻である。したがって、運転時質量による応力は、次式で表される。</p> $\sigma_{xe} = \frac{M_1}{Z} \dots\dots\dots (3.1.4.1-12)$ <p>また、鉛直方向地震による応力は、次式で表される。</p> $\sigma_{xe} = \frac{M_1}{Z} C_v \dots\dots\dots (3.1.4.1-13)$ <p>ここで、</p> $r_m = \frac{D_1 + t_e}{2} \dots\dots\dots (3.1.4.1-14)$ $Z = r_m^2 t_e \left(\frac{\theta + \sin \theta \cos \theta - 2 \sin^2 \theta / \theta}{(\sin \theta / \theta) - \cos \theta} \right) \dots\dots\dots (3.1.4.1-15)$ <p>t_eは、tあるいは$(t+t_w)$をとるものとし、θは次式で表される。</p> <p>有効範囲に当板板厚を含まない場合($t_e = t$)</p> $\theta = \pi - \frac{5}{8} \theta_0 \dots\dots\dots (3.1.4.1-16)$ <p>当板板厚を含まない場合の有効範囲の詳細を第3.1.4.1-1図に示す。</p> <div data-bbox="237 1239 979 1575"> </div> <p>第 3.1.4.1-1 図 当板板厚を含まない場合の脚つけ根部の有効範囲</p>		

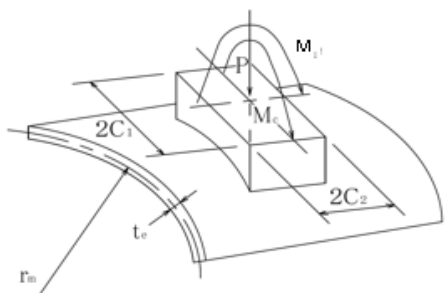
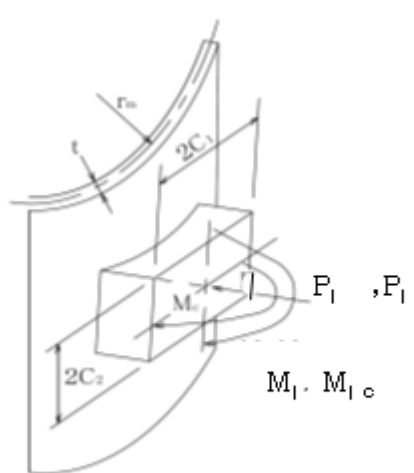
別紙 1-25 横置一胴円筒形容器	別紙 1-24 中間支持たて置円筒形容器 (1 ラグ支持)	別紙 1-43 中間支持たて置円筒形容器 (長手方向 2 ラグ支持)
<p>当該当板を含める場合は $t_e = t + t_w$ とする。ただし、当板の範囲は、周方向に 2θ 以上、軸方向に脚端部より $0.55\sqrt{D_o \cdot t}$ 以上とする。 当板板厚を含める場合の有効範囲の詳細を第3.1.4.1-2図に示す。</p> $\theta = \frac{\alpha}{2} + \frac{\frac{D_o}{20}}{\frac{D_i}{2} + (t + t_w)} \dots\dots\dots (3.1.4.1-17)$  <p>第3.1.4.1-2図 当板板厚を含める場合の脚つけ根部の有効範囲</p> <p>(5) 運転時質量及び鉛直方向地震による脚つけ根部の応力 胴の脚つけ根部には、脚反力による局部応力が生じる。</p>	<p>(2) 運転時質量による胴のラグつけ根部の応力 胴のラグつけ根部には、ラグ反力による局部応力が生じる。</p>	<p>(2) 運転時質量によるラグつけ根部の応力 第2ラグは、長手方向に自由にスライドできるので第1ラグは第3.1.3-1図のように変形し、ラグつけ根部に作用する鉛直方向曲げモーメント及び水平方向反力は、次式で表される。ラグが胴板に及ぼす力の関係を第3.1.4.1-1図に示す。</p>
<p>胴の第1脚つけ根部に作用する反力は、次式で表される。 運転時質量による反力 $P = R_1 \dots\dots\dots (3.1.4.1-18)$ 鉛直方向地震による反力 $P_e = R_1 C_v \dots\dots\dots (3.1.4.1-19)$</p>	<p>胴のラグつけ根部に作用する鉛直方向反力は、次式で表される。 $R = m_o g \dots\dots\dots (3.1.4.1-7)$ 胴のラグつけ根部に作用する鉛直方向曲げモーメントは、 $M_1 = m_o g (h_2 - h_1) \dots\dots\dots (3.1.4.1-8)$</p>	$M_1 = \frac{1}{2} (m_o - m_s) g h_1 \dots\dots\dots (3.1.4.1-7)$ $P_1 = (m_o - m_s) g \frac{h_2 - \frac{1}{2} h_1}{l_o} \dots\dots\dots (3.1.4.1-8)$ <p>ただし、ラグ支持端が単純支持の場合は、(3.1.4.1-7)式の係数1/2を1に、(3.1.4.1-8)式の係数1/2を0に置き換えるものとする。</p>
<p>この反力 P、P_e により生じる胴板の局部応力は、引用文献(1)によると次のようにして求めることができる。</p>	<p>鉛直方向曲げモーメント M_1 により生じる胴板の局部応力は、シェルパラメータ γ 及びアタッチメントパラメータ β_1 によって引用文献(1)の表より値を求める(以下 *印を付記する。)ことにより、次式で表される。</p> $\sigma_{\phi z} = \left[\frac{N_{\phi}}{M_1 / (r_m^2 \beta)} \right]^* \left[\frac{M_1}{r_m^2 t \beta_1} \right] C_1 \dots\dots\dots (3.1.4.1-9)$ $\sigma_{xz} = \left[\frac{N_x}{M_1 / (r_m^2 \beta)} \right]^* \left[\frac{M_1}{r_m^2 t \beta_1} \right] C_1 \dots\dots\dots (3.1.4.1-10)$	<p>鉛直方向曲げモーメント M_1 と水平方向反力 P_1 により生じる胴板の局部応力は、シェルパラメータ γ 及びアタッチメントパラメータ β によって引用文献(1)の表より値を求める(以下 *印を付記する。)ことにより、次式で表される。 鉛直方向曲げモーメント M_1 により生じる応力は</p> $\sigma_{\phi z 1} = \left[\frac{N_{\phi}}{M_1 / (r_m^2 \beta)} \right]^* \left[\frac{M_1}{r_m^2 t \beta} \right] C_1 \dots\dots\dots (3.1.4.1-9)$ $\sigma_{xz 1} = \left[\frac{N_x}{M_1 / (r_m^2 \beta)} \right]^* \left[\frac{M_1}{r_m^2 t \beta} \right] C_1 \dots\dots\dots (3.1.4.1-10)$

②

別紙 1-25 横置一胴円筒形容器	別紙 1-24 中間支持たて置円筒形容器 (1 ラグ支持)	別紙 1-43 中間支持たて置円筒形容器 (長手方向 2 ラグ支持)
$\gamma = r_m / t_e \quad \dots\dots\dots (3.1.4.1-20)$ $\beta_1 = C_1 / r_m \quad \dots\dots\dots (3.1.4.1-21)$ $\beta_2 = C_2 / r_m \quad \dots\dots\dots (3.1.4.1-22)$	<p>ここで,</p> $r_m = (D_i + t) / 2 \quad \dots\dots\dots (3.1.4.1-11)$ $\beta_1 = C_1 / r_m \quad \dots\dots\dots (3.1.4.1-13)$ $\beta_2 = C_2 / r_m \quad \dots\dots\dots (3.1.4.1-14)$ $\beta = \sqrt[3]{\beta_1 \beta_2^2} \quad \dots\dots\dots (3.1.4.1-15)$	<p>ここで,</p> $r_m = (D_i + t) / 2 \quad \dots\dots\dots (3.1.4.1-11)$ $\gamma = r_m / t \quad \dots\dots\dots (3.1.4.1-12)$ $\beta_1 = C_1 / r_m \quad \dots\dots\dots (3.1.4.1-13)$ $\beta_2 = C_2 / r_m \quad \dots\dots\dots (3.1.4.1-14)$ $\beta = \sqrt[3]{\beta_1 \beta_2^2} \quad \dots\dots\dots (3.1.4.1-15)$
		<p>なお、円筒形アタッチメントの場合は、次式で表される。</p> $\beta = 0.875 r_o / r_m \quad \dots\dots\dots (3.1.4.1-16)$
<p>$\beta_1 / \beta_2 \geq 1$ のとき</p> $\beta = \left(1 - \frac{1}{3} (\beta_1 / \beta_2 - 1) (1 - K_1) \right) \sqrt{\beta_1 \beta_2} \quad \dots\dots\dots (3.1.4.1-23)$ <p>$\beta_1 / \beta_2 < 1$ のとき</p> $\beta = \left(1 - \frac{4}{3} (1 - \beta_1 / \beta_2) (1 - K_2) \right) \sqrt{\beta_1 \beta_2} \quad \dots\dots\dots (3.1.4.1-24)$		<p>水平方向反力 P_1 により生じる応力は、次式で表される。</p> $\sigma_{\phi 22} = \left[\frac{N_{\phi}}{P_1 / r_m} \right]^* \left[\frac{P_1}{r_m t} \right] \quad \dots\dots\dots (3.1.4.1-17)$ $\sigma_{x 22} = \left[\frac{N_x}{P_1 / r_m} \right]^* \left[\frac{P_1}{r_m t} \right] \quad \dots\dots\dots (3.1.4.1-18)$ <p>ここで,</p> <p>$\beta_1 / \beta_2 \geq 1$ のとき</p> $\beta = \left\{ 1 - \frac{1}{3} (\beta_1 / \beta_2 - 1) (1 - K_1) \right\} \sqrt{\beta_1 \beta_2} \quad \dots\dots\dots (3.1.4.1-19)$ <p>$\beta_1 / \beta_2 < 1$ のとき</p> $\beta = \left\{ 1 - \frac{4}{3} (1 - \beta_1 / \beta_2) (1 - K_2) \right\} \sqrt{\beta_1 \beta_2} \quad \dots\dots\dots (3.1.4.1-20)$
	<p>なお、円筒形アタッチメントの場合は、次式で表される。</p> $\beta_1 = 0.875 r_o / r_m \quad \dots\dots\dots (3.1.4.1-16)$	<p>なお、円筒形アタッチメントの場合は、次式で表される。</p> $\beta = 0.875 r_o / r_m \quad \dots\dots\dots (3.1.4.1-21)$
		<p>また、運転時質量により胴板に生じる引張応力は、次式で表される。</p> $\sigma_{x 23} = \frac{(m_o - m_e) g}{\pi (D_i + t) t} \quad \dots\dots\dots (3.1.4.1-22)$ <p>したがって、曲げモーメント M_1、反力 P_1 及び鉛直方向荷重により生じる胴板の応力は、次式で表される。</p> $\sigma_{\phi 2} = \sigma_{\phi 21} + \sigma_{\phi 22} \quad \dots\dots\dots (3.1.4.1-23)$ $\sigma_{x 2} = \sigma_{x 21} + \sigma_{x 22} + \sigma_{x 23} \quad \dots\dots\dots (3.1.4.1-24)$

②

②

別紙 1-25 横置一胴円筒形容器	別紙 1-24 中間支持たて置円筒形容器 (1 ラグ支持)	別紙 1-43 中間支持たて置円筒形容器 (長手方向 2 ラグ支持)
<p>シェルパラメータβ及びアタッチメントパラメータβによって引用文献(1)の表より値を求めること(以下*を付記する)により応力は、次式で表される。 反力Pによる応力</p>	<p>反力Rによるせん断応力は、</p>	<p>また、運転時質量が作用した場合、第1ラグつけ根部に生じるせん断応力は、次式で表される。</p>
	$\tau_1 = \frac{R}{4 C_2 t} \dots\dots\dots (3.1.4.1-17)$ <p>なお、円筒形アタッチメントの場合は、次式で表される。</p> $\tau_1 = \frac{R}{\pi r_o t} \dots\dots\dots (3.1.4.1-18)$	$\tau_1 = \frac{(m_o - m_s)g}{4 C_2 t} \dots\dots\dots (3.1.4.1-25)$ <p>なお、円筒形アタッチメントの場合は、次式で表される。</p> $\tau_1 = \frac{(m_o - m_s)g}{4 r_n t} \dots\dots\dots (3.1.4.1-26)$
$\sigma_{\phi 3} = \left[\frac{N_{\phi}}{P/r_m} \right]^* \left[\frac{P}{r_m t_e} \right] \dots\dots\dots (3.1.4.1-25)$ $\sigma_{x 3} = \left[\frac{N_x}{P/r_m} \right]^* \left[\frac{P}{r_m t_e} \right] \dots\dots\dots (3.1.4.1-26)$ <p>反力P_eによる応力 一次応力</p> $\sigma_{\phi 7} = \left[\frac{N_{\phi}}{P_e/r_m} \right]^* \left[\frac{P_e}{r_m t_e} \right] \dots\dots\dots (3.1.4.1-27)$ $\sigma_{x 7} = \left[\frac{N_x}{P_e/r_m} \right]^* \left[\frac{P_e}{r_m t_e} \right] \dots\dots\dots (3.1.4.1-28)$ <p>二次応力</p> $\sigma_{2\phi 7} = \left[\frac{M_{\phi}}{P_e} \right]^* \left[\frac{6 P_e}{t_e^2} \right] \dots\dots\dots (3.1.4.1-29)$ $\sigma_{2x 7} = \left[\frac{M_x}{P_e} \right]^* \left[\frac{6 P_e}{t_e^2} \right] \dots\dots\dots (3.1.4.1-30)$  <p>第 3.1.4.1-3 図 脚が胴に及ぼす力の関係</p>		 <p>第 3.1.4.1-1 図 ラグが胴に及ぼす力の関係</p>

②

別紙 1-25 横置一胴円筒形容器	別紙 1-24 中間支持たて置円筒形容器 (1 ラグ支持)	別紙 1-43 中間支持たて置円筒形容器 (長手方向 2 ラグ支持)
<p>(6) 長手方向地震による脚つけ根部の応力 第2脚は、長手方向に自由にスライドできるので第1脚は第3.1.3-3図のように変形し、脚つけ根部に作用する曲げモーメント及び鉛直荷重(偶力)は、次式で表される。</p>	<p>(3) 鉛直方向地震による胴のラグつけ根部の応力 鉛直方向地震による胴のラグつけ根部の応力は、次式で表される。 (2)と同様にして、 $R_v = C_v m_o g$ (3.1.4.1-19)</p>	<p>(3) 鉛直方向地震によるラグつけ根部の応力 (2)と同様にして、ラグつけ根部に作用する鉛直方向曲げモーメント及び水平方向反力は、次式で表される。</p>
$M_1 = \frac{1}{2} C_H (m_o - m_s) g h_1 \quad \dots\dots\dots (3.1.4.1-31)$	$M_{1o} = C_v m_o g (h_2 - h_1) \quad \dots\dots\dots (3.1.4.1-20)$	$M_{1o} = \frac{1}{2} C_v (m_o - m_s) g h_1 \quad \dots\dots\dots (3.1.4.1-27)$
$P_1 = C_H (m_o - m_s) g \frac{h_2 - \frac{1}{2} h_1}{l_o} \quad \dots\dots\dots (3.1.4.1-32)$ <p>ただし、脚下端が単純支持の場合は式(3.1.4.1-31)の係数1/2を1に、式(3.1.4.1-32)の係数1/2を0に置き換えるものとする。 曲げモーメント M_1 と鉛直荷重 P_1 により生じる胴板の局部応力は(5)と同様な方法で引用文献(1)より求められる。 曲げモーメント M_1 により生じる応力は、次式で表される。</p> <p>一次応力</p> $\sigma_{\phi 41} = \left[\frac{N_\phi}{M_1 / (r_m^2 \beta)} \right]^* \left[\frac{M_1}{r_m^2 t \beta_1} \right] C_1 \quad \dots\dots\dots (3.1.4.1-33)$ $\sigma_{x 41} = \left[\frac{N_x}{M_1 / (r_m^2 \beta)} \right]^* \left[\frac{M_1}{r_m^2 t \beta_1} \right] C_1 \quad \dots\dots\dots (3.1.4.1-34)$ <p>二次応力</p> $\sigma_{2\phi 41} = \left[\frac{M_\phi}{M_1 / (r_m \beta)} \right]^* \left[\frac{6M_1}{r_m t^2 \beta_1} \right] \quad \dots\dots\dots (3.1.4.1-35)$ $\sigma_{2x 41} = \left[\frac{M_x}{M_1 / (r_m \beta)} \right]^* \left[\frac{6M_1}{r_m t^2 \beta_1} \right] \quad \dots\dots\dots (3.1.4.1-36)$ <p>ここで、 $\beta_1 = \sqrt{\beta_1 \beta_2} \quad \dots\dots\dots (3.1.4.1-37)$ ただし、二次応力を求める場合はさらに k_1 を乗じた値とする。</p>	<p>鉛直方向曲げモーメント M_{1o} により生じる胴板の局部応力は(2)と同様な方法で引用文献(1)より、次式で表される。</p> <p>一次応力</p> $\sigma_{\phi s} = \left[\frac{N_\phi}{M_{1o} / (r_m^2 \beta)} \right]^* \left[\frac{M_{1o}}{r_m^2 t \beta_1} \right] C_1 \quad \dots\dots\dots (3.1.4.1-21)$ $\sigma_{x s} = \left[\frac{N_x}{M_{1o} / (r_m^2 \beta)} \right]^* \left[\frac{M_{1o}}{r_m^2 t \beta_1} \right] C_1 \quad \dots\dots\dots (3.1.4.1-22)$ <p>二次応力</p> $\sigma_{2\phi s} = \left[\frac{M_\phi}{M_{1o} / (r_m \beta)} \right]^* \left[\frac{6M_{1o}}{r_m t^2 \beta_1} \right] \quad \dots\dots\dots (3.1.4.1-23)$ $\sigma_{2x s} = \left[\frac{M_x}{M_{1o} / (r_m \beta)} \right]^* \left[\frac{6M_{1o}}{r_m t^2 \beta_1} \right] \quad \dots\dots\dots (3.1.4.1-24)$ <p>ここで、 $\beta_1 = \sqrt{\beta_1 \beta_2} \quad \dots\dots\dots (3.1.4.1-25)$ 二次応力を求める場合は、角形アタッチメントのみ、さらに式に k_1 を乗じた値とする。</p> <p>なお、円筒形アタッチメントの場合は、次式で表される。 $\beta_1 = 0.875 r_o / r_m \quad \dots\dots\dots (3.1.4.1-26)$</p>	$P_{1o} = C_v (m_o - m_s) g \frac{h_2 - \frac{1}{2} h_1}{l_o} \quad \dots\dots\dots (3.1.4.1-28)$ <p>鉛直方向曲げモーメント M_{1o} と水平方向反力 P_{1o} により生じる胴板の局部応力は、(2)と同様な方法で引用文献(1)より、次式で表される。 鉛直方向曲げモーメント M_{1o} により生じる応力は、次式で表される。</p> <p>一次応力</p> $\sigma_{\phi 51} = \left[\frac{N_\phi}{M_{1o} / (r_m^2 \beta)} \right]^* \left[\frac{M_{1o}}{r_m^2 t \beta} \right] C_1 \quad \dots\dots\dots (3.1.4.1-29)$ $\sigma_{x 51} = \left[\frac{N_x}{M_{1o} / (r_m^2 \beta)} \right]^* \left[\frac{M_{1o}}{r_m^2 t \beta} \right] C_1 \quad \dots\dots\dots (3.1.4.1-30)$ <p>二次応力</p> $\sigma_{2\phi 51} = \left[\frac{M_\phi}{M_{1o} / (r_m \beta)} \right]^* \left[\frac{6M_{1o}}{r_m t^2 \beta} \right] \quad \dots\dots\dots (3.1.4.1-31)$ $\sigma_{2x 51} = \left[\frac{M_x}{M_{1o} / (r_m \beta)} \right]^* \left[\frac{6M_{1o}}{r_m t^2 \beta} \right] \quad \dots\dots\dots (3.1.4.1-32)$ <p>ここで、アタッチメントパラメータ β は、式(3.1.4.1-15)で表される。ただし、二次応力を求める場合はさらに k_1 を乗じた値とする。なお、円筒形アタッチメントの場合の β は式(3.1.4.1-16)で表される。</p>

②

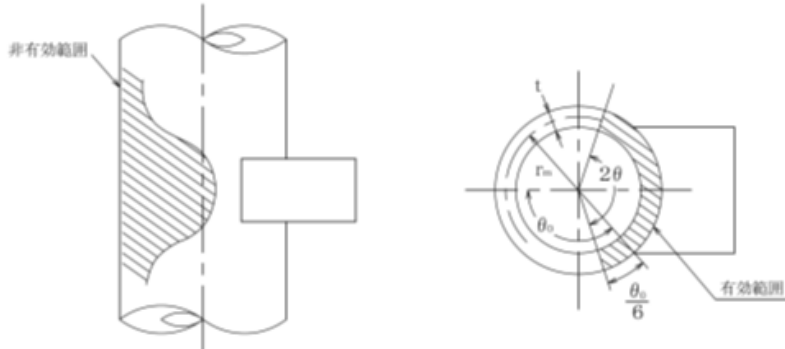
②

別紙 1-25 横置一胴円筒形容器	別紙 1-24 中間支持たて置円筒形容器 (1 ラグ支持)	別紙 1-43 中間支持たて置円筒形容器 (長手方向 2 ラグ支持)
<p>鉛直荷重 P_1 により生じる応力は、次式で表される。</p> <p>一次応力 (23) 頁へ</p> $\sigma_{\phi 42} = \left[\frac{N_{\phi}}{P_1 / r_m} \right]^* \left[\frac{P_1}{r_m t_{\phi}} \right] \dots\dots\dots (3.1.4.1-38)$ $\sigma_{x 42} = \left[\frac{N_x}{P_1 / r_m} \right]^* \left[\frac{P_1}{r_m t_{\phi}} \right] \dots\dots\dots (3.1.4.1-39)$ <p>二次応力</p> $\sigma_{2\phi 42} = \left[\frac{M_{\phi}}{P_1} \right]^* \left[\frac{6P_1}{t_{\phi}^2} \right] \dots\dots\dots (3.1.4.1-40)$ $\sigma_{2x 42} = \left[\frac{M_x}{P_1} \right]^* \left[\frac{6P_1}{t_{\phi}^2} \right] \dots\dots\dots (3.1.4.1-41)$ <p>また、水平方向荷重により胴板に生じる引張応力は、次式で表される。</p> $\sigma_{x 43} = \frac{C_H(m_0 - m_s)g}{\pi(D_1 + t)t} \dots\dots\dots (3.1.4.1-42)$ <p>したがって、曲げモーメント M_1、鉛直力 P_1 及び水平方向荷重により生じる胴板の応力は、次式で表される。</p> <p>一次応力</p> $\sigma_{\phi 4} = \sigma_{\phi 41} + \sigma_{\phi 42} \dots\dots\dots (3.1.4.1-43)$ $\sigma_{x 4} = \sigma_{x 41} + \sigma_{x 42} + \sigma_{x 43} \dots\dots\dots (3.1.4.1-44)$ <p>二次応力</p> $\sigma_{2\phi 4} = \sigma_{2\phi 41} + \sigma_{2\phi 42} \dots\dots\dots (3.1.4.1-45)$ $\sigma_{2x 4} = \sigma_{2x 41} + \sigma_{2x 42} \dots\dots\dots (3.1.4.1-46)$ <p>また、長手方向の地震が作用した場合、第1脚つけ根部に生じるせん断応力は、次式で表される。</p> $\tau_{11} = \frac{C_H(m_0 - m_s)g}{4C_2 t} \dots\dots\dots (3.1.4.1-47)$	<p>反力 R_2 によるせん断応力は、</p> $\tau_{11} = \frac{R_2}{4C_2 t} \dots\dots\dots (3.1.4.1-27)$ <p>なお、円筒形アタッチメントの場合は、次式で表される。</p> $\tau_{11} = \frac{R_2}{\pi r_0 t} \dots\dots\dots (3.1.4.1-28)$	<p>水平方向反力 P_{1c} により生じる応力は、次式で表される。</p> <p>一次応力</p> $\sigma_{\phi 52} = \left[\frac{N_{\phi}}{P_{1c} / r_m} \right]^* \left[\frac{P_{1c}}{r_m t} \right] \dots\dots\dots (3.1.4.1-33)$ $\sigma_{x 52} = \left[\frac{N_x}{P_{1c} / r_m} \right]^* \left[\frac{P_{1c}}{r_m t} \right] \dots\dots\dots (3.1.4.1-34)$ <p>二次応力</p> $\sigma_{2\phi 52} = \left[\frac{M_{\phi}}{P_{1c}} \right]^* \left[\frac{6P_{1c}}{t^2} \right] \dots\dots\dots (3.1.4.1-35)$ $\sigma_{2x 52} = \left[\frac{M_x}{P_{1c}} \right]^* \left[\frac{6P_{1c}}{t^2} \right] \dots\dots\dots (3.1.4.1-36)$ <p>ここで、アタッチメントパラメータ β は式(3.1.4.1-19)又は式(3.1.4.1-20)で表される。なお、円筒形アタッチメントの場合の β は、式(3.1.4.1-21)で表される。</p> <p>また、鉛直方向地震により胴板に生じる引張応力は、次式で表される。</p> $\sigma_{x 53} = \frac{C_V(m_0 - m_s)g}{\pi(D_1 + t)t} \dots\dots\dots (3.1.4.1-37)$ <p>したがって、曲げモーメント M_{1c}、反力 P_{1c} 及び鉛直方向荷重により生じる胴板の応力は、次式で表される。</p> <p>一次応力</p> $\sigma_{\phi 5} = \sigma_{\phi 51} + \sigma_{\phi 52} \dots\dots\dots (3.1.4.1-38)$ $\sigma_{x 5} = \sigma_{x 51} + \sigma_{x 52} + \sigma_{x 53} \dots\dots\dots (3.1.4.1-39)$ <p>二次応力</p> $\sigma_{2\phi 5} = \sigma_{2\phi 51} + \sigma_{2\phi 52} \dots\dots\dots (3.1.4.1-40)$ $\sigma_{2x 5} = \sigma_{2x 51} + \sigma_{2x 52} \dots\dots\dots (3.1.4.1-41)$ <p>また、鉛直方向地震が作用した場合、第1ラグつけ根部に生じるせん断応力は、次式で表される。</p> $\tau_{11} = \frac{C_V(m_0 - m_s)g}{4C_2 t} \dots\dots\dots (3.1.4.1-42)$ <p>なお、円筒形アタッチメントの場合は、次式で表される。</p> $\tau_{11} = \frac{C_V(m_0 - m_s)g}{4r_0 t} \dots\dots\dots (3.1.4.1-43)$

①

別紙 1-25 横置一胴円筒形容器	別紙 1-24 中間支持たて置円筒形容器 (1 ラグ支持)	別紙 1-43 中間支持たて置円筒形容器 (長手方向 2 ラグ支持)
	<p>(4) X方向地震における胴のラグつけ根部の応力 X方向地震における胴のラグつけ根部の応力は、次式で表される。 ラグつけ根部に生じる半径方向荷重は、</p> $P = C_H m_o g \quad \dots\dots\dots (3.1.4.1-29)$	<p>(4) X方向地震による胴のラグのつけ根部の応力 X方向地震によりラグにかかる荷重は、モーメントの釣合いより求める。第3.1.3-1図において第1ラグまわりのモーメントの釣合いより、次式で表される。</p> $\sum_{i=1}^j m_i g l_i - R_2 l_o = 0 \quad \dots\dots\dots (3.1.4.1-44)$ <p>したがって、ラグの受ける荷重は、次式で表される。</p> $R_2 = \sum_{i=1}^j m_i g l_i / l_o \quad \dots\dots\dots (3.1.4.1-45)$ $R_1 = \sum_{i=1}^j m_i g - R_2 \quad \dots\dots\dots (3.1.4.1-46)$ <p>また、ラグにかかる曲げモーメントは次のようにして求める。 第3.1.3-3図に示すように胴に集中荷重を受けるはりとして考える。 第3.1.3-4図においてラグつけ根の部分における曲げモーメント M_1 及び M_2 は、次式で表される。</p> $M_1 = \sum_{i=1}^j m_i g l_i \quad \dots\dots\dots (3.1.4.1-47)$ $M_2 = \sum_{i=1}^j m_i g l_i - l_o \quad \dots\dots\dots (3.1.4.1-48)$ <p>以上のようにして求めた曲げモーメントにより胴のラグつけ根部に生じる応力は次のようにして求められる。 引用文献(2)によれば、この曲げモーメントは胴の断面に対して一様に作用するものではなく、ラグ取付部において円周方向の曲げモーメントに置換され、胴板の局部変形を生じさせようとする。</p>
		<p>今、長手方向の曲げモーメントによる胴板の応力の影響範囲をラグ上 $\theta_0/8$ の点とすると、長手方向曲げモーメントに対する胴の有効断面積は、第3.1.4.1-2図に 2θ で示される円弧殻である。したがって、X方向地震による応力は、次式で表される。</p> $\sigma_{x31} = \frac{C_H M_1}{Z} \quad \dots\dots\dots (3.1.4.1-49)$ <p>ここで、</p> $Z = r_m^2 t \left\{ \frac{\theta + \sin \theta \cos \theta - 2 \sin^2 \theta / \theta}{(\sin \theta / \theta) - \cos \theta} \right\} \quad \dots\dots\dots (3.1.4.1-50)$ <p>θ は、次式で表される。</p> $\theta = \pi - \frac{5}{8} \theta_0 \quad \dots\dots\dots (3.1.4.1-51)$

①

別紙 1-25 横置一胴円筒形容器	別紙 1-24 中間支持たて置円筒形容器 (1 ラグ支持)	別紙 1-43 中間支持たて置円筒形容器 (長手方向 2 ラグ支持)
		 <p data-bbox="2101 661 2576 697">第 3.1.4.1-2 図 ラグつけ根部の有効範囲</p> <p data-bbox="1932 793 2703 863">胴のラグつけ根部におけるラグ反力による局部応力は、次のようにして求める。 胴の第1ラグつけ根部に作用する反力は、次式で表される。</p>
		$P = R_1 \dots\dots\dots (3.1.4.1-52)$

①

別紙 1-25 横置一胴円筒形容器	別紙 1-24 中間支持たて置円筒形容器 (1 ラグ支持)	別紙 1-43 中間支持たて置円筒形容器 (長手方向 2 ラグ支持)
<p>一次応力</p> $\sigma_{\phi 42} = \left[\frac{N_{\phi}}{P_1 / r_m} \right]^* \left[\frac{P_1}{r_m t_{\phi}} \right] \dots\dots\dots (3.1.4.1-38)$ <p>(20) 頁から</p>	<p>半径方向荷重 P により生じる胴板の局部応力は, (2), (3) と同様な方法で引用文献(1)より, 次式で表される。</p> <p>一次応力</p> $\sigma_{\phi 3} = \left[\frac{N_{\phi}}{P / r_m} \right]^* \left[\frac{P}{r_m t} \right] \dots\dots\dots (3.1.4.1-30)$ $\sigma_{x 3} = \left[\frac{N_x}{P / r_m} \right]^* \left[\frac{P}{r_m t} \right] \dots\dots\dots (3.1.4.1-31)$ <p>二次応力</p> $\sigma_{2 \phi 3} = \left[\frac{M_{\phi}}{P} \right]^* \left[\frac{6P}{t^2} \right] \dots\dots\dots (3.1.4.1-32)$ $\sigma_{2 x 3} = \left[\frac{M_x}{P} \right]^* \left[\frac{6P}{t^2} \right] \dots\dots\dots (3.1.4.1-33)$ <p>ここで, $\beta_1 / \beta_2 \equiv 1$ のとき, $\beta = \left\{ 1 - \frac{1}{3} (\beta_1 / \beta_2 - 1) (1 - K_1) \right\} \sqrt{\beta_1 \beta_2} \dots\dots\dots (3.1.4.1-34)$ $\beta_1 / \beta_2 < 1$ のとき, $\beta = \left\{ 1 - \frac{4}{3} (1 - \beta_1 / \beta_2) (1 - K_2) \right\} \sqrt{\beta_1 \beta_2} \dots\dots\dots (3.1.4.1-35)$</p>	<p>この反力 P により生じる胴板の局部応力は, 引用文献(1)により, 次式で表される。</p> <p>一次応力</p> $\sigma_{\phi 32} = \left[\frac{N_{\phi}}{P / r_m} \right]^* \left[\frac{P}{r_m t} \right] \dots\dots\dots (3.1.4.1-53)$ $\sigma_{x 32} = \left[\frac{N_x}{P / r_m} \right]^* \left[\frac{P}{r_m t} \right] \dots\dots\dots (3.1.4.1-54)$ <p>二次応力</p> $\sigma_{2 \phi 32} = \left[\frac{M_{\phi}}{P} \right]^* \left[\frac{6P}{t^2} \right] \dots\dots\dots (3.1.4.1-55)$ $\sigma_{2 x 32} = \left[\frac{M_x}{P} \right]^* \left[\frac{6P}{t^2} \right] \dots\dots\dots (3.1.4.1-56)$ <p>ここで, アタッチメントパラメータ β は式(3.1.4.1-19)又は式(3.1.4.1-20)で表される。なお, 円筒形アタッチメントの場合の β は, 式(3.1.4.1-21)で表される。</p>
<p>なお, 円筒形アタッチメントの場合は, 次式で表される。 $\beta = 0.875 r_0 / r_m \dots\dots\dots (3.1.4.1-36)$</p>	<p>なお, 円筒形アタッチメントの場合は, 次式で表される。 $\beta = 0.875 r_0 / r_m \dots\dots\dots (3.1.4.1-36)$</p>	<p>ここで, アタッチメントパラメータ β は式(3.1.4.1-19)又は式(3.1.4.1-20)で表される。なお, 円筒形アタッチメントの場合の β は, 式(3.1.4.1-21)で表される。</p>
		<p>したがって, 曲げモーメント M_1 及び反力 P により生じる胴板の応力は, 次式で表される。</p> <p>一次応力</p> $\sigma_{\phi 3} = \sigma_{\phi 32} \dots\dots\dots (3.1.4.1-57)$ $\sigma_{x 3} = \sigma_{x 31} + \sigma_{x 32} \dots\dots\dots (3.1.4.1-58)$ <p>二次応力</p> $\sigma_{2 \phi 3} = \sigma_{2 \phi 32} \dots\dots\dots (3.1.4.1-59)$ $\sigma_{2 x 3} = \sigma_{2 x 32} \dots\dots\dots (3.1.4.1-60)$

①

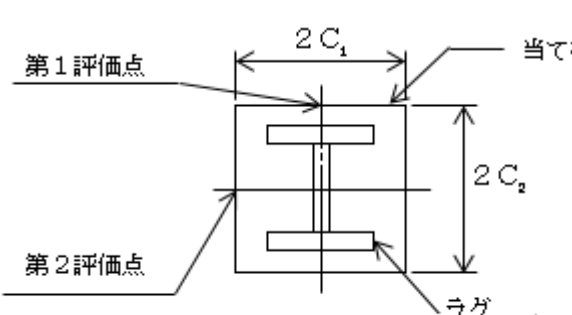
別紙 1-25 横置一胴円筒形容器	別紙 1-24 中間支持たて置円筒形容器 (1 ラグ支持)	別紙 1-43 中間支持たて置円筒形容器 (長手方向 2 ラグ支持)
<p>(7) 横方向地震による脚つけ根部の応力 横方向の地震が作用した場合、第1脚のつけ根部に作用する曲げモーメント M_o は、次式で表される。</p>	<p>(5) Z方向地震による胴のラグつけ根部の応力 Z方向地震による胴のラグつけ根部の応力は、次式で表される。 ラグつけ根部に作用する周方向せん断力は、</p>	<p>(5) Z方向地震によるラグつけ根部の応力 Z方向地震が作用した場合、第1ラグのつけ根部に作用する曲げモーメント M_o は、次式で表される。</p>
$M_o = C_H R_1 r_o \dots\dots\dots (3.1.4.1-48)$	$Q = C_H m_o g \dots\dots\dots (3.1.4.1-37)$ <p>ラグつけ根部に作用する周方向曲げモーメントは、</p> $M_c = C_H m_o g (h_2 - h_1) \dots\dots\dots (3.1.4.1-38)$	$M_o = C_H R_1 r_o \dots\dots\dots (3.1.4.1-61)$
$r_o = \frac{D_1}{2} + t_e \dots\dots\dots (3.1.4.1-49)$		$r_o = \frac{D_1}{2} + t \dots\dots\dots (3.1.4.1-62)$
<p>この曲げモーメント M_o により生じる胴板の局部応力は、(5)及び(6)と同様な方法で引用文献(1)より求められる。 シェルパラメータ β は(5)と同じであるが、アタッチメントパラメータ β_o は、次式で表される。</p>	<p>周方向曲げモーメント M_c により生じる胴板の局部応力は、(2)、(3)と同様な方法で引用文献(1)より、次式で表される。</p>	<p>この曲げモーメント M_o により生じる胴板の局部応力は、(2)、(3)と同様な方法で引用文献(1)より、次式で表される。</p>
$\beta_o = \sqrt[3]{\beta_1^2 \beta_2} \dots\dots\dots (3.1.4.1-50)$		
<p>ただし、二次応力を求める場合はさらに k_c を乗じた値とする。 したがって応力は、次式で表される。</p>		
<p>一次応力</p>	<p>一次応力</p>	<p>曲げモーメント M_o により生じる胴板の応力は 一次応力</p>
$\sigma_{\phi 5} = \left[\frac{N_{\phi}}{M_o / (r_m^2 \beta)} \right]^* \left[\frac{M_o}{r_m^2 \beta_o t_e} \right] C_o \dots\dots\dots (3.1.4.1-51)$	$\sigma_{\phi 4} = \left[\frac{N_{\phi}}{M_c / (r_m^2 \beta)} \right]^* \left[\frac{M_c}{r_m^2 t \beta_c} \right] C_c \dots\dots\dots (3.1.4.1-39)$	$\sigma_{\phi 4} = \left[\frac{N_{\phi}}{M_o / (r_m^2 \beta)} \right]^* \left[\frac{M_o}{r_m^2 \beta t} \right] C_o \dots\dots\dots (3.1.4.1-63)$
$\sigma_{x 5} = \left[\frac{N_x}{M_o / (r_m^2 \beta)} \right]^* \left[\frac{M_o}{r_m^2 \beta_o t_e} \right] C_o \dots\dots\dots (3.1.4.1-52)$	$\sigma_{x 4} = \left[\frac{N_x}{M_c / (r_m^2 \beta)} \right]^* \left[\frac{M_c}{r_m^2 t \beta_c} \right] C_c \dots\dots\dots (3.1.4.1-40)$	$\sigma_{x 4} = \left[\frac{N_x}{M_o / (r_m^2 \beta)} \right]^* \left[\frac{M_o}{r_m^2 \beta t} \right] C_o \dots\dots\dots (3.1.4.1-64)$
<p>二次応力</p>	<p>二次応力</p>	<p>二次応力</p>
$\sigma_{2\phi 5} = \left[\frac{M_{\phi}}{M_o / (r_m \beta)} \right]^* \left[\frac{6M_o}{r_m \beta_o t_e^2} \right] \dots\dots\dots (3.1.4.1-53)$	$\sigma_{2\phi 4} = \left[\frac{M_{\phi}}{M_c / (r_m \beta)} \right]^* \left[\frac{6M_c}{r_m \beta_c t^2} \right] \dots\dots\dots (3.1.4.1-41)$	$\sigma_{2\phi 4} = \left[\frac{M_{\phi}}{M_o / (r_m \beta)} \right]^* \left[\frac{6M_o}{r_m \beta t^2} \right] \dots\dots\dots (3.1.4.1-65)$
$\sigma_{2x 5} = \left[\frac{M_x}{M_o / (r_m \beta)} \right]^* \left[\frac{6M_o}{r_m \beta_o t_e^2} \right] \dots\dots\dots (3.1.4.1-54)$	$\sigma_{2x 4} = \left[\frac{M_x}{M_c / (r_m \beta)} \right]^* \left[\frac{6M_c}{r_m \beta_c t^2} \right] \dots\dots\dots (3.1.4.1-42)$	$\sigma_{2x 4} = \left[\frac{M_x}{M_o / (r_m \beta)} \right]^* \left[\frac{6M_o}{r_m \beta t^2} \right] \dots\dots\dots (3.1.4.1-66)$

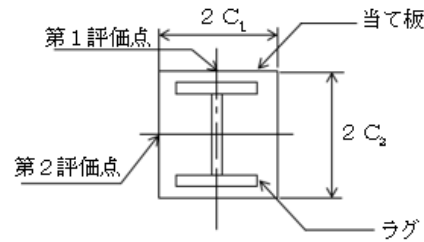
②

別紙 1-25 横置一胴円筒形容器	別紙 1-24 中間支持たて置円筒形容器 (1 ラグ支持)	別紙 1-43 中間支持たて置円筒形容器 (長手方向 2 ラグ支持)
	<p>ここで、 $\beta_o = \sqrt[3]{\beta_1^2 \beta_2} \dots\dots\dots (3.1.4.1-43)$ 二次応力を求める場合は、角形アタッチメントのみ、さらに式に k_{c1} を乗じた値とする。</p>	
	<p>なお、円筒形アタッチメントの場合は、次式で表される。 $\beta_o = 0.875 r_o / r_m \dots\dots\dots (3.1.4.1-44)$</p>	<p>ここで、アタッチメントパラメータ β は、式(3.1.4.1-15)で表される。ただし、二次応力を求める場合はさらに k_{c1} を乗じた値とする。なお、円筒形アタッチメントの場合の β は、式(3.1.4.1-16)で表される。</p>
<p>また、横方向に地震が作用した場合第1脚つけ根部に生じるせん断応力は、次式で表される。 $\tau_o = \frac{C_H R_1}{4 C_1 t} \dots\dots\dots (3.1.4.1-55)$</p>	<p>周方向せん断力 Q によるせん断応力は、 $\tau_r = \frac{Q}{4 C_1 t} \dots\dots\dots (3.1.4.1-45)$</p>	<p>また、Z方向地震が作用した場合、第1ラグつけ根部に生じるせん断応力は、次式で表される。 $\tau_o = \frac{C_H R_1}{4 C_1 t} \dots\dots\dots (3.1.4.1-67)$</p>
	<p>なお、円筒形アタッチメントの場合は、次式で表される。 $\tau_o = \frac{Q}{\pi r_o t} \dots\dots\dots (3.1.4.1-46)$</p>	<p>なお、円筒形アタッチメントの場合は、次式で表される。 $\tau_o = \frac{C_H R_1}{4 r_o t} \dots\dots\dots (3.1.4.1-68)$</p>

②

②

別紙 1-25 横置一胴円筒形容器	別紙 1-24 中間支持たて置円筒形容器（1 ラグ支持）	別紙 1-43 中間支持たて置円筒形容器（長手方向 2 ラグ支持）
<p>(8) 組合せ応力 (3)~(7)によって算出される第1脚つけ根部に生じる胴板の応力は、以下により組み合わせられる。</p> <p>a. 一次一般膜応力 【絶対値和】 (a) 長手方向地震及び鉛直方向地震が作用した場合</p> $\sigma_{o1} = \max \left[\sigma_{o1\phi}, \sigma_{o1z} \right] \quad \dots\dots\dots (3.1.4.1-56)$ <p>ここで、</p> $\sigma_{o1\phi} = \sigma_{\phi 1} + \sigma_{\phi 2} \quad \dots\dots\dots (3.1.4.1-57)$ $\sigma_{o1z} = \sigma_{z1} + \sigma_{z2} + \sigma_{z6} + \sigma_{z43} \quad \dots\dots\dots (3.1.4.1-58)$ <p>(b) 横方向地震及び鉛直方向地震が作用した場合</p> $\sigma_{oc} = \max \left[\sigma_{oc\phi}, \sigma_{ocx} \right] \quad \dots\dots\dots (3.1.4.1-59)$ <p>ここで、</p> $\sigma_{oc\phi} = \sigma_{\phi 1} + \sigma_{\phi 2} \quad \dots\dots\dots (3.1.4.1-60)$ $\sigma_{ocx} = \sigma_{x1} + \sigma_{x2} + \sigma_{x6} \quad \dots\dots\dots (3.1.4.1-61)$ <p>【SRSS法】 (a) 長手方向地震及び鉛直方向地震が作用した場合</p> $\sigma_{o1} = \max \left[\sigma_{o1\phi}, \sigma_{o1z} \right] \quad \dots\dots\dots (3.1.4.1-62)$ <p>ここで、</p> $\sigma_{o1\phi} = \sigma_{\phi 1} + \sigma_{\phi 2} \quad \dots\dots\dots (3.1.4.1-63)$ $\sigma_{o1z} = \sigma_{z1} + \sigma_{z2} + \sqrt{\sigma_{z6}^2 + \sigma_{z43}^2} \quad \dots\dots\dots (3.1.4.1-64)$	<p>(6) 組合せ応力 (1)~(5)によって算出される胴のラグつけ根部に生じる応力は、以下により組み合わせられる。</p> <p>a. 一次一般膜応力</p> $\sigma_o = \max \left[\sigma_{o\phi}, \sigma_{ox} \right] \quad \dots\dots\dots (3.1.4.1-47)$ $\sigma_{o\phi} = \sigma_{\phi 1} + \sigma_{\phi 6} \quad \dots\dots\dots (3.1.4.1-48)$ $\sigma_{ox} = \sigma_{x1} \quad \dots\dots\dots (3.1.4.1-49)$ <div style="text-align: center;">  <p>第 3.1.4.1-1 図 胴板の評価点</p> </div>	<p>(6) 組合せ応力 (1)~(5)によって算出される胴のラグつけ根部に生じる応力は、以下により組み合わせられる。</p> <p>a. X方向地震及び鉛直方向地震が作用した場合の一次一般膜応力 【絶対値和】</p> $\sigma_{ox\phi} = \sigma_{\phi 1} + \sigma_{\phi 6} \quad \dots\dots\dots (3.1.4.1-69)$ $\sigma_{oxx} = \sigma_{x1} + \sigma_{x23} + \sigma_{x53} + \sigma_{x31} \quad \dots\dots\dots (3.1.4.1-70)$ $\sigma_{ox} = \max \left[\sigma_{ox\phi}, \sigma_{oxx} \right] \quad \dots\dots\dots (3.1.4.1-71)$ <p>【SRSS法】</p> $\sigma_{ox\phi} = \sigma_{\phi 1} + \sigma_{\phi 6} \quad \dots\dots\dots (3.1.4.1-72)$ $\sigma_{oxx} = \sigma_{x1} + \sigma_{x23} + \sqrt{\sigma_{x53}^2 + \sigma_{x31}^2} \quad \dots\dots\dots (3.1.4.1-73)$ $\sigma_{ox} = \max \left[\sigma_{ox\phi}, \sigma_{oxx} \right] \quad \dots\dots\dots (3.1.4.1-74)$ <p>b. Z方向地震及び鉛直方向地震が作用した場合の一次一般膜応力</p> $\sigma_{oz\phi} = \sigma_{\phi 1} + \sigma_{\phi 6} \quad \dots\dots\dots (3.1.4.1-75)$ $\sigma_{ozx} = \sigma_{x1} + \sigma_{x23} + \sigma_{x53} \quad \dots\dots\dots (3.1.4.1-76)$ $\sigma_{oz} = \max \left[\sigma_{oz\phi}, \sigma_{ozx} \right] \quad \dots\dots\dots (3.1.4.1-77)$ <p>したがって、胴板に生じる一次一般膜応力の最大値は、次式で表される。</p> $\sigma_o = \max \left[\sigma_{ox}, \sigma_{oz} \right] \quad \dots\dots\dots (3.1.4.1-78)$

別紙 1-25 横置一胴円筒形容器	別紙 1-24 中間支持たて置円筒形容器 (1 ラグ支持)	別紙 1-43 中間支持たて置円筒形容器 (長手方向 2 ラグ支持)
<p>(b) 横方向地震及び鉛直方向地震が作用した場合</p> $\sigma_{oc} = \max [\sigma_{oc\phi}, \sigma_{ocx}] \dots\dots\dots (3.1.4.1-65)$ <p>ここで,</p> $\sigma_{oc\phi} = \sigma_{\phi 1} + \sigma_{\phi 2} \dots\dots\dots (3.1.4.1-66)$ $\sigma_{ocx} = \sigma_{x 1} + \sigma_{x 2} + \sigma_{x 5} \dots\dots\dots (3.1.4.1-67)$ <p>したがって, 胴板に生じる一次一般膜応力の最大値は, 次式で表される。</p> $\sigma_o = \max [\sigma_{o 1}, \sigma_{o c}] \dots\dots\dots (3.1.4.1-68)$	<p>b. X方向地震及び鉛直方向地震が作用した場合の一次応力</p> <p>第1評価点については,</p>	<p>c. X方向地震及び鉛直方向地震が作用した場合の一次応力 第1評価点及び第2評価点の位置を第3.1.4.1-3図に示す。</p>  <p>第 3.1.4.1-3 図 胴板の評価</p> <p>第1評価点については</p>
<p>b. 一次応力 【絶対値和】 (a) 長手方向地震及び鉛直方向地震が作用した場合</p>	<p>第1評価点については,</p>	<p>第1評価点については 【絶対値和】</p>
$\sigma_{11} = \frac{1}{2} \left\{ (\sigma_{11\phi} + \sigma_{11x}) + \sqrt{(\sigma_{11\phi} - \sigma_{11x})^2 + 4\tau_1^2} \right\} \dots\dots\dots (3.1.4.1-69)$	$\sigma_{xc1} = \frac{1}{2} \left\{ \sigma_{\phi x1} + \sigma_{x x1} + \sqrt{(\sigma_{\phi x1} - \sigma_{x x1})^2} \right\} \dots\dots\dots (3.1.4.1-50)$	$\sigma_{xc1} = \frac{1}{2} \left\{ (\sigma_{\phi x1} + \sigma_{x x1}) + \sqrt{(\sigma_{\phi x1} - \sigma_{x x1})^2} \right\} \dots\dots\dots (3.1.4.1-81)$
<p>(28) 頁から</p>	<p>【絶対値和】</p> $\sigma_{\phi x1} = \sigma_{\phi 1} + \sigma_{\phi 5} + \sigma_{\phi 2} + \sigma_{\phi 3} + \sigma_{\phi 5} \dots\dots\dots (3.1.4.1-51)$ $\sigma_{x x1} = \sigma_{x 1} + \sigma_{x 2} + \sigma_{x 3} + \sigma_{x 5} \dots\dots\dots (3.1.4.1-52)$ <p>【SRSS法】</p> $\sigma_{\phi x1} = \sigma_{\phi 1} + \sigma_{\phi 2} + \sqrt{\sigma_{\phi 3}^2 + (\sigma_{\phi 5} + \sigma_{\phi 5})^2} \dots\dots\dots (3.1.4.1-53)$ $\sigma_{x x1} = \sigma_{x 1} + \sigma_{x 2} + \sqrt{\sigma_{x 3}^2 + \sigma_{x 5}^2} \dots\dots\dots (3.1.4.1-54)$ <p>第2評価点については,</p> $\sigma_{xc2} = \frac{1}{2} \left\{ \sigma_{\phi x2} + \sigma_{x x2} + \sqrt{(\sigma_{\phi x2} - \sigma_{x x2})^2 + 4(\tau_1 + \tau_1)^2} \right\} \dots\dots\dots (3.1.4.1-55)$ <p>【絶対値和】</p> $\sigma_{\phi x2} = \sigma_{\phi 1} + \sigma_{\phi 5} + \sigma_{\phi 3} \dots\dots\dots (3.1.4.1-56)$ $\sigma_{x x2} = \sigma_{x 1} + \sigma_{x 3} \dots\dots\dots (3.1.4.1-57)$ <p>【SRSS法】</p> $\sigma_{\phi x2} = \sigma_{\phi 1} + \sqrt{\sigma_{\phi 5}^2 + \sigma_{\phi 3}^2} \dots\dots\dots (3.1.4.1-58)$ $\sigma_{x x2} = \sigma_{x 1} + \sigma_{x 3} \dots\dots\dots (3.1.4.1-59)$	<p>【SRSS法】</p> $\sigma_{\phi x1} = \sigma_{\phi 1} + \sigma_{\phi 2} + \sqrt{\sigma_{\phi 3}^2 + (\sigma_{\phi 5} + \sigma_{\phi 5})^2} \dots\dots\dots (3.1.4.1-82)$ $\sigma_{x x1} = \sigma_{x 1} + \sigma_{x 2} + \sqrt{\sigma_{x 3}^2 + \sigma_{x 5}^2} \dots\dots\dots (3.1.4.1-83)$ $\sigma_{xc1} = \frac{1}{2} \left\{ (\sigma_{\phi x1} + \sigma_{x x1}) + \sqrt{(\sigma_{\phi x1} - \sigma_{x x1})^2} \right\} \dots\dots\dots (3.1.4.1-84)$ <p>第2評価点については</p> <p>【絶対値和】</p> $\sigma_{\phi x2} = \sigma_{\phi 1} + \sigma_{\phi 3} + \sigma_{\phi 5} \dots\dots\dots (3.1.4.1-85)$ $\sigma_{x x2} = \sigma_{x 1} + \sigma_{x 3} \dots\dots\dots (3.1.4.1-86)$ $\sigma_{xc2} = \frac{1}{2} \left\{ (\sigma_{\phi x2} + \sigma_{x x2}) + \sqrt{(\sigma_{\phi x2} - \sigma_{x x2})^2 + 4(\tau_1 + \tau_1)^2} \right\} \dots\dots\dots (3.1.4.1-87)$ <p>【SRSS法】</p> $\sigma_{\phi x2} = \sigma_{\phi 1} + \sqrt{\sigma_{\phi 3}^2 + \sigma_{\phi 5}^2} \dots\dots\dots (3.1.4.1-88)$ $\sigma_{x x2} = \sigma_{x 1} + \sigma_{x 3} \dots\dots\dots (3.1.4.1-89)$ $\sigma_{xc2} = \frac{1}{2} \left\{ (\sigma_{\phi x2} + \sigma_{x x2}) + \sqrt{(\sigma_{\phi x2} - \sigma_{x x2})^2 + 4(\tau_1 + \tau_1)^2} \right\} \dots\dots\dots (3.1.4.1-90)$

①

別紙 1-25 横置一胴円筒形容器	別紙 1-24 中間支持たて置円筒形容器 (1 ラグ支持)	別紙 1-43 中間支持たて置円筒形容器 (長手方向 2 ラグ支持)
<p>b. 一次応力 【絶対値和】 (a) 長手方向地震及び鉛直方向地震が作用した場合</p> $\sigma_{11} = \frac{1}{2} \left\{ (\sigma_{11\phi} + \sigma_{11z}) + \sqrt{(\sigma_{11\phi} - \sigma_{11z})^2 + 4\tau_1^2} \right\} \quad \cdots (3.1.4.1-69)$ <p>ここで、 $\sigma_{11\phi} = \sigma_{\phi 1} + \sigma_{\phi 2} + \sigma_{\phi 3} + \sigma_{\phi 4} + \sigma_{\phi 7} \quad \cdots (3.1.4.1-70)$ $\sigma_{11z} = \sigma_{z 1} + \sigma_{z 2} + \sigma_{z 3} + \sigma_{z 4} + \sigma_{z 6} + \sigma_{z 7} \quad \cdots (3.1.4.1-71)$</p> <p>(b) 横方向地震及び鉛直方向地震が発生した場合</p> $\sigma_{1c} = \frac{1}{2} \left\{ (\sigma_{1c\phi} + \sigma_{1cx}) + \sqrt{(\sigma_{1c\phi} - \sigma_{1cx})^2 + 4\tau_c^2} \right\} \quad \cdots (3.1.4.1-72)$ <p>ここで、 $\sigma_{1c\phi} = \sigma_{\phi 1} + \sigma_{\phi 2} + \sigma_{\phi 3} + \sigma_{\phi 5} + \sigma_{\phi 7} \quad \cdots (3.1.4.1-73)$ $\sigma_{1cx} = \sigma_{x 1} + \sigma_{x 2} + \sigma_{x 3} + \sigma_{x 5} + \sigma_{x 6} + \sigma_{x 7} \quad \cdots (3.1.4.1-74)$</p> <p>【SRSS法】 (a) 長手方向地震及び鉛直方向地震が作用した場合</p> $\sigma_{11} = \frac{1}{2} \left\{ (\sigma_{11\phi} + \sigma_{11z}) + \sqrt{(\sigma_{11\phi} - \sigma_{11z})^2 + 4\tau_1^2} \right\} \quad \cdots (3.1.4.1-75)$ <p>ここで、 $\sigma_{11\phi} = \sigma_{\phi 1} + \sigma_{\phi 3} + \sqrt{\sigma_{\phi 4}^2 + (\sigma_{\phi 2} + \sigma_{\phi 7})^2} \quad \cdots (3.1.4.1-76)$ $\sigma_{11z} = \sigma_{z 1} + \sigma_{z 2} + \sigma_{z 3} + \sqrt{\sigma_{z 4}^2 + (\sigma_{z 6} + \sigma_{z 7})^2} \quad \cdots (3.1.4.1-77)$</p> <p>(b) 横方向地震及び鉛直方向地震が発生した場合</p> $\sigma_{1c} = \frac{1}{2} \left\{ (\sigma_{1c\phi} + \sigma_{1cx}) + \sqrt{(\sigma_{1c\phi} - \sigma_{1cx})^2 + 4\tau_c^2} \right\} \quad \cdots (3.1.4.1-78)$ <p>ここで、 $\sigma_{1c\phi} = \sigma_{\phi 1} + \sigma_{\phi 3} + \sqrt{\sigma_{\phi 5}^2 + (\sigma_{\phi 2} + \sigma_{\phi 7})^2} \quad \cdots (3.1.4.1-79)$ $\sigma_{1cx} = \sigma_{x 1} + \sigma_{x 2} + \sigma_{x 3} + \sqrt{\sigma_{x 5}^2 + (\sigma_{x 6} + \sigma_{x 7})^2} \quad \cdots (3.1.4.1-80)$</p> <p>したがって、胴板に生じる一次応力の最大値は、次式で表される。 $\sigma_1 = \max \left[\sigma_{11}, \sigma_{1c} \right] \quad \cdots (3.1.4.1-81)$</p>	<p>c. Z方向地震及び鉛直方向地震が作用した場合の一次応力 第1評価点については、</p> $\sigma_{zc1} = \frac{1}{2} \left\{ \sigma_{\phi z 1} + \sigma_{z z 1} + \sqrt{(\sigma_{\phi z 1} - \sigma_{z z 1})^2 + 4\tau_c^2} \right\} \quad \cdots (3.1.4.1-80)$ <p>【絶対値和】 $\sigma_{\phi z 1} = \sigma_{\phi 1} + \sigma_{\phi 6} + \sigma_{\phi 2} + \sigma_{\phi 5} \quad \cdots (3.1.4.1-81)$ $\sigma_{z z 1} = \sigma_{z 1} + \sigma_{z 2} + \sigma_{z 5} \quad \cdots (3.1.4.1-82)$</p> <p>【SRSS法】 $\sigma_{\phi z 1} = \sigma_{\phi 1} + \sigma_{\phi 6} + \sigma_{\phi 2} + \sigma_{\phi 5} \quad \cdots (3.1.4.1-83)$ $\sigma_{z z 1} = \sigma_{z 1} + \sigma_{z 2} + \sigma_{z 5} \quad \cdots (3.1.4.1-84)$</p> <p>第2評価点については、</p> $\sigma_{zc2} = \frac{1}{2} \left\{ \sigma_{\phi z 2} + \sigma_{z z 2} + \sqrt{(\sigma_{\phi z 2} - \sigma_{z z 2})^2 + 4(\tau_1 + \tau_1)^2} \right\} \quad \cdots (3.1.4.1-85)$ <p>【絶対値和】 $\sigma_{\phi z 2} = \sigma_{\phi 1} + \sigma_{\phi 6} + \sigma_{\phi 4} \quad \cdots (3.1.4.1-86)$ $\sigma_{z z 2} = \sigma_{z 1} + \sigma_{z 4} \quad \cdots (3.1.4.1-87)$</p> <p>【SRSS法】 $\sigma_{\phi z 2} = \sigma_{\phi 1} + \sqrt{\sigma_{\phi 6}^2 + \sigma_{\phi 4}^2} \quad \cdots (3.1.4.1-88)$ $\sigma_{z z 2} = \sigma_{z 1} + \sigma_{z 4} \quad \cdots (3.1.4.1-89)$</p> <p>したがって、胴板に生じる一次応力の最大値は、次式で表される。 $\sigma_1 = \max \left[\sigma_{zc1}, \sigma_{zc2}, \sigma_{zc1}, \sigma_{zc2} \right] \quad \cdots (3.1.4.1-90)$</p>	<p>d. Z方向地震及び鉛直方向地震が作用した場合の一次応力 第1評価点については</p> $\sigma_{\phi z 1} = \sigma_{\phi 1} + \sigma_{\phi 2} + \sigma_{\phi 5} + \sigma_{\phi 6} \quad \cdots (3.1.4.1-91)$ $\sigma_{z z 1} = \sigma_{z 1} + \sigma_{z 2} + \sigma_{z 5} \quad \cdots (3.1.4.1-92)$ $\sigma_{zc1} = \frac{1}{2} \left\{ (\sigma_{\phi z 1} + \sigma_{z z 1}) + \sqrt{(\sigma_{\phi z 1} - \sigma_{z z 1})^2 + 4\tau_c^2} \right\} \quad \cdots (3.1.4.1-93)$ <p>第2評価点については</p> <p>【絶対値和】 $\sigma_{\phi z 2} = \sigma_{\phi 1} + \sigma_{\phi 4} + \sigma_{\phi 6} \quad \cdots (3.1.4.1-94)$ $\sigma_{z z 2} = \sigma_{z 1} + \sigma_{z 4} \quad \cdots (3.1.4.1-95)$ $\sigma_{zc2} = \frac{1}{2} \left\{ (\sigma_{\phi z 2} + \sigma_{z z 2}) + \sqrt{(\sigma_{\phi z 2} - \sigma_{z z 2})^2 + 4(\tau_1 + \tau_1)^2} \right\} \quad \cdots (3.1.4.1-96)$</p> <p>【SRSS法】 $\sigma_{\phi z 2} = \sigma_{\phi 1} + \sqrt{\sigma_{\phi 4}^2 + \sigma_{\phi 6}^2} \quad \cdots (3.1.4.1-97)$ $\sigma_{z z 2} = \sigma_{z 1} + \sigma_{z 4} \quad \cdots (3.1.4.1-98)$ $\sigma_{zc2} = \frac{1}{2} \left\{ (\sigma_{\phi z 2} + \sigma_{z z 2}) + \sqrt{(\sigma_{\phi z 2} - \sigma_{z z 2})^2 + 4(\tau_1 + \tau_1)^2} \right\} \quad \cdots (3.1.4.1-99)$</p> <p>したがって、胴板に生じる一次応力の最大値は、次式で表される。 $\sigma_1 = \max \left[\sigma_{zc1}, \sigma_{zc2}, \sigma_{zc1}, \sigma_{zc2} \right] \quad \cdots (3.1.4.1-100)$</p>

別紙 1-25 横置一胴円筒形容器	別紙 1-24 中間支持たて置円筒形容器 (1 ラグ支持)	別紙 1-43 中間支持たて置円筒形容器 (長手方向 2 ラグ支持)
<p>c. 地震動のみによる一次+二次応力の変動値 【絶対値和】</p> <p>(a) 長手方向地震及び鉛直方向地震が作用した場合</p> $\sigma_{21} = \sigma_{21\phi} + \sigma_{21x} + \sqrt{(\sigma_{21\phi} - \sigma_{21x})^2 + 4\tau_1^2} \quad \dots\dots\dots (3.1.4.1-82)$ <p>ここで,</p> $\sigma_{21\phi} = \sigma_{\phi 2} + \sigma_{\phi 4} + \sigma_{2\phi 4} + \sigma_{\phi 7} + \sigma_{2\phi 7} \quad \dots\dots\dots (3.1.4.1-83)$ $\sigma_{21x} = \sigma_{x 4} + \sigma_{2x 4} + \sigma_{x 6} + \sigma_{x 7} + \sigma_{2x 7} \quad \dots\dots\dots (3.1.4.1-84)$ <p>(b) 横方向地震及び鉛直方向地震が作用した場合</p> $\sigma_{2c} = \sigma_{2c\phi} + \sigma_{2cx} + \sqrt{(\sigma_{2c\phi} - \sigma_{2cx})^2 + 4\tau_c^2} \quad \dots\dots\dots (3.1.4.1-85)$ <p>ここで,</p> $\sigma_{2c\phi} = \sigma_{\phi 2} + \sigma_{\phi 5} + \sigma_{2\phi 5} + \sigma_{\phi 7} + \sigma_{2\phi 7} \quad \dots\dots\dots (3.1.4.1-86)$ $\sigma_{2cx} = \sigma_{x 5} + \sigma_{2x 5} + \sigma_{x 6} + \sigma_{x 7} + \sigma_{2x 7} \quad \dots\dots\dots (3.1.4.1-87)$ <p>【SRSS法】</p> <p>(a) 長手方向地震及び鉛直方向地震が作用した場合</p> $\sigma_{21} = \sigma_{21\phi} + \sigma_{21x} + \sqrt{(\sigma_{21\phi} - \sigma_{21x})^2 + 4\tau_1^2} \quad \dots\dots\dots (3.1.4.1-88)$ <p>ここで,</p> $\sigma_{21\phi} = \sqrt{(\sigma_{\phi 2} + \sigma_{\phi 7} + \sigma_{2\phi 7})^2 + (\sigma_{\phi 4} + \sigma_{2\phi 4})^2} \quad \dots\dots\dots (3.1.4.1-89)$ $\sigma_{21x} = \sqrt{(\sigma_{x 4} + \sigma_{2x 4})^2 + (\sigma_{x 6} + \sigma_{x 7} + \sigma_{2x 7})^2} \quad \dots\dots\dots (3.1.4.1-90)$ <p>(b) 横方向地震及び鉛直方向地震が発生した場合</p> $\sigma_{2c} = \sigma_{2c\phi} + \sigma_{2cx} + \sqrt{(\sigma_{2c\phi} - \sigma_{2cx})^2 + 4\tau_c^2} \quad \dots\dots\dots (3.1.4.1-91)$ <p>ここで,</p> $\sigma_{2c\phi} = \sqrt{(\sigma_{\phi 2} + \sigma_{\phi 7} + \sigma_{2\phi 7})^2 + (\sigma_{\phi 5} + \sigma_{2\phi 5})^2} \quad \dots\dots\dots (3.1.4.1-92)$ $\sigma_{2cx} = \sqrt{(\sigma_{x 5} + \sigma_{2x 5})^2 + (\sigma_{x 6} + \sigma_{x 7} + \sigma_{2x 7})^2} \quad \dots\dots\dots (3.1.4.1-93)$ <p>したがって、胴板に生じる地震動のみによる一次+二次応力の変動値の最大値は、次式で表される。</p> $\sigma_2 = \max[\sigma_{21}, \sigma_{2c}] \quad \dots\dots\dots (3.1.4.1-94)$	<p>d. X方向地震及び鉛直方向地震が作用した場合の地震動のみによる一次+二次応力の変動値</p> <p>第1評価点については,</p> $\sigma_{21} = \sigma_{2\phi \times 1} + \sigma_{2x \times 1} + \sqrt{(\sigma_{2\phi \times 1} - \sigma_{2x \times 1})^2} \quad \dots\dots\dots (3.1.4.1-71)$ <p>【絶対値和】</p> $\sigma_{2\phi \times 1} = \sigma_{\phi 5} + \sigma_{2\phi 5} + \sigma_{\phi 6} + \sigma_{\phi 3} + \sigma_{2\phi 3} \quad \dots\dots\dots (3.1.4.1-72)$ $\sigma_{2x \times 1} = \sigma_{x 5} + \sigma_{2x 5} + \sigma_{x 3} + \sigma_{2x 3} \quad \dots\dots\dots (3.1.4.1-73)$ <p>【SRSS法】</p> $\sigma_{2\phi \times 1} = \sqrt{(\sigma_{\phi 5} + \sigma_{2\phi 5} + \sigma_{\phi 6})^2 + (\sigma_{\phi 3} + \sigma_{2\phi 3})^2} \quad \dots\dots\dots (3.1.4.1-74)$ $\sigma_{2x \times 1} = \sqrt{(\sigma_{x 5} + \sigma_{2x 5})^2 + (\sigma_{x 3} + \sigma_{2x 3})^2} \quad \dots\dots\dots (3.1.4.1-75)$ <p>第2評価点については,</p> $\sigma_{22} = \sigma_{2\phi \times 2} + \sigma_{2x \times 2} + \sqrt{(\sigma_{2\phi \times 2} - \sigma_{2x \times 2})^2 + 4\tau_1^2} \quad \dots\dots\dots (3.1.4.1-76)$ <p>【絶対値和】</p> $\sigma_{2\phi \times 2} = \sigma_{\phi 3} + \sigma_{2\phi 3} + \sigma_{\phi 6} \quad \dots\dots\dots (3.1.4.1-77)$ $\sigma_{2x \times 2} = \sigma_{x 3} + \sigma_{2x 3} \quad \dots\dots\dots (3.1.4.1-78)$ <p>【SRSS法】</p> $\sigma_{2\phi \times 2} = \sqrt{(\sigma_{\phi 3} + \sigma_{2\phi 3})^2 + \sigma_{\phi 6}^2} \quad \dots\dots\dots (3.1.4.1-79)$ $\sigma_{2x \times 2} = \sigma_{x 3} + \sigma_{2x 3} \quad \dots\dots\dots (3.1.4.1-80)$	<p>e. X方向地震及び鉛直方向地震が作用した場合の地震動のみによる一次+二次応力の変動値</p> <p>第1評価点については</p> <p>【絶対値和】</p> $\sigma_{2\phi \times 1} = \sigma_{\phi 5} + \sigma_{2\phi 5} + \sigma_{\phi 3} + \sigma_{2\phi 3} + \sigma_{\phi 6} \quad \dots\dots\dots (3.1.4.1-101)$ $\sigma_{2x \times 1} = \sigma_{x 5} + \sigma_{2x 5} + \sigma_{x 3} + \sigma_{2x 3} \quad \dots\dots\dots (3.1.4.1-102)$ $\sigma_{21} = \sigma_{2\phi \times 1} + \sigma_{2x \times 1} + \sqrt{(\sigma_{2\phi \times 1} - \sigma_{2x \times 1})^2} \quad \dots\dots\dots (3.1.4.1-103)$ <p>【SRSS法】</p> $\sigma_{2\phi \times 1} = \sqrt{(\sigma_{\phi 5} + \sigma_{2\phi 5} + \sigma_{\phi 6})^2 + (\sigma_{\phi 3} + \sigma_{2\phi 3})^2} \quad \dots\dots\dots (3.1.4.1-104)$ $\sigma_{2x \times 1} = \sqrt{(\sigma_{x 5} + \sigma_{2x 5})^2 + (\sigma_{x 3} + \sigma_{2x 3})^2} \quad \dots\dots\dots (3.1.4.1-105)$ $\sigma_{21} = \sigma_{2\phi \times 1} + \sigma_{2x \times 1} + \sqrt{(\sigma_{2\phi \times 1} - \sigma_{2x \times 1})^2} \quad \dots\dots\dots (3.1.4.1-106)$ <p>第2評価点については</p> <p>【絶対値和】</p> $\sigma_{2\phi \times 2} = \sigma_{\phi 3} + \sigma_{2\phi 3} + \sigma_{\phi 6} \quad \dots\dots\dots (3.1.4.1-107)$ $\sigma_{2x \times 2} = \sigma_{x 3} + \sigma_{2x 3} \quad \dots\dots\dots (3.1.4.1-108)$ $\sigma_{22} = \sigma_{2\phi \times 2} + \sigma_{2x \times 2} + \sqrt{(\sigma_{2\phi \times 2} - \sigma_{2x \times 2})^2 + 4\tau_1^2} \quad (3.1.4.1-109)$ <p>【SRSS法】</p> $\sigma_{2\phi \times 2} = \sqrt{(\sigma_{\phi 3} + \sigma_{2\phi 3})^2 + \sigma_{\phi 6}^2} \quad \dots\dots\dots (3.1.4.1-110)$ $\sigma_{2x \times 2} = \sigma_{x 3} + \sigma_{2x 3} \quad \dots\dots\dots (3.1.4.1-111)$ $\sigma_{22} = \sigma_{2\phi \times 2} + \sigma_{2x \times 2} + \sqrt{(\sigma_{2\phi \times 2} - \sigma_{2x \times 2})^2 + 4\tau_1^2} \quad (3.1.4.1-112)$
<p>(30) 頁へ</p>		

別紙 1-25 横置一胴円筒形容器	別紙 1-24 中間支持たて置円筒形容器 (1 ラグ支持)	別紙 1-43 中間支持たて置円筒形容器 (長手方向 2 ラグ支持)
<p>c. 地震動のみによる一次+二次応力の変動値 【絶対値和】</p> <p>(a) 長手方向地震及び鉛直方向地震が作用した場合</p> $\sigma_{21} = \sigma_{21\phi} + \sigma_{21x} + \sqrt{(\sigma_{21\phi} - \sigma_{21x})^2 + 4\tau_1^2} \quad \dots\dots (3.1.4.1-82)$ <p>ここで,</p> $\sigma_{21\phi} = \sigma_{\phi 2} + \sigma_{\phi 4} + \sigma_{\phi 7} + \sigma_{\phi 8} \quad \dots\dots (3.1.4.1-83)$ $\sigma_{21x} = \sigma_{x 4} + \sigma_{x 5} + \sigma_{x 6} + \sigma_{x 7} + \sigma_{x 8} \quad \dots\dots (3.1.4.1-84)$ <p>(b) 横方向地震及び鉛直方向地震が作用した場合</p> $\sigma_{2c} = \sigma_{2c\phi} + \sigma_{2cx} + \sqrt{(\sigma_{2c\phi} - \sigma_{2cx})^2 + 4\tau_c^2} \quad \dots\dots (3.1.4.1-85)$ <p>ここで,</p> $\sigma_{2c\phi} = \sigma_{\phi 2} + \sigma_{\phi 5} + \sigma_{\phi 6} + \sigma_{\phi 7} + \sigma_{\phi 8} \quad \dots\dots (3.1.4.1-86)$ $\sigma_{2cx} = \sigma_{x 5} + \sigma_{x 6} + \sigma_{x 7} + \sigma_{x 8} \quad \dots\dots (3.1.4.1-87)$ <p>【SRSS法】</p> <p>(a) 長手方向地震及び鉛直方向地震が作用した場合</p> $\sigma_{21} = \sigma_{21\phi} + \sigma_{21x} + \sqrt{(\sigma_{21\phi} - \sigma_{21x})^2 + 4\tau_1^2} \quad \dots\dots (3.1.4.1-88)$ <p>ここで,</p> $\sigma_{21\phi} = \sqrt{(\sigma_{\phi 2} + \sigma_{\phi 7} + \sigma_{\phi 8})^2 + (\sigma_{\phi 4} + \sigma_{\phi 5})^2} \quad \dots\dots (3.1.4.1-89)$ $\sigma_{21x} = \sqrt{(\sigma_{x 4} + \sigma_{x 5})^2 + (\sigma_{x 6} + \sigma_{x 7} + \sigma_{x 8})^2} \quad \dots\dots (3.1.4.1-90)$ <p>(b) 横方向地震及び鉛直方向地震が発生した場合</p> $\sigma_{2c} = \sigma_{2c\phi} + \sigma_{2cx} + \sqrt{(\sigma_{2c\phi} - \sigma_{2cx})^2 + 4\tau_c^2} \quad \dots\dots (3.1.4.1-91)$ <p>ここで,</p> $\sigma_{2c\phi} = \sqrt{(\sigma_{\phi 2} + \sigma_{\phi 7} + \sigma_{\phi 8})^2 + (\sigma_{\phi 5} + \sigma_{\phi 6})^2} \quad \dots\dots (3.1.4.1-92)$ $\sigma_{2cx} = \sqrt{(\sigma_{x 5} + \sigma_{x 6})^2 + (\sigma_{x 7} + \sigma_{x 8})^2} \quad \dots\dots (3.1.4.1-93)$ <p>したがって、胴板に生じる地震動のみによる一次+二次応力の変動値の最大値は、次式で表される。</p> $\sigma_2 = \max [\sigma_{21}, \sigma_{2c}] \quad \dots\dots (3.1.4.1-94)$	<p>e. Z方向地震及び鉛直方向地震が作用した場合の地震動のみによる一次+二次応力の変動値 第1評価点については,</p> $\sigma_{23} = \sigma_{2\phi z 1} + \sigma_{2xz 1} + \sqrt{(\sigma_{2\phi z 1} - \sigma_{2xz 1})^2 + 4\tau_c^2} \quad \dots\dots (3.1.4.1-81)$ <p>【絶対値和】</p> $\sigma_{2\phi z 1} = \sigma_{\phi 5} + \sigma_{\phi 6} + \sigma_{\phi 8} \quad \dots\dots (3.1.4.1-82)$ $\sigma_{2xz 1} = \sigma_{x 5} + \sigma_{x 6} \quad \dots\dots (3.1.4.1-83)$ <p>【SRSS法】</p> $\sigma_{2\phi z 1} = \sigma_{\phi 5} + \sigma_{\phi 6} + \sigma_{\phi 8} \quad \dots\dots (3.1.4.1-84)$ $\sigma_{2xz 1} = \sigma_{x 5} + \sigma_{x 6} \quad \dots\dots (3.1.4.1-85)$ <p>第2評価点については,</p> $\sigma_{24} = \sigma_{2\phi z 2} + \sigma_{2xz 2} + \sqrt{(\sigma_{2\phi z 2} - \sigma_{2xz 2})^2 + 4\tau_1^2} \quad \dots\dots (3.1.4.1-86)$ <p>【絶対値和】</p> $\sigma_{2\phi z 2} = \sigma_{\phi 4} + \sigma_{\phi 7} + \sigma_{\phi 8} \quad \dots\dots (3.1.4.1-87)$ $\sigma_{2xz 2} = \sigma_{x 4} + \sigma_{x 6} \quad \dots\dots (3.1.4.1-88)$ <p>【SRSS法】</p> $\sigma_{2\phi z 2} = \sqrt{(\sigma_{\phi 4} + \sigma_{\phi 7})^2 + \sigma_{\phi 8}^2} \quad \dots\dots (3.1.4.1-89)$ $\sigma_{2xz 2} = \sigma_{x 4} + \sigma_{x 6} \quad \dots\dots (3.1.4.1-90)$ <p>したがって、胴板の地震動のみによる一次+二次応力の変動値の最大値は、次式で表される。</p> $\sigma_2 = \max [\sigma_{21}, \sigma_{22}, \sigma_{23}, \sigma_{24}] \quad \dots\dots (3.1.4.1-91)$	<p>f. Z方向地震及び鉛直方向地震が作用した場合の地震動のみによる一次+二次応力の変動値 第1評価点については</p> $\sigma_{2\phi z 1} = \sigma_{\phi 5} + \sigma_{\phi 6} + \sigma_{\phi 8} \quad \dots\dots (3.1.4.1-113)$ $\sigma_{2xz 1} = \sigma_{x 5} + \sigma_{x 6} \quad \dots\dots (3.1.4.1-114)$ $\sigma_{23} = \sigma_{2\phi z 1} + \sigma_{2xz 1} + \sqrt{(\sigma_{2\phi z 1} - \sigma_{2xz 1})^2 + 4\tau_c^2} \quad \dots (3.1.4.1-115)$ <p>第2評価点については</p> <p>【絶対値和】</p> $\sigma_{2\phi z 2} = \sigma_{\phi 4} + \sigma_{\phi 7} + \sigma_{\phi 8} \quad \dots\dots (3.1.4.1-116)$ $\sigma_{2xz 2} = \sigma_{x 4} + \sigma_{x 6} \quad \dots\dots (3.1.4.1-117)$ $\sigma_{24} = \sigma_{2\phi z 2} + \sigma_{2xz 2} + \sqrt{(\sigma_{2\phi z 2} - \sigma_{2xz 2})^2 + 4\tau_1^2} \quad (3.1.4.1-118)$ <p>【SRSS法】</p> $\sigma_{2\phi z 2} = \sqrt{(\sigma_{\phi 4} + \sigma_{\phi 7})^2 + \sigma_{\phi 8}^2} \quad \dots\dots (3.1.4.1-119)$ $\sigma_{2xz 2} = \sigma_{x 4} + \sigma_{x 6} \quad \dots\dots (3.1.4.1-120)$ $\sigma_{24} = \sigma_{2\phi z 2} + \sigma_{2xz 2} + \sqrt{(\sigma_{2\phi z 2} - \sigma_{2xz 2})^2 + 4\tau_1^2} \quad (3.1.4.1-121)$ <p>したがって、胴板に生じる地震動のみによる一次+二次応力の最大値は、次式で表される。</p> $\sigma_2 = \max [\sigma_{21}, \sigma_{22}, \sigma_{23}, \sigma_{24}] \quad \dots\dots (3.1.4.1-122)$
<p>(29) 頁から</p>		

別紙 1-25 横置一胴円筒形容器	別紙 1-24 中間支持たて置円筒形容器（1 ラグ支持）	別紙 1-43 中間支持たて置円筒形容器（長手方向 2 ラグ支持）
<p>3.1.4.2 脚の応力 脚の最大組合せ応力σ_sは、次式により算出する。 (1) 運転時質量及び鉛直方向地震による圧縮応力 運転時質量及び鉛直方向地震による圧縮応力は、次式で表される。</p>	<p>3.1.4.2 ラグの応力 ラグの組合せ応力σ_sは、次式により算出する。 (1) 運転時質量による応力 運転時質量による応力は、次式で表される。</p>	<p>3.1.4.2 ラグの応力 ラグの最大組合せ応力σ_sは、次式により算出する。 ラグが受ける荷重R_2がR_1よりも大きいときは、R_1をR_2と置き換えて計算する。 (1) 運転時質量による応力</p>
$\sigma_{s1} = \frac{R_1 + m_s g}{A_s} \dots\dots\dots (3.1.4.2-1)$ $\sigma_{s4} = \frac{R_1 + m_s g}{A_s} C_v \dots\dots\dots (3.1.4.2-2)$	$\sigma_{s1} = \frac{R h_2}{Z_{s1}} \dots\dots\dots (3.1.4.2-1)$ $\tau_{s1} = \frac{R}{A_{s2}} \dots\dots\dots (3.1.4.2-2)$	<p>曲げ応力及び圧縮応力は、次式で表される。</p> $\sigma_{s1} = \frac{M_{11}}{Z_{s1}} + \frac{P_1}{A_s} \dots\dots\dots (3.1.4.2-1)$ <p>ここで、</p> $M_{11} = \frac{1}{2} m_0 g h_1 \dots\dots\dots (3.1.4.2-2)$ <p>ただし、ラグ支持端が単純支持の場合は係数1/2を1に置き換えるものとする。 せん断応力は、次式で表される。</p> $\tau_{s1} = \frac{m_0 g}{A_{s2}} \dots\dots\dots (3.1.4.2-3)$
<p>(2) 長手方向地震による応力 曲げ応力及び圧縮応力は、次式で表される。</p> $\sigma_{s2} = \frac{M_{11}}{Z_{sy}} + \frac{P_1}{A_s} \dots\dots\dots (3.1.4.2-3)$ <p>ここで、</p> $M_{11} = \frac{1}{2} C_H m_0 g h_1 \dots\dots\dots (3.1.4.2-4)$ <p>ただし、脚下端が単純支持の場合は係数1/2を1に置き換えるものとする。 せん断応力は、次式で表される。</p> $\tau_{s2} = \frac{C_H m_0 g}{A_{s3}} \dots\dots\dots (3.1.4.2-5)$	<p>(2) 鉛直方向地震による応力 鉛直方向地震による応力は、次式で表される。</p> $\sigma_{s4} = \frac{R_s h_2}{Z_{s1}} \dots\dots\dots (3.1.4.2-3)$ $\tau_{s2} = \frac{R_s}{A_{s2}} \dots\dots\dots (3.1.4.2-4)$ <p>(3) X方向地震による応力 X方向地震による応力は、次式で表される。</p> $\sigma_{s2} = \frac{P}{A_s} \dots\dots\dots (3.1.4.2-5)$	<p>(2) 鉛直方向地震による応力 曲げ応力及び圧縮応力は、次式で表される。</p> $\sigma_{s4} = \frac{M_{1c1}}{Z_{s1}} + \frac{P_1 c}{A_s} \dots\dots\dots (3.1.4.2-4)$ <p>ここで、</p> $M_{1c1} = \frac{1}{2} C_v m_0 g h_1 \dots\dots\dots (3.1.4.2-5)$ <p>ただし、ラグ支持端が単純支持の場合は係数1/2を1に置き換えるものとする。 せん断応力は、次式で表される。</p> $\tau_{s4} = \frac{C_v m_0 g}{A_{s2}} \dots\dots\dots (3.1.4.2-6)$ <p>(3) X方向地震による応力 X方向地震による応力は、次式で表される。</p> $\sigma_{s2} = \frac{C_H (R_1 + m_s g)}{A} \dots\dots\dots (3.1.4.2-7)$
<p>(3) 横方向地震による応力 曲げ応力は、次式で表される。</p> $\sigma_{s3} = \frac{C_H (R_1 + m_s g) h_2}{Z_{sx}} \dots\dots\dots (3.1.4.2-6)$ <p>せん断応力は、次式で表される。</p> $\tau_{s3} = \frac{C_H (R_1 + m_s g)}{A_{s4}} \dots\dots\dots (3.1.4.2-7)$	<p>(4) Z方向地震による応力 Z方向地震による応力は、次式で表される。</p> $\sigma_{s3} = \frac{Q h_2}{Z_{s2}} \dots\dots\dots (3.1.4.2-8)$ $\tau_{s3} = \frac{Q}{A_{s3}} \dots\dots\dots (3.1.4.2-7)$	<p>(4) Z方向地震による応力 曲げ応力は、次式で表される。</p> $\sigma_{s3} = \frac{C_H (R_1 + m_s g) h_2}{Z_{s2}} \dots\dots\dots (3.1.4.2-8)$ <p>せん断応力は、次式で表される。</p> $\tau_{s3} = \frac{C_H (R_1 + m_s g)}{A_{s3}} \dots\dots\dots (3.1.4.2-9)$

②

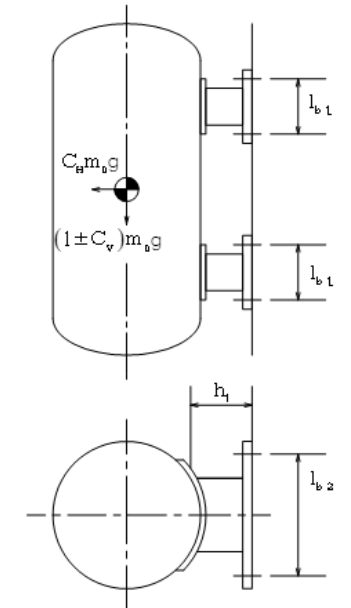
②

②

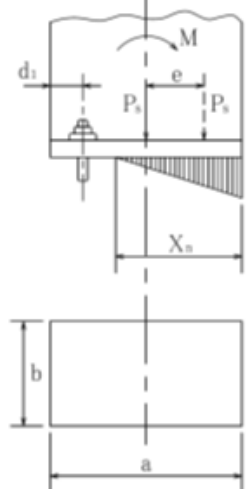
別紙 1-25 横置一胴円筒形容器	別紙 1-24 中間支持たて置円筒形容器 (1 ラグ支持)	別紙 1-43 中間支持たて置円筒形容器 (長手方向 2 ラグ支持)
<p>(4) 組合せ応力 脚の最大組合せ応力は、次式で表される。 【絶対値和】 長手方向地震及び鉛直方向地震が作用する場合</p>	<p>(5) 組合せ応力 ラグの最大組合せ応力は、次式で表される。 X方向地震及び鉛直方向地震が作用した場合 【絶対値和】</p>	<p>(5) 組合せ応力 ラグの最大組合せ応力は、次式で表される。 X方向地震及び鉛直方向地震が作用する場合 【絶対値和】</p>
$\sigma_{s1} = \sqrt{(\sigma_{s1} + \sigma_{s2} + \sigma_{s4})^2 + 3\tau_{s2}^2} \dots\dots\dots (3.1.4.2-8)$ <p>横方向地震及び鉛直方向地震が作用する場合</p> $\sigma_{s0} = \sqrt{(\sigma_{s1} + \sigma_{s3} + \sigma_{s4})^2 + 3\tau_{s3}^2} \dots\dots\dots (3.1.4.2-9)$	$\sigma_{sx} = \sqrt{(\sigma_{s1} + \sigma_{s4} + \sigma_{s2})^2 + 3(\tau_{s1} + \tau_{s2})^2} \dots\dots\dots (3.1.4.2-8)$ <p>【SRSS法】</p> $\sigma_{sx} = \sqrt{(\sigma_{s1} + \sqrt{\sigma_{s4}^2 + \sigma_{s2}^2})^2 + 3(\tau_{s1} + \tau_{s2})^2} \dots\dots\dots (3.1.4.2-9)$	$\sigma_{sx} = \sqrt{(\sigma_{s1} + \sigma_{s2} + \sigma_{s4})^2 + 3(\tau_{s1} + \tau_{s4})^2} \dots\dots\dots (3.1.4.2-10)$ <p>【SRSS法】</p> $\sigma_{sx} = \sqrt{(\sigma_{s1} + \sqrt{\sigma_{s2}^2 + \sigma_{s4}^2})^2 + 3(\tau_{s1} + \tau_{s4})^2} \dots\dots\dots (3.1.4.2-11)$
<p>【SRSS法】 長手方向地震及び鉛直方向地震が作用する場合</p>	<p>Z方向地震及び鉛直方向地震が作用した場合 【絶対値和】</p>	<p>Z方向地震及び鉛直方向地震が作用する場合 【絶対値和】</p>
$\sigma_{s1} = \sqrt{(\sigma_{s1} + \sqrt{\sigma_{s2}^2 + \sigma_{s4}^2})^2 + 3\tau_{s2}^2} \dots\dots\dots (3.1.4.2-10)$ <p>横方向地震及び鉛直方向地震が作用する場合</p> $\sigma_{s0} = \sqrt{(\sigma_{s1} + \sqrt{\sigma_{s3}^2 + \sigma_{s4}^2})^2 + 3\tau_{s3}^2} \dots\dots\dots (3.1.4.2-11)$	$\sigma_{sz} = \sqrt{(\sigma_{s1} + \sigma_{s4} + \sigma_{s3})^2 + 3(\tau_{s1} + \tau_{s2} + \tau_{s3})^2} \dots\dots\dots (3.1.4.2-10)$ <p>【SRSS法】</p> $\sigma_{sz} = \sqrt{(\sigma_{s1} + \sqrt{\sigma_{s4}^2 + \sigma_{s3}^2})^2 + 3(\tau_{s1} + \sqrt{\tau_{s2}^2 + \tau_{s3}^2})^2} \dots\dots\dots (3.1.4.2-11)$	$\sigma_{sz} = \sqrt{(\sigma_{s1} + \sigma_{s3} + \sigma_{s4})^2 + 3(\tau_{s1} + \tau_{s4} + \tau_{s3})^2} \dots\dots\dots (3.1.4.2-12)$ <p>【SRSS法】</p> $\sigma_{sz} = \sqrt{(\sigma_{s1} + \sqrt{\sigma_{s3}^2 + \sigma_{s4}^2})^2 + 3(\tau_{s1} + \sqrt{\tau_{s4}^2 + \tau_{s3}^2})^2} \dots\dots\dots (3.1.4.2-13)$
<p>したがって、脚に生じる最大組合せ応力は、次式で表される。</p> $\sigma_s = \max[\sigma_{s1}, \sigma_{s0}] \dots\dots\dots (3.1.4.2-12)$	<p>したがって、ラグに生じる組合せ応力の最大値は、次式で表される。</p> $\sigma_s = \max[\sigma_{sx}, \sigma_{sz}] \dots\dots\dots (3.1.4.2-12)$	<p>したがって、ラグに生じる組合せ応力の最大値は、次式で表される。</p> $\sigma_s = \max[\sigma_{sx}, \sigma_{sz}] \dots\dots\dots (3.1.4.2-14)$

②

②

別紙 1-25 横置一胴円筒形容器	別紙 1-24 中間支持たて置円筒形容器（1 ラグ支持）	別紙 1-43 中間支持たて置円筒形容器（長手方向 2 ラグ支持）
<p>3.1.4.3 基礎ボルトの応力</p> <p>基礎ボルトの最大せん断応力τ_b及び最大引張応力σ_bは、次式により算出する。</p> <p>(1) 長手方向地震及び鉛直方向地震が作用した場合</p> <p>a. せん断応力 せん断応力は、次式で表される。</p> $\tau_{b1} = \frac{C_H m_0 g}{n A_b} \dots\dots\dots (3.1.4.3-1)$ <p>b. 引張応力 長手方向地震及び鉛直方向地震が作用した場合に脚底面に作用するモーメントは、次式で表される。</p> $M = M_{11} \dots\dots\dots (3.1.4.3-2)$ <p>鉛直荷重は 【絶対値和】</p> $P_s = (R_1 + m_s g)(1 - C_v) - P_1 \dots\dots\dots (3.1.4.3-3)$ <p>【SRSS法】</p> $P_s = R_1 + m_s g - \sqrt{\{C_v (R_1 + m_s g)\}^2 + P_1^2} \dots\dots\dots (3.1.4.3-4)$ <p>である。今モーメントと圧縮荷重の比を</p> $e = M / P_s \dots\dots\dots (3.1.4.3-5)$ <p>とすると、eが負の場合又は</p> $e > \frac{a}{b} + \frac{d_1}{3} \dots\dots\dots (3.1.4.3-6)$ <p>の時、基礎ボルトに引張力が作用し、この引張力は次のようにして求められる。</p> <p>今、中立軸の位置X_nを</p> $X_n^3 + 3 \left(e - \frac{a}{2} \right) X_n^2 - \frac{6 s A_b n_1}{b} \left(e + \frac{a}{2} - d_1 \right) (a - d_1 - X_n) = 0 \dots\dots\dots (3.1.4.3-7)$ <p>より求めると、基礎ボルトに作用する引張力は、次式で表される。</p> $F_b = \frac{P_s \left(e - \frac{a}{2} + \frac{X_n}{3} \right)}{a - d_1 - \frac{X_n}{3}} \dots\dots\dots (3.1.4.3-8)$	<p>3.1.4.3 取付ボルトの応力</p> <p>取付ボルトの引張応力σ_b及びせん断応力τ_bは、次式により算出する。</p>	<p>3.1.4.3 取付ボルトの応力</p> <p>取付ボルトの最大引張応力σ_b及び最大せん断応力τ_bは、次式により算出する。 ラグが受ける荷重R_2がR_1よりも大きいときは、R_1をR_2と置き換えて計算する。</p> <p>荷重の作用方向を第 3.1.4.3-1 図に示す。</p> <p>(1) 運転時質量による応力 引張応力は、次式で表される。</p> $\sigma_{b1} = \frac{M_{11}}{n_1 A_b l_{b1}} \dots\dots\dots (3.1.4.3-1)$ <p>ただし、ラグ支持端が単純支持の場合はラグ端面にモーメントは生じない。 せん断応力は、次式で表される。</p> $\tau_{b1} = \frac{m_0 g}{2 n A_b} \dots\dots\dots (3.1.4.3-2)$  <p>第 3.1.4.3-1 図 荷重の作用方向</p>

①②

別紙 1-25 横置一胴円筒形容器	別紙 1-24 中間支持たて置円筒形容器 (1 ラグ支持)	別紙 1-43 中間支持たて置円筒形容器 (長手方向 2 ラグ支持)
 <p>第 3.1.4.3-1 図 基礎部に作用する外荷重により生ずる荷重の関係</p> <p>したがって、基礎ボルトに生じる引張応力は、次式で表される。</p> $\sigma_{b1} = \frac{F_b}{n_1 A_b} \dots\dots\dots (3.1.4.3-9)$ <p>ただし、脚下端が単純支持の場合は脚底面にはモーメントが作用しないので、鉛直荷重 P_s が負のときに基礎ボルトに引張応力が生じる。</p> $F_b = -P_s \dots\dots\dots (3.1.4.3-10)$ $\sigma_{b1} = \frac{F_b}{n A_b} \dots\dots\dots (3.1.4.3-11)$ <p>(2) 横方向地震及び鉛直方向地震が作用した場合 脚の受ける質量 R_2 が R_1 よりも大きいときは、R_1 を R_2 と置き換えて計算する。</p> <p>a. せん断応力 せん断応力は、次式で表される。</p> $\tau_{b2} = \frac{C_H(R_1 + m_s g)}{n A_b} \dots\dots\dots (3.1.4.3-12)$		<p>(2) X方向地震による応力 引張応力は、次式で表される。</p> $\sigma_{b2} = \frac{C_H(R_1 + m_s g)}{n A_b} \dots\dots\dots (3.1.4.3-3)$ <p>(3) Z方向地震による応力 引張応力は、次式で表される。</p> $\sigma_{b3} = \frac{C_H(R_1 + m_s g) h_2}{n_2 A_b l_{b2}} \dots\dots\dots (3.1.4.3-4)$ <p>せん断応力は、次式で表される。</p> $\tau_{b3} = \frac{C_H(R_1 + m_s g)}{n A_b} \dots\dots\dots (3.1.4.3-5)$

①②

別紙 1-25 横置一胴円筒形容器	別紙 1-24 中間支持たて置円筒形容器 (1 ラグ支持)	別紙 1-43 中間支持たて置円筒形容器 (長手方向 2 ラグ支持)
<p>b. 引張応力 横方向の地震が作用した場合に脚底面に作用するモーメントは、次式で表される。 $M_{o1} = C_H(R_1 + m_s g) h_2 \quad \dots\dots\dots (3.1.4.3-13)$ 鉛直力は $P_{s1} = (R_1 + m_s g)(1 - C_V) \quad \dots\dots\dots (3.1.4.3-14)$ で表される。 (1)と同様にして引張応力は求められるが、M_{o1}はMとし、P_{s1}はP_s、d_2はd_1、aはb、bはa、n_2はn_1と置き換え、得られた基礎ボルトの応力をσ_{b2}とする。</p>	<p>(1) X方向地震及び鉛直方向地震が作用した場合 ボルトの引張応力は、 【絶対値和】 $\sigma_{bx} = \frac{m_o g (1 + C_V) h_2}{n_1 A_b l_{b1}} + \frac{P}{n A_b} \quad \dots\dots\dots (3.1.4.3-1)$ 【SRSS法】 $\sigma_{bx} = \frac{m_o g h_2}{n_1 A_b l_{b1}} + \sqrt{\left(\frac{m_o g C_V h_2}{n_1 A_b l_{b1}}\right)^2 + \left(\frac{P}{n A_b}\right)^2} \quad \dots\dots\dots (3.1.4.3-2)$ ボルトのせん断応力は、 【絶対値和】 $\tau_{bx} = \frac{m_o g (1 + C_V)}{n A_b} \quad \dots\dots\dots (3.1.4.3-3)$ 【SRSS法】 $\tau_{bx} = \frac{m_o g (1 + C_V)}{n A_b} \quad \dots\dots\dots (3.1.4.3-4)$ </p>	<p>(4) 鉛直方向地震による応力 引張応力は、次式で表される。 $\sigma_{b4} = \frac{M_{o1}}{n_1 A_b l_{b1}} \quad \dots\dots\dots (3.1.4.3-6)$ ただし、ラグ支持端が単純支持の場合はラグ端面にモーメントは作用しない。せん断応力は、次式で表される。 $\tau_{b4} = \frac{C_V m_o g}{2 n A_b} \quad \dots\dots\dots (3.1.4.3-7)$ <p>(5) 応力の組合せ (1)~(4)によって算出される取付ボルトに生じる応力は、以下により組み合わせられる。 X方向地震及び鉛直方向地震が作用する場合 【絶対値和】 $\sigma_{bx} = \sigma_{b1} + \sigma_{b2} + \sigma_{b4} \quad \dots\dots\dots (3.1.4.3-8)$ $\tau_{bx} = \tau_{b1} + \tau_{b4} \quad \dots\dots\dots (3.1.4.3-9)$ 【SRSS法】 $\sigma_{bx} = \sigma_{b1} + \sqrt{\sigma_{b2}^2 + \sigma_{b4}^2} \quad \dots\dots\dots (3.1.4.3-10)$ $\tau_{bx} = \tau_{b1} + \tau_{b4} \quad \dots\dots\dots (3.1.4.3-11)$ </p> </p>

①②

別紙 1-25 横置一胴円筒形容器	別紙 1-24 中間支持たて置円筒形容器 (1 ラグ支持)	別紙 1-43 中間支持たて置円筒形容器 (長手方向 2 ラグ支持)
<p>したがって、基礎ボルトに生じる最大応力は、次式で表される。</p> $\sigma_b = \max [\sigma_{b1}, \sigma_{b2}] \dots\dots\dots (3.1.4.3-15)$ $\tau_b = \max [\tau_{b1}, \tau_{b2}] \dots\dots\dots (3.1.4.3-16)$	<p>(2) Z方向地震及び鉛直方向地震が作用した場合 ボルトの引張応力は、 【絶対値和】</p> $\sigma_{bz} = \frac{m_0 g (1+C_v) h_z}{n_1 A_b l_{b1}} + \frac{Q h_z}{n_2 A_b l_{b2}} \dots\dots\dots (3.1.4.3-5)$ <p>【SRSS法】</p> $\sigma_{bz} = \frac{m_0 g h_z}{n_1 A_b l_{b1}} + \sqrt{\left(\frac{m_0 g C_v h_z}{n_1 A_b l_{b1}}\right)^2 + \left(\frac{Q h_z}{n_2 A_b l_{b2}}\right)^2} \dots\dots (3.1.4.3-6)$ <p>ボルトのせん断応力は、 【絶対値和】</p> $\tau_{bz} = \frac{m_0 g}{n A_b} + \frac{m_0 g C_v}{n A_b} + \frac{Q}{n A_b} \dots\dots\dots (3.1.4.3-7)$ <p>【SRSS法】</p> $\tau_{bz} = \frac{m_0 g}{n A_b} + \sqrt{\left(\frac{m_0 g C_v}{n A_b}\right)^2 + \left(\frac{Q}{n A_b}\right)^2} \dots\dots\dots (3.1.4.3-8)$ <p>したがって、取付ボルトに生じる引張応力の最大値及びせん断応力の最大値は、次式で表される。</p> $\sigma_b = \max [\sigma_{bx}, \sigma_{bz}] \dots\dots\dots (3.1.4.3-9)$ $\tau_b = \max [\tau_{bx}, \tau_{bz}] \dots\dots\dots (3.1.4.3-10)$ <div data-bbox="1291 1192 1573 1701" style="text-align: center;"> </div> <p>第 3.1.4.3-1 図 荷重の作用方向</p>	<p>Z方向地震及び鉛直方向地震が作用する場合 【絶対値和】</p> $\sigma_{bz} = \sigma_{b1} + \sigma_{b3} + \sigma_{b4} \dots\dots\dots (3.1.4.3-12)$ $\tau_{bz} = \sqrt{(\tau_{b1} + \tau_{b4})^2 + \tau_{b3}^2} \dots\dots\dots (3.1.4.3-13)$ <p>【SRSS法】</p> $\sigma_{bz} = \sigma_{b1} + \sqrt{\sigma_{b3}^2 + \sigma_{b4}^2} \dots\dots\dots (3.1.4.3-14)$ $\tau_{bz} = \sqrt{(\tau_{b1} + \tau_{b4})^2 + \tau_{b3}^2} \dots\dots\dots (3.1.4.3-15)$ <p>したがって、取付ボルトに生じる最大応力は、次式で表される。</p> $\sigma_b = \max [\sigma_{bx}, \sigma_{bz}] \dots\dots\dots (3.1.4.3-16)$ $\tau_b = \max [\tau_{bx}, \tau_{bz}] \dots\dots\dots (3.1.4.3-17)$

①②

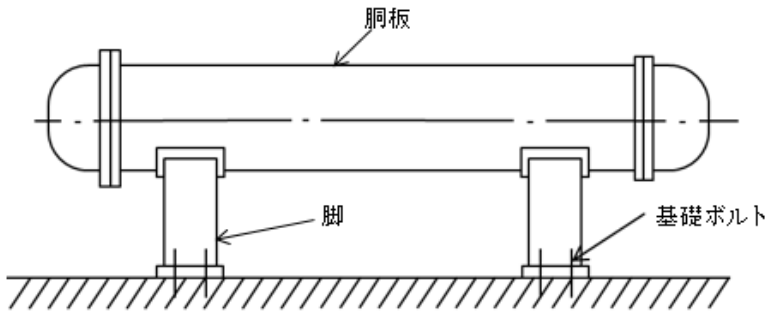
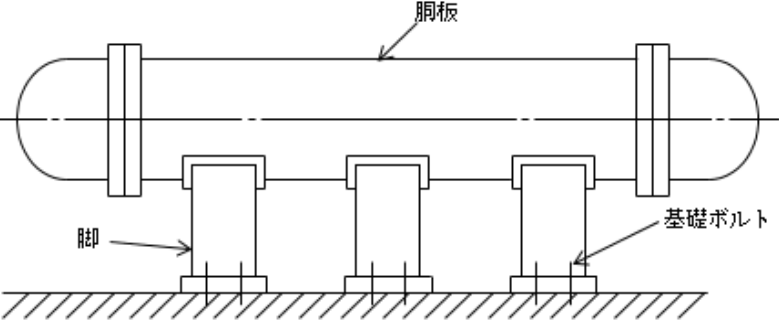
別紙 1-25 横置一胴円筒形容器	別紙 1-24 中間支持たて置円筒形容器（1 ラグ支持）	別紙 1-43 中間支持たて置円筒形容器（長手方向 2 ラグ支持）
<p>3.2 評価</p> <p>3.1.4 項で算出した応力が、「IV-1-1-8 機能維持の基本方針(a.容器, e.支持構造物)」に基づく許容応力以下であること。</p> <p>ここで、3.1.4.3項で算出した基礎ボルトの引張応力σ_bは、下記2式より算出した許容引張応力$1.5 f_{ts}$以下であること。なお、基準地震動S_sによる評価ではf_{ts}をf_{ts}^*に読み替える。</p> $1.5 f_{ts} = 1.4 f_{to} - 1.8 \tau_b \dots\dots\dots (3.2-1)$ $1.5 f_{ts} \leq f_{to} \dots\dots\dots (3.2-2)$ <p>4. 引用文献</p> <p>(1) “Local Stresses in Spherical and Cylindrical Shells due to External Loadings” (WELDING RESEARCH COUNCIL BULLETIN No. 107 AUG. 1965. REV. MAR. 1979)</p> <p>(2) “Stresses in Large Horizontal Cylindrical Pressure Vessels on Two Saddle Supports” (WELDING RESEARCH SUPPLEMENT SEP. 1951)</p>	<p>3.2 評価</p> <p>3.1.4項で算出した応力が、「IV-1-1-8 機能維持の基本方針(a.容器, e.支持構造物)」に基づく許容応力以下であること。</p> <p>ここで、3.1.4.3項で算出した取付ボルトの引張応力σ_bは、下記2式より算出した許容引張応力$1.5 f_{ts}$以下であること。なお、基準地震動S_sによる評価ではf_{ts}をf_{ts}^*に読み替える。</p> $1.5 f_{ts} = 1.4 f_{to} - 1.8 \tau_b \dots\dots\dots (3.2-1)$ $1.5 f_{ts} \leq f_{to} \dots\dots\dots (3.2-2)$ <p>4. 引用文献</p> <p>(1) “Local Stresses in Spherical and Cylindrical Shells due to External Loadings” (WELDING RESEARCH COUNCIL BULLETIN No. 107 AUG. 1965. REV. MAR. 1979)</p>	<p>3.2 評価</p> <p>3.1.4項で算出した応力が、「IV-1-1-8 機能維持の基本方針(a.容器, e.支持構造物)」に基づく許容応力以下であること。</p> <p>ここで、3.1.4.3項で算出した取付ボルトの引張応力σ_bは、下記2式より算出した許容引張応力$1.5 f_{ts}$以下であること。なお、基準地震動S_sによる評価ではf_{ts}をf_{ts}^*に読み替える。</p> $1.5 f_{ts} = 1.4 f_{to} - 1.8 \tau_b \dots\dots\dots (3.2-1)$ $1.5 f_{ts} \leq f_{to} \dots\dots\dots (3.2-2)$ <p>4. 引用文献</p> <p>(1) “Local Stresses in Spherical and Cylindrical Shells due to External Loadings” (WELDING RESEARCH COUNCIL BULLETIN No. 107 AUG. 1965. REV. MAR. 1979)</p> <p>(2) “Stresses in Large Horizontal Cylindrical Pressure Vessels on Two Saddle Supports” (WELDING RESEARCH SUPPLEMENT SEP.1951)</p>

別紙 1-25 横置一胴円筒形容器	別紙 1-24 中間支持たて置円筒形容器（1 ラグ支持）	別紙 1-43 中間支持たて置円筒形容器（長手方向 2 ラグ支持）																								
<p>5. 地震時の臨界安全性評価</p> <p>5.1 評価方針</p> <p>横置一胴円筒形容器に対する地震時の臨界安全性評価は、地震時の変位評価として、評価対象機器の固有周期の計算を行い、地震時の変位量が許容変位に対し小さいことを確認する。</p> <p>5.1.1 計算条件</p> <p>計算条件は、3.1.1項に示す計算条件を用いる。</p> <p>5.1.2 計算モデルの設定方法</p> <p>計算モデルは、3.1.3項に示す計算モデルを用いる。</p> <p>5.1.3 許容変位</p> <p>許容変位は、「IV-1-1-13 地震時の臨界安全性検討方針」に基づく。</p> <p>5.1.4 計算方法</p> <p>変位計算は、本項に示す方法に基づく。</p> <p>5.1.4.1 記号の説明</p> <table border="1" data-bbox="240 890 1018 1161"> <thead> <tr> <th>記号</th> <th>表示内容</th> <th>単位</th> </tr> </thead> <tbody> <tr> <td>C_H</td> <td>水平方向設計震度</td> <td>-</td> </tr> <tr> <td>g</td> <td>重力加速度(= 9.80665)</td> <td>m/s²</td> </tr> <tr> <td>K_c, K_1</td> <td>脚のばね定数</td> <td>N/mm</td> </tr> <tr> <td>m_0</td> <td>容器の有効運転時質量</td> <td>kg</td> </tr> <tr> <td>x</td> <td>地震時の変位</td> <td>mm</td> </tr> <tr> <td>x_c</td> <td>胴の横方向に水平力が作用する場合の地震時の変位</td> <td>mm</td> </tr> <tr> <td>x_1</td> <td>胴の長手方向に水平力が作用する場合の地震時の変位</td> <td>mm</td> </tr> </tbody> </table> <p>5.1.4.2 地震時の変位</p> <p>地震時変位は、3.1.3項に示すばね定数を求める計算式より、次式により算出する。</p> $x_1 = \frac{C_H m_0 g}{K_1} \dots\dots\dots (5.1.4.2-1)$ $x_c = \frac{C_H m_0 g}{K_c} \dots\dots\dots (5.1.4.2-2)$ $x = \max [x_1, x_c] \dots\dots\dots (5.1.4.2-3)$ <p>5.2 評価</p> <p>5.2.1 地震時の変位の評価</p> <p>5.1.4項で算出した地震時の変位は、「IV-1-1-13 地震時の臨界安全性検討方針」に示す臨界計算により定めた許容変位以下であること。</p> <p>6. 耐震計算書のフォーマット</p> <p>横置一胴円筒形容器の構造強度評価に対する耐震計算書のフォーマットは、以下のとおりである。</p>	記号	表示内容	単位	C_H	水平方向設計震度	-	g	重力加速度(= 9.80665)	m/s ²	K_c, K_1	脚のばね定数	N/mm	m_0	容器の有効運転時質量	kg	x	地震時の変位	mm	x_c	胴の横方向に水平力が作用する場合の地震時の変位	mm	x_1	胴の長手方向に水平力が作用する場合の地震時の変位	mm	<p>5. 耐震計算書のフォーマット</p> <p>中間支持たて置円筒形容器（1 ラグ支持）の構造強度評価に対する耐震計算書のフォーマットは、以下のとおりである。</p>	<p>5. 耐震計算書のフォーマット</p> <p>中間支持たて置円筒形容器（長手方向 2 ラグ支持）の構造強度評価に対する耐震計算書のフォーマットは、以下のとおりである。</p>
記号	表示内容	単位																								
C_H	水平方向設計震度	-																								
g	重力加速度(= 9.80665)	m/s ²																								
K_c, K_1	脚のばね定数	N/mm																								
m_0	容器の有効運転時質量	kg																								
x	地震時の変位	mm																								
x_c	胴の横方向に水平力が作用する場合の地震時の変位	mm																								
x_1	胴の長手方向に水平力が作用する場合の地震時の変位	mm																								

別紙 1-25 横置一胴円筒形容器	別紙 1-26 横置一胴円筒形容器 (3脚以上支持)	
<p>比較表の代表とする基本方針</p> <p>IV-1-2-1 別紙 1-25 横置一胴円筒形容器の耐震性に関する計算書作成の基本方針</p>	<p>IV-1-2-1 別紙 1-26 横置一胴円筒形容器 (3脚以上支持)の耐震性に関する計算書作成の基本方針</p>	
<p>・差分が生じている箇所を青枠にて示し、下記凡例の計算式における差異の要因に示す番号を右端に示す。</p> <p>・差分の比較表は見やすさの観点から 3 段表により示す。3 段表で示すに当たって類型化分類中に定型式が 4 つ以上存在する場合は、最左列を代表とした複数の 3 段表により全ての定型式の差分を示す。</p> <p>・複数の 3 段表を作成する際は、パラメータによる計算式の違いから比較表のずれを少なくするため、パラメータ式が類似する計算式ごとの比較結果を示す。本比較表においては 6 種類の基本方針に対し 3 つの比較表にて構成しており、比較表 1 では差異の要因として①～③が該当する別紙 1-27 と別紙 1-28 との比較、比較表 2 では差異の要因として①～②が該当する別紙 1-24 と別紙 1-43 の比較、比較表 3 では差異の要因として①が該当する別紙-1-26 との比較について示す。</p>		
<p>計算式における差異の要因の凡例</p> <p>①荷重作用方向</p> <p>②支持方法</p> <p>③傾斜の考慮</p>		

別紙 1-25 横置一胴円筒形容器	別紙 1-26 横置一胴円筒形容器（3脚以上支持）	
<p style="text-align: center;">目 次</p> <p style="text-align: right;">ページ</p> <p>1. 概要 1</p> <p>2. 準拠規格 1</p> <p>3. 構造強度評価 2</p> <p> 3.1 計算方法 2</p> <p> 3.1.1 計算条件 2</p> <p> 3.1.2 記号の説明 3</p> <p> 3.1.3 固有周期の計算方法 9</p> <p> 3.1.4 応力の計算方法 12</p> <p> 3.2 評価 26</p> <p>4. 引用文献 26</p> <p>5. 地震時の臨界安全性評価 27</p> <p> 5.1 評価方針 27</p> <p> 5.1.1 計算条件 27</p> <p> 5.1.2 計算モデルの設定方法 27</p> <p> 5.1.3 許容変位 27</p> <p> 5.1.4 計算方法 27</p> <p> 5.2 評価 28</p> <p> 5.2.1 地震時の変位の評価 28</p> <p>6. 耐震計算書のフォーマット 28</p>	<p style="text-align: center;">目 次</p> <p style="text-align: right;">ページ</p> <p>1. 概要 1</p> <p>2. 準拠規格 1</p> <p>3. 構造強度評価 2</p> <p> 3.1 計算方法 2</p> <p> 3.1.1 計算条件 2</p> <p> 3.1.2 記号の説明 3</p> <p> 3.1.3 固有周期の計算方法 9</p> <p> 3.1.4 応力の計算方法 12</p> <p> 3.2 評価 26</p> <p>4. 引用文献 26</p> <p>5. 耐震計算書のフォーマット 28</p>	

別紙 1-25 横置一胴円筒形容器	別紙 1-26 横置一胴円筒形容器（3脚以上支持）													
<p>1. 概要 本基本方針は、横置一胴円筒形容器の耐震性に関する計算書の計算方法を示す。 なお、本計算方法は、JEAG4601に準拠したものである。</p> <p>2. 準拠規格 「IV-1-1 耐震設計の基本方針」に示す規格のうち、本評価に対する準拠規格について第2-1表に示す。</p> <table border="1" data-bbox="243 611 1020 842"> <caption>第2-1表 準拠規格</caption> <thead> <tr> <th>準拠規格名</th> </tr> </thead> <tbody> <tr> <td>原子力発電所耐震設計技術指針 JEAG4601-1987</td> </tr> <tr> <td>原子力発電所耐震設計技術指針 重要度分類・許容応力編 JEAG4601・補-1984</td> </tr> <tr> <td>原子力発電所耐震設計技術指針 JEAG4601-1991 追補版</td> </tr> <tr> <td>発電用原子力設備規格 設計・建設規格(2005年版(2007年追補版を含む))</td> </tr> <tr> <td><第I編 軽水炉規格> JSME S NC1-2005/2007*</td> </tr> </tbody> </table> <p>注記 *：JSME S NC1以外に使用している鉄鋼材料の規格については、「V-2 強度計算方法」における添付-1「容器等の材料及び構造に関する設計の基本方針」に定められた値を準用することとする。</p>	準拠規格名	原子力発電所耐震設計技術指針 JEAG4601-1987	原子力発電所耐震設計技術指針 重要度分類・許容応力編 JEAG4601・補-1984	原子力発電所耐震設計技術指針 JEAG4601-1991 追補版	発電用原子力設備規格 設計・建設規格(2005年版(2007年追補版を含む))	<第I編 軽水炉規格> JSME S NC1-2005/2007*	<p>1. 概要 本基本方針は、横置一胴円筒形容器(3脚以上支持)の耐震性に関する計算書の計算方法を示す。 なお、本計算方法は、JEAG4601に準拠したものである。</p> <p>2. 準拠規格 「IV-1-1 耐震設計の基本方針」に示す規格のうち、本評価に対する準拠規格について第2-1表に示す。</p> <table border="1" data-bbox="1080 621 1857 852"> <caption>第2-1表 準拠規格</caption> <thead> <tr> <th>準拠規格名</th> </tr> </thead> <tbody> <tr> <td>原子力発電所耐震設計技術指針 JEAG4601-1987</td> </tr> <tr> <td>原子力発電所耐震設計技術指針 重要度分類・許容応力編 JEAG4601・補-1984</td> </tr> <tr> <td>原子力発電所耐震設計技術指針 JEAG4601-1991 追補版</td> </tr> <tr> <td>発電用原子力設備規格 設計・建設規格(2005年版(2007年追補版を含む))</td> </tr> <tr> <td><第I編 軽水炉規格> JSME S NC1-2005/2007*</td> </tr> </tbody> </table> <p>注記 *：JSME S NC1以外に使用している鉄鋼材料の規格については、「V-2 強度計算方法」における添付-1「容器等の材料及び構造に関する設計の基本方針」に定められた値を準用することとする。</p>	準拠規格名	原子力発電所耐震設計技術指針 JEAG4601-1987	原子力発電所耐震設計技術指針 重要度分類・許容応力編 JEAG4601・補-1984	原子力発電所耐震設計技術指針 JEAG4601-1991 追補版	発電用原子力設備規格 設計・建設規格(2005年版(2007年追補版を含む))	<第I編 軽水炉規格> JSME S NC1-2005/2007*	
準拠規格名														
原子力発電所耐震設計技術指針 JEAG4601-1987														
原子力発電所耐震設計技術指針 重要度分類・許容応力編 JEAG4601・補-1984														
原子力発電所耐震設計技術指針 JEAG4601-1991 追補版														
発電用原子力設備規格 設計・建設規格(2005年版(2007年追補版を含む))														
<第I編 軽水炉規格> JSME S NC1-2005/2007*														
準拠規格名														
原子力発電所耐震設計技術指針 JEAG4601-1987														
原子力発電所耐震設計技術指針 重要度分類・許容応力編 JEAG4601・補-1984														
原子力発電所耐震設計技術指針 JEAG4601-1991 追補版														
発電用原子力設備規格 設計・建設規格(2005年版(2007年追補版を含む))														
<第I編 軽水炉規格> JSME S NC1-2005/2007*														

別紙 1-25 横置一胴円筒形容器	別紙 1-26 横置一胴円筒形容器（3脚以上支持）	
<p>3. 構造強度評価</p> <p>3.1 計算方法</p> <p>3.1.1 計算条件</p> <ol style="list-style-type: none"> (1) 容器及び内容物の質量は胴の中心軸に集中するものとする。 (2) 2個のうち1個の脚は胴の長手方向に、基礎に対してスライドできるものとする。 (3) 容器の胴は剛とし、脚の曲げ及びせん断変形を考慮する。 (4) 脚を基礎に固定する基礎ボルトが、脚の変形方向に直角な方向よりみて脚1個につき1列の場合は下端を単純支持とする。その他の場合は固定とする。 (5) 地震力は、容器に対して水平方向及び鉛直方向から個別に作用するものとし、応力計算において各応力を適切に組み合わせる。  <p>第3.1.1-1図 全景</p>	<p>3. 構造強度評価</p> <p>3.1 計算方法</p> <p>3.1.1 計算条件</p> <ol style="list-style-type: none"> (1) 容器及び内容物の質量は胴の中心軸に集中するものとする。 (2) 3個以上の脚のうち1個固定とし、それ以外の脚が胴の長手方向に、基礎に対してスライドできる場合と、全ての脚を固定とする場合があり、支持状態に応じた固定条件を適用する。 (3) 容器の胴は剛とし、脚の曲げ及びせん断変形を考慮する。 (4) 脚を基礎に固定する基礎ボルトが、脚の変形方向に直角な方向よりみて脚1個につき1列の場合は下端を単純支持とする。その他の場合は固定とする。 (5) 地震力は、容器に対して水平方向及び鉛直方向から個別に作用するものとし、応力計算において各応力を適切に組み合わせる。  <p>第 3.1.1-1 図 全景（3脚の場合）</p>	

別紙 1-25 横置一胴円筒形容器			別紙 1-26 横置一胴円筒形容器 (3脚以上支持)		
3.1.2 記号の説明			3.1.2 記号の説明		
記号	表示内容	単位	記号	表示内容	単位
A_b	基礎ボルトの軸断面積	mm^2	A_b	基礎ボルトの軸断面積	mm^2
A_s	脚の断面積	mm^2	A_s	脚の断面積	mm^2
A_{s1}	脚の長手方向に対する有効せん断断面積	mm^2	A_{s1}	脚の長手方向に対する有効せん断断面積	mm^2
A_{s2}	脚の横方向に対する有効せん断断面積	mm^2	A_{s2}	脚の横方向に対する有効せん断断面積	mm^2
A_{s3}	脚の長手方向に対するせん断断面積	mm^2	A_{s3}	脚の長手方向に対するせん断断面積	mm^2
A_{s4}	脚の横方向に対するせん断断面積	mm^2	A_{s4}	脚の横方向に対するせん断断面積	mm^2
a	脚底板の長手方向幅	mm	a	脚底板の長手方向幅	mm
b	脚底板の横方向幅	mm	b	脚底板の横方向幅	mm
C_c	引用文献(1)により得られる値	-	C_c	引用文献(1)により得られる値	-
C_H	水平方向設計震度	-	C_H	水平方向設計震度	-
C_l	引用文献(1)により得られる値	-	C_l	引用文献(1)により得られる値	-
C_v	鉛直方向設計震度	-	C_v	鉛直方向設計震度	-
C_1	脚の胴つけ根部のアタッチメント幅の2分の1(胴の横方向)	mm	C_1	脚の胴つけ根部の周方向アタッチメント幅の2分の1(胴の横方向)	mm
C_2	脚の胴つけ根部のアタッチメント幅の2分の1(胴の長手方向)	mm	C_2	脚の胴つけ根部の軸方向アタッチメント幅の2分の1(胴の長手方向)	mm
D_i	胴の内径	mm	D_i	胴の内径	mm
D_o	胴の外径	mm	D_o	胴の外径	mm
d_1	脚底板端面から基礎ボルト中心までの長手方向の距離	mm	d_1	脚底板端面から基礎ボルト中心までの長手方向の距離	mm
d_2	脚底板端面から基礎ボルト中心までの横方向の距離	mm	d_2	脚底板端面から基礎ボルト中心までの横方向の距離	mm
E_s	脚の縦弾性係数	MPa	E_s	脚の縦弾性係数	MPa
e	脚中心から偏心荷重作用点までの距離	mm	e	脚中心から偏心荷重作用点までの距離	mm
F	「JSME S NC1」のSSB-3121.1(1)に定める値	MPa	F	「JSME S NC1」のSSB-3121.1(1)に定める値	MPa
F^*	「JSME S NC1」のSSB-3121.1(1)に定める値 ただし、「 S_y 」を「 $1.2S_y$ 」に読み替える	MPa	F^*	「JSME S NC1」のSSB-3121.1(1)に定める値 ただし、「 S_y 」を「 $1.2S_y$ 」に読み替える	MPa
F_b	基礎ボルトに作用する引張力	N	F_b	基礎ボルトに作用する引張力	N
$1.5f_{t,b}$	せん断力のみを受ける基礎ボルトの許容せん断応力	MPa	$1.5f_{t,b}$	せん断力のみを受ける基礎ボルトの許容せん断応力	MPa
$1.5f_{t,b}^*$			$1.5f_{t,b}^*$		
$1.5f_t$	脚の許容引張応力	MPa	$1.5f_t$	脚の許容引張応力	MPa
$1.5f_t^*$			$1.5f_t^*$		
$1.5f_{t,t}$	引張力とせん断力を同時に受ける基礎ボルトの許容引張応力	MPa	$1.5f_{t,t}$	引張力とせん断力を同時に受ける基礎ボルトの許容引張応力	MPa
$1.5f_{t,t}^*$			$1.5f_{t,t}^*$		
$f_{t,o}$	引張力のみを受ける基礎ボルトの許容引張応力	MPa	$f_{t,o}$	引張力のみを受ける基礎ボルトの許容引張応力	MPa

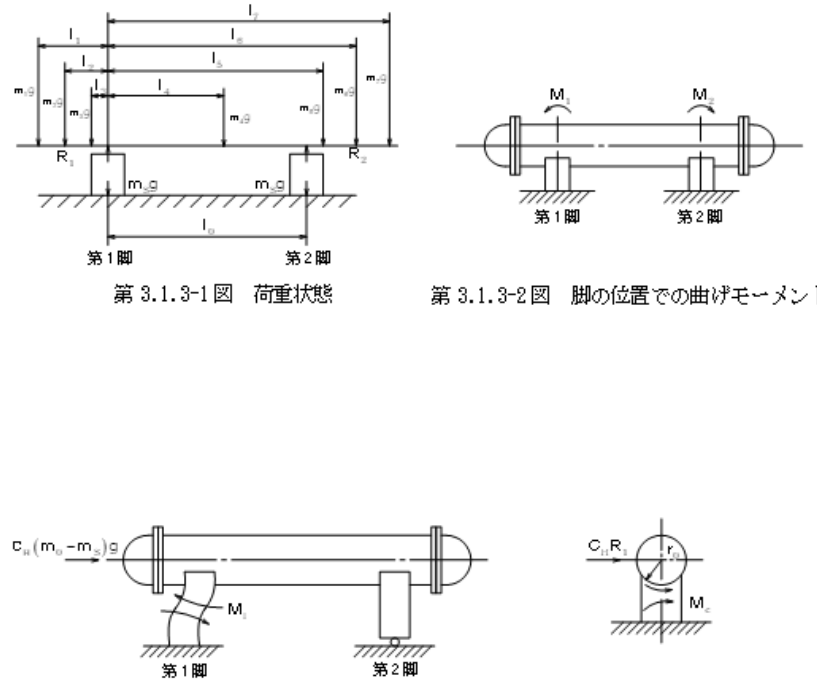
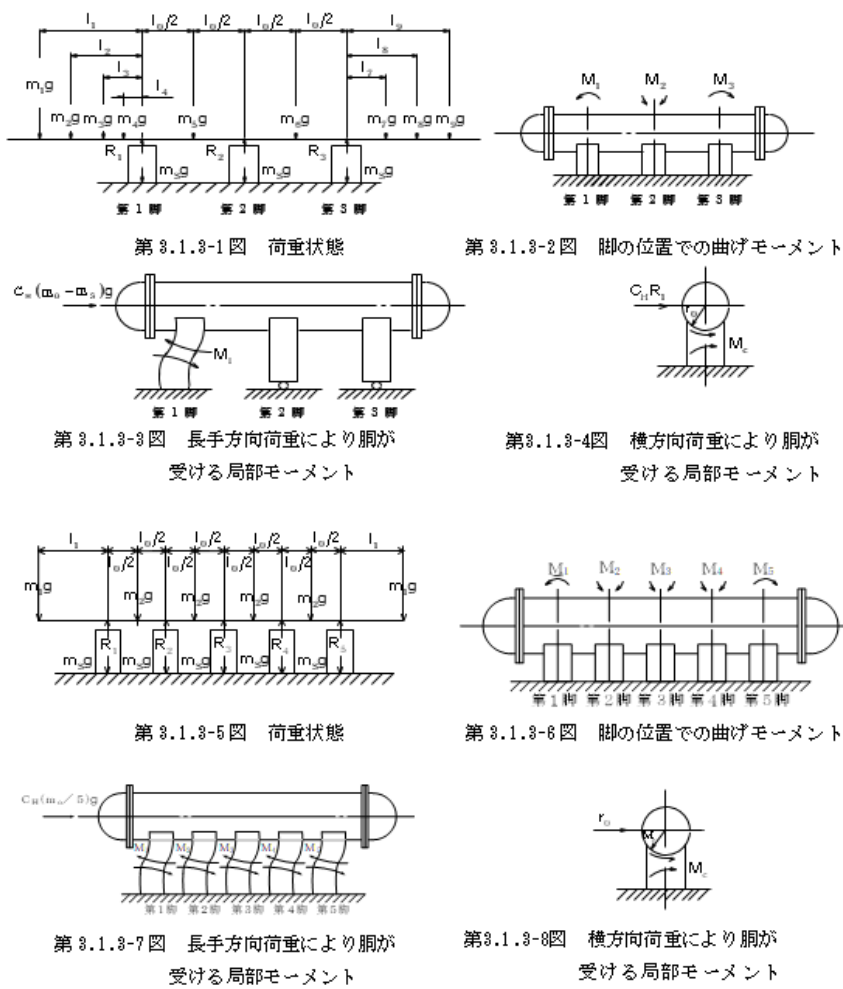
別紙 1-25 横置一胴円筒形容器			別紙 1-26 横置一胴円筒形容器 (3脚以上支持)		
記号	表示内容	単位	記号	表示内容	単位
G_s	脚のせん断弾性係数	MPa	G_s	脚のせん断弾性係数	MPa
g	重力加速度 (= 9.80865)	m/s ²	g	重力加速度 (= 9.80865)	m/s ²
H	静水頭	mm	H	静水頭	mm
h_1	基礎から脚の脚つけ根部までの高さ	mm	h_1	基礎から脚の脚つけ根部までの高さ	mm
h_2	基礎から胴の中心までの高さ	mm	h_2	基礎から胴の中心までの高さ	mm
I_x	脚の長手方向軸に対する断面二次モーメント	mm ⁴	I_x	脚の長手方向軸に対する断面二次モーメント	mm ⁴
I_y	脚の横方向軸に対する断面二次モーメント	mm ⁴	I_y	脚の横方向軸に対する断面二次モーメント	mm ⁴
j_1	荷重分布で分けられた容器各部の荷重の数	-	K_c	水平(横)方向ばね定数	N/mm
j_2	第1脚より第2脚と反対の方向に作用する容器各部の荷重の数 (第1脚上の荷重は含まない)	-	K_l	水平(長手)方向ばね定数	N/mm
j_3	第2脚より第1脚と反対の方向に作用する容器各部の荷重の数 (第2脚上の荷重は含まない)	-	K_v	鉛直方向ばね定数	N/mm
K_c	水平(横)方向ばね定数	N/mm	K_1, K_2	引用文献(1)により得られる値	-
K_l	水平(長手)方向ばね定数	N/mm	k_{c1}, k_{l1}	引用文献(1)により得られる値	-
K_v	鉛直方向ばね定数	N/mm	l_1	第3.1.3-1図及び第3.1.3-5図に示す距離	mm
K_1, K_2	引用文献(1)による定数	-	l_0	脚中心軸間距離	mm
k_{c1}, k_{l1}	引用文献(1)による定数	-	M	脚底板に作用するモーメント	N・mm
l_1	第1脚より各荷重までの距離(ここで第2脚側の距離は正、その反対側は負とする)	mm	M_c	横方向地震による胴の脚つけ根部のモーメント	N・mm
l_0	脚中心軸間距離	mm	M_{c1}	横方向地震により脚底面に作用するモーメント	N・mm
M	脚底板に作用するモーメント	N・mm	M_l	長手方向地震による胴の脚つけ根部のモーメント	N・mm
M_c	横方向地震による胴の脚つけ根部のモーメント	N・mm	M_{l1}	長手方向地震により脚底面に作用するモーメント	N・mm
M_{c1}	横方向地震により脚底面に作用するモーメント	N・mm	M_{11}	第1~5脚部における胴の運転時質量によるモーメント	N・mm
M_l	長手方向地震による胴の脚つけ根部のモーメント	N・mm	M_2, M_3		
M_{l1}	長手方向地震により脚底面に作用するモーメント	N・mm	M_4, M_5		
M_{11}, M_{12}	第1脚部及び第2脚部における胴の運転時質量によるモーメント	N・mm	M_x	引用文献(1)による胴に生じる軸方向曲げモーメント	N・mm
M_x	引用文献(1)による胴に作用する軸方向曲げモーメント	N・mm	M_ϕ	引用文献(1)による胴に生じる周方向曲げモーメント	N・mm
M_ϕ	引用文献(1)による胴に作用する周方向曲げモーメント	N・mm	m_1	容器各部の質量	kg
N_x	引用文献(1)による胴に作用する軸方向の膜力	N/mm	m_0	容器の有効運転時質量	kg
N_ϕ	引用文献(1)による胴に作用する周方向の膜力	N/mm	m_s	脚の質量	kg
n	脚1個当たりの基礎ボルトの本数	-	N_x	引用文献(1)による胴に生じる軸方向の膜力	N/mm
n_1	鉛直方向及び水平方向地震力(長手方向)により引張りを受ける基礎ボルトの本数	-	N_ϕ	引用文献(1)による胴に生じる周方向の膜力	N/mm
n_2	鉛直方向及び水平方向地震力(横方向)により引張りを受ける基礎ボルトの本数	-	n	脚1個当たりの基礎ボルトの本数	-
P	胴の脚つけ根部に作用する運転時質量による反力	N	n_1	鉛直方向地震及び水平方向地震(長手方向)により引張りを受ける基礎ボルトの本数	-
			n_2	鉛直方向地震及び水平方向地震(横方向)により引張りを受ける基礎ボルトの本数	-

別紙 1-25 横置一胴円筒形容器			別紙 1-26 横置一胴円筒形容器 (3脚以上支持)		
記号	表示内容	単位	記号	表示内容	単位
n_2	鉛直方向及び水平方向地震力(横方向)により引張りを受ける基礎ボルトの本数	-	P_0	胴の脚つけ根部に作用する鉛直方向地震による反力	N
P	胴の脚つけ根部に作用する運転時質量による反力	N	P_1	長手方向地震により胴の脚つけ根部に作用する鉛直荷重	N
P_0	胴の脚つけ根部に作用する鉛直方向地震による反力	N	P_c	最高使用圧力	MPa
P_1	長手方向地震により胴の脚つけ根部に作用する鉛直荷重	N	P_s	長手方向地震により脚底部に作用する鉛直荷重	N
P_c	最高使用圧力	MPa	P_{s1}	横方向地震により脚底部に作用する鉛直荷重	N
P_s	長手方向地震により脚底部に作用する鉛直荷重	N	$R_1, R_2,$	第1~5脚それぞれの受ける荷重	N
P_{s1}	横方向地震により脚底部に作用する鉛直荷重	N	$R_3,$		
R_1, R_2	第1, 第2脚の受ける荷重	N	R_4, R_5		
r_m	脚つけ根部における胴の平均半径	mm	r_m	脚つけ根部における胴の平均半径	mm
r_o	脚つけ根部における胴の外半径	mm	r_o	脚つけ根部における胴の外半径	mm
s	基礎ボルトと基礎の縦弾性係数比	-	s	基礎ボルトと基礎の縦弾性係数比	-
S_s	胴板の許容応力	MPa	S_s	胴板の許容応力	MPa
T	固有周期	s	T	固有周期	s
t	胴の板厚	mm	t	胴の板厚	mm
t_s	脚つけ根における胴の有効板厚	mm	t_s	脚つけ根における胴の有効板厚	mm
t_w	脚取付部の当板板厚	mm	t_w	脚取付部の当板板厚	mm
m_1	容器各部の質量	kg	X_n	基礎が圧縮力を受ける幅	mm
m_0	容器の有効運転時質量	kg	Z	引用文献(2)による胴の断面係数	mm ³
m_s	脚の質量	kg	Z_{sx}	脚の長手方向軸に対する断面係数	mm ³
X_n	基礎が圧縮力を受ける幅	mm	Z_{sy}	脚の横方向軸に対する断面係数	mm ³
Z	引用文献(2)による胴の断面係数	mm ³	α	脚の開き角	rad
Z_{sx}	脚の長手方向軸に対する断面係数	mm ³	$\beta, \beta_1,$	引用文献(1)によるアタッチメントパラメータ	-
Z_{sy}	脚の横方向軸に対する断面係数	mm ³	$\beta_2, \beta_1,$		
α	脚の開き角	rad	β_c		
$\beta, \beta_1,$	引用文献(1)によるアタッチメントパラメータ	-	γ	引用文献(1)によるシェルパラメータ	-
$\beta_2, \beta_1,$			θ	脚取付部における胴の有効範囲角の2分の1	rad
β_c			θ_0	胴の脚端部より鉛直軸までの角度	rad
γ	引用文献(1)によるシェルパラメータ	-			
θ	脚取付部における胴の有効範囲角の2分の1	rad			
θ_0	胴の脚端部より鉛直軸までの角度	rad			

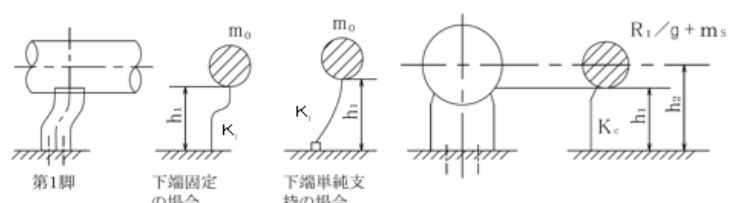
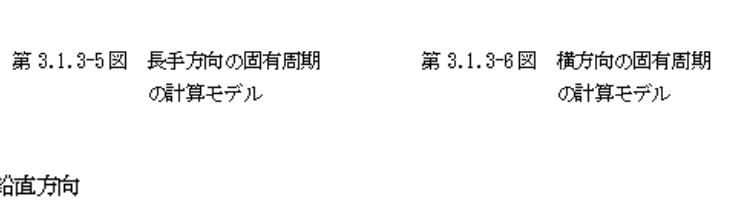
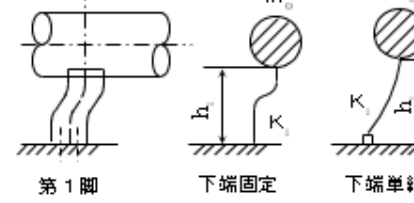
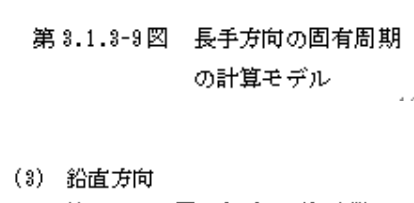
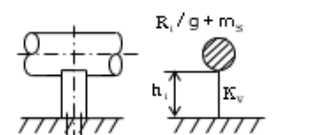
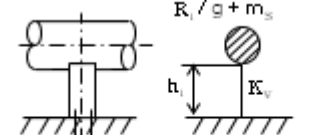
別紙 1-25 横置一胴円筒形容器			別紙 1-26 横置一胴円筒形容器 (3脚以上支持)		
記号	表示内容	単位	記号	表示内容	単位
ρ	液体の比重	-	ρ	液体の比重	-
ρ'	液体の比重量 (= $10^{-6} \times g \rho$)	N/mm ³	ρ'	液体の比重量 (= $10^{-6} \times g \rho$)	N/mm ³
σ_0	胴板の一次一般膜応力の最大値	MPa	σ_0	胴板の一次一般膜応力の最大値	MPa
σ_{0c}	横方向地震及び鉛直方向地震が作用した場合の胴板の組合せ一次一般膜応力	MPa	σ_{0c}	横方向地震及び鉛直方向地震が作用した場合の胴板の組合せ一次一般膜応力	MPa
σ_{0cx}	横方向地震及び鉛直方向地震が作用した場合の胴板の軸方向一次一般膜応力の和	MPa	σ_{0cx}	横方向地震及び鉛直方向地震が作用した場合の胴板の軸方向一次一般膜応力の和	MPa
$\sigma_{0c\phi}$	横方向地震及び鉛直方向地震が作用した場合の胴板の周方向一次一般膜応力の和	MPa	$\sigma_{0c\phi}$	横方向地震及び鉛直方向地震が作用した場合の胴板の周方向一次一般膜応力の和	MPa
σ_{0l}	長手方向地震及び鉛直方向地震が作用した場合の胴板の組合せ一次一般膜応力	MPa	σ_{0l}	長手方向地震及び鉛直方向地震が作用した場合の胴板の組合せ一次一般膜応力	MPa
σ_{0lx}	長手方向地震及び鉛直方向地震が作用した場合の胴板の軸方向一次一般膜応力の和	MPa	σ_{0lx}	長手方向地震及び鉛直方向地震が作用した場合の胴板の軸方向一次一般膜応力の和	MPa
$\sigma_{0l\phi}$	長手方向地震及び鉛直方向地震が作用した場合の胴板の周方向一次一般膜応力の和	MPa	$\sigma_{0l\phi}$	長手方向地震及び鉛直方向地震が作用した場合の胴板の周方向一次一般膜応力の和	MPa
σ_1	胴板の一次応力の最大値	MPa	σ_1	胴板の一次応力の最大値	MPa
σ_{1c}	横方向地震及び鉛直方向地震が作用した場合の胴板の組合せ一次応力	MPa	σ_{1c}	横方向地震及び鉛直方向地震が作用した場合の胴板の組合せ一次応力	MPa
σ_{1cx}	横方向地震及び鉛直方向地震が作用した場合の胴板の軸方向一次応力の和	MPa	σ_{1cx}	横方向地震及び鉛直方向地震が作用した場合の胴板の軸方向一次応力の和	MPa
$\sigma_{1c\phi}$	横方向地震及び鉛直方向地震が作用した場合の胴板の周方向一次応力の和	MPa	$\sigma_{1c\phi}$	横方向地震及び鉛直方向地震が作用した場合の胴板の周方向一次応力の和	MPa
σ_{1l}	長手方向地震及び鉛直方向地震が作用した場合の胴板の組合せ一次応力	MPa	σ_{1l}	長手方向地震及び鉛直方向地震が作用した場合の胴板の組合せ一次応力	MPa
σ_{1lx}	長手方向地震及び鉛直方向地震が作用した場合の胴板の軸方向一次応力の和	MPa	σ_{1lx}	長手方向地震及び鉛直方向地震が作用した場合の胴板の軸方向一次応力の和	MPa
$\sigma_{1l\phi}$	長手方向地震及び鉛直方向地震が作用した場合の胴板の周方向一次応力の和	MPa	$\sigma_{1l\phi}$	長手方向地震及び鉛直方向地震が作用した場合の胴板の周方向一次応力の和	MPa
σ_2	胴板の地震動のみによる一次+二次応力の変動値の最大値	MPa	σ_2	胴板の地震動のみによる一次+二次応力の変動値の最大値	MPa
σ_{2c}	横方向地震及び鉛直方向地震が作用した場合の胴板の組合せ一次+二次応力の変動値	MPa	σ_{2c}	横方向地震及び鉛直方向地震が作用した場合の胴板の組合せ一次+二次応力の変動値	MPa
			σ_{2cx}	横方向地震及び鉛直方向地震が作用した場合の胴板の軸方向一次+二次応力の和	MPa

別紙 1-25 横置一胴円筒形容器			別紙 1-26 横置一胴円筒形容器（3脚以上支持）		
記号	表示内容	単位	記号	表示内容	単位
$\sigma_{2c x}$	横方向地震及び鉛直方向地震が作用した場合の胴板の軸方向一次+二次応力の和	MPa	$\sigma_{2c \phi}$	横方向地震及び鉛直方向地震が作用した場合の胴板の周方向一次+二次応力の和	MPa
$\sigma_{2c \phi}$	横方向地震及び鉛直方向地震が作用した場合の胴板の周方向一次+二次応力の和	MPa	σ_{2l}	長手方向地震及び鉛直方向地震が作用した場合の胴板の組合せ一次+二次応力の変動値	MPa
σ_{2l}	長手方向地震及び鉛直方向地震が作用した場合の胴板の組合せ一次+二次応力の変動値	MPa	$\sigma_{2l x}$	長手方向地震及び鉛直方向地震が作用した場合の胴板の軸方向一次+二次応力の和	MPa
$\sigma_{2l x}$	長手方向地震及び鉛直方向地震が作用した場合の胴板の軸方向一次+二次応力の和	MPa	$\sigma_{2l \phi}$	長手方向地震及び鉛直方向地震が作用した場合の胴板の周方向一次+二次応力の和	MPa
$\sigma_{2l \phi}$	長手方向地震及び鉛直方向地震が作用した場合の胴板の周方向一次+二次応力の和	MPa	σ_b	基礎ボルトに生じる引張応力の最大値	MPa
σ_b	基礎ボルトに生じる引張応力の最大値	MPa	σ_{b1}	長手方向地震及び鉛直方向地震により基礎ボルトに生じる引張応力	MPa
σ_{b1}	長手方向地震及び鉛直方向地震により基礎ボルトに生じる引張応力	MPa	σ_{b2}	横方向地震及び鉛直方向地震により基礎ボルトに生じる引張応力	MPa
σ_{b2}	横方向地震及び鉛直方向地震により基礎ボルトに生じる引張応力	MPa	σ_s	脚の組合せ応力の最大値	MPa
σ_s	脚の組合せ応力の最大値	MPa	$\sigma_{s c}$	横方向地震及び鉛直方向地震が作用した場合の脚の組合せ応力	MPa
$\sigma_{s c}$	横方向地震及び鉛直方向地震が作用した場合の脚の組合せ応力	MPa	σ_{s1}	脚の運転時質量による圧縮応力	MPa
σ_{s1}	脚の運転時質量による圧縮応力	MPa	σ_{s2}	長手方向地震により脚に生じる圧縮応力及び曲げ応力の和	MPa
σ_{s2}	長手方向地震により脚に生じる圧縮応力及び曲げ応力の和	MPa	σ_{s3}	横方向地震により脚に生じる曲げ応力	MPa
σ_{s3}	横方向地震により脚に生じる曲げ応力	MPa	σ_{s4}	脚の鉛直方向地震による圧縮応力	MPa
σ_{s4}	脚の鉛直方向地震による圧縮応力	MPa	$\sigma_{\phi 1}, \sigma_{x1}$	静水頭又は内圧により胴に生じる周方向応力及び軸方向応力	MPa
$\sigma_{\phi 1}, \sigma_{x1}$	静水頭又は内圧により胴に生じる周方向応力及び軸方向応力	MPa	σ_{x2}	胴の運転時質量による長手方向曲げモーメントにより胴板に生じる軸方向応力	MPa
σ_{x2}	胴の運転時質量による長手方向曲げモーメントにより胴板に生じる軸方向応力	MPa	$\sigma_{\phi 2}$	静水頭により鉛直地震力が加わり胴板に生じる周方向応力	MPa
$\sigma_{\phi 2}$	静水頭により鉛直地震力が加わり胴板に生じる周方向応力	MPa	$\sigma_{\phi 3}, \sigma_{x3}$	運転時質量により胴の脚つけ根部に生じる周方向一次応力及び軸方向一次応力	MPa
$\sigma_{\phi 3}, \sigma_{x3}$	運転時質量により胴の脚つけ根部に生じる周方向一次応力及び軸方向一次応力	MPa	$\sigma_{\phi 4}, \sigma_{x4}$	長手方向地震により胴の脚つけ根部に生じる周方向一次応力及び軸方向一次応力の和	MPa
$\sigma_{\phi 4}, \sigma_{x4}$	長手方向地震により胴の脚つけ根部に生じる周方向一次応力及び軸方向一次応力の和	MPa	$\sigma_{\phi 41}, \sigma_{x41}$	長手方向地震による胴の脚つけ根部のモーメントにより生じる周方向一次応力及び軸方向一次応力	MPa
$\sigma_{\phi 41}, \sigma_{x41}$	長手方向地震による胴の脚つけ根部のモーメントにより生じる周方向一次応力及び軸方向一次応力	MPa	$\sigma_{\phi 42}, \sigma_{x42}$	長手方向地震による胴の脚つけ根部の鉛直荷重により生じる周方向一次応力及び軸方向一次応力	MPa
$\sigma_{\phi 42}, \sigma_{x42}$	長手方向地震による胴の脚つけ根部の鉛直荷重により生じる周方向一次応力及び軸方向一次応力	MPa			

別紙 1-25 横置一胴円筒形容器			別紙 1-26 横置一胴円筒形容器 (3脚以上支持)		
記号	表示内容	単位	記号	表示内容	単位
$\sigma_{\phi 42}$	長手方向地震による胴の脚つけ根部の鉛直荷重により生じる	MPa	$\sigma_{x 43}$	長手方向地震により生じる水平方向荷重による胴板の応力	MPa
$\sigma_{x 42}$	周方向一次応力及び軸方向一次応力		$\sigma_{\phi 5}, \sigma_{x 5}$	横方向地震による胴板の脚つけ根部のモーメントにより生じる周方向一次応力及び軸方向一次応力	MPa
$\sigma_{x 43}$	長手方向地震により生じる水平方向荷重による胴の応力	MPa	$\sigma_{x 6}$	胴の鉛直方向地震による長手方向曲げモーメントにより胴板に生じる軸方向一次応力	MPa
$\sigma_{\phi 5}, \sigma_{x 5}$	横方向地震による胴の脚つけ根部のモーメントにより生じる周方向一次応力及び軸方向一次応力	MPa	$\sigma_{\phi 7}, \sigma_{x 7}$	鉛直方向地震により胴の脚つけ根部に生じる周方向一次応力及び軸方向一次応力	MPa
$\sigma_{x 6}$	胴の鉛直方向地震による長手方向曲げモーメントにより胴に生じる軸方向一次応力	MPa	$\sigma_{2\phi 4}, \sigma_{2x 4}$	長手方向地震により胴の脚つけ根部に生じる周方向二次応力及び軸方向二次応力の和	MPa
$\sigma_{\phi 7}, \sigma_{x 7}$	鉛直方向地震により胴の脚つけ根部に生じる周方向一次応力及び軸方向一次応力	MPa	$\sigma_{2\phi 4}, \sigma_{2x 4}$	長手方向地震による胴の脚つけ根部のモーメントにより生じる周方向二次応力及び軸方向二次応力	MPa
$\sigma_{2\phi 4}, \sigma_{2x 4}$	長手方向地震により胴の脚つけ根部に生じる周方向二次応力及び軸方向二次応力の和	MPa	$\sigma_{2\phi 42}, \sigma_{2x 42}$	長手方向地震による胴の脚つけ根部の鉛直荷重により生じる周方向二次応力及び軸方向二次応力	MPa
$\sigma_{2\phi 41}, \sigma_{2x 41}$	長手方向地震による胴の脚つけ根部のモーメントにより生じる周方向二次応力及び軸方向二次応力	MPa	$\sigma_{2\phi 5}, \sigma_{2x 5}$	横方向地震による胴の脚つけ根部のモーメントにより生じる周方向二次応力及び軸方向二次応力	MPa
$\sigma_{2\phi 42}, \sigma_{2x 42}$	長手方向地震による胴の脚つけ根部の鉛直荷重により生じる周方向二次応力及び軸方向二次応力	MPa	$\sigma_{2\phi 7}, \sigma_{2x 7}$	鉛直方向地震により胴の脚つけ根部に生じる周方向二次応力及び軸方向二次応力	MPa
$\sigma_{2\phi 5}, \sigma_{2x 5}$	横方向地震による胴の脚つけ根部のモーメントにより生じる周方向二次応力及び軸方向二次応力	MPa	τ_b	基礎ボルトに生じるせん断応力	MPa
$\sigma_{2\phi 7}, \sigma_{2x 7}$	鉛直方向地震により胴の脚つけ根部に生じる周方向二次応力及び軸方向二次応力	MPa	τ_{b1}	長手方向地震により基礎ボルトに生じるせん断応力	MPa
τ_b	基礎ボルトに生じるせん断応力	MPa	τ_{b2}	横方向地震により基礎ボルトに生じるせん断応力	MPa
τ_{b1}	長手方向地震により基礎ボルトに生じるせん断応力	MPa	τ_c	横方向地震により胴の脚つけ根部に生じるせん断応力	MPa
τ_{b2}	横方向地震により基礎ボルトに生じるせん断応力	MPa	τ_1	長手方向地震により胴の脚つけ根部に生じるせん断応力	MPa
τ_c	横方向地震により胴の脚つけ根部に生じるせん断応力	MPa	τ_{s2}	長手方向地震により脚に生じるせん断応力	MPa
τ_1	長手方向地震により胴の脚つけ根部に生じるせん断応力	MPa	τ_{s3}	横方向地震により脚に生じるせん断応力	MPa
τ_{s2}	長手方向地震により脚に生じるせん断応力	MPa			
τ_{s3}	横方向地震により脚に生じるせん断応力	MPa			

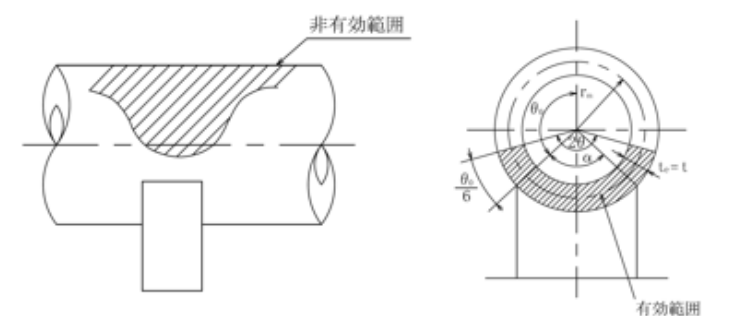
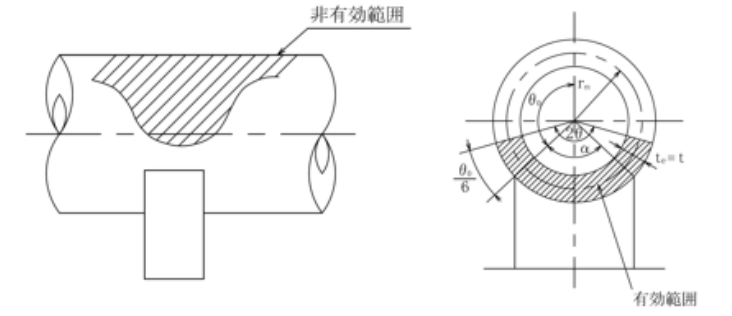
別紙 1-25 横置一胴円筒形容器	別紙 1-26 横置一胴円筒形容器 (3脚以上支持)	
<p>3.1.3 固有周期の計算方法</p> <p>長手方向、横方向及び鉛直方向の固有周期Tは、次式により算出する。 本容器の荷重状態及び胴に作用するモーメントを第3.1.3-1図～第3.1.3-4図に示す。ここでは荷重点は7質点とした例を示しているが、質点数は実際の弁状に適合させたものとする。 本容器は第3.1.3-5図及び第3.1.3-6図のような1質点系振動と考えられる。</p>  <p>第3.1.3-1図 荷重状態</p> <p>第3.1.3-2図 脚の位置での曲げモーメント</p> <p>第3.1.3-3図 長手方向荷重により胴が受ける局部モーメント</p> <p>第3.1.3-4図 横方向荷重により胴が受ける局部モーメント</p>	<p>3.1.3 固有周期の計算方法</p> <p>3脚以上支持の横置一胴円筒形容器のうち、3脚支持の容器の荷重状態及び胴に作用するモーメントを第3.1.3-1図～第3.1.3-4図に、5脚支持の容器の荷重状態及び胴に作用するモーメントを第3.1.3-5図～第3.1.3-8図に示す。第3.1.3-1図では荷重点は7質点とした例を示しているが、質点数は実際の形状に適合させたものとする。 本容器は第3.1.3-9図及び第3.1.3-10図のような1質点系振動と考えられる。</p>  <p>第3.1.3-1図 荷重状態</p> <p>第3.1.3-2図 脚の位置での曲げモーメント</p> <p>第3.1.3-3図 長手方向荷重により胴が受ける局部モーメント</p> <p>第3.1.3-4図 横方向荷重により胴が受ける局部モーメント</p> <p>第3.1.3-5図 荷重状態</p> <p>第3.1.3-6図 脚の位置での曲げモーメント</p> <p>第3.1.3-7図 長手方向荷重により胴が受ける局部モーメント</p> <p>第3.1.3-8図 横方向荷重により胴が受ける局部モーメント</p>	

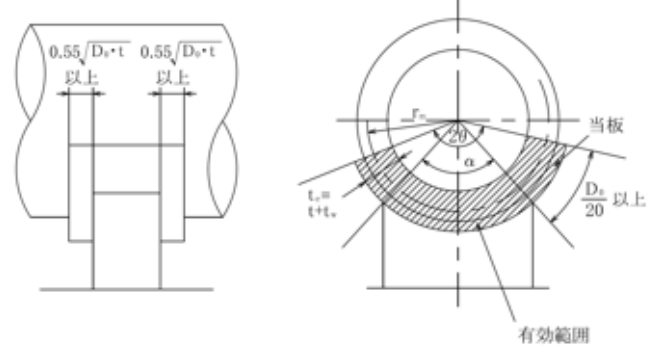
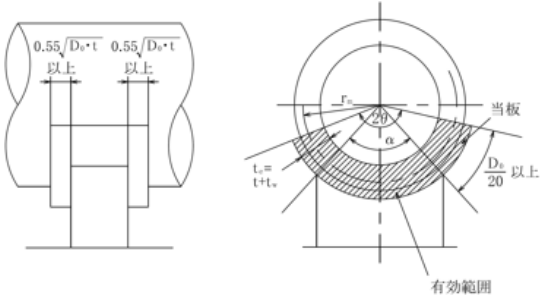
別紙 1-25 横置一胴円筒形容器	別紙 1-26 横置一胴円筒形容器（3脚以上支持）	
<p>(1) 長手方向 第3.1.3-5図におけるばね定数は、次式で表される。</p> $K_1 = \frac{1}{\frac{h_1^3}{12E_x I_y} + \frac{h_1}{G_x A_{x1}}} \dots\dots\dots (3.1.3-1)$ <p>ただし、第1脚の基礎ボルトが横方向から見て1列の場合は上式の係数12を3とする。 したがって、長手方向の固有周期は、次式で表される。</p> $T = 2\pi \sqrt{\frac{m_0}{10^3 K_1}} \dots\dots\dots (3.1.3-2)$	<p>長手方向、横方向及び鉛直方向の固有周期 T は、次式により算出する。</p> <p>(1) 長手方向 第3.1.3-9図におけるばね定数は、次式で表される。 (3脚長手方向スライドの場合)</p> $K_1 = \frac{1}{\frac{h_1^3}{12E_x I_y} + \frac{h_1}{G_x A_{x1}}} \dots\dots\dots (3.1.3-1)$ <p>(5脚固定の場合)</p> $K_1 = \frac{5}{\frac{h_1^3}{12E_x I_y} + \frac{h_1}{G_x A_{x1}}} \dots\dots\dots (3.1.3-2)$ <p>ただし、第1脚の基礎ボルトが横方向から見て1列の場合は上式の係数12を3とする。 したがって、長手方向の固有周期は、次式で表される。</p> $T = 2\pi \sqrt{\frac{m_0}{10^3 K_1}} \dots\dots\dots (3.1.3-3)$	

別紙 1-25 横置一胴円筒形容器	別紙 1-26 横置一胴円筒形容器 (3脚以上支持)	
<p>(2) 横方向 第3.1.3-6図におけるばね定数は、次式で表される。</p> $K_s = \frac{1}{\frac{h_1^2 \{3h_2 - h_1\}}{6E_s I_s} + \frac{(h_2 - h_1) h_1 (h_2 - h_1/2)}{E_s I_s} + \frac{h_1}{G_s A_{s2}}} \dots\dots (3.1.3-3)$ <p>したがって、横方向の固有周期は、次式で表される。</p> $T = 2\pi \sqrt{\frac{R_1 + m_1}{10^3 K_s}} \dots\dots (3.1.3-4)$ <p>ただし、脚の受ける荷重が $R_2 > R_1$ となる場合は R_1 を R_2 に置き換える。</p>  <p>第 3.1.3-5 図 長手方向の固有周期の計算モデル</p>  <p>第 3.1.3-6 図 横方向の固有周期の計算モデル</p>	<p>(2) 横方向 第3.1.3-10図におけるばね定数は、次式で表される。</p> $K_s = \frac{1}{\frac{h_1^2 \{3h_2 - h_1\}}{6E_s I_s} + \frac{(h_2 - h_1) h_1 (h_2 - h_1/2)}{E_s I_s} + \frac{h_1}{G_s A_{s2}}} \dots\dots (3.1.3-4)$ <p>したがって、横方向の固有周期は、次式で表される。</p> $T = 2\pi \sqrt{\frac{R_1 + m_1}{10^3 K_s}} \dots\dots (3.1.3-5)$ <p>ただし、脚の受ける荷重 R_1 はそれぞれの脚の各 R のうち最大のものを R_1 に置き換える。</p>  <p>第 3.1.3-9 図 長手方向の固有周期の計算モデル</p>  <p>第 3.1.3-10 図 横方向の固有周期の計算モデル</p>	
<p>(3) 鉛直方向 第3.1.3-7図におけるばね定数は、次式で表される。</p> $K_v = \frac{E_s A_s}{h_1} \dots\dots (3.1.3-5)$ <p>したがって、鉛直方向の固有周期は、次式で表される。</p> $T = 2\pi \sqrt{\frac{R_1 + m_1}{10^3 K_v}} \dots\dots (3.1.3-6)$  <p>第3.1.3-7図 鉛直方向の固有周期の計算モデル</p>	<p>(3) 鉛直方向 第3.1.3-10図におけるばね定数は、次式で表される。</p> $K_v = \frac{E_s A_s}{h_1} \dots\dots (3.1.3-6)$ <p>したがって、鉛直方向の固有周期は、次式で表される。</p> $T = 2\pi \sqrt{\frac{R_1 + m_1}{10^3 K_v}} \dots\dots (3.1.3-7)$  <p>第3.1.3-10図 鉛直方向の固有周期の計算モデル</p>	

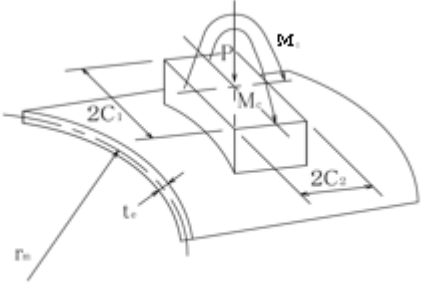
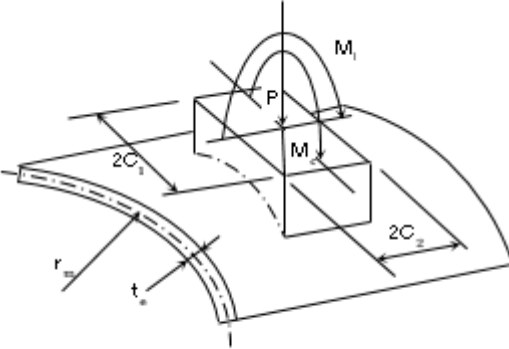
別紙 1-25 横置一胴円筒形容器	別紙 1-26 横置一胴円筒形容器 (3脚以上支持)	
<p>3.1.4 応力の計算方法</p> <p>3.1.4.1 胴板の応力</p> <p>胴板の一次一般膜応力σ_0、一次応力σ_1及び一次+二次応力σ_2は、次式により算出する。</p> <p>(1) 脚の受ける荷重</p> <p>脚にかかる荷重は、モーメントの釣合いより求める。第3.1.3-1図において第1脚まわりのモーメントの釣合いより、次式で表される。</p>	<p>3.1.4 応力の計算方法</p> <p>3.1.4.1 胴板の応力</p> <p>胴板の一次一般膜応力σ_0、一次応力σ_1及び一次+二次応力σ_2は、次式により算出する。</p> <p>(1) 脚の受ける荷重</p> <p>脚にかかる荷重は、モーメントの釣合いより求める。 (脚長手方向スライドの場合)</p> <p>第3.1.3-1図において第1脚まわりのモーメントの釣合いより、次式で表される。</p>	
$\sum_{i=1}^j m_i g l_i - R_2 l_0 = 0 \quad \dots\dots\dots (3.1.4.1-1)$ <p>したがって、脚の受ける荷重は、次式で表される。</p> $R_2 = \sum_{i=1}^j m_i g l_i / l_0 \quad \dots\dots\dots (3.1.4.1-2)$ $R_1 = \sum_{i=1}^j m_i g - R_2 \quad \dots\dots\dots (3.1.4.1-3)$	$R_1 = \sum_{i=1}^4 m_i g + \frac{m_s g}{2} + \frac{M_1 - M_2}{l_0} \quad \dots\dots\dots (3.1.4.1-1)$ <p>第2脚、第3脚に作用する荷重は、次式で表される。</p> $R_2 = \frac{1}{2}(m_s + m_s)g - \frac{1}{l_0}(M_1 + M_2) + \frac{2M_2}{l_0} \quad \dots\dots\dots (3.1.4.1-2)$ $R_3 = \sum_{i=7}^9 m_i g + \frac{m_s g}{2} + \frac{M_2 - M_1}{l_0} \quad \dots\dots\dots (3.1.4.1-3)$ <p>(5脚固定の場合)</p> <p>第3.1.3-5図においてそれぞれの脚まわりのモーメントの釣合いより、それぞれの脚に作用する荷重は、次式で表される。</p> $R_1 = R_5 = m_1 g + \frac{19}{56} m_2 g + \frac{9}{7} \frac{m_2 g l_1}{l_0} \quad \dots\dots\dots (3.1.4.1-4)$ $R_2 = R_4 = \frac{17}{14} m_2 g - \frac{12}{7} \frac{m_2 g l_1}{l_0} \quad \dots\dots\dots (3.1.4.1-5)$ $R_3 = \frac{25}{28} m_2 g + \frac{6}{7} \frac{m_2 g l_1}{l_0} \quad \dots\dots\dots (3.1.4.1-6)$	②
<p>(2) 曲げモーメント</p> <p>第3.1.3-1図に示すように胴を、集中荷重を受けるはりとして考える。</p> <p>第3.1.3-2図において脚つけ根の部分における曲げモーメントM_1、M_2は、次式で表される。</p>	<p>(2) 曲げモーメント</p> <p>胴を、集中荷重を受けるはりとして考える。 (脚長手方向スライドの場合)</p> <p>第3.1.3-2図において脚つけ根の部分における各曲げモーメントM_1、M_2、M_3は、次式で表される。</p>	
$M_1 = \sum_{i=1}^j m_i g l_i \quad \dots\dots\dots (3.1.4.1-4)$ $M_2 = \sum_{i=1}^j m_i g l_i - l_0 \quad \dots\dots\dots (3.1.4.1-5)$	$M_1 = \sum_{i=1}^4 m_i g l_i \quad \dots\dots\dots (3.1.4.1-7)$ $M_3 = \sum_{i=7}^9 m_i g l_i \quad \dots\dots\dots (3.1.4.1-8)$ $M_2 = -\frac{1}{4}(M_1 + M_2) + \frac{3}{32} l_0 (m_s + m_s) g \quad \dots\dots\dots (3.1.4.1-9)$	②

別紙 1-25 横置一胴円筒形容器	別紙 1-26 横置一胴円筒形容器 (3脚以上支持)	
	<p>(5脚固定の場合) 第1脚及び第5脚に作用する曲げモーメント $M_1 = M_5 = m_1 g l_1 \dots\dots\dots (3.1.4.1-10)$ 第2脚及び第4脚に作用する曲げモーメント $M_2 = M_4 = -\frac{2}{7} m_1 g l_1 + \frac{9}{56} m_2 g l_0 \dots\dots\dots (3.1.4.1-11)$ 第3脚に作用する曲げモーメント $M_3 = \frac{1}{7} m_1 g l_1 + \frac{6}{56} m_2 g l_0 \dots\dots\dots (3.1.4.1-12)$</p>	②
<p>(3) 静水頭又は内圧による応力 静水頭又は内圧による応力は、次式で表される。 静水頭による場合(鉛直方向地震時を含む) $\sigma_{\phi 1} = \frac{\rho' H D_i}{2t} \dots\dots\dots (3.1.4.1-6)$ $\sigma_{\phi 2} = \frac{\rho' H D_i C_v}{2t} \dots\dots\dots (3.1.4.1-7)$ $\sigma_{x 1} = \frac{\rho' H D_i}{4t} \dots\dots\dots (3.1.4.1-8)$ 内圧による場合 $\sigma_{\phi 1} = \frac{P_t (D_i + 1.2t)}{2t} \dots\dots\dots (3.1.4.1-9)$ $\sigma_{\phi 2} = 0 \dots\dots\dots (3.1.4.1-10)$ $\sigma_{x 1} = \frac{P_t (D_i + 1.2t)}{4t} \dots\dots\dots (3.1.4.1-11)$</p>	<p>(3) 静水頭又は内圧による応力 静水頭又は内圧による応力は、次式で表される。 静水頭による場合(鉛直方向地震時を含む) $\sigma_{\phi 1} = \frac{\rho' H D_i}{2t} \dots\dots\dots (3.1.4.1-13)$ $\sigma_{\phi 2} = \frac{\rho' H D_i C_v}{2t} \dots\dots\dots (3.1.4.1-14)$ $\sigma_{x 1} = \frac{\rho' H D_i}{4t} \dots\dots\dots (3.1.4.1-15)$ 内圧による場合 $\sigma_{\phi 1} = \frac{P_t (D_i + 1.2t)}{2t} \dots\dots\dots (3.1.4.1-16)$ $\sigma_{\phi 2} = 0 \dots\dots\dots (3.1.4.1-17)$ $\sigma_{x 1} = \frac{P_t (D_i + 1.2t)}{4t} \dots\dots\dots (3.1.4.1-18)$</p>	

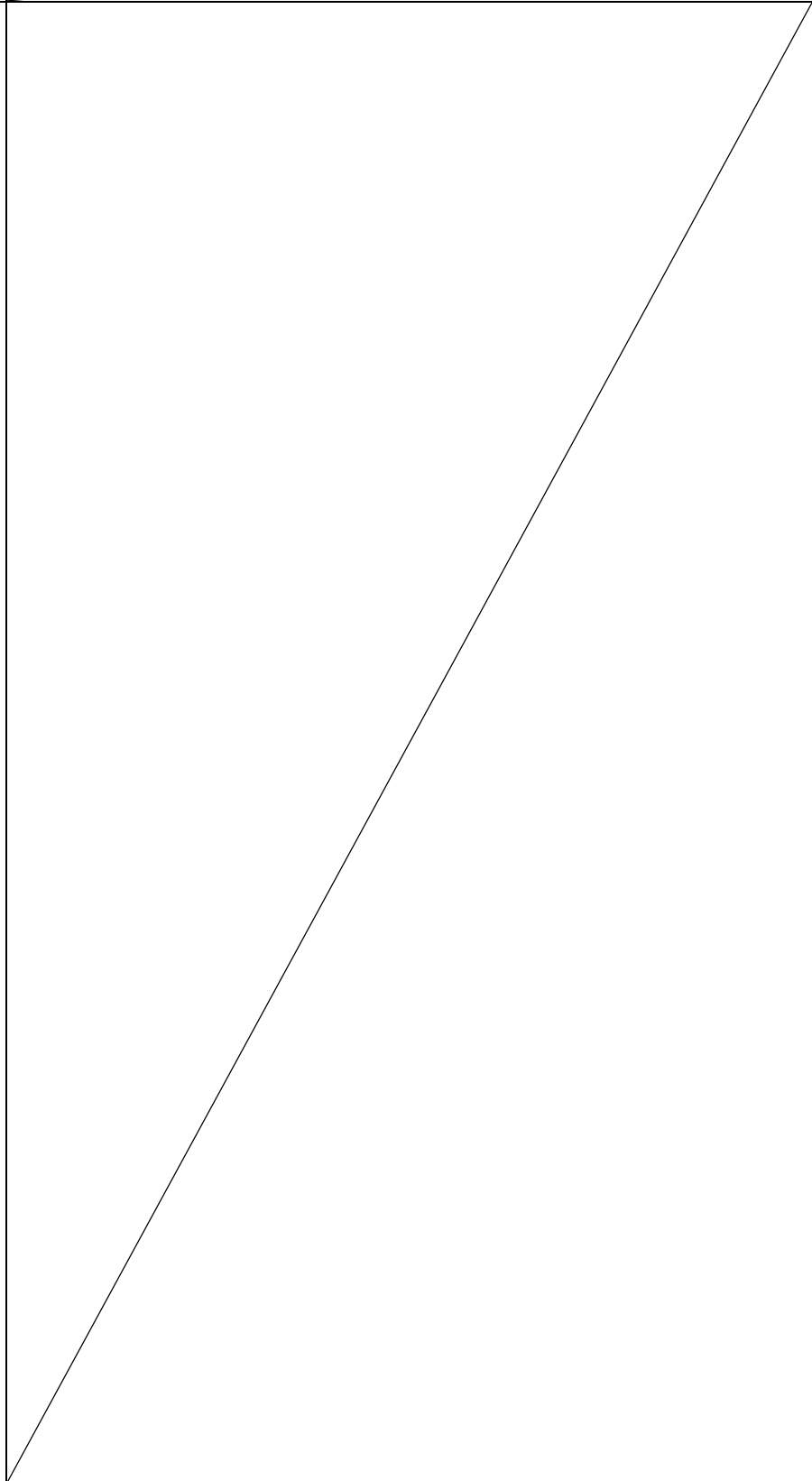
別紙 1-25 横置一胴円筒形容器	別紙 1-26 横置一胴円筒形容器 (3脚以上支持)	
<p>(4) 運転時質量及び鉛直方向地震により生じる長手方向曲げモーメントによる応力(第1脚つけ根部)</p> <p>(2)で求めた曲げモーメントにより胴の脚つけ根部に生じる応力は、次のようにして求められる。</p> <p>引用文献(2)によれば、この曲げモーメントは胴の断面に対して一様に作用するものではなく、脚取付部において円周方向の曲げモーメントに置換され、胴の局部変形を生じさせようとする。</p> <p>今、長手方向の曲げモーメントによる胴の応力の影響範囲を胴下端からθの点とすると、長手方向曲げモーメントに対する胴の有効断面積は、第3.1.4.1-1図及び第3.1.4.1-2図に2θで示される円弧殻である。したがって、運転時質量による応力は、次式で表される。</p> $\sigma_{xz} = \frac{M_1}{Z} \dots\dots\dots (3.1.4.1-12)$ <p>また、鉛直方向地震による応力は、次式で表される。</p> $\sigma_{x\epsilon} = \frac{M_1}{Z} C_v \dots\dots\dots (3.1.4.1-13)$ <p>ここで、</p> $r_m = \frac{D_i + t_s}{2} \dots\dots\dots (3.1.4.1-14)$ $Z = r_m^2 t_s \left(\frac{\theta + \sin\theta \cos\theta - 2\sin^2\theta/\theta}{(\sin\theta/\theta) - \cos\theta} \right) \dots\dots\dots (3.1.4.1-15)$ <p>t_sは、tあるいは$(t+t_w)$をとるものとし、θは次式で表される。</p> <p>有効範囲に当板板厚を含めない場合($t_s = t$)</p> $\theta = \pi - \frac{5}{6}\theta_0 \dots\dots\dots (3.1.4.1-16)$ <p>当板板厚を含めない場合の有効範囲の詳細を第3.1.4.1-1図に示す。</p>  <p>第3.1.4.1-1図 当板板厚を含めない場合の脚つけ根部の有効範囲</p>	<p>(4) 運転時質量及び鉛直方向地震により生じる長手方向曲げモーメントによる応力(第1脚つけ根部)</p> <p>(2)で求めた曲げモーメントにより胴の脚つけ根部に生じる応力は、次のようにして求められる。</p> <p>引用文献(2)によれば、この曲げモーメントは胴の断面に対して一様に作用するものではなく、脚取付部において円周方向の曲げモーメントに置換され、胴の局部変形を生じさせようとする。</p> <p>今、長手方向の曲げモーメントによる胴の応力の影響範囲を胴下端からθの点とすると、長手方向曲げモーメントに対する胴の有効断面積は、第3.1.4.1-1図及び第3.1.4.1-2図に2θで示される円弧殻である。したがって、運転時質量による応力は、次式で表される。</p> $\sigma_{xz} = \frac{M_1}{Z} \dots\dots\dots (3.1.4.1-19)$ <p>また、鉛直方向地震による応力は、次式で表される。</p> $\sigma_{x\epsilon} = \frac{M_1}{Z} C_v \dots\dots\dots (3.1.4.1-20)$ <p>ここで、</p> $r_m = \frac{D_i + t_s}{2} \dots\dots\dots (3.1.4.1-21)$ $Z = r_m^2 t_s \left(\frac{\theta + \sin\theta \cos\theta - 2\sin^2\theta/\theta}{(\sin\theta/\theta) - \cos\theta} \right) \dots\dots\dots (3.1.4.1-22)$ <p>t_sは、tあるいは$(t+t_w)$をとるものとし、θは次式で表される。</p> <p>有効範囲に当板を含めない場合($t_s = t$)</p> $\theta = \pi - \frac{5}{6}\theta_0 \dots\dots\dots (3.1.4.1-23)$ <p>当板板厚を含めない場合の有効範囲の詳細を第3.1.4.1-1図に示す。</p>  <p>第3.1.4.1-1図 当板板厚を含めない場合の脚つけ根部の有効範囲</p>	

別紙 1-25 横置一胴円筒形容器	別紙 1-26 横置一胴円筒形容器 (3脚以上支持)	
<p>当該当板を含める場合 ($t_s = t + t_w$ ただし当板の範囲は周方向に 2θ 以上、軸方向に脚端部より $0.55\sqrt{D_o \cdot t}$ 以上とする) 当板板厚を含める場合の有効範囲の詳細を第3.1.4.1-2図に示す。</p> $\theta = \frac{\alpha}{2} + \frac{\frac{D_o}{20}}{\frac{D_i}{2} + (t + t_w)} \dots\dots\dots (3.1.4.1-17)$  <p>第 3.1.4.1-2 図 当板板厚を含める場合の脚つけ根部の有効範囲</p> <p>(5) 運転時質量及び鉛直方向地震による脚つけ根部の応力 胴の脚つけ根部には、脚反力による局部応力が生じる。 胴の第1脚つけ根部に作用する反力は、次式で表される。 運転時質量による反力 $P = R_1 \dots\dots\dots (3.1.4.1-18)$ 鉛直方向地震による反力 $P_g = R_1 C_v \dots\dots\dots (3.1.4.1-19)$</p> <p>この反力 P、P_g により生じる胴板の局部応力は、引用文献(1)によると次のようにして求めることができる。</p> $\gamma = r_m / t_s \dots\dots\dots (3.1.4.1-20)$ $\beta_1 = C_1 / r_m \dots\dots\dots (3.1.4.1-21)$ $\beta_2 = C_2 / r_m \dots\dots\dots (3.1.4.1-22)$	<p>当該当板を含める場合 ($t_s = t + t_w$ ただし当板の範囲は周方向に 2θ 以上、軸方向に脚端部より $0.55\sqrt{D_o \cdot t}$ 以上とする。) 当該当板を含める場合の有効範囲の詳細を第3.1.4.1-2図に示す。</p> $\theta = \frac{\alpha}{2} + \frac{\frac{D_o}{20}}{\frac{D_i}{2} + (t + t_w)} \dots\dots\dots (3.1.4.1-24)$  <p>第 3.1.4.1-2 図 当板板厚を含める場合の脚のつけ根部の有効範囲</p> <p>(5) 運転時質量及び鉛直方向地震による脚つけ根部の応力 胴の脚つけ根部には、脚反力による局部応力が生じる。 胴の第1脚つけ根部に作用する反力は、次式で表される。 運転時質量による反力 $P = R_1 \dots\dots\dots (3.1.4.1-25)$ 鉛直方向地震による反力 $P_g = R_1 C_v \dots\dots\dots (3.1.4.1-26)$</p> <p>この反力 P、P_g により生じる胴板の局部応力は、引用文献(1)によると次のようにして求めることができる。</p> $\gamma = r_m / t_s \dots\dots\dots (3.1.4.1-27)$ $\beta_1 = C_1 / r_m \dots\dots\dots (3.1.4.1-28)$ $\beta_2 = C_2 / r_m \dots\dots\dots (3.1.4.1-29)$	

別紙 1-25 横置一胴円筒形容器	別紙 1-26 横置一胴円筒形容器 (3脚以上支持)	
<p>$\beta_1/\beta_2 \geq 1$ のとき</p> $\beta = \left(1 - \frac{1}{3}(\beta_1/\beta_2 - 1)(1 - K_1)\right) \sqrt{\beta_1\beta_2} \quad \dots\dots\dots (3.1.4.1-23)$ <p>$\beta_1/\beta_2 < 1$ のとき</p> $\beta = \left(1 - \frac{4}{3}(1 - \beta_1/\beta_2)(1 - K_2)\right) \sqrt{\beta_1\beta_2} \quad \dots\dots\dots (3.1.4.1-24)$ <p>シェルパラメータγ及びアタッチメントパラメータβによって引用文献(1)の表より値を求めること(以下*を付記する)により応力は、次式で表される。</p> <p>反力Pによる応力</p> $\sigma_{\phi z} = \left[\frac{N_{\phi}}{P/r_m}\right]^* \left[\frac{P}{r_m t_{\phi}}\right] \quad \dots\dots\dots (3.1.4.1-25)$ $\sigma_{xz} = \left[\frac{N_x}{P/r_m}\right]^* \left[\frac{P}{r_m t_{\phi}}\right] \quad \dots\dots\dots (3.1.4.1-26)$ <p>反力P_{ϕ}による応力</p> <p>一次応力</p> $\sigma_{\phi r} = \left[\frac{N_{\phi}}{P_{\phi}/r_m}\right]^* \left[\frac{P_{\phi}}{r_m t_{\phi}}\right] \quad \dots\dots\dots (3.1.4.1-27)$ $\sigma_{xr} = \left[\frac{N_x}{P_{\phi}/r_m}\right]^* \left[\frac{P_{\phi}}{r_m t_{\phi}}\right] \quad \dots\dots\dots (3.1.4.1-28)$ <p>二次応力</p> $\sigma_{2\phi r} = \left[\frac{M_{\phi}}{P_{\phi}}\right]^* \left[\frac{6P_{\phi}}{t_{\phi}^2}\right] \quad \dots\dots\dots (3.1.4.1-29)$ $\sigma_{2xr} = \left[\frac{M_x}{P_{\phi}}\right]^* \left[\frac{6P_{\phi}}{t_{\phi}^2}\right] \quad \dots\dots\dots (3.1.4.1-30)$	<p>$\beta_1/\beta_2 \geq 1$ のとき</p> $\beta = \left(1 - \frac{1}{3}(\beta_1/\beta_2 - 1)(1 - K_1)\right) \sqrt{\beta_1\beta_2} \quad \dots\dots\dots (3.1.4.1-30)$ <p>$\beta_1/\beta_2 < 1$ のとき</p> $\beta = \left(1 - \frac{4}{3}(1 - \beta_1/\beta_2)(1 - K_2)\right) \sqrt{\beta_1\beta_2} \quad \dots\dots\dots (3.1.4.1-31)$ <p>シェルパラメータγ及びアタッチメントパラメータβによって引用文献(1)の表より値を求めること(以下*を付記する)により応力は、次式で表される。</p> <p>反力Pによる応力</p> $\sigma_{\phi z} = \left[\frac{N_{\phi}}{P/r_m}\right]^* \left[\frac{P}{r_m t_{\phi}}\right] \quad \dots\dots\dots (3.1.4.1-32)$ $\sigma_{xz} = \left[\frac{N_x}{P/r_m}\right]^* \left[\frac{P}{r_m t_{\phi}}\right] \quad \dots\dots\dots (3.1.4.1-33)$ <p>反力P_{ϕ}による応力</p> <p>一次応力</p> $\sigma_{\phi r} = \left[\frac{N_{\phi}}{P_{\phi}/r_m}\right]^* \left[\frac{P_{\phi}}{r_m t_{\phi}}\right] \quad \dots\dots\dots (3.1.4.1-34)$ $\sigma_{xr} = \left[\frac{N_x}{P_{\phi}/r_m}\right]^* \left[\frac{P_{\phi}}{r_m t_{\phi}}\right] \quad \dots\dots\dots (3.1.4.1-35)$ <p>二次応力</p> $\sigma_{2\phi r} = \left[\frac{M_{\phi}}{P_{\phi}}\right]^* \left[\frac{6P_{\phi}}{t_{\phi}^2}\right] \quad \dots\dots\dots (3.1.4.1-36)$ $\sigma_{2xr} = \left[\frac{M_x}{P_{\phi}}\right]^* \left[\frac{6P_{\phi}}{t_{\phi}^2}\right] \quad \dots\dots\dots (3.1.4.1-37)$	

別紙 1-25 横置一胴円筒形容器	別紙 1-26 横置一胴円筒形容器 (3脚以上支持)	
 <p data-bbox="409 640 866 672">第 3.1.4.1-3図 脚が胴に及ぼす力の関係</p>	 <p data-bbox="1187 714 1691 745">第 3.1.4.1-3図 脚が胴に及ぼす力の関係</p>	

別紙 1-25 横置一胴円筒形容器	別紙 1-26 横置一胴円筒形容器 (3脚以上支持)	
<p>(6) 長手方向地震による脚つけ根部の応力 第2脚は、長手方向に自由にスライドできるので第1脚は第3.1.3-3図のように変形し、脚つけ根部に作用する曲げモーメント及び鉛直荷重(偶力)は、次式で表される。</p> $M_1 = \frac{1}{2} C_H (m_0 - m_1) g h_1 \quad \dots\dots\dots (3.1.4.1-31)$ $P_1 = C_H (m_0 - m_1) g \frac{h_2 - \frac{1}{2} h_1}{l_0} \quad \dots\dots\dots (3.1.4.1-32)$	<p>(6) 長手方向地震による脚つけ根部の応力 (3脚長手方向スライドの場合) 第2脚及び第3脚は、長手方向に自由にスライドできるので第1脚は第3.1.3-3図のように変形し、脚つけ根部に作用する曲げモーメント及び鉛直荷重(偶力)は、次式で表される。</p> $M_1 = \frac{1}{2} C_H (m_0 - m_1) g h_1 \quad \dots\dots\dots (3.1.4.1-38)$ $P_1 = C_H (m_0 - m_1) g \frac{h_2 - \frac{1}{2} h_1}{l_0} \quad \dots\dots\dots (3.1.4.1-39)$	
	<p>(5脚固定の場合)</p> $M_1 = \frac{1}{10} C_H (m_0 - m_1) g h_1 \quad \dots\dots\dots (3.1.4.1-40)$ $P_1 = C_H (m_0 - m_1) g \frac{h_2 - \frac{1}{2} h_1}{5l_0} \quad \dots\dots\dots (3.1.4.1-41)$	②
<p>ただし、脚下端が単純支持の場合は式(3.1.4.1-31)の係数1/2を1に、式(3.1.4.1-32)の係数1/2を0に置き換えるものとする。 曲げモーメントM_1と鉛直荷重P_1により生じる胴板の局部応力は(5)と同様な方法で引用文献(1)より求められる。 曲げモーメントM_1により生じる応力は、次式で表される。</p> <p>一次応力</p> $\sigma_{\theta+1} = \left[\frac{N_\theta}{M_1 / (r_m \beta)} \right]^* \left[\frac{M_1}{r_m^2 t_w \beta_1} \right] C_1 \quad \dots\dots\dots (3.1.4.1-33)$ $\sigma_{x+1} = \left[\frac{N_x}{M_1 / (r_m \beta)} \right]^* \left[\frac{M_1}{r_m^2 t_w \beta_1} \right] C_1 \quad \dots\dots\dots (3.1.4.1-34)$ <p>二次応力</p> $\sigma_{2\theta+1} = \left[\frac{M_\theta}{M_1 / (r_m \beta)} \right]^* \left[\frac{6M_1}{r_m t_w^2 \beta_1} \right] \quad \dots\dots\dots (3.1.4.1-35)$ $\sigma_{2x+1} = \left[\frac{M_x}{M_1 / (r_m \beta)} \right]^* \left[\frac{6M_1}{r_m t_w^2 \beta_1} \right] \quad \dots\dots\dots (3.1.4.1-36)$ <p>ここで、 $\beta_1 = \sqrt[3]{\beta_1 \beta_2^2} \quad \dots\dots\dots (3.1.4.1-37)$ ただし、二次応力を求める場合はさらにk_1を乗じた値とする。</p>	<p>ただし、脚下端が単純支持の場合は式(3.1.4.1-38)の係数1/2を1に、式(3.1.4.1-39)の係数1/2を0に置き換えるものとする。 曲げモーメントM_1と鉛直荷重P_1により生じる胴板の局部応力は(5)と同様な方法で引用文献(1)より求められる。 曲げモーメントM_1により生じる応力は、次式で表される。</p> <p>一次応力</p> $\sigma_{\theta+1} = \left[\frac{N_\theta}{M_1 / (r_w \beta)} \right]^* \left[\frac{M_1}{r_w^2 t_w \beta_1} \right] C_1 \quad \dots\dots\dots (3.1.4.1-42)$ $\sigma_{x+1} = \left[\frac{N_x}{M_1 / (r_w \beta)} \right]^* \left[\frac{M_1}{r_w^2 t_w \beta_1} \right] C_1 \quad \dots\dots\dots (3.1.4.1-43)$ <p>二次応力</p> $\sigma_{2\theta+1} = \left[\frac{M_\theta}{M_1 / (r_w \beta)} \right]^* \left[\frac{6M_1}{r_w t_w^2 \beta_1} \right] \quad \dots\dots\dots (3.1.4.1-44)$ $\sigma_{2x+1} = \left[\frac{M_x}{M_1 / (r_w \beta)} \right]^* \left[\frac{6M_1}{r_w t_w^2 \beta_1} \right] \quad \dots\dots\dots (3.1.4.1-45)$ <p>ここで、 $\beta_1 = \sqrt[3]{\beta_1 \beta_2^2} \quad \dots\dots\dots (3.1.4.1-46)$ ただし、二次応力を求める場合はさらにk_uを乗じた値とする。</p>	

別紙 1-25 横置一胴円筒形容器	別紙 1-26 横置一胴円筒形容器 (3脚以上支持)	
<p>鉛直荷重P_1により生じる応力は、次式で表される。</p> <p>一次応力</p> $\sigma_{\theta 42} = \left[\frac{N_{\theta}}{P_1 / r_m} \right]^* \left[\frac{P_1}{r_m t_c} \right] \dots\dots\dots (3.1.4.1-38)$ $\sigma_{x 42} = \left[\frac{N_x}{P_1 / r_m} \right]^* \left[\frac{P_1}{r_m t_c} \right] \dots\dots\dots (3.1.4.1-39)$ <p>二次応力</p> $\sigma_{2\theta 42} = \left[\frac{M_{\theta}}{P_1} \right]^* \left[\frac{6P_1}{t_c^2} \right] \dots\dots\dots (3.1.4.1-40)$ $\sigma_{2x 42} = \left[\frac{M_x}{P_1} \right]^* \left[\frac{6P_1}{t_c^2} \right] \dots\dots\dots (3.1.4.1-41)$ <p>また、水平方向荷重により胴板に生じる引張応力は、次式で表される。</p> $\sigma_{x 43} = \frac{C_H(m_0 - m_s)g}{\pi(D_i + t)t} \dots\dots\dots (3.1.4.1-42)$	<p>鉛直荷重P_1により生じる応力は、次式で表される。</p> <p>一次応力</p> $\sigma_{\theta 42} = \left[\frac{N_{\theta}}{P_1 / r_m} \right]^* \left[\frac{P_1}{r_m t_c} \right] \dots\dots\dots (3.1.4.1-47)$ $\sigma_{x 42} = \left[\frac{N_x}{P_1 / r_m} \right]^* \left[\frac{P_1}{r_m t_c} \right] \dots\dots\dots (3.1.4.1-48)$ <p>二次応力</p> $\sigma_{2\theta 42} = \left[\frac{M_{\theta}}{P_1} \right]^* \left[\frac{6P_1}{t_c^2} \right] \dots\dots\dots (3.1.4.1-49)$ $\sigma_{2x 42} = \left[\frac{M_x}{P_1} \right]^* \left[\frac{6P_1}{t_c^2} \right] \dots\dots\dots (3.1.4.1-50)$ <p>また、水平方向荷重により胴板に生じる引張応力は、次式で表される。</p> $\sigma_{x 43} = \frac{C_H(m_0 - m_s)g}{\pi(D_i + t)t} \dots\dots\dots (3.1.4.1-51)$	

別紙 1-25 横置一胴円筒形容器	別紙 1-26 横置一胴円筒形容器 (3脚以上支持)	
<p>したがって、曲げモーメント M_1、鉛直力 F_1 及び水平方向荷重により生じる胴板の応力は、次式で表される。</p> <p>一次応力</p> $\sigma_{\phi 4} = \sigma_{\phi 41} + \sigma_{\phi 42} \dots\dots\dots (3.1.4.1-43)$ $\sigma_{x 4} = \sigma_{x 41} + \sigma_{x 42} + \sigma_{x 43} \dots\dots\dots (3.1.4.1-44)$ <p>二次応力</p> $\sigma_{2 \phi 4} = \sigma_{2 \phi 41} + \sigma_{2 \phi 42} \dots\dots\dots (3.1.4.1-45)$ $\sigma_{2 x 4} = \sigma_{2 x 41} + \sigma_{2 x 42} \dots\dots\dots (3.1.4.1-46)$ <p>また、長手方向の地震が作用した場合、第1脚つけ根部に生じるせん断応力は、次式で表される。</p> $\tau_1 = \frac{C_H(m_0 - m_1)g}{4C_s t} \dots\dots\dots (3.1.4.1-47)$	<p>したがって、曲げモーメント M_1、鉛直力 F_1 及び水平方向荷重により生じる胴板の応力は、次式で表される。</p> <p>一次応力</p> $\sigma_{\phi 4} = \sigma_{\phi 41} + \sigma_{\phi 42} \dots\dots\dots (3.1.4.1-52)$ $\sigma_{x 4} = \sigma_{x 41} + \sigma_{x 42} + \sigma_{x 43} \dots\dots\dots (3.1.4.1-53)$ <p>二次応力</p> $\sigma_{2 \phi 4} = \sigma_{2 \phi 41} + \sigma_{2 \phi 42} \dots\dots\dots (3.1.4.1-54)$ $\sigma_{2 x 4} = \sigma_{2 x 41} + \sigma_{2 x 42} \dots\dots\dots (3.1.4.1-55)$ <p>また、長手方向の地震が作用した場合、第1脚つけ根部に生じるせん断応力は、次式で表される。</p> <p>(3脚長手方向スライドの場合)</p> $\tau_1 = \frac{C_H(m_0 - m_1)g}{4C_s t} \dots\dots\dots (3.1.4.1-56)$	
	<p>(5脚固定の場合)</p> $\tau_1 = \frac{C_H(m_0 - m_1)g}{20C_s t} \dots\dots\dots (3.1.4.1-57)$	②
<p>(7) 横方向地震による脚つけ根部の応力</p> <p>横方向の地震が作用した場合、第1脚のつけ根部に作用する曲げモーメント M_c は、次式で表される。</p> $M_c = C_H R_1 r_0 \dots\dots\dots (3.1.4.1-48)$ $r_0 = \frac{D_1}{2} + t_s \dots\dots\dots (3.1.4.1-49)$ <p>この曲げモーメント M_c により生じる胴板の局部応力は、(5)、(6)と同様な方法で引用文献(1)より求められる。</p> <p>シェルパラメータ β_c は(5)と同じであるが、アタッチメントパラメータ β_0 は、次式で表される。</p> $\beta_c = \sqrt[3]{\beta_1^2 \beta_2} \dots\dots\dots (3.1.4.1-50)$ <p>ただし、二次応力を求める場合はさらに k_{c1} を乗じた値とする。</p>	<p>(7) 横方向地震による脚つけ根部の応力</p> <p>横方向の地震が作用した場合、第1脚のつけ根部に作用する曲げモーメント M_c は、次式で表される。</p> $M_c = C_H R_1 r_0 \dots\dots\dots (3.1.4.1-58)$ $r_0 = \frac{D_1}{2} + t_s \dots\dots\dots (3.1.4.1-59)$ <p>この曲げモーメント M_c により生じる胴板の局部応力は、(5)、(6)と同様な方法で引用文献(1)より求められる。</p> <p>シェルパラメータ β_c は(5)と同じであるが、アタッチメントパラメータ β_0 は、次式で表される。</p> $\beta_c = \sqrt[3]{\beta_1^2 \beta_2} \dots\dots\dots (3.1.4.1-60)$ <p>ただし、二次応力を求める場合はさらに k_{c1} を乗じた値とする。</p>	

別紙 1-25 横置一胴円筒形容器	別紙 1-26 横置一胴円筒形容器 (3脚以上支持)	
<p>したがって応力は、次式で表される。</p> <p>一次応力</p> $\sigma_{\phi s} = \left[\frac{N_{\phi}}{M_{\phi} / (r_m^2 \beta)} \right]^* \left[\frac{M_{\phi}}{r_m^2 \beta_c t_{\phi}} \right] C_c \dots\dots\dots (3.1.4.1-51)$ $\sigma_{x s} = \left[\frac{N_x}{M_x / (r_m^2 \beta)} \right]^* \left[\frac{M_x}{r_m^2 \beta_c t_{\phi}} \right] C_c \dots\dots\dots (3.1.4.1-52)$ <p>二次応力</p> $\sigma_{2\phi s} = \left[\frac{M_{\phi}}{M_{\phi} / (r_m \beta)} \right]^* \left[\frac{6M_{\phi}}{r_m \beta_c t_{\phi}^2} \right] \dots\dots\dots (3.1.4.1-53)$ $\sigma_{2x s} = \left[\frac{M_x}{M_x / (r_m \beta)} \right]^* \left[\frac{6M_x}{r_m \beta_c t_{\phi}^2} \right] \dots\dots\dots (3.1.4.1-54)$ <p>また、横方向に地震が作用した場合第1脚つけ根部に生じるせん断応力は、次式で表される。</p> $\tau_{\phi} = \frac{C_H R_1}{4 C_L t} \dots\dots\dots (3.1.4.1-55)$ <p>(8) 組合せ応力 (3)~(7)によって算出される第1脚つけ根部に生じる胴板の応力は、以下により組み合わせられる。</p> <p>a. 一次一般膜応力 【絶対値和】 (a) 長手方向地震及び鉛直方向地震が作用した場合</p> $\sigma_{b1} = \max \left[\sigma_{b1\phi}, \sigma_{b1x} \right] \dots\dots\dots (3.1.4.1-56)$ <p>ここで、</p> $\sigma_{b1\phi} = \sigma_{\phi 1} + \sigma_{\phi 2} \dots\dots\dots (3.1.4.1-57)$ $\sigma_{b1x} = \sigma_{x 1} + \sigma_{x 2} + \sigma_{x 3} + \sigma_{x 4} \dots\dots\dots (3.1.4.1-58)$	<p>したがって応力は、次式で表される。</p> <p>一次応力</p> $\sigma_{\phi s} = \left[\frac{N_{\phi}}{M_{\phi} / (r_m^2 \beta)} \right]^* \left[\frac{M_{\phi}}{r_m^2 \beta_c t_{\phi}} \right] C_c \dots\dots\dots (3.1.4.1-61)$ $\sigma_{x s} = \left[\frac{N_x}{M_x / (r_m^2 \beta)} \right]^* \left[\frac{M_x}{r_m^2 \beta_c t_{\phi}} \right] C_c \dots\dots\dots (3.1.4.1-62)$ <p>二次応力</p> $\sigma_{2\phi s} = \left[\frac{M_{\phi}}{M_{\phi} / (r_m \beta)} \right]^* \left[\frac{6M_{\phi}}{r_m \beta_c t_{\phi}^2} \right] \dots\dots\dots (3.1.4.1-63)$ $\sigma_{2x s} = \left[\frac{M_x}{M_x / (r_m \beta)} \right]^* \left[\frac{6M_x}{r_m \beta_c t_{\phi}^2} \right] \dots\dots\dots (3.1.4.1-64)$ <p>また、横方向に地震が作用した場合第1脚つけ根部に生じるせん断応力は、次式で表される。</p> $\tau_{\phi} = \frac{C_H R_1}{4 C_L t} \dots\dots\dots (3.1.4.1-65)$ <p>(8) 組合せ応力 (3)~(7)によって算出される第1脚つけ根部に生じる胴板の応力は、以下により組み合わせられる。</p> <p>a. 一次一般膜応力 【絶対値和】 (a) 長手方向地震及び鉛直方向地震が作用した場合</p> $\sigma_{b1} = \max \left[\sigma_{b1\phi}, \sigma_{b1x} \right] \dots\dots\dots (3.1.4.1-66)$ <p>ここで、</p> $\sigma_{b1\phi} = \sigma_{\phi 1} + \sigma_{\phi 2} \dots\dots\dots (3.1.4.1-67)$ $\sigma_{b1x} = \sigma_{x 1} + \sigma_{x 2} + \sigma_{x 3} + \sigma_{x 4} \dots\dots\dots (3.1.4.1-68)$	

別紙 1-25 横置一胴円筒形容器	別紙 1-26 横置一胴円筒形容器 (3脚以上支持)	
<p>(b) 横方向地震及び鉛直方向地震が作用した場合</p> $\sigma_{0c} = \max[\sigma_{0c\phi}, \sigma_{0cz}] \quad \dots\dots\dots (3.1.4.1-59)$ <p>ここで,</p> $\sigma_{0c\phi} = \sigma_{\phi 1} + \sigma_{\phi 2} \quad \dots\dots\dots (3.1.4.1-60)$ $\sigma_{0cz} = \sigma_{z1} + \sigma_{z2} + \sigma_{z\theta} \quad \dots\dots\dots (3.1.4.1-61)$ <p>【SRSS法】</p> <p>(a) 長手方向地震及び鉛直方向地震が作用した場合</p> $\sigma_{0l} = \max[\sigma_{0l\phi}, \sigma_{0lz}] \quad \dots\dots\dots (3.1.4.1-62)$ <p>ここで,</p> $\sigma_{0l\phi} = \sigma_{\phi 1} + \sigma_{\phi 2} \quad \dots\dots\dots (3.1.4.1-63)$ $\sigma_{0lz} = \sigma_{z1} + \sigma_{z2} + \sqrt{\sigma_{z\theta}^2 + \sigma_{z4\theta}^2} \quad \dots\dots\dots (3.1.4.1-64)$ <p>(b) 横方向地震及び鉛直方向地震が作用した場合</p> $\sigma_{0c} = \max[\sigma_{0c\phi}, \sigma_{0cz}] \quad \dots\dots\dots (3.1.4.1-65)$ <p>ここで,</p> $\sigma_{0c\phi} = \sigma_{\phi 1} + \sigma_{\phi 2} \quad \dots\dots\dots (3.1.4.1-66)$ $\sigma_{0cz} = \sigma_{z1} + \sigma_{z2} + \sigma_{z\theta} \quad \dots\dots\dots (3.1.4.1-67)$ <p>したがって, 胴板に生じる一次一般膜応力の最大値は, 次式で表される。</p> $\sigma_0 = \max[\sigma_{0l}, \sigma_{0c}] \quad \dots\dots\dots (3.1.4.1-68)$ <p>b. 一次応力</p> <p>【絶対値和】</p> <p>(a) 長手方向地震及び鉛直方向地震が作用した場合</p> $\sigma_{11} = \frac{1}{2} \left\{ (\sigma_{11\phi} + \sigma_{11z}) + \sqrt{(\sigma_{11\phi} - \sigma_{11z})^2 + 4\tau^2} \right\} \quad \dots\dots (3.1.4.1-69)$ <p>ここで,</p> $\sigma_{11\phi} = \sigma_{\phi 1} + \sigma_{\phi 2} + \sigma_{\phi 3} + \sigma_{\phi 4} + \sigma_{\phi 7} \quad \dots\dots\dots (3.1.4.1-70)$ $\sigma_{11z} = \sigma_{z1} + \sigma_{z2} + \sigma_{z3} + \sigma_{z4} + \sigma_{z5} + \sigma_{z7} \quad \dots\dots\dots (3.1.4.1-71)$	<p>(b) 横方向地震及び鉛直方向地震が作用した場合</p> $\sigma_{0c} = \max[\sigma_{0c\phi}, \sigma_{0cz}] \quad \dots\dots\dots (3.1.4.1-69)$ <p>ここで,</p> $\sigma_{0c\phi} = \sigma_{\phi 1} + \sigma_{\phi 2} \quad \dots\dots\dots (3.1.4.1-70)$ $\sigma_{0cz} = \sigma_{z1} + \sigma_{z2} + \sigma_{z\theta} \quad \dots\dots\dots (3.1.4.1-71)$ <p>【SRSS法】</p> <p>(a) 長手方向地震及び鉛直方向地震が作用した場合</p> $\sigma_{0l} = \max[\sigma_{0l\phi}, \sigma_{0lz}] \quad \dots\dots\dots (3.1.4.1-72)$ <p>ここで,</p> $\sigma_{0l\phi} = \sigma_{\phi 1} + \sigma_{\phi 2} \quad \dots\dots\dots (3.1.4.1-73)$ $\sigma_{0lz} = \sigma_{z1} + \sigma_{z2} + \sqrt{\sigma_{z\theta}^2 + \sigma_{z4\theta}^2} \quad \dots\dots\dots (3.1.4.1-74)$ <p>(b) 横方向地震及び鉛直方向地震が作用した場合</p> $\sigma_{0c} = \max[\sigma_{0c\phi}, \sigma_{0cz}] \quad \dots\dots\dots (3.1.4.1-75)$ <p>ここで,</p> $\sigma_{0c\phi} = \sigma_{\phi 1} + \sigma_{\phi 2} \quad \dots\dots\dots (3.1.4.1-76)$ $\sigma_{0cz} = \sigma_{z1} + \sigma_{z2} + \sigma_{z\theta} \quad \dots\dots\dots (3.1.4.1-77)$ <p>したがって, 胴板に生じる一次一般膜応力の最大値は, 次式で表される。</p> $\sigma_0 = \max[\sigma_{0l}, \sigma_{0c}] \quad \dots\dots\dots (3.1.4.1-78)$ <p>b. 一次応力</p> <p>【絶対値和】</p> <p>(a) 長手方向地震及び鉛直方向地震が作用した場合</p> $\sigma_{11} = \frac{1}{2} \left\{ (\sigma_{11\phi} + \sigma_{11z}) + \sqrt{(\sigma_{11\phi} - \sigma_{11z})^2 + 4\tau^2} \right\} \quad \dots\dots (3.1.4.1-79)$ <p>ここで,</p> $\sigma_{11\phi} = \sigma_{\phi 1} + \sigma_{\phi 2} + \sigma_{\phi 3} + \sigma_{\phi 4} + \sigma_{\phi 7} \quad \dots\dots\dots (3.1.4.1-80)$ $\sigma_{11z} = \sigma_{z1} + \sigma_{z2} + \sigma_{z3} + \sigma_{z4} + \sigma_{z5} + \sigma_{z7} \quad \dots\dots\dots (3.1.4.1-81)$	

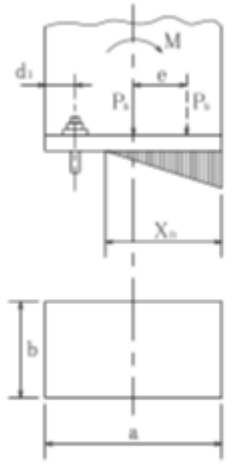
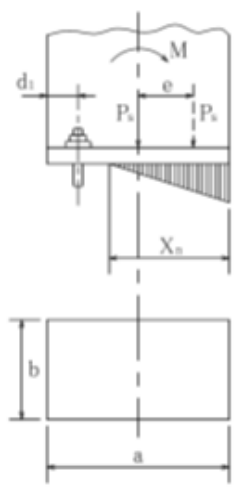
別紙 1-25 横置一胴円筒形容器	別紙 1-26 横置一胴円筒形容器 (3脚以上支持)	
<p>(b) 横方向地震及び鉛直方向地震が発生した場合</p> $\sigma_{1c} = \frac{1}{2} \left\{ (\sigma_{1c\phi} + \sigma_{1cx}) + \sqrt{(\sigma_{1c\phi} - \sigma_{1cx})^2 + 4\tau_c^2} \right\} \dots (3.1.4.1-72)$ <p>ここで,</p> $\sigma_{1c\phi} = \sigma_{\phi 1} + \sigma_{\phi 2} + \sigma_{\phi 3} + \sigma_{\phi 5} + \sigma_{\phi 7} \dots (3.1.4.1-73)$ $\sigma_{1cx} = \sigma_{x1} + \sigma_{x2} + \sigma_{x3} + \sigma_{x5} + \sigma_{x6} + \sigma_{x7} \dots (3.1.4.1-74)$ <p>【SRSS法】</p> <p>(a) 長手方向地震及び鉛直方向地震が作用した場合</p> $\sigma_{11} = \frac{1}{2} \left\{ (\sigma_{11\phi} + \sigma_{11x}) + \sqrt{(\sigma_{11\phi} - \sigma_{11x})^2 + 4\tau^2} \right\} \dots (3.1.4.1-75)$ <p>ここで,</p> $\sigma_{11\phi} = \sigma_{\phi 1} + \sigma_{\phi 2} + \sqrt{\sigma_{\phi 4}^2 + (\sigma_{\phi 2} + \sigma_{\phi 7})^2} \dots (3.1.4.1-76)$ $\sigma_{11x} = \sigma_{x1} + \sigma_{x2} + \sqrt{\sigma_{x4}^2 + (\sigma_{x5} + \sigma_{x7})^2} \dots (3.1.4.1-77)$ <p>(b) 横方向地震及び鉛直方向地震が発生した場合</p> $\sigma_{1c} = \frac{1}{2} \left\{ (\sigma_{1c\phi} + \sigma_{1cx}) + \sqrt{(\sigma_{1c\phi} - \sigma_{1cx})^2 + 4\tau_c^2} \right\} \dots (3.1.4.1-78)$ <p>ここで,</p> $\sigma_{1c\phi} = \sigma_{\phi 1} + \sigma_{\phi 3} + \sqrt{\sigma_{\phi 5}^2 + (\sigma_{\phi 2} + \sigma_{\phi 7})^2} \dots (3.1.4.1-79)$ $\sigma_{1cx} = \sigma_{x1} + \sigma_{x2} + \sigma_{x3} + \sqrt{\sigma_{x5}^2 + (\sigma_{x6} + \sigma_{x7})^2} \dots (3.1.4.1-80)$ <p>したがって, 胴板に生じる一次応力の最大値は, 次式で表される。</p> $\sigma_1 = \max \left[\sigma_{11}, \sigma_{1c} \right] \dots (3.1.4.1-81)$	<p>(b) 横方向地震及び鉛直方向地震が作用した場合</p> $\sigma_{1c} = \frac{1}{2} \left\{ (\sigma_{1c\phi} + \sigma_{1cx}) + \sqrt{(\sigma_{1c\phi} - \sigma_{1cx})^2 + 4\tau_c^2} \right\} \dots (3.1.4.1-82)$ <p>ここで,</p> $\sigma_{1c\phi} = \sigma_{\phi 1} + \sigma_{\phi 2} + \sigma_{\phi 3} + \sigma_{\phi 5} + \sigma_{\phi 7} \dots (3.1.4.1-83)$ $\sigma_{1cx} = \sigma_{x1} + \sigma_{x2} + \sigma_{x3} + \sigma_{x5} + \sigma_{x6} + \sigma_{x7} \dots (3.1.4.1-84)$ <p>【SRSS法】</p> <p>(a) 長手方向地震及び鉛直方向地震が作用した場合</p> $\sigma_{11} = \frac{1}{2} \left\{ (\sigma_{11\phi} + \sigma_{11x}) + \sqrt{(\sigma_{11\phi} - \sigma_{11x})^2 + 4\tau^2} \right\} \dots (3.1.4.1-85)$ <p>ここで,</p> $\sigma_{11\phi} = \sigma_{\phi 1} + \sigma_{\phi 2} + \sqrt{\sigma_{\phi 4}^2 + (\sigma_{\phi 2} + \sigma_{\phi 7})^2} \dots (3.1.4.1-86)$ $\sigma_{11x} = \sigma_{x1} + \sigma_{x2} + \sqrt{\sigma_{x4}^2 + (\sigma_{x5} + \sigma_{x7})^2} \dots (3.1.4.1-87)$ <p>(b) 横方向地震及び鉛直方向地震が作用した場合</p> $\sigma_{1c} = \frac{1}{2} \left\{ (\sigma_{1c\phi} + \sigma_{1cx}) + \sqrt{(\sigma_{1c\phi} - \sigma_{1cx})^2 + 4\tau_c^2} \right\} \dots (3.1.4.1-88)$ <p>ここで,</p> $\sigma_{1c\phi} = \sigma_{\phi 1} + \sigma_{\phi 3} + \sqrt{\sigma_{\phi 5}^2 + (\sigma_{\phi 2} + \sigma_{\phi 7})^2} \dots (3.1.4.1-89)$ $\sigma_{1cx} = \sigma_{x1} + \sigma_{x2} + \sigma_{x3} + \sqrt{\sigma_{x5}^2 + (\sigma_{x6} + \sigma_{x7})^2} \dots (3.1.4.1-90)$ <p>したがって, 胴板に生じる一次応力の最大値は, 次式で表される。</p> $\sigma_1 = \max \left[\sigma_{11}, \sigma_{1c} \right] \dots (3.1.4.1-91)$	

別紙 1-25 横置一胴円筒形容器	別紙 1-26 横置一胴円筒形容器 (3脚以上支持)	
<p>c. 地震動のみによる一次+二次応力の変動値 【絶対値和】</p> <p>(a) 長手方向地震及び鉛直方向地震が作用した場合</p> $\sigma_{21} = \sigma_{21\phi} + \sigma_{21x} + \sqrt{(\sigma_{21\phi} - \sigma_{21x})^2 + 4\tau_1^2} \dots\dots\dots (3.1.4.1-82)$ <p>ここで,</p> $\sigma_{21\phi} = \sigma_{\phi 2} + \sigma_{\phi 4} + \sigma_{2\phi 4} + \sigma_{\phi 7} + \sigma_{2\phi 7} \dots\dots\dots (3.1.4.1-83)$ $\sigma_{21x} = \sigma_{x 4} + \sigma_{2x 4} + \sigma_{x 6} + \sigma_{x 7} + \sigma_{2x 7} \dots\dots\dots (3.1.4.1-84)$ <p>(b) 横方向地震及び鉛直方向地震が作用した場合</p> $\sigma_{2c} = \sigma_{2c\phi} + \sigma_{2cx} + \sqrt{(\sigma_{2c\phi} - \sigma_{2cx})^2 + 4\tau_c^2} \dots\dots\dots (3.1.4.1-85)$ <p>ここで,</p> $\sigma_{2c\phi} = \sigma_{\phi 2} + \sigma_{\phi 5} + \sigma_{2\phi 5} + \sigma_{\phi 7} + \sigma_{2\phi 7} \dots\dots\dots (3.1.4.1-86)$ $\sigma_{2cx} = \sigma_{x 5} + \sigma_{2x 5} + \sigma_{x 6} + \sigma_{x 7} + \sigma_{2x 7} \dots\dots\dots (3.1.4.1-87)$ <p>【SRSS法】</p> <p>(a) 長手方向地震及び鉛直方向地震が作用した場合</p> $\sigma_{21} = \sigma_{21\phi} + \sigma_{21x} + \sqrt{(\sigma_{21\phi} - \sigma_{21x})^2 + 4\tau_1^2} \dots\dots\dots (3.1.4.1-88)$ <p>ここで,</p> $\sigma_{21\phi} = \sqrt{(\sigma_{\phi 2} + \sigma_{\phi 7} + \sigma_{2\phi 7})^2 + (\sigma_{\phi 4} + \sigma_{2\phi 4})^2} \dots\dots\dots (3.1.4.1-89)$ $\sigma_{21x} = \sqrt{(\sigma_{x 4} + \sigma_{2x 4})^2 + (\sigma_{x 6} + \sigma_{x 7} + \sigma_{2x 7})^2} \dots\dots\dots (3.1.4.1-90)$ <p>(b) 横方向地震及び鉛直方向地震が発生した場合</p> $\sigma_{2c} = \sigma_{2c\phi} + \sigma_{2cx} + \sqrt{(\sigma_{2c\phi} - \sigma_{2cx})^2 + 4\tau_c^2} \dots\dots\dots (3.1.4.1-91)$ <p>ここで,</p> $\sigma_{2c\phi} = \sqrt{(\sigma_{\phi 2} + \sigma_{\phi 7} + \sigma_{2\phi 7})^2 + (\sigma_{\phi 5} + \sigma_{2\phi 5})^2} \dots\dots\dots (3.1.4.1-92)$ $\sigma_{2cx} = \sqrt{(\sigma_{x 5} + \sigma_{2x 5})^2 + (\sigma_{x 6} + \sigma_{x 7} + \sigma_{2x 7})^2} \dots\dots\dots (3.1.4.1-93)$ <p>したがって、胴板に生じる地震動のみによる一次+二次応力の変動値の最大値は、次式で表される。</p> $\sigma_2 = \max[\sigma_{21}, \sigma_{2c}] \dots\dots\dots (3.1.4.1-94)$	<p>c. 地震動のみによる一次応力と二次応力の変動値 【絶対値和】</p> <p>(a) 長手方向地震及び鉛直方向地震が作用した場合</p> $\sigma_{21} = \sigma_{21\phi} + \sigma_{21x} + \sqrt{(\sigma_{21\phi} - \sigma_{21x})^2 + 4\tau_1^2} \dots\dots\dots (3.1.4.1-92)$ <p>ここで,</p> $\sigma_{21\phi} = \sigma_{\phi 2} + \sigma_{\phi 4} + \sigma_{2\phi 4} + \sigma_{\phi 7} + \sigma_{2\phi 7} \dots\dots\dots (3.1.4.1-93)$ $\sigma_{21x} = \sigma_{x 4} + \sigma_{2x 4} + \sigma_{x 6} + \sigma_{x 7} + \sigma_{2x 7} \dots\dots\dots (3.1.4.1-94)$ <p>(b) 横方向地震及び鉛直方向地震が作用した場合</p> $\sigma_{2c} = \sigma_{2c\phi} + \sigma_{2cx} + \sqrt{(\sigma_{2c\phi} - \sigma_{2cx})^2 + 4\tau_c^2} \dots\dots\dots (3.1.4.1-95)$ <p>ここで,</p> $\sigma_{2c\phi} = \sigma_{\phi 2} + \sigma_{\phi 5} + \sigma_{2\phi 5} + \sigma_{\phi 7} + \sigma_{2\phi 7} \dots\dots\dots (3.1.4.1-96)$ $\sigma_{2cx} = \sigma_{x 5} + \sigma_{2x 5} + \sigma_{x 6} + \sigma_{x 7} + \sigma_{2x 7} \dots\dots\dots (3.1.4.1-97)$ <p>【SRSS法】</p> <p>(a) 長手方向地震及び鉛直方向地震が作用した場合</p> $\sigma_{21} = \sigma_{21\phi} + \sigma_{21x} + \sqrt{(\sigma_{21\phi} - \sigma_{21x})^2 + 4\tau_1^2} \dots\dots\dots (3.1.4.1-98)$ <p>ここで,</p> $\sigma_{21\phi} = \sqrt{(\sigma_{\phi 2} + \sigma_{\phi 7} + \sigma_{2\phi 7})^2 + (\sigma_{\phi 4} + \sigma_{2\phi 4})^2} \dots\dots\dots (3.1.4.1-99)$ $\sigma_{21x} = \sqrt{(\sigma_{x 4} + \sigma_{2x 4})^2 + (\sigma_{x 6} + \sigma_{x 7} + \sigma_{2x 7})^2} \dots\dots\dots (3.1.4.1-100)$ <p>(b) 横方向地震及び鉛直方向地震が作用した場合</p> $\sigma_{2c} = \sigma_{2c\phi} + \sigma_{2cx} + \sqrt{(\sigma_{2c\phi} - \sigma_{2cx})^2 + 4\tau_c^2} \dots\dots\dots (3.1.4.1-101)$ <p>ここで,</p> $\sigma_{2c\phi} = \sqrt{(\sigma_{\phi 2} + \sigma_{\phi 7} + \sigma_{2\phi 7})^2 + (\sigma_{\phi 5} + \sigma_{2\phi 5})^2} \dots\dots\dots (3.1.4.1-102)$ $\sigma_{2cx} = \sqrt{(\sigma_{x 5} + \sigma_{2x 5})^2 + (\sigma_{x 6} + \sigma_{x 7} + \sigma_{2x 7})^2} \dots\dots\dots (3.1.4.1-103)$ <p>したがって、胴板に生じる地震動のみによる一次+二次応力の変動値の最大値は、次式で表される。</p> $\sigma_2 = \max[\sigma_{21}, \sigma_{2c}] \dots\dots\dots (3.1.4.1-104)$	

別紙 1-25 横置一胴円筒形容器	別紙 1-26 横置一胴円筒形容器 (3脚以上支持)	
<p>3.1.4.2 脚の応力 脚の最大組合せ応力σ_sは、次式により算出する。</p> <p>(1) 運転時質量及び鉛直方向地震による圧縮応力 運転時質量及び鉛直方向地震による圧縮応力は、次式で表される。</p> $\sigma_{s1} = \frac{R_1 + m_s g}{A_s} \dots\dots\dots (3.1.4.2-1)$ $\sigma_{s4} = \frac{R_1 + m_s g}{A_s} C_v \dots\dots\dots (3.1.4.2-2)$ <p>(2) 長手方向地震による応力 曲げ、圧縮応力は、次式で表される。</p> $\sigma_{s2} = \frac{M_{11} + P_1}{Z_{sx} + A_s} \dots\dots\dots (3.1.4.2-3)$ <p>ここで、</p> $M_{11} = \frac{1}{2} C_H m_0 g h_1 \dots\dots\dots (3.1.4.2-4)$	<p>3.1.4.2 脚の応力 脚の最大組合せ応力σ_sは、次式により算出する。</p> <p>(1) 運転時質量及び鉛直方向地震による圧縮応力 運転時質量及び鉛直方向地震による圧縮応力は、次式で表される。</p> $\sigma_{s1} = \frac{R_1 + m_s g}{A_s} \dots\dots\dots (3.1.4.2-1)$ $\sigma_{s4} = \frac{R_1 + m_s g}{A_s} C_v \dots\dots\dots (3.1.4.2-2)$ <p>(2) 長手方向地震による応力 曲げ、圧縮応力は、次式で表される。</p> $\sigma_{s2} = \frac{M_{11} + P_1}{Z_{sx} + A_s} \dots\dots\dots (3.1.4.2-3)$ <p>ここで、 (3脚長手方向スライドの場合)</p> $M_{11} = \frac{1}{2} C_H m_0 g h_1 \dots\dots\dots (3.1.4.2-4)$	
	<p>(5脚固定の場合)</p> $M_{11} = \frac{1}{10} C_H m_0 g h_1 \dots\dots\dots (3.1.4.2-5)$	②
<p>ただし、脚下端が単純支持の場合は係数1/2を1に置き換えるものとする。</p> <p>せん断応力は、次式で表される。</p> $\tau_{s2} = \frac{C_H m_0 g}{A_{s3}} \dots\dots\dots (3.1.4.2-5)$	<p>ただし、脚下端が単純支持の場合は係数1/2を1に置き換えるものとする。</p> <p>せん断応力は、次式で表される。</p> <p>(3脚長手方向スライドの場合)</p> $\tau_{s2} = \frac{C_H m_0 g}{A_{s3}} \dots\dots\dots (3.1.4.2-6)$	
	<p>(5脚固定の場合)</p> $\tau_{s2} = \frac{C_H m_0 g}{5A_{s3}} \dots\dots\dots (3.1.4.2-7)$	②
<p>(3) 横方向地震による応力 曲げ応力は、次式で表される。</p> $\sigma_{s3} = \frac{C_H (R_1 + m_s g) h_2}{Z_{sx}} \dots\dots\dots (3.1.4.2-8)$ <p>せん断応力は、次式で表される。</p> $\tau_{s3} = \frac{C_H (R_1 + m_s g)}{A_{s4}} \dots\dots\dots (3.1.4.2-7)$	<p>(3) 横方向地震による応力 曲げ応力は、次式で表される。</p> $\sigma_{s3} = \frac{C_H (R_1 + m_s g) h_2}{Z_{sx}} \dots\dots\dots (3.1.4.2-8)$ <p>せん断応力は、次式で表される。</p> $\tau_{s3} = \frac{C_H (R_1 + m_s g)}{A_{s4}} \dots\dots\dots (3.1.4.2-9)$	

別紙 1-25 横置一胴円筒形容器	別紙 1-26 横置一胴円筒形容器 (3脚以上支持)	
<p>(4) 組合せ応力 脚の最大組合せ応力は、次式で表される。 【絶対値和】 長手方向地震及び鉛直方向地震が作用する場合 $\sigma_{s1} = \sqrt{(\sigma_{s1} + \sigma_{s2} + \sigma_{s4})^2 + 3\tau_{s2}^2} \dots\dots\dots (3.1.4.2-8)$ 横方向地震及び鉛直方向地震が作用する場合 $\sigma_{sc} = \sqrt{(\sigma_{s1} + \sigma_{s3} + \sigma_{s4})^2 + 3\tau_{s3}^2} \dots\dots\dots (3.1.4.2-9)$ 【SRSS法】 長手方向地震及び鉛直方向地震が作用する場合 $\sigma_{s1} = \sqrt{(\sigma_{s1} + \sqrt{\sigma_{s2}^2 + \sigma_{s4}^2})^2 + 3\tau_{s2}^2} \dots\dots\dots (3.1.4.2-10)$ 横方向地震及び鉛直方向地震が作用する場合 $\sigma_{sc} = \sqrt{(\sigma_{s1} + \sqrt{\sigma_{s3}^2 + \sigma_{s4}^2})^2 + 3\tau_{s3}^2} \dots\dots\dots (3.1.4.2-11)$ したがって、脚に生じる最大組合せ応力は、次式で表される。 $\sigma_s = \max[\sigma_{s1}, \sigma_{sc}] \dots\dots\dots (3.1.4.2-12)$</p> <p>3.1.4.3 基礎ボルトの応力 基礎ボルトの最大せん断応力τ_b及び最大引張応力σ_bは、次式により算出する。 (1) 長手方向地震及び鉛直方向地震が作用した場合 a. せん断応力 せん断応力は、次式で表される。 $\tau_{b1} = \frac{C_H m_0 g}{n A_b} \dots\dots\dots (3.1.4.3-1)$</p>	<p>(4) 組合せ応力 脚の最大組合せ応力は、次式で表される。 【絶対値和】 長手方向地震及び鉛直方向地震が作用する場合 $\sigma_{s1} = \sqrt{(\sigma_{s1} + \sigma_{s2} + \sigma_{s4})^2 + 3\tau_{s2}^2} \dots\dots\dots (3.1.4.2-10)$ 横方向地震及び鉛直方向地震が作用する場合 $\sigma_{sc} = \sqrt{(\sigma_{s1} + \sigma_{s3} + \sigma_{s4})^2 + 3\tau_{s3}^2} \dots\dots\dots (3.1.4.2-11)$ 【SRSS法】 長手方向地震及び鉛直方向地震が作用する場合 $\sigma_{s1} = \sqrt{(\sigma_{s1} + \sqrt{\sigma_{s2}^2 + \sigma_{s4}^2})^2 + 3\tau_{s2}^2} \dots\dots\dots (3.1.4.2-12)$ 横方向地震及び鉛直方向地震が作用する場合 $\sigma_{sc} = \sqrt{(\sigma_{s1} + \sqrt{\sigma_{s3}^2 + \sigma_{s4}^2})^2 + 3\tau_{s3}^2} \dots\dots\dots (3.1.4.2-13)$ したがって、脚に生じる最大組合せ応力は、次式で表される。 $\sigma_s = \max[\sigma_{s1}, \sigma_{sc}] \dots\dots\dots (3.1.4.2-14)$</p> <p>3.1.4.3 基礎ボルトの応力 基礎ボルトの最大せん断応力τ_b及び最大引張応力σ_bは、次式により算出する。 (1) 長手方向地震及び鉛直方向地震が作用した場合 a. せん断応力 せん断応力は、次式で表される。 (3脚長手方向スライドの場合) $\tau_{b1} = \frac{C_H m_0 g}{n A_b} \dots\dots\dots (3.1.4.3-1)$ (5脚固定の場合) $\tau_{b1} = \frac{C_H m_0 g}{5n A_b} \dots\dots\dots (3.1.4.3-2)$</p>	<p>②</p>
	<p>(5脚固定の場合) $\tau_{b1} = \frac{C_H m_0 g}{5n A_b} \dots\dots\dots (3.1.4.3-2)$</p>	
<p>b. 引張応力 長手方向地震及び鉛直方向地震が作用した場合に脚底面に作用するモーメントは、次式で表される。 $M = M_{11} \dots\dots\dots (3.1.4.3-2)$</p>	<p>b. 引張応力 長手方向地震及び鉛直方向地震が作用した場合に脚底面に働くモーメントは、次式で表される。 $M = M_{11} \dots\dots\dots (3.1.4.3-3)$</p>	

別紙 1-25 横置一胴円筒形容器	別紙 1-26 横置一胴円筒形容器 (3脚以上支持)	
<p>鉛直荷重は 【絶対値和】 $P_s = (R_1 + m_s g)(1 - C_v) - P_1 \dots\dots\dots (3.1.4.3-3)$</p> <p>【SRSS法】 $P_s = R_1 + m_s g - \sqrt{\{C_v (R_1 + m_s g)\}^2 + P_1^2} \dots\dots\dots (3.1.4.3-4)$ である。今モーメントと圧縮荷重の比を $e = M/P_s \dots\dots\dots (3.1.4.3-5)$ とすると、eが負の場合又は $e > \frac{a}{6} + \frac{d_1}{3} \dots\dots\dots (3.1.4.3-6)$ の時、基礎ボルトに引張力が作用し、この引張力は次のようにして求められる。 今、中立軸の位置X_nを $X_n^3 + 3\left(e - \frac{a}{2}\right)X_n^2 - \frac{6sA_b n_1}{b}\left(e + \frac{a}{2} - d_1\right)(a - d_1 - X_n) = 0 \dots\dots\dots (3.1.4.3-7)$ より求めると、基礎ボルトに作用する引張力は、次式で表される。 $F_b = \frac{P_s \left(e - \frac{a}{2} + \frac{X_n}{3}\right)}{a - d_1 - \frac{X_n}{3}} \dots\dots\dots (3.1.4.3-8)$</p>	<p>鉛直荷重は 【絶対値和】 $P_s = (R_1 + m_s g)(1 - C_v) - P_1 \dots\dots\dots (3.1.4.3-4)$</p> <p>【SRSS法】 $P_s = R_1 + m_s g - \sqrt{\{C_v (R_1 + m_s g)\}^2 + P_1^2} \dots\dots\dots (3.1.4.3-5)$ である。今モーメントと圧縮荷重の比を $e = M/P_s \dots\dots\dots (3.1.4.3-6)$ とすると、eが負の場合又は $e > \frac{a}{6} + \frac{d_1}{3} \dots\dots\dots (3.1.4.3-7)$ の時、基礎ボルトに引張力が作用し、引張応力は次のようにして求められる。 今、中立軸の位置X_nを $X_n^3 + 3\left(e - \frac{a}{2}\right)X_n^2 - \frac{6sA_b n_1}{b}\left(e + \frac{a}{2} - d_1\right)(a - d_1 - X_n) = 0 \dots\dots\dots (3.1.4.3-8)$ より求めると、基礎ボルトに作用する引張力は、次式で表される。 $F_b = \frac{P_s \left(e - \frac{a}{2} + \frac{X_n}{3}\right)}{a - d_1 - \frac{X_n}{3}} \dots\dots\dots (3.1.4.3-9)$</p>	

別紙 1-25 横置一胴円筒形容器	別紙 1-26 横置一胴円筒形容器 (3脚以上支持)	
 <p>第 3.1.4.3-1 図 基礎部に作用する外荷重により生ずる荷重の関係</p>	 <p>第 3.1.4.3-1 図 基礎部に作用する外荷重により生ずる荷重の関係</p>	

別紙 1-25 横置一胴円筒形容器	別紙 1-26 横置一胴円筒形容器 (3脚以上支持)	
<p>したがって、基礎ボルトに生じる引張応力は、次式で表される。</p> $\sigma_{b1} = \frac{F_b}{n_1 A_b} \dots\dots\dots (3.1.4.3-9)$ <p>ただし、脚下端が単純支持の場合は脚底面にはモーメントが作用しないので、鉛直荷重 P_s が負のときに基礎ボルトに引張応力が生じる。</p> $F_b = -P_s \dots\dots\dots (3.1.4.3-10)$ $\sigma_{b1} = \frac{F_b}{n A_b} \dots\dots\dots (3.1.4.3-11)$ <p>(2) 横方向地震及び鉛直方向地震が作用した場合 脚の受ける質量 R_2 が R_1 よりも大きいときは、R_1 を R_2 と置き換えて計算する。</p> <p>a. せん断応力 せん断応力は、次式で表される。</p> $\tau_{b2} = \frac{C_H(R_1 + m_s g)}{n A_b} \dots\dots\dots (3.1.4.3-12)$ <p>b. 引張応力 横方向の地震が作用した場合に脚底面に作用するモーメントは、次式で表される。</p> $M_{c1} = C_H(R_1 + m_s g) h_2 \dots\dots\dots (3.1.4.3-13)$ <p>鉛直力は</p> $P_{s1} = (R_1 + m_s g)(1 - C_V) \dots\dots\dots (3.1.4.3-14)$ <p>で表される。</p> <p>(1)と同様にして引張応力は求められるが、M_{c1}は M とし、P_{s1}は P_s、d_2は d_1、aは b、bは a、n_2は n_1と置き換え、得られた基礎ボルトの応力を σ_{b2} とする。</p> <p>したがって、基礎ボルトに生じる最大応力は、次式で表される。</p> $\sigma_b = \max[\sigma_{b1}, \sigma_{b2}] \dots\dots\dots (3.1.4.3-15)$ $\tau_b = \max[\tau_{b1}, \tau_{b2}] \dots\dots\dots (3.1.4.3-16)$	<p>したがって、基礎ボルトに生じる引張応力は、次式で表される。</p> $\sigma_{b1} = \frac{F_b}{n_1 A_b} \dots\dots\dots (3.1.4.3-10)$ <p>ただし、脚下端が単純支持の場合は脚底面にはモーメントが作用しないので、鉛直荷重 P_s が負のときに基礎ボルトに引張応力が生じる。</p> $F_b = -P_s \dots\dots\dots (3.1.4.3-11)$ $\sigma_{b1} = \frac{F_b}{n A_b} \dots\dots\dots (3.1.4.3-12)$ <p>(2) 横方向地震及び鉛直方向地震が作用した場合 脚の受ける質量 R_2、R_3 が R_1 よりも大きいときは、R_1 を R_2、R_3 のどちらか大きい方と読み替えて計算する。</p> <p>a. せん断応力 せん断応力は、次式で表される。</p> $\tau_{b2} = \frac{C_H(R_1 + m_s g)}{n A_b} \dots\dots\dots (3.1.4.3-13)$ <p>b. 引張応力 横方向の地震が作用した場合に脚底面に作用するモーメントは、次式で表される。</p> $M_{c1} = C_H(R_1 + m_s g) h_2 \dots\dots\dots (3.1.4.3-14)$ <p>鉛直力は、次式で表される。</p> $P_{s1} = (R_1 + m_s g)(1 - C_V) \dots\dots\dots (3.1.4.3-15)$ <p>(1)と同様にして引張応力は求められるが、M_{c1}は M とし、P_{s1}は P_s、d_2は d_1、aは b、bは a、n_2は n_1と置き換え、得られた基礎ボルトの応力を σ_{b2} とする。</p> <p>したがって、脚に生じる最大組合せ応力は、次式で表される。</p> $\sigma_b = \max[\sigma_{b1}, \sigma_{b2}] \dots\dots\dots (3.1.4.3-16)$ $\tau_b = \max[\tau_{b1}, \tau_{b2}] \dots\dots\dots (3.1.4.3-17)$	

別紙 1-25 横置一胴円筒形容器	別紙 1-26 横置一胴円筒形容器 (3脚以上支持)	
<p>3.2 評価</p> <p>3.1.4 項で算出した応力が、「IV-1-1-8 機能維持の基本方針(a.容器, e.支持構造物)」に基づく許容応力以下であること。</p> <p>ここで, 3.1.4.3項で算出した基礎ボルトの引張応力σ_bは, 下記2式より算出した許容引張応力$1.5f_{ts}$以下であること。なお, 基準地震動S_sによる評価ではf_{ts}をf_{ts}'に読み替える。</p> $1.5f_{ts} = 1.4f_{to} - 1.6\tau_b \quad \dots\dots\dots (3.2-1)$ $1.5f_{ts} \leq f_{ts} \quad \dots\dots\dots (3.2-2)$ <p>4. 引用文献</p> <p>(1) “Local Stresses in Spherical and Cylindrical Shells due to External Loadings” (WELDING RESEARCH COUNCIL BULLETIN No. 107 AUG. 1965. REV. MAR. 1979)</p> <p>(2) “Stresses in Large Horizontal Cylindrical Pressure Vessels on Two Saddle Supports” (WELDING RESEARCH SUPPLEMENT SEP. 1951)</p> <p>5. 地震時の臨界安全性評価</p> <p>5.1 評価方針</p> <p>横置一胴円筒形容器に対する地震時の臨界安全性評価は, 地震時の変位評価として, 評価対象機器の固有周期の計算を行い, 地震時の変位量が許容変位に対し小さいことを確認する。</p> <p>5.1.1 計算条件</p> <p>計算条件は, 3.1.1項に示す計算条件を用いる。</p> <p>5.1.2 計算モデルの設定方法</p> <p>計算モデルは, 3.1.3項に示す計算モデルを用いる。</p> <p>5.1.3 許容変位</p> <p>許容変位は, 「IV-1-1-13 地震時の臨界安全性検討方針」に基づく。</p> <p>5.1.4 計算方法</p> <p>変位計算は, 本項に示す方法に基づく。</p>	<p>3.2 評価</p> <p>3.1.4 項で算出した応力が、「IV-1-1-8 機能維持の基本方針 (a.容器, e.支持構造物)」に基づく許容応力以下であること。</p> <p>ここで, 3.1.4.3 項で算出した基礎ボルトの引張応力σ_bは, 下記 2 式より算出した許容引張応力$1.5f_{ts}$以下であること。なお, 基準地震動S_sによる評価ではf_{ts}をf_{ts}'に読み替える。</p> $1.5f_{ts} = 1.4f_{to} - 1.6\tau_b \quad \dots\dots\dots (3.2-1)$ $1.5f_{ts} \leq f_{ts} \quad \dots\dots\dots (3.2-2)$ <p>4. 引用文献</p> <p>(1) “Local Stresses in Spherical and Cylindrical Shells due to External Loadings” (WELDING RESEARCH COUNCIL BULLETIN No. 107 AUG. 1965. REV. MAR. 1979)</p> <p>(2) “Stresses in Large Horizontal Cylindrical Pressure Vessels on Two Saddle Supports” (WELDING RESEARCH SUPPLEMENT SEP. 1951)</p>	

別紙 1-25 横置一胴円筒形容器	別紙 1-26 横置一胴円筒形容器（3脚以上支持）																									
<p>5.1.4.1 記号の説明</p> <table border="1" data-bbox="231 380 1023 657"> <thead> <tr> <th>記号</th> <th>表示内容</th> <th>単位</th> </tr> </thead> <tbody> <tr> <td>C_H</td> <td>水平方向設計震度</td> <td>—</td> </tr> <tr> <td>g</td> <td>重力加速度 (= 9.80665)</td> <td>m/s^2</td> </tr> <tr> <td>K_c, K_l</td> <td>脚のばね定数</td> <td>N/mm</td> </tr> <tr> <td>m_0</td> <td>容器の有効運転時質量</td> <td>kg</td> </tr> <tr> <td>x</td> <td>地震時の変位</td> <td>mm</td> </tr> <tr> <td>x_c</td> <td>胴の横方向に水平力が作用する場合の地震時の変位</td> <td>mm</td> </tr> <tr> <td>x_l</td> <td>胴の長手方向に水平力が作用する場合の地震時の変位</td> <td>mm</td> </tr> </tbody> </table> <p>5.1.4.2 地震時の変位</p> <p>地震時変位は、3.1.3項に示すばね定数を求める計算式より、次式により算出する。</p> $x_l = \frac{(C_H m_0 g)}{K_l} \dots\dots\dots (5.1.4.2-1)$ $x_c = \frac{(C_H m_0 g)}{K_c} \dots\dots\dots (5.1.4.2-2)$ $x = \max [x_l, x_c] \dots\dots\dots (5.1.4.2-3)$ <p>5.2 評価</p> <p>5.2.1 地震時の変位の評価</p> <p>5.1.4項で算出した地震時の変位は、「IV-1-1-13 地震時の臨界安全性検討方針」に示す臨界計算により定めた許容変位以下であること。</p> <p>6. 耐震計算書のフォーマット</p> <p>横置一胴円筒形容器の構造強度評価に対する耐震計算書のフォーマットは、以下のとおりである。</p>	記号	表示内容	単位	C_H	水平方向設計震度	—	g	重力加速度 (= 9.80665)	m/s^2	K_c, K_l	脚のばね定数	N/mm	m_0	容器の有効運転時質量	kg	x	地震時の変位	mm	x_c	胴の横方向に水平力が作用する場合の地震時の変位	mm	x_l	胴の長手方向に水平力が作用する場合の地震時の変位	mm	<p>5. 耐震計算書のフォーマット</p> <p>横置一胴円筒形容器（3脚以上支持）の構造強度評価に対する耐震計算書のフォーマットは、以下のとおりである。</p>	
記号	表示内容	単位																								
C_H	水平方向設計震度	—																								
g	重力加速度 (= 9.80665)	m/s^2																								
K_c, K_l	脚のばね定数	N/mm																								
m_0	容器の有効運転時質量	kg																								
x	地震時の変位	mm																								
x_c	胴の横方向に水平力が作用する場合の地震時の変位	mm																								
x_l	胴の長手方向に水平力が作用する場合の地震時の変位	mm																								

参考資料－ 2 － 2 － 2

定型式による評価に用いる類似する計算式の観点
(定型式(7) はり構造設備)

比較表 1

定型式による評価に用いる類似する計算式の観点（定型式(7) はり構造設備）

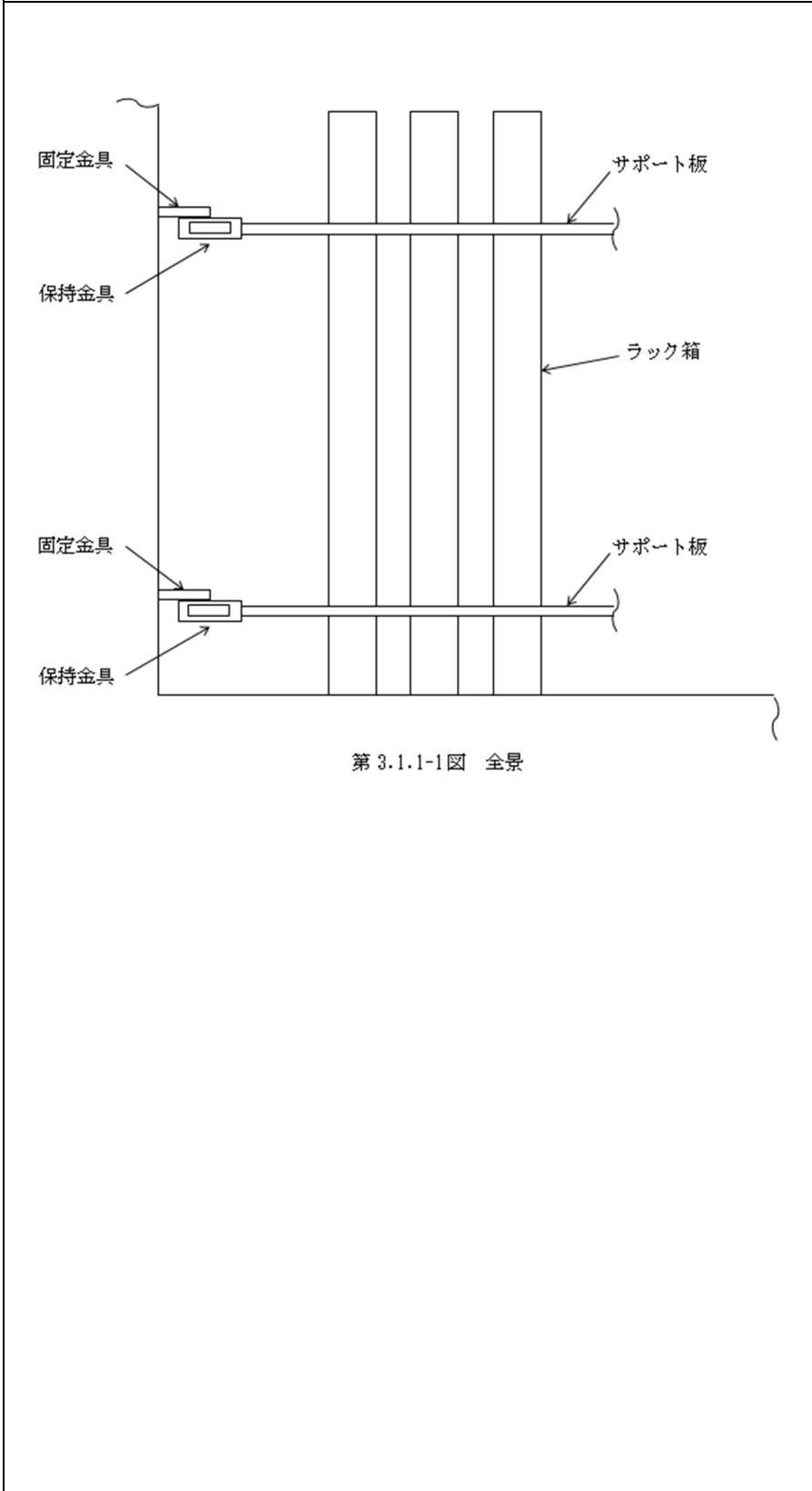
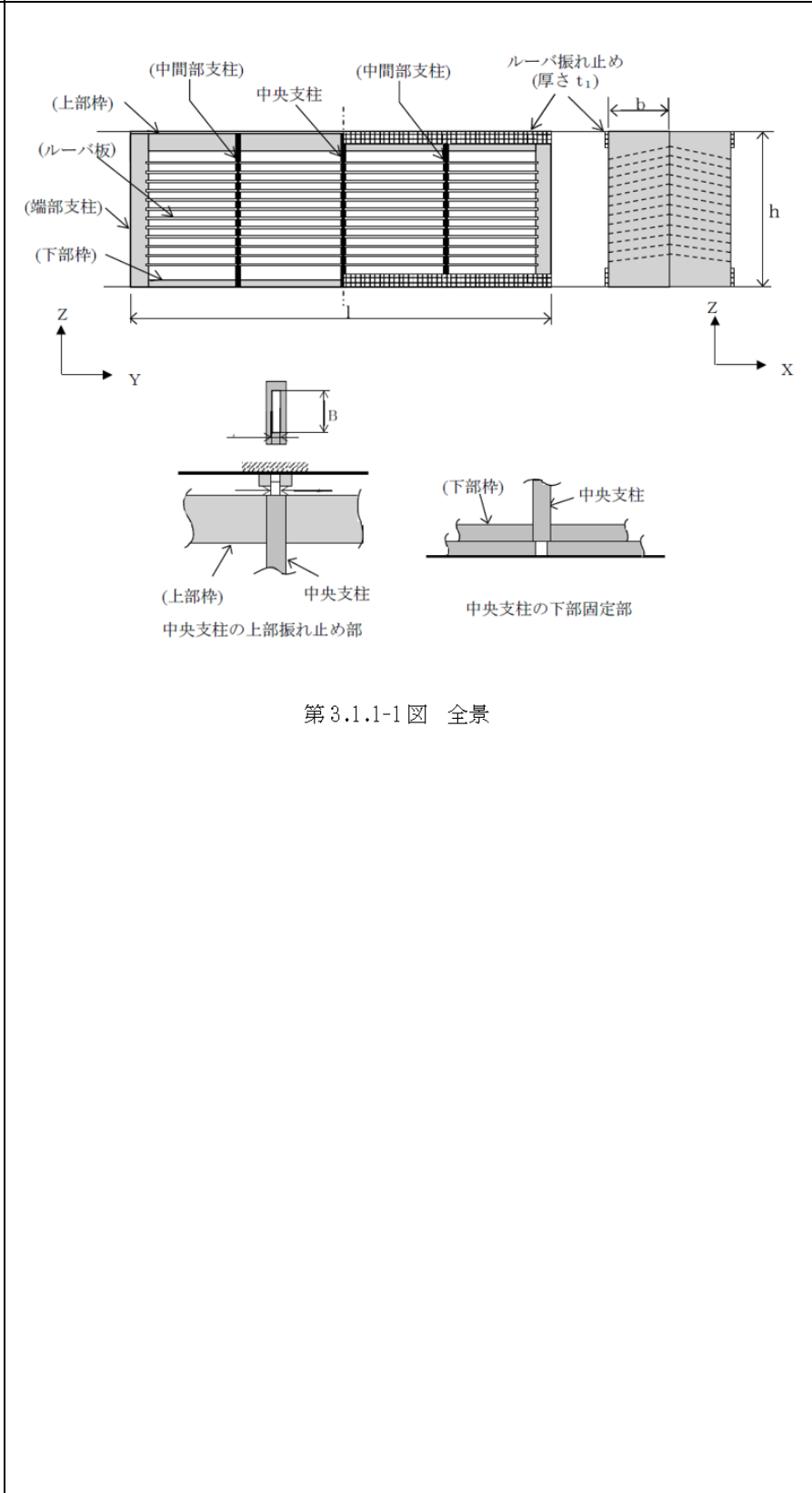
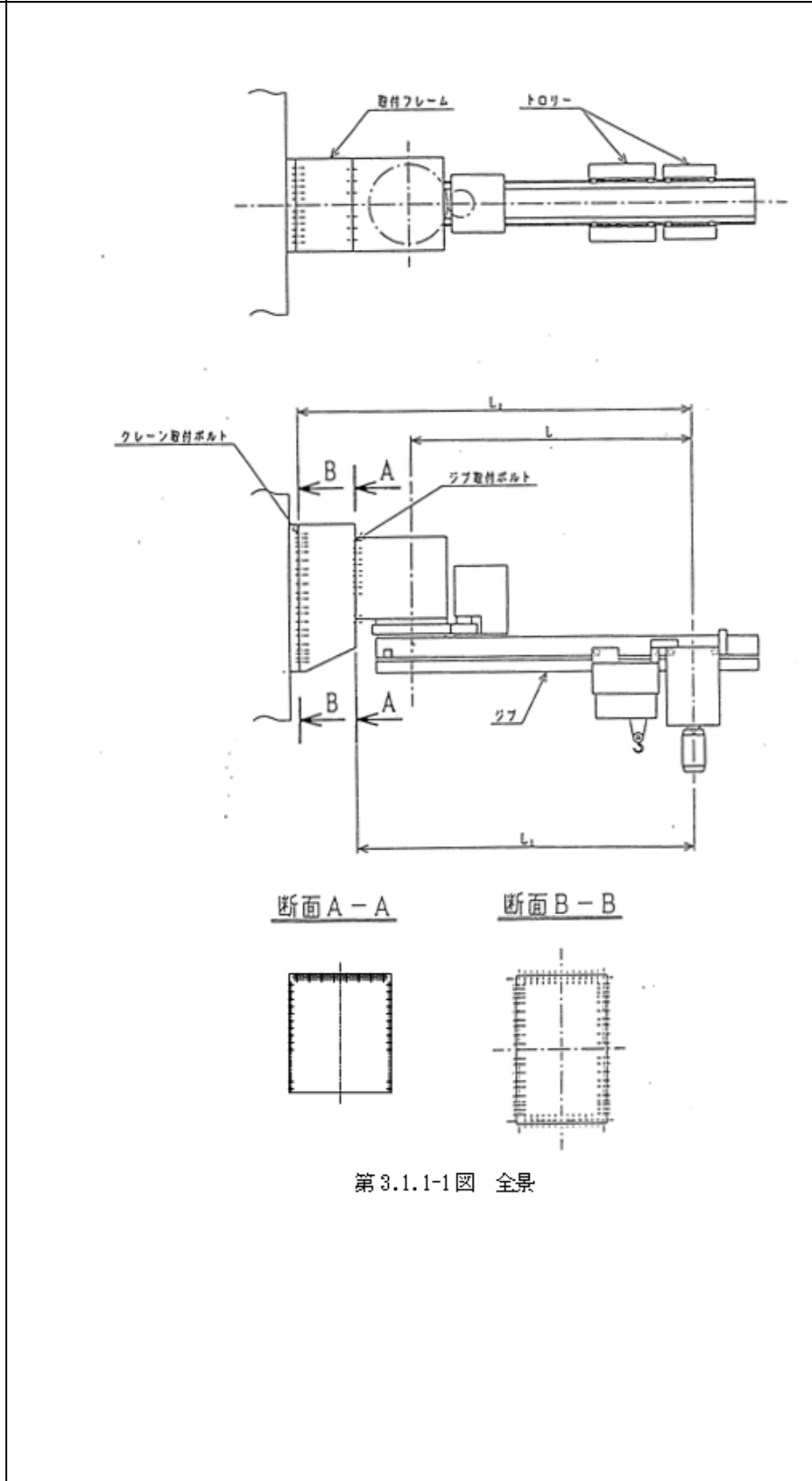
参考資料-2-2-2 (1/35)

別紙 1-44 燃料仮置きラック	別紙 1-39 躯体付構造設備	別紙 1-41 固定式クレーン
<div data-bbox="290 289 982 394" style="border: 2px solid blue; padding: 5px;">比較表の代表とする基本方針</div> <p>IV-1-2-1 別紙 1-44 燃料仮置きラックの耐震性に関する 計算書作成の基本方針</p>	<p>IV-1-2-1 別紙 1-39 躯体付構造設備の耐震性に関する計 算書作成の基本方針</p>	<p>IV-1-2-1 別紙 1-41 固定式クレーンの耐震性に関する計 算書作成の基本方針</p>
<ul style="list-style-type: none"> ・ 差分が生じている箇所を青枠にて示し，下記凡例の計算式における差異の要因に示す番号を右端に示す。 ・ 差分の比較表は見やすさの観点から 3 段表により示す。3 段表で示すに当たって類型化分類中に定型式が 4 つ以上存在する場合は，最左列を代表とした複数の 3 段表により全ての定型式の差分を示す。 ・ 複数の 3 段表を作成する際は，パラメータによる計算式の違いから比較表のずれを少なくするため，パラメータ式が類似する計算式ごとの比較結果を示す。本比較表においては 4 種類の基本方針に対し 2 つの比較表にて構成しており，比較表 1 では差異の要因として①が多く該当する別紙 1-39 と別紙 1-41 との比較，比較表 2 では②が多く該当する別紙 1-40 との比較について示す。 		
<div data-bbox="240 1367 1012 1671" style="border: 1px solid blue; padding: 5px;"> <p>計算式における差異の要因の凡例</p> <ul style="list-style-type: none"> ①支持方法 ②荷重負担方法 </div>		

別紙 1-44 燃料仮置きラック	別紙 1-39 躯体付構造設備	別紙 1-41 固定式クレーン
<p style="text-align: center;">目 次</p> <p style="text-align: right;">ページ</p> <p>1. 概要 1</p> <p>2. 準拠規格 1</p> <p>3. 構造強度評価 2</p> <p> 3.1 計算方法 2</p> <p> 3.1.1 計算条件 2</p> <p> 3.1.2 記号の説明 3</p> <p> 3.1.3 固有周期の計算方法 5</p> <p> 3.1.4 応力の計算方法 7</p> <p> 3.2 評価 8</p> <p>4. 耐震計算書のフォーマット 8</p>	<p style="text-align: center;">目 次</p> <p style="text-align: right;">ページ</p> <p>1. 概要 1</p> <p>2. 準拠規格 1</p> <p>3. 構造強度評価 2</p> <p> 3.1 計算方法 2</p> <p> 3.1.1 計算条件 2</p> <p> 3.1.2 記号の説明 6</p> <p> 3.1.3 固有周期の計算方法 7</p> <p> 3.1.4 応力の計算方法 8</p> <p> 3.2 評価 8</p> <p>4. 耐震計算書のフォーマット 8</p>	<p style="text-align: center;">目 次</p> <p style="text-align: right;">ページ</p> <p>1. 概要 1</p> <p>2. 準拠規格 1</p> <p>3. 構造強度評価 1</p> <p> 3.1 計算方法 1</p> <p> 3.1.1 計算条件 1</p> <p> 3.1.2 記号の説明 3</p> <p> 3.1.3 固有周期の計算方法 7</p> <p> 3.1.4 応力の計算方法 8</p> <p> 3.2 評価(構造強度) 14</p> <p>4. 吊具評価 15</p> <p> 4.1 計算方法 15</p> <p> 4.1.1 計算条件 15</p> <p> 4.1.2 荷重の組合せ及び許容値 15</p> <p> 4.1.3 記号の説明 15</p> <p> 4.1.4 応力の計算方法 16</p> <p> 4.2 評価(吊具) 16</p> <p>5. 耐震計算書のフォーマット 16</p>

別紙 1-44 燃料仮置きラック	別紙 1-39 躯体付構造設備	別紙 1-41 固定式クレーン																		
<p>1. 概要 本基本方針は、燃料仮置きラックの耐震性に関する計算書の計算方法を示す。</p> <p>2. 準拠規格 「IV-1-1 耐震設計の基本方針」に示す規格のうち、本評価に対する準拠規格について第2-1表に示す。</p> <table border="1" data-bbox="243 569 1029 793"> <caption>第2-1表 準拠規格</caption> <thead> <tr> <th>準拠規格名</th> </tr> </thead> <tbody> <tr> <td>原子力発電所耐震設計技術指針 JEAG4801-1987</td> </tr> <tr> <td>原子力発電所耐震設計技術指針 重要度分類・許容応力編 JEAG4801・補-1984</td> </tr> <tr> <td>原子力発電所耐震設計技術指針 JEAG4801-1991 追補版</td> </tr> <tr> <td>発電用原子力設備企画 設計・建設規格（2005年版（2007年追補版含む））</td> </tr> <tr> <td><第I編 軽水炉規格> JSME S NC1-2005/2007*</td> </tr> </tbody> </table> <p>注記 *：JSME S NC1以外に使用している鉄鋼材料の規格については、「V-2 強度計算方法」における添付-1「容器等の材料及び構造に関する設計の基本方針」に定められた値を準用することとする。</p>	準拠規格名	原子力発電所耐震設計技術指針 JEAG4801-1987	原子力発電所耐震設計技術指針 重要度分類・許容応力編 JEAG4801・補-1984	原子力発電所耐震設計技術指針 JEAG4801-1991 追補版	発電用原子力設備企画 設計・建設規格（2005年版（2007年追補版含む））	<第I編 軽水炉規格> JSME S NC1-2005/2007*	<p>1. 概要 本基本方針は、躯体付構造設備の耐震性に関する計算書の計算方法を示す。</p> <p>2. 準拠規格 「IV-1-1 耐震設計の基本方針」に示す規格のうち、本評価に対する準拠規格について第2-1表に示す。</p> <table border="1" data-bbox="1062 569 1860 793"> <caption>第2-1表 準拠規格</caption> <thead> <tr> <th>準拠規格名</th> </tr> </thead> <tbody> <tr> <td>原子力発電所耐震設計技術指針 JEAG4801-1987</td> </tr> <tr> <td>原子力発電所耐震設計技術指針 重要度分類・許容応力編 JEAG4801・補-1984</td> </tr> <tr> <td>原子力発電所耐震設計技術指針 JEAG4801-1991 追補版</td> </tr> <tr> <td>発電用原子力設備規格 設計・建設規格（2005年度版（2007年追補版を含む））</td> </tr> <tr> <td><第I編 軽水炉規格> JSME S NC1-2005/2007*</td> </tr> </tbody> </table> <p>注記 *：JSME S NC1以外に使用している鉄鋼材料の規格については、「V-2 強度計算方法」における添付-1「容器等の材料及び構造に関する設計の基本方針」に定められた値を準用することとする。</p>	準拠規格名	原子力発電所耐震設計技術指針 JEAG4801-1987	原子力発電所耐震設計技術指針 重要度分類・許容応力編 JEAG4801・補-1984	原子力発電所耐震設計技術指針 JEAG4801-1991 追補版	発電用原子力設備規格 設計・建設規格（2005年度版（2007年追補版を含む））	<第I編 軽水炉規格> JSME S NC1-2005/2007*	<p>1. 概要 本基本方針は、固定式クレーンの耐震性に関する計算書の計算方法を示す。</p> <p>2. 準拠規格 「IV-1-1 耐震設計の基本方針」に示す規格のうち、本評価に対する準拠規格について第2-1表に示す。</p> <table border="1" data-bbox="1896 569 2689 793"> <caption>第2-1表 準拠規格</caption> <thead> <tr> <th>準拠規格名</th> </tr> </thead> <tbody> <tr> <td>原子力発電所耐震設計技術指針 JEAG4801-1987</td> </tr> <tr> <td>原子力発電所耐震設計技術指針 重要度分類・許容応力編 JEAG4801・補-1984</td> </tr> <tr> <td>原子力発電所耐震設計技術指針 JEAG4801-1991 追補版</td> </tr> <tr> <td>発電用原子力設備規格 設計・建設規格（2005年度版（2007年追補版を含む））</td> </tr> <tr> <td><第I編 軽水炉規格> JSME S NC1-2005/2007*</td> </tr> </tbody> </table> <p>注記 *：JSME S NC1以外に使用している鉄鋼材料の規格については、「V-2 強度計算方法」における添付-1「容器等の材料及び構造に関する設計の基本方針」に定められた値を準用することとする。</p>	準拠規格名	原子力発電所耐震設計技術指針 JEAG4801-1987	原子力発電所耐震設計技術指針 重要度分類・許容応力編 JEAG4801・補-1984	原子力発電所耐震設計技術指針 JEAG4801-1991 追補版	発電用原子力設備規格 設計・建設規格（2005年度版（2007年追補版を含む））	<第I編 軽水炉規格> JSME S NC1-2005/2007*
準拠規格名																				
原子力発電所耐震設計技術指針 JEAG4801-1987																				
原子力発電所耐震設計技術指針 重要度分類・許容応力編 JEAG4801・補-1984																				
原子力発電所耐震設計技術指針 JEAG4801-1991 追補版																				
発電用原子力設備企画 設計・建設規格（2005年版（2007年追補版含む））																				
<第I編 軽水炉規格> JSME S NC1-2005/2007*																				
準拠規格名																				
原子力発電所耐震設計技術指針 JEAG4801-1987																				
原子力発電所耐震設計技術指針 重要度分類・許容応力編 JEAG4801・補-1984																				
原子力発電所耐震設計技術指針 JEAG4801-1991 追補版																				
発電用原子力設備規格 設計・建設規格（2005年度版（2007年追補版を含む））																				
<第I編 軽水炉規格> JSME S NC1-2005/2007*																				
準拠規格名																				
原子力発電所耐震設計技術指針 JEAG4801-1987																				
原子力発電所耐震設計技術指針 重要度分類・許容応力編 JEAG4801・補-1984																				
原子力発電所耐震設計技術指針 JEAG4801-1991 追補版																				
発電用原子力設備規格 設計・建設規格（2005年度版（2007年追補版を含む））																				
<第I編 軽水炉規格> JSME S NC1-2005/2007*																				

別紙 1-44 燃料仮置きラック	別紙 1-39 躯体付構造設備	別紙 1-41 固定式クレーン
<p>3. 構造強度評価</p> <p>3.1 計算方法</p> <p>3.1.1 計算条件</p> <p>(1) ラック箱は、上下2枚のサポート板によって支持された等分布質量はりとする。</p> <p>(2) 構造強度評価は、ラック箱、ラック箱の支持部材であるサポート板、固定部である保持金具、固定金具及び止め板の溶接部とする。</p> <p>(3) 地震力は、水平方向及び鉛直方向から個別に作用するものとし、応力計算において各応力を適切に組み合わせる。</p>	<p>3. 構造強度評価</p> <p>3.1 計算方法</p> <p>3.1.1 計算条件</p> <p>ルーパーの耐震モデルは、X方向及びY方向で支持方法が異なることから、各方向でモデル化する。第3.1.1-2図、第3.1.1-3図にX方向及びY方向のモデル化を示し、以下に各方向の計算条件を示す。</p> <p>(1) X方向</p> <ul style="list-style-type: none"> ・ルーパー板を支柱の付加質量とし、支柱に付加するルーパー質量は、支柱間距離を考慮して設定する。 ・ルーパー全体が転倒しないことを確認するために、連続設置のルーパー全体の地震荷重を上下のルーパー振れ止めで受け持つとして強度評価を行う。 ・固有周期の算出では、ルーパー板は等間隔に配置されていることから、ルーパーの付加質量は支柱に対して等分布質量として与え、各支柱とも上下のルーパー振れ止めを支えられることから、支柱を両端支持のはりとして曲げ剛性を考慮する。 ・中央支柱及び中間部支柱の付加質量は同等であり、端部支柱より大きいことから、固有周期は、最も大きくなる中央支柱を代表とする。 <p>(2) Y方向</p> <ul style="list-style-type: none"> ・ルーパー全体の地震荷重は端部支柱に作用し、荷重は端部支柱から上部枠及び下部枠を介して中央支柱の上部振れ止め部及び下部固定部に支持されることから、ルーパー板を端部支柱への付加質量とし、全質量を端部支柱に等分布質量として与える。 ・ルーパー全体の支持機能を確認するために各ルーパーの地震荷重を中央支柱の上下端部で受け持つものとして強度評価を行う。 ・固有周期の算出では、上部枠及び下部枠は箱形断面でありY方向に関して軸剛性が高いことからモデル化せず、端部支柱の荷重は上部枠及び下部枠を介して中央支柱の上下端部で支持されることから、端部支柱を両端固定のはりとして曲げ剛性を考慮する。 	<p>3. 構造強度評価</p> <p>3.1 計算方法</p> <p>3.1.1 計算条件</p> <p>(1) ジブの質量は等分布荷重とし、トロリの質量は集中荷重として計算する。</p> <p>(2) 固有周期の算出では、ジブの曲げ剛性を考慮し、ジブの先端にトロリの質量が作用する片持ちはりとして計算する。</p> <p>(3) 水平地震力に対する評価では、吊上荷重はワイヤロープにより吊られており拘束されていないことから、クレーン自重のみでの評価とする。</p> <p>(4) ジブは回転するため建物の水平震度はN S, E Wのクレーンに不利な方向の加速度を用いる。</p> <p>(5) 評価部材は、ジブ及び取付ボルトとする。</p> <p>(6) 固定式クレーンの構造上、転倒することはないので安定性の検討は省略する。</p>

別紙 1-44 燃料仮置きラック	別紙 1-39 躯体付構造設備	別紙 1-41 固定式クレーン
 <p>第 3.1.1-1図 全景</p>	 <p>第 3.1.1-1図 全景</p>	 <p>第 3.1.1-1図 全景</p>

別紙 1-44 燃料仮置きラック	別紙 1-39 躯体付構造設備	別紙 1-41 固定式クレーン
	<p>別紙 1-39 躯体付構造設備</p> <p>図 3.1.1-2 X方向のモデル化</p>	<p>別紙 1-41 固定式クレーン</p>

別紙 1-44 燃料仮置きラック	別紙 1-39 躯体付構造設備	別紙 1-41 固定式クレーン
	<p>第 3.1.1-3 図 Y 方向のモデル</p>	

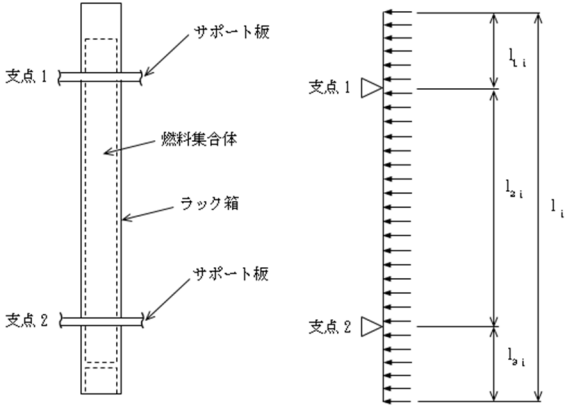
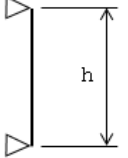
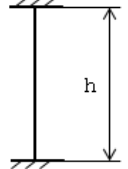
別紙 1-44 燃料仮置きラック			別紙 1-39 躯体付構造設備			別紙 1-41 固定式クレーン		
3.1.2 記号の説明			3.1.2 記号の説明			3.1.2 記号の説明		
記号 ^{a)}	表示内容	単位	記号	表示内容	単位	記号	表示内容	単位
A ₂	保持金具に拘束されているサポート板の断面積	mm ²	A ₁	ルーバ振れ止めの断面積	mm ²	A	ジブの断面積	mm ²
A ₂	圧縮力を受けるサポート板の断面積	mm ²	A ₂	中央支柱上端部の断面積	mm ²	A _{b1}	ジブ取付ボルトの断面積	mm ²
A ₄	保持金具溶接部の評価面積	mm ²	B	中央支柱上端部幅	mm	A _{b2}	クレーン取付ボルトの断面積	mm ²
A ₆	保持金具及び固定金具の溶接部の評価面積	mm ²	b	ルーバの長さ及び支柱の幅	mm	C _H	水平方向設計震度	-
A ₆	固定金具取付溶接部の評価面積	mm ²	C _V	鉛直方向設計震度	-	C _V	鉛直方向設計震度	-
A _i	各ラック箱の脚部断面積	mm ²	E	部材の縦弾性係数	MPa	E	部材の縦弾性係数	MPa
A _{1i}	各ラック箱の断面積	mm ²	F	「JSME S NC1」のSSB-3121.1(1)に定める値	MPa	F	「JSME S NC1」のSSB-3121.1(1)に定める値	MPa
A _{7i}	各ラック箱の止め板溶接部の評価面積	mm ²	F*	「JSME S NC1」のSSB-3121.1(1)に定める値 ただし、「S _y 」を「1.2S _y 」に読み替える	MPa	F*	「JSME S NC1」のSSB-3121.1(1)に定める値 ただし、「S _y 」を「1.2S _y 」に読み替える	MPa
C _{H1}	各ラック箱の水平方向設計震度	-	1.5f _y	許容せん断応力	MPa	F _{vj}	クレーン取付面のM _{v2} による鉛直方向j列目の取付ボルト1本当たりの引抜力	N
C _{V1}	各ラック箱の鉛直方向設計震度	-	1.5f _y *			F _{vj} '	クレーン取付面のM _{v2} 'による鉛直方向j列目の取付ボルト1本当たりの引抜力	N
E	各部材の縦弾性係数	MPa	g	重力加速度 (=9.80665)	m/s ²	F _{H1}	クレーン取付面のM _{H2} による水平方向i列目の取付ボルト1本当たりの引抜力	N
F	「JSME S NC1」のSSB-3121.1(1)に定める値	MPa	n	連続設置のルーバの基数	-	F _w	吊荷の浮上がり挙動によりワイヤロープに発生する衝撃荷重	N
F*	「JSME S NC1」のSSB-3121.1(1)に定める値 ただし、「S _y 」を「1.2S _y 」に読み替える	MPa	h	ルーバの高さ	mm	1.5f _y	許容せん断応力	MPa
F _i	各ラック箱に作用するせん断力	N	I ₁	中央支柱の断面二次モーメント	mm ⁴	1.5f _i *		
F _{v1}	各ラック箱の止め板に作用する鉛直方向荷重	N	I ₂	端部支柱の断面二次モーメント	mm ⁴	1.5f _b	許容曲げ応力	MPa
1.5f _b	許容曲げ応力	MPa	l	ルーバの幅	mm	1.5f _b *		
1.5f _b *			T	固有周期	s	1.5f _b *	取付ボルトの許容引張応力	MPa
1.5f _c	許容圧縮応力	MPa	t ₁	ルーバ振れ止めの厚さ	mm	1.5f _c		
1.5f _c *			t ₂	中央支柱上端部厚さ	mm	1.5f _c *		
1.5f _t	許容せん断応力	MPa	t ₃	支柱の厚さ(ルーバ板用溝部の最小厚さ)	mm	g	重力加速度 (=9.80665)	m/s ²
1.5f _t *			m ₁	支柱への付加質量(各支柱が負担するルーバ質量)	kg	i	クレーン取付面取付ボルトの水平方向の列番号(i=1~7)	-
1.5f _t	許容引張応力	MPa	m ₂	ルーバ1基の質量	kg	I _y	ジブのy軸に関する断面二次モーメント*1	mm ⁴
1.5f _t *			τ ₁	ルーバ振れ止めのせん断応力	MPa	I _x	ジブのx軸に関する断面二次モーメント*1	mm ⁴
g	重力加速度 (=9.80665)	m/s ²	τ ₂	中央支柱上端部のせん断応力	MPa	j	クレーン取付面取付ボルトの鉛直方向の列番号(j=1~11)	-
I _i	各ラック箱の断面二次モーメント	mm ⁴	λ	定数(両端支持:π, 両端固定:4.730)	-	k	クレーン取付面取付ボルトの水平方向の列番号(k=1~7)	-
L _i	各ラック箱の脚部長さ	m				L	荷重の最大半径	mm
l _i	各ラック箱のはり長さ	mm				L ₁	荷重からジブ取付面間での距離	mm
l _{1i}	各ラック箱のはり上端から支点1までの長さ	mm				L ₂	荷重からクレーン取付面間での距離	mm
l _{2i}	各ラック箱のはりの支点1から支点2までの長さ	mm				l ₂	ジブ取付面の鉛直方向(鉛直下向き)モーメントを受けるボルトの間隔	mm
						l ₂₁	ジブ取付面の水平方向モーメントを受けるボルトの間隔	mm
						l ₂₂	ジブ取付面の鉛直方向(鉛直上向き)モーメントを受けるボルトの間隔	mm
						l _{2i}	クレーン取付面鉛直方向における中心軸からj列目までのボルト間距離	mm

別紙 1-44 燃料仮置きラック			別紙 1-39 躯体付構造設備			別紙 1-41 固定式クレーン		
記号*	表示内容	単位				記号	表示内容	単位
l_{qi}	各ラック箱のほり下端から支点2までの長さ	mm				l_{Hi}	クレーン取付面水平方向における中心軸から i 列目までのボルト間距離	mm
M_i	各ラック箱に作用する曲げモーメント	N・mm				M_{Hi}	水平地震力によるジブの水平方向の曲げモーメントの合計	N・mm
M_{Ti}	各ラック箱及びラック箱に作用する燃料集合体の合計質量	kg				M_{H1}	水平地震力によるジブ取付面の水平方向の曲げモーメントの合計	N・mm
m_i	各ラック箱の単位長さ当たりの質量	N・s ² /mm ²				M_{H2}	水平地震力によるクレーン取付面の水平方向の曲げモーメントの合計	N・mm
n_i	各ラック箱の数	-				M_V	自重によるジブの鉛直方向の曲げモーメントの合計	N・mm
P	サポート板、保持金具及び固定金具に作用する圧縮力、引張力及びせん断力	N				M_{V1}	鉛直地震力によるジブの鉛直方向の曲げモーメントの合計	N・mm
R_i	各ラック箱に作用する反力	N				M_{V1}	自重によるジブ取付面の鉛直方向の曲げモーメントの合計	N・mm
T_i	各ラック箱の固有周期	s				M_{V1}	鉛直地震力によるジブ取付面の鉛直方向の曲げモーメントの合計	N・mm
W_i	各燃料及び各燃料収納缶の質量	kg				M_{V2}	自重によるクレーン取付面の鉛直方向の曲げモーメントの合計	N・mm
ω_i	各ラック箱の単位長さ当たりの重量	N/mm				M_{V2}	鉛直地震力によるクレーン取付面の鉛直方向の曲げモーメントの合計	N・mm
Z_i	各ラック箱の断面係数	mm ³				M_1	ジブ質量によるジブの鉛直方向の曲げモーメント	N・mm
λ_i	各ラック箱のモード係数	-				M_2	トロリ質量によるジブの鉛直方向の曲げモーメント	N・mm
σ_{1i}	各ラック箱に生じる曲げ応力	MPa				M_3	巻上荷重によるジブの鉛直方向の曲げモーメント	N・mm
σ_2	サポート板に生じる圧縮応力	MPa				M_4	水平地震力によるジブ質量に対するジブの水平方向の曲げモーメント	N・mm
σ_3	固定金具溶接部に生じる引張応力	MPa				M_5	水平地震力によるトロリ質量に対するジブの水平方向の曲げモーメント	N・mm
τ_u	各ラック箱に生じるせん断応力	MPa				M_6	ジブ取付面のジブ質量による鉛直方向の曲げモーメント	N・mm
τ_2	サポート板に生じるせん断応力	MPa				M_7	ジブ取付面のトロリ質量による鉛直方向の曲げモーメント	N・mm
τ_3	保持金具溶接部に生じるせん断応力	MPa				M_8	ジブ取付面の巻上荷重による鉛直方向の曲げモーメント	N・mm
τ_4	保持金具と固定金具の溶接部に生じるせん断応力	MPa				M_9	クレーン取付面のクレーン質量による鉛直方向の曲げモーメント	N・mm
τ_{ei}	各ラック箱の止め板溶接部に生じるせん断応力	MPa				M_{10}	クレーン取付面のトロリ質量による鉛直方向の曲げモーメント	N・mm
						M_{11}	クレーン取付面の巻上荷重による鉛直方向の曲げモーメント	N・mm
						m_H	トロリ質量(トロリ本体及び巻上装置等を含む)	kg
						n_1	ジブ取付ボルトの全本数	-
						n_{11}	ジブ取付ボルトの鉛直力(鉛直下向き)による引張側ボルトの数	-
						n_{12}	ジブ取付ボルトの水平力による引張側ボルトの数	-
						n_{13}	ジブ取付ボルトの鉛直力(鉛直上向き)による引張側ボルトの数	-
						n_2	クレーン取付ボルトの全本数	-
						n_{Hi}	クレーン取付面水平方向 i 列目のボルトの数	-
						n_{Vj}	クレーン取付面鉛直方向 j 列目のボルトの数	-
						o	クレーン取付面取付ボルトの鉛直方向の列番号(o=1~11)	-

注記 *1: 添え字 i は以下のとおり。
 i=A : BWR 燃料用ラック箱
 i=B : PWR 燃料用ラック箱
 i=C : 高残留濃縮度 BWR 燃料貯蔵ラック貯蔵燃料用ラック箱
 i=D : 高残留濃縮度 PWR 燃料貯蔵ラック貯蔵燃料用ラック箱

別紙 1-44 燃料仮置きラック	別紙 1-39 躯体付構造設備	別紙 1-41 固定式クレーン																																																																																							
		<table border="1"> <thead> <tr> <th data-bbox="1902 296 1991 352">記号</th> <th data-bbox="1991 296 2614 352">表示内容</th> <th data-bbox="2614 296 2689 352">単位</th> </tr> </thead> <tbody> <tr> <td>Q_v</td> <td>ジブの自重による鉛直方向のせん断力の合計</td> <td>N</td> </tr> <tr> <td>Q_v'</td> <td>ジブの鉛直地震力による鉛直方向のせん断力の合計</td> <td>N</td> </tr> <tr> <td>Q_{v1}</td> <td>ジブ取付ボルトの自重による鉛直方向のせん断力の合計</td> <td>N</td> </tr> <tr> <td>Q_{v1}'</td> <td>ジブ取付ボルトの鉛直地震力による鉛直方向のせん断力の合計</td> <td>N</td> </tr> <tr> <td>Q_{v2}</td> <td>クレーン取付ボルトの自重による鉛直方向のせん断力の合計</td> <td>N</td> </tr> <tr> <td>Q_{v2}'</td> <td>クレーン取付ボルトの鉛直地震力による鉛直方向のせん断力の合計</td> <td>N</td> </tr> <tr> <td>Q_H</td> <td>ジブの水平地震力による水平方向のせん断力の合計</td> <td>N</td> </tr> <tr> <td>Q_{H1}</td> <td>ジブ取付ボルトの水平地震力による水平方向のせん断力の合計</td> <td>N</td> </tr> <tr> <td>Q_{H2}</td> <td>クレーン取付ボルトの水平地震力による水平方向のせん断力の合計</td> <td>N</td> </tr> <tr> <td>Q_1</td> <td>ジブ質量によるジブの鉛直方向のせん断力</td> <td>N</td> </tr> <tr> <td>Q_2</td> <td>トロリ質量によるジブの鉛直方向のせん断力</td> <td>N</td> </tr> <tr> <td>Q_3</td> <td>巻上荷重によるジブの鉛直方向のせん断力</td> <td>N</td> </tr> <tr> <td>Q_4</td> <td>ジブ取付面のジブ質量による鉛直方向のせん断力</td> <td>N</td> </tr> <tr> <td>Q_5</td> <td>ジブ取付面のトロリ質量による鉛直方向のせん断力</td> <td>N</td> </tr> <tr> <td>Q_6</td> <td>ジブ取付面の定格荷重による鉛直方向のせん断力</td> <td>N</td> </tr> <tr> <td>Q_7</td> <td>クレーン取付面のクレーン質量による鉛直方向のせん断力</td> <td>N</td> </tr> <tr> <td>Q_8</td> <td>クレーン取付面のトロリ質量による鉛直方向のせん断力</td> <td>N</td> </tr> <tr> <td>Q_9</td> <td>クレーン取付面の定格荷重による鉛直方向のせん断力</td> <td>N</td> </tr> <tr> <td>σ_{bt}</td> <td>ジブの曲げ応力の合計(引張側)</td> <td>MPa</td> </tr> <tr> <td>σ_{bc}</td> <td>ジブの曲げ応力の合計(圧縮側)</td> <td>MPa</td> </tr> <tr> <td>σ_1</td> <td>ジブ取付ボルトの引張応力の合計</td> <td>MPa</td> </tr> <tr> <td>σ_2</td> <td>クレーン取付ボルトの引張応力の合計</td> <td>MPa</td> </tr> <tr> <td>T</td> <td>固有周期</td> <td>S</td> </tr> <tr> <td>τ</td> <td>ジブのせん断応力</td> <td>MPa</td> </tr> <tr> <td>τ_1</td> <td>ジブ取付ボルトのせん断応力</td> <td>MPa</td> </tr> <tr> <td>τ_2</td> <td>クレーン取付ボルトのせん断応力</td> <td>MPa</td> </tr> <tr> <td>W_F</td> <td>巻上荷重(定格荷重)</td> <td>N</td> </tr> <tr> <td>ω</td> <td>ジブ単位長さ当たりの質量</td> <td>kg/mm</td> </tr> </tbody> </table>	記号	表示内容	単位	Q_v	ジブの自重による鉛直方向のせん断力の合計	N	Q_v'	ジブの鉛直地震力による鉛直方向のせん断力の合計	N	Q_{v1}	ジブ取付ボルトの自重による鉛直方向のせん断力の合計	N	Q_{v1}'	ジブ取付ボルトの鉛直地震力による鉛直方向のせん断力の合計	N	Q_{v2}	クレーン取付ボルトの自重による鉛直方向のせん断力の合計	N	Q_{v2}'	クレーン取付ボルトの鉛直地震力による鉛直方向のせん断力の合計	N	Q_H	ジブの水平地震力による水平方向のせん断力の合計	N	Q_{H1}	ジブ取付ボルトの水平地震力による水平方向のせん断力の合計	N	Q_{H2}	クレーン取付ボルトの水平地震力による水平方向のせん断力の合計	N	Q_1	ジブ質量によるジブの鉛直方向のせん断力	N	Q_2	トロリ質量によるジブの鉛直方向のせん断力	N	Q_3	巻上荷重によるジブの鉛直方向のせん断力	N	Q_4	ジブ取付面のジブ質量による鉛直方向のせん断力	N	Q_5	ジブ取付面のトロリ質量による鉛直方向のせん断力	N	Q_6	ジブ取付面の定格荷重による鉛直方向のせん断力	N	Q_7	クレーン取付面のクレーン質量による鉛直方向のせん断力	N	Q_8	クレーン取付面のトロリ質量による鉛直方向のせん断力	N	Q_9	クレーン取付面の定格荷重による鉛直方向のせん断力	N	σ_{bt}	ジブの曲げ応力の合計(引張側)	MPa	σ_{bc}	ジブの曲げ応力の合計(圧縮側)	MPa	σ_1	ジブ取付ボルトの引張応力の合計	MPa	σ_2	クレーン取付ボルトの引張応力の合計	MPa	T	固有周期	S	τ	ジブのせん断応力	MPa	τ_1	ジブ取付ボルトのせん断応力	MPa	τ_2	クレーン取付ボルトのせん断応力	MPa	W_F	巻上荷重(定格荷重)	N	ω	ジブ単位長さ当たりの質量	kg/mm
記号	表示内容	単位																																																																																							
Q_v	ジブの自重による鉛直方向のせん断力の合計	N																																																																																							
Q_v'	ジブの鉛直地震力による鉛直方向のせん断力の合計	N																																																																																							
Q_{v1}	ジブ取付ボルトの自重による鉛直方向のせん断力の合計	N																																																																																							
Q_{v1}'	ジブ取付ボルトの鉛直地震力による鉛直方向のせん断力の合計	N																																																																																							
Q_{v2}	クレーン取付ボルトの自重による鉛直方向のせん断力の合計	N																																																																																							
Q_{v2}'	クレーン取付ボルトの鉛直地震力による鉛直方向のせん断力の合計	N																																																																																							
Q_H	ジブの水平地震力による水平方向のせん断力の合計	N																																																																																							
Q_{H1}	ジブ取付ボルトの水平地震力による水平方向のせん断力の合計	N																																																																																							
Q_{H2}	クレーン取付ボルトの水平地震力による水平方向のせん断力の合計	N																																																																																							
Q_1	ジブ質量によるジブの鉛直方向のせん断力	N																																																																																							
Q_2	トロリ質量によるジブの鉛直方向のせん断力	N																																																																																							
Q_3	巻上荷重によるジブの鉛直方向のせん断力	N																																																																																							
Q_4	ジブ取付面のジブ質量による鉛直方向のせん断力	N																																																																																							
Q_5	ジブ取付面のトロリ質量による鉛直方向のせん断力	N																																																																																							
Q_6	ジブ取付面の定格荷重による鉛直方向のせん断力	N																																																																																							
Q_7	クレーン取付面のクレーン質量による鉛直方向のせん断力	N																																																																																							
Q_8	クレーン取付面のトロリ質量による鉛直方向のせん断力	N																																																																																							
Q_9	クレーン取付面の定格荷重による鉛直方向のせん断力	N																																																																																							
σ_{bt}	ジブの曲げ応力の合計(引張側)	MPa																																																																																							
σ_{bc}	ジブの曲げ応力の合計(圧縮側)	MPa																																																																																							
σ_1	ジブ取付ボルトの引張応力の合計	MPa																																																																																							
σ_2	クレーン取付ボルトの引張応力の合計	MPa																																																																																							
T	固有周期	S																																																																																							
τ	ジブのせん断応力	MPa																																																																																							
τ_1	ジブ取付ボルトのせん断応力	MPa																																																																																							
τ_2	クレーン取付ボルトのせん断応力	MPa																																																																																							
W_F	巻上荷重(定格荷重)	N																																																																																							
ω	ジブ単位長さ当たりの質量	kg/mm																																																																																							

別紙 1-44 燃料仮置きラック	別紙 1-39 躯体付構造設備	別紙 1-41 固定式クレーン															
		<table border="1" data-bbox="1908 359 2686 558"> <thead> <tr> <th>記号</th> <th>表示内容</th> <th>単位</th> </tr> </thead> <tbody> <tr> <td>Z_{x+1}</td> <td>ジブのx軸に関する断面係数(引張側)*1</td> <td>mm^3</td> </tr> <tr> <td>Z_{x+2}</td> <td>ジブのx軸に関する断面係数(圧縮側)*1</td> <td>mm^3</td> </tr> <tr> <td>Z_{y+1}</td> <td>ジブのy軸に関する断面係数(引張側)*1</td> <td>mm^3</td> </tr> <tr> <td>Z_{y+2}</td> <td>ジブのy軸に関する断面係数(圧縮側)*1</td> <td>mm^3</td> </tr> </tbody> </table> <p data-bbox="1938 583 2279 611">注記 *1: x軸及びy軸は下記をいう。</p>  <p data-bbox="2279 764 2507 791">第 3.1.2-1 図 ジブ軸方向</p>	記号	表示内容	単位	Z_{x+1}	ジブのx軸に関する断面係数(引張側)*1	mm^3	Z_{x+2}	ジブのx軸に関する断面係数(圧縮側)*1	mm^3	Z_{y+1}	ジブのy軸に関する断面係数(引張側)*1	mm^3	Z_{y+2}	ジブのy軸に関する断面係数(圧縮側)*1	mm^3
記号	表示内容	単位															
Z_{x+1}	ジブのx軸に関する断面係数(引張側)*1	mm^3															
Z_{x+2}	ジブのx軸に関する断面係数(圧縮側)*1	mm^3															
Z_{y+1}	ジブのy軸に関する断面係数(引張側)*1	mm^3															
Z_{y+2}	ジブのy軸に関する断面係数(圧縮側)*1	mm^3															

別紙 1-44 燃料仮置きラック	別紙 1-39 躯体付構造設備	別紙 1-41 固定式クレーン
<p>3.1.3 固有周期の計算方法</p> <p>水平方向及び鉛直方向の固有周期は、次式により算出する。</p> <p>(1) 水平方向</p> <p>固定端上下2枚のサポート板によって支持された等分布質量はりモデルとし、第3.1.3-1図に計算モデルを示す。</p> <p>水平方向の固有周期は、次式で表される。</p>	<p>3.1.3 固有周期の計算方法</p> <p>ループの固有周期は以下に示すモデルにより、水平方向(X方向, Y方向)及び鉛直方向の固有周期Tは、次式により算出する。</p> <p>(1) 水平X方向</p> <p>水平X方向の固有周期は、次式で表される。</p>	<p>3.1.3 固有周期の計算方法</p> <p>水平方向及び鉛直方向の固有周期Tは、次式により算出する。</p> <p>(1) 水平方向</p> <p>水平方向の固有周期は、次式で表される。</p>
$T = \frac{2\pi l_1^2}{\lambda_1} \sqrt{\frac{m_1}{E I_1}} \dots\dots\dots (3.1.3-1)$	$T = \frac{2\pi h^2}{\lambda^2} \sqrt{\frac{m_1}{10^8 E h I_1}} \dots\dots\dots (3.1.3-1)$ <p>ここで、$\lambda = \pi$</p>	$T = 2\pi \sqrt{\frac{L^3(8m_H + 3\omega L)}{10^8 \times 24 E I_y}} \dots\dots\dots (3.1.3-1)$
 <p>第3.1.3-1図 水平方向の固有周期計算モデル</p>	 <p>第3.1.3-1図 水平X方向のモデル</p> <p>(2) 水平Y方向</p> <p>水平Y方向の固有周期は、次式で表される。</p>	
	$T = \frac{2\pi h^2}{\lambda^2} \sqrt{\frac{m_2}{10^8 E h I_2}} \dots\dots\dots (3.1.3-2)$ <p>ここで、$\lambda = 4.730$</p>	
	 <p>第3.1.3-2図 水平Y方向のモデル</p>	

①②

①②

別紙 1-44 燃料仮置きラック	別紙 1-39 躯体付構造設備	別紙 1-41 固定式クレーン
<p>(2) 鉛直方向 下端固定の1質点系振動モデルとし、第3.1.3-2図に計算モデルを示す。 鉛直方向の固有周期は、次式で表される。</p>	<p>(3) 鉛直方向 鉛直方向の固有周期は、次式で表される。</p>	<p>(2) 鉛直方向 鉛直方向の固有周期は、次式で表される。</p>
$T = 2\pi \sqrt{\frac{M_{T1} L_i}{E A_1}} \dots\dots\dots (3.1.3-2)$	$T = 2\pi \sqrt{\frac{m_1 h}{10^8 b E t_s}} \dots\dots\dots (3.1.3-3)$	$T = 2\pi \sqrt{\frac{L^3 \left(8 \left(m_H + \frac{W_F}{g} \right) + 3\omega L \right)}{10^8 \times 24 E I_x}} \dots\dots\dots (3.1.3-2)$
<p>第3.1.3-2図 鉛直方向の固有周期計算モデル</p>		<p>第3.1.3-1図 固有周期の計算モデル</p>

①②

別紙 1-44 燃料仮置きラック	別紙 1-39 躯体付構造設備	別紙 1-41 固定式クレーン
<p>3.1.4 応力の計算方法</p> <p>3.1.4.1 ラック箱の応力</p> <p>(1) 曲げ応力 曲げモーメントは、次式で表される。</p>	<p>3.1.4 応力の計算方法</p> <p>ルーバ振れ止めの応力σ_1及び中央支柱上端部の応力σ_2は、次式により算出する。</p>	<p>3.1.4 応力の計算方法</p> <p>3.1.4.1 ジブの応力 ジブの曲げ応力σ_{bt}、σ_{bc}及びせん断応力τは、次式により算出する。</p> <p>(1) 曲げ応力 ジブに最大の曲げ応力が発生するのは、定格荷重がジブの先端にある場合であり、次式で表される。 ジブ質量によるジブの鉛直方向の曲げモーメント</p>
$M_1 = \frac{C_H \omega l_1}{2 l_{2i}} (l_{1i} + l_{2i} - l_{3i}) \times \left\{ \frac{l_1}{4 l_{2i}} (l_{1i} + l_{2i} - l_{3i}) - l_{1i} \right\}$ <p style="text-align: right;">..... (3.1.4.1-1)</p> <p>曲げ応力は、次式で表される。</p> $\sigma_{1i} = \frac{M_1}{Z_1}$ <p style="text-align: right;">..... (3.1.4.1-2)</p>		$M_1 = \frac{\omega g L^2}{2}$ <p style="text-align: right;">..... (3.1.4.1-1)</p> <p>トロリ質量によるジブの鉛直方向の曲げモーメント</p> $M_2 = m_H g L$ <p style="text-align: right;">..... (3.1.4.1-2)</p> <p>巻上荷重によるジブの鉛直方向の曲げモーメント</p> $M_3 = W_F L$ <p style="text-align: right;">..... (3.1.4.1-3)</p> <p>自重によるジブの鉛直方向の曲げモーメント</p> $M_V = M_1 + M_2 + M_3$ <p style="text-align: right;">..... (3.1.4.1-4)</p> <p>鉛直地震力によるジブの鉛直方向の曲げモーメント</p> $M_V' = C_V (M_1 + M_2 + M_3)$ <p style="text-align: right;">..... (3.1.4.1-5)</p> <p>水平地震力によるジブ質量に対するジブの水平方向の曲げモーメント</p> $M_4 = M_1 C_H$ <p style="text-align: right;">..... (3.1.4.1-6)</p> <p>水平地震力によるトロリ質量に対するジブの水平方向の曲げモーメント</p> $M_5 = M_2 C_H$ <p style="text-align: right;">..... (3.1.4.1-7)</p> <p>ジブの水平方向の曲げモーメント</p> $M_H = M_4 + M_5$ <p style="text-align: right;">..... (3.1.4.1-8)</p> <p>ジブの曲げ応力(引張側) 【絶対値和】</p> $\sigma_{bt} = \frac{M_V + M_V'}{Z_{x+1}} + \frac{M_H}{Z_{y+1}}$ <p style="text-align: right;">..... (3.1.4.1-9)</p>
		<p>【SRSS法】</p> $\sigma_{bt} = \frac{M_V}{Z_{x+1}} + \sqrt{\left(\frac{M_V'}{Z_{x+1}} \right)^2 + \left(\frac{M_H}{Z_{y+1}} \right)^2}$ <p style="text-align: right;">..... (3.1.4.1-10)</p> <p>ジブの曲げ応力(圧縮側) 【絶対値和】</p> $\sigma_{bc} = \frac{M_V + M_V'}{Z_{x+2}} + \frac{M_H}{Z_{y+2}}$ <p style="text-align: right;">..... (3.1.4.1-11)</p> <p>【SRSS法】</p> $\sigma_{bc} = \frac{M_V}{Z_{x+2}} + \sqrt{\left(\frac{M_V'}{Z_{x+2}} \right)^2 + \left(\frac{M_H}{Z_{y+2}} \right)^2}$ <p style="text-align: right;">..... (3.1.4.1-12)</p>

①②

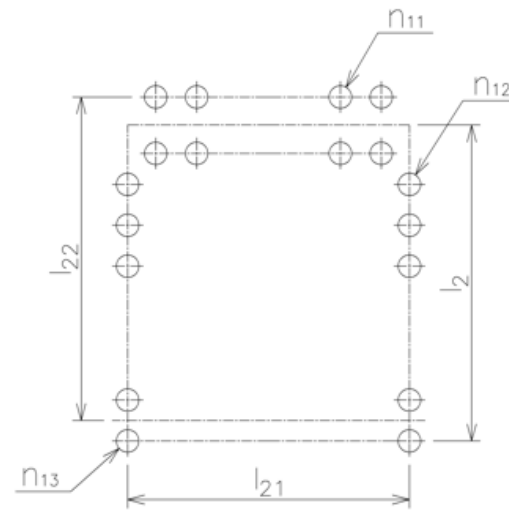
別紙 1-44 燃料仮置きラック	別紙 1-39 躯体付構造設備	別紙 1-41 固定式クレーン
<p>(2) せん断応力 せん断力は、次式で表される。</p>	<p>(1) ルーバ振れ止め(X方向)の応力 X方向の地震力によるルーバ振れ止めの応力は、次式で表される。 各ルーバのうち連続設置のルーバの荷重が作用するルーバ振れ止め応力が最も大きいことから連続設置のルーバ分の地震力と上下の振れ止めの面積からせん断応力を求める。</p>	<p>(2) せん断応力 せん断力は、次式で表される ジブ質量によるジブの鉛直方向のせん断力 $Q_1 = \omega g L$ (3.1.4.1-13) トロリ質量によるジブの鉛直方向のせん断力 $Q_2 = m_H g$ (3.1.4.1-14) 巻上荷重によるジブの鉛直方向のせん断力 $Q_3 = W_F$ (3.1.4.1-15) ジブの自重によるせん断力の合計 $Q_V = Q_1 + Q_2 + Q_3$ (3.1.4.1-16) ジブの鉛直地震力によるせん断力の合計 $Q_V' = C_V (Q_1 + Q_2 + Q_3)$ (3.1.4.1-17) ジブの水平地震力によるせん断力の合計 $Q_H = C_H (Q_1 + Q_2)$ (3.1.4.1-18) ジブのせん断応力</p>
<p>$F_i = \frac{C_{H1} \omega_i}{2 l_{z1}} (l_{z1}^2 + l_{z3}^2 - l_{z1}^2)$ (3.1.4.1-3) せん断力は、次式で表される。 $\tau_{11} = \frac{F_i}{A_{11}}$ (3.1.4.1-4)</p>	<p>$A_1 = 2l t_1$ (3.1.4-1) $\tau_1 = \frac{C_H m_2 n g}{A_1}$ (3.1.4-2)</p>	<p>【絶対値和】 $\tau = \frac{Q_V + Q_V' + Q_H}{A}$ (3.1.4.1-19)</p>
	<p>(2) 中央支柱上端部(Y方向)の応力 Y方向の地震力による中央支柱上端部の応力は、次式で表される。 ルーバ 1 基分の地震力を端部支柱で介して中央支柱の上下部で支持することから、地震力と中央支柱上下端部の面積からせん断応力を求める。 なお、中央支柱上端部の面積が下端部の面積より小さいことから上端部を代表とする。</p>	<p>【SRSS法】 $\tau = \frac{Q_V}{A} + \sqrt{\left(\frac{Q_V'}{A}\right)^2 + \left(\frac{Q_H}{A}\right)^2}$ (3.1.4.1-20)</p>

①②

(16) 頁から

別紙 1-44 燃料仮置きラック	別紙 1-39 躯体付構造設備	別紙 1-41 固定式クレーン
<p>3.1.4.2 支持部材の応力</p> <p>(1) せん断応力 反力は、次式で表される。</p> $R_i = \frac{C_H \omega l_i}{2 l_{2i}} (l_{2i} + l_{3i} - l_{1i}) \dots\dots\dots (3.1.4.2-1)$ <p>全ラック箱の反力によるサポート板の水平力は次式で表される。</p> $P = \sum (n_i R_i) \dots\dots\dots (3.1.4.2-2)$ <p>せん断応力は、次式で表される。</p> $\tau_2 = \frac{P}{A_2} \dots\dots\dots (3.1.4.2-3)$		<p>(2) せん断応力 せん断応力は、次式で表される ジブ質量によるジブの鉛直方向のせん断力</p> $Q_1 = \omega g L \dots\dots\dots (3.1.4.1-13)$ <p>トロリ質量によるジブの鉛直方向のせん断力</p> $Q_2 = m_H g \dots\dots\dots (3.1.4.1-14)$ <p>巻上荷重によるジブの鉛直方向のせん断力</p> $Q_3 = W_F \dots\dots\dots (3.1.4.1-15)$ <p>ジブの自重によるせん断力の合計</p> $Q_V = Q_1 + Q_2 + Q_3 \dots\dots\dots (3.1.4.1-16)$ <p>ジブの鉛直地震力によるせん断力の合計</p> $Q_V' = C_V (Q_1 + Q_2 + Q_3) \dots\dots\dots (3.1.4.1-17)$ <p>ジブの水平地震力によるせん断力の合計</p> $Q_H = C_H (Q_1 + Q_2) \dots\dots\dots (3.1.4.1-18)$ <p>ジブのせん断応力 【絶対値和】</p> $\tau = \frac{Q_V + Q_V' + Q_H}{A} \dots\dots\dots (3.1.4.1-19)$ <p>【SRSS法】</p> $\tau = \frac{Q_V}{A} + \sqrt{\left(\frac{Q_V'}{A}\right)^2 + \left(\frac{Q_H}{A}\right)^2} \dots\dots\dots (3.1.4.1-20)$
<p>(2) 圧縮応力 圧縮応力は、次式で表される。</p> $\sigma_2 = \frac{P}{A_2} \dots\dots\dots (3.1.4.2-4)$		<p>(15) 頁へ</p>

①

別紙 1-44 燃料仮置きラック	別紙 1-39 躯体付構造設備	別紙 1-41 固定式クレーン
<p>3.1.4.3 固定部の応力</p>		<p>3.1.4.2 ジブ取付面用ボルトの応力 ジブ取付面用ボルトの引張応力σ_1及びせん断応力τ_1は、次式により算出する。 取付面のボルトの配列を第3.1.4.2-1図に示す。</p>  <p>第 3.1.4.2-1図 ボルト配列図</p> <p>(1) 引張応力 引張応力は、次式で表される。 ジブ取付面のジブ質量による鉛直方向の曲げモーメント $M_g = \frac{\omega g L^2}{2} \dots\dots\dots (3.1.4.2-1)$ ジブ取付面のトロリ質量による鉛直方向の曲げモーメント $M_T = m_H g L_1 \dots\dots\dots (3.1.4.2-2)$ ジブ取付面の巻上荷重による鉛直方向の曲げモーメント $M_S = W_F L_1 \dots\dots\dots (3.1.4.2-3)$ 取付面の自重による曲げモーメントの合計 $M_{V1} = M_g + M_T + M_S \dots\dots\dots (3.1.4.2-4)$ 取付面の鉛直地震力による曲げモーメントの合計 $M_{V1}' = C_V (M_g + M_T + M_S) \dots\dots\dots (3.1.4.2-5)$ 取付面の水平地震力による曲げモーメントの合計 $M_{H1} = C_H (M_g + M_T) \dots\dots\dots (3.1.4.2-6)$</p>

①

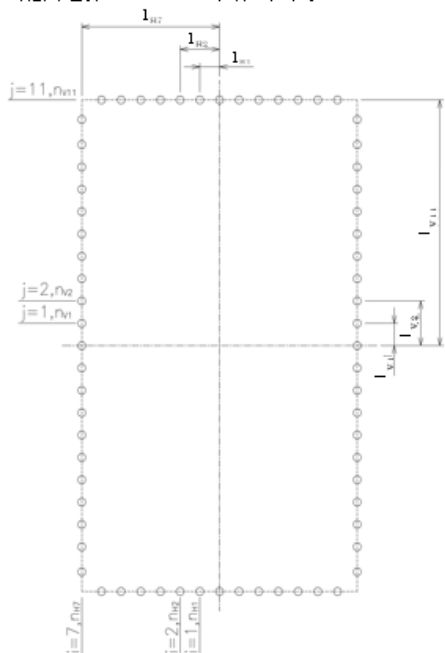
別紙 1-44 燃料仮置きラック	別紙 1-39 躯体付構造設備	別紙 1-41 固定式クレーン
		<p>取付ボルトの引張応力</p> <p>a. 自重及び鉛直地震力(鉛直下向き)による引張応力</p> $\sigma_1 = \frac{M_{v1} + M_{v1}'}{l_z A_{b1} n_{11}} \dots\dots\dots (3.1.4.2-7)$ <p>b. 自重, 鉛直地震力(鉛直上向き)及び水平地震による引張応力 【絶対値和】</p> $\sigma_1 = \frac{M_{H1}}{l_{z1} A_{b1} n_{12}} + \frac{M_{v1}' - M_{v1}}{l_{z2} A_{b1} n_{13}} \dots\dots\dots (3.1.4.2-8)$ <p>【SRSS法】</p> $\sigma_1 = \sqrt{\left(\frac{M_{H1}}{l_{z1} A_{b1} n_{12}}\right)^2 + \left(\frac{M_{v1}'}{l_{z2} A_{b1} n_{13}}\right)^2} - \frac{M_{v1}}{l_{z2} A_{b1} n_{13}} \dots\dots\dots (3.1.4.2-9)$

①

別紙 1-44 燃料仮置きラック	別紙 1-39 躯体付構造設備	別紙 1-41 固定式クレーン
<p>(1) 保持金具溶接部のせん断応力 せん断応力は、次式で表される。</p> $\tau_s = \frac{P}{A_4} \dots\dots\dots (3.1.4.3-1)$ <p>(2) 保持金具と固定金具の溶接部のせん断応力 せん断応力は、次式で表される。</p> $\tau_4 = \frac{P}{A_5} \dots\dots\dots (3.1.4.3-2)$ <div style="border: 1px solid black; padding: 5px; margin: 10px 0;"> <p>(3) 固定金具溶接部の引張応力 引張応力は、次式で表される。</p> $\sigma_s = \frac{P}{A_6} \dots\dots\dots (3.1.4.3-3)$ </div> <p>(4) 止め板溶接部のせん断力 せん断力は、次式で表される。</p> $F_{vi} = W_i (1 + C_{vi}) g \dots\dots\dots (3.1.4.3-4)$ <p>せん断応力は次式で表される。</p> $\tau_{si} = \frac{F_{vi}}{A_{ri}} \dots\dots\dots (3.1.4.3-5)$		<p>(2) せん断応力 せん断応力は、次式で表される。 ジブ取付面のジブ質量による取付ボルトの鉛直方向のせん断力 $Q_4 = \omega g L_1 \dots\dots\dots (3.1.4.2-10)$ ジブ取付面のトロリ質量による取付ボルトの鉛直方向のせん断力 $Q_5 = m_H g \dots\dots\dots (3.1.4.2-11)$ ジブ取付面の巻上荷重による取付ボルトの鉛直方向のせん断力 $Q_6 = W_F \dots\dots\dots (3.1.4.2-12)$ 取付ボルトの自重によるせん断力の合計 $Q_{v1} = Q_4 + Q_5 + Q_6 \dots\dots\dots (3.1.4.2-13)$ 取付ボルトの鉛直地震力によるせん断力の合計 $Q'_{v1} = C_v (Q_4 + Q_5 + Q_6) \dots\dots\dots (3.1.4.2-14)$ 取付ボルトの水平地震力によるせん断力の合計 $Q_{H1} = C_H (Q_4 + Q_5) \dots\dots\dots (3.1.4.2-15)$</p> <p>取付ボルトのせん断応力 【絶対値和】 $\tau_1 = \frac{Q_{v1} + Q'_{v1} + Q_{H1}}{A_{b1} n_1} \dots\dots\dots (3.1.4.2-16)$ 【SRSS法】 $\tau_1 = \frac{Q_{v1}}{A_{b1} n_1} + \sqrt{\left(\frac{Q'_{v1}}{A_{b1} n_1}\right)^2 + \left(\frac{Q_{H1}}{A_{b1} n_1}\right)^2} \dots\dots\dots (3.1.4.2-17)$</p>

①

(21) 頁へ

別紙 1-44 燃料仮置きラック	別紙 1-39 躯体付構造設備	別紙 1-41 固定式クレーン
		<p>3.1.4.3 クレーン取付面用ボルトの応力 クレーン取付面用ボルトの引張応力σ_2及びせん断応力τ_2は、次式により算出する。</p> <p>取付面のボルトの配列を第 3.1.4.3-1 図に示す。</p>  <p>第 3.1.4.3-1 図 ボルト配列図</p>

別紙 1-44 燃料仮置きラック	別紙 1-39 躯体付構造設備	別紙 1-41 固定式クレーン
<p>(3) 固定金具溶接部の引張応力 引張応力は、次式で表される。</p> $\sigma_z = \frac{P}{A_g} \dots\dots\dots (3.1.4.3-3)$ <p style="text-align: right;">(19) 頁から</p>		<p>(1) 引張応力 引張応力は、次式で表される。 クレーン取付面のクレーン質量による鉛直方向の曲げモーメント</p> $M_g = \frac{\omega g L_2^2}{2} \dots\dots\dots (3.1.4.3-1)$ <p>クレーン取付面のトリ質量による鉛直方向の曲げモーメント</p> $M_{10} = m_H g L_2 \dots\dots\dots (3.1.4.3-2)$ <p>クレーン取付面の巻上荷重による鉛直方向の曲げモーメント</p> $M_{11} = W_F L_2 \dots\dots\dots (3.1.4.3-3)$ <p>自重によるクレーン取付面の鉛直方向の曲げモーメントの合計</p> $M_{V2} = M_g + M_{10} + M_{11} \dots\dots\dots (3.1.4.3-4)$ <p>鉛直地震力によるクレーン取付面の鉛直方向の曲げモーメントの合計</p> $M_{V2}' = C_V (M_g + M_{10} + M_{11}) \dots\dots\dots (3.1.4.3-5)$ <p>M_{V2}によるクレーン取付ボルトの1本当たりの引張力F_{Vj}を式(3.1.4.3-6)及び式(3.1.4.3-7)の関係式より算出する。また、M_{V2}'による引張力F_{Vj}'についても同様の関係式より算出する。</p> <p>モーメントの釣合い関係式</p> $\frac{M_{V2}}{2} = \sum_{j=1}^{11} F_{Vj} l_{Vj} n_{Vj} \dots\dots\dots (3.1.4.3-6)$ <p>引張力と支点からの距離との関係式</p> $F_{Vj} F_{V0} = l_{Vj} l_{V0} \dots\dots\dots (3.1.4.3-7)$ <p>取付ボルトの水平方向の曲げモーメントの合計</p> $M_{H2} = C_H (M_g + M_{10}) \dots\dots\dots (3.1.4.3-8)$ <p>M_{H2}によるクレーン取付ボルトの1本当たりの引張力F_{Hi}を式(3.1.4.3-9)及び式(3.1.4.3-10)の関係式より算出する。</p> <p>モーメントの釣合い関係式</p> $\frac{M_{H2}}{2} = \sum_{i=1}^7 F_{Hi} l_{Hi} n_{Hi} \dots\dots\dots (3.1.4.3-9)$ <p>引張力と支点からの距離との関係式</p> $F_{Hi} F_{Hk} = l_{Hi} l_{Hk} \dots\dots\dots (3.1.4.3-10)$ <p>クレーン取付ボルトの引張応力 【絶対値和】</p> $\sigma_z = \frac{F_{Vj} + F_{Vj}' + F_{Hi}}{A_{bz}} \dots\dots\dots (3.1.4.3-11)$ <p>【SRSS法】</p> $\sigma_z = \frac{F_{Vj}}{A_{bz}} + \sqrt{\left(\frac{F_{Vj}'}{A_{bz}}\right)^2 + \left(\frac{F_{Hi}}{A_{bz}}\right)^2} \dots\dots\dots (3.1.4.3-12)$

①

別紙 1-44 燃料仮置きラック	別紙 1-39 躯体付構造設備	別紙 1-41 固定式クレーン
		<p>(2) せん断応力 せん断応力は、次式で表される。 クレーン取付面のクレーン質量による鉛直方向のせん断力 $Q_7 = \omega g L_2 \dots\dots\dots (3.1.4.3-13)$ クレーン取付面のトロリ質量による鉛直方向のせん断力 $Q_8 = m_H g \dots\dots\dots (3.1.4.3-14)$ クレーン取付面の巻上荷重による鉛直方向のせん断力 $Q_9 = W_f \dots\dots\dots (3.1.4.3-15)$ 取付ボルトの自重によるせん断力の合計 $Q_{V2} = Q_7 + Q_8 + Q_9 \dots\dots\dots (3.1.4.3-16)$ 取付ボルトの鉛直地震力によるせん断力の合計 $Q_{V2}' = C_V (Q_7 + Q_8 + Q_9) \dots\dots\dots (3.1.4.3-17)$ 取付ボルトの水平地震力によるせん断力の合計 $Q_{H2} = C_H (Q_7 + Q_8) \dots\dots\dots (3.1.4.3-18)$ 取付ボルトのせん断応力 【絶対値和】 $\tau_2 = \frac{Q_{V2} + Q_{V2}' + Q_{H2}}{A_{b2} n_2} \dots\dots\dots (3.1.4.3-19)$ 【SRSS法】 $\tau_2 = \frac{Q_{V2}}{A_{b2} n_2} + \sqrt{\left(\frac{Q_{V2}'}{A_{b2} n_2}\right)^2 + \left(\frac{Q_{H2}}{A_{b2} n_2}\right)^2} \dots\dots\dots (3.1.4.3-20)$ </p>

①

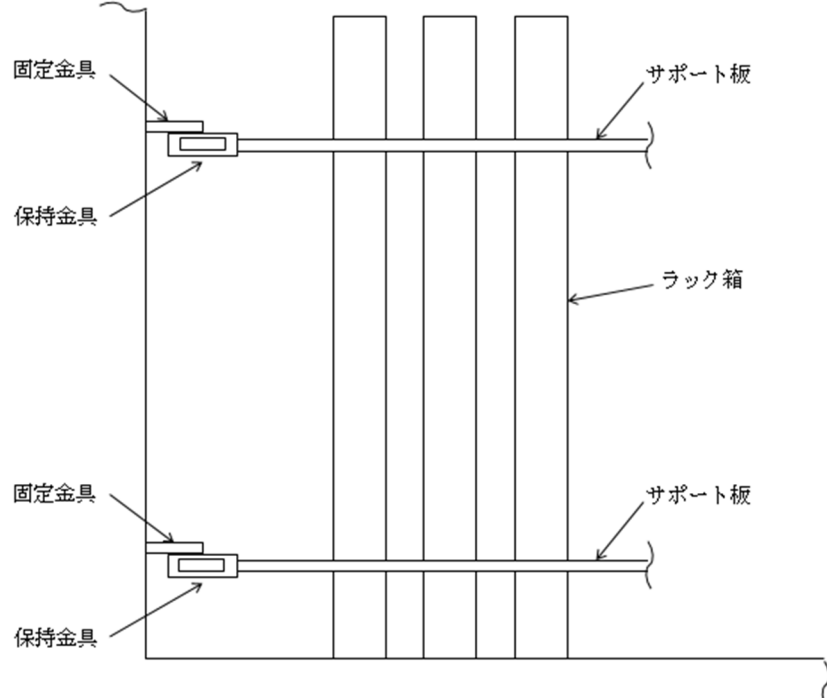
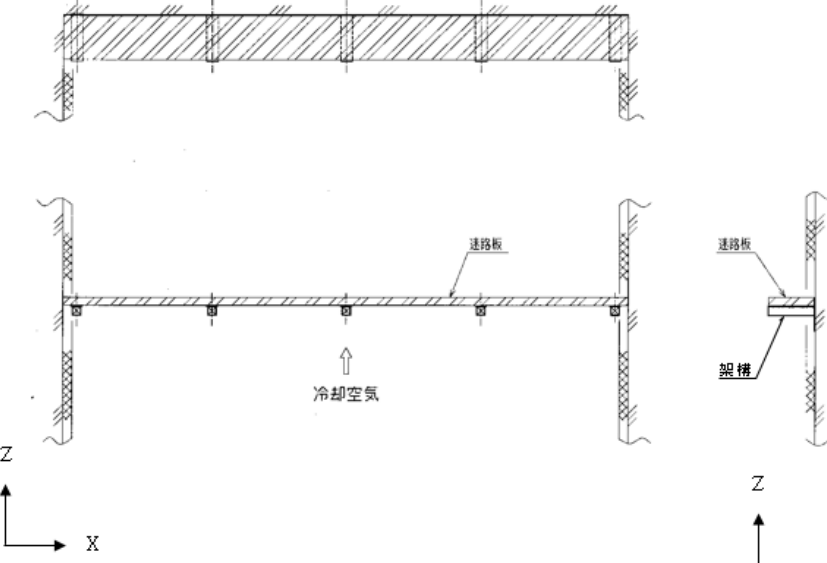
別紙 1-44 燃料仮置きラック	別紙 1-39 躯体付構造設備	別紙 1-41 固定式クレーン
<p>3.2 評価</p> <p>3.1.4項で算出した応力が、「IV-1-1-8 機能維持の基本方針(e.支持構造物)」に基づく許容応力以下であること。</p>	<p>3.2 評価</p> <p>3.1.4項で算出した応力が、「IV-1-1-8 機能維持の基本方針(e.支持構造物)」の許容応力以下であること。</p>	<p>3.2 評価(構造強度)</p> <p>3.1.4項で算出した応力が、「IV-1-1-8 機能維持の基本方針(e.支持構造物)」に基づく許容応力以下であること。</p> <p>ここで、3.1.4.2項で算出したジブ取付面用ボルトの引張応力σ_1は、下記2式より算出した許容引張応力$1.5f_{t,2}$以下であること。なお、基準地震動S_sによる評価では$f_{t,2}$を$f_{t,2}^*$に読み替える。</p> $1.5f_{t,2} = 1.4f_{t,2} - 1.6\tau \quad \dots\dots\dots (3.2-1)$ $1.5f_{t,2} \leq f_{t,2} \quad \dots\dots\dots (3.2-2)$ <p>また、3.1.4.3項で算出したクレーン取付面用ボルトの引張応力σ_2は、下記2式より算出した許容引張応力$1.5f_{t,3}$以下であること。なお、基準地震動S_sによる評価では$f_{t,3}$を$f_{t,3}^*$に読み替える。</p> $1.5f_{t,3} = 1.4f_{t,3} - 1.6\tau \quad \dots\dots\dots (3.2-3)$ $1.5f_{t,3} \leq f_{t,3} \quad \dots\dots\dots (3.2-4)$

別紙 1-44 燃料仮置きラック	別紙 1-39 躯体付構造設備	別紙 1-41 固定式クレーン																														
<p>4. 耐震計算書のフォーマット</p> <p>燃料仮置きラックの構造強度評価に対する耐震計算書のフォーマットは、以下のとおりである。</p>	<p>4. 耐震計算書のフォーマット</p> <p>躯体付構造設備の構造強度評価に対する耐震計算書のフォーマットは、以下のとおりである。</p>	<p>4. 吊具評価</p> <p>4.1 計算方法</p> <p>4.1.1 計算条件</p> <p>ガラス固化体はワイヤロープ及び吊具で支持されている。</p> <p>吊荷荷重を直接受ける部位は、ワイヤロープ及び吊具であり、このうちガラス固化体を直接吊るもので損傷又は破断により即落下に至る可能性があるワイヤロープ及び吊具を評価対象とする。</p> <p>吊荷に対する評価は、ワイヤロープ及び吊具に作用する地震時荷重により評価を行う。</p> <p>4.1.2 荷重の組合せ及び許容値</p> <p>荷重の組合せは、「IV-1-1-8 機能維持の基本方針(e.支持構造物)」に基づき設定する。</p> <p>許容応力は、「IV-1-1-8 機能維持の基本方針(e.支持構造物)」に基づく。</p> <p>なお、許容値のうちワイヤロープに対する許容荷重は、定格荷重に安全率を乗じた値を用いる。</p> <p>4.1.3 記号の説明</p> <table border="1" data-bbox="1908 898 2686 1255"> <thead> <tr> <th>記号</th> <th>表示内容</th> <th>単位</th> </tr> </thead> <tbody> <tr> <td>A_{wt}</td> <td>吊具の断面積</td> <td>mm²</td> </tr> <tr> <td>F^*</td> <td>「JSME S NC1」のSSB-3121.1(1)に定める値 ただし、「S_y」を「$1.2S_y$」に読み替える</td> <td>MPa</td> </tr> <tr> <td>F_w</td> <td>吊荷の浮上がり挙動によりワイヤロープに発生する荷重</td> <td>N</td> </tr> <tr> <td>f_{wt}^*</td> <td>吊具の許容引張応力</td> <td>MPa</td> </tr> <tr> <td>f_w^*</td> <td>ワイヤロープの許容値</td> <td>N</td> </tr> <tr> <td>M_{wt}</td> <td>吊具に作用する曲げモーメント</td> <td>N・mm</td> </tr> <tr> <td>P_{wt}</td> <td>吊荷の浮上がり挙動により吊具に発生する荷重</td> <td>N</td> </tr> <tr> <td>Z_{wt}</td> <td>吊具の断面係数</td> <td>mm³</td> </tr> <tr> <td>σ_{wr}</td> <td>吊具の組合せ応力</td> <td>MPa</td> </tr> </tbody> </table> <p>4.1.4 応力の計算方法</p> <p>4.1.4.1 吊具の応力</p> <p>吊具の応力は、次式で表される。</p> $\sigma_{wr} = \frac{M_{wt}}{Z_{wt}} + \frac{P_{wt}}{A_{wt}} \dots\dots\dots (4.1.4.1-1)$ <p>4.2. 評価(吊具)</p> <p>4.1.4項で算出した値が、4.1.2項の許容値以下であること。</p> <p>5. 耐震計算書のフォーマット</p> <p>固定式クレーンの構造強度評価に対するフォーマットは、以下のとおりである。</p>	記号	表示内容	単位	A_{wt}	吊具の断面積	mm ²	F^*	「JSME S NC1」のSSB-3121.1(1)に定める値 ただし、「 S_y 」を「 $1.2S_y$ 」に読み替える	MPa	F_w	吊荷の浮上がり挙動によりワイヤロープに発生する荷重	N	f_{wt}^*	吊具の許容引張応力	MPa	f_w^*	ワイヤロープの許容値	N	M_{wt}	吊具に作用する曲げモーメント	N・mm	P_{wt}	吊荷の浮上がり挙動により吊具に発生する荷重	N	Z_{wt}	吊具の断面係数	mm ³	σ_{wr}	吊具の組合せ応力	MPa
記号	表示内容	単位																														
A_{wt}	吊具の断面積	mm ²																														
F^*	「JSME S NC1」のSSB-3121.1(1)に定める値 ただし、「 S_y 」を「 $1.2S_y$ 」に読み替える	MPa																														
F_w	吊荷の浮上がり挙動によりワイヤロープに発生する荷重	N																														
f_{wt}^*	吊具の許容引張応力	MPa																														
f_w^*	ワイヤロープの許容値	N																														
M_{wt}	吊具に作用する曲げモーメント	N・mm																														
P_{wt}	吊荷の浮上がり挙動により吊具に発生する荷重	N																														
Z_{wt}	吊具の断面係数	mm ³																														
σ_{wr}	吊具の組合せ応力	MPa																														

<p>別紙 1-44 燃料仮置きラック</p>	<p>別紙 1-40 躯体付構造設備（架構支持）</p>	
<p>比較表の代表とする基本方針</p> <p>IV-1-2-1 別紙 1-44 燃料仮置きラックの耐震性に関する 計算書作成の基本方針</p>	<p>IV-1-2-1 別紙 1-40 躯体付構造設備（架構支持）の耐震性 に関する計算書作成の基本方針</p>	
<ul style="list-style-type: none"> ・ 差分が生じている箇所を青枠にて示し，下記凡例の計算式における差異の要因に示す番号を右端に示す。 ・ 差分の比較表は見やすさの観点から 3 段表により示す。3 段表で示すに当たって類型化分類中に定型式が 4 つ以上存在する場合は，最左列を代表とした複数の 3 段表により全ての定型式の差分を示す。 ・ 複数の 3 段表を作成する際は，パラメータによる計算式の違いから比較表のずれを少なくするため，パラメータ式が類似する計算式ごとの比較結果を示す。本比較表においては 4 種類の基本方針に対し 2 つの比較表にて構成しており，比較表 1 では差異の要因として①が多く該当する別紙 1-39 と別紙 1-41 との比較，比較表 2 では②が多く該当する別紙 1-40 との比較について示す。 		
<p>計算式における差異の要因の凡例</p> <p>①支持方法</p> <p>②荷重負担方法</p>		

別紙 1-44 燃料仮置きラック	別紙 1-40 躯体付構造設備（架構支持）	
<p style="text-align: center;">目 次</p> <p style="text-align: right;">ページ</p> <p>1. 概要…………… 1</p> <p>2. 準拠規格…………… 1</p> <p>3. 構造強度評価…………… 2</p> <p> 3.1 計算方法…………… 2</p> <p> 3.1.1 計算条件…………… 2</p> <p> 3.1.2 記号の説明…………… 3</p> <p> 3.1.3 固有周期の計算方法…………… 5</p> <p> 3.1.4 応力の計算方法…………… 7</p> <p> 3.2 評価…………… 8</p> <p>4. 耐震計算書のフォーマット…………… 8</p>	<p style="text-align: center;">目 次</p> <p style="text-align: right;">ページ</p> <p>1. 概要…………… 1</p> <p>2. 準拠規格…………… 1</p> <p>3. 構造強度評価…………… 2</p> <p> 3.1 計算方法…………… 2</p> <p> 3.1.1 計算条件…………… 2</p> <p> 3.1.2 記号の説明…………… 3</p> <p> 3.1.3 固有周期の計算方法…………… 4</p> <p> 3.1.4 応力の計算方法…………… 4</p> <p> 3.2 評価…………… 5</p> <p>4. 耐震計算書のフォーマット…………… 5</p>	

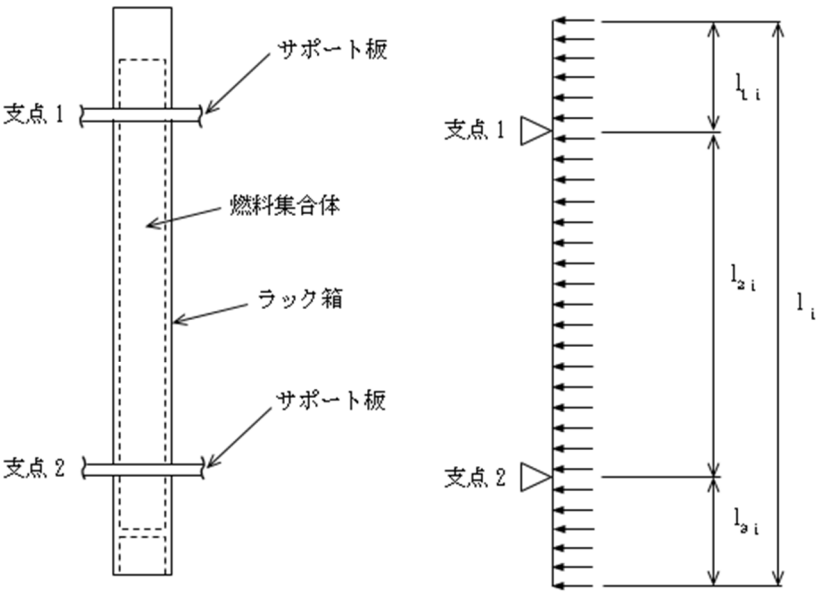
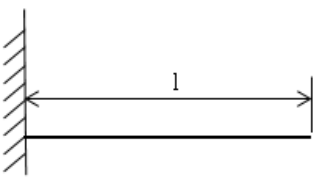
別紙 1-44 燃料仮置きラック	別紙 1-40 躯体付構造設備（架構支持）																									
<p>1. 概要 本基本方針は、燃料仮置きラックの耐震性に関する計算書の計算方法を示す。</p> <p>2. 準拠規格 「IV-1-1 耐震設計の基本方針」に示す規格のうち、本評価に対する準拠規格について第2-1表に示す。</p> <p style="text-align: center;">第2-1表 準拠規格</p> <table border="1" data-bbox="243 577 1029 766"> <thead> <tr> <th colspan="2">準拠規格名</th> </tr> </thead> <tbody> <tr> <td>原子力発電所耐震設計技術指針</td> <td>JEAG4601-1987</td> </tr> <tr> <td>原子力発電所耐震設計技術指針 重要度分類・許容応力編</td> <td>JEAG4601・補-1984</td> </tr> <tr> <td>原子力発電所耐震設計技術指針</td> <td>JEAG4601-1991 追補版</td> </tr> <tr> <td>発電用原子力設備企画 設計・建設規格 (2005年版 (2007年追補版含む))</td> <td></td> </tr> <tr> <td colspan="2"><第 I 編 軽水炉規格> JSME S NC1-2005/2007*</td> </tr> </tbody> </table> <p>注記 *：JSME S NC1以外に使用している鉄鋼材料の規格については、「V-2 強度計算方法」における添付-1「容器等の材料及び構造に関する設計の基本方針」に定められた値を準用することとする。</p>	準拠規格名		原子力発電所耐震設計技術指針	JEAG4601-1987	原子力発電所耐震設計技術指針 重要度分類・許容応力編	JEAG4601・補-1984	原子力発電所耐震設計技術指針	JEAG4601-1991 追補版	発電用原子力設備企画 設計・建設規格 (2005年版 (2007年追補版含む))		<第 I 編 軽水炉規格> JSME S NC1-2005/2007*		<p>1. 概要 本基本方針は、躯体付構造設備(架構支持)の耐震性に関する計算書の計算方法を示す。</p> <p>2. 準拠規格 「IV-1-1 耐震設計の基本方針」に示す規格のうち、本評価に対する準拠規格について第2-1表に示す。</p> <p style="text-align: center;">第2-1表 準拠規格</p> <table border="1" data-bbox="1065 627 1863 816"> <thead> <tr> <th colspan="2">準拠規格名</th> </tr> </thead> <tbody> <tr> <td>原子力発電所耐震設計技術指針</td> <td>JEAG4601-1987</td> </tr> <tr> <td>原子力発電所耐震設計技術指針 重要度分類・許容応力編</td> <td>JEAG4601・補-1984</td> </tr> <tr> <td>原子力発電所耐震設計技術指針</td> <td>JEAG4601-1991 追補版</td> </tr> <tr> <td>発電用原子力設備規格 設計・建設規格 (2005年度版 (2007年追補版を含む))</td> <td></td> </tr> <tr> <td colspan="2"><第 I 編 軽水炉規格> JSME S NC1-2005/2007*</td> </tr> </tbody> </table> <p>注記 *：JSME S NC1以外に使用している鉄鋼材料の規格については、「V-2 強度計算方法」における添付-1「容器等の材料及び構造に関する設計の基本方針」に定められた値を準用することとする。</p>	準拠規格名		原子力発電所耐震設計技術指針	JEAG4601-1987	原子力発電所耐震設計技術指針 重要度分類・許容応力編	JEAG4601・補-1984	原子力発電所耐震設計技術指針	JEAG4601-1991 追補版	発電用原子力設備規格 設計・建設規格 (2005年度版 (2007年追補版を含む))		<第 I 編 軽水炉規格> JSME S NC1-2005/2007*		
準拠規格名																										
原子力発電所耐震設計技術指針	JEAG4601-1987																									
原子力発電所耐震設計技術指針 重要度分類・許容応力編	JEAG4601・補-1984																									
原子力発電所耐震設計技術指針	JEAG4601-1991 追補版																									
発電用原子力設備企画 設計・建設規格 (2005年版 (2007年追補版含む))																										
<第 I 編 軽水炉規格> JSME S NC1-2005/2007*																										
準拠規格名																										
原子力発電所耐震設計技術指針	JEAG4601-1987																									
原子力発電所耐震設計技術指針 重要度分類・許容応力編	JEAG4601・補-1984																									
原子力発電所耐震設計技術指針	JEAG4601-1991 追補版																									
発電用原子力設備規格 設計・建設規格 (2005年度版 (2007年追補版を含む))																										
<第 I 編 軽水炉規格> JSME S NC1-2005/2007*																										

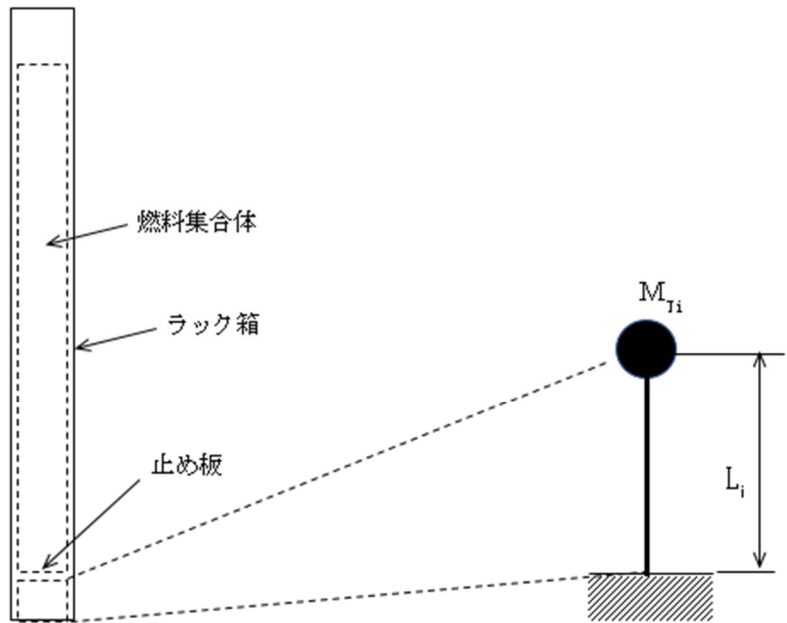
別紙 1-44 燃料仮置きラック	別紙 1-40 躯体付構造設備（架構支持）	
<p>3. 構造強度評価</p> <p>3.1 計算方法</p> <p>3.1.1 計算条件</p> <p>(1) ラック箱は、上下2枚のサポート板によって支持された等分布質量はりとする。</p> <p>(2) 構造強度評価は、ラック箱、ラック箱の支持部材であるサポート板、固定部である保持金具、固定金具及び止め板の溶接部とする。</p> <p>(3) 地震力は、水平方向及び鉛直方向から個別に作用するものとし、応力計算において各応力を適切に組み合わせる。</p>  <p>第 3.1.1-1 図 全景</p>	<p>3. 構造強度評価</p> <p>3.1 計算方法</p> <p>3.1.1 計算条件</p> <p>(1) 迷路板の質量をはりに等分布質量として与える。</p> <p>(2) X方向は両端部ともシャフト内の壁に支持されている。</p> <p>(3) 強度評価は、Y方向及びZ方向の地震力による架構の応力を個別に計算し、各応力を適切に組み合わせる。</p> <p>(4) 架構と壁との取合は架構の強度と同程度の溶接とすることから、架構部材の応力評価を行う。</p> <p>(5) X方向はシャフト内の壁に支持され、Y方向は架構(以下「はり」という。)の剛性は軸方向のため高いことから、固有周期は、Z方向に関してはりを片持はりとして曲げ剛性を考慮して算出する。</p>  <p>第 3.1.1-1 図 全景</p>	

別紙 1-44 燃料仮置きラック			別紙 1-40 躯体付構造設備（架構支持）		
3.1.2 記号の説明			3.1.2 記号の説明		
記号 ^{*1}	表示内容	単位	記号	表示内容	単位
A ₂	保持金具に拘束されているサポート板の断面積	mm ²	A	部材の断面積	mm ²
A ₃	圧縮力を受けるサポート板の断面積	mm ²	A _Z	部材のせん断断面積	mm ²
A ₄	保持金具溶接部の評価面積	mm ²	C _H	水平方向設計震度	-
A ₅	保持金具及び固定金具の溶接部の評価面積	mm ²	C _V	鉛直方向設計震度	-
A ₆	固定金具取付溶接部の評価面積	mm ²	E	部材の縦弾性係数	MPa
A ₁	各ラック箱の脚部断面積	mm ²	F	「JSME S NC1」のSSB-3121.1(1)に定める値	MPa
A _{1i}	各ラック箱の断面積	mm ²	F*	「JSME S NC1」のSSB-3121.1(1)に定める値 ただし、「S _y 」を「1.2S _y 」に読み替える	MPa
A _{T1}	各ラック箱の止め板溶接部の評価面積	mm ²	F _y	軸力	N
C _{H1}	各ラック箱の水平方向設計震度	-	F _Z	せん断力	N
C _{V1}	各ラック箱の鉛直方向設計震度	-	1.5f _b	許容曲げ応力	MPa
E	各部材の縦弾性係数	MPa	1.5f _b *		
F	「JSME S NC1」のSSB-3121.1(1)に定める値	MPa	1.5f _c	許容圧縮応力	MPa
F*	「JSME S NC1」のSSB-3121.1(1)に定める値 ただし、「S _y 」を「1.2S _y 」に読み替える	MPa	1.5f _c *		
F _i	各ラック箱に作用するせん断力	N	1.5f _t	許容引張応力	MPa
F _{V1}	各ラック箱の止め板に作用する鉛直方向荷重	N	1.5f _t *		
1.5f _b	許容曲げ応力	MPa	g	重力加速度 (=9.80665)	m/s ²
1.5f _b *			I	部材の断面二次モーメント	mm ⁴
1.5f _c	許容圧縮応力	MPa	l	はりの長さ	mm
1.5f _c *			M	曲げモーメント	N・mm
1.5f _t	許容せん断応力	MPa	m	迷路板及び架構の質量(はり1本が負担する質量)	kg
1.5f _t *			T	固有周期	s
1.5f _t	許容引張応力	MPa	Z	部材の断面係数	mm ³
1.5f _t *			σ _b	曲げ応力	MPa
g	重力加速度 (=9.80665)	m/s ²	σ _c	圧縮応力	MPa
I _i	各ラック箱の断面二次モーメント	mm ⁴	σ _s	組合せ応力	MPa
L ₁	各ラック箱の脚部長さ	m	σ _t	引張応力	MPa
l _i	各ラック箱のはり長さ	mm	τ	せん断応力	MPa
l _{1i}	各ラック箱のはり上端から支点1までの長さ	mm	λ ₁	定数 (=1.875)	-
l _{2i}	各ラック箱のはりの支点1から支点2までの長さ	mm			

別紙 1-44 燃料仮置きラック			別紙 1-40 躯体付構造設備（架構支持）		
記号 ^{*1}	表示内容	単位			
l_{si}	各ラック箱のはり下端から支点2までの長さ	mm			
M_i	各ラック箱に作用する曲げモーメント	N・mm			
M_{ti}	各ラック箱及びラック箱に作用する燃料集合体の合計質量	kg			
m_i	各ラック箱の単位長さ当たりの質量	N・s ² /mm ²			
n_i	各ラック箱の数	—			
P	サポート板、保持金具及び固定金具に作用する圧縮力、引張力及びせん断力	N			
R_i	各ラック箱に作用する反力	N			
T_i	各ラック箱の固有周期	s			
W_i	各燃料及び各燃料収納缶の質量	kg			
ω_i	各ラック箱の単位長さ当たりの重量	N/mm			
Z_i	各ラック箱の断面係数	mm ³			
λ_i	各ラック箱のモード係数	—			
σ_{ii}	各ラック箱に生じる曲げ応力	MPa			
σ_s	サポート板に生じる圧縮応力	MPa			
σ_g	固定金具溶接部に生じる引張応力	MPa			
τ_{ii}	各ラック箱に生じるせん断応力	MPa			
τ_s	サポート板に生じるせん断応力	MPa			
τ_g	保持金具溶接部に生じるせん断応力	MPa			
τ_4	保持金具と固定金具の溶接部に生じるせん断応力	MPa			
τ_{si}	各ラック箱の止め板溶接部に生じるせん断応力	MPa			

注記 *1：添え字 i は以下のとおり。
 i = A：BWR 燃料用ラック箱
 i = B：PWR 燃料用ラック箱
 i = C：高残留濃縮度 BWR 燃料貯蔵ラック貯蔵燃料用ラック箱
 i = D：高残留濃縮度 PWR 燃料貯蔵ラック貯蔵燃料用ラック箱

別紙 1-44 燃料仮置きラック	別紙 1-40 躯体付構造設備（架構支持）	
<p>3.1.3 固有周期の計算方法</p> <p>水平方向及び鉛直方向の固有周期は、次式により算出する。</p> <p>(1) 水平方向</p> <p>固定端上下2枚のサポート板によって支持された等分布質量はりモデルとし、第3.1.3-1図に計算モデルを示す。</p> <p>水平方向の固有周期は、次式で表される。</p>	<p>3.1.3 固有周期の計算方法</p> <p>固有周期Tは、次式により算出する。</p>	
$T = \frac{2\pi l_1^2}{\lambda_1} \sqrt{\frac{m_1}{E I_1}} \dots\dots\dots (3.1.3-1)$	$T = \frac{2\pi l^2}{\lambda_1^2} \sqrt{\frac{m}{10^8 E I}} \dots\dots\dots (3.1.3-1)$	①
<div style="text-align: center;">  <p>第3.1.3-1図 水平方向の固有周期計算モデル</p> </div>	<p>ここで、$\lambda_1 = 1.875$</p> <div style="text-align: center;">  <p>第3.1.3-1図 乙方向のモデル</p> </div>	

別紙 1-44 燃料仮置きラック	別紙 1-40 躯体付構造設備（架構支持）	
<p>(2) 鉛直方向 下端固定の1質点計振動モデルとし、第3.1.3-2図に計算モデルを示す。 鉛直方向の固有周期は、次式で表される。</p>		
$T = 2\pi \sqrt{\frac{M_{Ti} L_i}{E A_i}} \dots\dots\dots (3.1.3-2)$		①
 <p>第3.1.3-2図 鉛直方向の固有周期計算モデル</p>		

別紙 1-44 燃料仮置きラック	別紙 1-40 躯体付構造設備（架構支持）	
<p>3.1.4 応力の計算方法</p> <p>3.1.4.1 ラック箱の応力</p> <p>(1) 曲げ応力 曲げモーメントは、次式で表される。</p>	<p>3.1.4 応力の計算方法</p> <p>Y方向及びZ方向の地震力によるはりの組合せ応力σ_sは、次式により算出する。</p> <p>(1) Y方向地震力によるはりに生じる軸力及び引張応力 Y方向地震力によるはりに生じる軸力及び引張応力は、次式で表される。</p> $F_y = C_H m g \dots\dots\dots (3.1.4-1)$ $\sigma_t = \frac{F_y}{A} \dots\dots\dots (3.1.4-2)$ <p>(2) Z方向地震力によるはりに生じる曲げモーメント及び曲げ応力 Z方向地震力によるはりに生じる曲げモーメント及び曲げ応力は、次式で表される。</p>	
$M_l = \frac{C_H \omega l}{2 l_{2i}} (l_{1i} + l_{2i} - l_{3i}) \times \left\{ \frac{l}{4 l_{2i}} (l_{1i} + l_{2i} - l_{3i}) - l_{1i} \right\} \dots\dots\dots (3.1.4.1-1)$	$M = \frac{1}{2} (1 + C_v) m g l \dots\dots\dots (3.1.4-3)$	①②
<p>曲げ応力は、次式で表される。</p> $\sigma_{li} = \frac{M_l}{Z_l} \dots\dots\dots (3.1.4.1-2)$	$\sigma_b = \frac{M}{Z} \dots\dots\dots (3.1.4-4)$	
<p>(2) せん断応力 せん断力は、次式で表される。</p>	<p>(3) Z方向地震力によるはりに生じるせん断力及びせん断応力 Z方向地震力によるはりに生じるせん断力及びせん断応力は、次式で表される。</p>	
$F_i = \frac{C_H \omega l}{2 l_{2i}} (l_{2i}^2 + l_{3i}^2 - l_{1i}^2) \dots\dots\dots (3.1.4.1-3)$	$F_z = (1 + C_v) m g \dots\dots\dots (3.1.4-5)$	①②
<p>せん断応力は、次式で表される。</p> $\tau_{li} = \frac{F_i}{A_{1i}} \dots\dots\dots (3.1.4.1-4)$	$\tau = \frac{F_z}{A_z} \dots\dots\dots (3.1.4-6)$	
	<p>(4) 組合せ応力 (1)~(3)によって算出される応力は、以下により組み合わせられる。 ただし、圧縮応力が働く場合は、σ_tをσ_cと読み替える。</p> $\sigma_s = \sqrt{(\sigma_t + \sigma_b)^2 + 3\tau^2} \dots\dots\dots (3.1.4-7)$ <p>また、圧縮力と曲げモーメントを同時に受ける部材の応力は、次式を満足すること。なお、基準地震動Ssによる評価ではf_cをf_c^*、f_bをf_b^*に読み替える。</p> $\frac{\sigma_s}{1.5 f_s} + \frac{\sigma_b}{1.5 f_b} \leq 1 \dots\dots\dots (3.1.4-8)$	②

別紙 1-44 燃料仮置きラック	別紙 1-40 躯体付構造設備（架構支持）	
<p>3.1.4.2 支持部材の応力</p> <p>(1) せん断応力 反力は、次式で表される。 $R_i = \frac{C_{si} \omega l_i}{2l_{2i}} (l_{2i} + l_{3i} - l_{1i}) \dots\dots\dots (3.1.4.2-1)$ 全ラック箱の反力によるサポート板の水平力は次式で表される。 $F = \sum (n_i R_i) \dots\dots\dots (3.1.4.2-2)$ せん断応力は、次式で表される。 $\tau_2 = \frac{F}{A_2} \dots\dots\dots (3.1.4.2-3)$ </p> <p>(2) 圧縮応力 圧縮応力は、次式で表される。 $\sigma_2 = \frac{F}{A_2} \dots\dots\dots (3.1.4.2-4)$ </p> <p>3.1.4.3 固定部の応力</p> <p>(1) 保持金具溶接部のせん断応力 せん断応力は、次式で表される。 $\tau_3 = \frac{F}{A_4} \dots\dots\dots (3.1.4.3-1)$ </p> <p>(2) 保持金具と固定金具の溶接部のせん断応力 せん断応力は、次式で表される。 $\tau_4 = \frac{F}{A_5} \dots\dots\dots (3.1.4.3-2)$ </p> <p>(3) 固定金具溶接部の引張応力 引張応力は、次式で表される。 $\sigma_3 = \frac{F}{A_6} \dots\dots\dots (3.1.4.3-3)$ </p> <p>(4) 止め板溶接部のせん断力 せん断力は、次式で表される。 $F_{vi} = W_i (1 + C_{vi}) g \dots\dots\dots (3.1.4.3-4)$ せん断応力は次式で表される。 $\tau_{vi} = \frac{F_{vi}}{A_{vi}} \dots\dots\dots (3.1.4.3-5)$ </p>		<p>①</p>

別紙 1-44 燃料仮置きラック	別紙 1-40 躯体付構造設備（架構支持）	
<p>3.2 評価</p> <p>3.1.4項で算出した応力が、「IV-1-1-8 機能維持の基本方針(e.支持構造物)」に基づく許容応力以下であること。</p> <p>4. 耐震計算書のフォーマット</p> <p>燃料仮置きラックの構造強度評価に対する耐震計算書のフォーマットは、以下のとおりである。</p>	<p>3.2 評価</p> <p>3.1.4項で算出した応力が、「IV-1-1-8 機能維持の基本方針(e.支持構造物)」の許容応力以下であること。</p> <p>4. 耐震計算書のフォーマット</p> <p>躯体付構造設備（架構支持）の構造強度評価に対する耐震計算書のフォーマットは、以下のとおりである。</p>	

参考資料－ 2 － 3 － 1

FEM 等を用いた応力解析による評価に用いる

計算式の適用性及び出典

(JEAG4601 の計算式を基とした計算式の場合)

別紙2-38 高レベル廃液濃縮缶の耐震性に関する計算書作成の基本方針	原子力発電所耐震設計技術指針 JEAG4601 からの展開
<p data-bbox="212 272 1104 507">FEM等を用いた応力解析による評価に用いる複雑な計算式の出展について、容器と支持部で構成された「別紙2-38 高レベル廃液濃縮缶の耐震性に関する計算書作成の基本方針」を代表として示す。</p> <p data-bbox="248 667 1059 866">IV-1-2-1 別紙2-38 高レベル廃液濃縮缶の耐震性に関する計算書作成の基本方針</p>	

別紙 2-38 高レベル廃液濃縮缶の耐震性に関する計算書作成の基本方針

原子力発電所耐震設計技術指針 JEAG4601 からの展開

・FEM の計算方法を示す別紙 2 は、下記に示す目次の内容で構成されている。このうち、計算式は 3.2.4 計算方法の(3.2.4.2-1)式から(3.2.4.3-18)式及び 4.2.4 計算方法の(4.2.4-1)式から(4.2.4-5)式に応力計算式が示されることから、本項目の記載を抜粋した上で計算式の出典を示す。

目 次

	ページ
1. 概要	1
2. 準拠規格	1
3. 構造強度評価	1
3.1 構造の説明	1
3.2 評価方針	3
3.2.1 計算条件	3
3.2.2 解析モデルの設定方法	3
3.2.3 荷重の組合せ及び許容応力	3
3.2.4 計算方法	4
3.3 評価	6
4. 加熱・冷却コイルの構造強度評価	7
4.1 構造の説明	7
4.2 評価方針	7
4.2.1 計算条件	7
4.2.2 解析モデルの設定方法	7
4.2.3 荷重の組合せ及び許容応力	7
4.2.4 計算方法	7
4.3 評価	8

<p>別紙 2-38 高レベル廃液濃縮缶の耐震性に関する計算書作成の基本方針</p>	<p>原子力発電所耐震設計技術指針 JEAG4601 からの展開</p>
<p>3.2.4 計算方法</p> <p>3.2.4.2 胴板の応力</p> <p>胴板の応力は、「IV-1-2-1 機器の耐震性に関する計算書作成の基本方針 別紙 1-20 中間支持たて置円筒形容器 (4 ラグ支持) の耐震性に関する計算書作成の基本方針」の 3.1.4 項に基づく。ただし、内圧による応力を除く計算に用いる荷重及びモーメントは、FEM により得られた値を用いる。</p> <p>3.2.4.3 ラグの応力</p> <p>ラグの応力は、「IV-1-2-1 機器の耐震性に関する計算書作成の基本方針 別紙 1-20 中間支持たて置円筒形容器 (4 ラグ支持) の耐震性に関する計算書作成の基本方針」の 3.1.4 項に基づく。ただし、計算に用いる荷重及びモーメントは、FEM により得られた値を用いる。</p> <p>3.2.4.4 取付ボルトの応力</p> <p>取付ボルトの応力は、「IV-1-2-1 機器の耐震性に関する計算書作成の基本方針 別紙 1-20 中間支持たて置円筒形容器 (4 ラグ支持) の耐震性に関する計算書作成の基本方針」の 3.1.4 項に基づく。ただし、計算に用いる荷重及びモーメントは、FEM により得られた値を用いる。</p>	

別紙2-38 高レベル廃液濃縮缶の耐震性に関する計算書作成の基本方針	原子力発電所耐震設計技術指針 JEAG4601 からの展開
<p data-bbox="241 288 472 320">引用元の基本方針</p> <p data-bbox="264 384 1032 635">IV-1-2-1 別紙1-20 中間支持たて置円筒形容器（4ラグ支持）の耐震性に関する計算書作成の基本方針</p>	

別紙 2-38 高レベル廃液濃縮缶の耐震性に関する計算書作成の基本方針	原子力発電所耐震設計技術指針 JEAG4601 からの展開
目 次	
	ページ
1. 概要.....	1
2. 準拠規格.....	1
3. 構造強度評価.....	1
3.1 計算方法.....	1
3.1.1 計算条件.....	1
3.1.2 記号の説明.....	3
3.1.3 固有周期の計算方法.....	10
3.1.4 応力の計算方法.....	21
3.2 評価.....	39
4. 引用文献.....	41
5. 耐震計算書のフォーマット.....	41

別紙2-38 高レベル廃液濃縮缶の耐震性に関する計算書作成の基本方針	原子力発電所耐震設計技術指針 JEAG4601からの展開
<p>3.1.4.1 胴板の応力</p> <p>(2) 運転時質量及び鉛直方向地震力による応力 運転時質量及び鉛直方向地震力による応力は、次式で表される。</p> $\sigma_{xz} = \frac{m_0 g}{\pi t (D_i + t)} \quad \dots\dots\dots (3.1.4.1-7)$ $\sigma_{x1z} = \frac{C_V m_0 g}{\pi t (D_i + t)} \quad \dots\dots\dots (3.1.4.1-8)$ <p>a. 鉛直下向き地震力による胴のラグつけ根部の応力 (3)と同様にして、</p> $R_D = \frac{C_V m_0 g}{4} \quad \dots\dots\dots (3.1.4.1-27)$ $M_{1D} = \frac{R_D (a-b-c)}{1 + \frac{n A_{be} E_b K_1 c^2}{r_m^3 \beta^2 E L_b}} \quad \dots\dots\dots (3.1.4.1-28)$ $F_{01D} = \frac{R_D (a-b-c) - M_{1D}}{c} \quad \dots\dots\dots (3.1.4.1-29)$ <p>以上の式を連立させて解くことにより、R_U、M_{1U}及びF_{01U}は、次式で表される。</p> $R_U = \frac{(C_V - 1) m_0 g}{4} \quad \dots\dots\dots (3.1.4.1-42)$ $M_{1U} = \frac{R_U a}{1 + \frac{n A_{be} E_b K_1 b^2}{r_m^3 \beta_1^2 E L_b}} \quad \dots\dots\dots (3.1.4.1-43)$ $F_{01U} = \frac{-R_U a + M_{1U}}{b} \quad \dots\dots\dots (3.1.4.1-44)$ <p style="text-align: right;">□ : FEM 結果に置き換え</p>	<p>鉛直方向地震による胴のラグつけ根部の応力は、下記に示す式のうち $C_V m_0 g$にて算出している鉛直方向地震荷重を、FEM 結果により得られた値に置き換えて算出する。</p> $\sigma_{x1z} = \frac{C_V m_0 g}{\pi t (D_i + t)}$ $R_D = C_V \frac{m_0 g}{4}$ $M_{1D} = \frac{R_D (a-b-c)}{1 + \frac{n A_{be} E_b K_1 c^2}{r_m^3 \beta^2 E L_b}}$ $F_{01D} = \frac{R_D (a-b-c) - M_{1D}}{c}$ $R_U = \frac{(C_V - 1) m_0 g}{4}$ $M_{1U} = \frac{R_U a}{1 + \frac{n A_{be} E_b K_1 b^2}{r_m^3 \beta_1^2 E L_b}}$ $F_{01U} = \frac{-R_U a + M_{1U}}{b}$

別紙 2-38 高レベル廃液濃縮缶の耐震性に関する計算書作成の基本方針	原子力発電所耐震設計技術指針 JEAG4601 からの展開
<p>(5) 水平方向地震による胴の曲げ応力 水平方向地震による胴の曲げ応力は、次式で表される。 $\sigma_{x4} = \frac{C_H m_1 g H_1 (D_i + 2t)}{2I} \dots\dots\dots (3.1.4.1-51)$ ただし、$m_1 g H_1 < m_2 g H_2$ の場合は、$m_1 g H_1$ を $m_2 g H_2$ に置き換える。</p> <p style="text-align: center;">□ : FEM 結果に置き換え</p>	<p>水平方向地震による胴の曲げ応力、水平方向地震力 (Z 方向) による胴のラグつけ根部の応力及び水平方向地震力 (X 方向) による胴のラグつけ根部の応力は、下記に示す式のうち $C_H m_1 g$ にて算出している水平方向地震荷重を、FEM 結果により得られた値に置き換えて算出する。</p> $\sigma_{x4} = \frac{C_H m_1 g H_1 (D_i + 2t)}{2I}$ <p>また、鉛直方向曲げモーメント M_1、M_2、周方向曲げモーメント M_c、周方向せん断力 Q、鉛直方向せん断力 R_1 及びねじりモーメント M_3 を、FEM 結果により得られた値に置き換えて各応力を算出する。</p>

<p>別紙 2-38 高レベル廃液濃縮缶の耐震性に関する計算書作成の基本方針</p>	<p>原子力発電所耐震設計技術指針 JEAG4601 からの展開</p>
<p>3.1.4.2 ラグの応力</p> <p>ラグの最大組合せ応力 σ_s は、次式により算出する。</p> <p>(2) 水平方向地震力(Z方向)による応力</p> <p>水平方向地震力(Z方向)による応力は、次式で表される。</p> <p>第1ラグについて、</p> $\sigma_{s2} = \frac{M_1}{Z_{st}} \dots\dots\dots (3.1.4.2-3)$ $\tau_{s2} = \frac{R_1}{A_{s1}} \dots\dots\dots (3.1.4.2-4)$ <p>第2及び第4ラグについて、</p> $\sigma_{s3} = \frac{M_c}{Z_{s1}} \dots\dots\dots (3.1.4.2-5)$ $\tau_{s3} = \frac{M_3}{Z_{sp}} + \frac{Q}{A_{s2}} \dots\dots\dots (3.1.4.2-6)$ <p>第3ラグについて、</p> $\sigma_{s4} = \frac{M_2}{Z_{st}} \dots\dots\dots (3.1.4.2-7)$ $\tau_{s4} = \frac{R_1}{A_{s1}} \dots\dots\dots (3.1.4.2-8)$ <p style="text-align: center;">□ : FEM 結果に置き換え</p>	<p>ラグの応力のうち、地震力による応力を算出するための各荷重 M_1, R_1, M_c, M_3, Q, M_2, M_{1V} 及び R_V を、FEM 結果により得られた値に置き換えて各応力を算出する。</p>

別紙2-38 高レベル廃液濃縮缶の耐震性に関する計算書作成の基本方針	原子力発電所耐震設計技術指針 JEAG4601からの展開
<p>(3) 水平方向地震力(X方向)による応力 水平方向地震力(X方向)による応力は、次式で表される。 第1及び第4ラグについて、</p> $\sigma_{s5} = \frac{ M_1 }{\sqrt{2} Z_{s,t}} + \frac{ M_c }{\sqrt{2} Z_{s,1}} \dots\dots\dots (3.1.4.2-9)$ $\tau_{s5} = \frac{ R_1 }{\sqrt{2} A_{s,1}} + \frac{ M_3 }{\sqrt{2} Z_{s,p}} + \frac{ Q }{\sqrt{2} A_{s,2}} \dots\dots\dots (3.1.4.2-10)$ <p>第2及び第3ラグについて、</p> $\sigma_{s6} = \frac{ M_2 }{\sqrt{2} Z_{s,t}} + \frac{ M_c }{\sqrt{2} Z_{s,1}} \dots\dots\dots (3.1.4.2-11)$ $\tau_{s6} = \frac{ R_1 }{\sqrt{2} A_{s,1}} + \frac{ M_3 }{\sqrt{2} Z_{s,p}} + \frac{ Q }{\sqrt{2} A_{s,2}} \dots\dots\dots (3.1.4.2-12)$ <p>(4) 鉛直方向地震による応力 鉛直方向地震による応力は、次式で表される。</p> $\sigma_{s7} = \frac{ M_{1v} }{Z_{s,t}} \dots\dots\dots (3.1.4.2-13)$ $\tau_{s7} = \frac{ R_v }{A_{s,1}} \dots\dots\dots (3.1.4.2-14)$ <p style="text-align: center;"> : FEM結果に置き換え </p>	<p>ラグの応力のうち、地震力による応力を算出するための各荷重 M_1, R_1, M_c, M_3, Q, M_2, M_{1v} 及び R_v を, FEM 結果により得られた値に置き換えて各応力を算出する。</p>

別紙2-38 高レベル廃液濃縮缶の耐震性に関する計算書作成の基本方針	原子力発電所耐震設計技術指針 JEAG4601からの展開
<p>(1) 水平方向地震力(乙方向)及び鉛直方向地震力が作用した場合</p> <p>【絶対値和】</p> <p>第1ラグについて,</p> $\sigma_{b1} = \frac{ F_{11} + F_{01} + F_{01v}}{n A_b} \dots\dots\dots (3.1.4.3-3)$ <p>第2及び第4ラグについて,</p> $\sigma_{bz} = \frac{\max(F_{31} , F_{3z})}{A_b} + \frac{F_{01} + F_{01v}}{n A_b} \dots\dots\dots (3.1.4.3-4)$ <p>第3ラグについて,</p> $\sigma_{b3} = \frac{ F_{21} + F_{01} + F_{01v}}{n A_b} \dots\dots\dots (3.1.4.3-6)$ <p>ここで、F_{01v}は3.1.4.1(4) a.及びb.で得られたF_{01D}及びF_{01U}を用いて、次式で表される。</p> $F_{01v} = \max[F_{01D}, F_{01U}] \dots\dots\dots (3.1.4.3-7)$ <p>【SRSS法】</p> <p>第1ラグについて,</p> $\sigma_{b1} = \frac{F_{01} + \sqrt{ F_{11} ^2 + F_{01v}^2}}{n A_b} \dots\dots\dots (3.1.4.3-8)$ <p>第2及び第4ラグについて,</p> $\sigma_{bz} = \sqrt{\left(\frac{\max(F_{31} , F_{3z})}{A_b} \right)^2 + \left(\frac{F_{01v}}{n A_b} \right)^2} + \frac{F_{01}}{n A_b} \dots\dots\dots (3.1.4.3-9)$ <p>第3ラグについて,</p> $\sigma_{b3} = \frac{F_{01} + \sqrt{ F_{21} ^2 + F_{01v}^2}}{n A_b} \dots\dots\dots (3.1.4.3-11)$ <p style="text-align: center;">□ : FEM 結果に置き換え</p>	<p>取付ボルトの応力のうち、地震力による応力を算出するための各荷重 F_{11}, F_{01v}, F_{31}, F_{3z}, Q 及び F_{21} を、FEM 結果により得られた値に置き換えて応力を算出する。</p>

<p>別紙2-38 高レベル廃液濃縮缶の耐震性に関する計算書作成の基本方針</p>	<p>原子力発電所耐震設計技術指針 JEAG4601からの展開</p>
<p>(2) 水平方向地震力(X方向)及び鉛直方向地震力が作用した場合</p> <p>【絶対値和】</p> <p>第1及び第4ラグについて,</p> $\sigma_{b4} = \frac{ F_{11} }{\sqrt{2} n A_b} + \frac{\max[F_{31} , F_{32}]}{\sqrt{2} A_b} + \frac{F_{01} + F_{01v}}{n A_b} \dots\dots\dots (3.1.4.3-12)$ <p>第2及び第3ラグについて,</p> $\sigma_{b5} = \frac{ F_{21} }{\sqrt{2} n A_b} + \frac{\max[F_{31} , F_{32}]}{\sqrt{2} A_b} + \frac{F_{01} + F_{01v}}{n A_b} \dots\dots\dots (3.1.4.3-14)$ <p>【SRSS法】</p> <p>第1及び第4ラグについて,</p> $\sigma_{b4} = \sqrt{\left(\frac{ F_{11} }{\sqrt{2} n A_b} + \frac{\max[F_{31} , F_{32}]}{\sqrt{2} A_b} \right)^2 + \left(\frac{F_{01v}}{n A_b} \right)^2} + \frac{F_{01}}{n A_b} \dots\dots\dots (3.1.4.3-16)$ <p>第2及び第3ラグについて,</p> $\sigma_{b5} = \sqrt{\left(\frac{ F_{21} }{\sqrt{2} n A_b} + \frac{\max[F_{31} , F_{32}]}{\sqrt{2} A_b} \right)^2 + \left(\frac{F_{01v}}{n A_b} \right)^2} + \frac{F_{01}}{n A_b} \dots\dots\dots (3.1.4.3-18)$ <p style="text-align: center;">□ : FEM 結果に置き換え</p>	<p>取付ボルトの応力のうち、地震力による応力を算出するための各荷重 F_{11}, F_{01v}, F_{31}, F_{32}, Q 及び F_{21} を, FEM 結果により得られた値に置き換えて応力を算出する。</p>

<p>別紙2-38 高レベル廃液濃縮缶の耐震性に関する計算書作成の基本方針</p>	<p>原子力発電所耐震設計技術指針 JEAG4601 からの展開</p>
<p>4.2.4 計算方法</p> <p>4.2.4.2 加熱・冷却コイルの応力</p> <p>(1) 一次応力</p> <p>一次応力は、次式で表される。</p> <div style="border: 1px solid blue; padding: 5px; width: fit-content; margin: 10px auto;"> $S = \frac{P D_o}{400 t} + \frac{0.75 i_1 (M_a + M_b)}{Z_p} \dots \dots \dots (4.2.4-1)$ </div>	<div style="border: 1px solid blue; padding: 10px; margin-bottom: 10px;"> $S = \frac{P D_o}{400 t} + \frac{0.75 i_1 (M_a + M_b)}{Z_p}$ </div> <p>Z 及び Z_p の記号は異なるものの、式自体は JEAG と同じである。</p> <div style="border: 1px solid black; padding: 10px; margin-top: 10px;"> <p>原子力発電所耐震設計技術指針 JEAG4601 抜粋</p> <ul style="list-style-type: none"> • 1 次応力 <div style="border: 1px solid blue; padding: 5px; margin: 10px auto; width: fit-content;"> $S = \frac{P D_o}{400 t} + \frac{0.75 i_1 (M_a + M_b)}{Z} \dots \dots \dots (6.6.2-50)$ </div> <p>S : 1 次応力 (kgf/mm²)</p> <p>P : 地震と組合せるべき運転状態における圧力 (kgf/cm²)</p> <p>D_o : 管の外径 (mm)</p> <p>t : 管の厚さ (mm)</p> <p>i₁ : 応力係数で「告示501号」第57条に規定する値又は1.33のいずれか大きい方の値</p> <p>M_a : 管の機械的荷重 (自重その他の長期的荷重に限る。) により生じるモーメント (kgf・mm)</p> <p>Z : 管の断面係数 (mm³)</p> <p>M_b : 管の機械的荷重 (地震を含めた短期的荷重) により生じるモーメント (kgf・mm)</p> </div>

<p>別紙2-38 高レベル廃液濃縮缶の耐震性に関する計算書作成の基本方針</p>	<p>原子力発電所耐震設計技術指針 JEAG4601 からの展開</p>
<p>(2) 一次+二次応力 一次+二次応力は、次式で表される。</p> <div style="border: 1px solid blue; padding: 5px; display: inline-block;"> $S_n = \frac{0.75i_1M_b^* + i_2M_c}{Z_p} \dots\dots\dots (4.2.4-2)$ </div>	<div style="border: 1px solid blue; padding: 10px;"> $S_n = \frac{0.75i_1M_b^* + i_2M_c}{Z_p}$ <p>JEAGと同じである。</p> </div> <div style="border: 1px solid black; padding: 10px; margin-top: 10px;"> <p>原子力発電所耐震設計技術指針 JEAG4601 抜粋</p> <ul style="list-style-type: none"> 1次応力+2次応力の変動値 <div style="border: 1px solid blue; padding: 5px; display: inline-block;"> $S_n = \frac{0.75i_1M_b^* + i_2M_c}{Z} \dots\dots\dots (6.6.2-51)$ </div> <p>S_n : 1次応力と2次応力を加えて求めた応力 (kgf/mm²)</p> <p>i_2 : 応力係数で「告示501号」第57条に規定する値又は1.0のいずれか大きい方の値</p> <p>M_b^* : 地震動 S₁ 又は S₂ の慣性力により生じるモーメントの全振幅 (kgf・mm)</p> <p>M_c : 地震動 S₁ 又は S₂ の相対変位により生じるモーメントの全振幅 (kgf・mm)</p> <p>P, D_0, t, i_1, Z : それぞれ前記1次応力の説明に定めるところによる。</p> <p>多質点系はりモデルと応力評価の例を図6.6.2-26と表6.6.2-7に示す。</p> </div>

別紙 2-38 高レベル廃液濃縮缶の耐震性に関する計算書作成の基本方針	原子力発電所耐震設計技術指針 JEAG4601 からの展開
<p>4.2.4.3 支持構造物の応力</p> <p>(1) せん断応力</p> <p>せん断応力は、次式で表される。</p> <div style="border: 1px solid black; padding: 5px; display: inline-block;"> $\tau_f = \frac{Q}{A_s}$ </div> <p>..... (4.2.4-3)</p>	<p>$\tau_f = \frac{Q}{A_s}$</p> <p>←</p> <p>JEAG の $C_H W_0$ が Q、A_{S3} が A_s に相当するものであり、計算式に使用している記号は異なるが、計算内容は同じである。</p> <div style="border: 1px solid black; padding: 5px; margin-top: 10px;"> <p>原子力発電所耐震設計技術指針 JEAG4601 抜粋</p> <p>せん断応力は</p> <div style="border: 1px solid black; padding: 5px; display: inline-block;"> $\tau_{s2} = \frac{C_H W_0}{A_{S3}}$ </div> <p>..... (6.6.3-355)</p> </div>

別紙 2-38 高レベル廃液濃縮缶の耐震性に関する計算書作成の基本方針	原子力発電所耐震設計技術指針 JEAG4601 からの展開
<p>(2) 引張応力 引張応力は、次式で表される。</p> <div style="border: 1px solid black; padding: 5px; display: inline-block;"> $\sigma_{ft} = \frac{F_x}{A} + \frac{M}{Z}$ </div> <p>..... (4.2.4-4)</p>	<p style="text-align: center;">原子力発電所耐震設計技術指針 JEAG4601 からの展開</p> $\sigma_{ft} = \frac{F_x}{A} + \frac{M}{Z}$ <p>←</p> <p>JEAG の M_{l1} が M, Z_{sy} が Z, P_l が F_x, A_s が A に相当するものである。</p> <p>JEAG は曲げ、圧縮応力であり応力の種類が異なるが、圧縮応力と引張応力はいずれも軸方向応力であることから、圧縮応力と引張応力と荷重の作用方向に違いはあるが計算方法としては同じである。</p> <div style="border: 1px solid black; padding: 10px; margin-top: 20px;"> <p style="text-align: center;">原子力発電所耐震設計技術指針 JEAG4601 抜粋</p> <p>(ii) 脚の応力 脚の受ける重量の大きい方について計算する。</p> <p>① 運転時重量による圧縮応力</p> $\sigma_{s1} = \frac{R_1 + W_s}{A_s} \dots\dots\dots (6.6.3-352)$ <p>② 長手方向地震による応力 曲げ、圧縮応力は</p> <div style="border: 1px solid black; padding: 5px; display: inline-block;"> $\sigma_{s2} = \frac{M_{l1}}{Z_{sy}} + \frac{P_l}{A_s} \dots\dots\dots (6.6.3-353)$ </div> </div>

別紙 2-38 高レベル廃液濃縮缶の耐震性に関する計算書作成の基本方針	原子力発電所耐震設計技術指針 JEAG4601 からの展開
<p>(3) 組合せ応力 組合せ応力は、次式で表される。</p> $\sigma_{fa} = \sqrt{\sigma_{ft}^2 + 3\tau_f^2} \dots\dots\dots (4.2.4-5)$	<p style="text-align: center;">$\sigma_{fa} = \sqrt{\sigma_{ft}^2 + 3\tau_f^2}$ ←</p> <p>JEAG の計算式において使用している各応力は、運転時重量による圧縮応力 σ_{s1}、長手方向地震による曲げ、圧縮応力 σ_{s2} 及びせん断応力 τ_{s2} である。</p> <p>圧縮応力、曲げ、圧縮応力を合計した ($\sigma_{s1} + \sigma_{s2}$) は軸方向応力の合計で σ_{ft} と同じであり、τ_{s2} はせん断応力で τ_f と同じであることから、圧縮応力と引張応力と荷重の作用方向に違いはあるが計算方法としては同じである。</p> <div style="border: 1px solid black; padding: 5px; margin-top: 10px;"> <p style="text-align: center;">原子力発電所耐震設計技術指針 JEAG4601 抜粋</p> <p>④ 組合せ応力</p> <p>長手方向地震が作用する場合</p> $\sigma_{sl} = \sqrt{(\sigma_{s1} + \sigma_{s2})^2 + 3\tau_{s2}^2} \dots\dots\dots (6.6.3-358)$ </div>

参考資料－ 2 － 3 － 2

FEM 等を用いた応力解析による評価に用いる

計算式の適用性及び出典

(材料力学等の計算式の場合)

別紙2－1 冷却塔の耐震性に関する計算書作成の基本方針	機械工学便覧及び鋼構造設計基準等
<div style="border: 1px solid black; padding: 5px; margin-bottom: 20px;"> <p>FEM等を用いた応力解析による評価に用いる単純な計算式の出展について、本体が型钢などの支持構造物で構成された「別紙2-<u>1</u> <u>冷却塔</u>の耐震計算書作成の基本方針」を代表として示す。</p> </div> <p>IV－1－2－1 別紙2－1 冷却塔の耐震性に関する計算書作成の 基本方針</p>	

別紙 2-1 冷却塔の耐震性に関する計算書作成の基本方針	機械工学便覧及び鋼構造設計基準等																																						
<ul style="list-style-type: none"> ・本設備に適用する各計算式については、機械工学便覧及び鋼構造設計基準等に示されている計算式を基に設定しており、各計算式に対する根拠について説明を行う。 ・FEM の計算方法を示す別紙 2 は、下記に示す目次の内容で構成されている。このうち、計算式は 3.2.4 計算方法の(3.2.4.2-1)式から(3.2.4.2-6)式に応力計算式が示されることから、本項目の記載を抜粋した上で計算式の出典を示す。 																																							
<p style="text-align: center;">目 次</p> <table style="width: 100%; border-collapse: collapse;"> <thead> <tr> <th style="width: 80%;"></th> <th style="width: 20%; text-align: right;">ページ</th> </tr> </thead> <tbody> <tr> <td>1. 概要</td> <td style="text-align: right;">1</td> </tr> <tr> <td>2. 準拠規格</td> <td style="text-align: right;">1</td> </tr> <tr> <td>3. 構造強度評価</td> <td style="text-align: right;">2</td> </tr> <tr> <td> 3.1 構造の説明</td> <td style="text-align: right;">2</td> </tr> <tr> <td> 3.2 評価方針</td> <td style="text-align: right;">2</td> </tr> <tr> <td> 3.2.1 計算条件</td> <td style="text-align: right;">2</td> </tr> <tr> <td> 3.2.2 解析モデルの設定方法</td> <td style="text-align: right;">2</td> </tr> <tr> <td> 3.2.3 荷重の組合せ及び許容応力</td> <td style="text-align: right;">3</td> </tr> <tr style="border: 2px solid blue;"> <td> 3.2.4 計算方法</td> <td style="text-align: right;">4</td> </tr> <tr> <td> 3.3 評価</td> <td style="text-align: right;">10</td> </tr> <tr> <td>4. 動的機能維持評価</td> <td style="text-align: right;">11</td> </tr> <tr> <td> 4.1 構造の説明</td> <td style="text-align: right;">11</td> </tr> <tr> <td> 4.2 評価方針</td> <td style="text-align: right;">11</td> </tr> <tr> <td> 4.2.1 計算条件</td> <td style="text-align: right;">11</td> </tr> <tr> <td> 4.2.2 解析モデルの設定方法</td> <td style="text-align: right;">11</td> </tr> <tr> <td> 4.2.3 荷重の組合せ及び許容値</td> <td style="text-align: right;">11</td> </tr> <tr> <td> 4.2.4 計算方法</td> <td style="text-align: right;">13</td> </tr> <tr> <td> 4.3 評価</td> <td style="text-align: right;">15</td> </tr> </tbody> </table>		ページ	1. 概要	1	2. 準拠規格	1	3. 構造強度評価	2	3.1 構造の説明	2	3.2 評価方針	2	3.2.1 計算条件	2	3.2.2 解析モデルの設定方法	2	3.2.3 荷重の組合せ及び許容応力	3	3.2.4 計算方法	4	3.3 評価	10	4. 動的機能維持評価	11	4.1 構造の説明	11	4.2 評価方針	11	4.2.1 計算条件	11	4.2.2 解析モデルの設定方法	11	4.2.3 荷重の組合せ及び許容値	11	4.2.4 計算方法	13	4.3 評価	15	
	ページ																																						
1. 概要	1																																						
2. 準拠規格	1																																						
3. 構造強度評価	2																																						
3.1 構造の説明	2																																						
3.2 評価方針	2																																						
3.2.1 計算条件	2																																						
3.2.2 解析モデルの設定方法	2																																						
3.2.3 荷重の組合せ及び許容応力	3																																						
3.2.4 計算方法	4																																						
3.3 評価	10																																						
4. 動的機能維持評価	11																																						
4.1 構造の説明	11																																						
4.2 評価方針	11																																						
4.2.1 計算条件	11																																						
4.2.2 解析モデルの設定方法	11																																						
4.2.3 荷重の組合せ及び許容値	11																																						
4.2.4 計算方法	13																																						
4.3 評価	15																																						

別紙2-1 冷却塔の耐震性に関する計算書作成の基本方針	機械工学便覧及び鋼構造設計基準等
<p>3.2.4.4 支持架構の応力 支持架構の引張応力σ_t、圧縮応力σ_c、せん断応力τ及び曲げ応力σ_bは、次式により算出する。</p> <p>(1) 引張応力 引張応力は、次式で表される。 $\sigma_t = \frac{F_b}{A} \quad (\text{ただし、} F_b \geq 0) \quad \dots\dots\dots (3.2.4.4-1)$</p> <p>(2) 圧縮応力 圧縮応力は、次式で表される。 $\sigma_c = -\frac{F_b}{A} \quad (\text{ただし、} F_b < 0) \quad \dots\dots\dots (3.2.4.4-2)$</p> <p>(3) せん断応力 せん断応力は、次式で表される。 $\tau = \frac{Q_b}{A_s} \quad \dots\dots\dots (3.2.4.4-3)$</p> <p>(4) 曲げ応力 曲げ応力は、次式で表される。 $\sigma_b = \frac{M}{Z} \quad \dots\dots\dots (3.2.4.4-4)$</p> <p>(5) 組合せ応力 1) 圧縮力と曲げモーメント 圧縮力と曲げモーメントを同時に受ける部材の応力は、次式を満足すること。 なお、基準地震動Ssによる評価ではf_cをf_c^*、f_bをf_b^*に読み替える。 $\frac{\sigma_c}{1.5f_c} + \frac{\sigma_b}{1.5f_b} \leq 1 \quad \dots\dots\dots (3.2.4.4-5)$</p>	<p>左記の計算式は、機械工学便覧に示されている材料力学の引張・圧縮荷重が部材に作用する場合の計算式を適用している。</p> <p>σ_t：水平及び鉛直方向地震による引張応力 $\sigma_t = \frac{F_t}{A}$</p> <p>ここで、F_t：部材に作用する引張力 A：部材の断面積</p> <p>σ_c：水平及び鉛直方向地震による圧縮応力 $\sigma_c = \frac{F_c}{A}$</p> <p>ここで、F_c：部材に作用する圧縮力 A：部材の断面積</p> <div style="border: 1px solid black; padding: 5px; margin-top: 10px;"> <p>機械工学便覧 抜粋</p> <p>第2章 引張り・圧縮とねじり</p> <p>2・1 棒の引張り・圧縮</p> <p>2・1・1 断面に生じる応力 十分に長い棒の端面に引張り・圧縮荷重が作用するとき、端面から離れた位置ではサンブナンの原理により一様な応力が発生する。棒の断面積をA、端面に作用する引張荷重をFとすれば応力σは次のようになる。 $\sigma = \frac{F}{A} \quad \dots\dots\dots (2-1)$</p> </div>

別紙 2-1 冷却塔の耐震性に関する計算書作成の基本方針

機械工学便覧及び鋼構造設計基準等

(3) せん断応力
せん断応力は、次式で表される。

$$\tau = \frac{Q_b}{A_s} \dots\dots\dots (3.2.4.4-3)$$

左記の計算式は、機械工学便覧に示されている材料力学のせん断荷重による応力の計算式を適用している。

τ : 水平及び鉛直方向地震によるせん断応力

$$\tau = \frac{Q}{A_s}$$

ここで、 Q : 部材に作用するせん断荷重

A_s : 部材のせん断断面積

計算方法の引用元となる機械工学便覧の式は下記式である。

$$\tau = \frac{3 F}{2 A}$$

ここで、 Q は F と同じであり、 A_s は上式における $\frac{2}{3} A$ に当たることから、記号は異なるが算出式は同じである。

機械工学便覧 抜粋

表 3-4 はり断面におけるせん断応力分布 (はりがねじれないように荷重がせん断中心に加わったとき)

断面型せん断応力分布図	$\tau_{xy} = \frac{F}{2I} \int_{y_1}^{e_1} zy \, dy$	$\tau_{y \max}$
	$\frac{3}{2} \frac{F}{bh} \left\{ 1 - \left(\frac{2y_1}{h} \right)^2 \right\}$	$y_1=0: \frac{3}{2} \frac{F}{bh} = \frac{3}{2} \frac{F}{A}$
	$0 \leq y_1 \leq \frac{a}{\sqrt{2}}$ $\frac{F}{a^2} \left\{ 1 + \sqrt{2} \frac{y_1}{a} - 4 \left(\frac{y_1}{a} \right)^2 \right\}$	$y_1 = \frac{1}{4} e: \frac{9}{8} \frac{F}{A}$
	$\frac{4}{3} \frac{F}{\pi r^2} \left\{ 1 - \left(\frac{y_1}{r} \right)^2 \right\}$	$y_1=0: \frac{4}{3} \frac{F}{\pi r^2} = \frac{4}{3} \frac{F}{A}$

別紙 2-1 冷却塔の耐震性に関する計算書作成の基本方針	機械工学便覧及び鋼構造設計基準等
<p>(4) 曲げ応力 曲げ応力は、次式で表される。</p> <div style="border: 1px solid blue; padding: 5px; display: inline-block; margin-bottom: 10px;"> $\sigma_b = \frac{M}{Z}$ </div> <p>..... (3.2.4.4-4)</p>	<p>左記の計算式は、機械工学便覧に示されている材料力学の曲げモーメントによる応力の計算式を適用している。</p> <p>σ_b : 水平及び鉛直方向地震による曲げ応力</p> <p>> $\sigma_b = \frac{M}{Z}$ ←</p> <p>ここで、 M : 部材に作用するモーメント Z : 部材の断面積</p> <div style="border: 1px solid black; padding: 10px; margin-top: 20px;"> <p style="text-align: center; border: 1px solid black; padding: 2px;">機械工学便覧 抜粋</p> <p>3・3 はりの曲げモーメントによる応力</p> <p>はりが曲げモーメントだけを受ける場合、このはりを単純はり (simple beam) という。単純はりの横断面は、曲げを受けた後も平面を保つが、この面には垂直に図 3・13 に示す直線的な分布の曲げ応力が生じる。曲がったはりの凸表面には引張ひずみが生じ、凹表面には圧縮ひずみが生じるから、その中間に伸縮のない面があり、これを中立面という。中立面が横断面と交わる直線を断面の中立軸という。はりが塑性変形を起こさない限り、断面の中立軸は断面の図心を通り、また、荷重の作用線と断面の主軸の一つが一致する場合は荷重の作用線と直交する (3・6 節参照)。</p> <p>単純はりでは、横断面内の任意の点の垂直応力は、M をその断面に働く曲げモーメント、y を断面の中立軸 NN から考える点までの距離、I を断面の中立軸に関する断面二次モーメントとすれば、</p> $\sigma = My/I \tag{3-14}$ <p>で与えられる。この応力は、y が最大になる点で最大となる。引張り及び圧縮の最大応力を σ_1, σ_2 とし、e_1, e_2 を y の引張側および圧縮側の最大値とすれば、</p> <div style="border: 1px solid blue; padding: 5px; display: inline-block; margin-bottom: 5px;"> $\sigma_1 = Me_1/I = M/Z_1$ </div> $\sigma_2 = -Me_2/I = -M/Z_2 \tag{3-15}$ </div>

別紙2-1 冷却塔の耐震性に関する計算書作成の基本方針	機械工学便覧及び鋼構造設計基準等
<p>(5) 組合せ応力</p> <p>1) 圧縮力と曲げモーメント</p> <p>圧縮力と曲げモーメントを同時に受ける部材の応力は、次式を満足すること。</p> <p>なお、基準地震動 S_s による評価では f_c を f_c^*、f_b を f_b^* に読み替える。</p> <div style="border: 1px solid blue; padding: 5px; display: inline-block;"> $\frac{\sigma_c}{1.5 f_c} + \frac{\sigma_b}{1.5 f_b} \leq 1 \dots\dots\dots (3.2.4.4-5)$ </div>	<p>左記の計算式は、鋼構造設計基準に示されている圧縮と曲げの組合せ応力の計算式を適用している。</p> <p>圧縮と曲げの組合せ</p> $\frac{\sigma_c}{1.5 f_c} + \frac{\sigma_b}{1.5 f_b} \leq 1.0$ <p>ここで、</p> <p>σ_c : 水平及び鉛直方向地震による圧縮応力</p> <p>σ_b : 水平及び鉛直方向地震による曲げ応力</p> <div style="border: 1px solid black; padding: 10px; margin-top: 10px;"> <p style="text-align: center;">鋼構造設計規準—許容応力度設計法— 抜粋</p> <p style="text-align: center;">6章 組合せ応力</p> <p>6.1 圧縮力と曲げモーメント</p> <p>圧縮力と曲げモーメントを受ける部材の断面は、(6.1)式、(6.2)式を満足するように定める。ただし、σ_c、$e\sigma_b$、$i\sigma_b$の値は絶対値をとる。</p> <div style="border: 1px solid blue; padding: 5px; display: inline-block;"> $\frac{\sigma_c + e\sigma_b}{f_c} \leq 1 \quad (6.1)$ </div> <p>かつ、</p> $\frac{i\sigma_b - \sigma_c}{f_t} \leq 1 \quad (6.2)$ <p>記号</p> <p>f_c : 5.1(3)に規定する許容圧縮応力度で、該当するものをとる</p> <p>f_b : 5.1(4)に規定する許容曲げ応力度で、該当するものをとる</p> <p>f_t : 5.1(1)に規定する許容引張応力度</p> <p>σ_c : 平均圧縮応力度 ($\sigma_c = N/A$)</p> <p>$e\sigma_b$: 圧縮側曲げ応力度 ($e\sigma_b = M/Z_c$)</p> <p>$i\sigma_b$: 引張側曲げ応力度 ($i\sigma_b = M/Z_t$)</p> <p>N : 圧縮力</p> <p>M : 曲げモーメント</p> <p>A : 全断面積</p> <p>Z_c : 圧縮側断面係数</p> <p>Z_t : 引張側断面係数</p> </div>

別紙2-1 冷却塔の耐震性に関する計算書作成の基本方針	機械工学便覧及び鋼構造設計基準等
<p>2) 引張力と曲げモーメント 引張力と曲げモーメントを同時に受ける部材の応力は、次式を満足すること。 なお、基準地震動 S_s による評価では f_t を f_t^* に読み替える。</p> <div style="border: 1px solid blue; padding: 5px; display: inline-block; margin: 10px;"> $\frac{\sigma_t + \sigma_b}{1.5 f_t} \leq 1 \dots \dots \dots (3.2.4.4-6)$ </div>	<p>左記の計算式は、鋼構造設計基準に示されている引張と曲げの組合せ応力の計算式を適用している。 引張と曲げの組合せ</p> $\frac{\sigma_t + \sigma_b}{1.5 f_t} \leq 1.0$ <p>ここで、 σ_t : 水平及び鉛直方向地震による引張応力 σ_b : 水平及び鉛直方向地震による曲げ応力</p> <div style="border: 1px solid black; padding: 10px; margin: 10px;"> <p style="text-align: center;">鋼構造設計規準—許容応力度設計法— 抜粋</p> <p>6.2 引張力と曲げモーメント 引張力と曲げモーメントを受ける部材の断面は、(6.3) 式、(6.4) 式を満足するように定める。 ただし、σ_t、$e\sigma_b$、$e\sigma_b$ の値は絶対値をとる。記号は6.1節参照。</p> <div style="border: 1px solid blue; padding: 5px; display: inline-block; margin: 10px;"> $\frac{\sigma_t + e\sigma_b}{f_t} \leq 1 \dots \dots \dots (6.3)$ </div> <p>かつ、</p> $\frac{e\sigma_b - \sigma_t}{f_b} \leq 1 \dots \dots \dots (6.4)$ <p>記号 σ_t : 平均引張応力度 ($\sigma_t = T/A_N$) T : 引張力 A_N : 13.1 節の規定による有効断面積</p> </div>

・耐震機電07 R9 (耐震設計の基本方針に関する機器・配管系の類型化に対する分類の考え方について)に示していた類型化を活用した耐震計算書及び補足説明資料の対応方法については、共通側ヒアリングにおける申請資料の添付方法の確定及び影響評価等の添付資料格上げに伴い廃止とし、本補足説明資料では、類型化の中では代表設備の選定に対する考え方を示す本資料に差し替える。
 ・本資料は、各説明事項に該当する設備を抽出し説明を行う代表設備の選定を行うため、説明事項ごとの説明内容に応じた整理を行うものである。

【設備ごとの説明内容に対する凡例】	
—	補足説明対象外
△	検討対象設備／方針に対する説明を行う設備
○	検討対象設備／床応答スペクトルの重ね合わせ等により説明を行い、設備個別の検討結果までは示さず妥当性を示す設備
●	検討対象設備／補足説明資料にて設備個別の検討結果を用いて妥当性を示す設備
◎	説明代表設備
☆	差分説明を行う設備

※ 本資料の目的は、6月24日のヒアリングにて指摘のあった差分を踏まえた代表選定の考え方を示すことであるため、特別に後次回以降の説明対象である重大事故等を含めた差分の抽出を行う。

カテゴリ	対象	説明内容	対象設備 (対象設備以外は「-」を入力する)	方針のみ説明を行う設備 (「△」を入力する設備)	設備個別の検討結果までは示さない設備 (「○」を入力する設備)	設備個別の検討結果を示す設備 (「●」を入力する設備)	代表選定の考え方	各補足説明資料にて代表又は差分の説明を行う設備 (「◎」or「☆」を入力する設備)
方針により説明を行うもの(△)	耐震機電02	動的地震力のSRSS法による組合せ	・Sクラス設備 ・上位クラス施設に波及的影響を及ぼすおそれのある下位クラス施設 ・重大事故等対処設備	・Sクラス設備 ・上位クラス施設に波及的影響を及ぼすおそれのある下位クラス施設 ・重大事故等対処設備	-	-	・第1回申請設備	・安全冷却水B冷却塔
	耐震機電09	Sd評価結果の記載方法	・Sクラス設備	・Sクラス設備	-	-	・第1回申請設備	・安全冷却水B冷却塔
	耐震機電19	機電設備の耐震計算書の作成	・Sクラス設備 ・上位クラス施設に波及的影響を及ぼすおそれのある下位クラス施設 ・重大事故等対処設備	・Sクラス設備 ・上位クラス施設に波及的影響を及ぼすおそれのある下位クラス施設 ・重大事故等対処設備	-	-	・①-1: 第1回申請設備 ・①-2: 代表設備の選定を行った際に別紙1-37が合致している場合、その設備を選定 ・①-3: 代表設備の選定を行った際に別紙1シリーズが合致している場合、その設備を選定 ・①-4: 第1回申請設備	・①-1: 安全冷却水B冷却塔 ・①-2: 整理中 ・①-3: 整理中 ・①-4: 安全冷却水B冷却塔標準支持間隔
	耐震機電22	地震荷重と事故時荷重との組合せ	・設計基準事故時の荷重にの検討が必要な事象に該当する設備	-	-	-	-	-
	後次回	機器の耐震計算における既設工認からの計算式の変更点	・横置一胴円筒形容器(別紙1-25)を適用している設備 ・平底たて置円筒形容器(別紙1-29)を適用している設備	・①-1横置一胴円筒形容器(別紙1-25) ・①-2平底たて置円筒形容器(別紙1-29)	-	-	・横置一胴円筒形容器(別紙1-25)、平底たて置円筒形容器(別紙1-29)を適用している設備 ・代表設備の選定を行った際に別紙1-25又は別紙1-29が合致している場合、その設備を選定 ・合致していない場合は差分の説明を行う設備を選定	・別紙1-25: 整理中 ・別紙1-29: 整理中
後次回	ダクト評価で用いる補正係数、安全係数の設定根拠	・ダクト標準支持間隔による評価を行う設備	・ダクト標準支持間隔による評価を行う設備	-	-	・ダクト標準支持間隔を適用している設備 ・代表設備の選定を行った際に耐震機電16の代表と合致している場合、その設備を選定	整理中	

カテゴリ	対象	説明内容	対象設備 (対象設備以外は「-」を入力する)	方針のみ説明を行う設備 (「△」を入力する設備)	設備個別の検討結果までは示さない設備 (「○」を入力する設備)	設備個別の検討結果を示す設備 (「●」を入力する設備)	代表選定の考え方	各補足説明資料にて代表又は差分の説明を行う設備 (「◎」or「☆」を入力する設備)
設備個別の検討結果は示さないもの(○)	耐震機電17	剛な設備の固有周期の算出 固有周期の具体的な数値を計算書で示していない設備に対する説明 ①剛体であるため計算を省略している設備に対する説明 ②水平と鉛直の支配的な固有周期を示している設備に対する説明 ③打振試験により固有周期を確認している設備に対する説明	・定型式による評価を行う設備	-	・①-1冷却塔ファン(別紙2-1) ・①-2横軸ポンプ(別紙1-32) ・②: 定型式による評価を行う設備 ・③: 矩形電気計装設備(別紙1-37)	-	・①-1: 第1回申請設備 ・①-2: 重量が最も重い設備 ・②: 定型式の各分類から、1設備ずつ選定 ・③: 矩形電気計装設備: 確認中	・①-1: 安全冷却水B冷却塔 ・①-2: AA安全空気圧縮装置(空気圧縮機) ・②: 整理中 ・③: 整理中
	後次回	屋内設備に対するアンカー一定着部の評価	・基礎ボルトが評価部位である設備	-	・①基礎ボルトが評価部位である設備	-	・基礎ボルトの応力比が最も大きい設備	・AB中間熱交換器A,B

カテゴリ	対象	説明内容	対象設備 (対象設備以外は「-」を入力する)	方針のみ説明を行う設備 (「△」を入力する設備)	設備個別の検討結果までは示さない設備 (「○」を入力する設備)	設備個別の検討結果を示す設備 (「●」を入力する設備)	代表選定の考え方	各補足説明資料にて代表又は差分の説明を行う設備 (「◎」or「☆」を入力する設備)
設備個別の検討結果を示すもの(●)	後次回	電気盤等の機能維持評価に適用する水平方向の評価用地震力	・矩形電気計装設備(別紙1-37)のうち電氣的機能維持評価を行っている設備	-	-	・①電氣的機能維持評価を行う設備	・加速度比が最も大きい盤	整理中
	後次回	等価繰返し回数等の妥当性確認	・疲労評価を行っている設備	-	-	・①疲労評価結果を示す設備	・疲労評価を行う設備のうち最も応力比が高い設備	整理中
	耐震機電16	配管系の評価手法 ①配管標準支持間隔の設計手法に対する説明 ②ダクト標準支持間隔の設計手法に対する説明 ③配管標準支持間隔のFRSピーク回避に対する説明 ④配管の建屋間相対変位に対する説明	・配管標準支持間隔による評価を行う設備 ・ダクト標準支持間隔による評価を行う設備	・①配管定ピッチの設計手法 ・②ダクト定ピッチの設計手法	-	・③配管定ピッチ全建屋 ・④建屋間を跨ぐ配管が有る建屋	・①: 第1回申請設備 ・②: ダクト標準支持間隔を適用している設備 ・③, ④: 他の補足で説明代表となった建屋から③, ④の各説明代表をピックアップ(どの建屋も同じであるため他の説明代表から抽出)	・①: 安全冷却水B冷却塔標準支持間隔 ・②: 整理中 ・③: 整理中 ・④: 整理中
後次回	重大事故評価における許容限界等の適用 ①-1許容限界の算出に基準強度F値の算出方法を変更することに対する説明 ①-2材料引張強さの下限値Suを適用することに対する説明	・設計基準以上の評価を実施している設備	-	-	・①-1許容限界の算出に基準強度F値の算出方法を変更している設備 ・①-2材料引張強さの下限値Suを適用している設備のうち、応力比が最も大きい設備 ・①-2: 材料引張強さの下限値Suを適用している設備のうち、応力比が最も大きい設備	・①-1: F値の算出方法を変更している設備のうち、応力比が最も大きい設備 ・①-2: 材料引張強さの下限値Suを適用している設備のうち、応力比が最も大きい設備	整理中	

【設備ごとの説明内容に対する凡例】
 ー：補足説明対象外
 △：検討対象設備／方針に対する説明を行う設備
 ○：検討対象設備／床応答スペクトルの重ね合わせ等により説明を行い、設備個別の検討結果までは示さず妥当性を示す設備
 ●：検討対象設備／補足説明資料にて設備個別の検討結果を用いて妥当性を示す設備
 ◎：説明代表設備
 ☆：差分説明を行う設備

カテゴリ	対象	説明内容	対象設備 (対象設備以外は「-」を入力する)	方針のみ説明を行う設備 (「△」を入力する設備)	設備個別の検討結果までは示さない設備 (「○」を入力する設備)	設備個別の検討結果を示す設備 (「●」を入力する設備)	代表選定の考え方	各補足説明資料にて代表又は 差分の説明を行う設備 (「◎」or「☆」を入力する設備)	
設備個別の 検討結果を 示すもの(●) と設備個別の 検討結果は示さ ないもの(○) 又は方針のみ示 すもの(△) が混在し差分 となるもの	耐震 機電 01	鉛直方向の動的地震力 考慮による設備の浮き 上がり等の影響	①鉛直を拘束していない設備に対する説明 ①-1吊荷があり、鉛直1G以上の設備 ①-2吊荷があり、鉛直1G以下の設備	・クレーン類のうち吊荷が有る設備	-	①-2吊荷があり、鉛直1G以下の設備	①-1吊荷があり、鉛直1G以上の設備	①-1鉛直1G以上の設備の中から応力比 が最も大きい設備	・燃料横転クレーン
	耐震 機電 03	下位クラス施設の波及 的影響の検討	①波及的影響を受けない設備に対する説明 ②上位クラス設備に対して、波及的影響がある 設備の選定結果に対する説明 ②-1転倒・落下の影響が有る設備に対する説明 ②-2相互影響の影響が有る設備に対する説明	・Sクラス設備	-	①波及的影響を受けない設備に対する説明	②-1転倒・落下の影響が有る設備に対す る検討結果 ②-2相互影響の影響が有る設備に対す る検討結果	②-1転倒落下の被害者となる設備 ②-2相互影響の被害者となる設備	整理中
	耐震 機電 10	水平2方向及び鉛直方 向地震力の組合せに関 する設備の抽出及び考 え方	①水平2方向の影響が軽微な設備に対する説明 ②水平2方向の影響の可能性が有る設備に対 する説明	・Sクラス設備 ・上位クラス施設に波及的影響を及ぼすおそれ のある下位クラス施設 ・重大事故等対処設備	-	①水平2方向の影響が軽微な設備	②水平2方向の影響の可能性が有る設備	②水平2方向の影響の可能性が有る設備 の中から応力比が最も大きい設備	②影響が有る設備 ・別紙1-30:フッ素トラムA,B ・別紙2-28:高レベル廃液供給槽A ・別紙1-29:燃料油サービスタックA,B ・別紙2-7:第8一時貯留処理槽 ・別紙1-23:負圧維持治具1,2 ・別紙1-34:不溶解残渣回収槽A,Bポンプ1,2等 ・別紙1-42:脱硝装置A,B昇降機 ・清澄機A,B ・よう素追出し塔A,B ・燃料仮置きラック ・高残留濃縮度BWR燃料貯蔵ラック ・配管多質点(AB建屋)
	耐震 機電 14	動的機能維持評価手法 の適用	①規格に定められた形状以外で動的機能維持 評価を行う際の評価手法の妥当性に対する説明 ②弁の高振動に対する評価手法の妥当性に対す る説明 ③新たに行った加振試験に対する説明	・詳細評価により機能維持評価を行う設備 ※加速度の比較を行う設備は対象外 ・加速度比較を行う設備のうち、高振動評価結果 を示す弁 ・新たに行った加振試験結果を適用している設備	-	①動的機能維持を行う設備のうち、規格上の形状 又は仕様と該当せず詳細評価を行っている設備 ・冷却塔ファン ・横軸ポンプのうちスクルー式ポンプ、ギア式 ポンプ ③新たに行った加振試験結果を適用している設備	②動的機能維持評価を行っている弁	・冷却塔ファン:安全冷却水B冷却塔 ・スクルー式ポンプ:第1非常用ディーゼル 発電設備燃料移送ボ ンプ ・ギア式ポンプ:第2非常用ディーゼル発電機 設備燃料油移送ポンプ ・弁:整理中	
	耐震 機電 18	新たに適用した減衰定 数	①鉛直減衰を適用する設備に対する説明 ②試験結果より高減衰を適用する設備(クレーン) に対する説明 ③試験結果より高減衰を適用する設備(配管) に対する説明	・Sクラス設備 ・上位クラス施設に波及的影響を及ぼすおそれ のある下位クラス施設 ・重大事故等対処設備	①鉛直減衰を適用している設備 ③配管高減衰 (配管定ピッチ、配管多質点、弁)	-	②クレーンの試験体から適用可能な設備	②試験体の減衰を適用している設備から応 力比が最大の設備	整理中
	耐震 機電 23	機器と配管の相対変位 に対する設計上の扱い	①変位が小さい剛な機器に対する説明 ②変位が大きくなる剛ではない機器に対する説明	・配管との取合いがある設備	①配管に接続している剛な機器	-	②配管に接続されている剛ではない機器	剛な設備:第1回申請設備 剛ではない設備:変位が最も大きい設備	剛な設備:安全冷却水B冷却塔 剛ではない設備:高レベル廃液濃縮缶
	耐震 建物 29	計算機プログラム(解析 コード)の概要	①解析コードを用いている設備に対する説明 ②先行炉とVer.違いの解析コードを用いている 設備に対する説明 ③先行炉実績が無い解析コードを使用している 設備に対する説明	・解析コードを用いている設備	-	①解析コードを用いている設備	②先行炉とVer.違いの解析コードを用いて いる設備 ③先行炉実績が無い解析コードを使用し ている設備	③第1回申請設備	・安全冷却水B冷却塔床応答スペクトル
	耐震 機電 12	一閑東鉛直	①影響評価用のFRSが基準地震動に包絡され ている設備に対する説明 ②応答倍評価で成立している設備に対する説明 ③詳細評価(波の入替えのみ)に対する説明 ④詳細評価(評価条件精緻化)に対する説明	・Sクラス設備 ・上位クラス施設に波及的影響を及ぼすおそれ のある下位クラス施設	-	①FRSの重ね合わせにて包絡され、評価結果に 影響を与えない設備	②応答倍評価を実施している設備 ③又は④詳細評価(時刻歴含む)を実施 している設備	②詳細評価(評価条件精緻化)を行っている 設備から最も応力比が大きい設備	整理中
	耐震 機電 11	材料物性のばらつき	①-1影響評価を実施する対象建屋に対する説明 ①-2影響評価用のFRSが基準地震動に包絡され ている設備に対する説明 ②応答倍評価で成立している設備に対する説明 ③詳細評価(波の入替えのみ)に対する説明 ④詳細評価(評価条件精緻化)に対する説明	影響を受ける建屋のうち ・Sクラス設備 ・上位クラス施設に波及的影響を及ぼすおそれ のある下位クラス施設	-	①-1隣接、液状化の対象建屋以外に設置されて いる設備 ①-2FRSの重ね合わせにて包絡され、評価結果に 影響を与えない設備	②応答倍評価を実施している設備 ③又は④詳細評価(時刻歴含む)を実施 している設備	②詳細評価(評価条件精緻化)を行っている 設備から最も応力比が大きい設備	整理中
	耐震 機電 21	隣接建屋の影響に対す る影響確認	①-1影響評価を実施する対象建屋に対する説明 ①-2影響評価用のFRSが基準地震動に包絡され ている設備に対する説明 ②応答倍評価で成立している設備に対する説明 ③詳細評価(波の入替えのみ)に対する説明 ④詳細評価(評価条件精緻化)に対する説明	影響を受ける建屋のうち ・Sクラス設備 ・上位クラス施設に波及的影響を及ぼすおそれ のある下位クラス施設	-	①-1隣接、液状化の対象建屋以外に設置されて いる設備 ①-2FRSの重ね合わせにて包絡され、評価結果に 影響を与えない設備	②応答倍評価を実施している設備 ③又は④詳細評価(時刻歴含む)を実施 している設備	②詳細評価(評価条件精緻化)を行っている 設備から最も応力比が大きい設備	整理中

カテゴリ	対象	説明内容	対象設備 (対象設備以外は「-」を入力する)	方針のみ説明を行う設備 (「△」を入力する設備)	設備個別の検討結果までは示さない設備 (「○」を入力する設備)	設備個別の検討結果を示す設備 (「●」を入力する設備)	代表選定の考え方	各補足説明資料にて代表又は 差分の説明を行う設備 (「◎」or「☆」を入力する設備)	
設備個別の 検討結果を 示すもの(●) と設備個別の 検討結果は示さ ないもの(○) が混在し差分 となるもの (他の説明代表 により説明代表を 決定)	耐震 機電 13	既設工認からの変更点	①-1新規設計設備(耐震クラス格上により新たに耐 震計算書を示す設備含む)のうち構造に該当する 耐震計算の基本方針(FEM)を適用する妥当性 に対する説明 ①-2新規設計設備(耐震クラス格上により新たに耐 震計算書を示す設備含む)のうち構造に該当する 耐震計算の基本方針(定型式)を適用する妥当性 に対する説明 ②補強により既設工認から変更したモデル及び計 算書に対する説明 ③-1既設設備のうち既設工認から変更した計算書 に対する説明 ③-2既設設備のうち評価条件を変更していない ことの説明	・新規設計設備 ・補強設備 ・既設設備	-	③-2既設工認からの評価条件の変更が無い設備の 確認結果	①-1、①-2新設設備 ②補強設備 ③-1既設設備のうち評価条件を変更した 設備	【他の説明代表の選定に当たっての、優先条 件とする計画】 ①-1、①-2:各設備 ②:各設備 ③-1:変更点に該当する項目が最も多い設 備	①-1、①-2:整理中 ②:整理中 ③:整理中

参考資料－４

類型化分類ごとの代表設備選定結果（サンプル）

類型化分類ごとの代表設備及び差分の説明を行う設備の選定結果

- ・本表では類型化分類における代表設備及び差分を説明する設備の選定結果について再処理施設を例に示す。
- ・選定に当たっては、各分類の代表及び説明の差分がある設備を抽出し、説明内容が他分類と同様である説明事項については除く。
- ・新設設備については整理中であるため、現段階で確認できる範囲を示す。

【凡例】
 ー：補足説明対象外
 △：検討対象設備/方針に対する説明を行う設備
 ○：検討対象設備/床応答スペクトルの重ね合わせ等により説明を行い、設備個別の検討結果をまでは示さず妥当性を示す設備
 ●：検討対象設備/補足説明資料にて設備個別の検討結果を用いて妥当性を示す設備
 ◎：説明代表設備
 ☆：差分説明を行う設備

類型化分類	別紙番号	番号	施設区分	設置場所	設備名称	設工認申請分割申請状況 (✓は申請対象設備)		代表設備又は差分設備説明を行う設備	①事業変更許可申請書の記載内容のうち当社特有の説明事項														②新規制基準における追加要求に係る説明事項														③評価内容及び既設工認からの変更点に係る説明事項														④その他先行発電プラントの審査実績を踏まえた説明事項等													
						①事業変更許可申請書の記載内容のうち当社特有の説明事項			②新規制基準における追加要求に係る説明事項			③評価内容及び既設工認からの変更点に係る説明事項			④その他先行発電プラントの審査実績を踏まえた説明事項等																																																	
						一関東評価用地震動(鉛直)に対する影響確認	重大事故評価における許容限界等の適用		可搬型SA設備等の耐震計算方針	既設工認からの変更点	水平2方向及び鉛直方向地震力の組合せに関する設備の抽出及び考え方	鉛直方向の動的地震力の考慮による設備の浮き上がり等の影響	動的地震力のSRSS法による組合せ	下位クラス施設の波及的影響の検討	Sd評価結果の記載方法	剛な設備の固有周期の算出	配管系の評価手法	材料物性のばらつき	動的機能維持評価手法の適用	新たに適用した減衰定数	機電設備の耐震計算書の作成	隣接建屋の影響に対する影響確認	地震荷重と事故時荷重との組合せ	機器と配管の相対変位に対する設計上の扱い	計算機プログラム(解析コード)の概要	電気盤等の機能維持評価に適用する水平方向の評価用地震力	等価繰返し回数等の妥当性確認	屋内設備に対するアンカー定着部の評価	機器の耐震計算における既設工認からの計算式の変更点	液化に伴う機電設備の影響確認	ダクト評価で用いる補正係数、安全係数の設定根拠																																	
耐震機電12	後次回	後次回	耐震機電13	耐震機電10	耐震機電01	耐震機電02	耐震機電03	耐震機電09	耐震機電17	耐震機電16	耐震機電11	耐震機電14	耐震機電18	耐震機電19	耐震機電21	耐震機電22	耐震機電23	耐震建物29	後次回	後次回	後次回	後次回	後次回	後次回																																								
定型式(1) たて置き円筒形容器	別紙1-30	1	再処理施設	前処理建屋	水素掃気用空気貯槽	✓	◎	●(2)	-	-	○	●	-	△	○	△	○(2)	-	●(2)	-	△(1)	△	●(2)	-	△	-	-	○	-	-	-																																	
	別紙1-29	2	再処理施設	緊急時対策建屋	燃料油サービスタンク	✓	☆	-	-	-	●(1-2)	●	-	△	○	-	○(2)	-	-	-	△(1)	△	-	-	△	-	-	○	△(1-2)	-	-																																	
定型式(2) 軸直角方向支持容器	別紙1-25	3	再処理施設	分離建屋	中間熱交換器A, B	✓	☆	○	-	-	●(3-1)	○	-	△	○	△	○(2)	-	○	-	△(1)	△	○(1-2)	-	△	-	○	△(1-1)	-	-																																		
	別紙1-27	4	再処理施設	高レベル廃液ガラス固化建屋	安全冷水A, B冷凍機 油冷却器	✓	◎	○	-	-	○	○	-	△	○	△	○(2)	-	●(2)	-	△(1)	△	●(2)	-	△	-	○	△(1-1)	○(1-1)	-	-																																	
	別紙1-27	5	再処理施設	分離建屋	ブリス	✓	☆	○	-	-	○	○	-	△	○	△	○(2)	-	○	-	△(1)	△	○(1-2)	-	△	-	-	●	-	-	-																																	
定型式(3) ラグ支持たて置き円筒形容器	別紙1-20	7	再処理施設	高レベル廃液ガラス固化建屋	不溶解残渣廃液一時貯槽に漏えい液受皿1-4台	✓	◎	○	-	-	○	○	-	△	○	△	○(2)	-	○	-	△(1)	△	○(1-2)	-	△	-	-	-	-	○(1-1)	-																																	
	別紙1-31	8	再処理施設	高レベル廃液ガラス固化建屋	流下バケツ冷却用空気槽A, B	✓	◎	○	-	-	○	○	-	△	○	△	○(2)	-	○	-	△(1)	△	○(1-1)	-	△	-	-	○	-	○(1-1)	-																																	
定型式(4) 脚支持たて置き円筒形容器	別紙1-32	9	再処理施設	使用済燃料の受入れ施設及び貯蔵施設用安全冷却水系冷却塔B基礎	燃料移送ポンプA, B	✓	☆	○	-	-	○	○	-	△	○	△	○(1-2)	-	○	○(1)	△(1)	△	○(1-2)	-	△	-	-	○	-	○(1-2)	-																																	
	別紙1-32	10	再処理施設	前処理建屋	安全空気圧縮装置A, B, C(空気圧縮機A, B, C)	✓	☆	●(2)	-	-	○	○	-	△	○	△	○(1-2)	-	●(2)	-	△(1)	△	●(2)	-	△	-	-	○	-	-	-																																	
	別紙1-37	11	再処理施設	非常用電源建屋	燃料油移送ポンプA, B	✓	◎	●(2)	-	-	●(3-1)	○	-	△	○	△	○(1-2)	-	●(2)	○(1)	△(1)	△	●(2)	-	△	-	-	○	-	○(1-2)	-																																	
定型式(5) ボルト支持剛体設備	別紙1-37	12	再処理施設	ウラン・プルトニウム混合酸化物貯蔵建屋	460V非常用パワセツA(1)	✓	☆	○	-	-	○	○	-	△	○	△	○(3)	-	○	-	△(1)	△	○(1-2)	-	-	-	●	-	-	-																																		
	別紙1-42	13	再処理施設	ウラン・プルトニウム混合脱硝建屋	脱硝装置A, B昇降機	✓	◎	○	-	-	●(3-1)	●	-	△	-	-	○(2)	-	○	-	△(1)	△	●(2)	-	-	-	-	-	-	-																																		
定型式(6) 昇降設備	別紙1-44	14	再処理施設	使用済燃料受入れ・貯蔵建屋	燃料仮置きラックA, B	✓	◎	○	-	-	○	●	-	△	●(2-1)	△	○(2)	-	○	-	△(1)	△	●(2)	-	-	○	-	-	-	-																																		
定型式(7) はり構造設備	別紙1-22	15	再処理施設	精製建屋	凝縮器	✓	◎	○	-	-	●(3-1)	○	-	△	○	△	○(2)	-	○	-	△(1)	△	○(1-2)	-	△	-	-	-	-	○(1-2)	-																																	
FEM(1) JEAG4601の計算式を適用する設備	別紙2-38	16	再処理施設	分離建屋	高レベル廃液濃縮器A 高レベル廃液濃縮器B	✓	◎	○	-	-	●(3-1)	○	-	△	○	△	-	-	●(2)	-	△(1)	△	●(2)	-	●	○	-	●	-	-																																		
	別紙2-19	17	再処理施設	前処理建屋	溶解槽A, B燃料せん断片シュート(上部)	✓	☆	○	-	-	○	○	-	△	●(2-2)	-	-	-	●(2)	-	△(1)	△	●(2)	-	●	●(2)	-	-	-	-	-																																	
FEM(2) 材料力学の計算式を適用する設備	別紙2-1	18	再処理施設	安全冷却水B冷却塔	安全冷却水B冷却塔	✓	◎	○	-	-	●(2)	○	-	△	●(2-1)	△	○(1-1)	-	●(2)	○(1)	△(1)	△	●(2)	-	△	●(3)	-	-	-	○(1-1)	-																																	
	別紙2-18	19	再処理施設	使用済燃料受入れ・貯蔵建屋	燃料取扱装置(BWR燃料及CFWR燃料用)	✓	☆	○	●(1-1)	-	●(2)	○	○	△	-	-	-	-	○	-	●	△	○(1-1)	-	-	○	-	-	-	-																																		
配管標準支持間隔	-	20	再処理施設	安全冷却水B冷却塔	配管標準支持間隔(安全冷却水B冷却塔)	✓	◎	○	-	-	●(2)	○	-	△	○	-	-	-	△(1) ●(3,4)	○	-	△(1,3)	△	●(2)	-	-	○	-	-	-																																		
ダクト標準支持間隔	-	21	再処理施設	分離建屋	ダクト標準支持間隔(分離建屋)	✓	◎	●(2)	-	-	○	○	-	△	○	△	-	△(2)	●(2)	-	△(1)	△	●(2)	-	-	○	-	-	-	△																																		
配管多質点系はりモデル	-	22	再処理施設	高レベル廃液ガラス固化建屋	配管多質点系はり 2809-PCV-41-1	✓	◎	○	-	-	○	●	-	△	○	-	-	-	○	●	△(1,3)	△	○(1-2)	-	-	-	○	-	-	○(1-2)	-																																	
	-	23	再処理施設	分離建屋	配管多質点系はり 1232-W3001	✓	☆	●(2)	-	-	●(1-2)	-	-	△	-	-	-	-	○	●(2)	●	-	△	●(2)	-	-	○	-	-	-	-																																	
	-	22	再処理施設	高レベル廃液ガラス固化建屋	1703-AV-1006	✓	☆	○	-	-	○	●	-	△	○	△	-	-	○	-	-	△	○(1-2)	-	-	○	-	●	-	-	○(1-2)	-																																

本選定結果から、類型化を踏まえた説明は代表の13設備及び差分に対する説明は11設備に対して行う。

類型化分類ごとの代表設備選定結果
(定型式(1) たて置き円筒形容器)

類型化分類ごとの代表設備選定結果
(定型式(1) たて置き円筒形容器)

・本表では類型化分類における代表設備の選定結果について示す。
 ・選定に当たっては、本紙3.3項に示す方法により行うものとし、各設備に対して補足説明資料「耐震建物01「耐震評価対象の網羅性、既設工認との手法の相違点の整理について」に示す説明事項の該当項目を示した上で、分類における説明事項が網羅的となる設備を代表として選定する。

※ 本資料の目的は、6月24日のヒアリングにて指摘のあった類型化分類を用いた代表設備選定の過程を示す事であり、後次回申請にて示す類型化分類毎の代表設備選定結果に対するサンプルを示す。

- 【凡例】
- 一：補足説明対象外
 - △：検討対象設備/方針に対する説明を行う設備
 - ：検討対象設備/床応答スペクトルの重ね合わせ等により説明を行い、設備個別の検討結果をまでは示さず妥当性を示す設備
 - ：検討対象設備/補足説明資料にて設備個別の検討結果を用いて妥当性を示す設備
 - ◎：説明代表設備
 - ☆：差分説明を行う設備

類型化分類	別紙番号	番号	施設区分	設置場所	設備名称	設工認申請分割申請状況 (✓は申請対象設備)	代表設備又は差分説明を行う設備	設備毎の説明事項の整理結果を基に選定した代表設備又は差分の説明を行う設備を示す。																				計					
								①事業変更許可申請書の記載内容のうち当社特有の説明事項		②新規制基準における追加要求に係る説明事項		③評価内容及び既設工認からの変更点に係る説明事項																	④その他先行発電プラントの審査実績を踏まえた説明事項等				
								一関東評価用地震動(鉛直)に対する影響確認	重大事故評価における許容限界等の適用	可搬型SA設備等の耐震計算方針	既設工認からの変更点	水平2方向及び鉛直方向の地震力の組合せに関する設備の抽出及び考え方	鉛直方向の動的地震力考慮による設備の浮き上がり等の影響	動的地震力のSRS法による組合せ	下位クラス施設の波及的影響の検討	S4評価結果の記載方法	剛な設備の固有周期の算出	配管系の評価手法	材料物性のばらつき	動的機能維持評価手法の適用	新たに適用した減衰定数	機電設備の耐震計算書の作成	隣接建屋の影響に対する影響確認	地震荷重と事故時荷重との組合せ	機器と配管の相対変位に対する設計上の扱い	計算機プログラム(解析コード)の概要	電気盤等の機能維持評価に適用する水平方向の評価用地震力		等価繰返し回数等の妥当性確認	屋内設備に対するアンカー一定着部の評価	機器の耐震計算における既設工認からの計算式の変更点	液状化に伴う機電設備の影響確認	ダクト評価で用いる補正係数、安全係数の設定根拠
定型式(1) たて置き円筒形容器	別紙1-30	1	再処理施設	使用済燃料受入れ・貯蔵建屋	空気だめ	✓		○	-	-	○	●	-	△	○	△	○(2)	-	○	-	△(1)	△	○(1-2)	-	△	-	-	○	-	-	-	13	
		2	再処理施設	使用済燃料の受入れ施設及び貯蔵施設用安全冷却水系冷却塔A基礎	安全冷却水系膨張槽A	✓		○	-	-	○	●	-	△	●(2-1)	△	○(2)	-	○	-	△(1)	△	○(1-2)	-	△	-	-	○	-	-	-	13	
		3	再処理施設	使用済燃料の受入れ施設及び貯蔵施設用安全冷却水系冷却塔B基礎	安全冷却水系膨張槽B	✓		○	-	-	○	●	-	△	●(2-1)	△	○(2)	-	○	-	△(1)	△	○(1-2)	-	△	-	-	○	-	-	-	13	
		4	再処理施設	前処理建屋	超音波洗浄廃液受槽	✓		●(2)	-	-	○	●	-	△	○	△	○(2)	-	●(2)	-	△(1)	△	●(2)	-	△	-	-	-	-	-	-	-	12
		5	再処理施設	前処理建屋	779-A, B	✓		●(2)	-	-	●(3-1)	●	-	△	○	△	○(2)	-	●(2)	-	△(1)	△	●(2)	-	△	-	-	-	-	-	-	-	12
		6	再処理施設	前処理建屋	中継槽A, B	✓		○	-	-	●(3-1)	●	-	△	○	△	○(2)	-	●(2)	-	△(1)	△	●(2)	-	△	-	-	-	-	-	-	-	12
		7	再処理施設	前処理建屋	不溶解残渣回収槽A, B	✓		●(2)	-	-	●(3-1)	●	-	△	○	△	○(2)	-	●(2)	-	△(1)	△	●(2)	-	△	-	-	-	-	-	-	-	12
		8	再処理施設	前処理建屋	ろえい液希釈水供給槽	✓		●(2)	-	-	●(3-1)	●	-	△	○	△	○(2)	-	●(2)	-	△(1)	△	●(2)	-	△	-	-	-	-	-	-	-	12
		9	再処理施設	前処理建屋	安全空気脱湿装置A, B(779-A, B)	✓		●(2)	-	-	○	●	-	△	○	△	○(2)	-	●(2)	-	△(1)	△	●(2)	-	△	-	-	-	-	-	-	-	12
		10	再処理施設	前処理建屋	安全空気脱湿装置A, B(779-714/A, B)	✓		●(2)	-	-	○	●	-	△	○	△	○(2)	-	●(2)	-	△(1)	△	●(2)	-	△	-	-	-	-	-	-	-	12
		11	再処理施設	前処理建屋	安全空気脱湿装置A, B(脱湿塔1A, 2A, 1B, 2B)	✓		●(2)	-	-	●(3-1)	●	-	△	○	△	○(2)	-	●(2)	-	△(1)	△	●(2)	-	△	-	-	-	-	-	-	-	12
		12	再処理施設	前処理建屋	安全空気圧縮装置A, B, C(後置冷却器1, 2, 3)	✓		●(2)	-	-	●(3-1)	●	-	△	○	△	○(2)	-	●(2)	-	△(1)	△	●(2)	-	△	-	-	-	-	-	-	-	13
		13	再処理施設	前処理建屋	水素捕気用空気貯槽	✓	◎	●(2)	-	-	○	●	-	△	○	△	○(2)	-	●(2)	-	△(1)	△	●(2)	-	△	-	-	-	-	○	-	-	13
		14	再処理施設	分離建屋	779-A, B	✓		○	-	-	○	●	-	△	○	△	○(2)	-	○	-	△(1)	△	○(1-2)	-	△	-	-	-	○	-	-	-	13
		15	再処理施設	分離建屋	第1供給槽	✓		○	-	-	●(1-2)	●	-	△	-	-	○(2)	-	○	-	△(1)	△	○(1-2)	-	△	-	-	-	-	○	-	-	11
		16	再処理施設	精製建屋	第7一時貯留処理槽	✓		○	-	-	●(3-1)	●	-	△	○	△	○(2)	-	○	-	△(1)	△	○(1-2)	-	△	-	-	-	-	○	-	-	13
		17	再処理施設	精製建屋	第5一時貯留処理槽	✓		○	-	-	●(3-1)	●	-	△	○	△	○(2)	-	○	-	△(1)	△	○(1-2)	-	△	-	-	-	-	○	-	-	12
		18	再処理施設	精製建屋	注水槽	✓		○	-	-	●(1-2)	●	-	△	○	-	○(2)	-	○	-	△(1)	△	○(1-2)	-	△	-	-	-	-	-	-	-	11
		19	再処理施設	精製建屋	安全冷却水A, B検知計	✓		○	-	-	●(1-2)	●	-	△	○	-	○(2)	-	○	-	△(1)	△	○(1-2)	-	△	-	-	-	-	-	-	-	11
		20	再処理施設	精製建屋	重大事故時可溶性中性子吸収材供給槽(第7一時貯留処理槽用)	✓		-	-	-	-	●	-	△	○	-	○(2)	-	-	-	△(1)	△	-	-	△	-	-	-	-	○	-	-	8
		21	再処理施設	精製建屋	廃ガス貯留槽A~M	✓		-	-	-	-	●	-	△	○	-	○(2)	-	-	-	△(1)	△	-	-	△	-	-	-	-	○	-	-	8
		22	再処理施設	精製建屋	圧縮空気自動供給貯槽A, B	✓		-	-	-	-	●	-	△	○	-	○(2)	-	-	-	△(1)	△	-	-	△	-	-	-	-	○	-	-	8
		23	再処理施設	精製建屋	圧縮空気自動供給貯槽C, D, E	✓		-	-	-	-	●	-	△	○	-	○(2)	-	-	-	△(1)	△	-	-	△	-	-	-	-	○	-	-	8
		24	再処理施設	ウラン・プルトニウム混合脱硝建屋	安全冷却水A, B膨張槽	✓		○	-	-	-	●	-	△	○	△	○(2)	-	○	-	△(1)	△	●(2)	-	○	-	-	-	-	○	-	-	12
		25	再処理施設	ウラン・プルトニウム混合脱硝建屋	安全冷却水A, B検知計	✓		○	-	-	●(3-1)	●	-	△	-	-	○(2)	-	○	-	△(1)	△	●(2)	-	○	-	-	-	-	○	-	-	11
		26	再処理施設	非常用電源建屋	空気だめA 空気だめB	✓		●(2)	-	-	●(3-1)	●	-	△	○	△	○(2)	-	●(2)	-	△(1)	△	●(2)	-	△	-	-	-	-	○	-	-	13
		27	再処理施設	前処理建屋	廃ガス貯留槽A~D	✓		-	-	-	●(1-2)	●	-	△	-	-	○(2)	-	-	-	△(1)	△	-	-	△	-	-	-	-	-	-	-	7
		28	再処理施設	使用済燃料受入れ・貯蔵建屋	燃料デイツク	✓		○	-	-	-	●	-	△	○	△	○(2)	-	○	-	△(1)	△	○(1-2)	-	△	-	-	-	○	△(1-2)	-	-	13
		29	再処理施設	前処理建屋	安全冷却水1A, 1B, 2放射線いっしゅ計測槽	✓		●(2)	-	-	●(3-1)	●	-	-	-	-	○(2)	-	●(2)	-	△(1)	△	●(2)	-	△	-	-	-	-	△(1-2)	-	-	10

類型化分類ごとの代表設備選定結果
(定型式(1) たて置き円筒形容器)

類型化分類	別紙番号	番号	施設区分	設置場所	設備名称	設工認申請分割申請状況 (✓は申請対象設備)	代表設備又は差分設説明を行う設備	設備毎の説明事項の整理結果を基に選定した代表設備又は差分の説明を行う設備を示す。																				計					
								①事業変更許可申請書の記載内容のうち当社特有の説明事項		②新規制基準における追加要求に係る説明事項	③評価内容及び既設工認からの変更点に係る説明事項	④その他先行発電プラントの審査実績を踏まえた説明事項等																					
								一関東評価用地震動(鉛直)に対する影響確認	重大事故評価における許容限界等の適用	可搬型SA設備等の耐震計算方針	既設工認からの変更点	水平2方向及び鉛直方向地震力の組合せに関する設備の抽出及び考え方	鉛直方向の動的地震力考慮による設備の浮き上がり等の影響	動的地震力のSRS法による組合せ	下位クラス施設の波及的影響の検討	Sd評価結果の記載方法	剛な設備の固有周期の算出	配管系の評価手法	材料物性のばらつき	動的機能維持評価法の適用	新たに適用した減衰定数	機電設備の耐震計算書の作成	隣接建屋の影響に対する影響確認	地震荷重と事故時荷重との組合せ	機器と配管の相対変位に対する設計上の扱い	計算機プログラム(解析コード)の概要	電気盤等の機能維持評価に適用する水平方向の評価用地震力		等価繰返し回数等の妥当性確認	屋内設備に対するアンカー定着部の評価	機器の耐震計算における既設工認からの計算式の変更点	液化に伴う機器設備の影響確認	ダクト評価で用いる補正係数、安全係数の設定根拠
耐震機電12	後次回	後次回	耐震機電13	耐震機電10	耐震機電01	耐震機電02	耐震機電03	耐震機電09	耐震機電17	耐震機電16	耐震機電11	耐震機電14	耐震機電18	耐震機電19	耐震機電21	耐震機電22	耐震機電23	耐震建物29	後次回	後次回	後次回	後次回	後次回	後次回	後次回								
定型式(1) たて置き円筒形容器	別紙1-29	30	再処理施設	非常用電源建屋	燃料油サージタンクA, B	✓	☆	●(②)	-	-	-	●	-	△	○	△	○(②)	-	●(②)	-	△(①)	△	●(②)	-	△	-	-	-	○	△(①-2)	-	-	13
		31	再処理施設	高レベル廃液ガラス固化建屋	安全冷水A, B検知ドット	✓		○	-	-	-	●	-	△	○	△	○(②)	-	○	-	△(①)	△	○(①-2)	-	△	-	-	-	-	△(①-2)	○	-	13
		32	再処理施設	高レベル廃液ガラス固化建屋	第1, 第2高レベル濃縮廃液貯槽冷却水A, B検知ドット	✓		○	-	-	-	●	-	△	○	△	○(②)	-	○	-	△(①)	△	○(①-2)	-	△	-	-	-	-	△(①-2)	○	-	13
		33	再処理施設	高レベル廃液ガラス固化建屋	安全冷却水A系, B系検知ドット	✓		○	-	-	-	●	-	△	○	△	○(②)	-	○	-	△(①)	△	○(①-2)	-	△	-	-	-	-	△(①-2)	○	-	13
		34	再処理施設	高レベル廃液ガラス固化建屋	安全冷却水1A, 1B検知ドット	✓		○	-	-	-	●	-	△	○	△	○(②)	-	○	-	△(①)	△	○(①-2)	-	△	-	-	-	-	△(①-2)	○	-	13
	35	再処理施設	緊急時対策建屋	燃料油サービスタンク	✓		○	-	-	●(①-2)	●	-	△	○	-	○(②)	-	-	-	△(①)	△	-	-	△	-	-	-	○	△(①-2)	-	-	11	
	別紙1-23	36	再処理施設	前処理建屋	よう素追出し塔A, B廃ガス冷却器	✓		○	-	-	○	●	-	△	○	△	○(②)	-	●(②)	-	△(①)	△	●(②)	-	△	-	-	-	-	-	-	12	
	37	再処理施設	高レベル廃液ガラス固化建屋	保守治具入口シャット1, 2	✓		○	-	-	-	●	-	△	○	△	○(②)	-	○	-	△(①)	△	○(①-2)	-	-	-	-	-	-	-	○	-	11	
38	再処理施設	高レベル廃液ガラス固化建屋	負圧維持治具1, 2	✓		○	-	-	-	●	-	△	○	△	○(②)	-	○	-	△(①)	△	○(①-2)	-	-	-	-	-	-	-	○	-	11		

類型化分類ごとの代表設備選定結果
(定型式(2) 軸直角方向支持容器)

類型化分類ごとの代表設備選定結果
(定型式 (2) 軸直角方向支持容器)

・本表では類型化分類における代表設備の選定結果について示す。
 ・選定に当たっては、本紙3.3項に示す方法により行うものとし、各設備に対して補足説明資料「耐震建物01「耐震評価対象の網羅性、既設工認との手法の相違点の整理について」に示す説明事項の該当項目を示した上で、分類における説明事項が網羅的となる設備を代表として選定する。

※ 本資料の目的は、6月24日のヒアリングにて指摘のあった類型化分類を用いた代表設備選定の過程を示す事であり、後次回申請にて示す類型化分類毎の代表設備選定結果に対するサンプルを示す。

【凡例】
 一：補足説明対象外
 △：検討対象設備/方針に対する説明を行う設備
 ○：検討対象設備/床応答スペクトルの重ね合わせ等により説明を行い、設備個別の検討結果をまでは示さず妥当性を示す設備
 ●：検討対象設備/補足説明資料にて設備個別の検討結果を用いて妥当性を示す設備
 ◎：説明代表設備
 ☆：差分説明を行う設備

類型化分類	別紙番号	番号	施設区分	設置場所	設備名称	設工認申請分割申請状況 (✓は申請対象設備)	代表設備又は差分設工認説明を行う設備	①事業変更許可申請書の記載内容のうち当社特有の説明事項				②新規制基準における追加要求に係る説明事項	③評価内容及び既設工認からの変更点に係る説明事項																計						
								可搬型SA設備等の耐震計算方針	既設工認からの変更点	水平2方向及び鉛直方向地震力の組合せに関する設備の引き出し及び考え方	鉛直方向の動的地震力考慮による設備の浮き上がり等の影響	動的地震力のSRSS法による組合せ	下位クラス施設の波及的影響の検討	S4評価結果の記載方法	剛な設備の固有周期の算出	配管系の評価手法	材料物性のばらつき	動的機能維持評価手法の適用	新たに適用した減衰定数	機電設備の耐震計算書の作成	隣接建屋の影響に対する影響確認	地震荷重と事故時荷重との組合せ	機器と配管の相対変位に対する設計上の扱い	計算機プログラム(解析コード)の概要	電気盤等の機能維持評価に適用する水平方向の評価用地震力	等価繰返し回数等の妥当性確認	屋内設備に対するアンカー定着部の評価	機器の耐震計算における既設工認からの計算式の変更点		液状化に伴う機電設備の影響確認	ダクト評価で用いる補正係数、安全係数の設定根拠				
																																耐震機電12	後次回	後次回	耐震機電13
定型式 (2) 軸直角方向支持容器	別紙1-25	1	再処理施設	第1非常用ディーゼル発電機重油タンク室	重油タンクA-1, 2, B-1, 2	✓		○	-	-	○	○	-	△	○	△	○(2)	-	●(2)	-	△(1)	△	○(1-2)	-	△	-	-	-	○	△(1-1)	-	-	13		
		2	再処理施設	前処理建屋	水パフ槽	✓		●(2)	-	-	●(3-1)	○	-	△	●(2-1)	△	○(2)	-	●(2)	-	△(1)	△	●(2)	-	△	-	-	-	○	△(1-1)	-	-	14		
		3	再処理施設	前処理建屋	フィルター	✓		●(2)	-	-	●(3-1)	○	-	△	○	△	○(2)	-	●(2)	-	△(1)	△	●(2)	-	△	-	-	-	-	○	△(1-1)	-	-	13	
		4	再処理施設	前処理建屋	よう素フィルター第1, 第2加熱器	✓		●(2)	-	-	●(3-1)	○	-	△	●(2-1)	△	○(2)	-	●(2)	-	△(1)	△	●(2)	-	△	-	-	-	-	○	△(1-1)	-	-	13	
		5	再処理施設	前処理建屋	廃熱冷却器A, B, C	✓		○	-	-	○	○	-	△	○	△	○(2)	-	●(2)	-	△(1)	△	●(2)	-	△	-	-	-	-	○	△(1-1)	-	-	14	
		6	再処理施設	前処理建屋	安全冷却水A, B膨張槽	✓		●(2)	-	-	●(3-1)	○	-	△	○	△	○(2)	-	●(2)	-	△(1)	△	●(2)	-	△	-	-	-	-	○	△(1-1)	-	-	14	
		7	再処理施設	前処理建屋	安全冷却水1A, 1B, 2膨張槽	✓		●(2)	-	-	●(3-1)	○	-	△	○	△	○(2)	-	●(2)	-	△(1)	△	●(2)	-	△	-	-	-	-	○	△(1-1)	-	-	14	
		8	再処理施設	前処理建屋	ばいり供給水槽	✓		●(2)	-	-	●(3-1)	○	-	△	○	△	○(2)	-	●(2)	-	△(1)	△	●(2)	-	△	-	-	-	-	○	△(1-1)	-	-	14	
		9	再処理施設	前処理建屋	安全蒸気ばいりA, B	✓		●(2)	-	-	●(3-1)	○	-	△	○	△	○(2)	-	●(2)	-	△(1)	△	●(2)	-	△	-	-	-	-	-	○	△(1-1)	-	-	13
		10	再処理施設	前処理建屋	安全空気圧縮装置A, B, C(後置冷却器A, B, C)	✓		●(2)	-	-	●(3-1)	○	-	△	○	△	○(2)	-	●(2)	-	△(1)	△	●(2)	-	△	-	-	-	-	○	△(1-1)	-	-	14	
		11	再処理施設	前処理建屋	計測制御用空気貯槽	✓		●(2)	-	-	●(3-1)	○	-	△	○	△	○(2)	-	●(2)	-	△(1)	△	●(2)	-	△	-	-	-	-	-	○	△(1-1)	-	-	14
		12	再処理施設	分離建屋	第1一時貯留処理槽2-4槽	✓		○	-	-	○	○	-	△	○	△	○(2)	-	○	-	△(1)	△	○(1-2)	-	△	-	-	-	-	-	○	△(1-1)	-	-	13
		13	再処理施設	分離建屋	第8一時貯留処理槽2-4槽	✓		○	-	-	○	○	-	△	○	△	○(2)	-	○	-	△(1)	△	○(1-2)	-	△	-	-	-	-	-	○	△(1-1)	-	-	13
		14	再処理施設	分離建屋	第8一時貯留処理槽プレバット	✓		○	-	-	○	○	-	△	○	△	○(2)	-	○	-	△(1)	△	○(1-2)	-	△	-	-	-	-	-	○	△(1-1)	-	-	13
		15	再処理施設	分離建屋	よう素フィルター第1, 第2加熱器	✓		○	-	-	●(3-1)	○	-	△	○	△	○(2)	-	○	-	△(1)	△	○(1-2)	-	△	-	-	-	-	○	△(1-1)	-	-	14	
		16	再処理施設	分離建屋	高レベル廃液濃縮缶凝縮器A	✓		○	-	-	●(3-1)	○	-	△	○	△	○(2)	-	○	-	△(1)	△	○(1-2)	-	△	-	-	-	-	○	△(1-1)	-	-	14	
		17	再処理施設	分離建屋	第1高レベル凝縮器	✓		○	-	-	●(3-1)	○	-	△	○	△	○(2)	-	○	-	△(1)	△	○(1-2)	-	△	-	-	-	-	-	○	△(1-1)	-	-	13
		18	再処理施設	分離建屋	高レベル廃液濃縮缶凝縮器B	✓		○	-	-	●(3-1)	○	-	△	○	△	○(2)	-	○	-	△(1)	△	○(1-2)	-	△	-	-	-	-	○	△(1-1)	-	-	14	
		19	再処理施設	分離建屋	漏えい液希釈液供給槽	✓		○	-	-	●(3-1)	○	-	△	○	△	○(2)	-	●(2)	-	△(1)	△	●(2)	-	△	-	-	-	-	○	△(1-1)	-	-	14	
		20	再処理施設	分離建屋	中間熱交換器A, B	✓	☆	○	-	-	●(3-1)	○	-	△	○	△	○(2)	-	○	-	△(1)	△	○(1-2)	-	△	-	-	-	-	○	△(1-1)	-	-	14	
		21	再処理施設	分離建屋	安全冷却水1A, 1B, 2膨張槽	✓		○	-	-	●(3-1)	○	-	△	○	△	○(2)	-	○	-	△(1)	△	○(1-2)	-	△	-	-	-	-	○	△(1-1)	-	-	14	
		22	再処理施設	分離建屋	凝縮器	✓		○	-	-	●(1-2)	○	-	△	○	-	○(2)	-	○	-	△(1)	△	○(1-2)	-	△	-	-	-	-	-	○	△(1-1)	-	-	12
		23	再処理施設	分離建屋	圧縮空気自動供給貯槽A	✓		○	-	-	●(1-2)	○	-	△	○	-	○(2)	-	○	-	△(1)	△	○(1-2)	-	△	-	-	-	-	○	△(1-1)	-	-	13	
		24	再処理施設	分離建屋	圧縮空気自動供給貯槽B	✓		○	-	-	●(3-1)	○	-	△	○	△	○(2)	-	○	-	△(1)	△	○(1-2)	-	△	-	-	-	-	-	○	△(1-1)	-	-	13
		25	再処理施設	分離建屋	圧縮空気自動供給貯槽C	✓		○	-	-	●(3-1)	○	-	△	○	△	○(2)	-	○	-	△(1)	△	○(1-2)	-	△	-	-	-	-	-	○	△(1-1)	-	-	13
		26	再処理施設	精製建屋	第1一時貯留処理槽供給槽	✓		○	-	-	●(3-1)	○	-	△	○	△	○(2)	-	○	-	△(1)	△	○(1-2)	-	△	-	-	-	-	-	○	△(1-1)	-	-	13
		27	再処理施設	精製建屋	第2一時貯留処理槽供給槽	✓		○	-	-	●(3-1)	○	-	△	○	△	○(2)	-	○	-	△(1)	△	○(1-2)	-	△	-	-	-	-	○	△(1-1)	-	-	14	
		28	再処理施設	精製建屋	凝縮器	✓		○	-	-	●(3-1)	○	-	△	○	△	○(2)	-	○	-	△(1)	△	○(1-2)	-	△	-	-	-	-	-	○	△(1-1)	-	-	13
		29	再処理施設	精製建屋	よう素フィルター後置フィルター	✓		○	-	-	●(3-1)	○	-	△	○	△	○(2)	-	○	-	△(1)	△	○(1-2)	-	△	-	-	-	-	-	○	△(1-1)	-	-	13
		30	再処理施設	精製建屋	高性能粒子フィルター第1, 第2加熱器	✓		○	-	-	●(3-1)	○	-	△	○	△	○(2)	-	○	-	△(1)	△	○(1-2)	-	△	-	-	-	-	-	○	△(1-1)	-	-	13
		31	再処理施設	精製建屋	よう素フィルター第1, 第2加熱器	✓		○	-	-	●(3-1)	○	-	△	○	△	○(2)	-	○	-	△(1)	△	○(1-2)	-	△	-	-	-	-	○	△(1-1)	-	-	14	
		32	再処理施設	精製建屋	廃熱第1, 第2電気加熱器	✓		●(2)	-	-	●(3-1)	○	-	△	○	-	○(2)	-	●(2)	-	△(1)	△	●(2)	-	△	-	-	-	-	○	△(1-1)	-	-	13	
		33	再処理施設	精製建屋	安全冷却水A, B, C膨張槽	✓		●(2)	-	-	●(3-1)	○	-	△	○	-	○(2)	-	●(2)	-	△(1)	△	●(2)	-	△	-	-	-	-	-	○	△(1-1)	-	-	12
		34	再処理施設	ウラン・プルトニウム混合脱硝建屋	混合廃熱凝縮器	✓		○	-	-	●(3-1)	○	-	△	○	△	○(2)	-	○	-	△(1)	△	●(2)	-	○	-	-	-	-	○	△(1-1)	-	-	14	

類型化分類ごとの代表設備選定結果
(定型式(2)軸直角方向支持容器)

類型化分類	別紙番号	番号	施設区分	設置場所	設備名称	設工認申請分割申請状況 (✓は申請対象設備)	代表設備又は差分設説明を行う設備	①事業変更許可申請書の記載内容のうち当社特有の説明事項																	②新規制基準における追加要求に係る説明事項										③評価内容及び既設工認からの変更点に係る説明事項										④その他先行発電プラントの審査実績を踏まえた説明事項等										計
								一開東評用地震動(鉛直)に対する影響確認	重大事故評価における許容限界等の適用	可搬型SA設備等の耐震計算方針	既設工認からの変更点	水平2方向及び鉛直方向の地震力の組合せに関する設備の抽出及び考え方	鉛直方向の動的地震力考慮による設備の浮き上がり等の影響	動的地震力のSRS法による組合せ	下位クラス施設の波及的影響の検討	Sd評価結果の記載方法	剛な設備の固有周期の算出	配管系の評価手法	材料物性のばらつき	動的機能維持評価手法の適用	新たに適用した減衰定数	機電設備の耐震計算書の作成	隣接建屋の影響に対する影響確認	地震荷重と事故時荷重との組合せ	機器と配管の相対変位に対する設計上の扱い	計算機プログラム(解析コード)の概要	電気盤等の機能維持評価に適用する水平方向の評価用地震力	等価繰返し回数性の確認	屋内設備に対するアンカー部等の評価	機器の耐震計算における既設工認からの計算式の変更点	液化に伴う機電設備の影響確認	ダクト評価で用いる補正係数、安全係数の設定根拠																							
								後次回申請	後次回	後次回	耐震機電12	耐震機電10	耐震機電01	耐震機電02	耐震機電03	耐震機電09	耐震機電17	耐震機電16	耐震機電11	耐震機電14	耐震機電18	耐震機電19	耐震機電21	耐震機電22	耐震機電23	耐震建物29	後次回	後次回	後次回	後次回	後次回	後次回																							
別紙1-25	35	再処理施設	ウラン・プルトニウム混合脱硝建屋	安全冷却水A, B第1中間熱交換器	✓			○	-	-	○	○	△	○	△	○(②)	-	○	-	△(①)	△	○(①-2)	-	△	-	-	-	-	△(①-1)	○(①-1)	-	14																							
	36	再処理施設	ウラン・プルトニウム混合脱硝建屋	安全冷却水A, B第2中間熱交換器	✓			○	-	-	○	○	△	○	△	○(②)	-	○	-	△(①)	△	○(①-2)	-	△	-	-	-	△(①-1)	○(①-1)	-	14																								
	37	再処理施設	高レベル廃液ガラス固化建屋	第1, 第2加熱器	✓			○	-	-	○	○	△	○	△	○(②)	-	●(②)	-	△(①)	△	○(①-2)	-	△	-	-	○	△(①-1)	○(①-1)	-	15																								
	38	再処理施設	高レベル廃液ガラス固化建屋	第1, 第2加熱器	✓			○	-	-	○	○	△	○	△	○(②)	-	○	-	△(①)	△	○(①-2)	-	△	-	-	-	△(①-1)	○(①-1)	-	14																								
	39	再処理施設	高レベル廃液ガラス固化建屋	純水中間貯槽	✓			○	-	-	○	○	△	○	△	○(②)	-	○	-	△(①)	△	○(①-2)	-	△	-	-	-	△(①-1)	○(①-1)	-	14																								
	40	再処理施設	高レベル廃液ガラス固化建屋	安全冷水A, B冷凍機 油冷却器	✓	◎		○	-	-	○	○	△	○	△	○(②)	-	●(②)	-	△(①)	△	●(②)	-	△	-	-	-	○	△(①-1)	○(①-1)	-	15																							
	41	再処理施設	高レベル廃液ガラス固化建屋	安全冷水A, B冷凍機 凝縮器	✓			-	-	-	●(①-2)	○	-	△	-	○(②)	-	-	-	△(①)	△	-	-	△	-	-	-	△(①-1)	-	-	8																								
	42	再処理施設	高レベル廃液ガラス固化建屋	安全冷水A, B冷却器	✓			-	-	-	●(①-2)	○	-	△	○	-	○(②)	-	-	-	△(①)	△	-	-	-	-	-	○	△(①-1)	-	-	9																							
	43	再処理施設	前処理建屋	凝縮器, 予備凝縮器	✓			-	-	-	●(①-2)	○	-	△	○	-	○(②)	-	-	-	△(①)	△	-	-	-	-	-	○	△(①-1)	-	-	9																							
	44	再処理施設	第1軽油貯蔵所	第1軽油貯槽	✓			-	-	-	●(①-2)	○	-	△	○	-	○(②)	-	-	-	△(①)	△	-	-	△	-	-	○	△(①-1)	-	-	10																							
	45	再処理施設	第2軽油貯蔵所	第2軽油貯槽	✓			-	-	-	●(①-2)	○	-	△	○	-	○(②)	-	●(②)	-	△(①)	△	-	-	-	-	-	○	△(①-1)	-	-	10																							
46	再処理施設	重油貯蔵所	重油貯槽	✓			-	-	-	●(①-2)	○	-	△	○	-	○(②)	-	●(②)	-	△(①)	△	-	-	△	-	-	○	△(①-1)	-	-	11																								
別紙1-26	47	再処理施設	前処理建屋	洗浄廃液受槽	✓		●(②)	-	-	●(③-1)	○	-	△	○	△	○(②)	-	●(②)	-	△(①)	△	●(②)	-	△	-	-	○	-	-	-	13																								
	48	再処理施設	非常用電源建屋	燃料油貯蔵ク1A, 2A 燃料油貯蔵ク1B, 2B	✓		●(②)	-	-	●(③-1)	○	-	△	○	△	○(②)	-	●(②)	-	△(①)	△	●(②)	-	△	-	-	○	-	-	-	13																								
定型式(2) 軸直角方向支持容器	49	再処理施設	前処理建屋	中間ボットA, Bエアリフト分離ボット	✓		●(②)	-	-	●(③-1)	○	-	△	○	△	○(②)	-	●(②)	-	△(①)	△	●(②)	-	△	-	-	-	-	-	-	12																								
	50	再処理施設	前処理建屋	計量前中間貯槽A ⁷ ミスタ	✓		●(②)	-	-	●(③-1)	○	-	△	○	△	○(②)	-	●(②)	-	△(①)	△	●(②)	-	△	-	-	-	-	-	-	12																								
	51	再処理施設	前処理建屋	計量前中間貯槽B ⁷ ミスタ	✓		●(②)	-	-	●(③-1)	○	-	△	○	△	○(②)	-	●(②)	-	△(①)	△	●(②)	-	△	-	-	-	-	-	-	12																								
	52	再処理施設	前処理建屋	計量前中間貯槽A ⁷ ミスタ	✓		○	-	-	●(③-1)	○	-	△	○	△	○(②)	-	●(②)	-	△(①)	△	●(②)	-	△	-	-	-	-	-	-	-	12																							
	53	再処理施設	前処理建屋	計量前中間貯槽B ⁷ ミスタ 計量後中間貯槽 ⁷ ミスタ 計量補助槽 ⁷ ミスタ	✓		●(②)	-	-	●(③-1)	○	-	△	○	△	○(②)	-	●(②)	-	△(①)	△	●(②)	-	△	-	-	-	-	-	-	-	12																							
	54	再処理施設	分離建屋	デミスタ	✓	☆	○	-	-	○	○	-	△	○	△	○(②)	-	○	-	△(①)	△	○(①-2)	-	△	-	-	●	-	-	-	-	13																							
	55	再処理施設	分離建屋	補助抽出器予備エアリフトポンプデミスタ	✓		○	-	-	●(①-2)	○	-	△	-	-	○(②)	-	○	-	△(①)	△	○(①-2)	-	△	-	-	-	-	-	-	-	10																							
	56	再処理施設	分離建屋	プルトニウム分配塔エアリフトポンプAデミスタ	✓		○	-	-	●(①-2)	○	-	△	-	-	○(②)	-	○	-	△(①)	△	○(①-2)	-	△	-	-	-	-	-	-	-	10																							
	57	再処理施設	精製建屋	NOx廃ガス洗浄塔 ⁷ ミスタ	✓		○	-	-	●(③-1)	○	-	△	○	△	○(②)	-	○	-	△(①)	△	○(①-2)	-	△	-	-	-	-	-	-	-	12																							
	58	再処理施設	精製建屋	デミスタ	✓		○	-	-	●(③-1)	○	-	△	○	△	○(②)	-	○	-	△(①)	△	○(①-2)	-	△	-	-	-	-	-	-	-	12																							
59	再処理施設	精製建屋	膨張ボット ⁷ ミスタ	✓		○	-	-	●(③-1)	○	-	△	○	△	○(②)	-	○	-	△(①)	△	○(①-2)	-	△	-	-	-	-	-	-	-	12																								
別紙1-27	60	再処理施設	ウラン・プルトニウム混合脱硝建屋	廃ガス第2冷却器	✓		○	-	-	●(③-1)	○	-	△	○	△	○(②)	-	○	-	△(①)	△	●(②)	-	○	-	-	-	○	-	-	13																								
	61	再処理施設	高レベル廃液ガラス固化建屋	デミスタ	✓		○	●(①-2)	-	●(③-1)	○	-	△	○	△	○(②)	-	●(④)	-	△(①)	△	●(④)	-	△	-	-	-	-	-	-	14																								
	62	再処理施設	高レベル廃液ガラス固化建屋	デミスタ	✓	☆	○	●(①-2)	-	○	○	-	△	○	△	○(②)	-	●(②)	-	△(①)	△	●(②)	-	△	-	-	-	-	-	○(①-1)	-	14																							
	63	再処理施設	高レベル廃液ガラス固化建屋	高レベル廃液混合槽A, B凝縮器	✓		○	-	-	○	○	-	△	○	△	○(②)	-	○	-	△(①)	△	○(①-2)	-	△	-	-	-	-	-	○(①-1)	-	13																							
	64	再処理施設	高レベル廃液ガラス固化建屋	70%濃縮廃液中和槽凝縮器	✓		○	-	-	○	○	-	△	○	△	○(②)	-	○	-	△(①)	△	○(①-2)	-	△	-	-	-	-	-	○(①-1)	-	13																							
	65	再処理施設	高レベル廃液ガラス固化建屋	供給液槽A, B凝縮器	✓		○	-	-	○	○	-	△	○	△	○(②)	-	○	-	△(①)	△	○(①-2)	-	△	-	-	-	-	-	○(①-1)	-	13																							
	66	再処理施設	分離建屋	抽出塔エアリフト ⁷ A分離ボット 第1洗浄塔エアリフト ⁷ A分離ボット	✓		○	-	-	○	○	-	△	○	△	○(②)	-	○	-	△(①)	△	○(①-2)	-	△	-	-	-	-	-	-	-	12																							
	67	再処理施設	分離建屋	第2洗浄塔エアリフト ⁷ A分離ボット	✓		○	-	-	○	○	-	△	○	△	○(②)	-	○	-	△(①)	△	○(①-2)	-	△	-	-	-	-	-	-	-	12																							
別紙1-28	68	再処理施設	分離建屋	70%洗浄塔エアリフト ⁷ A分離ボット	✓		○	-	-	○	-	△	○	△	○(②)	-	○	-	△(①)	△	○(①-2)	-	△	-	-	-	-	-	-	-	12																								
	69	再処理施設	分離建屋	TBP洗浄塔エアリフト ⁷ A分離ボット	✓		○	-	-	○	○	-	△	○	△	○(②)	-	○	-	△(①)	△	○(①-2)	-	△	-	-	-	-	-	-	-	12																							

類型化分類ごとの代表設備選定結果
(定型式(2)軸直角方向支持容器)

類型化分類	別紙番号	番号	施設区分	設置場所	設備名称	設工認申請分割申請状況 (✓は申請対象設備)	代表設備又は差込設説明を行う設備	①事業変更許可申請書の記載内容のうち当社特有の説明事項										②新規制基準における追加要求に係る説明事項										③評価内容及び既設工認からの変更点に係る説明事項										④その他先行発電プラントの審査実績を踏まえた説明事項等										計
								一関東評価用地震動(鉛直)に対する影響確認	重大事故評価における許容限界等の適用	可搬型SA設備等の耐震計算方針	既設工認からの変更点	水平2方向及び鉛直方向地震力の組合せに関する設備の抽出及び考え方	鉛直方向の動的地震力考慮による設備の浮き上がり等の影響	動的地震力のSRSS法による組合せ	下位クラス施設の波及的影響の検討	Sd評価結果の記載方法	耐な設備の固有周期の算出	配管系の評価手法	材料物性のばらつき	動的機能維持評価手法の適用	新たに適用した減衰定数	機電設備の耐震計算書の作成	隣接建屋の影響に対する影響確認	地震荷重と事故時荷重との組合せ	機器と配管の相対変位に対する設計上の扱い	計算機プログラム(解析コード)の概要	電気盤等の機能維持評価に適用する水平方向の評価用地震力	等価繰返し回数の妥当性確認	屋内設備に対するアンカー一定着部の評価	機器の耐震計算における既設工認からの計算式の変更点	液状化に伴う機電設備の影響確認	ダクト評価で用いる補正係数、安全係数の設定根拠																
								後次回申請	耐震機電12	後次回	後次回	耐震機電13	耐震機電10	耐震機電01	耐震機電02	耐震機電03	耐震機電09	耐震機電17	耐震機電16	耐震機電11	耐震機電14	耐震機電18	耐震機電19	耐震機電21	耐震機電22	耐震機電23	耐震建物29	後次回	後次回	後次回	後次回	後次回	後次回															
定型式 (2) 軸直角方向 支持容器	別紙1-28	70	再処理施設	分離建屋	ベータ廃炉Aミスタ	✓		○	-	-	○	○	-	△	○	△	○(②)	-	○	-	△(①)	△	○(①-2)	-	△	-	-	○	-	-	-	-	-	-	13													
		71	再処理施設	分離建屋	補助抽出器エアリフトポンプ分離ポット	✓		○	-	-	●(①-2)	○	-	△	-	-	○(②)	-	○	-	△(①)	△	○(①-2)	-	△	-	-	-	-	-	-	-	-	-	10													
		72	再処理施設	分離建屋	補助抽出器予備エアリフトポンプ分離ポット	✓		○	-	-	●(①-2)	○	-	△	-	-	○(②)	-	○	-	△(①)	△	○(①-2)	-	△	-	-	-	-	-	-	-	-	-	-	10												
		73	再処理施設	分離建屋	第2アルファモニタ第1エアリフトポンプ分離ポット	✓		○	-	-	●(①-2)	○	-	△	-	-	○(②)	-	○	-	△(①)	△	○(①-2)	-	△	-	-	-	-	-	-	-	-	-	-	10												
		74	再処理施設	分離建屋	ガンマモニタ第2エアリフトポンプ分離ポット	✓		○	-	-	●(①-2)	○	-	△	-	-	○(②)	-	○	-	△(①)	△	○(①-2)	-	△	-	-	-	-	-	-	-	-	-	-	10												
		75	再処理施設	分離建屋	ガンマモニタ第1エアリフトポンプ分離ポット	✓		○	-	-	●(①-2)	○	-	△	-	-	○(②)	-	○	-	△(①)	△	○(①-2)	-	△	-	-	-	-	-	-	-	-	-	-	10												
		76	再処理施設	分離建屋	第2アルファモニタ第2エアリフトポンプデミスタ	✓		○	-	-	●(①-2)	○	-	△	-	-	○(②)	-	○	-	△(①)	△	○(①-2)	-	△	-	-	-	-	-	-	-	-	-	-	10												
		77	再処理施設	分離建屋	第5一時貯留処理槽第2エアリフトポンプデミスタ	✓		○	-	-	●(①-2)	○	-	△	-	-	○(②)	-	○	-	△(①)	△	○(①-2)	-	△	-	-	-	-	-	-	-	-	-	-	10												
	78	再処理施設	分離建屋	プルトニウム分配塔エアリフトポンプA分離ポット	✓		○	-	-	●(①-2)	○	-	△	-	-	○(②)	-	○	-	△(①)	△	○(①-2)	-	△	-	-	-	-	-	-	-	-	-	-	10													
	79	再処理施設	精製建屋	抽出塔流量計測ポットエアリフトポンプ分離ポット 核分裂生成物洗浄塔流量計測ポットエアリフトポンプ分離ポット タンク洗浄塔流量計測ポットA第2エアリフトポンプ分離ポット タンク洗浄塔流量計測ポットA第1エアリフトポンプ分離ポット	✓		○	-	-	●(③-1)	○	-	△	○	△	○(②)	-	○	-	△(①)	△	○(①-2)	-	△	-	-	-	-	-	-	-	-	-	-	-	12												
	80	再処理施設	精製建屋	第3一時貯留処理槽第2エアリフトポンプAデミスタ 逆抽出塔エアリフトポンプBデミスタ タンク洗浄塔流量計測ポットAエアリフトポンプデミスタ タンク洗浄塔エアリフトポンプAデミスタ TBP洗浄器エアリフトポンプデミスタ 補助油水分離槽ライジングポットエアリフトポンプデミスタ 補助油水分離槽デミスタ	✓		○	-	-	●(③-1)	○	-	△	○	△	○(②)	-	○	-	△(①)	△	○(①-2)	-	△	-	-	-	-	-	-	-	-	-	-	-	12												
	81	再処理施設	精製建屋	抽出塔流量計測ポットエアリフトポンプデミスタ 核分裂生成物洗浄塔流量計測ポットエアリフトポンプデミスタ 核分裂生成物洗浄塔エアリフトポンプAデミスタ 希釈槽第2エアリフトポンプDデミスタ	✓		○	-	-	●(③-1)	○	-	△	○	△	○(②)	-	○	-	△(①)	△	○(①-2)	-	△	-	-	-	-	-	-	-	-	-	-	-	12												
	82	再処理施設	精製建屋	逆抽出塔流量計測ポットエアリフトポンプ分離ポット	✓		-	-	-	●(①-2)	○	-	△	-	-	○(②)	-	-	-	△(①)	△	-	△	-	-	-	-	-	-	-	-	-	-	-	7													
	83	再処理施設	前処理建屋	中間ポットA, B擺付サイホンデミスタ	✓		-	-	-	●(①-2)	○	-	△	-	-	○(②)	-	-	-	△(①)	△	-	△	-	-	-	-	-	-	-	-	-	-	-	7													
	84	再処理施設	前処理建屋	計量・調整槽#1(お1)分離ポット 計量・調整槽#1(お2)分離ポット 計量・調整槽#1(お3)分離ポット 計量・調整槽#1(お4)分離ポット 計量・調整槽#1(お5)分離ポット 計量・調整槽#1(お1)分離ポット 計量・調整槽#1(お2)分離ポット 計量・調整槽#1(お3)分離ポット	✓		●(②)	-	-	●(③-1)	○	-	△	○	△	○(②)	-	●(②)	-	△(①)	△	●(②)	-	△	-	-	-	-	-	-	-	-	-	-	-	12												
	85	再処理施設	前処理建屋	計量・調整槽#1(お6A)分離ポット 計量・調整槽#1(お6B)分離ポット 計量・調整槽#1(お6A)分離ポット 計量・調整槽#1(お6B)分離ポット	✓		●(②)	-	-	●(③-1)	○	-	△	○	△	○(②)	-	●(②)	-	△(①)	△	●(②)	-	△	-	-	-	-	-	-	-	-	-	-	-	12												
	86	再処理施設	前処理建屋	計量・調整槽#1(お4,5)分離ポット	✓		●(②)	-	-	●(③-1)	○	-	△	○	△	○(②)	-	●(②)	-	△(①)	△	●(②)	-	△	-	-	-	-	-	-	-	-	-	-	-	12												
	87	再処理施設	分離建屋	抽出塔エアリフトポンプB分離ポット 予備抽出塔エアリフトポンプB分離ポット	✓		○	-	-	○	○	-	△	○	△	○(②)	-	○	-	△(①)	△	○(①-2)	-	△	-	-	-	-	-	-	-	-	-	-	-	12												
	88	再処理施設	分離建屋	抽出塔エアリフトポンプC分離ポット	✓		○	-	-	○	○	-	△	○	△	○(②)	-	○	-	△(①)	△	○(①-2)	-	△	-	-	-	-	-	-	-	-	-	-	-	12												
	89	再処理施設	分離建屋	抽出塔エアリフトポンプD分離ポット	✓		○	-	-	○	○	-	△	○	△	○(②)	-	○	-	△(①)	△	○(①-2)	-	△	-	-	-	-	-	-	-	-	-	-	-	12												
	90	再処理施設	分離建屋	抽出塔エアリフトポンプE分離ポット	✓		○	-	-	○	○	-	△	○	△	○(②)	-	○	-	△(①)	△	○(①-2)	-	△	-	-	-	-	-	-	-	-	-	-	-	12												
	91	再処理施設	分離建屋	第1洗浄塔エアリフトポンプB分離ポット	✓		○	-	-	○	○	-	△	○	△	○(②)	-	○	-	△(①)	△	○(①-2)	-	△	-	-	-	-	-	-	-	-	-	-	-	12												
	92	再処理施設	分離建屋	第1洗浄塔エアリフトポンプD分離ポット	✓		○	-	-	○	○	-	△	○	△	○(②)	-	○	-	△(①)	△	○(①-2)	-	△	-	-	-	-	-	-	-	-	-	-	-	12												
	93	再処理施設	分離建屋	第2洗浄塔エアリフトポンプD分離ポット	✓		○	-	-	○	○	-	△	○	△	○(②)	-	○	-	△(①)	△	○(①-2)	-	△	-	-	-	-	-	-	-	-	-	-	-	12												
94	再処理施設	分離建屋	プルトニウム分配塔エアリフトポンプB分離ポット タンク洗浄塔エアリフトポンプB分離ポット	✓		○	-	-	○	○	-	△	○	△	○(②)	-	○	-	△(①)	△	○(①-2)	-	△	-	-	-	-	-	-	-	-	-	-	-	12													
95	再処理施設	分離建屋	プルトニウム分配塔エアリフトポンプC分離ポット タンク洗浄塔エアリフトポンプC分離ポット	✓		○	-	-	○	○	-	△	○	△	○(②)	-	○	-	△(①)	△	○(①-2)	-	△	-	-	-	-	-	-	-	-	-	-	-	12													
96	再処理施設	分離建屋	TBP洗浄塔エアリフトポンプB, C分離ポット	✓		○	-	-	○	○	-	△	○	△	○(②)	-	○	-	△(①)	△	○(①-2)	-	△	-	-	-	-	-	-	-	-	-	-	-	12													

類型化分類ごとの代表設備選定結果
(定型式(2)軸直角方向支持容器)

類型化分類	別紙番号	番号	施設区分	設置場所	設備名称	設計申請 分割申請状況 (✓は申請対象設備)	代表設備又は 差分校説明を行う設備	①事業変更許可申請書の記載内容のうち 当社特有の説明事項		②新規基準 における追加要求に 係る説明事項	③評価内容 及び既設工 認からの変更 点に係る説明事項	④その他先行発電プラントの審査実績を踏まえた説明事項等																		計														
								一開東評 用地震動(鉛 直)に対する 影響確認	重大事故評 価における 許容限界等 の適用			可搬型SA設 備等の耐震 計算方針	既設工認か らの変更点	水平2方向及 び鉛直方向 地震力の組 合せに関する 設備の引き 上げ等 の影響	鉛直方向の 地震力考 慮による 設備の浮き 上がり等 の影響	動的地震力 のSRS法に よる組合せ	下位クラス 施設の影響 的検討	S4評価結 果の記載方 法	副な設備の 固有周期の 算出	配管系の評 価手法	材料物性 のばらつき	動的機能維 持評価手法 の適用	新たに適用 した減衰定 数	機電設備の 耐震計算書 の作成	隣接建屋の 影響に 対する 影響確認	地震荷重と 事故時荷重 との組合せ	機器と配管 の相対変位 に対する設 計上の扱い	計算機プロ グラム(解 析コード) の概要	電気盤等の 機能維持評 価に 適用する 水平方向 の評価用 地震力		等価繰返 し 回数 の 妥 当 性 確 認	屋内設備に 対するアン カー 部 の 評 価	機器の耐震 計算におけ る既設工認 からの計算 式の変更点	液化に伴 う機電設備 の影響確認	ダクト評価 で用いる補 正係数、安 全係数の設 定根拠									
								耐震機電12	後次回			後次回	耐震機電13	耐震機電10	耐震機電01	耐震機電02	耐震機電03	耐震機電09	耐震機電17	耐震機電16	耐震機電11	耐震機電14	耐震機電18	耐震機電19	耐震機電21	耐震機電22	耐震機電23	耐震建物29	後次回		後次回	後次回	後次回	後次回	後次回									
定型式 (2) 軸直角方向 支持容器	別紙1-24	97	再処理施設	分離建屋	TBP洗浄塔「F7」分棟ボット	✓					○	-	-	○	○	-	△	○	△	○(2)	-	○	-	-	△(1)	△	○(1-2)	-	△	-	-	-	-	-	-	-	-	-	12					
		98	再処理施設	分離建屋	TBP洗浄塔「F8」分棟ボット	✓					○	-	-	○	○	-	△	○	△	○(2)	-	○	-	-	-	△(1)	△	○(1-2)	-	△	-	-	-	-	-	-	-	-	-	12				
		99	再処理施設	分離建屋	溶解液供給槽「F7」A/ライミ 溶解液供給槽「F7」A/ライミ	✓					○	-	-	○	○	-	△	○	△	○(2)	-	○	-	-	-	△(1)	△	○(1-2)	-	△	-	-	-	-	-	-	-	-	-	-	12			
		100	再処理施設	分離建屋	溶解液供給槽「F8」B/ライミ 溶解液供給槽「F8」B/ライミ	✓					○	-	-	○	○	-	△	○	△	○(2)	-	○	-	-	-	△(1)	△	○(1-2)	-	△	-	-	-	-	-	-	-	-	-	-	12			
		101	再処理施設	分離建屋	第1洗浄塔「F7」分棟ボット	✓					○	-	-	○	○	-	△	○	△	○(2)	-	○	-	-	-	△(1)	△	○(1-2)	-	△	-	-	-	-	-	-	-	-	-	-	12			
		102	再処理施設	分離建屋	アルファ溶液TBP洗浄槽「F7」分棟ボット	✓					○	-	-	○	○	-	△	○	△	○(2)	-	○	-	-	-	△(1)	△	○(1-2)	-	△	-	-	-	-	-	-	-	-	-	-	12			
		103	再処理施設	分離建屋	アルファ溶液中間槽「F7」A,B/ライミ ボット	✓					○	-	-	○	○	-	△	○	△	○(2)	-	○	-	-	-	△(1)	△	○(1-2)	-	△	-	-	-	-	-	-	-	-	-	-	-	12		
		104	再処理施設	分離建屋	溶解液供給槽「F7」A/ライミ 溶解液供給槽「F7」A/ライミ 溶解液供給槽「F7」A/ライミ	✓					○	-	-	○	○	-	△	○	△	○(2)	-	○	-	-	-	△(1)	△	○(1-2)	-	△	-	-	-	-	-	-	-	-	-	-	-	12		
		105	再処理施設	分離建屋	抽出塔流量計測ボット 抽出塔流量計測ボットC TBP洗浄塔流量計測ボットA	✓					○	-	-	○	○	-	△	○	△	○(2)	-	○	-	-	-	△(1)	△	○(1-2)	-	△	-	-	-	-	-	-	-	-	-	-	-	12		
		106	再処理施設	分離建屋	第1洗浄塔流量計測ボットB	✓					○	-	-	○	○	-	△	○	△	○(2)	-	○	-	-	-	△(1)	△	○(1-2)	-	△	-	-	-	-	-	-	-	-	-	-	-	12		
		107	再処理施設	分離建屋	アルファ分配塔流量計測ボットB	✓					○	-	-	○	○	-	△	○	△	○(2)	-	○	-	-	-	△(1)	△	○(1-2)	-	△	-	-	-	-	-	-	-	-	-	-	-	12		
		108	再処理施設	分離建屋	ウラン洗浄塔流量計測ボットB	✓					○	-	-	○	○	-	△	○	△	○(2)	-	○	-	-	-	△(1)	△	○(1-2)	-	△	-	-	-	-	-	-	-	-	-	-	-	12		
		109	再処理施設	分離建屋	第1一時貯留処理槽「F7」分棟ボット	✓					○	-	-	○	○	-	△	○	△	○(2)	-	○	-	-	-	△(1)	△	○(1-2)	-	△	-	-	-	-	-	-	-	-	-	-	-	12		
		110	再処理施設	分離建屋	第7一時貯留処理槽「F7」分棟ボット	✓					○	-	-	○	○	-	△	○	△	○(2)	-	○	-	-	-	△(1)	△	○(1-2)	-	△	-	-	-	-	-	-	-	-	-	-	-	12		
		111	再処理施設	分離建屋	第8一時貯留処理槽「F7」分棟ボット	✓					○	-	-	○	○	-	△	○	△	○(2)	-	○	-	-	-	△(1)	△	○(1-2)	-	△	-	-	-	-	-	-	-	-	-	-	-	12		
		112	再処理施設	分離建屋	第2一時貯留処理槽「F7」分棟ボット	✓					○	-	-	○	○	-	△	○	△	○(2)	-	○	-	-	-	△(1)	△	○(1-2)	-	△	-	-	-	-	-	-	-	-	-	-	-	12		
		113	再処理施設	分離建屋	第3、第4一時貯留処理槽第1「F7」分棟ボット	✓					○	-	-	○	○	-	△	○	△	○(2)	-	○	-	-	-	△(1)	△	○(1-2)	-	△	-	-	-	-	-	-	-	-	-	-	-	12		
		114	再処理施設	分離建屋	第3一時貯留処理槽第2「F7」分棟ボット 第3一時貯留処理槽第2「F7」分棟ボット 第4一時貯留処理槽第2「F7」分棟ボット 第4一時貯留処理槽第2「F7」分棟ボット	✓					○	-	-	○	○	-	△	○	△	○(2)	-	○	-	-	-	△(1)	△	○(1-2)	-	△	-	-	-	-	-	-	-	-	-	-	-	-	12	
		115	再処理施設	分離建屋	第3一時貯留処理槽流量計測ボット 第3一時貯留処理槽流量計測ボット	✓					○	-	-	○	○	-	△	○	△	○(2)	-	○	-	-	-	△(1)	△	○(1-2)	-	△	-	-	-	-	-	-	-	-	-	-	-	-	12	
		116	再処理施設	分離建屋	第2アルファモニタサイホン分離ボット	✓					○	-	-	●(1-2)	○	-	△	-	-	○(2)	-	○	-	-	-	△(1)	△	○(1-2)	-	△	-	-	-	-	-	-	-	-	-	-	-	10		
		117	再処理施設	分離建屋	ガンマモニタサイホン分離ボット	✓					○	-	-	●(1-2)	○	-	△	-	-	○(2)	-	○	-	-	-	△(1)	△	○(1-2)	-	△	-	-	-	-	-	-	-	-	-	-	-	10		
		118	再処理施設	分離建屋	溶解液供給槽「F7」A/ライミ ボット	✓					○	-	-	●(1-2)	○	-	△	-	-	○(2)	-	○	-	-	-	△(1)	△	○(1-2)	-	△	-	-	-	-	-	-	-	-	-	-	-	10		
		119	再処理施設	分離建屋	溶解液供給槽「F7」B/ライミ ボット	✓					○	-	-	●(1-2)	○	-	△	-	-	○(2)	-	○	-	-	-	△(1)	△	○(1-2)	-	△	-	-	-	-	-	-	-	-	-	-	-	10		
		120	再処理施設	分離建屋	予備ウラン濃縮機サイホン分離ボット	✓					○	-	-	●(1-2)	○	-	△	-	-	○(2)	-	○	-	-	-	△(1)	△	○(1-2)	-	△	-	-	-	-	-	-	-	-	-	-	-	10		
		121	再処理施設	分離建屋	第2アルファモニタ流量計測ボット	✓					○	-	-	●(1-2)	○	-	△	-	-	○(2)	-	○	-	-	-	△(1)	△	○(1-2)	-	△	-	-	-	-	-	-	-	-	-	-	-	10		
		122	再処理施設	分離建屋	第2アルファモニタサイホンライ ミボット	✓					○	-	-	●(1-2)	○	-	△	-	-	○(2)	-	○	-	-	-	△(1)	△	○(1-2)	-	△	-	-	-	-	-	-	-	-	-	-	-	10		
		123	再処理施設	分離建屋	第2洗浄塔流量計測ボットB	✓					○	-	-	●(1-2)	○	-	△	○	-	○(2)	-	○	-	-	-	△(1)	△	○(1-2)	-	△	-	-	-	-	-	-	-	-	-	-	-	11		
		124	再処理施設	精製建屋	第3一時貯留処理槽第1「F7」A分 棟ボット 第3一時貯留処理槽第2「F7」A分 棟ボット 第7一時貯留処理槽第1「F7」A分 棟ボット	✓					○	-	-	●(3-1)	○	-	△	○	△	○(2)	-	○	-	-	-	△(1)	△	○(1-2)	-	△	-	-	-	-	-	-	-	-	-	-	-	-	12	
		125	再処理施設	精製建屋	第3一時貯留処理槽「F7」B分棟ボット	✓					○	-	-	●(3-1)	○	-	△	○	△	○(2)	-	○	-	-	-	△(1)	△	○(1-2)	-	△	-	-	-	-	-	-	-	-	-	-	-	-	12	
		126	再処理施設	精製建屋	第7一時貯留処理槽「F7」B分棟ボット	✓					○	-	-	●(3-1)	○	-	△	○	△	○(2)	-	○	-	-	-	△(1)	△	○(1-2)	-	△	-	-	-	-	-	-	-	-	-	-	-	-	12	
		127	再処理施設	精製建屋	アルファ溶液供給槽「F7」A分 棟ボット 第2洗浄塔「F7」B分棟ボット アルファ溶液供給槽「F7」B分 棟ボット 第2洗浄塔「F7」B分棟ボット 第2洗浄塔「F7」B分棟ボット 第2洗浄塔「F7」B分棟ボット 第2洗浄塔「F7」B分棟ボット	✓					○	-	-	●(3-1)	○	-	△	○	△	○(2)	-	○	-	-	-	△(1)	△	○(1-2)	-	△	-	-	-	-	-	-	-	-	-	-	-	-	-	12

類型化分類ごとの代表設備選定結果
(定型式(2)軸直角方向支持容器)

類型化分類	別紙番号	番号	施設区分	設置場所	設備名称	設工認申請 分割申請状況 (✓は申請 対象設備)	代表設備又は 差込設説明を行う設 備	①事業変更許可申請書の記載内容のうち 当社特有の説明事項		②新規制基 準における 追加要求に 係る説明事 項	④その他先行発電プラントの審査実績を踏まえた説明事項等																	計							
								一開東詳備 用地震動(鉛 直)に対する 影響確認	重大事故詳 備における 許容限界等 の適用	可搬型SA設 備等の耐震 計算方針	既設工認か らの変更点	水平2方向及 び鉛直方向 地震力の組 合せに関する 設備の抽出 及び考え方	鉛直方向の 動的地震力 考慮による 設備の浮き 上がり等の 影響	動的地震力 のSRSS法に よる組合せ	下位クラス 施設の波及 的影響の検 討	S4評価結果 の記載方法	副な設備の 固有周期の 算出	配管系の評 価手法	材料物性 のばらつき	動的機能維 持評価手法 の適用	新たに適用 した減衰定 数	機電設備の 耐震計算書 の作成	隣接建屋の 影響に対す る影響確認	地震荷重と 事故時荷重 との組合せ	機器と配管 の相対変位 に対する設 計上の扱い	計算機プロ グラム(解 析コード)の 概要	電気盤等の 機能維持評 価に適用す る水平方向 の評価用地 震力		等価繰返し 回数に妥当 性確認	屋内設備に 対するアン カー着部 の評価	機器の耐震 計算におけ る既設工認 からの計算 式の変更点	液状化に伴 う機電設備 の影響確認	ダクト評価 で用いる補 正係数、安 全係数の設 定根拠		
								後次回申請	後次回	後次回	耐震機電13	耐震機電10	耐震機電01	耐震機電02	耐震機電03	耐震機電09	耐震機電17	耐震機電16	耐震機電11	耐震機電14	耐震機電18	耐震機電19	耐震機電21	耐震機電22	耐震機電23	耐震機電29	後次回		後次回	後次回	後次回	後次回	後次回	後次回	
定型式 (2) 軸直角方向 支持容器	別紙1-24	128	再処理施設	精製建屋	アトニム溶液供給槽第1エアリフトポンプB分離ダクト アトニム溶液供給槽第2エアリフトポンプB分離ダクト 第1酸化塔第1エアリフトポンプ分離ダクト 第1酸化塔第2エアリフトポンプ分離ダクト 第1脱ガス塔第1エアリフトポンプ分離ダクト 第1脱ガス塔第2エアリフトポンプ分離ダクト 抽出塔エアリフトポンプA分離ダクト 核分裂生成物洗浄塔エアリフトポンプB分離ダクト 逆抽出塔エアリフトポンプA分離ダクト 油水分離槽エアリフトポンプA分離ダクト	✓		○	-	-	●(③-1)	○	-	△	○	△	○(②)	-	○	-	△(①)	△	○(①-2)	-	△	-	-	-	-	-	-	-	-	12	
		129	再処理施設	精製建屋	核分裂生成物洗浄塔エアリフトポンプA分離ダクト 逆抽出塔エアリフトポンプB分離ダクト ウラン洗浄塔エアリフトポンプA分離ダクト ウラン洗浄塔エアリフトポンプB分離ダクト TBP洗浄器エアリフトポンプ分離ダクト 補助油水分離槽ライジングダクトエアリフトポンプ分離ダクト 第2酸化塔エアリフトポンプ分離ダクト 第2脱ガス塔エアリフトポンプA分離ダクト 油分リサイクルエアリフトポンプ分離ダクト アトニム濃縮缶供給槽第1エアリフトポンプA分離ダクト アトニム濃縮缶供給槽第2エアリフトポンプA分離ダクト	✓		○	-	-	●(③-1)	○	-	△	○	△	○(②)	-	○	-	△(①)	△	○(①-2)	-	△	-	-	-	-	-	-	-	-	-	12
		130	再処理施設	精製建屋	油水分離槽エアリフトポンプB分離ダクト	✓		○	-	-	●(③-1)	○	-	△	○	△	○(②)	-	○	-	△(①)	△	○(①-2)	-	△	-	-	-	-	-	-	-	-	12	
		131	再処理施設	精製建屋	アトニム溶液槽	✓		○	-	-	●(③-1)	○	-	△	○	△	○(②)	-	○	-	△(①)	△	○(①-2)	-	△	-	-	-	-	-	-	-	-	12	
		132	再処理施設	精製建屋	第1脱ガス塔第1ライジングダクト	✓		○	-	-	●(③-1)	○	-	△	○	△	○(②)	-	○	-	△(①)	△	○(①-2)	-	△	-	-	-	-	-	-	-	-	12	
		133	再処理施設	精製建屋	第1脱ガス塔第2ライジングダクト	✓		○	-	-	●(③-1)	○	-	△	○	△	○(②)	-	○	-	△(①)	△	○(①-2)	-	△	-	-	-	-	-	-	-	12		
		134	再処理施設	精製建屋	TBP洗浄器付体ダクトA	✓		○	-	-	●(③-1)	○	-	△	○	△	○(②)	-	○	-	△(①)	△	○(①-2)	-	△	-	-	-	-	-	-	-	12		
		135	再処理施設	精製建屋	TBP洗浄器付体ダクトB	✓		○	-	-	●(③-1)	○	-	△	○	△	○(②)	-	○	-	△(①)	△	○(①-2)	-	△	-	-	-	-	-	-	-	12		
		136	再処理施設	精製建屋	第2脱ガス塔ライジングダクトB	✓		○	-	-	●(③-1)	○	-	△	○	△	○(②)	-	○	-	△(①)	△	○(①-2)	-	△	-	-	-	-	-	-	-	12		
		137	再処理施設	精製建屋	油水分離槽付体Aライジングダクト アトニム濃縮缶付体Aライジングダクト アトニム濃縮缶付体Bライジングダクト	✓		○	-	-	●(③-1)	○	-	△	○	△	○(②)	-	○	-	△(①)	△	○(①-2)	-	△	-	-	-	-	-	-	-	12		
		138	再処理施設	精製建屋	油分リサイクルダクト	✓		○	-	-	●(③-1)	○	-	△	○	△	○(②)	-	○	-	△(①)	△	○(①-2)	-	△	-	-	-	-	-	-	-	12		
		139	再処理施設	精製建屋	抽出塔供給流量計測ダクトA ウラン洗浄塔供給流量計測ダクト 補助油水分離槽供給流量計測ダクト	✓		○	-	-	●(③-1)	○	-	△	○	△	○(②)	-	○	-	△(①)	△	○(①-2)	-	△	-	-	-	-	-	-	-	12		
		140	再処理施設	精製建屋	抽出塔流量計測ダクト	✓		○	-	-	●(③-1)	○	-	△	○	△	○(②)	-	○	-	△(①)	△	○(①-2)	-	△	-	-	-	-	-	-	-	12		
		141	再処理施設	精製建屋	核分裂生成物洗浄流量計測ダクト	✓		○	-	-	●(③-1)	○	-	△	○	△	○(②)	-	○	-	△(①)	△	○(①-2)	-	△	-	-	-	-	-	-	-	12		
		142	再処理施設	精製建屋	抽出塔供給流量計測ダクトB	✓		○	-	-	●(③-1)	○	-	△	○	△	○(②)	-	○	-	△(①)	△	○(①-2)	-	△	-	-	-	-	-	-	-	12		
		143	再処理施設	精製建屋	ウラン洗浄塔流量計測ダクトA	✓		○	-	-	●(③-1)	○	-	△	○	△	○(②)	-	○	-	△(①)	△	○(①-2)	-	△	-	-	-	-	-	-	-	12		
		144	再処理施設	精製建屋	アトニム濃縮缶付体A,B分離ダクト	✓		○	-	-	●(③-1)	○	-	△	○	△	○(②)	-	○	-	△(①)	△	○(①-2)	-	△	-	-	-	-	-	-	-	12		
		145	再処理施設	精製建屋	アトニム濃縮缶供給槽ライジングダクト	✓		○	-	-	●(③-1)	○	-	△	○	△	○(②)	-	○	-	△(①)	△	○(①-2)	-	△	-	-	-	-	-	-	-	12		
		146	再処理施設	精製建屋	アトニム濃縮缶供給槽付体A,Bライジングダクト	✓		○	-	-	●(③-1)	○	-	△	○	△	○(②)	-	○	-	△(①)	△	○(①-2)	-	△	-	-	-	-	-	-	-	12		
		147	再処理施設	精製建屋	TBP洗浄塔供給流量計測ダクト	✓		-	-	-	●(①-2)	○	-	△	○	-	○(②)	-	-	-	△(①)	△	-	-	△	-	-	-	-	-	-	-	8		
		148	再処理施設	精製建屋	逆抽出塔流量計測ダクト	✓		-	-	-	-	○	-	△	○	-	○(②)	-	-	-	△(①)	△	-	-	△	-	-	-	-	-	-	-	7		
		149	再処理施設	精製建屋	逆抽出塔流量計測ダクトバックアップチューブ	✓		-	-	-	●(①-2)	○	-	△	○	-	○(②)	-	-	-	△(①)	△	-	-	△	-	-	-	-	-	-	-	8		
		150	再処理施設	精製建屋	アトニム濃縮液受槽付体ライジングエアリフトポンプ分離ダクト	✓		-	-	-	-	○	-	△	○	-	○(②)	-	-	-	△(①)	△	-	-	△	-	-	-	-	-	-	-	7		
		151	再処理施設	精製建屋	リサイクル槽付体エアリフトポンプ分離ダクト	✓		-	-	-	-	○	-	△	○	-	○(②)	-	-	-	△(①)	△	-	-	△	-	-	-	-	-	-	-	7		
		152	再処理施設	精製建屋	アトニム濃縮液一時貯槽付体エアリフトポンプ分離ダクト	✓		-	-	-	-	○	-	△	○	-	○(②)	-	-	-	△(①)	△	-	-	△	-	-	-	-	-	-	-	7		
		153	再処理施設	精製建屋	アトニム濃縮液計量槽付体エアリフトポンプ2分離ダクト	✓		-	-	-	-	○	-	△	○	-	○(②)	-	-	-	△(①)	△	-	-	△	-	-	-	-	-	-	-	7		
		154	再処理施設	精製建屋	アトニム濃縮液中間貯槽付体エアリフトポンプ分離ダクト	✓		-	-	-	-	○	-	△	○	-	○(②)	-	-	-	△(①)	△	-	-	△	-	-	-	-	-	-	-	7		
		155	再処理施設	精製建屋	第3一時貯留処理槽付体エアリフトポンプ分離ダクト	✓		-	-	-	-	○	-	△	○	-	○(②)	-	-	-	△(①)	△	-	-	△	-	-	-	-	-	-	-	7		
156	再処理施設	精製建屋	アトニム濃縮液受槽付体エアリフトポンプ分離ダクト	✓		-	-	-	-	○	-	△	○	-	○(②)	-	-	-	△(①)	△	-	-	△	-	-	-	-	-	-	-	7				
157	再処理施設	精製建屋	油水分離槽付体エアリフトポンプ分離ダクト	✓		-	-	-	-	○	-	△	○	-	○(②)	-	-	-	△(①)	△	-	-	△	-	-	-	-	-	-	-	7				

類型化分類ごとの代表設備選定結果
(定型式 (2) 軸直角方向支持容器)

類型化分類	別紙番号	番号	施設区分	設置場所	設備名称	設工認申請分割申請状況 (✓は申請対象設備)	代表設備又は差分設説明を行う設備	①事業変更許可申請書の記載内容のうち当社特有の説明事項																④その他先行発電プラントの審査実績を踏まえた説明事項等																計
								①事業変更許可申請書の記載内容のうち当社特有の説明事項			②新規制基準における追加要求に係る説明事項		③評価内容及び既設工認からの変更点に係る説明事項		④その他先行発電プラントの審査実績を踏まえた説明事項等																									
								一開東評価用地震動(鉛直)に対する影響確認	重大事故評価における許容限界等の適用	可搬型SA設備等の耐震計算方針	既設工認からの変更点	水平2方向及び鉛直方向地震力の組合せに関する設備の抽出及び考え方	鉛直方向の動的地震力考慮による設備の浮き上がり等の影響	動的地震力のSRS法による組合せ	下位クラス施設の波及的影響の検討	S4評価結果の記載方法	剛な設備の固有周期の算出	配管系の評価手法	材料物性のばらつき	動的機能維持評価手法の適用	新たに適用した減衰定数	機電設備の耐震計算書の作成	隣接建屋の影響に対する影響確認	地震荷重と事故時荷重との組合せ	機器と配管の相対変位に対する設計上の扱い	計算機プログラム(解析コード)の概要	電気盤等の機能維持評価に適用する水平方向の評価用地震力	等価繰返し回数等の妥当性確認	屋内設備に対するアンカー一定着部の評価	機器の耐震計算における既設工認からの計算式の変更点	液化に伴う機電設備の影響確認	ダクト評価で用いる補正係数、安全係数の設定根拠								
耐震機電12	後次回	後次回	耐震機電13	耐震機電10	耐震機電01	耐震機電02	耐震機電03	耐震機電09	耐震機電17	耐震機電16	耐震機電11	耐震機電14	耐震機電18	耐震機電19	耐震機電21	耐震機電22	耐震機電23	耐震建物29	後次回	後次回	後次回	後次回	後次回	後次回	後次回															
定型式 (2) 軸直角方向 支持容器	別紙1-24	158	再処理施設	精製建屋	アクトカム濃縮缶供給槽用アリアフトポンプ分離ボット	✓		-	-	-	-	○	-	△	○	-	○(2)	-	-	-	△(1)	△	-	-	△	-	-	-	-	-	-	-	-	7						
		159	再処理施設	精製建屋	希釈槽用アリアフトポンプ分離ボット	✓		-	-	-	-	○	-	△	○	-	○(2)	-	-	-	△(1)	△	-	-	△	-	-	-	-	-	-	-	-	7						
		160	再処理施設	精製建屋	第1一時貯留処理槽用アリアフトポンプ分離ボット	✓		-	-	-	●(1-2)	○	-	△	○	-	○(2)	-	-	-	△(1)	△	-	-	△	-	-	-	-	-	-	-	-	8						
		161	再処理施設	精製建屋	第2一時貯留処理槽用アリアフトポンプ分離ボット	✓		-	-	-	-	○	-	△	○	-	○(2)	-	-	-	△(1)	△	-	-	△	-	-	-	-	-	-	-	-	7						
		162	再処理施設	精製建屋	アクトカム溶液一時貯留槽用アリアフトポンプ分離ボット	✓		-	-	-	-	○	-	△	○	-	○(2)	-	-	-	△(1)	△	-	-	△	-	-	-	-	-	-	-	-	7						
		163	再処理施設	高レベル廃液ガラス固化建屋	供給槽A, B気液分離器A, B	✓		○	-	-	○	○	-	△	○	△	○(2)	-	○	-	△(1)	△	○(1-2)	-	△	-	-	-	-	-	-	○(1-1)	-	13						
	164	再処理施設	前処理建屋	計量補助槽スチームジェットポンプ漏えい検知ボット	✓		-	-	-	●(1-2)	○	-	△	-	-	○(2)	-	-	-	△(1)	△	-	-	△	-	-	-	-	-	-	-	-	7							
	別紙1-43	165	再処理施設	精製建屋	第1酸化塔シボット	✓		○	-	-	●(3-1)	○	-	△	○	△	○(2)	-	○	-	△(1)	△	○(1-2)	-	△	-	-	-	-	-	-	-	12							
		166	再処理施設	精製建屋	第1脱ガス塔シボット	✓		○	-	-	●(3-1)	○	-	△	○	△	○(2)	-	○	-	△(1)	△	○(1-2)	-	△	-	-	-	-	-	-	-	12							
		167	再処理施設	精製建屋	第2酸化塔供給ボット	✓		○	-	-	●(3-1)	○	-	△	○	△	○(2)	-	○	-	△(1)	△	○(1-2)	-	△	-	-	-	-	-	-	-	-	12						
168		再処理施設	精製建屋	第2酸化塔シボット	✓		○	-	-	●(3-1)	○	-	△	○	△	○(2)	-	○	-	△(1)	△	○(1-2)	-	△	-	-	-	-	-	-	-	-	12							
169		再処理施設	精製建屋	第2脱ガス塔シボット	✓		○	-	-	●(3-1)	○	-	△	○	△	○(2)	-	○	-	△(1)	△	○(1-2)	-	△	-	-	-	-	-	-	-	-	12							

類型化分類ごとの代表設備選定結果
(定型式(3) ラグ支持たて置き円筒形容器)

類型化分類ごとの代表設備選定結果
(定型式(3)ラグ支持たて置き円筒形容器)

- ・本表では類型化分類における代表設備の選定結果について示す。
- ・選定に当たっては、本紙3.3項に示す方法により行うものとし、各設備に対して補足説明資料「耐震建物01「耐震評価対象の網羅性、既設工認との手法の相違点の整理について」に示す説明事項の該当項目を示した上で、分類における説明事項が網羅的となる設備を代表として選定する。

※ 本資料の目的は、6月24日のヒアリングにて指摘のあった類型化分類を用いた代表設備選定の過程を示す事であり、後次回申請にて示す類型化分類毎の代表設備選定結果に対するサンプルを示す。

【凡例】
 一：補足説明対象外
 △：検討対象設備/方針に対する説明を行う設備
 ○：検討対象設備/床応答スペクトルの重ね合わせ等により説明を行い、設備個別の検討結果をまでは示さず妥当性を示す設備
 ●：検討対象設備/補足説明資料にて設備個別の検討結果を用いて妥当性を示す設備
 ◎：説明代表設備
 ☆：差分説明を行う設備

類型化分類	別紙番号	番号	施設区分	設置場所	設備名称	設工認申請分割申請状況 (✓は申請対象設備)	代表設備又は差分説明を行う設備	①事業変更許可申請書の記載内容のうち当社特有の説明事項		②新規基準における追加要求に係る説明事項	③評価内容及び既設工認からの変更点に係る説明事項	④その他先行発電プラントの審査実績を踏まえた説明事項等																								計		
								一関東評価用地震動(鉛直)に対する影響確認	重大事故評価における許容限界等の適用			可搬型SA設備等の耐震計算方針	既設工認からの変更点	水平2方向及び鉛直方向地震力の組合せに関する設備の抽出及び考え方	鉛直方向の動的地震力考慮による設備の持ち上がり等の影響	動的地震力のSRS法による組合せ	下位クラス施設の影響の検討	Sd評価結果の記載方法	剛な設備の固有周期の算出	配管系の評価手法	材料物性のばらつき	動的機能維持評価手法の適用	新たに適用した減衰定数	機電設備の耐震計算書の作成	隣接建屋の影響に対する影響確認	地震荷重と事故時荷重との組合せ	機器と配管の相対変位に対する設計上の扱い	計算機プログラム(解析コード)の概要	電気盤等の機能維持評価に適用する水平方向の評価用地震力	等価繰返し回数の妥当性確認	屋内設備に対するアンカー定着部の評価	機器の耐震計算における既設工認からの計算式の変更点	液状化に伴う機電設備の影響確認	ダクト評価で用いる補正係数、安全係数の設定根拠				
								耐震機電12	後次回	後次回	耐震機電13	耐震機電10	耐震機電01	耐震機電02	耐震機電03	耐震機電09	耐震機電17	耐震機電16	耐震機電11	耐震機電14	耐震機電18	耐震機電19	耐震機電21	耐震機電22	耐震機電23	耐震建物29	後次回	後次回	後次回	後次回	後次回	後次回						
定型式 (3) ラグ支持たて置き円筒形容器	別紙1-20	1	再処理施設	前処理建屋	中間ホットA,B	✓		○	-	-	●(③-1)	○	-	△	○	△	○(②)	-	●(②)	-	△(①)	△	○(①-2)	-	△	-	-	-	-	-	-	-	-	-	-	12		
		2	再処理施設	前処理建屋	サリケ槽A,B	✓		●(②)	-	-	●(③-1)	○	-	△	○	△	○(②)	-	●(②)	-	△(①)	△	●(②)	-	△	-	-	-	-	-	-	-	-	-	-	12		
		3	再処理施設	前処理建屋	極低レベル廃水洗浄塔	✓		●(②)	-	-	●(③-1)	○	-	△	-	-	○(②)	-	●(②)	-	△(①)	△	●(②)	-	△	-	-	-	-	-	-	-	-	-	-	10		
		4	再処理施設	前処理建屋	廃水洗浄塔	✓		●(②)	-	-	●(③-1)	○	-	△	●(②-1)	△	○(②)	-	●(②)	-	△(①)	△	●(②)	-	△	-	-	-	-	-	-	-	-	-	-	-	12	
		5	再処理施設	前処理建屋	凝縮器A,B	✓		●(②)	-	-	●(③-1)	○	-	△	○	△	○(②)	-	●(②)	-	△(①)	△	●(②)	-	△	-	-	-	-	-	-	-	-	-	-	-	-	12
		6	再処理施設	前処理建屋	NOx吸収塔A,B	✓		○	-	-	●(③-1)	○	-	△	○	△	○(②)	-	●(②)	-	△(①)	△	●(②)	-	△	-	-	-	-	-	-	-	-	-	-	-	-	12
		7	再処理施設	分離建屋	補助抽出廃液受槽	✓		○	-	-	-	○	-	△	-	-	○(②)	-	○	-	△(①)	△	●(②)	-	△	-	-	-	-	-	-	-	-	-	-	-	-	9
		8	再処理施設	分離建屋	溶解液供給槽がてらA,B 溶解液供給槽予備がてらA,B	✓		○	-	-	○	○	-	△	○	△	○(②)	-	○	-	△(①)	△	○(①-2)	-	△	-	-	-	-	-	-	-	-	-	-	-	-	12
		9	再処理施設	分離建屋	抽出塔へ送る廃水スラッジ槽 第1洗浄塔へ送る廃水スラッジ槽 第2洗浄塔へ送る廃水スラッジ槽 TBP洗浄塔へ送る廃水スラッジ槽	✓		○	-	-	○	○	-	△	○	△	○(②)	-	○	-	△(①)	△	○(①-2)	-	△	-	-	-	-	-	-	-	-	-	-	-	-	12
		10	再処理施設	分離建屋	アトコム分配塔へ送る廃水スラッジ槽 97a洗浄塔へ送る廃水スラッジ槽	✓		○	-	-	○	○	-	△	○	△	○(②)	-	○	-	△(①)	△	○(①-2)	-	△	-	-	-	-	-	-	-	-	-	-	-	-	12
		11	再処理施設	分離建屋	第9一時貯留処理槽	✓		○	-	-	○	○	-	△	○	△	○(②)	-	○	-	△(①)	△	○(①-2)	-	△	-	-	-	-	-	-	-	-	-	-	-	-	12
		12	再処理施設	分離建屋	第10一時貯留処理槽	✓		○	-	-	○	○	-	△	○	△	○(②)	-	○	-	△(①)	△	○(①-2)	-	△	-	-	-	-	-	-	-	-	-	-	-	-	12
		13	再処理施設	分離建屋	第6一時貯留処理槽	✓		○	-	-	○	○	-	△	○	△	○(②)	-	○	-	△(①)	△	○(①-2)	-	△	-	-	-	-	-	-	-	-	-	-	-	-	12
		14	再処理施設	分離建屋	極低レベル廃水洗浄塔	✓		○	-	-	-	○	-	△	-	-	○(②)	-	○	-	△(①)	△	○(①-2)	-	△	-	-	-	-	-	-	-	-	-	-	-	-	9
		15	再処理施設	分離建屋	廃水洗浄塔	✓		○	-	-	●(③-1)	○	-	△	○	△	○(②)	-	○	-	△(①)	△	○(①-2)	-	△	-	-	-	-	-	-	-	-	-	-	-	-	12
		16	再処理施設	分離建屋	高レベル濃縮廃液分配器A	✓		○	-	-	●(③-1)	○	-	△	○	△	○(②)	-	○	-	△(①)	△	○(①-2)	-	△	-	-	-	-	-	-	-	-	-	-	-	-	12
		17	再処理施設	分離建屋	高レベル濃縮廃液分配器B	✓		○	-	-	●(③-1)	○	-	△	○	△	○(②)	-	○	-	△(①)	△	○(①-2)	-	△	-	-	-	-	-	-	-	-	-	-	-	-	12
		18	再処理施設	分離建屋	高レベル濃縮液濃縮器がてら	✓		○	-	-	●(③-1)	○	-	△	○	△	○(②)	-	○	-	△(①)	△	○(①-2)	-	△	-	-	-	-	-	-	-	-	-	-	-	-	12
		19	再処理施設	分離建屋	第2蒸餾凝縮器がてら	✓		○	-	-	●(③-1)	○	-	△	○	△	○(②)	-	○	-	△(①)	△	○(①-2)	-	△	-	-	-	-	-	-	-	-	-	-	-	-	12
		20	再処理施設	分離建屋	高レベル濃縮液供給槽A供給液脈動整定がてらA,B	✓		○	-	-	●(③-1)	○	-	△	○	△	○(②)	-	○	-	△(①)	△	○(①-2)	-	△	-	-	-	-	-	-	-	-	-	-	-	-	12
		21	再処理施設	分離建屋	供給ホットA	✓		○	-	-	●(③-1)	○	-	△	○	△	○(②)	-	○	-	△(①)	△	○(①-2)	-	△	-	-	-	-	-	-	-	-	-	-	-	-	12
		22	再処理施設	分離建屋	高レベル濃縮液供給槽A,Bがてら	✓		○	-	-	●(③-1)	○	-	△	○	△	○(②)	-	○	-	△(①)	△	○(①-2)	-	△	-	-	-	-	-	-	-	-	-	-	-	-	12
		23	再処理施設	分離建屋	高レベル濃縮液供給槽B供給液脈動整定がてらA,B	✓		○	-	-	●(③-1)	○	-	△	○	△	○(②)	-	○	-	△(①)	△	○(①-2)	-	△	-	-	-	-	-	-	-	-	-	-	-	-	12
		24	再処理施設	分離建屋	供給ホットB	✓		○	-	-	●(③-1)	○	-	△	○	△	○(②)	-	○	-	△(①)	△	○(①-2)	-	△	-	-	-	-	-	-	-	-	-	-	-	-	12
		25	再処理施設	分離建屋	高レベル濃縮液濃縮器A濃縮液抽出ホットA,B	✓		○	-	-	●(③-1)	○	-	△	○	△	○(②)	-	○	-	△(①)	△	○(①-2)	-	△	-	-	-	-	-	-	-	-	-	-	-	-	12
		26	再処理施設	分離建屋	攪拌蒸気ホットA	✓		○	-	-	●(③-1)	○	-	△	○	△	○(②)	-	○	-	△(①)	△	○(①-2)	-	△	-	-	-	-	-	-	-	-	-	-	-	-	12
		27	再処理施設	分離建屋	高レベル濃縮液濃縮器B濃縮液抽出ホットA,B	✓		○	-	-	●(③-1)	○	-	△	○	△	○(②)	-	○	-	△(①)	△	○(①-2)	-	△	-	-	-	-	-	-	-	-	-	-	-	-	12
		28	再処理施設	分離建屋	攪拌蒸気ホットB	✓		○	-	-	●(③-1)	○	-	△	○	△	○(②)	-	○	-	△(①)	△	○(①-2)	-	△	-	-	-	-	-	-	-	-	-	-	-	-	12
		29	再処理施設	分離建屋	高レベル濃縮液供給槽へ漏れい液シールドホットA,B	✓		○	-	-	●(③-1)	○	-	△	○	△	○(②)	-	○	-	△(①)	△	○(①-2)	-	△	-	-	-	-	-	-	-	-	-	-	-	-	12
		30	再処理施設	分離建屋	溶媒供給槽	✓		○	-	-	●(③-1)	○	-	△	-	-	○(②)	-	○	-	△(①)	△	○(①-2)	-	△	-	-	-	-	-	-	-	-	-	-	-	-	10
		31	再処理施設	分離建屋	廃ガスリーフポット	✓		○	-	-	●(①-2)	○	-	△	○	-	○(②)	-	○	-	△(①)	△	○(①-2)	-	△	-	-	-	-	-	-	-	-	-	-	-	-	11
		32	再処理施設	分離建屋	凝縮液シールドポット	✓		○	-	-	●(①-2)	○	-	△	○	-	○(②)	-	○	-	△(①)	△	○(①-2)	-	△	-	-	-	-	-	-	-	-	-	-	-	-	11
		33	再処理施設	分離建屋	凝縮液分配器	✓		○	-	-	●(①-2)	○	-	△	○	-	○(②)	-	○	-	△(①)	△	○(①-2)	-	△	-	-	-	-	-	-	-	-	-	-	-	-	11
		34	再処理施設	精製建屋	NOx廃水洗浄塔	✓		○	-	-	●(③-1)	○	-	△	○	△	○(②)	-	○	-	△(①)	△	○(①-2)	-	△	-	-	-	-	-	-	-	-	-	-	-	-	12

類型化分類ごとの代表設備選定結果
(定型式(3) ラグ支持たて置き円筒形容器)

類型化分類	別紙番号	番号	施設区分	設置場所	設備名称	設工認申請分割申請状況 (✓は申請対象設備)	代表設備又は差設説明を行う設備	④その他先行発電プラントの審査実績を踏まえた説明事項等																				計									
								①事業変更許可申請書の記載内容のうち当社特有の説明事項				②新規制基準における追加要求に係る説明事項	③評価内容及び既設工認からの変更点に係る説明事項	④その他先行発電プラントの審査実績を踏まえた説明事項等																							
								一関東評価用地震動(鉛直)に対する影響確認	重大事故評価における許容限界等の適用	可搬型SA設備等の耐震計算方針	既設工認からの変更点			水平2方向及び鉛直方向の地震力の組合せに関する設備の抽出及び考え方	鉛直方向の動的地震力考慮による設備の浮き上がり等の影響	動的地震力のSRSS法による組合せ	下位クラス施設の波及的影響の検討	Sd評価結果の記載方法	剛な設備の固有周期の算出	配管系の評価手法	材料物性のばらつき	動的機能維持評価手法の適用	新たに適用した減衰定数	機電設備の耐震計算書の作成	隣接建屋の影響に対する影響確認	地震荷重と事故時荷重との組合せ	機器と配管の相対変位に対する設計上の扱い		計算機プログラム(解析コード)の概要	電気盤等の機能維持評価に適用する水平方向の評価用地震力	等価繰返し回数の変当性確認	屋内設備に対するアンカー定着部の評価	機器の耐震計算における既設工認からの計算式の変更点	液状化に伴う機電設備の影響確認	ダクト評価で用いる補正係数、安全係数の設定根拠		
別紙1-20	35	再処理施設	精製建屋	廃水洗浄塔	✓			○	-	-	●(③-1)	○	-	△	○	△	○(②)	-	○	-	△(①)	△	○(①-2)	-	△	-	-	-	-	-	-	-	-	-	12		
	36	再処理施設	ウラン・プルトニウム混合脱硝建屋	よう素7167A, B	✓			○	-	-	●(③-1)	○	-	△	○	△	○(②)	-	○	-	△(①)	△	○(①-2)	-	○	-	-	-	-	-	-	-	-	-	12		
	37	再処理施設	ウラン・プルトニウム混合脱硝建屋	よう素7167第1, 第2加熱器	✓			○	-	-	●(③-1)	○	-	△	○	△	○(②)	-	○	-	△(①)	△	○(①-2)	-	○	-	-	-	-	-	-	-	-	-	12		
	38	再処理施設	高レベル廃液ガラス固化建屋	廃水洗浄塔	✓			○	-	-	○	○	-	△	○	△	○(②)	-	○	-	△(①)	△	○(①-2)	-	△	-	-	-	-	-	-	○(①-1)	-	-	13		
	39	再処理施設	高レベル廃液ガラス固化建屋	廃水洗浄塔	✓			○	-	-	○	○	-	△	○	△	○(②)	-	○	-	△(①)	△	○(①-2)	-	△	-	-	-	-	-	-	○(①-1)	-	-	13		
	40	再処理施設	高レベル廃液ガラス固化建屋	第1, 第2高い濃縮液分配器	✓			○	-	-	○	○	-	△	○	△	○(②)	-	○	-	△(①)	△	○(①-2)	-	△	-	-	-	-	-	-	○(①-1)	-	-	13		
	41	再処理施設	高レベル廃液ガラス固化建屋	高い濃縮液貯槽第1の漏えい液受皿第1-64ポット	✓			○	-	-	○	○	-	△	○	△	○(②)	-	○	-	△(①)	△	○(①-2)	-	△	-	-	-	-	-	○(①-1)	-	-	13			
	42	再処理施設	高レベル廃液ガラス固化建屋	第1, 第2不溶解残渣液一時貯槽	✓			○	-	-	○	○	-	△	○	△	○(②)	-	○	-	△(①)	△	○(①-2)	-	△	-	-	-	-	-	○(①-1)	-	-	13			
	43	再処理施設	高レベル廃液ガラス固化建屋	第1, 第2不溶解残渣液貯槽	✓			○	-	-	○	○	-	△	○	△	○(②)	-	○	-	△(①)	△	○(①-2)	-	△	-	-	-	-	-	○(①-1)	-	-	13			
	44	再処理施設	高レベル廃液ガラス固化建屋	不溶解残渣液一時貯槽の漏えい液受皿1-64ポット	✓	◎		○	-	-	○	○	-	△	○	△	○(②)	-	○	-	△(①)	△	○(①-2)	-	△	-	-	-	-	-	○(①-1)	-	-	13			
	45	再処理施設	高レベル廃液ガラス固化建屋	ミス7167A, B	✓			○	-	-	○	○	-	△	○	△	○(②)	-	○	-	△(①)	△	○(①-2)	-	△	-	-	-	-	-	-	○(①-1)	-	-	13		
	46	再処理施設	高レベル廃液ガラス固化建屋	洗浄塔	✓			○	-	-	○	○	-	△	○	△	○(②)	-	○	-	△(①)	△	○(①-2)	-	△	-	-	-	-	-	-	○(①-1)	-	-	13		
	47	再処理施設	高レベル廃液ガラス固化建屋	ミス7167A, B	✓			○	-	-	○	○	-	△	○	△	○(②)	-	○	-	△(①)	△	○(①-2)	-	△	-	-	-	-	-	-	○(①-1)	-	-	13		
	48	再処理施設	高レベル廃液ガラス固化建屋	よう素7167A, B	✓			○	-	-	○	○	-	△	○	△	○(②)	-	○	-	△(①)	△	○(①-2)	-	△	-	-	-	-	-	-	○(①-1)	-	-	13		
	49	再処理施設	高レベル廃液ガラス固化建屋	第1, 第2吸収塔	✓			○	-	-	○	○	-	△	○	△	○(②)	-	○	-	△(①)	△	○(①-2)	-	△	-	-	-	-	-	-	○(①-1)	-	-	13		
	50	再処理施設	高レベル廃液ガラス固化建屋	67-74M吸着塔A, B	✓			○	-	-	○	○	-	△	○	△	○(②)	-	○	-	△(①)	△	○(①-2)	-	△	-	-	-	-	-	-	○(①-1)	-	-	13		
51	再処理施設	前処理建屋	廃ガス洗浄塔サークルボット	✓			-	-	-	●(①-2)	○	-	△	-	-	○(②)	-	-	-	△(①)	△	-	-	△	-	-	-	-	-	-	-	-	-	7			
定型式 (3) ラグ支持たて置き円筒形容器	別紙1-21	54	再処理施設	前処理建屋	溶解槽A, B駆付けのA分離ポット 溶解槽A, B駆付けのB分離ポット 第1よう素追出し槽A, B駆付けのA分離ポット 第1よう素追出し槽B, C駆付けのB分離ポット 第2よう素追出し槽A, B駆付けのA分離ポット 第2よう素追出し槽B, C駆付けのB分離ポット	✓		●(②)	-	-	●(③-1)	○	-	△	○	△	○(②)	-	●(②)	-	△(①)	△	●(②)	-	△	-	-	-	-	-	-	-	-	-	12		
		55	再処理施設	前処理建屋	中間ポットA, B駆付けの分離ポット	✓		●(②)	-	-	●(③-1)	○	-	△	○	△	○(②)	-	●(②)	-	△(①)	△	●(②)	-	△	-	-	-	-	-	-	-	-	-	-	12	
		56	再処理施設	前処理建屋	溶解槽A, Bの漏えい検知ポット1	✓			○	-	-	●(③-1)	○	-	△	○	△	○(②)	-	●(②)	-	△(①)	△	●(②)	-	△	-	-	-	-	-	-	-	-	-	12	
		57	再処理施設	前処理建屋	漏えい液受皿中間ポット1A	✓			●(②)	-	-	●(③-1)	○	-	△	○	△	○(②)	-	●(②)	-	△(①)	△	●(②)	-	△	-	-	-	-	-	-	-	-	-	-	12
		58	再処理施設	前処理建屋	漏えい液受皿中間ポット2A	✓			●(②)	-	-	●(③-1)	○	-	△	○	△	○(②)	-	●(②)	-	△(①)	△	●(②)	-	△	-	-	-	-	-	-	-	-	-	-	12
		59	再処理施設	前処理建屋	漏えい液受皿中間ポット3A	✓			○	-	-	●(③-1)	○	-	△	○	△	○(②)	-	●(②)	-	△(①)	△	●(②)	-	△	-	-	-	-	-	-	-	-	-	-	12
		60	再処理施設	前処理建屋	漏えい液受皿中間ポットB	✓			●(②)	-	-	●(③-1)	○	-	△	○	△	○(②)	-	●(②)	-	△(①)	△	●(②)	-	△	-	-	-	-	-	-	-	-	-	-	12
		61	再処理施設	前処理建屋	中継槽A, Bのデモアラミングポット	✓			○	-	-	●(③-1)	○	-	△	○	△	○(②)	-	●(②)	-	△(①)	△	●(②)	-	△	-	-	-	-	-	-	-	-	-	-	12
		62	再処理施設	前処理建屋	ペッセンポットA, B	✓			●(②)	-	-	●(③-1)	○	-	△	○	△	○(②)	-	●(②)	-	△(①)	△	●(②)	-	△	-	-	-	-	-	-	-	-	-	-	12
		63	再処理施設	前処理建屋	中継槽A, Bのデモアラミングポット	✓			○	-	-	●(③-1)	○	-	△	○	△	○(②)	-	●(②)	-	△(①)	△	●(②)	-	△	-	-	-	-	-	-	-	-	-	-	12
		64	再処理施設	前処理建屋	廃水スレーブポット	✓			●(②)	-	-	●(③-1)	○	-	△	○	△	○(②)	-	●(②)	-	△(①)	△	●(②)	-	△	-	-	-	-	-	-	-	-	-	-	12
		65	再処理施設	前処理建屋	ミス7167A1, A2, B1, B2, C1, C2	✓			○	-	-	○	○	-	△	○	△	○(②)	-	●(②)	-	△(①)	△	●(②)	-	△	-	-	-	-	-	-	-	-	-	-	12
		66	再処理施設	前処理建屋	第1高性能粒子フィルターA, B, C	✓			○	-	-	○	○	-	△	○	△	○(②)	-	●(②)	-	△(①)	△	●(②)	-	△	-	-	-	-	-	-	-	-	-	-	12
		67	再処理施設	前処理建屋	第1よう素7167A1, A2, B1, B2, C1, C2	✓			○	-	-	○	○	-	△	○	△	○(②)	-	●(②)	-	△(①)	△	●(②)	-	△	-	-	-	-	-	-	-	-	-	-	12
		68	再処理施設	前処理建屋	第2よう素7167A1, A2, B1, B2, C1, C2	✓			○	-	-	○	○	-	△	○	△	○(②)	-	●(②)	-	△(①)	△	●(②)	-	△	-	-	-	-	-	-	-	-	-	-	12
		69	再処理施設	前処理建屋	第2高性能粒子フィルターA, B, C	✓			○	-	-	○	○	-	△	○	△	○(②)	-	●(②)	-	△(①)	△	●(②)	-	△	-	-	-	-	-	-	-	-	-	-	12
70	再処理施設	前処理建屋	廃水加熱器A, B, C	✓			○	-	-	○	○	-	△	○	△	○(②)	-	●(②)	-	△(①)	△	●(②)	-	△	-	-	-	-	-	-	-	-	-	-	12		
71	再処理施設	前処理建屋	DOCポンプの漏えい検知ポット	✓			●(②)	-	-	○	○	-	△	○	△	○(②)	-	●(②)	-	△(①)	△	●(②)	-	△	-	-	-	-	-	-	-	-	-	-	12		

類型化分類ごとの代表設備選定結果
(定型式 (3) ラグ支持たて置き円筒形容器)

Table with columns: 類型化分類, 別紙番号, 番号, 施設区分, 設置場所, 設備名称, 設工認申請分割申請状況, 代表設備又は差分設備説明を行う設備, ①事業変更許可申請書の記載内容のうち当社特有の説明事項, ②新規基準における追加要求に係る説明事項, ③評価内容及び既設工事からの変更点に係る説明事項, ④その他先行発電プラントの審査実績を踏まえた説明事項等, 計. Rows include various equipment types like 再処理施設 and 脱水機.

類型化分類ごとの代表設備選定結果
(定型式 (3) ラグ支持たて置き円筒形容器)

類型化分類	別紙番号	番号	施設区分	設置場所	設備名称	設工認申請分割申請状況 (✓は申請対象設備)	代表設備又は差分設備説明を行う設備	①事業変更許可申請書の記載内容のうち当社特有の説明事項		②新規制基準における追加要求に係る説明事項	③評価内容及び既設工認からの変更点に係る説明事項	④その他先行発電プラントの審査実績を踏まえた説明事項等																				計			
								一関東評価用地震動(鉛直)に対する影響確認	重大事故評価における許容限界等の適用			可搬型SA設備等の耐震計算方針	既設工認からの変更点	水平2方向及び鉛直方向の地震力の組合せに関する設備の抽出及び考え方	鉛直方向の動的地震力考慮による設備の浮き上がり等の影響	動的地震力のSRSS法による組合せ	下位クラス施設の影響の検討	Sd評価結果の記載方法	剛な設備の固有周期の算出	配管系の評価手法	材料物性のばらつき	動的機能維持評価手法の適用	新たに適用した減衰定数	機電設備の耐震計算書の作成	隣接建屋の影響に対する影響確認	地震荷重と事故時荷重との組合せ	機器と配管の相対変位に対する設計上の扱い	計算機プログラム(解析コード)の概要	電気盤等の機能維持評価に適用する水平方向の地震力	等価繰返し回数の妥当性確認	屋内設備に対するアンカー定着部の評価		機器の耐震計算における既設工認からの計算式の変更点	液状化に伴う機電設備の影響確認	ダクト評価で用いる補正係数、安全係数の設定根拠
								耐震機電12	後次回			後次回	耐震機電13	耐震機電10	耐震機電01	耐震機電02	耐震機電03	耐震機電09	耐震機電17	耐震機電16	耐震機電11	耐震機電14	耐震機電18	耐震機電19	耐震機電21	耐震機電22	耐震機電23	耐震建物29	後次回	後次回	後次回		後次回	後次回	後次回
定型式 (3) ラグ支持たて置き円筒形容器	別紙1-21	101	再処理施設	高レベル廃液ガラス固化建屋	第1加温器A, B	✓		○	-	-	○	○	-	△	○	△	○(2)	-	○	-	△(1)	△	○(1-2)	-	△	-	-	-	-	-	-	○(1-1)	-	13	
		102	再処理施設	高レベル廃液ガラス固化建屋	第2加温器A, B	✓		○	-	-	○	○	-	△	○	△	○(2)	-	○	-	△(1)	△	○(1-2)	-	△	-	-	-	-	-	-	○(1-1)	-	13	
		103	再処理施設	高レベル廃液ガラス固化建屋	凝縮器	✓		○	-	-	○	○	-	△	○	△	○(2)	-	○	-	△(1)	△	○(1-2)	-	△	-	-	-	-	-	-	○(1-1)	-	13	
		104	再処理施設	高レベル廃液ガラス固化建屋	よう素74/76A, B冷却器	✓		○	-	-	○	○	-	△	○	△	○(2)	-	○	-	△(1)	△	○(1-2)	-	△	-	-	-	-	-	-	○(1-1)	-	13	
		105	再処理施設	高レベル廃液ガラス固化建屋	第1排風機A, B冷却器	✓		○	●(1-1)	-	-	○	-	△	○	△	○(2)	-	●(2)	-	△(1)	△	○(1-2)	-	△	-	-	-	-	-	-	○(1-1)	-	13	
		106	再処理施設	高レベル廃液ガラス固化建屋	第1高性能粒子フィルターA, B	✓		○	-	-	○	○	-	△	○	△	○(2)	-	○	-	△(1)	△	○(1-2)	-	△	-	-	-	-	-	-	○(1-1)	-	13	
		107	再処理施設	高レベル廃液ガラス固化建屋	第2高性能粒子フィルターA, B	✓		○	-	-	○	○	-	△	○	△	○(2)	-	○	-	△(1)	△	○(1-2)	-	△	-	-	-	-	-	-	○(1-1)	-	13	
		108	再処理施設	高レベル廃液ガラス固化建屋	4階M吸着塔A, B加温器	✓		○	●(1-1)	-	-	○	-	△	○	△	○(2)	-	●(2)	-	△(1)	△	○(1-2)	-	△	-	-	-	-	-	-	○(1-1)	-	13	
		109	再処理施設	高レベル廃液ガラス固化建屋	加熱器A, B	✓		○	-	-	○	○	-	△	○	△	○(2)	-	○	-	△(1)	△	○(1-2)	-	△	-	-	-	-	-	-	○(1-1)	-	13	
		110	再処理施設	前処理建屋	1151-V10 サンプルングエアリフト分離ポット	✓		-	-	-	●(1-2)	○	-	△	-	-	○(2)	-	-	-	△(1)	△	-	-	△	-	-	-	-	-	-	-	-	-	7
		111	再処理施設	前処理建屋	1151-V15 サンプルングエアリフト分離ポット	✓		-	-	-	●(1-2)	○	-	△	-	-	○(2)	-	-	-	△(1)	△	-	-	△	-	-	-	-	-	-	-	-	-	7
		112	再処理施設	前処理建屋	1151A-V22 サンプルングエアリフト分離ポット	✓		-	-	-	●(1-2)	○	-	△	-	-	○(2)	-	-	-	△(1)	△	-	-	△	-	-	-	-	-	-	-	-	-	7
		113	再処理施設	前処理建屋	1151R-V22 サンプルングエアリフト分離ポット	✓		-	-	-	●(1-2)	○	-	△	-	-	○(2)	-	-	-	△(1)	△	-	-	△	-	-	-	-	-	-	-	-	-	7
		114	再処理施設	前処理建屋	1151A-V30 サンプルングエアリフト分離ポット	✓		-	-	-	●(1-2)	○	-	△	-	-	○(2)	-	-	-	△(1)	△	-	-	△	-	-	-	-	-	-	-	-	-	7
		115	再処理施設	前処理建屋	1151R-V30 サンプルングエアリフト分離ポット	✓		-	-	-	●(1-2)	○	-	△	-	-	○(2)	-	-	-	△(1)	△	-	-	△	-	-	-	-	-	-	-	-	-	7
		116	再処理施設	前処理建屋	1151-V60 サンプルングエアリフト分離ポット	✓		-	-	-	●(1-2)	○	-	△	-	-	○(2)	-	-	-	△(1)	△	-	-	△	-	-	-	-	-	-	-	-	-	7
		117	再処理施設	前処理建屋	1151-V30 サンプルングエアリフト分離ポット	✓		-	-	-	●(1-2)	○	-	△	-	-	○(2)	-	-	-	△(1)	△	-	-	△	-	-	-	-	-	-	-	-	-	7
		96	再処理施設	前処理建屋	1151-V50 サンプルングエアリフトA分離ポット	✓		-	-	-	●(1-2)	○	-	△	-	-	○(2)	-	-	-	△(1)	△	-	-	△	-	-	-	-	-	-	-	-	-	7

類型化分類ごとの代表設備選定結果
(定型式(4) 脚支持たて置き円筒形容器)

類型化分類ごとの代表設備選定結果
(定型式 (4) 脚支持たて置き円筒形容器)

・本表では類型化分類における代表設備の選定結果について示す。
 ・選定に当たっては、本紙3.3項に示す方法により行うものとし、各設備に対して補足説明資料「耐震建物01「耐震評価対象の網羅性、既設工認との手法の相違点の整理について」に示す説明事項の該当項目を示した上で、分類における説明事項が網羅的となる設備を代表として選定する。

※ 本資料の目的は、6月24日のヒアリングにて指摘のあった類型化分類を用いた代表設備選定の過程を示す事であり、後次回申請にて示す類型化分類毎の代表設備選定結果に対するサンプルを示す。

【凡例】
 ー：補足説明対象外
 △：検討対象設備/方針に対する説明を行う設備
 ○：検討対象設備/床応答スペクトルの重ね合わせ等により説明を行い、設備個別の検討結果をまでは示さず妥当性を示す設備
 ●：検討対象設備/補足説明資料にて設備個別の検討結果を用いて妥当性を示す設備
 ◎：説明代表設備
 ☆：差分説明を行う設備

類型化分類	別紙番号	番号	施設区分	設置場所	設備名称	設工認申請分割申請状況 (✓は申請対象設備)	代表設備又は差分設備説明を行う設備	①事業変更許可申請書の記載内容のうち当社特有の説明事項		②新規制基準における追加要求に係る説明事項	④その他先行発電プラントの審査実績を踏まえた説明事項等																	計								
								一関東評価用地震動(鉛直)に対する影響確認	重大事故評価における許容限界等の適用	可搬型SA設備等の耐震計算方針	既設工認からの変更点	水平2方向及び鉛直方向の地震力の組合せに関する設備の抽出及び考え方	鉛直方向の動的地震力考慮による設備の浮き上がり等の影響	動的地震力のSRS法による組合せ	下位クラス施設の影響の検討	Sd評価結果の記載方法	剛な設備の固有周期の算出	配管系の評価手法	材料物性のばらつき	動的機能維持評価手法の適用	新たに適用した減衰定数	機電設備の耐震計算書の作成	隣接建屋の影響確認	地震荷重と事故時荷重との組合せ	機器と配管の相対変位に対する設計上の扱い	計算機プログラム(解折コード)の概要	電気盤等の機能維持評価に適用する水平方向の評価用地震力		等価繰返し回数等の妥当性確認	屋内設備に対するアンカー一定着部の評価	機器の耐震計算における既設工認からの計算式の変更点	液状化に伴う機電設備の影響確認	グダト評価で用いる補正係数、安全係数の設定根拠			
																																		耐震機電12	後次回	後次回
定型式 (4) 脚支持たて置き円筒形容器	別紙1-31	1	再処理施設	前処理建屋	可溶性中性子吸収材緊急供給槽A, B	✓		○	-	-	●(③-1)	○	-	△	○	△	○(②)	-	●(②)	-	△(①)	△	●(②)	-	△	-	-	-	-	-	-	-	-	-	-	11
		2	再処理施設	高レベル廃液ガラス固化建屋	流下/ス*冷却用空気槽A, B	✓	◎	○	-	-	○	○	-	△	○	△	○(②)	-	○	-	△(①)	△	○(①-1)	-	△	-	-	-	-	-	○	-	○(①-1)	-	-	13
		3	再処理施設	高レベル廃液ガラス固化建屋	安全冷水A, B膨張槽	✓		○	-	-	○	○	-	△	○	△	○(②)	-	○	-	△(①)	△	○(①-1)	-	△	-	-	-	-	-	-	-	○(①-1)	-	-	12
		4	再処理施設	高レベル廃液ガラス固化建屋	第1高レベル濃縮廃液貯槽冷却水A膨張槽 第1高レベル濃縮廃液貯槽冷却水B膨張槽 第2高レベル濃縮廃液貯槽冷却水A膨張槽 第2高レベル濃縮廃液貯槽冷却水B膨張槽	✓		○	-	-	○	○	-	△	○	△	○(②)	-	○	-	△(①)	△	○(①-1)	-	△	-	-	-	-	○	-	○(①-1)	-	-	13	
		5	再処理施設	高レベル廃液ガラス固化建屋	安全冷却水A系, B系膨張槽	✓		○	-	-	○	○	-	△	○	△	○(②)	-	○	-	△(①)	△	○(①-1)	-	△	-	-	-	-	○	-	○(①-1)	-	-	13	
		6	再処理施設	高レベル廃液ガラス固化建屋	高レベル廃液共用貯槽冷却水A, B膨張槽	✓		○	-	-	○	○	-	△	○	△	○(②)	-	○	-	△(①)	△	○(①-1)	-	△	-	-	-	-	○	-	○(①-1)	-	-	13	
		7	再処理施設	高レベル廃液ガラス固化建屋	安全冷水A, B冷凍機 油分離器	✓		○	-	-	○	○	-	△	○	△	○(②)	-	○	-	△(①)	△	○(①-1)	-	△	-	-	-	-	-	○(①-1)	-	-	12		
		8	再処理施設	高レベル廃液ガラス固化建屋	安全冷却水1A, 1B膨張槽	✓		○	-	-	○	○	-	△	○	△	○(②)	-	○	-	△(①)	△	○(①-1)	-	△	-	-	-	-	-	○(①-1)	-	-	12		
		9	再処理施設	前処理建屋	代替可溶性中性子吸収材緊急供給槽A, B	✓		-	-	-	●(①-2)	○	-	△	-	-	○(②)	-	-	-	△(①)	△	-	-	△	-	-	-	-	○	-	-	-	-	8	

類型化分類ごとの代表設備選定結果
(定型式(5) ボルト支持剛体設備)

類型化分類ごとの代表設備選定結果 (定型式 (5) ボルト支持剛体設備)

・本表では類型化分類における代表設備の選定結果について示す。
・選定に当たっては、本紙3.3項に示す方法により行うものとし、各設備に対して補足説明資料 耐震建物01「耐震評価対象の網羅性、既設工認との手法の相違点の整理について」に示す説明事項の該当項目を示した上で、分類における説明事項が網羅的となる設備を代表として選定する。

※ 本資料の目的は、6月24日のヒアリングにて指摘のあった類型化分類を用いた代表設備選定の過程を示す事であり、後次回申請にて示す類型化分類毎の代表設備選定結果に対するサンプルを示す。

【凡例】
一：補足説明対象外
△：検討対象設備/方針に対する説明を行う設備
○：検討対象設備/床応答スペクトルの重ね合わせ等により説明を行い、設備個別の検討結果をまでは示さず妥当性を示す設備
●：検討対象設備/補足説明資料にて設備個別の検討結果を用いて妥当性を示す設備
◎：説明代表設備
☆：差分説明を行う設備

Table with columns: 類型化分類, 別紙番号, 番号, 施設区分, 設置場所, 設備名称, 設工認申請分割申請状況, 代表設備又は差分説明を行う設備, ①事業変更許可申請書の記載内容のうち当社特有の説明事項, ②新規制基準における追加要求に係る説明事項, ③評価内容及び既設工認からの変更点に係る説明事項, ④他先行発電プラントの審査実績を踏まえた説明事項等, 計. Rows include various equipment types like 再処理施設, 前処理建屋, etc.

類型化分類ごとの代表設備選定結果
(定型式 (5) ボルト支持剛体設備)

類型化分類	別紙番号	番号	施設区分	設置場所	設備名称	設工認申請状況 (✓は申請対象設備)	代表設備又は差込設説明を行う設備	①事業変更許可申請書の記載内容のうち当社特有の説明事項		②新規制基準における追加要求に係る説明事項	③評価内容及び既設工認からの変更点に係る説明事項	④その他先行発電プラントの審査実績を踏まえた説明事項等																								計
								一関東評価用地震動(鉛直)に対する影響確認	重大事故評価における許容限界等の適用			可搬型SA設備等の耐震計算方針	既設工認からの変更点	水平2方向及び鉛直方向の地震力の組合せに関する設備の抽出及び考え方	鉛直方向の動的地震力考慮による設備の浮き上がり等の影響	動的地震力のSRS法による組合せ	下位クラス施設の影響の検討	Sd評価結果の記載方法	剛な設備の固有周期の算出	配管系の評価手法	材料物性のばらつき	動的機能維持評価手法の適用	新たに適用した減衰定数	機電設備の耐震計算書の作成	隣接建物の影響に対する影響確認	地震荷重と事故時荷重との組合せ	機器と配管の相対変位に対する設計上の扱い	計算機プログラム(解析コード)の概要	電気盤等の機能維持評価に適用する水平方向の評価用地震力	等価繰返し回数確認	屋内設備に対するアンカー一定着部の評価	機器の耐震計算における既設工認からの計算式の変更点	ダクト評価で用いる補正係数、安全係数の設定根拠			
								耐震機電12	後次回			後次回	耐震機電13	耐震機電10	耐震機電01	耐震機電02	耐震機電03	耐震機電09	耐震機電17	耐震機電16	耐震機電11	耐震機電14	耐震機電18	耐震機電19	耐震機電21	耐震機電22	耐震機電23	耐震建物29	後次回	後次回	後次回	後次回	後次回	後次回		
定型式 (5) ボルト支持剛体設備	別紙1-32	31	再処理施設	制御建屋	中央制御室排風機A,B	✓		●(2)	-	-	●(3-1)	○	-	△	○	△	○(1-2)	-	●(2)	-	△(1)	△	●(2)	-	-	-	-	-	○	-	-	-	12			
		32	再処理施設	ウラン・プルトニウム混合脱硝建屋	第1排風機A,B	✓		○	-	-	●(3-1)	○	-	△	○	△	○(1-2)	-	○	-	△(1)	△	●(2)	-	-	-	-	-	○	-	-	-	12			
		33	再処理施設	ウラン・プルトニウム混合脱硝建屋	第2排風機A,B,C	✓		○	-	-	●(3-1)	○	-	△	○	△	○(1-2)	-	○	-	△(1)	△	○(1-2)	-	-	-	-	-	○	-	-	-	12			
		34	再処理施設	ウラン・プルトニウム混合脱硝建屋	7号ボックスタイプ排風機A,B,C	✓		○	-	-	●(3-1)	○	-	△	○	△	○(1-2)	-	○	-	△(1)	△	○(1-2)	-	-	-	-	-	○	-	-	-	12			
		35	再処理施設	ウラン・プルトニウム混合脱硝建屋	換気設備用冷凍機A,B	✓		○	-	-	●(3-1)	○	-	△	-	-	○(1-2)	-	○	-	△(1)	△	○(1-2)	-	○	-	-	-	○	-	-	-	11			
		36	再処理施設	ウラン・プルトニウム混合脱硝建屋	冷水移送ポンプA,B,C,D	✓		○	-	-	○	○	-	△	○	△	○(1-2)	-	○	-	△(1)	△	●(2)	-	○	-	-	-	○	-	-	-	13			
		37	再処理施設	ウラン・プルトニウム混合酸化物貯蔵建屋	貯蔵室排風機A,B	✓		○	-	-	●(3-1)	○	-	△	○	△	○(1-2)	-	○	-	△(1)	△	○(1-2)	-	-	-	-	-	○	-	-	-	12			
		38	再処理施設	ウラン・プルトニウム混合酸化物貯蔵建屋	貯蔵室排風機C,D	✓		○	-	-	●(3-1)	○	-	△	○	△	○(1-2)	-	○	-	△(1)	△	○(1-2)	-	-	-	-	-	○	-	-	-	12			
		39	再処理施設	非常用電源建屋	冷却水循環ポンプA,B	✓		●(2)	-	-	●(3-1)	○	-	△	○	△	○(1-2)	-	●(2)	-	△(1)	△	●(2)	-	△	-	-	-	○	-	-	-	13			
		40	再処理施設	非常用電源建屋	燃料油移送ポンプA,B	✓	◎	●(2)	-	-	●(3-1)	○	-	△	○	△	○(1-2)	-	●(2)	○(1)	△(1)	△	●(2)	-	△	-	-	-	○	-	○(1-2)	-	15			
		41	再処理施設	高レベル廃液ガラス固化建屋	排風機A,B	✓		○	-	-	○	○	-	△	○	△	○(1-2)	-	○	-	△(1)	△	○(1-2)	-	○	-	-	-	-	-	○(1-2)	-	13			
		42	再処理施設	高レベル廃液ガラス固化建屋	排風機A,B	✓		○	-	-	○	○	-	△	○	△	○(1-2)	-	○	-	△(1)	△	○(1-2)	-	△	-	-	-	-	-	○(1-2)	-	13			
		43	再処理施設	高レベル廃液ガラス固化建屋	固化t4換気系排風機A,B	✓		○	-	-	○	○	-	△	○	△	○(1-2)	-	○	-	△(1)	△	○(1-2)	-	△	-	-	-	-	-	○(1-2)	-	12			
		44	再処理施設	高レベル廃液ガラス固化建屋	t4排風機A t4排風機B	✓		○	-	-	○	○	-	△	○	△	○(1-2)	-	○	-	△(1)	△	○(1-2)	-	△	-	-	-	-	-	○(1-2)	-	13			
		45	再処理施設	高レベル廃液ガラス固化建屋	第1排風機A,B	✓		○	-	-	○	○	-	△	○	△	○(1-2)	-	○	-	△(1)	△	○(1-2)	-	△	-	-	-	-	-	○(1-2)	-	13			
		46	再処理施設	高レベル廃液ガラス固化建屋	第2排風機A,B	✓		○	-	-	○	○	-	△	○	△	○(1-2)	-	○	-	△(1)	△	○(1-2)	-	△	-	-	-	-	-	○(1-2)	-	13			
		47	再処理施設	高レベル廃液ガラス固化建屋	安全冷水AポンプA 安全冷水AポンプB	✓		○	-	-	○	○	-	△	○	△	○(1-2)	-	○	-	△(1)	△	○(1-2)	-	△	-	-	-	-	-	○(1-2)	-	13			
		48	再処理施設	高レベル廃液ガラス固化建屋	安全冷水BポンプA 安全冷水BポンプB	✓		○	-	-	○	○	-	△	○	△	○(1-2)	-	○	-	△(1)	△	○(1-2)	-	△	-	-	-	-	-	○(1-2)	-	13			
		49	再処理施設	高レベル廃液ガラス固化建屋	第1高レベル濃縮廃液貯槽冷却水AポンプA 第1高レベル濃縮廃液貯槽冷却水AポンプB	✓		○	-	-	○	○	-	△	○	△	○(1-2)	-	○	-	△(1)	△	○(1-2)	-	△	-	-	-	-	-	○(1-2)	-	13			
		50	再処理施設	高レベル廃液ガラス固化建屋	第1高レベル濃縮廃液貯槽冷却水BポンプA 第1高レベル濃縮廃液貯槽冷却水BポンプB	✓		○	-	-	○	○	-	△	○	△	○(1-2)	-	○	-	△(1)	△	○(1-2)	-	△	-	-	-	-	-	○(1-2)	-	13			
		51	再処理施設	高レベル廃液ガラス固化建屋	第2高レベル濃縮廃液貯槽冷却水AポンプA 第2高レベル濃縮廃液貯槽冷却水AポンプB	✓		○	-	-	○	○	-	△	○	△	○(1-2)	-	○	-	△(1)	△	○(1-2)	-	△	-	-	-	-	-	○(1-2)	-	13			
		52	再処理施設	高レベル廃液ガラス固化建屋	第2高レベル濃縮廃液貯槽冷却水BポンプA 第2高レベル濃縮廃液貯槽冷却水BポンプB	✓		○	-	-	○	○	-	△	○	△	○(1-2)	-	○	-	△(1)	△	○(1-2)	-	△	-	-	-	-	-	○(1-2)	-	13			
		53	再処理施設	高レベル廃液ガラス固化建屋	安全冷水A系ポンプA 安全冷水A系ポンプB	✓		○	-	-	○	○	-	△	○	△	○(1-2)	-	○	-	△(1)	△	○(1-2)	-	△	-	-	-	-	-	○(1-2)	-	13			
		54	再処理施設	高レベル廃液ガラス固化建屋	安全冷水B系ポンプA 安全冷水B系ポンプB	✓		○	-	-	○	○	-	△	○	△	○(1-2)	-	○	-	△(1)	△	○(1-2)	-	△	-	-	-	-	-	○(1-2)	-	13			
		55	再処理施設	高レベル廃液ガラス固化建屋	高レベル廃液共用貯槽冷却水AポンプA 高レベル廃液共用貯槽冷却水AポンプB	✓		○	-	-	○	○	-	△	○	△	○(1-2)	-	○	-	△(1)	△	○(1-2)	-	△	-	-	-	-	-	○(1-2)	-	13			
		56	再処理施設	高レベル廃液ガラス固化建屋	高レベル廃液共用貯槽冷却水BポンプA 高レベル廃液共用貯槽冷却水BポンプB	✓		○	-	-	○	○	-	△	○	△	○(1-2)	-	○	-	△(1)	△	○(1-2)	-	△	-	-	-	-	-	○(1-2)	-	13			
		57	再処理施設	高レベル廃液ガラス固化建屋	安全冷水A冷凍機 スクリュー圧縮機 安全冷水A冷凍機 スクリュー圧縮機 安全冷水B冷凍機 スクリュー圧縮機 安全冷水B冷凍機 スクリュー圧縮機	✓		○	-	-	○	○	-	△	○	△	○(1-2)	-	○	-	△(1)	△	○(1-2)	-	△	-	-	-	-	-	○(1-2)	-	12			
		58	再処理施設	高レベル廃液ガラス固化建屋	安全冷水1AポンプA 安全冷水1AポンプB	✓		○	-	-	○	○	-	△	○	△	○(1-2)	-	○	-	△(1)	△	○(1-2)	-	△	-	-	-	-	-	○(1-2)	-	13			
		59	再処理施設	高レベル廃液ガラス固化建屋	安全冷水1BポンプA 安全冷水1BポンプB	✓		○	-	-	○	○	-	△	○	△	○(1-2)	-	○	-	△(1)	△	○(1-2)	-	△	-	-	-	-	-	○(1-2)	-	13			
		60	再処理施設	前処理建屋	建屋排風機A,B	✓		●(2)	-	-	●(1-2)	○	-	△	○	△	○(1-2)	-	●(2)	-	△(1)	△	●(2)	-	△	-	-	-	○	-	-	-	13			

類型化分類ごとの代表設備選定結果
(定型式 (5) ボルト支持剛体設備)

類型化分類	別紙番号	番号	施設区分	設置場所	設備名称	設工認申請状況 (✓は申請対象設備)	代表設備又は差分設説明を行う設備	①事業変更許可申請書の記載内容のうち当社特有の説明事項		②新規制基準における追加要求に係る説明事項	③評価内容及び既設工認からの変更点に係る説明事項	④その他先行発電プラントの審査実績を踏まえた説明事項等																				計			
								一関東評価用地震動(鉛直)に対する影響確認	重大事故評価における許容限界等の適用			可搬型SA設備等の耐震計算方針	既設工認からの変更点	水平2方向及び鉛直方向の地震力の組合せに関する設備の抽出及び考え方	鉛直方向の地震力考慮による設備の浮き上がり等の影響	動的地震力のSRS法による組合せ	下位クラス施設の影響の検討	Sd評価結果の記載方法	剛な設備の固有周期の算出	配管系の評価手法	材料物性のばらつき	動的機能維持評価手法の適用	新たに適用した減衰定数	機電設備の耐震計算書の作成	隣接建物の影響に対する影響確認	地震荷重と事故時荷重との組合せ	機器と配管の相対変位に対する設計上の扱い	計算機プログラム(解析コード)の概要	電気盤等の機能維持評価に適用する水平方向の評価用地震力	等価繰返し回数等の妥当性確認	屋内設備に対するアンカー一定着部の評価		機器の耐震計算における既設工認からの計算式の変更点	波状化に伴う機器設備の影響確認	ダクト評価で用いる補正係数、安全係数の設定根拠
								後次回申請	後次回			後次回	耐震機電13	耐震機電10	耐震機電01	耐震機電02	耐震機電03	耐震機電09	耐震機電17	耐震機電16	耐震機電11	耐震機電14	耐震機電18	耐震機電19	耐震機電21	耐震機電22	耐震機電23	耐震機電29	後次回	後次回	後次回		後次回	後次回	後次回
別紙1-32	61	再処理施設	前処理建屋	建屋排風機C	✓			●(②)	-	-	●(①-2)	○	-	△	○	△	○(①-2)	-	●(②)	-	△(①)	△	●(②)	-	△	-	-	-	○	-	-	-	-	13	
	62	再処理施設	分離建屋	建屋排風機A, B	✓			●(②)	-	-	●(①-2)	○	-	△	○	△	○(①-2)	-	●(②)	-	△(①)	△	●(②)	-	-	-	-	○	-	-	-	-	12		
	63	再処理施設	精製建屋	建屋排風機A, B	✓			○	-	-	●(①-2)	○	-	△	○	△	○(①-2)	-	○	-	△(①)	△	○(①-2)	-	△	-	-	-	○	-	-	-	-	13	
	64	再処理施設	ウラン・プルトニウム混合脱硝建屋	建屋排風機A, B	✓			○	-	-	●(①-2)	○	-	△	○	△	○(①-2)	-	○	-	△(①)	△	○(①-2)	-	-	-	-	○	-	-	-	-	12		
	65	再処理施設	高レベル廃液ガラス固化建屋	建屋排風機A, B	✓			○	-	-	○	○	-	△	○	△	○(①-2)	-	○	-	△(①)	△	○(①-2)	-	△	-	-	-	○	-	○(①-2)	-	-	14	
	66	再処理施設	緊急時対策建屋	緊急時対策建屋送風機	✓			-	-	-	●(①-2)	○	-	△	○	-	○(①-2)	-	-	-	△(①)	△	-	-	△	-	-	-	○	-	-	-	-	9	
	67	再処理施設	緊急時対策建屋	緊急時対策建屋排風機	✓			-	-	-	●(①-2)	○	-	△	○	-	○(①-2)	-	-	-	△(①)	△	-	-	△	-	-	○	-	-	-	-	9		
	68	再処理施設	緊急時対策建屋	燃料油移送ポンプ	✓			-	-	-	●(①-2)	○	-	△	○	-	○(①-2)	-	-	○(①)	△(①)	△	-	-	△	-	-	○	-	-	-	-	10		
	69	再処理施設	緊急時対策建屋	発電機至送風機	✓			-	-	-	●(①-2)	○	-	△	○	-	○(①-2)	-	-	-	△(①)	△	-	-	△	-	-	○	-	-	-	-	9		
別紙1-33	71	再処理施設	使用済燃料受入れ・貯蔵建屋	ディーゼル機関	✓			○	-	-	○	○	-	△	○	△	○(②)	-	○	-	△(①)	△	○(①-2)	-	△	-	-	○	-	-	-	-	13		
	72	再処理施設	使用済燃料受入れ・貯蔵建屋	同期発電機	✓			○	-	-	○	○	-	△	○	△	○(②)	-	○	-	△(①)	△	○(①-2)	-	-	-	-	○	-	-	-	-	12		
	73	再処理施設	非常用電源建屋	ディーゼル機関A, B	✓			●(②)	-	-	○	○	-	△	○	△	○(②)	-	●(②)	-	△(①)	△	●(②)	-	△	-	-	○	-	-	-	-	13		
	74	再処理施設	非常用電源建屋	第2非常用ディーゼル発電機A-B(同期発電機)	✓			○	-	-	○	○	-	△	○	△	○(②)	-	○	○(①)	△(①)	△	-	-	-	-	-	-	-	-	-	-	10		
定型式 (5) ボルト支持剛体設備	75	再処理施設	使用済燃料受入れ・貯蔵建屋	計器架台 フール水冷却系浄化系入口流量A (7121-F1-21-2-Aを収納)	✓			○	-	-	●(③-1)	○	-	△	○	△	○(③)	-	○	-	△(①)	△	○(①-2)	-	-	●	-	-	-	-	-	-	12		
	76	再処理施設	使用済燃料受入れ・貯蔵建屋	計器架台 キヤク冷却水入口流量A (7121-F1-21-3-Aを収納)	✓			○	-	-	●(③-1)	○	-	△	○	△	○(③)	-	○	-	△(①)	△	○(①-2)	-	-	●	-	-	-	-	-	-	12		
	77	再処理施設	使用済燃料受入れ・貯蔵建屋	安全系監視制御盤1A	✓			○	-	-	-	○	-	△	○	△	○(③)	-	○	-	△(①)	△	○(①-2)	-	-	●	-	-	-	-	-	-	11		
	78	再処理施設	使用済燃料受入れ・貯蔵建屋	安全系監視制御盤2	✓			○	-	-	●(③-1)	○	-	△	○	△	○(③)	-	○	-	△(①)	△	○(①-2)	-	-	●	-	-	-	-	-	-	12		
	79	再処理施設	使用済燃料受入れ・貯蔵建屋	安全系制御盤1A-1	✓			○	-	-	-	○	-	△	○	△	○(③)	-	○	-	△(①)	△	○(①-2)	-	-	●	-	-	-	-	-	-	11		
	80	再処理施設	使用済燃料受入れ・貯蔵建屋	安全系制御盤1A-2	✓			○	-	-	-	○	-	△	○	△	○(③)	-	○	-	△(①)	△	○(①-2)	-	-	●	-	-	-	-	-	-	11		
	81	再処理施設	使用済燃料受入れ・貯蔵建屋	電気設備制御盤A(非常用)	✓			○	-	-	●(③-1)	○	-	△	○	△	○(③)	-	○	-	△(①)	△	○(①-2)	-	-	●	-	-	-	-	-	-	12		
	82	再処理施設	使用済燃料受入れ・貯蔵建屋	電気設備制御盤E(非常用)	✓			○	-	-	●(③-1)	○	-	△	○	△	○(③)	-	○	-	△(①)	△	○(①-2)	-	-	●	-	-	-	-	-	-	12		
	83	再処理施設	使用済燃料受入れ・貯蔵建屋	105V非常用計測交流電源盤B	✓			○	-	-	○	○	-	△	○	△	○(③)	-	○	-	△(①)	△	○(①-2)	-	-	●	-	-	-	-	-	-	12		
	84	再処理施設	使用済燃料受入れ・貯蔵建屋	110V第1非常用蓄電池B(6個並び1段2列)	✓			○	-	-	○	○	-	△	○	△	○(③)	-	○	-	△(①)	△	○(①-2)	-	-	●	-	-	-	-	-	-	12		
	85	再処理施設	使用済燃料受入れ・貯蔵建屋	110V第1非常用蓄電池B(7個並び1段2列)	✓			○	-	-	○	○	-	△	○	△	○(③)	-	○	-	△(①)	△	○(①-2)	-	-	●	-	-	-	-	-	-	12		
	86	再処理施設	使用済燃料受入れ・貯蔵建屋	110V第1非常用蓄電池B(6個並び1段1列)	✓			○	-	-	○	○	-	△	○	△	○(③)	-	○	-	△(①)	△	○(①-2)	-	-	●	-	-	-	-	-	-	12		
	87	再処理施設	使用済燃料受入れ・貯蔵建屋	110V第1非常用蓄電池B(7個並び1段1列)	✓			○	-	-	○	○	-	△	○	△	○(③)	-	○	-	△(①)	△	○(①-2)	-	-	●	-	-	-	-	-	-	12		
	88	再処理施設	使用済燃料受入れ・貯蔵建屋	110V第1非常用蓄電池B(6個並び1段1列)	✓			○	-	-	○	○	-	△	○	△	○(③)	-	○	-	△(①)	△	○(①-2)	-	-	●	-	-	-	-	-	-	12		
	89	再処理施設	使用済燃料受入れ・貯蔵建屋	110V第1非常用蓄電池B(4個並び1段1列)	✓			○	-	-	○	○	-	△	○	△	○(③)	-	○	-	△(①)	△	○(①-2)	-	-	●	-	-	-	-	-	-	12		
90	再処理施設	使用済燃料受入れ・貯蔵建屋	110V非常用充電器盤B	✓			○	-	-	○	○	-	△	○	△	○(③)	-	○	-	△(①)	△	○(①-2)	-	-	●	-	-	-	-	-	-	12			
91	再処理施設	使用済燃料受入れ・貯蔵建屋	110V非常用直流主分電盤B	✓			○	-	-	○	○	-	△	○	△	○(③)	-	○	-	△(①)	△	○(①-2)	-	-	●	-	-	-	-	-	-	12			
92	再処理施設	使用済燃料受入れ・貯蔵建屋	第1非常用ディーゼル発電機A制御盤	✓			○	-	-	○	○	-	△	○	△	○(③)	-	○	-	△(①)	△	○(①-2)	-	-	●	-	-	-	-	-	-	12			
93	再処理施設	使用済燃料受入れ・貯蔵建屋	6.9kV非常用マルチクラッドスイッチギヤA	✓			○	-	-	-	○	-	△	○	△	○(③)	-	○	-	△(①)	△	○(①-2)	-	-	●	-	-	-	-	-	-	11			
94	再処理施設	使用済燃料受入れ・貯蔵建屋	460V非常用パワーセンサA(1)	✓			○	-	-	-	○	-	△	○	△	○(③)	-	○	-	△(①)	△	○(①-2)	-	-	●	-	-	-	-	-	-	11			
95	再処理施設	使用済燃料受入れ・貯蔵建屋	460V非常用パワーセンサA(2)	✓			○	-	-	-	○	-	△	○	△	○(③)	-	○	-	△(①)	△	○(①-2)	-	-	●	-	-	-	-	-	-	11			

類型化分類ごとの代表設備選定結果
(定型式 (5) ボルト支持剛体設備)

類型化分類	別紙番号	番号	施設区分	設置場所	設備名称	設工認申請状況 (✓は申請対象設備)	代表設備又は差分設説明を行う設備	①事業変更許可申請書の記載内容のうち当社特有の説明事項		②新規制基準における追加要求に係る説明事項	③評価内容及び既設工認からの変更点に係る説明事項	④他先行発電プラントの審査実績を踏まえた説明事項等																				計			
								一関東評価用地震動(鉛直)に対する影響確認	重大事故評価における許容限界等の適用			可搬型SA設備等の耐震計算方針	既設工認からの変更点	水平2方向及び鉛直方向の地震力の組合せに関する設備の抽出及び考え方	鉛直方向の動的地震力考慮による耐震機電01	動的地震力のSRS法による組合せ	下位クラス施設の波及的影響の検討	Sd評価結果の記載方法	剛な設備の固有周期の算出	配管系の評価手法	材料物性のばらつき	動的機能維持評価手法の適用	新たに適用した減衰定数	機電設備の耐震計算書の作成	隣接建物の影響に対する影響確認	地震荷重と事故時荷重との組合せ	機器と配管の相対変位に対する設計上の扱い	計算機プログラム(解析コード)の概要	電気盤等の機能維持評価に適用する水平方向の評価用地震力	等価繰返し回数等の妥当性確認	屋内設備に対するアンカー一定着部の評価		機器の耐震計算における既設工認からの計算式の変更点	ダクト評価で用いる補正係数、安全係数の設定根拠	
								耐震機電12	後次回			後次回	耐震機電13	耐震機電10	耐震機電01	耐震機電02	耐震機電03	耐震機電09	耐震機電17	耐震機電16	耐震機電11	耐震機電14	耐震機電18	耐震機電19	耐震機電21	耐震機電22	耐震機電23	耐震機電29	後次回	後次回	後次回		後次回	後次回	後次回
定型式 (5) ボルト支持剛体設備	別紙1-37	96	再処理施設	使用済燃料受入れ・貯蔵建屋	460V非常用パワーセンタ(3)	✓			○	-	-	○	-	△	○	△	○(3)	-	○	-	△(1)	△	○(1-2)	-	-	-	●	-	-	-	-	-	-	11	
		97	再処理施設	使用済燃料受入れ・貯蔵建屋	105V非常用無停電交流分電盤B1	✓			○	-	-	○	-	△	○	△	○(3)	-	○	-	△(1)	△	○(1-2)	-	-	-	●	-	-	-	-	-	-	11	
		98	再処理施設	使用済燃料受入れ・貯蔵建屋	105V非常用無停電電源装置B	✓			○	-	-	○	-	△	○	△	○(3)	-	○	-	△(1)	△	○(1-2)	-	-	-	●	-	-	-	-	-	-	-	11
		99	再処理施設	使用済燃料の受入れ施設及び貯蔵施設用安全冷却水冷却塔B基礎	計器架台安全冷却水系膨張槽B液位1, 安全冷却水系膨張槽B液位2, 7183-LT-02-1-B, 7183-LT-02-2-Bを収納)	✓			○	-	-	●(3-1)	○	-	△	○	△	○(3)	-	○	-	△(1)	△	○(1-2)	-	-	-	●	-	-	-	-	-	-	12
		100	再処理施設	前処理建屋	安全系制御盤(せん断工程A系列安全系A制御盤(計器盤1), (せん断工程B系列安全系A制御盤(計器盤2))	✓			○	-	-	-	○	-	△	○	△	○(3)	-	○	-	△(1)	△	○(1-2)	-	-	-	●	-	-	-	-	-	-	11
		101	再処理施設	前処理建屋	せん断工程A,B系列安全系A制御盤(リレー盤1)	✓			○	-	-	-	○	-	△	○	△	○(3)	-	○	-	△(1)	△	○(1-2)	-	-	-	●	-	-	-	-	-	-	11
		102	再処理施設	前処理建屋	せん断工程A,B系列安全系Aせん断停止系電源しゃ断箱	✓			○	-	-	-	○	-	△	○	△	○(3)	-	○	-	△(1)	△	○(1-2)	-	-	-	●	-	-	-	-	-	-	11
		103	再処理施設	前処理建屋	安全系制御盤(2)(溶解工程A系列安全系A制御盤(計器盤3), 溶解工程A系列・ユーティリティ工程安全系A制御盤1(計器盤4), 溶解工程A系列・ユーティリティ工程安全系A制御盤2(計器盤5))	✓			○	-	-	-	○	-	△	○	△	○(3)	-	○	-	△(1)	△	○(1-2)	-	-	-	●	-	-	-	-	-	-	11
		104	再処理施設	前処理建屋	溶解設備 安全系ANo.1計装ツク	✓			○	-	-	-	○	-	△	○	△	○(3)	-	○	-	△(1)	△	○(1-2)	-	-	-	●	-	-	-	-	-	-	11
		105	再処理施設	前処理建屋	溶解設備 安全系ANo.9計装ツク	✓			○	-	-	-	○	-	△	○	△	○(3)	-	○	-	△(1)	△	○(1-2)	-	-	-	●	-	-	-	-	-	-	11
		106	再処理施設	前処理建屋	溶解設備 安全系ANo.8計装ツク	✓			○	-	-	-	○	-	△	○	△	○(3)	-	○	-	△(1)	△	○(1-2)	-	-	-	●	-	-	-	-	-	-	11
		107	再処理施設	前処理建屋	清澄・計量設備安全系A計装ツク	✓			○	-	-	●(3-1)	○	-	△	○	△	○(3)	-	○	-	△(1)	△	○(1-2)	-	-	-	●	-	-	-	-	-	-	12
		108	再処理施設	前処理建屋	清澄・計量設備安全系A制御盤	✓			○	-	-	●(3-1)	○	-	△	○	△	○(3)	-	○	-	△(1)	△	○(1-2)	-	-	-	●	-	-	-	-	-	-	12
		109	再処理施設	前処理建屋	よう素除去工程C系統電源切替盤	✓			○	-	-	-	○	-	△	○	△	○(3)	-	○	-	△(1)	△	○(1-2)	-	-	-	●	-	-	-	-	-	-	11
		110	再処理施設	前処理建屋	圧縮空気設備 安全空気圧縮装置A現場監視制御盤	✓			○	-	-	●(3-1)	○	-	△	○	△	○(3)	-	○	-	△(1)	△	○(1-2)	-	-	-	●	-	-	-	-	-	-	12
		111	再処理施設	前処理建屋	圧縮空気設備 安全空気圧縮装置C現場制御回路分層盤A	✓			○	-	-	-	○	-	△	○	△	○(3)	-	○	-	△(1)	△	○(1-2)	-	-	-	●	-	-	-	-	-	-	11
		112	再処理施設	前処理建屋	圧縮空気設備 安全空気脱湿装置A現場監視制御盤	✓			○	-	-	●(3-1)	○	-	△	○	△	○(3)	-	○	-	△(1)	△	○(1-2)	-	-	-	●	-	-	-	-	-	-	12
		113	再処理施設	前処理建屋	蒸気設備 安全蒸気ホライ現場監視制御盤	✓			○	-	-	●(3-1)	○	-	△	○	△	○(3)	-	○	-	△(1)	△	○(1-2)	-	-	-	-	-	-	-	-	-	-	11
		114	再処理施設	前処理建屋	安全圧縮空気系 安全系A No.2計装ツク	✓			○	-	-	-	○	-	△	○	△	○(3)	-	○	-	△(1)	△	○(1-2)	-	-	-	●	-	-	-	-	-	-	11
		115	再処理施設	前処理建屋	溶解工程A,B系列安全系A溶解槽放射線レベル検出装制御盤	✓			○	-	-	-	○	-	△	○	△	○(3)	-	○	-	△(1)	△	○(1-2)	-	-	-	●	-	-	-	-	-	-	11
		116	再処理施設	前処理建屋	よう素除去工程安全系A制御盤1/よう素除去工程安全系A制御盤2/よう素除去工程安全系A制御盤3	✓			○	-	-	●(3-1)	○	-	△	○	△	○(3)	-	○	-	△(1)	△	○(1-2)	-	-	-	●	-	-	-	-	-	-	12
		117	再処理施設	前処理建屋	よう素除去工程排風機A制御盤	✓			○	-	-	●(3-1)	○	-	△	○	△	○(3)	-	○	-	△(1)	△	○(1-2)	-	-	-	●	-	-	-	-	-	-	12
		118	再処理施設	前処理建屋	よう素除去工程炭ガス加熱器A制御盤	✓			○	-	-	-	○	-	△	○	△	○(3)	-	○	-	△(1)	△	○(1-2)	-	-	-	●	-	-	-	-	-	-	11
		119	再処理施設	前処理建屋	よう素除去工程ミストフィルタA1,A2計器架台	✓			○	-	-	●(3-1)	○	-	△	○	△	○(3)	-	○	-	△(1)	△	○(1-2)	-	-	-	●	-	-	-	-	-	-	12
		120	再処理施設	前処理建屋	110V第2非常用蓄電池A(8個並び1段2列)	✓			○	-	-	-	○	-	△	○	△	○(3)	-	○	-	△(1)	△	○(1-2)	-	-	-	●	-	-	-	-	-	-	11
		121	再処理施設	前処理建屋	110V第2非常用蓄電池A(6個並び1段2列)	✓			○	-	-	-	○	-	△	○	△	○(3)	-	○	-	△(1)	△	○(1-2)	-	-	-	●	-	-	-	-	-	-	11
		122	再処理施設	前処理建屋	110V非常用充電器盤A(1)	✓			○	-	-	-	○	-	△	○	△	○(3)	-	○	-	△(1)	△	○(1-2)	-	-	-	●	-	-	-	-	-	-	11
		123	再処理施設	前処理建屋	110V非常用予備充電器盤E(2)	✓			○	-	-	○	○	-	△	○	△	○(3)	-	○	-	△(1)	△	○(1-2)	-	-	-	●	-	-	-	-	-	-	12
124	再処理施設	前処理建屋	110V非常用直流主分電盤A	✓			○	-	-	-	○	-	△	○	△	○(3)	-	○	-	△(1)	△	○(1-2)	-	-	-	●	-	-	-	-	-	-	11		
125	再処理施設	前処理建屋	6.9kV非常用メタラ	✓			○	-	-	-	○	-	△	○	△	○(3)	-	○	-	△(1)	△	○(1-2)	-	-	-	●	-	-	-	-	-	-	11		
126	再処理施設	前処理建屋	460V非常用コントロールセンタ1	✓			○	-	-	-	○	-	△	○	△	○(3)	-	○	-	△(1)	△	○(1-2)	-	-	-	●	-	-	-	-	-	-	11		
127	再処理施設	前処理建屋	460V非常用パワーセンタ(1)	✓			○	-	-	-	○	-	△	○	△	○(3)	-	○	-	△(1)	△	○(1-2)	-	-	-	●	-	-	-	-	-	-	11		
128	再処理施設	前処理建屋	460V非常用パワーセンタ(2)	✓			○	-	-	-	○	-	△	○	△	○(3)	-	○	-	△(1)	△	○(1-2)	-	-	-	●	-	-	-	-	-	-	11		

類型化分類ごとの代表設備選定結果
(定型式(5) ボルト支持剛体設備)

類型化分類	別紙番号	番号	施設区分	設置場所	設備名称	設工認申請状況 (✓は申請対象設備)	代表設備又は差分設説明を行う設備	④その他先行発電プラントの審査実績を踏まえた説明事項等																				計						
								①事業変更許可申請書の記載内容のうち当社特有の説明事項				②新規制基準における追加要求に係る説明事項		③評価内容及び既設工認からの変更点に係る説明事項																				
								一関東評価用地震動(鉛直)に対する影響確認	重大事故評価における許容限界等の適用	可搬型SA設備等の耐震計算方針	既設工認からの変更点	水平2方向及び鉛直方向の地震力の組合せに関する設備の抽出及び考え方	鉛直方向の動的地震力考慮による設備の浮き上がり等の影響	動的地震力のSRS法による組合せ	下位クラス施設の影響の検討	Sd評価結果の記載方法	剛な設備の固有周期の算出	配管系の評価手法	材料物性のばらつき	動的機能維持評価手法の適用	新たに適用した減衰定数	機電設備の耐震計算書の作成	隣接建物の影響に対する影響確認	地震荷重と事故時荷重との組合せ	機器と配管の相対変位に対する設計上の扱い	計算機プログラム(解析コード)の概要	電気盤等の機能維持評価に適用する水平方向の評価用地震力		等価繰返し回数の妥当性確認	屋内設備に対するアンカー一定着部の評価	機器の耐震計算における既設工認からの計算式の変更点	波状化に伴う機電設備の影響確認	ダクト評価で用いる補正係数、安全係数の設定根拠	
後次回申請	耐震機電12	後次回	後次回	耐震機電13	耐震機電10	耐震機電01	耐震機電02	耐震機電03	耐震機電09	耐震機電17	耐震機電16	耐震機電11	耐震機電14	耐震機電18	耐震機電19	耐震機電21	耐震機電22	耐震機電23	耐震機電29	後次回	後次回	後次回	後次回	後次回	後次回	後次回								
定型式 (5) ボルト支持剛体設備	別紙1-37	129	再処理施設	前処理建屋	460V非常用パワーセンタ(3)	✓		○	-	-	○	○	-	△	○	△	○(3)	-	○	-	△(1)	△	○(1-2)	-	-	-	●	-	-	-	-	-	-	12
		130	再処理施設	前処理建屋	460V非常用パワーセンタ(4)	✓		○	-	-	-	○	-	△	○	△	○(3)	-	○	-	△(1)	△	○(1-2)	-	-	-	●	-	-	-	-	-	-	11
		131	再処理施設	前処理建屋	105V非常用無停電電源装置A	✓		○	-	-	○	○	-	△	○	△	○(3)	-	○	-	△(1)	△	○(1-2)	-	-	-	●	-	-	-	-	-	-	12
		132	再処理施設	分離建屋	安全系制御盤(分離・分配工程安全系A制御盤1,2,3)	✓		○	-	-	●(3-1)	○	-	△	○	△	○(3)	-	○	-	△(1)	△	○(1-2)	-	-	-	●	-	-	-	-	-	-	12
		133	再処理施設	分離建屋	中性子モニタ安全系A制御盤	✓		○	-	-	●(3-1)	○	-	△	○	△	○(3)	-	○	-	△(1)	△	○(1-2)	-	-	-	●	-	-	-	-	-	-	12
		134	再処理施設	分離建屋	中性子モニタ安全系A7リアフ収納盤	✓		○	-	-	●(3-1)	○	-	△	○	△	○(3)	-	○	-	△(1)	△	○(1-2)	-	-	-	●	-	-	-	-	-	-	12
		135	再処理施設	分離建屋	分離設備 分配設備 安全系A計装ツク	✓		○	-	-	●(3-1)	○	-	△	○	△	○(3)	-	○	-	△(1)	△	○(1-2)	-	-	-	●	-	-	-	-	-	-	12
		136	再処理施設	分離建屋	分離設備 分離建屋一時貯留処理設備安全系A計装ツク	✓		○	-	-	●(3-1)	○	-	△	○	△	○(3)	-	○	-	△(1)	△	○(1-2)	-	-	-	●	-	-	-	-	-	-	12
		137	再処理施設	分離建屋	分離設備 安全系A No.1計装ツク	✓		○	-	-	-	○	-	△	○	△	○(3)	-	○	-	△(1)	△	○(1-2)	-	-	-	●	-	-	-	-	-	-	11
		138	再処理施設	分離建屋	分離設備 安全系A No.2計装ツク	✓		○	-	-	●(3-1)	○	-	△	○	△	○(3)	-	○	-	△(1)	△	○(1-2)	-	-	-	●	-	-	-	-	-	-	12
		139	再処理施設	分離建屋	7MFモニタ安全系A制御盤	✓		○	-	-	●(3-1)	○	-	△	○	△	○(3)	-	○	-	△(1)	△	○(1-2)	-	-	-	●	-	-	-	-	-	-	12
		140	再処理施設	分離建屋	第17MFモニタ計器架台	✓		○	-	-	-	○	-	△	○	△	○(3)	-	○	-	△(1)	△	○(1-2)	-	-	-	●	-	-	-	-	-	-	11
		141	再処理施設	分離建屋	ユーティリティ工程安全系A制御盤3	✓		○	-	-	-	○	-	△	○	△	○(3)	-	○	-	△(1)	△	○(1-2)	-	-	-	●	-	-	-	-	-	-	11
		142	再処理施設	分離建屋	塔槽類廃ガス処理設備安全系A計器架台	✓		○	-	-	●(3-1)	○	-	△	○	△	○(3)	-	○	-	△(1)	△	○(1-2)	-	-	-	●	-	-	-	-	-	-	12
		143	再処理施設	分離建屋	建屋換気設備 安全系A制御盤	✓		○	-	-	●(3-1)	○	-	△	○	△	○(3)	-	○	-	△(1)	△	○(1-2)	-	-	-	●	-	-	-	-	-	-	12
		144	再処理施設	分離建屋	高レベル廃液濃縮設備 安全系A No.1計器架台	✓		○	-	-	●(3-1)	○	-	△	○	△	○(3)	-	○	-	△(1)	△	○(1-2)	-	-	-	●	-	-	-	-	-	-	12
		145	再処理施設	分離建屋	高レベル廃液濃縮設備 安全系A No.2計器架台	✓		○	-	-	●(3-1)	○	-	△	○	△	○(3)	-	○	-	△(1)	△	○(1-2)	-	-	-	●	-	-	-	-	-	-	12
		146	再処理施設	分離建屋	ユーティリティ工程安全系A制御盤1	✓		○	-	-	-	○	-	△	○	△	○(3)	-	○	-	△(1)	△	○(1-2)	-	-	-	●	-	-	-	-	-	-	11
		147	再処理施設	分離建屋	110V第2非常用蓄電池A(1個用1段1列)	✓		○	-	-	○	○	-	△	○	△	○(3)	-	○	-	△(1)	△	○(1-2)	-	-	-	●	-	-	-	-	-	-	12
		148	再処理施設	分離建屋	110V第2非常用蓄電池A(2個用1段1列)	✓		○	-	-	-	○	-	△	○	△	○(3)	-	○	-	△(1)	△	○(1-2)	-	-	-	●	-	-	-	-	-	-	11
		149	再処理施設	分離建屋	110V第2非常用蓄電池A(4個用1段2列)	✓		○	-	-	-	○	-	△	○	△	○(3)	-	○	-	△(1)	△	○(1-2)	-	-	-	●	-	-	-	-	-	-	11
		150	再処理施設	分離建屋	110V非常用充電器盤A	✓		○	-	-	-	○	-	△	○	△	○(3)	-	○	-	△(1)	△	○(1-2)	-	-	-	●	-	-	-	-	-	-	11
		151	再処理施設	分離建屋	110V非常用予備充電器盤E	✓		○	-	-	-	○	-	△	○	△	○(3)	-	○	-	△(1)	△	○(1-2)	-	-	-	●	-	-	-	-	-	-	11
		152	再処理施設	分離建屋	110V非常用直流主分電盤A	✓		○	-	-	-	-	-	△	○	△	○(3)	-	○	-	△(1)	△	○(1-2)	-	-	-	●	-	-	-	-	-	-	11
		153	再処理施設	分離建屋	460V非常用コントロールセンタ(1)	✓		○	-	-	-	○	-	△	○	△	○(3)	-	○	-	△(1)	△	○(1-2)	-	-	-	●	-	-	-	-	-	-	11
		154	再処理施設	分離建屋	460V非常用コントロールセンタ(2)	✓		○	-	-	-	-	-	△	○	△	○(3)	-	○	-	△(1)	△	○(1-2)	-	-	-	●	-	-	-	-	-	-	11
		155	再処理施設	分離建屋	460V非常用パワーセンタ(1)	✓		○	-	-	-	○	-	△	○	△	○(3)	-	○	-	△(1)	△	○(1-2)	-	-	-	●	-	-	-	-	-	-	11
		156	再処理施設	分離建屋	460V非常用パワーセンタ(2)	✓		○	-	-	-	○	-	△	○	△	○(3)	-	○	-	△(1)	△	○(1-2)	-	-	-	●	-	-	-	-	-	-	11
		157	再処理施設	分離建屋	460V非常用パワーセンタ(3)	✓		○	-	-	-	○	-	△	○	△	○(3)	-	○	-	△(1)	△	○(1-2)	-	-	-	●	-	-	-	-	-	-	11
		158	再処理施設	分離建屋	105V非常用無停電交流主分電盤A1	✓		○	-	-	-	○	-	△	○	△	○(3)	-	○	-	△(1)	△	○(1-2)	-	-	-	●	-	-	-	-	-	-	11
159	再処理施設	分離建屋	105V非常用無停電電源装置A	✓		○	-	-	○	○	-	△	○	△	○(3)	-	○	-	△(1)	△	○(1-2)	-	-	-	●	-	-	-	-	-	-	12		
160	再処理施設	精製建屋	安全系制御盤(フルタイム精製工程安全系A制御盤1~3)	✓		○	-	-	-	-	-	△	○	△	○(3)	-	○	-	△(1)	△	○(1-2)	-	-	-	●	-	-	-	-	-	-	11		
161	再処理施設	精製建屋	ユーティリティ工程安全系A制御盤(ルー盤)	✓		○	-	-	-	○	-	△	○	△	○(3)	-	○	-	△(1)	△	○(1-2)	-	-	-	●	-	-	-	-	-	-	11		
162	再処理施設	精製建屋	フルタイム精製設備 安全系A No.1 計装ツク	✓		○	-	-	-	○	-	△	○	△	○(3)	-	○	-	△(1)	△	○(1-2)	-	-	-	●	-	-	-	-	-	-	11		
163	再処理施設	精製建屋	フルタイム精製設備 安全系A No.3 計装ツク	✓		○	-	-	-	○	-	△	○	△	○(3)	-	○	-	△(1)	△	○(1-2)	-	-	-	●	-	-	-	-	-	-	11		

類型化分類ごとの代表設備選定結果
(定型式 (5) ボルト支持剛体設備)

類型化分類	別紙番号	番号	施設区分	設置場所	設備名称	設工認申請状況 (✓は申請対象設備)	代表設備又は差分設備を 行う設備	④その他先行発電プラントの審査実績を踏まえた説明事項等																				計											
								①事業変更許可申請書の記載内容のうち当社特有の説明事項				②新規基準における追加要求に係る説明事項	③評価内容及び既設工認からの変更点に係る説明事項	一関東評価用地震動(鉛直)に対する影響確認	重大事故評価における許容限界等の適用	可搬型SA設備等の耐震計算方針	既設工認からの変更点	水平2方向及び鉛直方向の地震力による設備の浮き上がり等の影響	鉛直方向の動的地震力考慮による設備の浮き上がり等の影響	動的地震力のSRS法による組合せ	下位クラス施設の影響の検討	Sd評価結果の記載方法	剛な設備の固有周期の算出	配管系の評価手法	材料物性のばらつき	動的機能維持評価手法の適用	新たに適用した減衰定数		機電設備の耐震計算書の作成	隣接建物の影響に対する影響確認	地震荷重と事故時荷重との組合せ	機器と配管の相対変位に対する設計上の扱い	計算機プログラム(解析コード)の概要	電気盤等の機能維持評価に適用する水平方向の評価用地震力	等価繰返し回数確認	屋内設備に対するアンカー一定着部の評価	機器の耐震計算における既設工認からの計算式の変更点	ダクト評価で用いる補正係数、安全係数の設定根拠	
								耐震機電12	後次回	後次回	耐震機電13																												耐震機電10
定型式 (5) ボルト支持剛体設備	別紙1-37	164	再処理施設	精製建屋	ﾌﾞﾙｯﾄﾞｰﾑ精製設備 安全系A No.4 計装ﾌﾞｯｸ	✓		○	-	-	●(③-1)	○	-	△	○	△	○(③)	-	○	-	△(①)	△	○(①-2)	-	-	-	●	-	-	-	-	-	-	-	-	-	12		
		165	再処理施設	精製建屋	ﾌﾞﾙｯﾄﾞｰﾑ精製設備 安全系A 計器架台	✓		○	-	-	-	-	○	-	△	○	△	○(③)	-	○	-	△(①)	△	○(①-2)	-	-	-	●	-	-	-	-	-	-	-	-	-	11	
		166	再処理施設	精製建屋	ｱﾙﾌﾞﾘﾝｸﾞ安全系A制御盤	✓		○	-	-	-	-	○	-	△	○	△	○(③)	-	○	-	△(①)	△	○(①-2)	-	-	-	●	-	-	-	-	-	-	-	-	-	11	
		167	再処理施設	精製建屋	ｱﾙﾌﾞﾘﾝｸﾞ計器架台	✓		○	-	-	-	-	○	-	△	○	△	○(③)	-	○	-	△(①)	△	○(①-2)	-	-	-	●	-	-	-	-	-	-	-	-	-	11	
		168	再処理施設	精製建屋	塔槽類廃ガス処理系(ﾌﾞﾙｯﾄﾞｰﾑ系)安全系A計装ﾌﾞｯｸ	✓		○	-	-	-	-	○	-	△	○	△	○(③)	-	○	-	△(①)	△	○(①-2)	-	-	-	●	-	-	-	-	-	-	-	-	-	12	
		169	再処理施設	精製建屋	建屋換気設備安全系A制御盤	✓		○	-	-	-	-	○	-	△	○	△	○(③)	-	○	-	△(①)	△	○(①-2)	-	-	-	●	-	-	-	-	-	-	-	-	-	11	
		170	再処理施設	精製建屋	105V非常用計測交流電源盤A	✓		○	-	-	-	-	○	-	△	○	△	○(③)	-	○	-	△(①)	△	○(①-2)	-	-	-	●	-	-	-	-	-	-	-	-	-	11	
		171	再処理施設	精製建屋	110V第2非常用蓄電池A(6個用1段1列)	✓		○	-	-	-	-	○	-	△	○	△	○(③)	-	○	-	△(①)	△	○(①-2)	-	-	-	●	-	-	-	-	-	-	-	-	-	11	
		172	再処理施設	精製建屋	110V第2非常用蓄電池A(7個用1段1列)	✓		○	-	-	-	-	○	-	△	○	△	○(③)	-	○	-	△(①)	△	○(①-2)	-	-	-	●	-	-	-	-	-	-	-	-	-	11	
		173	再処理施設	精製建屋	110V非常用充電器盤A(1)	✓		○	-	-	-	-	○	-	△	○	△	○(③)	-	○	-	△(①)	△	○(①-2)	-	-	-	●	-	-	-	-	-	-	-	-	-	11	
		174	再処理施設	精製建屋	110V非常用充電器盤A(2)	✓		○	-	-	-	-	○	-	△	○	△	○(③)	-	○	-	△(①)	△	○(①-2)	-	-	-	●	-	-	-	-	-	-	-	-	-	11	
		175	再処理施設	精製建屋	110V非常用予備充電器盤E(3)	✓		○	-	-	-	-	○	-	△	○	△	○(③)	-	○	-	△(①)	△	○(①-2)	-	-	-	●	-	-	-	-	-	-	-	-	-	11	
		176	再処理施設	精製建屋	110V非常用直流主分電盤A	✓		○	-	-	-	-	○	-	△	○	△	○(③)	-	○	-	△(①)	△	○(①-2)	-	-	-	●	-	-	-	-	-	-	-	-	-	11	
		177	再処理施設	精製建屋	非常用電気設備ﾘｰﾝ盤A	✓		○	-	-	-	-	○	-	△	○	△	○(③)	-	○	-	△(①)	△	○(①-2)	-	-	-	●	-	-	-	-	-	-	-	-	-	11	
		178	再処理施設	精製建屋	460V非常用ｺﾝﾄﾛｰﾙｾﾝﾀﾞB1	✓		○	-	-	-	-	○	-	△	○	△	○(③)	-	○	-	△(①)	△	○(①-2)	-	-	-	●	-	-	-	-	-	-	-	-	-	12	
		179	再処理施設	精製建屋	460V非常用ﾊﾞｰｾﾝﾀﾞA(1)	✓		○	-	-	-	-	○	-	△	○	△	○(③)	-	○	-	△(①)	△	○(①-2)	-	-	-	●	-	-	-	-	-	-	-	-	-	11	
		180	再処理施設	精製建屋	460V非常用ﾊﾞｰｾﾝﾀﾞA(2)	✓		○	-	-	-	-	○	-	△	○	△	○(③)	-	○	-	△(①)	△	○(①-2)	-	-	-	●	-	-	-	-	-	-	-	-	-	12	
		181	再処理施設	精製建屋	460V非常用ﾊﾞｰｾﾝﾀﾞA(3)	✓		○	-	-	-	-	○	-	△	○	△	○(③)	-	○	-	△(①)	△	○(①-2)	-	-	-	●	-	-	-	-	-	-	-	-	-	12	
		182	再処理施設	精製建屋	105V非常用無停電交流主分電盤A	✓		○	-	-	-	-	○	-	△	○	△	○(③)	-	○	-	△(①)	△	○(①-2)	-	-	-	●	-	-	-	-	-	-	-	-	-	12	
		183	再処理施設	精製建屋	105V非常用無停電電源装置A	✓		○	-	-	-	-	○	-	△	○	△	○(③)	-	○	-	△(①)	△	○(①-2)	-	-	-	●	-	-	-	-	-	-	-	-	-	12	
		184	再処理施設	制御建屋	前処理建屋安全系A監視制御盤	✓		○	-	-	-	-	○	-	△	○	△	○(③)	-	○	-	△(①)	△	○(①-2)	-	-	-	●	-	-	-	-	-	-	-	-	-	11	
		185	再処理施設	制御建屋	制御建屋安全系A監視制御盤	✓		○	-	-	-	-	○	-	△	○	△	○(③)	-	○	-	△(①)	△	○(①-2)	-	-	-	●	-	-	-	-	-	-	-	-	-	-	11
		186	再処理施設	制御建屋	非常用電源建屋安全系A監視制御盤	✓		○	-	-	-	-	○	-	△	○	△	○(③)	-	○	-	△(①)	△	○(①-2)	-	-	-	●	-	-	-	-	-	-	-	-	-	-	11
		187	再処理施設	制御建屋	分離建屋安全系A監視制御盤	✓		○	-	-	-	-	○	-	△	○	△	○(③)	-	○	-	△(①)	△	○(①-2)	-	-	-	●	-	-	-	-	-	-	-	-	-	-	11
		188	再処理施設	制御建屋	精製建屋安全系A監視制御盤	✓		○	-	-	-	-	○	-	△	○	△	○(③)	-	○	-	△(①)	△	○(①-2)	-	-	-	●	-	-	-	-	-	-	-	-	-	-	11
		189	再処理施設	制御建屋	ﾗﾝﾌﾟﾌﾞﾙｯﾄﾞｰﾑ混合脱硝建屋安全系A監視制御盤	✓		○	-	-	-	-	○	-	△	○	△	○(③)	-	○	-	△(①)	△	○(①-2)	-	-	-	●	-	-	-	-	-	-	-	-	-	-	11
		190	再処理施設	制御建屋	換気空調設備安全系A制御盤	✓		○	-	-	-	-	○	-	△	○	△	○(③)	-	○	-	△(①)	△	○(①-2)	-	-	-	●	-	-	-	-	-	-	-	-	-	-	11
		191	再処理施設	制御建屋	110V第2非常用蓄電池A1(6個用1段1列)	✓		○	-	-	-	-	○	-	△	○	△	○(③)	-	○	-	△(①)	△	○(①-2)	-	-	-	●	-	-	-	-	-	-	-	-	-	-	11
		192	再処理施設	制御建屋	110V第2非常用蓄電池A1(7個用1段1列)	✓		○	-	-	-	-	○	-	△	○	△	○(③)	-	○	-	△(①)	△	○(①-2)	-	-	-	●	-	-	-	-	-	-	-	-	-	-	11
		193	再処理施設	制御建屋	220V第2非常用蓄電池A2(14個用1段2列)	✓		○	-	-	-	-	○	-	△	○	△	○(③)	-	○	-	△(①)	△	○(①-2)	-	-	-	●	-	-	-	-	-	-	-	-	-	-	11
194	再処理施設	制御建屋	220V第2非常用蓄電池A2(12個用1段2列)	✓		○	-	-	-	-	○	-	△	○	△	○(③)	-	○	-	△(①)	△	○(①-2)	-	-	-	●	-	-	-	-	-	-	-	-	-	-	11		
195	再処理施設	制御建屋	105V非常用計測交流主分電盤A	✓		○	-	-	-	-	○	-	△	○	△	○(③)	-	○	-	△(①)	△	○(①-2)	-	-	-	●	-	-	-	-	-	-	-	-	-	-	11		
196	再処理施設	制御建屋	105V非常用計測交流電源盤A	✓		○	-	-	-	-	○	-	△	○	△	○(③)	-	○	-	△(①)	△	○(①-2)	-	-	-	●	-	-	-	-	-	-	-	-	-	-	12		
197	再処理施設	制御建屋	110V非常用充電器盤A(1)	✓		○	-	-	-	-	○	-	△	○	△	○(③)	-	○	-	△(①)	△	○(①-2)	-	-	-	●	-	-	-	-	-	-	-	-	-	-	11		
198	再処理施設	制御建屋	110V非常用充電器盤A(2)	✓		○	-	-	-	-	○	-	△	○	△	○(③)	-	○	-	△(①)	△	○(①-2)	-	-	-	●	-	-	-	-	-	-	-	-	-	-	11		

類型化分類ごとの代表設備選定結果
(定型式(5)ボルト支持剛体設備)

類型化分類	別紙番号	番号	施設区分	設置場所	設備名称	設工認申請状況 (✓は申請対象設備)	代表設備又は差分設説明を行う設備	①事業変更許可申請書の記載内容のうち当社特有の説明事項		②新規制基準における追加要求に係る説明事項	③評価内容及び既設工認からの変更点に係る説明事項	④その他先行発電プラントの審査実績を踏まえた説明事項等																				計			
								一関東評価用地震動(鉛直)に対する影響確認	重大事故評価における許容限界等の適用			可搬型SA設備等の耐震計算方針	既設工認からの変更点	水平2方向及び鉛直方向の地震力の組合せに関する設備の抽出及び考え方	鉛直方向の動的地震力考慮による設備の浮き上がり等の影響	動的地震力のSRSS法による組合せ	下位クラス施設の影響の検討	Sd評価結果の記載方法	剛な設備の固有周期の算出	配管系の評価手法	材料物性のばらつき	動的機能維持評価手法の適用	新たに適用した減衰定数	機電設備の耐震計算書の作成	隣接建物の影響に対する影響確認	地震荷重と事故時荷重との組合せ	機器と配管の相対変位に対する設計上の扱い	計算機プログラム(解析コード)の概要	電気盤等の機能維持評価に適用する水平方向の評価用地震力	等価繰返し回数の妥当性確認	屋内設備に対するアンカー一定着部の評価		機器の耐震計算における既設工認からの計算式の変更点	波状化に伴う機電設備の影響確認	ダクト評価で用いる補正係数、安全係数の設定根拠
								後次回申請	耐震機電12			後次回	後次回	耐震機電13	耐震機電10	耐震機電01	耐震機電02	耐震機電03	耐震機電09	耐震機電17	耐震機電16	耐震機電11	耐震機電14	耐震機電18	耐震機電19	耐震機電21	耐震機電22	耐震機電23	耐震機電29	後次回	後次回		後次回	後次回	後次回
定型式 (5) ボルト支持 剛体設備	別紙1-37	199	再処理施設	制御建屋	110V非常用予備充電器盤E(3)	✓		○	-	-	○	-	△	○	△	○(3)	-	○	-	△(1)	△	○(1-2)	-	-	-	●	-	-	-	-	-	-	-	-	11
		200	再処理施設	制御建屋	110V非常用直流主分電盤A	✓		○	-	-	○	-	△	○	△	○(3)	-	○	-	△(1)	△	○(1-2)	-	-	-	●	-	-	-	-	-	-	-	-	11
		201	再処理施設	制御建屋	非常用電気設備リレー盤A	✓		○	-	-	○	-	△	○	△	○(3)	-	○	-	△(1)	△	○(1-2)	-	-	-	●	-	-	-	-	-	-	-	-	11
		202	再処理施設	制御建屋	6.9kV非常用マクアラ	✓		○	-	-	○	-	△	○	△	○(3)	-	○	-	△(1)	△	○(1-2)	-	-	-	●	-	-	-	-	-	-	-	-	11
		203	再処理施設	制御建屋	460V非常用コントロールセンタ1	✓		○	-	-	○	-	△	○	△	○(3)	-	○	-	△(1)	△	○(1-2)	-	-	-	●	-	-	-	-	-	-	-	-	11
		204	再処理施設	制御建屋	460V非常用パワーセンタ(1)	✓		○	-	-	○	-	△	○	△	○(3)	-	○	-	△(1)	△	○(1-2)	-	-	-	●	-	-	-	-	-	-	-	-	11
		205	再処理施設	制御建屋	460V非常用パワーセンタ(2)	✓		○	-	-	○	-	△	○	△	○(3)	-	○	-	△(1)	△	○(1-2)	-	-	-	●	-	-	-	-	-	-	-	-	11
		206	再処理施設	制御建屋	460V非常用パワーセンタ(3)	✓		○	-	-	○	-	△	○	△	○(3)	-	○	-	△(1)	△	○(1-2)	-	-	-	●	-	-	-	-	-	-	-	-	11
		207	再処理施設	制御建屋	460V非常用パワーセンタB(1)	✓		○	-	-	○	-	△	○	△	○(3)	-	○	-	△(1)	△	○(1-2)	-	-	-	●	-	-	-	-	-	-	-	-	11
		208	再処理施設	制御建屋	460V非常用パワーセンタB(2)	✓		○	-	-	○	-	△	○	△	○(3)	-	○	-	△(1)	△	○(1-2)	-	-	-	●	-	-	-	-	-	-	-	-	11
		209	再処理施設	制御建屋	105V非常用無停電交流主分電盤A	✓		○	-	-	○	-	△	○	△	○(3)	-	○	-	△(1)	△	○(1-2)	-	-	-	●	-	-	-	-	-	-	-	-	11
		210	再処理施設	制御建屋	105V非常用無停電電源装置A	✓		○	-	-	○	-	△	○	△	○(3)	-	○	-	△(1)	△	○(1-2)	-	-	-	●	-	-	-	-	-	-	-	-	12
		211	再処理施設	制御建屋	放射線監視盤	✓		○	-	-	○	-	△	○	△	○(3)	-	○	-	△(1)	△	○(1-2)	-	-	-	●	-	-	-	-	-	-	-	-	12
		212	再処理施設	主排気筒管理建屋	主排気筒ガスマニタック ガスサンプラA(低レンジ)	✓		○	-	-	○	-	△	○	△	○(3)	-	○	-	△(1)	△	○(1-2)	-	-	-	●	-	-	-	-	-	-	-	-	12
		213	再処理施設	主排気筒管理建屋	主排気筒ガスマニタック ガスサンプラA(中レンジ)	✓		○	-	-	○	-	△	○	△	○(3)	-	○	-	△(1)	△	○(1-2)	-	-	-	●	-	-	-	-	-	-	-	-	12
		214	再処理施設	主排気筒管理建屋	主排気筒ガスマニタック ガスサンプラA(高レンジ)	✓		○	-	-	○	-	△	○	△	○(3)	-	○	-	△(1)	△	○(1-2)	-	-	-	●	-	-	-	-	-	-	-	-	12
		215	再処理施設	主排気筒管理建屋	主排気筒ガスマニタック サンプルタックA	✓		○	-	-	○	-	△	○	△	○(3)	-	○	-	△(1)	△	○(1-2)	-	-	-	●	-	-	-	-	-	-	-	-	12
		216	再処理施設	ウラン・プルトニウム混合脱硝建屋	ウラン・プルトニウム混合脱硝設備 安全系A制御盤	✓		○	-	-	○	-	△	○	△	○(3)	-	○	-	△(1)	△	○(1-2)	-	-	-	●	-	-	-	-	-	-	-	-	11
		217	再処理施設	ウラン・プルトニウム混合脱硝建屋	溶液系安全系A計装タック	✓		○	-	-	○	-	△	○	△	○(3)	-	○	-	△(1)	△	○(1-2)	-	-	-	●	-	-	-	-	-	-	-	-	11
		218	再処理施設	ウラン・プルトニウム混合脱硝建屋	建屋換気設備安全系A制御盤	✓		○	-	-	○	-	△	○	△	○(3)	-	○	-	△(1)	△	○(1-2)	-	-	-	●	-	-	-	-	-	-	-	-	11
		219	再処理施設	ウラン・プルトニウム混合脱硝建屋	105V非常用計測交流主分電盤A	✓		○	-	-	○	-	△	○	△	○(3)	-	○	-	△(1)	△	○(1-2)	-	-	-	●	-	-	-	-	-	-	-	-	11
		220	再処理施設	ウラン・プルトニウム混合脱硝建屋	105V非常用計測交流電源盤A	✓		○	-	-	○	-	△	○	△	○(3)	-	○	-	△(1)	△	○(1-2)	-	-	-	●	-	-	-	-	-	-	-	-	12
		221	再処理施設	ウラン・プルトニウム混合脱硝建屋	110V第2非常用蓄電池A(6個用1段1列)	✓		○	-	-	○	-	△	○	△	○(3)	-	○	-	△(1)	△	○(1-2)	-	-	-	●	-	-	-	-	-	-	-	-	11
		222	再処理施設	ウラン・プルトニウム混合脱硝建屋	110V第2非常用蓄電池A(7個用1段1列)	✓		○	-	-	○	-	△	○	△	○(3)	-	○	-	△(1)	△	○(1-2)	-	-	-	●	-	-	-	-	-	-	-	-	11
		223	再処理施設	ウラン・プルトニウム混合脱硝建屋	110V非常用充電器盤A(1)	✓		○	-	-	○	-	△	○	△	○(3)	-	○	-	△(1)	△	○(1-2)	-	-	-	●	-	-	-	-	-	-	-	-	11
		224	再処理施設	ウラン・プルトニウム混合脱硝建屋	110V非常用充電器盤A(2)	✓		○	-	-	○	-	△	○	△	○(3)	-	○	-	△(1)	△	○(1-2)	-	-	-	●	-	-	-	-	-	-	-	-	11
		225	再処理施設	ウラン・プルトニウム混合脱硝建屋	110V非常用予備充電器盤E(3)	✓		○	-	-	○	-	△	○	△	○(3)	-	○	-	△(1)	△	○(1-2)	-	-	-	●	-	-	-	-	-	-	-	-	11
		226	再処理施設	ウラン・プルトニウム混合脱硝建屋	110V非常用直流主分電盤A	✓		○	-	-	○	-	△	○	△	○(3)	-	○	-	△(1)	△	○(1-2)	-	-	-	●	-	-	-	-	-	-	-	-	11
		227	再処理施設	ウラン・プルトニウム混合脱硝建屋	非常用電気設備リレー盤A	✓		○	-	-	○	-	△	○	△	○(3)	-	○	-	△(1)	△	○(1-2)	-	-	-	●	-	-	-	-	-	-	-	-	11
		228	再処理施設	ウラン・プルトニウム混合脱硝建屋	6.9kV非常用マクアラ	✓		○	-	-	○	-	△	○	△	○(3)	-	○	-	△(1)	△	○(1-2)	-	-	-	●	-	-	-	-	-	-	-	-	11
229	再処理施設	ウラン・プルトニウム混合脱硝建屋	460V非常用コントロールセンタ1	✓		○	-	-	○	-	△	○	△	○(3)	-	○	-	△(1)	△	○(1-2)	-	-	-	●	-	-	-	-	-	-	-	-	11		
230	再処理施設	ウラン・プルトニウム混合脱硝建屋	460V非常用パワーセンタ(1)	✓		○	-	-	○	-	△	○	△	○(3)	-	○	-	△(1)	△	○(1-2)	-	-	-	●	-	-	-	-	-	-	-	-	11		
231	再処理施設	ウラン・プルトニウム混合脱硝建屋	460V非常用パワーセンタ(2)	✓		○	-	-	○	-	△	○	△	○(3)	-	○	-	△(1)	△	○(1-2)	-	-	-	●	-	-	-	-	-	-	-	-	11		
232	再処理施設	ウラン・プルトニウム混合脱硝建屋	460V非常用パワーセンタ(3)	✓		○	-	-	○	-	△	○	△	○(3)	-	○	-	△(1)	△	○(1-2)	-	-	-	●	-	-	-	-	-	-	-	-	11		
233	再処理施設	ウラン・プルトニウム混合脱硝建屋	105V非常用無停電交流主分電盤A	✓		○	-	-	○	-	△	○	△	○(3)	-	○	-	△(1)	△	○(1-2)	-	-	-	●	-	-	-	-	-	-	-	-	11		

類型化分類ごとの代表設備選定結果
(定型式(5) ボルト支持剛体設備)

類型化分類	別紙番号	番号	施設区分	設置場所	設備名称	設工認申請状況 (は申請対象設備)	代表設備又は差設説明を行う設備	①事業変更許可申請書の記載内容のうち当社特有の説明事項		②新規制基準における追加要求に係る説明事項		③評価内容及び既設工事からの変更点に係る説明事項		④その他先行発電プラントの審査実績を踏まえた説明事項等																		計		
								一関東評価用地震動(鉛直)に対する影響確認	重大事故評価における許容限界等の適用	可搬型SA設備等の耐震計算方針	既設工認からの変更点	水平2方向及び鉛直方向の地震力の組合せに関する設備の抽出及び考え方	鉛直方向の動的地震力考慮による設備の浮き上がり等の影響	動的地震力のSRS法による組合せ	下位クラス施設の波及的影響の検討	Sd評価結果の記載方法	剛な設備の固有周期の算出	配管系の評価手法	材料物性のばらつき	動的機能維持評価手法の適用	新たに適用した減衰定数	機電設備の耐震計算書の作成	隣接建物の影響に対する影響確認	地震荷重と事故時荷重との組合せ	機器と配管の相対変位に対する設計上の扱い	計算機プログラム(解析コード)の概要	電気盤等の機能維持評価に適用する水平方向の評価用地震力	等価繰返し回数の妥当性確認	屋内設備に対するアンカー一定着部の評価	機器の耐震計算における既設工事からの計算式の変更点	波状化に伴う機電設備の影響確認		ダクト評価で用いる補正係数、安全係数の設定根拠	
								後次回申請	耐震機電12	後次回	後次回	耐震機電13	耐震機電10	耐震機電01	耐震機電02	耐震機電03	耐震機電09	耐震機電17	耐震機電16	耐震機電11	耐震機電14	耐震機電18	耐震機電19	耐震機電21	耐震機電22	耐震機電23	耐震機電29	後次回	後次回	後次回	後次回		後次回	後次回
定型式 (5) ボルト支持剛体設備	別紙1-37	234	再処理施設	ウラン・プルトニウム混合酸化物貯蔵建屋	105V非常用無停電電源装置A	✓			○	-	○	△	○(3)	-	○	-	△(1)	△	○(1-2)	-	-	-	●	-	-	-	-	-	-	-	-	12		
		235	再処理施設	ウラン・プルトニウム混合酸化物貯蔵建屋	建屋換気設備安全系A制御盤	✓			○	-	-	○	-	△	○	△	○(3)	-	○	-	△(1)	△	○(1-2)	-	-	-	●	-	-	-	-	-	11	
		236	再処理施設	ウラン・プルトニウム混合酸化物貯蔵建屋	110V第2非常用蓄電池A(16個用1段4列)	✓			○	-	-	○	-	△	○	△	○(3)	-	○	-	△(1)	△	○(1-2)	-	-	-	●	-	-	-	-	-	-	11
		237	再処理施設	ウラン・プルトニウム混合酸化物貯蔵建屋	110V第2非常用蓄電池B(20個用1段4列)	✓			○	-	-	○	-	△	○	△	○(3)	-	○	-	△(1)	△	○(1-2)	-	-	-	●	-	-	-	-	-	-	11
		238	再処理施設	ウラン・プルトニウム混合酸化物貯蔵建屋	110V非常用充電器盤A	✓			○	-	-	○	-	△	○	△	○(3)	-	○	-	△(1)	△	○(1-2)	-	-	-	●	-	-	-	-	-	-	11
		239	再処理施設	ウラン・プルトニウム混合酸化物貯蔵建屋	110V非常用予備充電器盤E	✓			○	-	-	○	-	△	○	△	○(3)	-	○	-	△(1)	△	○(1-2)	-	-	-	●	-	-	-	-	-	-	11
		240	再処理施設	ウラン・プルトニウム混合酸化物貯蔵建屋	110V非常用直流主分電盤A	✓			○	-	-	○	-	△	○	△	○(3)	-	○	-	△(1)	△	○(1-2)	-	-	-	●	-	-	-	-	-	-	11
		241	再処理施設	ウラン・プルトニウム混合酸化物貯蔵建屋	非常用電気設備Vレ線A	✓			○	-	-	○	-	△	○	△	○(3)	-	○	-	△(1)	△	○(1-2)	-	-	-	●	-	-	-	-	-	-	11
		242	再処理施設	ウラン・プルトニウム混合酸化物貯蔵建屋	460V非常用コントロールセンA	✓			○	-	-	○	-	△	○	△	○(3)	-	○	-	△(1)	△	○(1-2)	-	-	-	●	-	-	-	-	-	-	11
		243	再処理施設	ウラン・プルトニウム混合酸化物貯蔵建屋	460V非常用パワーセンA(1)	✓	☆		○	-	-	○	-	△	○	△	○(3)	-	○	-	△(1)	△	○(1-2)	-	-	-	●	-	-	-	-	-	-	11
		244	再処理施設	ウラン・プルトニウム混合酸化物貯蔵建屋	460V非常用パワーセンA(2)	✓			○	-	-	○	-	△	○	△	○(3)	-	○	-	△(1)	△	○(1-2)	-	-	-	●	-	-	-	-	-	-	11
		245	再処理施設	ウラン・プルトニウム混合酸化物貯蔵建屋	105V非常用無停電電源装置A	✓			○	-	-	○	-	△	○	△	○(3)	-	○	-	△(1)	△	○(1-2)	-	-	-	●	-	-	-	-	-	-	11
		246	再処理施設	非常用電源建屋	ユーティリティ工程安全系A制御盤(Vレ線)	✓			○	-	-	○	-	△	○	△	○(3)	-	○	-	△(1)	△	○(1-2)	-	-	-	●	-	-	-	-	-	-	11
		247	再処理施設	非常用電源建屋	110V第2非常用蓄電池A(28個用1段2列)	✓			○	-	-	○	-	△	○	△	○(3)	-	○	-	△(1)	△	○(1-2)	-	-	-	●	-	-	-	-	-	-	11
		248	再処理施設	非常用電源建屋	110V非常用充電器盤A(1)	✓			○	-	-	○	-	△	○	△	○(3)	-	○	-	△(1)	△	○(1-2)	-	-	-	●	-	-	-	-	-	-	11
		249	再処理施設	非常用電源建屋	110V非常用予備充電器盤E(2)	✓			○	-	-	○	-	△	○	△	○(3)	-	○	-	△(1)	△	○(1-2)	-	-	-	●	-	-	-	-	-	-	11
		250	再処理施設	非常用電源建屋	110V非常用直流主分電盤A	✓			○	-	-	○	-	△	○	△	○(3)	-	○	-	△(1)	△	○(1-2)	-	-	-	●	-	-	-	-	-	-	11
		251	再処理施設	非常用電源建屋	非常用電気設備Vレ線A1	✓			○	-	-	○	-	△	○	△	○(3)	-	○	-	△(1)	△	○(1-2)	-	-	-	●	-	-	-	-	-	-	11
		252	再処理施設	非常用電源建屋	第2非常用ディーゼル発電機A制御盤(1)	✓			○	-	-	○	-	△	○	△	○(3)	-	○	-	△(1)	△	○(1-2)	-	-	-	●	-	-	-	-	-	-	11
		253	再処理施設	非常用電源建屋	第2非常用ディーゼル発電機A制御盤(2)	✓			○	-	-	○	-	△	○	△	○(3)	-	○	-	△(1)	△	○(1-2)	-	-	-	●	-	-	-	-	-	-	11
		254	再処理施設	非常用電源建屋	6.9kV非常用マダラ	✓			○	-	-	○	-	△	○	△	○(3)	-	○	-	△(1)	△	○(1-2)	-	-	-	●	-	-	-	-	-	-	11
		255	再処理施設	非常用電源建屋	460V非常用コントロールセンA	✓			○	-	-	○	-	△	○	△	○(3)	-	○	-	△(1)	△	○(1-2)	-	-	-	●	-	-	-	-	-	-	11
		256	再処理施設	非常用電源建屋	非常用動力用変圧器A	✓			○	-	-	○	-	△	○	△	○(3)	-	○	-	△(1)	△	○(1-2)	-	-	-	●	-	-	-	-	-	-	12
		257	再処理施設	高レベル廃液ガラス固化建屋	安全系制御盤(高レベル廃液貯蔵・ガラス固化工程安全系B制御盤1,安全系B制御盤2)	✓			○	-	-	○	-	△	○	△	○(3)	-	○	-	△(1)	△	○(1-2)	-	-	-	●	-	-	-	-	-	-	11
		258	再処理施設	高レベル廃液ガラス固化建屋	安全系制御盤(高レベル廃液貯蔵・ガラス固化工程安全系B制御盤3,安全系B制御盤4,安全系B制御盤5)	✓			○	-	-	○	-	△	○	△	○(3)	-	○	-	△(1)	△	○(1-2)	-	-	-	●	-	-	-	-	-	-	11
		259	再処理施設	高レベル廃液ガラス固化建屋	高レベル廃液貯蔵・ガラス固化工程安全系B制御盤(Vレ線1)	✓			○	-	-	○	-	△	○	△	○(3)	-	○	-	△(1)	△	○(1-2)	-	-	-	●	-	-	-	-	-	-	11
		260	再処理施設	高レベル廃液ガラス固化建屋	塔槽類廃ガス処理設備 高レベル廃液ガラス固化設備 安全系A計装ツク	✓			○	-	-	●(3)-1	○	-	△	○	△	○(3)	-	○	-	△(1)	△	○(1-2)	-	-	-	●	-	-	-	-	-	12
		261	再処理施設	高レベル廃液ガラス固化建屋	高レベル廃液ガラス固化廃ガス処理設備第2排風機A安全系Aインバータ制御盤	✓			○	-	-	○	-	△	○	△	○(3)	-	○	-	△(1)	△	○(1-2)	-	-	-	●	-	-	-	-	-	-	11
262	再処理施設	高レベル廃液ガラス固化建屋	高レベル廃液ガラス固化廃ガス処理設備 高レベル廃液ガラス固化設備 安全系A計装ツク	✓			○	-	-	○	-	△	○	△	○(3)	-	○	-	△(1)	△	○(1-2)	-	-	-	●	-	-	-	-	-	-	11		
263	再処理施設	高レベル廃液ガラス固化建屋	高レベル廃液ガラス固化廃ガス処理設備安全系A No.3計器架台	✓			○	-	-	○	-	△	○	△	○(3)	-	○	-	△(1)	△	○(1-2)	-	-	-	●	-	-	-	-	-	-	11		
264	再処理施設	高レベル廃液ガラス固化建屋	固化セル換気系排風機A安全系Aインバータ制御盤	✓			○	-	-	○	-	△	○	△	○(3)	-	○	-	△(1)	△	○(1-2)	-	-	-	●	-	-	-	-	-	-	11		
265	再処理施設	高レベル廃液ガラス固化建屋	高レベル廃液ガラス固化建屋換気設備安全系A計装ツク	✓			○	-	-	●(3)-1	○	-	△	○	△	○(3)	-	○	-	△(1)	△	○(1-2)	-	-	-	●	-	-	-	-	-	12		
266	再処理施設	高レベル廃液ガラス固化建屋	高レベル濃縮廃液貯蔵系 安全系A 計装ツク	✓			○	-	-	●(3)-1	○	-	△	○	△	○(3)	-	○	-	△(1)	△	○(1-2)	-	-	-	●	-	-	-	-	-	12		
267	再処理施設	高レベル廃液ガラス固化建屋	不溶解残渣廃液貯蔵系 安全系A 計装ツク	✓			○	-	-	●(3)-1	○	-	△	○	△	○(3)	-	○	-	△(1)	△	○(1-2)	-	-	-	●	-	-	-	-	-	12		
268	再処理施設	高レベル廃液ガラス固化建屋	ガラス固化体重量計安全系A変換器収納盤	✓			○	-	-	○	-	△	○	△	○(3)	-	○	-	△(1)	△	○(1-2)	-	-	-	●	-	-	-	-	-	-	11		

類型化分類ごとの代表設備選定結果
(定型式(5)ボルト支持剛体設備)

類型化分類	別紙番号	番号	施設区分	設置場所	設備名称	設工認申請状況 (✓は申請対象設備)	代表設備又は差分設説明を行う設備	①事業変更許可申請書の記載内容のうち当社特有の説明事項		②新規制基準における追加要求に係る説明事項	③評価内容及び既設工認からの変更点に係る説明事項	④その他先行発電プラントの審査実績を踏まえた説明事項等																			計					
								一関東評価用地震動(鉛直)に対する影響確認	重大事故評価における許容限界等の適用			可搬型SA設備等の耐震計算方針	既設工認からの変更点	水平2方向及び鉛直方向の地震力の組合せに関する設備の抽出及び考え方	鉛直方向の動的地震力考慮による設備の浮き上がり等の影響	動的地震力のSRS法による組合せ	下位クラス施設の影響の検討	Sd評価結果の記載方法	剛な設備の固有周期の算出	配管系の評価手法	材料物性のばらつき	動的機能維持評価手法の適用	新たに適用した減衰定数	機器設備の耐震計算書の作成	隣接建物の影響に対する影響確認	地震荷重と事故時荷重との組合せ	機器と配管の相対変位に対する設計上の扱い	計算機プログラム(解析コード)の概要	電気盤等の機能維持評価に適用する水平方向の評価用地震力	等価繰返し回数の妥当性確認		屋内設備に対するアンカー一定着部の評価	機器の耐震計算における既設工認からの計算式の変更点	波状化に伴う機電設備の影響確認	ダクト評価で用いる補正係数、安全係数の設定根拠	
								後次回申請	耐震機電12			後次回	後次回	耐震機電13	耐震機電10	耐震機電01	耐震機電02	耐震機電03	耐震機電09	耐震機電17	耐震機電16	耐震機電11	耐震機電14	耐震機電18	耐震機電19	耐震機電21	耐震機電22	耐震機電23	耐震機電29	後次回		後次回	後次回	後次回	後次回	後次回
定型式 (5) ボルト支持剛体設備	別紙1-37	269	再処理施設	高レベル廃液ガラス固化建屋	流下ノズル高周波加熱安全系Aしゃ断器盤	✓			○	-	-	●(3-1)	○	-	△	○	△	○(3)	-	○	-	△(1)	△	○(1-2)	-	-	-	●	-	-	-	-	-	-	12	
		270	再処理施設	高レベル廃液ガラス固化建屋	高レベル廃液ガラス固化設備安全系A計装フック	✓			○	-	-	●(3-1)	○	-	△	○	△	○(3)	-	○	-	△(1)	△	○(1-2)	-	-	-	●	-	-	-	-	-	-	12	
		271	再処理施設	高レベル廃液ガラス固化建屋	高レベル廃液ガラス固化設備安全系A No.1計器架台	✓			○	-	-	●(3-1)	○	-	△	○	△	○(3)	-	○	-	△(1)	△	○(1-2)	-	-	-	●	-	-	-	-	-	-	12	
		272	再処理施設	高レベル廃液ガラス固化建屋	105V非常用計測交流主分電盤A	✓			○	-	-	-	-	○	-	△	○	△	○(3)	-	○	-	△(1)	△	○(1-2)	-	-	-	●	-	-	-	-	-	-	11
		273	再処理施設	高レベル廃液ガラス固化建屋	105V非常用計測交流電源盤A	✓			○	-	-	-	-	○	-	△	○	△	○(3)	-	○	-	△(1)	△	○(1-2)	-	-	-	●	-	-	-	-	-	-	11
		274	再処理施設	高レベル廃液ガラス固化建屋	110V第2非常用蓄電池A(6個用1段1列)	✓			○	-	-	-	-	○	-	△	○	△	○(3)	-	○	-	△(1)	△	○(1-2)	-	-	-	●	-	-	-	-	-	-	11
		275	再処理施設	高レベル廃液ガラス固化建屋	110V第2非常用蓄電池A(7個用1段1列)	✓			○	-	-	-	-	○	-	△	○	△	○(3)	-	○	-	△(1)	△	○(1-2)	-	-	-	●	-	-	-	-	-	-	11
		276	再処理施設	高レベル廃液ガラス固化建屋	110V第2非常用蓄電池A(14個用1段2列)	✓			○	-	-	-	-	○	-	△	○	△	○(3)	-	○	-	△(1)	△	○(1-2)	-	-	-	●	-	-	-	-	-	-	11
		277	再処理施設	高レベル廃液ガラス固化建屋	110V非常用充電器盤A	✓			○	-	-	-	-	○	-	△	○	△	○(3)	-	○	-	△(1)	△	○(1-2)	-	-	-	●	-	-	-	-	-	-	11
		278	再処理施設	高レベル廃液ガラス固化建屋	110V非常用予備充電器盤E	✓			○	-	-	-	-	○	-	△	○	△	○(3)	-	○	-	△(1)	△	○(1-2)	-	-	-	●	-	-	-	-	-	-	11
		279	再処理施設	高レベル廃液ガラス固化建屋	110V非常用直流主分電盤A	✓			○	-	-	-	-	○	-	△	○	△	○(3)	-	○	-	△(1)	△	○(1-2)	-	-	-	●	-	-	-	-	-	-	11
		280	再処理施設	高レベル廃液ガラス固化建屋	非常用電気設備リレー盤A	✓			○	-	-	-	-	○	-	△	○	△	○(3)	-	○	-	△(1)	△	○(1-2)	-	-	-	●	-	-	-	-	-	-	11
		281	再処理施設	高レベル廃液ガラス固化建屋	460V非常用コントロールセンタA1	✓			○	-	-	-	-	○	-	△	○	△	○(3)	-	○	-	△(1)	△	○(1-2)	-	-	-	●	-	-	-	-	-	-	11
		282	再処理施設	高レベル廃液ガラス固化建屋	460V非常用パワーセンタ(1)	✓			○	-	-	-	-	○	-	△	○	△	○(3)	-	○	-	△(1)	△	○(1-2)	-	-	-	●	-	-	-	-	-	-	11
		283	再処理施設	高レベル廃液ガラス固化建屋	460V非常用パワーセンタ(2)	✓			○	-	-	-	-	○	-	△	○	△	○(3)	-	○	-	△(1)	△	○(1-2)	-	-	-	●	-	-	-	-	-	-	11
		284	再処理施設	高レベル廃液ガラス固化建屋	460V非常用パワーセンタ(3)	✓			○	-	-	-	-	○	-	△	○	△	○(3)	-	○	-	△(1)	△	○(1-2)	-	-	-	●	-	-	-	-	-	-	11
		285	再処理施設	高レベル廃液ガラス固化建屋	105V非常用無停電交流主分電盤A	✓			○	-	-	-	-	○	-	△	○	△	○(3)	-	○	-	△(1)	△	○(1-2)	-	-	-	●	-	-	-	-	-	-	11
		286	再処理施設	高レベル廃液ガラス固化建屋	105V非常用無停電電源装置A	✓			○	-	-	-	-	○	-	△	○	△	○(3)	-	○	-	△(1)	△	○(1-2)	-	-	-	●	-	-	-	-	-	-	11
		287	再処理施設	緊急時対策建屋	監視制御盤	✓			-	-	-	-	-	●(1-1)	○	-	△	-	△	○(3)	-	○	-	△(1)	△	-	-	-	-	-	-	-	-	-	-	8
		288	再処理施設	緊急時対策建屋	計測交流変圧器	✓			-	-	-	-	-	●(1-1)	○	-	△	-	△	○(3)	-	○	-	△(1)	△	-	-	-	-	-	-	-	-	-	-	8
		289	再処理施設	緊急時対策建屋	6.9kVメタクラ	✓			-	-	-	-	-	●(1-1)	○	-	△	-	△	○(3)	-	○	-	△(1)	△	-	-	-	-	-	-	-	-	-	-	8
		290	再処理施設	緊急時対策建屋	460Vパワーセンタ	✓			-	-	-	-	-	●(1-1)	○	-	△	-	△	○(3)	-	○	-	△(1)	△	-	-	-	-	-	-	-	-	-	-	8
		291	再処理施設	緊急時対策建屋	460Vコントロールセンタ	✓			-	-	-	-	-	●(1-1)	○	-	△	-	△	○(3)	-	○	-	△(1)	△	-	-	-	-	-	-	-	-	-	-	8
		292	再処理施設	緊急時対策建屋	210Vコントロールセンタ	✓			-	-	-	-	-	●(1-1)	○	-	△	-	△	○(3)	-	○	-	△(1)	△	-	-	-	-	-	-	-	-	-	-	8
		293	再処理施設	緊急時対策建屋	105Vサーバ室分電盤	✓			-	-	-	-	-	●(1-1)	○	-	△	-	△	○(3)	-	○	-	△(1)	△	-	-	-	-	-	-	-	-	-	-	8
		294	再処理施設	緊急時対策建屋	105V通信・情報分電盤	✓			-	-	-	-	-	●(1-1)	○	-	△	-	△	○(3)	-	○	-	△(1)	△	-	-	-	-	-	-	-	-	-	-	8
		295	再処理施設	緊急時対策建屋	105V計測交流電源盤	✓			-	-	-	-	-	●(1-1)	○	-	△	-	△	○(3)	-	○	-	△(1)	△	-	-	-	-	-	-	-	-	-	-	8
		296	再処理施設	緊急時対策建屋	105V居室系分電盤	✓			-	-	-	-	-	●(1-1)	○	-	△	-	△	○(3)	-	○	-	△(1)	△	-	-	-	-	-	-	-	-	-	-	8
		297	再処理施設	緊急時対策建屋	105V無停電電源装置	✓			-	-	-	-	-	●(1-1)	○	-	△	-	△	○(3)	-	○	-	△(1)	△	-	-	-	-	-	-	-	-	-	-	8
		298	再処理施設	緊急時対策建屋	105V無停電電源装置(データ収集装置用)	✓			-	-	-	-	-	●(1-1)	○	-	△	-	△	○(3)	-	○	-	△(1)	△	-	-	-	-	-	-	-	-	-	-	8
		299	再処理施設	緊急時対策建屋	105V無停電分電盤	✓			-	-	-	-	-	●(1-1)	○	-	△	-	△	○(3)	-	○	-	△(1)	△	-	-	-	-	-	-	-	-	-	-	8
		300	再処理施設	緊急時対策建屋	105V無停電交流分電盤	✓			-	-	-	-	-	●(1-1)	○	-	△	-	△	○(3)	-	○	-	△(1)	△	-	-	-	-	-	-	-	-	-	-	8
		301	再処理施設	緊急時対策建屋	110V蓄電池	✓			-	-	-	-	-	●(1-1)	○	-	△	-	△	○(3)	-	○	-	△(1)	△	-	-	-	-	-	-	-	-	-	-	8
302	再処理施設	緊急時対策建屋	DG始動用蓄電池	✓			-	-	-	-	-	●(1-1)	○	-	△	-	△	○(3)	-	○	-	△(1)	△	-	-	-	-	-	-	-	-	-	-	8		
303	再処理施設	緊急時対策建屋	DG始動用充電器盤	✓			-	-	-	-	-	●(1-1)	○	-	△	-	△	○(3)	-	○	-	△(1)	△	-	-	-	-	-	-	-	-	-	-	8		

類型化分類ごとの代表設備選定結果
(定型式(5)ボルト支持剛体設備)

類型化分類	別紙番号	番号	施設区分	設置場所	設備名称	設工認申請状況 (✓は申請対象設備)	代表設備又は差込設説明を行う設備	④その他先行発電プラントの審査実績を踏まえた説明事項等																				計						
								①事業変更許可申請書の記載内容のうち当社特有の説明事項			②新規制基準における追加要求に係る説明事項	③評価内容及び既設工認からの変更点に係る説明事項																						
								一関東評価用地震動(鉛直)に対する影響確認	重大事故評価における許容限界等の適用	可搬型SA設備等の耐震計算方針	既設工認からの変更点	水平2方向及び鉛直方向の動的地震力考慮による設備の浮き上がり等の影響	鉛直方向の動的地震力考慮による設備の浮き上がり等の影響	動的地震力のSRS法による組合せ	下位クラス施設の影響の検討	Sd評価結果の記載方法	剛な設備の固有周期の算出	配管系の評価手法	材料物性のばらつき	動的機能維持評価手法の適用	新たに適用した減衰定数	機電設備の耐震計算書の作成	隣接建物の影響に対する影響確認	地震荷重と事故時荷重との組合せ	機器と配管の相対変位に対する設計上の扱い	計算機プログラム(解析コード)の概要	電気盤等の機能維持評価に適用する水平方向の評価用地震力		等価繰返し回数確認	屋内設備に対するアンカー一定着部の評価	機器の耐震計算における既設工認からの計算式の変更点	ダクト評価で用いている補正係数、安全係数の設定根拠		
後次回申請	耐震機電12	後次回	後次回	耐震機電13	耐震機電10	耐震機電01	耐震機電02	耐震機電03	耐震機電09	耐震機電17	耐震機電16	耐震機電11	耐震機電14	耐震機電18	耐震機電19	耐震機電21	耐震機電22	耐震機電23	耐震建物29	後次回	後次回	後次回	後次回	後次回	後次回									
定型式(5)ボルト支持剛体設備	別紙1-34	304	再処理施設	緊急時対策建屋	110V充電器盤	✓		-	-	-	●(①-1)	○	-	△	-	△	○(③)	-	○	-	△(①)	△	-	-	-	-	-	-	-	-	-	-	8	
		305	再処理施設	前処理建屋	不溶解残渣回収槽A, B; ソフ 1, 2 計量前中間貯槽A; ソフ 1, 2A, 2B, 3 計量前中間貯槽B; ソフ 1, 2A, 2B, 3 計量後中間貯槽A, B	✓		●(②)	-	-	●(③-1)	●	-	△	○	△	○(②)	-	●(②)	-	△(①)	△	●(②)	-	△	-	-	-	-	○	-	-	-	13
		306	再処理施設	前処理建屋	パルペイター-A, B	✓		○	-	-	●(③-1)	●	-	△	○	△	○(②)	-	●(②)	-	△(①)	△	●(②)	-	△	-	-	-	-	○	-	-	-	13
		307	再処理施設	分離建屋	溶解液中間貯槽A, B	✓		○	-	-	○	●	-	△	○	△	○(②)	-	○	-	△(①)	△	○(①-2)	-	△	-	-	-	○	-	-	-	-	13
		308	再処理施設	分離建屋	プルトニウム溶液中間貯槽A, B	✓		○	-	-	○	●	-	△	○	△	○(②)	-	○	-	△(①)	△	○(①-2)	-	△	-	-	-	○	-	-	-	-	13
		309	再処理施設	分離建屋	第2ウラン・プルトニウムモニタ計測ロボット	✓		○	-	-	●(①-2)	○	-	△	-	-	○(②)	-	○	-	△(①)	△	○(①-2)	-	△	-	-	-	○	-	-	-	-	11
		310	再処理施設	精製建屋	プルトニウム濃縮液A, B	✓		○	-	-	●(③-1)	○	-	△	○	△	○(②)	-	○	-	△(①)	△	○(①-2)	-	△	-	-	-	○	-	-	-	-	13
		311	再処理施設	精製建屋	プルトニウム濃縮液C, F	✓		○	-	-	●(③-1)	○	-	△	○	△	○(②)	-	○	-	△(①)	△	○(①-2)	-	△	-	-	-	○	-	-	-	-	13
		312	再処理施設	精製建屋	プルトニウム濃縮液E, D	✓		○	-	-	●(③-1)	○	-	△	○	△	○(②)	-	○	-	△(①)	△	○(①-2)	-	△	-	-	-	○	-	-	-	-	13
		313	再処理施設	ウラン・プルトニウム混合脱硝建屋	一時貯槽A 漏えい液移送槽A 漏えい液移送槽B	✓		○	-	-	●(③-1)	●	-	△	○	△	○(②)	-	○	-	△(①)	△	●(②)	-	○	-	-	-	-	-	-	-	-	-
別紙1-35	314	再処理施設	前処理建屋	セ4排気ファンユニットA セ4排気ファンユニットB セ4排気ファンユニットC セ4排気ファンユニットD	✓		○	-	-	○	○	-	△	○	△	○(②)	-	●(②)	-	△(①)	△	●(②)	-	△	-	-	-	-	○	-	-	-	13	
	315	再処理施設	前処理建屋	溶解槽セ4排気ファンユニットA 溶解槽セ4排気ファンユニットB 溶解槽セ4排気ファンユニットC 溶解槽セ4排気ファンユニットD 溶解槽セ4排気ファンユニットA 溶解槽セ4排気ファンユニットB 溶解槽セ4排気ファンユニットC 溶解槽セ4排気ファンユニットD	✓		○	-	-	○	○	-	△	○	△	○(②)	-	●(②)	-	△(①)	△	●(②)	-	△	-	-	-	-	○	-	-	-	13	
	316	再処理施設	前処理建屋	LPGボンベユニットA, B	✓		●(②)	-	-	●(③-1)	○	-	△	○	△	○(②)	-	●(②)	-	△(①)	△	●(②)	-	-	-	-	-	○	-	-	-	-	12	
	317	再処理施設	分離建屋	建屋排気ファンユニットN 建屋排気ファンユニットO 建屋排気ファンユニットB 建屋排気ファンユニットC 建屋排気ファンユニットD 建屋排気ファンユニットE 建屋排気ファンユニットF 建屋排気ファンユニットG 建屋排気ファンユニットH 建屋排気ファンユニットI 建屋排気ファンユニットJ 建屋排気ファンユニットK 建屋排気ファンユニットL 建屋排気ファンユニットM	✓		○	-	-	○	○	-	△	○	△	○(②)	-	○	-	△(①)	△	○(①-2)	-	△	-	-	-	-	○	-	-	-	-	13
	318	再処理施設	分離建屋	ダクト排気ファンユニットA	✓		○	-	-	○	○	-	△	○	△	○(②)	-	○	-	△(①)	△	○(①-2)	-	△	-	-	-	○	-	-	-	-	13	
	319	再処理施設	分離建屋	ダクト排気ファンユニットB ダクト排気ファンユニットC ダクト排気ファンユニットD ダクト排気ファンユニットE ダクト排気ファンユニットF ダクト排気ファンユニットG ダクト排気ファンユニットH ダクト排気ファンユニットI ダクト排気ファンユニットJ ダクト排気ファンユニットK	✓		○	-	-	○	○	-	△	○	△	○(②)	-	○	-	△(①)	△	○(①-2)	-	△	-	-	-	-	○	-	-	-	-	13
別紙1-35	320	再処理施設	分離建屋	建屋排気ファンユニットA	✓		○	-	-	○	○	-	△	○	△	○(②)	-	○	-	△(①)	△	○(①-2)	-	△	-	-	-	○	-	-	-	12		
	321	再処理施設	精製建屋	セ4排気ファンユニットA~J	✓		○	-	-	○	○	-	△	○	△	○(②)	-	○	-	△(①)	△	○(①-2)	-	-	-	-	○	-	-	-	-	12		
	322	再処理施設	精製建屋	C4Mセ4排気ファンユニットA, B, C	✓		○	-	-	○	○	-	△	○	△	○(②)	-	○	-	△(①)	△	○(①-2)	-	-	-	-	○	-	-	-	-	12		
	323	再処理施設	精製建屋	ダクト排気ファンユニットA, B	✓		○	-	-	○	○	-	△	○	△	○(②)	-	○	-	△(①)	△	○(①-2)	-	-	-	-	○	-	-	-	-	12		
	324	再処理施設	精製建屋	プルトニウム濃縮液A; ソフ A; ダクト排気ファンユニットA, B	✓		○	-	-	○	○	-	△	○	△	○(②)	-	○	-	△(①)	△	○(①-2)	-	-	-	-	-	-	-	-	-	-	11	
	325	再処理施設	精製建屋	プルトニウム濃縮液B; ソフ A; ダクト排気ファンユニットA, B	✓		○	-	-	○	○	-	△	○	△	○(②)	-	○	-	△(①)	△	○(①-2)	-	-	-	-	-	-	-	-	-	-	11	
	326	再処理施設	精製建屋	プルトニウム濃縮液C; ソフ A; E; ソフ A; ダクト排気ファンユニットA, B	✓		○	-	-	○	○	-	△	○	△	○(②)	-	○	-	△(①)	△	○(①-2)	-	-	-	-	-	-	-	-	-	-	11	
	327	再処理施設	精製建屋	プルトニウム濃縮液D; ソフ A; E; ソフ A; ダクト排気ファンユニットA, B	✓		○	-	-	○	○	-	△	○	△	○(②)	-	○	-	△(①)	△	○(①-2)	-	-	-	-	-	-	-	-	-	-	11	
	328	再処理施設	精製建屋	プルトニウム濃縮液E; ソフ A; E; ソフ A; ダクト排気ファンユニットA, B	✓		○	-	-	○	○	-	△	○	△	○(②)	-	○	-	△(①)	△	○(①-2)	-	-	-	-	-	-	-	-	-	-	11	

類型化分類ごとの代表設備選定結果
(定型式(5)ボルト支持剛体設備)

類型化分類	別紙番号	番号	施設区分	設置場所	設備名称	設工認申請状況 (✓は申請対象設備)	代表設備又は差分設説明を行う設備	④その他先行発電プラントの審査実績を踏まえた説明事項等																				計						
								①事業変更許可申請書の記載内容のうち当社特有の説明事項			②新規制基準における追加要求に係る説明事項		③評価内容及び既設工認からの変更点に係る説明事項		④その他先行発電プラントの審査実績を踏まえた説明事項等																			
								一関東評価用地震動(鉛直)に対する影響確認	重大事故評価における許容限界等の適用	可搬型SA設備等の耐震計算方針	既設工認からの変更点	水平2方向及び鉛直方向の動的地震力考慮による設備の浮き上がり等の影響	鉛直方向の動的地震力考慮による設備の浮き上がり等の影響	動的地震力のSRS法による組合せ	下位クラス施設の影響の検討	Sd評価結果の記載方法	剛な設備の固有周期の算出	配管系の評価手法	材料物性のばらつき	動的機能維持評価手法の適用	新たに適用した減衰定数	機器設備の耐震計算書の作成	隣接建物の影響に対する影響確認	地震荷重と事故時荷重との組合せ	機器と配管の相対変位に対する設計上の扱い	計算機プログラム(解析コード)の概要	電気盤等の機能維持評価に適用する水平方向の評価用地震力		等価繰返し回数等の妥当性確認	屋内設備に対するアンカー一定着部の評価	機器の耐震計算における既設工認からの計算式の変更点	ダクト評価で用いている補正係数、安全係数の設定根拠		
後次回申請	耐震機電12	後次回	後次回	耐震機電13	耐震機電10	耐震機電01	耐震機電02	耐震機電03	耐震機電09	耐震機電17	耐震機電16	耐震機電11	耐震機電14	耐震機電18	耐震機電19	耐震機電21	耐震機電22	耐震機電23	耐震機電29	後次回	後次回	後次回	後次回	後次回	後次回									
定型式 (5) ボルト支持 剛体設備	別紙1-35	329	再処理施設	精製建屋	セル導出ユニットフィルタA, B	✓		-	-	-	○	-	△	○	-	○(2)	-	-	-	△(1)	△	-	-	-	-	-	-	○	-	-	-	7		
		330	再処理施設	制御建屋	中央制御室7167ユニットA, B, C	✓		●(2)	-	-	●(3-1)	○	-	△	○	△	○(2)	-	●(2)	-	△(1)	△	●(2)	-	-	-	-	○	-	-	-	12		
		331	再処理施設	制御建屋	中央制御室空調ユニット	✓		●(2)	-	-	●(3-1)	○	-	△	○	△	○(2)	-	●(2)	-	△(1)	△	●(2)	-	-	-	-	○	-	-	-	12		
		332	再処理施設	ウラン・プルトニウム混合脱硝建屋	第1高性能粒子フィルタA, B, C	✓		○	-	-	○	-	-	△	○	△	○(2)	-	-	-	△(1)	△	-	-	-	-	-	-	-	○(1-2)	-	-	9	
		333	再処理施設	ウラン・プルトニウム混合脱硝建屋	第2高性能粒子フィルタA, B	✓		○	-	-	○	-	-	△	○	△	○(2)	-	-	-	△(1)	△	-	-	-	-	-	-	-	○(1-2)	-	-	9	
		334	再処理施設	ウラン・プルトニウム混合脱硝建屋	貯槽66排気7167ユニットA, B	✓		○	-	-	○	-	-	△	○	△	○(2)	-	-	-	△(1)	△	-	-	-	-	-	-	-	○(1-2)	-	-	9	
		335	再処理施設	ウラン・プルトニウム混合脱硝建屋	混合槽66排気7167ユニットA, B	✓		○	-	-	○	-	-	△	○	△	○(2)	-	-	-	△(1)	△	-	-	-	-	-	-	-	○(1-2)	-	-	9	
		336	再処理施設	ウラン・プルトニウム混合脱硝建屋	9'ユー・ボックス66排気7167ユニットA~F	✓		○	-	-	○	-	-	△	○	△	○(2)	-	-	-	△(1)	△	-	-	-	-	-	-	-	○(1-2)	-	-	9	
		337	再処理施設	ウラン・プルトニウム混合脱硝建屋	9'ユー・ボックス排気A7167	✓		○	-	-	○	-	-	△	○	△	○(2)	-	-	-	△(1)	△	-	-	-	-	-	-	-	○(1-2)	-	-	9	
		338	再処理施設	ウラン・プルトニウム混合脱硝建屋	9'ユー・ボックス排気B7167	✓		○	-	-	○	-	-	△	○	△	○(2)	-	-	-	△(1)	△	-	-	-	-	-	-	-	○(1-2)	-	-	9	
		339	再処理施設	ウラン・プルトニウム混合脱硝建屋	9'ユー・ボックス排気C7167	✓		○	-	-	○	-	-	△	○	△	○(2)	-	-	-	△(1)	△	-	-	-	-	-	-	-	○(1-2)	-	-	9	
		340	再処理施設	ウラン・プルトニウム混合脱硝建屋	貯蔵室排気7167ユニットA~Q	✓		○	-	-	○	-	-	△	○	△	○(2)	-	-	-	△(1)	△	-	-	-	-	-	-	-	○(1-2)	-	-	9	
		341	再処理施設	高レベル廃液ガラス固化建屋	ダストフィルタ	✓		○	-	-	○	-	-	△	○	△	○(2)	-	-	-	△(1)	△	-	-	-	-	-	-	-	○(1-2)	-	-	9	
		342	再処理施設	高レベル廃液ガラス固化建屋	ダストフィルタ	✓		○	-	-	○	-	-	△	○	△	○(2)	-	-	-	△(1)	△	-	-	-	-	-	-	-	○(1-2)	-	-	9	
		343	再処理施設	高レベル廃液ガラス固化建屋	固化66換気系排気7167ユニットA, B	✓		○	-	-	○	-	-	△	○	△	○(2)	-	-	-	△(1)	△	-	-	-	-	-	-	-	○(1-2)	-	-	9	
		344	再処理施設	高レベル廃液ガラス固化建屋	固化66圧力放出系前置7167ユニットA, B	✓		○	-	-	○	-	-	△	○	△	○(2)	-	-	-	△(1)	△	-	-	-	-	-	-	-	○(1-2)	-	-	9	
		345	再処理施設	高レベル廃液ガラス固化建屋	固化66圧力放出系排気7167ユニットA, B	✓		○	-	-	○	-	-	△	○	△	○(2)	-	-	-	△(1)	△	-	-	-	-	-	-	-	○(1-2)	-	-	9	
		346	再処理施設	高レベル廃液ガラス固化建屋	固化66入気7167ユニットA, B	✓		○	-	-	○	-	-	△	○	△	○(2)	-	-	-	△(1)	△	-	-	-	-	-	-	-	○(1-2)	-	-	9	
		347	再処理施設	高レベル廃液ガラス固化建屋	66排気7167ユニットA 66排気7167ユニットB 66排気7167ユニットC 66排気7167ユニットD 66排気7167ユニットE 66排気7167ユニットF 66排気7167ユニットG	✓		○	-	-	○	-	-	△	○	△	○(2)	-	-	-	△(1)	△	-	-	-	-	-	-	-	-	○(1-2)	-	-	9
		348	再処理施設	高レベル廃液ガラス固化建屋	67-70A吸着塔	✓		○	-	-	○	-	-	△	○	△	○(2)	-	-	-	△(1)	△	-	-	-	-	-	-	-	-	-	-	8	
		349	再処理施設	高レベル廃液ガラス固化建屋	第3高性能粒子フィルタA, B	✓		○	-	-	○	-	-	△	○	△	○(2)	-	-	-	△(1)	△	-	-	-	-	-	-	-	○(1-2)	-	-	9	
		350	再処理施設	高レベル廃液ガラス固化建屋	固化66ガラス固化体取納架台 (D77S波及的影響機器)	✓		○	-	-	○	-	-	△	-	△	○(2)	-	-	-	△(1)	△	-	-	-	-	-	-	-	-	-	-	7	
		351	再処理施設	前処理建屋	建屋排気7167ユニットC	✓		○	-	-	●(1-2)	○	-	△	○	△	○(2)	-	●(2)	-	△(1)	△	●(2)	-	△	-	-	-	○	-	-	-	13	
		352	再処理施設	前処理建屋	建屋排気7167ユニットA, B, D~S	✓		○	-	-	●(1-2)	○	-	△	○	△	○(2)	-	●(2)	-	△(1)	△	●(2)	-	△	-	-	-	○	-	-	-	13	
		353	再処理施設	精製建屋	建屋排気7167ユニットA~Q	✓		○	-	-	-	○	-	△	○	△	○(2)	-	○	-	△(1)	△	○(1-2)	-	-	-	-	○	-	-	-	11		
		354	再処理施設	ウラン・プルトニウム混合脱硝建屋	建屋排気7167ユニットA~V	✓		○	-	-	-	○	-	△	○	△	○(2)	-	○	-	△(1)	△	○(1-2)	-	-	-	-	-	○	-	-	-	11	
		355	再処理施設	高レベル廃液ガラス固化建屋	建屋排気7167ユニットA~K	✓		○	-	-	○	○	-	△	○	△	○(2)	-	○	-	△(1)	△	○(1-2)	-	△	-	-	-	○	-	○(1-2)	-	14	
		356	再処理施設	前処理建屋	セル導出ユニットフィルタA, B	✓		-	-	-	●(1-2)	○	-	△	-	-	○(2)	-	-	-	△(1)	△	-	-	△	-	-	-	-	-	-	-	7	
		357	再処理施設	緊急時対策建屋	緊急時対策建屋加圧ユニット	✓		-	-	-	●(1-2)	○	-	△	○	-	○(2)	-	-	-	△(1)	△	-	-	△	-	-	-	○	-	-	-	9	
		358	再処理施設	緊急時対策建屋	緊急時対策建屋フィルタユニット	✓		-	-	-	●(1-2)	○	-	△	○	-	○(2)	-	-	-	△(1)	△	-	-	△	-	-	-	○	-	-	-	9	
		359	再処理施設	前処理建屋	第1, 2高性能粒子フィルタA	✓		●(2)	-	-	○	○	-	△	○	△	○(2)	-	●(2)	-	△(1)	△	●(2)	-	△	-	-	-	-	-	-	-	12	
		360	再処理施設	前処理建屋	第1, 2高性能粒子フィルタB, C	✓		●(2)	-	-	○	○	-	△	○	△	○(2)	-	●(2)	-	△(1)	△	●(2)	-	△	-	-	-	-	-	-	-	12	
		361	再処理施設	前処理建屋	第1, 2高性能粒子フィルタD	✓		●(2)	-	-	○	○	-	△	○	△	○(2)	-	●(2)	-	△(1)	△	●(2)	-	△	-	-	-	-	-	-	-	12	
		362	再処理施設	前処理建屋	よう素7167A	✓		●(2)	-	-	○	○	-	△	○	△	○(2)	-	●(2)	-	△(1)	△	●(2)	-	△	-	-	-	-	-	-	-	12	

類型化分類ごとの代表設備選定結果
(定型式 (5) ボルト支持剛体設備)

類型化分類	別紙番号	番号	施設区分	設置場所	設備名称	設工認申請状況 (✓は申請対象設備)	代表設備又は差設説明を行う設備	①事業変更許可申請書の記載内容のうち当社特有の説明事項		②新規制基準における追加要求に係る説明事項	③評価内容及び既設工認からの変更点に係る説明事項	④その他先行発電プラントの審査実績を踏まえた説明事項等																								計	
								一関東評価用地震動(鉛直)に対する影響確認	重大事故評価における許容限界等の適用			可搬型SA設備等の耐震計算方針	既設工認からの変更点	水平2方向及び鉛直方向の地震力の組合せに関する設備の抽出及び考え方	鉛直方向の動的地震力考慮による設備の浮き上がり等の影響	動的地震力のSRS法による組合せ	下位クラス施設の影響の検討	Sd評価結果の記載方法	剛な設備の固有周期の算出	配管系の評価手法	材料物性のばらつき	動的機能維持評価手法の適用	新たに適用した減衰定数	機電設備の耐震計算書の作成	隣接建物の影響に対する影響確認	地震荷重と事故時荷重との組合せ	機器と配管の相対変位に対する設計上の扱い	計算機プログラム(解析コード)の概要	電気盤等の機能維持評価に適用する水平方向の評価用地震力	等価論議し回数に妥当性確認	屋内設備に対するアンカー一定着部の評価	機器の耐震計算における既設工認からの計算式の変更点	ダクト評価で用いる補正係数、安全係数の設定根拠				
								耐震機電12	後次回			後次回	耐震機電13	耐震機電10	耐震機電01	耐震機電02	耐震機電03	耐震機電09	耐震機電17	耐震機電16	耐震機電11	耐震機電14	耐震機電18	耐震機電19	耐震機電21	耐震機電22	耐震機電23	耐震機電29	後次回	後次回	後次回	後次回	後次回	後次回	後次回		
定型式 (5) ボルト支持剛体設備	別紙1-36	363	再処理施設	前処理建屋	よう素F167B,C	✓		●(2)	-	-	○	○	-	△	○	△	○(2)	-	●(2)	-	△(1)	△	●(2)	-	△	-	-	-	-	-	-	-	-	-	-	12	
		364	再処理施設	前処理建屋	よう素F167D	✓		●(2)	-	-	○	○	-	△	○	△	○(2)	-	●(2)	-	△(1)	△	●(2)	-	△	-	-	-	-	-	-	-	-	-	-	12	
		365	再処理施設	前処理建屋	溶解槽Aの排気前置F167A 溶解槽Bの排気前置F167A せん断機・溶解槽A保守セル排気前置F167A せん断機・溶解槽B保守セル排気前置F167A	✓		○	-	-	○	○	-	△	○	△	○(2)	-	●(2)	-	△(1)	△	●(2)	-	△	-	-	-	-	-	-	-	-	-	-	-	12
		366	再処理施設	前処理建屋	溶解槽Aの排気前置F167(B~D) 溶解槽Bの排気前置F167(B~D) せん断機・溶解槽A保守セル排気前置F167(B~D) せん断機・溶解槽B保守セル排気前置F167(B~D)	✓		○	-	-	○	○	-	△	○	△	○(2)	-	●(2)	-	△(1)	△	●(2)	-	△	-	-	-	-	-	-	-	-	-	-	-	12
		367	再処理施設	前処理建屋	溶解槽Aの排気前置F167E 溶解槽Bの排気前置F167E せん断機・溶解槽A保守セル排気前置F167E せん断機・溶解槽B保守セル排気前置F167E	✓		○	-	-	○	○	-	△	○	△	○(2)	-	●(2)	-	△(1)	△	●(2)	-	△	-	-	-	-	-	-	-	-	-	-	-	12
		368	再処理施設	分離建屋	第1,2高性能粒子F167A	✓		○	-	-	○	○	-	△	○	△	○(2)	-	○	-	△(1)	△	○(1-2)	-	△	-	-	-	-	-	-	-	-	-	-	-	12
		369	再処理施設	分離建屋	第1,2高性能粒子F167B,C,D,E	✓		○	-	-	○	○	-	△	○	△	○(2)	-	○	-	△(1)	△	○(1-2)	-	△	-	-	-	-	-	-	-	-	-	-	-	12
		370	再処理施設	分離建屋	よう素F167A,C	✓		○	-	-	○	○	-	△	○	△	○(2)	-	○	-	△(1)	△	○(1-2)	-	△	-	-	-	-	-	-	-	-	-	-	-	12
		371	再処理施設	分離建屋	よう素F167B,D	✓		○	-	-	○	○	-	△	○	△	○(2)	-	○	-	△(1)	△	○(1-2)	-	△	-	-	-	-	-	-	-	-	-	-	-	12
		372	再処理施設	分離建屋	第1,2高性能粒子F167A,B,C,D	✓		○	-	-	○	○	-	△	○	△	○(2)	-	○	-	△(1)	△	○(1-2)	-	△	-	-	-	-	-	-	-	-	-	-	-	12
		373	再処理施設	分離建屋	第1,2高性能粒子F167E	✓		○	-	-	○	○	-	△	○	△	○(2)	-	○	-	△(1)	△	○(1-2)	-	△	-	-	-	-	-	-	-	-	-	-	-	12
		374	再処理施設	精製建屋	第1,2高性能粒子F167A	✓		○	-	-	●(3-1)	○	-	△	○	△	○(2)	-	○	-	△(1)	△	○(1-2)	-	△	-	-	-	-	-	-	-	-	-	-	-	12
		375	再処理施設	精製建屋	第1,2高性能粒子F167B	✓		○	-	-	●(3-1)	○	-	△	○	△	○(2)	-	○	-	△(1)	△	○(1-2)	-	△	-	-	-	-	-	-	-	-	-	-	-	12
		376	再処理施設	精製建屋	第1,2高性能粒子F167C	✓		○	-	-	●(3-1)	○	-	△	○	△	○(2)	-	○	-	△(1)	△	○(1-2)	-	△	-	-	-	-	-	-	-	-	-	-	-	12
		377	再処理施設	精製建屋	よう素F167A	✓		○	-	-	●(3-1)	○	-	△	○	△	○(2)	-	○	-	△(1)	△	○(1-2)	-	△	-	-	-	-	-	-	-	-	-	-	-	12
		378	再処理施設	精製建屋	よう素F167B	✓		○	-	-	●(3-1)	○	-	△	○	△	○(2)	-	○	-	△(1)	△	○(1-2)	-	△	-	-	-	-	-	-	-	-	-	-	-	12
		379	再処理施設	精製建屋	よう素F167C	✓		○	-	-	●(3-1)	○	-	△	○	△	○(2)	-	○	-	△(1)	△	○(1-2)	-	△	-	-	-	-	-	-	-	-	-	-	-	12
		380	再処理施設	精製建屋	第1,2高性能粒子F167A	✓		○	-	-	●(3-1)	○	-	△	○	△	○(2)	-	○	-	△(1)	△	○(1-2)	-	△	-	-	-	-	-	-	-	-	-	-	-	12
		381	再処理施設	精製建屋	第1,2高性能粒子F167B	✓		○	-	-	●(3-1)	○	-	△	○	△	○(2)	-	○	-	△(1)	△	○(1-2)	-	△	-	-	-	-	-	-	-	-	-	-	-	12
		382	再処理施設	精製建屋	第1,2高性能粒子F167C	✓		○	-	-	●(3-1)	○	-	△	○	△	○(2)	-	○	-	△(1)	△	○(1-2)	-	△	-	-	-	-	-	-	-	-	-	-	-	12
		383	再処理施設	高レベル廃液ガラス固化建屋	第1,2高性能粒子F167A	✓		○	-	-	○	○	-	△	○	△	○(2)	-	○	-	△(1)	△	○(1-2)	-	△	-	-	-	-	-	-	-	-	-	○(1-2)	-	13
		384	再処理施設	高レベル廃液ガラス固化建屋	第1,2高性能粒子F167B	✓		○	-	-	○	○	-	△	○	△	○(2)	-	○	-	△(1)	△	○(1-2)	-	△	-	-	-	-	-	-	-	-	○(1-2)	-	13	
		385	再処理施設	高レベル廃液ガラス固化建屋	第1,2高性能粒子F167A	✓		○	-	-	○	○	-	△	○	△	○(2)	-	○	-	△(1)	△	○(1-2)	-	△	-	-	-	-	-	-	-	-	○(1-2)	-	13	
		386	再処理施設	高レベル廃液ガラス固化建屋	第1,2高性能粒子F167B	✓		○	-	-	○	○	-	△	○	△	○(2)	-	○	-	△(1)	△	○(1-2)	-	△	-	-	-	-	-	-	-	○(1-2)	-	13		
		387	再処理施設	高レベル廃液ガラス固化建屋	よう素F167A	✓		○	-	-	○	○	-	△	○	△	○(2)	-	○	-	△(1)	△	○(1-2)	-	△	-	-	-	-	-	-	-	○(1-2)	-	13		
		388	再処理施設	高レベル廃液ガラス固化建屋	よう素F167B	✓		○	-	-	○	○	-	△	○	△	○(2)	-	○	-	△(1)	△	○(1-2)	-	△	-	-	-	-	-	-	-	○(1-2)	-	12		
		389	再処理施設	高レベル廃液ガラス固化建屋	よう素F167C	✓		○	-	-	○	○	-	△	○	△	○(2)	-	○	-	△(1)	△	○(1-2)	-	△	-	-	-	-	-	-	-	○(1-2)	-	12		
		390	再処理施設	高レベル廃液ガラス固化建屋	よう素F167A	✓		○	-	-	○	○	-	△	○	△	○(2)	-	○	-	△(1)	△	○(1-2)	-	△	-	-	-	-	-	-	-	○(1-2)	-	12		
		391	再処理施設	高レベル廃液ガラス固化建屋	よう素F167B	✓		○	-	-	○	○	-	△	○	△	○(2)	-	○	-	△(1)	△	○(1-2)	-	△	-	-	-	-	-	-	-	○(1-2)	-	12		
		392	再処理施設	高レベル廃液ガラス固化建屋	よう素F167C	✓		○	-	-	○	○	-	△	○	△	○(2)	-	○	-	△(1)	△	○(1-2)	-	△	-	-	-	-	-	-	-	○(1-2)	-	12		

類型化分類ごとの代表設備選定結果
(定型式(6) 昇降設備)

類型化分類ごとの代表設備選定結果
(定型式 (6) 昇降設備)

・本表では類型化分類における代表設備の選定結果について示す。
 ・選定に当たっては、本紙3.3項に示す方法により行うものとし、各設備に対して補足説明資料「耐震建物01「耐震評価対象の網羅性、既設工認との手法の相違点の整理について」に示す説明事項の該当項目を示した上で、分類における説明事項が網羅的となる設備を代表として選定する。

※ 本資料の目的は、6月24日のヒアリングにて指摘のあった類型化分類を用いた代表設備選定の過程を示す事であり、後次回申請にて示す類型化分類毎の代表設備選定結果に対するサンプルを示す。

【凡例】
 ー：補足説明対象外
 △：検討対象設備／方針に対する説明を行う設備
 ○：検討対象設備／床応答スペクトルの重ね合わせ等により説明を行い、設備個別の検討結果をまでは示さず妥当性を示す設備
 ●：検討対象設備／補足説明資料にて設備個別の検討結果を用いて妥当性を示す設備
 ◎：説明代表設備
 ☆：差分説明を行う設備

類型化分類	別紙番号	番号	施設区分	設置場所	設備名称	設工認申請分割申請状況 (✓は申請対象設備)	代表設備又は差分設工認を行う設備	①事業変更許可申請書の記載内容のうち当社特有の説明事項		②新規制基準における追加要求に係る説明事項	③評価内容及び既設工認からの変更点に係る説明事項	④その他先行発電プラントの審査実績を踏まえた説明事項等																				計			
								一関東評価用地震動(鉛直)に対する影響確認	重大事故評価における許容限界等の適用	可搬型SA設備等の耐震計算方針	既設工認からの変更点	水平2方向及び鉛直方向地震力の組合せに関する設備の抽出及び考え方	鉛直方向の動的地震力考慮による設備の浮き上がり等の影響	動的地震力のSRS法による組合せ	下位クラス施設の波及的影響の検討	Sd評価結果の記載方法	剛な設備の固有周期の算出	配管系の評価手法	材料物性のばらつき	動的機能維持評価手法の適用	新たに適用した減衰定数	機電設備の耐震計算書の作成	隣接建屋の影響に対する影響確認	地震荷重と事故時荷重との組合せ	機器と配管の相対変位に対する設計上の扱い	計算機プログラム(解析コード)の概要	電気盤等の機能維持評価に適用する水平方向の評価用地震力	等価繰返し回数等の妥当性確認	屋内設備に対するアンカー一定着部の評価	機器の耐震計算における既設工認からの計算式の変更点	液状化に伴う機電設備の影響確認		グット評価で用いる補正係数、安全係数の設定根拠		
								後次回申請	後次回	後次回	耐震機電13	耐震機電10	耐震機電01	耐震機電02	耐震機電03	耐震機電09	耐震機電17	耐震機電16	耐震機電11	耐震機電14	耐震機電18	耐震機電19	耐震機電21	耐震機電22	耐震機電23	耐震建物29	後次回	後次回	後次回	後次回	後次回		後次回	後次回	
定型式 (6) 昇降設備	別紙1-42	1	再処理施設	ウラン・プルトニウム混合脱硝建屋	脱硝装置A, B昇降機	✓	◎	○	-	-	●(③-1)	●	-	△	-	-	○(②)	-	○	-	△(①)	△	●(②)	-	-	-	-	-	-	-	-	-	-	-	9

類型化分類ごとの代表設備選定結果
(定型式(7) はり構造設備)

類型化分類ごとの代表設備選定結果
(定型式(7)はり構造設備)

- ・本表では類型化分類における代表設備の選定結果について示す。
- ・選定に当たっては、本紙3.3項に示す方法により行うものとし、各設備に対して補足説明資料「耐震建物01「耐震評価対象の網羅性、既設工認との手法の相違点の整理について」に示す説明事項の該当項目を示した上で、分類における説明事項が網羅的となる設備を代表として選定する。

※ 本資料の目的は、6月24日のヒアリングにて指摘のあった類型化分類を用いた代表設備選定の過程を示す事であり、後次回申請にて示す類型化分類毎の代表設備選定結果に対するサンプルを示す。

【凡例】
 ー：補足説明対象外
 △：検討対象設備／方針に対する説明を行う設備
 ○：検討対象設備／床応答スペクトルの重ね合わせ等により説明を行い、設備個別の検討結果をまでは示さず妥当性を示す設備
 ●：検討対象設備／補足説明資料にて設備個別の検討結果を用いて妥当性を示す設備
 ◎：説明代表設備
 ☆：差分説明を行う設備

類型化分類	別紙番号	番号	施設区分	設置場所	設備名称	設工認申請状況 (✓は申請対象設備)	代表設備又は差分設工認を行う設備	①事業変更許可申請書の記載内容のうち当社特有の説明事項										②新規制基準における追加要求に係る説明事項	③評価内容及び既設工認からの変更点に係る説明事項	④その他先行発電プラントの審査実績を踏まえた説明事項等															計
								一関東評価用地震動(鉛直)に対する影響確認	重大事故評価における許容限界等の適用	可搬型SA設備等の耐震計算方針	既設工認からの変更点	水平2方向及び鉛直方向地震力の組合せに関する設備の浮き上がり等の影響	鉛直方向の動的地震力考慮による設備の浮き上がり等の影響	動的地震力のSRS法による組合せ	下位クラス施設の波及的影響の検討	Sd評価結果の記載方法	剛な設備の固有周期の算出			配管系の評価手法	材料物性のばらつき	動的機能維持評価手法の適用	新たに適用した減衰定数	機電設備の耐震計算書の作成	隣接建物の影響に対する影響確認	地震荷重と事故時荷重との組合せ	機器と配管の相対変位に対する設計上の扱い	計算機プログラム(解析コード)の概要	電気盤等の機能維持評価に適用する水平方向の評価用地震力	等価繰返し回数等の妥当性確認	屋内設備に対するアンカー定着部の評価	機器の耐震計算における既設工認からの計算式の変更点	波状化に伴う機電設備の影響確認	ダクト評価で用いる補正係数、安全係数の設定根拠	
								耐震機電12	後次回	後次回	耐震機電13	耐震機電10	耐震機電01	耐震機電02	耐震機電03	耐震機電09	耐震機電17			耐震機電16	耐震機電11	耐震機電14	耐震機電18	耐震機電19	耐震機電21	耐震機電21	耐震機電22	耐震機電23	耐震建物29	後次回	後次回	後次回	後次回	後次回	
定型式(7)はり構造設備	別紙1-44	2	再処理施設	使用済燃料受入れ・貯蔵建屋	燃料仮置きラックA, B	✓	◎	○	-	-	○	●	-	△	●(②-1)	△	○(②)	-	○	-	△(①)	△	●(②)	-	-	○	-	-	-	-	-	-	-	-	12
	別紙1-40	1	再処理施設	高レベル廃液ガラス固化建屋	迷路板(冷却空気出口シフト側)	✓		○	-	-	○	○	-	△	○	-	○(②)	-	○	-	△(①)	△	●(②)	-	-	○	-	-	-	-	-	○(①-1)	-	12	
	別紙1-39	2	再処理施設	高レベル廃液ガラス固化建屋	冷却空気出口側のルーバ	✓		○	-	-	○	○	-	△	○	-	○(②)	-	○	-	△(①)	△	●(②)	-	-	○	-	-	-	-	-	○(①-1)	-	12	
		3	再処理施設	第1ガラス固化体貯蔵建屋東棟	冷却空気出口側のルーバ	✓		○	-	-	○	○	-	△	○	-	○(②)	-	○	-	△(①)	△	●(②)	-	-	○	-	-	-	-	-	○(①-1)	-	12	
		4	再処理施設	第1ガラス固化体貯蔵建屋西棟	冷却空気出口側のルーバ	✓		○	-	-	○	○	-	△	○	-	○(②)	-	○	-	△(①)	△	●(②)	-	-	○	-	-	-	-	-	○(①-1)	-	12	
	5	再処理施設	ガラス固化体貯蔵建屋B棟	冷却空気出口ルーバ	✓		○	-	-	●(③-1)	○	-	△	-	-	○(②)	-	●(②)	-	△(①)	△	●(②)	-	-	-	-	-	-	-	-	-	○(①-1)	-	10	
別紙1-41	6	再処理施設	高レベル廃液ガラス固化建屋	ガラス固化体取扱ゾーンの	✓		○	-	-	○	○	●	△	○	-	-	-	●(②)	-	△(①)	△	●(②)	-	-	-	-	-	-	-	-	○(①-1)	-	11		

類型化分類ごとの代表設備選定結果
(定型式(8) 平板構造設備)

類型化分類ごとの代表設備選定結果
(定型式 (8) 平板構造設備)

・本表では類型化分類における代表設備の選定結果について示す。
 ・選定に当たっては、本紙3.3項に示す方法により行うものとし、各設備に対して補足説明資料「耐震建物01「耐震評価対象の網羅性、既設工認との手法の相違点の整理について」に示す説明事項の該当項目を示した上で、分類における説明事項が網羅的となる設備を代表として選定する。

※ 本資料の目的は、6月24日のヒアリングにて指摘のあった類型化分類を用いた代表設備選定の過程を示す事であり、後次回申請にて示す類型化分類毎の代表設備選定結果に対するサンプルを示す。

【凡例】
 一：補足説明対象外
 △：検討対象設備/方針に対する説明を行う設備
 ○：検討対象設備/床応答スペクトルの重ね合わせ等により説明を行い、設備個別の検討結果をまでは示さず妥当性を示す設備
 ●：検討対象設備/補足説明資料にて設備個別の検討結果を用いて妥当性を示す設備
 ◎：説明代表設備
 ☆：差分説明を行う設備

類型化分類	別紙番号	番号	施設区分	設置場所	設備名称	設工認申請分割申請状況 (✓は申請対象設備)	代表設備又は差分説明を行う設備	④その他先行発電プラントの審査実績を踏まえた説明事項等																								計			
								①事業変更許可申請書の記載内容のうち当社特有の説明事項				②新規基準における追加要求に係る説明事項	③評価内容及び既設工認からの変更点に係る説明事項																						
								一関東評価用地震動(鉛直)に対する影響確認	重大事故評価における許容限界等の適用	可搬型SA設備等の耐震計算方針	既設工認からの変更点	水平2方向及び鉛直方向の地震力の組合せに関する設備の抽出及び考え方	鉛直方向の動的地震力考慮による設備の浮き上がり等の影響	動的地震力のSRSS法による組合せ	下位クラス施設の影響の検討	Sd評価結果の記載方法	剛な設備の固有周期の算出	配管系の評価手法	材料物性のばらつき	動的機能維持評価手法の適用	新たに適用した減衰定数	機器設備の耐震計算書の作成	隣接建屋の影響に対する影響確認	地震荷重と事故時荷重との組合せ	機器と配管の相対変位に対する設計上の扱い	計算機プログラム(解析コード)の概要	電気盤等の機能維持評価に適用する水平方向の評価用地震力	等価繰返し回数の妥当性確認	屋内設備に対するアンカー一定着部の評価	機器の耐震計算における既設工認からの計算式の変更点	波状化に伴う機器設備の影響確認		ダクト評価で用いる補正係数、安全係数の設定根拠		
		1	再処理施設	前処理建屋	凝縮器	✓		○	-	-	●(◎-1)	○	-	△	○	△	○(◎)	-	●(◎)	-	△(△)	△	●(◎)	-	△	-	-	-	-	-	-	-	○(△-2)	-	13
		2	再処理施設	前処理建屋	冷却器	✓		●(◎)	-	-	●(◎-1)	○	-	△	○	△	○(◎)	-	●(◎)	-	△(△)	△	●(◎)	-	△	-	-	-	-	-	-	-	○(△-2)	-	13
		3	再処理施設	分離建屋	第8一時貯留処理槽 ^ア ミタ	✓		○	-	-	○	○	-	△	○	△	○(◎)	-	○	-	△(△)	△	○(△-2)	-	△	-	-	-	-	-	-	○(△-2)	-	13	
		4	再処理施設	分離建屋	凝縮器	✓		○	-	-	●(◎-1)	○	-	△	○	△	○(◎)	-	○	-	△(△)	△	○(△-2)	-	△	-	-	-	-	-	-	○(△-2)	-	13	
		5	再処理施設	分離建屋	冷却器	✓		○	-	-	●(◎-1)	○	-	△	○	△	○(◎)	-	○	-	△(△)	△	○(△-2)	-	△	-	-	-	-	-	-	○(△-2)	-	13	
		6	再処理施設	分離建屋	ア ^ホ ニカム溶液受槽 ^ア ミタ 第1一時貯留処理槽 ^ア ミタ 第7一時貯留処理槽 ^ア ミタ 第2一時貯留処理槽 ^ア ミタ	✓		○	-	-	○	○	-	△	○	△	○(◎)	-	○	-	△(△)	△	○(△-2)	-	△	-	-	-	-	-	-	○(△-2)	-	13	
		7	再処理施設	精製建屋	第1脱 ^ホ ス塔第1 ^ア ライン ^ホ ボット ^ア デ ^ホ ン	✓		○	-	-	●(◎-1)	○	-	△	○	△	○(◎)	-	○	-	△(△)	△	○(△-2)	-	△	-	-	-	-	-	-	○(△-2)	-	13	
		8	再処理施設	精製建屋	ア ^ホ ニカム濃縮缶供給槽 ^ア ホ ^ホ A,B	✓		○	-	-	●(◎-1)	○	-	△	○	△	○(◎)	-	○	-	△(△)	△	○(△-2)	-	△	-	-	-	-	-	-	○(△-2)	-	13	
		9	再処理施設	精製建屋	凝縮器	✓	◎	○	-	-	●(◎-1)	○	-	△	○	△	○(◎)	-	○	-	△(△)	△	○(△-2)	-	△	-	-	-	-	-	-	○(△-2)	-	13	
		10	再処理施設	精製建屋	よう素 ^ホ 冷却器	✓		○	-	-	●(◎-1)	○	-	△	○	△	○(◎)	-	○	-	△(△)	△	○(△-2)	-	△	-	-	-	-	-	-	○(△-2)	-	13	
	別紙1-22	11	再処理施設	精製建屋	第1一時貯留処理槽 ^ア ミタ 第3一時貯留処理槽 ^ア ミタ ア ^ホ ニカム溶液供給槽 ^ア ミタ 第1酸化塔 ^ア ホ ^ホ ボット ^ア デ ^ホ ン ア ^ホ ニカム濃縮缶供給槽 ^ア ミタ ア ^ホ ニカム溶液一時貯留槽 ^ア ミタ 希釈槽 ^ア ミタ ア ^ホ ニカム濃縮液一時貯留槽 ^ア ミタ	✓		○	-	-	●(◎-1)	○	-	△	○	△	○(◎)	-	○	-	△(△)	△	○(△-2)	-	△	-	-	-	-	-	-	○(△-2)	-	13	
		12	再処理施設	精製建屋	第2一時貯留処理槽 ^ア ミタ 第1脱 ^ホ ス塔第2 ^ア ライン ^ホ ボット ^ア デ ^ホ ン	✓		○	-	-	●(◎-1)	○	-	△	○	△	○(◎)	-	○	-	△(△)	△	○(△-2)	-	△	-	-	-	-	-	-	○(△-2)	-	13	
		13	再処理施設	精製建屋	第2酸化塔 ^ア ミタ 第2脱 ^ホ ス塔 ^ア ホ ^ホ ボット ^ア デ ^ホ ン ア ^ホ ニカム濃縮液受槽 ^ア ミタ 貯 ^ホ 槽 ^ア ミタ ア ^ホ ニカム濃縮液計量槽 ^ア ミタ ア ^ホ ニカム濃縮液中間貯留槽 ^ア ミタ	✓		○	-	-	●(◎-1)	○	-	△	○	△	○(◎)	-	○	-	△(△)	△	○(△-2)	-	△	-	-	-	-	-	-	○(△-2)	-	13	
		14	再処理施設	精製建屋	第3一時貯留処理槽 ^ア ホ ^ホ ボット ^ア デ ^ホ ン	✓		-	-	-	●(△-2)	-	-	-	-	-	○(◎)	-	○	-	△(△)	△	-	-	-	△	-	-	-	-	-	-	-	-	
		15	再処理施設	精製建屋	魔 ^ホ ス ^ホ ット	✓		-	-	-	●(△-2)	-	-	-	-	-	○(◎)	-	○	-	△(△)	△	-	-	△	-	-	-	-	-	-	-	-		
		16	再処理施設	ウラン・プルトニウム混合脱硝建屋	脱硝装置A,B	✓		○	-	-	●(◎-1)	○	-	△	○	△	○(◎)	-	○	-	△(△)	△	●(◎)	-	○	-	-	-	-	-	-	-	8		
		17	再処理施設	高レベル廃液ガラス固化建屋	凝縮器	✓		○	-	-	○	○	-	△	○	△	○	-	○	-	△(△)	△	○	-	△	-	-	-	-	-	○(△-2)	-	12		
		18	再処理施設	高レベル廃液ガラス固化建屋	凝縮器	✓		○	-	-	○	○	-	△	○	△	○	-	○	-	△(△)	△	○	-	△	-	-	-	-	-	○(△-2)	-	12		
		19	再処理施設	高レベル廃液ガラス固化建屋	魔 ^ホ ス ^ホ 冷却器	✓		○	-	-	○	○	-	△	○	△	○	-	○	-	△(△)	△	○	-	△	-	-	-	-	-	○(△-2)	-	12		
		20	再処理施設	高レベル廃液ガラス固化建屋	魔 ^ホ ス ^ホ 冷却器	✓		○	-	-	○	○	-	△	○	△	○	-	○	-	△(△)	△	○	-	△	-	-	-	-	-	○(△-2)	-	12		
	別紙1-38	21	再処理施設	前処理建屋	安全冷却水A,B補助冷却器	✓		●(◎)	-	-	●(◎-1)	○	-	△	○	△	○(◎)	-	●(◎)	-	△(△)	△	●(◎)	-	△	-	-	-	-	○	-	-	-	7	
		22	再処理施設	前処理建屋	安全冷却水1A,1B中間熱交換器	✓		●(◎)	-	-	○	○	-	△	○	△	○(◎)	-	●(◎)	-	△(△)	△	●(◎)	-	△	-	-	-	-	○	-	-	-	8	
		23	再処理施設	前処理建屋	安全冷却水2中間熱交換器	✓		●(◎)	-	-	○	○	-	△	○	△	○(◎)	-	●(◎)	-	△(△)	△	●(◎)	-	△	-	-	-	-	○	-	-	-	8	
		24	再処理施設	分離建屋	安全冷却水1A,1B中間熱交換器	✓		●(◎)	-	-	●(◎-1)	○	-	△	○	△	○(◎)	-	●(◎)	-	△(△)	△	●(◎)	-	△	-	-	-	-	○	-	-	-	7	
		25	再処理施設	分離建屋	安全冷却水2中間熱交換器	✓		●(◎)	-	-	●(◎-1)	○	-	△	○	△	○(◎)	-	●(◎)	-	△(△)	△	●(◎)	-	△	-	-	-	-	○	-	-	-	7	
		26	再処理施設	精製建屋	安全冷却水中間熱交換器A,B	✓		○	-	-	●(◎-1)	○	-	△	○	△	○(◎)	-	○	-	△(△)	△	○	-	△	-	-	-	-	○	-	-	-	10	
		27	再処理施設	精製建屋	安全冷却水中間熱交換器C	✓		○	-	-	●(◎-1)	○	-	△	○	△	○(◎)	-	○	-	△(△)	△	○	-	△	-	-	-	-	○	-	-	-	10	
		28	再処理施設	高レベル廃液ガラス固化建屋	高レベル ^ホ 濃縮液貯槽冷却水A,B中間熱交換器	✓		○	-	-	○	○	-	△	○	△	○(◎)	-	○	-	△(△)	△	○	-	●	-	-	-	-	○	-	○(△-2)	-	12	
		29	再処理施設	高レベル廃液ガラス固化建屋	高レベル ^ホ 濃縮液貯槽冷却水A,B中間熱交換器	✓		○	-	-	○	○	-	△	○	△	○(◎)	-	○	-	△(△)	△	○	-	●	-	-	-	-	○	-	○(△-2)	-	12	
		30	再処理施設	高レベル廃液ガラス固化建屋	安全冷却水A系,B系中間熱交換器	✓		○	-	-	○	○	-	△	○	△	○(◎)	-	○	-	△(△)	△	○	-	●	-	-	-	-	○	-	○(△-2)	-	12	
		31	再処理施設	高レベル廃液ガラス固化建屋	高レベル ^ホ 濃縮液共用貯槽冷却水A,B中間熱交換器	✓		○	-	-	○	○	-	△	○	△	○(◎)	-	○	-	△(△)	△	○	-	●	-	-	-	-	○	-	○(△-2)	-	12	

類型化分類ごとの代表設備選定結果
(定型式 (8) 平板構造設備)

類型化分類	別紙番号	番号	施設区分	設置場所	設備名称	設工認申請分割申請状況 (✓は申請対象設備)	代表設備又は差込設説明を行う設備	④その他先行発電プラントの審査実績を踏まえた説明事項等																				計					
								①事業変更許可申請書の記載内容のうち当社特有の説明事項			②新規制基準における追加要求に係る説明事項	③評価内容及び既設工認からの変更点に係る説明事項																					
								一関東評価用地震動(鉛直)に対する影響確認	重大事故評価における許容限界等の適用	可搬型SA設備等の耐震計算方針	既設工認からの変更点	水平2方向及び鉛直方向の地震力の組合せに関する設備の抽出及び考え方	鉛直方向の動的地震力考慮による設備の浮き上がり等の影響	動的地震力のSRSS法による組合せ	下位クラス施設の波及的影響の検討	Sd評価結果の記載方法	剛な設備の固有周期の算出	配管系の評価手法	材料物性のばらつき	動的機能維持評価手法の適用	新たに適用した減衰定数	機電設備の耐震計算書の作成	隣接建屋の影響に対する影響確認	地震荷重と事故時荷重との組合せ	機器と配管の相対変位に対する設計上の扱い	計算機プログラム(解析コード)の概要	電気盤等の機能維持評価に適用する水平方向の評価用地震力		等価繰返し回数の妥当性確認	屋内設備に対するアンカー一定着部の評価	機器の耐震計算における既設工認からの計算式の変更点	液状化に伴う機電設備の影響確認	ダクト評価で用いる補正係数、安全係数の設定根拠
耐震機電12	後次回	後次回	耐震機電13	耐震機電10	耐震機電01	耐震機電02	耐震機電03	耐震機電09	耐震機電17	耐震機電16	耐震機電11	耐震機電14	耐震機電18	耐震機電19	耐震機電21	耐震機電22	耐震機電23	耐震建物29	後次回	後次回	後次回	後次回	後次回	後次回	後次回								
定型式 (8) 平板構造設備	別紙1-38	32	再処理施設	高レベル廃液ガラス固化建屋	安全冷却水1A, 1B中間熱交換器	✓		○	-	-	○	○	-	△	○	△	○(②)	-	○	-	△(①)	△	○	-	●	-	-	-	○	-	○(①-2)	-	12

類型化分類ごとの代表設備選定結果
(FEM(1) JEAG4601 の計算式を適用する設備)

類型化分類ごとの代表設備選定結果
(FEM (1) JEAG4601の計算式を適用する設備)

・本表では類型化分類における代表設備の選定結果について示す。
・選定に当たっては、本紙3.3項に示す方法により行うものとし、各設備に対して補足説明資料「耐震建物01「耐震評価対象の網羅性、既設工認との手法の相違点の整理について」に示す説明事項の該当項目を示した上で、分類における説明事項が網羅的となる設備を代表として選定する。

※ 本資料の目的は、6月24日のヒアリングにて指摘のあった類型化分類を用いた代表設備選定の過程を示す事であり、後次回申請にて示す類型化分類毎の代表設備選定結果に対するサンプルを示す。

- 【凡例】
- : 補足説明対象外
 - △: 検討対象設備/方針に対する説明を行う設備
 - : 検討対象設備/床応答スペクトルの重ね合わせ等により説明を行い、設備個別の検討結果をまでは示さず妥当性を示す設備
 - : 検討対象設備/補足説明資料にて設備個別の検討結果を用いて妥当性を示す設備
 - ◎: 説明代表設備
 - ☆: 差分説明を行う設備

類型化分類	別紙番号	番号	施設区分	設置場所	設備名称	設工認申請 分割申請状況 (✓は申請 対象設備)	代表設備又は 差分説明を行う設備	①事業変更許可申請書の記載内容のうち 当社特有の説明事項																②新規制基 準における 追加要求に 係る説明事項												③評価内容 及び既設工 認からの変 更点に係る 説明事項												計
								④事業変更許可申請書の記載内容のうち 当社特有の説明事項			⑤新規制基 準における 追加要求に 係る説明事項			⑥評価内容 及び既設工 認からの変 更点に係る 説明事項			④その他先行発電プラントの審査実績を踏まえた説明事項等																															
								一関東評価 用地震動(鉛 直)に対する 影響確認	重大事故評 価における 許容限界等 の適用	可搬型SA設 備等の耐震 計算方針	既設工認か らの変更点	水平2方向及 び鉛直方向 地震力の組 合せに關する 設備の引き 上げ及び考 え方	鉛直方向の 動的地震力 考慮による 設備の浮き 上がり等の 影響	動的地震力 のSRS法に よる組合せ	下位クラス 施設の波及 的影響の検 討	Sd評価結果 の記載方法	剛な設備の 固有周期の 算出	配管系の評 価手法	材料物性 のばらつき	動的機能維 持評価手法 の適用	新たに適用 した減衰定 数	機能設備の 耐震計算書 の作成	隣接建屋の 影響に對し の影響確認	地震荷重と 事故時荷重 との組合せ	機器と配管 の相対変位 に對する設 計上の扱い	計算機プロ グラム(解 析コード) の概要	電気盤等の 機能維持評 価に適用す る水平方向 の評価用地 震力	等価繰返し 回数の妥当 性確認	屋内設備に 對するアン カー一定着 部の評価	機器の耐震 計算におけ る既設工認 からの計算 式の変更点	液状化に伴 う機能設備 の影響確認	ダクト評価 に用いる補 正係数、安 全係数の設 定根拠																
FEM (1) JEAG4601の 計算式を適 用する設備	別紙2-7	1	再処理施設	分離建屋	ブト-ム溶液受槽	✓		○	-	-	●(③-1)	○	-	△	○	△	-	-	○	-	△(①)	△	○(①-2)	-	△	○	-	-	-	-	-	-	12															
		2	再処理施設	分離建屋	ブト-ム溶液中間貯槽	✓		○	-	-	●(③-1)	○	-	△	○	△	-	-	○	-	△(①)	△	○(①-2)	-	△	○	-	-	○	-	-	-	13															
		3	再処理施設	分離建屋	第1一時留処理槽	✓		○	-	-	●(③-1)	○	-	△	○	△	-	-	○	-	△(①)	△	○(①-2)	-	△	○	-	-	-	-	-	-	-	12														
		4	再処理施設	分離建屋	第7一時留処理槽	✓		○	-	-	●(③-1)	○	-	△	○	△	-	-	○	-	△(①)	△	○(①-2)	-	△	○	-	-	-	-	-	-	-	12														
		5	再処理施設	分離建屋	第8一時留処理槽	✓		○	-	-	●(③-1)	○	-	△	○	△	-	-	○	-	△(①)	△	○(①-2)	-	△	○	-	-	-	-	-	-	-	12														
		6	再処理施設	分離建屋	第2一時留処理槽	✓		○	-	-	●(③-1)	○	-	△	○	△	-	-	○	-	△(①)	△	○(①-2)	-	△	○	-	-	-	-	-	-	-	12														
		7	再処理施設	分離建屋	第5一時留処理槽	✓		○	-	-	●(③-1)	○	-	△	○	△	-	-	○	-	△(①)	△	○(①-2)	-	△	○	-	-	-	-	-	-	-	12														
		8	再処理施設	精製建屋	第1一時留処理槽	✓		○	-	-	●(③-1)	○	-	△	○	△	-	-	○	-	△(①)	△	○(①-2)	-	△	○	-	-	-	-	-	-	-	-	12													
		9	再処理施設	精製建屋	第2一時留処理槽	✓		○	-	-	●(③-1)	○	-	△	○	△	-	-	○	-	△(①)	△	○(①-2)	-	△	○	-	-	-	-	-	-	-	-	12													
		10	再処理施設	精製建屋	第3一時留処理槽	✓		○	-	-	●(③-1)	○	-	△	●(②-1)	△	-	-	○	-	△(①)	△	○(①-2)	-	△	○	-	-	-	-	-	-	-	-	12													
		11	再処理施設	精製建屋	第4一時留処理槽	✓		○	-	-	●(③-1)	○	-	△	●(②-1)	△	-	-	○	-	△(①)	△	○(①-2)	-	△	○	-	-	-	-	-	-	-	-	12													
		12	再処理施設	精製建屋	ブト-ム溶液供給槽	✓		○	-	-	●(③-1)	○	-	△	○	△	-	-	○	-	△(①)	△	○(①-2)	-	△	○	-	-	-	-	-	-	-	-	12													
		13	再処理施設	精製建屋	ブト-ム溶液受槽	✓		○	-	-	●(③-1)	○	-	△	○	△	-	-	○	-	△(①)	△	○(①-2)	-	△	○	-	-	-	-	-	-	-	-	12													
		14	再処理施設	精製建屋	油水分離槽	✓		○	-	-	●(③-1)	○	-	△	○	△	-	-	○	-	△(①)	△	○(①-2)	-	△	○	-	-	-	-	-	-	-	-	12													
		15	再処理施設	精製建屋	ブト-ム濃縮缶供給槽	✓		○	-	-	●(③-1)	○	-	△	○	△	-	-	○	-	△(①)	△	○(①-2)	-	△	○	-	-	-	-	-	-	-	-	12													
		16	再処理施設	精製建屋	ブト-ム溶液一時貯槽	✓		○	-	-	●(③-1)	○	-	△	○	△	-	-	○	-	△(①)	△	○(①-2)	-	△	○	-	-	-	-	-	-	-	-	12													
		17	再処理施設	精製建屋	ブト-ム濃縮液受槽	✓		○	-	-	●(③-1)	○	-	△	○	△	-	-	○	-	△(①)	△	○(①-2)	-	△	○	-	-	-	-	-	-	-	-	12													
		18	再処理施設	精製建屋	サキ槽	✓		○	-	-	●(③-1)	○	-	△	○	△	-	-	○	-	△(①)	△	○(①-2)	-	△	○	-	-	-	-	-	-	-	-	12													
		19	再処理施設	精製建屋	希釈槽	✓		○	-	-	●(③-1)	○	-	△	○	△	-	-	○	-	△(①)	△	○(①-2)	-	△	○	-	-	-	-	-	-	-	-	12													
		20	再処理施設	精製建屋	ブト-ム濃縮液一時貯槽	✓		○	-	-	●(③-1)	○	-	△	○	△	-	-	○	-	△(①)	△	○(①-2)	-	△	○	-	-	-	-	-	-	-	-	12													
		21	再処理施設	精製建屋	ブト-ム濃縮液計量槽	✓		○	-	-	●(③-1)	○	-	△	○	△	-	-	○	-	△(①)	△	○(①-2)	-	△	○	-	-	-	-	-	-	-	-	12													
		22	再処理施設	精製建屋	ブト-ム濃縮液中間貯槽	✓		○	-	-	●(③-1)	○	-	△	○	△	-	-	○	-	△(①)	△	○(①-2)	-	△	○	-	-	-	-	-	-	-	-	12													
別紙2-8	23	再処理施設	分離建屋	ブト-ム溶液TBP洗浄器	✓		○	-	-	○	○	-	△	○	△	-	-	○	-	△(①)	△	○(①-2)	-	△	○	-	-	-	-	-	-	-	12															
	24	再処理施設	分離建屋	ブト-ム洗浄器	✓		○	-	-	○	○	-	△	○	△	-	-	○	-	△(①)	△	○(①-2)	-	△	○	-	-	-	-	-	-	-	12															
	25	再処理施設	分離建屋	第1洗浄器	✓		○	-	-	○	○	-	△	○	△	-	-	○	-	△(①)	△	○(①-2)	-	△	○	-	-	-	-	-	-	-	12															
	26	再処理施設	精製建屋	TBP洗浄器	✓		○	-	-	●(③-1)	○	-	△	○	△	-	-	○	-	△(①)	△	○(①-2)	-	△	○	-	-	-	-	-	-	-	12															
別紙2-9	27	再処理施設	精製建屋	ブト-ム洗浄器	✓		-	-	-	●(①-2)	○	-	△	-	-	○(②)	-	-	-	△(①)	△	-	-	△	○	-	-	-	-	-	-	8																
	28	再処理施設	分離建屋	TBP洗浄塔-トリフトンA ⁺ ファクター	✓		○	-	-	○	○	-	△	○	△	-	-	○	-	△(①)	△	○(①-2)	-	△	○	-	-	-	-	-	-	-	12															
	29	再処理施設	分離建屋	抽出塔流量計測 [△] ットA/抽出塔-トリフトンA ⁺ ファクター	✓		○	-	-	○	○	-	△	○	△	-	-	○	-	△(①)	△	○(①-2)	-	△	○	-	-	-	-	-	-	-	12															
	30	再処理施設	分離建屋	第1洗浄塔流量計測 [△] ットA/第1洗浄塔-トリフトンA ⁺ ファクター	✓		○	-	-	○	○	-	△	○	△	-	-	○	-	△(①)	△	○(①-2)	-	△	○	-	-	-	-	-	-	-	12															
	31	再処理施設	分離建屋	第2洗浄塔流量計測 [△] ットA/第2洗浄塔-トリフトンA ⁺ ファクター	✓		○	-	-	○	○	-	△	○	△	-	-	○	-	△(①)	△	○(①-2)	-	△	○	-	-	-	-	-	-	-	12															
	32	再処理施設	分離建屋	ラン洗浄塔流量計測 [△] ットA/ラン洗浄塔-トリフトンA ⁺ ファクター	✓		○	-	-	○	○	-	△	○	△	-	-	○	-	△(①)	△	○(①-2)	-	△	○	-	-	-	-	-	-	-	12															
別紙2-10	33	再処理施設	分離建屋	プルトリウム分配塔流量計測ポットA	✓		○	-	-	●(①-2)	○	-	△	-	-	-	○	-	△(①)	△	○(①-2)	-	△	○	-	-	-	-	-	-	-	10																
	34	再処理施設	分離建屋	プルトリウム分配塔エアリアフトボン ブA ⁺ ファクター	✓		○	-	-	●(①-2)	○	-	△	-	-	-	○	-	△(①)	△	○(①-2)	-	△	○	-	-	-	-	-	-	-	10																
35	再処理施設	精製建屋	ブト-ム濃縮液 [△] ットA ⁺ ファクター	✓		○	-	-	●(②)	○	-	△	○	△	-	-	○	-	△(①)	△	○(①-2)	-	●	○	-	-	○	-	-	-	-	13																

類型化分類ごとの代表設備選定結果
(FEM (1) JEAG4601の計算式を適用する設備)

類型化分類	別紙番号	番号	施設区分	設置場所	設備名称	設工認申請分割申請状況 (✓は申請対象設備)	代表設備又は差分設説明を行う設備	④その他先行発電プラントの審査実績を踏まえた説明事項等																			計									
								①事業変更許可申請書の記載内容のうち当社特有の説明事項				②新規基準における追加要求に係る説明事項	③評価内容及び既設工認からの変更点に係る説明事項																							
								一関東評価用地震動(鉛直)に対する影響確認	重大事故評価における許容限界等の適用	可搬型SA設備等の耐震計算方針	既設工認からの変更点	水平2方向及び鉛直方向地震力の組合せに関する設備の抽出及び考え方	鉛直方向の動的地震力考慮による設備の浮き上がり等の影響	動的地震力のSRS法による組合せ	下位クラス施設の影響の検討	Sd評価結果の記載方法	剛な設備の固有周期の算出	配管系の評価手法	材料物性のばらつき	動的機能維持評価手法の適用	新たに適用した減衰定数	機電設備の耐震計算書の作成	隣接建屋の影響に対する影響確認	地震荷重と事故時荷重との組合せ	機器と配管の相対変位に対する設計上の扱い	計算機プログラム(解析コード)の概要		電気盤等の機能維持評価に適用する水平方向の評価用地震力	等価繰返し回数等の妥当性確認	屋内設備に対するアンカ一定着部の評価	機器の耐震計算における既設工認からの計算式の変更点	液状化に伴う機電設備の影響確認	ダクト評価で用いる補正係数、安全係数の設定根拠			
耐震機電12	後次回	後次回	耐震機電13	耐震機電10	耐震機電01	耐震機電02	耐震機電03	耐震機電09	耐震機電17	耐震機電16	耐震機電11	耐震機電14	耐震機電18	耐震機電19	耐震機電21	耐震機電22	耐震機電23	耐震機電29	後次回	後次回	後次回	後次回	後次回	後次回	後次回											
FEM (1) JEAG4601の計算式を適用する設備	別紙2-10	36	再処理施設	精製建屋	プロトコム濃縮液ポンプE*ロープボックス	✓		○	-	-	●(2)	○	-	△	○	△	-	-	○	-	△(1)	△	○(1-2)	-	●	○	-	-	○	-	-	-	-	13		
		37	再処理施設	精製建屋	プロトコム濃縮液ポンプD*ロープボックス	✓		○	-	-	●(2)	○	-	△	○	△	-	-	○	-	△(1)	△	○(1-2)	-	●	○	-	-	○	-	-	-	-	13		
		38	再処理施設	精製建屋	プロトコム濃縮液ポンプC*ロープボックス	✓		○	-	-	●(2)	○	-	△	○	-	-	-	○	-	△(1)	△	○(1-2)	-	●	○	-	-	○	-	-	-	-	-	12	
		39	再処理施設	精製建屋	プロトコム濃縮液ポンプ*ロープボックス	✓		○	-	-	-	○	-	△	○	△	-	-	○	-	△(1)	△	○(1-2)	-	△	○	-	-	○	-	-	-	-	-	12	
		40	再処理施設	精製建屋	プロトコム濃縮液ポンプB*ロープボックス	✓		○	-	-	-	●(2)	○	-	△	●(2-1)	△	-	-	○	-	△(1)	△	○(1-2)	-	●	○	-	-	○	-	-	-	-	13	
		41	再処理施設	ウラン・プルトニウム混合脱硝建屋	硝酸プロトコム移送*ロープボックス	✓		○	-	-	●(2)	○	-	△	○	△	-	-	○	-	△(1)	△	●(2)	-	△	○	-	-	○	-	-	-	-	-	13	
		42	再処理施設	ウラン・プルトニウム混合脱硝建屋	定量ボックス*ロープボックスA	✓		○	-	-	○	○	-	△	-	-	-	-	○	-	△(1)	△	○(1-2)	-	△	○	-	-	○	-	-	-	-	-	11	
		43	再処理施設	ウラン・プルトニウム混合脱硝建屋	定量ボックス*ロープボックスB	✓		○	-	-	○	○	-	△	-	-	-	-	○	-	△(1)	△	○(1-2)	-	△	○	-	-	○	-	-	-	-	-	11	
		44	再処理施設	ウラン・プルトニウム混合脱硝建屋	一時貯槽第1*ロープボックス	✓		○	-	-	-	●(2)	○	-	△	○	△	-	-	○	-	△(1)	△	●(2)	-	△	○	-	-	○	-	-	-	-	-	13
		45	再処理施設	ウラン・プルトニウム混合脱硝建屋	一時貯槽第2*ロープボックス	✓		○	-	-	-	●(3-1)	○	-	△	○	△	-	-	○	-	△(1)	△	●(2)	-	△	○	-	-	○	-	-	-	-	13	
		46	再処理施設	ウラン・プルトニウム混合脱硝建屋	脱硝装置*ロープボックスA,B	✓		○	-	-	-	●(2)	○	-	△	-	-	-	○	-	△(1)	△	○(1-2)	-	△	○	-	-	○	-	-	-	-	-	-	11
		47	再処理施設	ウラン・プルトニウム混合脱硝建屋	脱硝血取扱装置第1*ロープボックスA,B	✓		○	-	-	○	○	-	△	○	-	-	-	○	-	△(1)	△	-	-	-	-	-	-	-	-	-	-	-	-	8	
		48	再処理施設	ウラン・プルトニウム混合脱硝建屋	脱硝血取扱装置第2*ロープボックスA,B	✓		○	-	-	○	○	-	△	○	-	-	-	○	-	△(1)	△	-	-	-	-	-	-	-	-	-	-	-	-	8	
		49	再処理施設	ウラン・プルトニウム混合脱硝建屋	脱硝血取扱装置第3*ロープボックスA,B	✓		○	-	-	○	○	-	△	○	-	-	-	○	-	△(1)	△	-	-	-	-	-	-	-	-	-	-	-	-	8	
	50	再処理施設	ウラン・プルトニウム混合脱硝建屋	脱硝血取扱装置第4*ロープボックスA,B	✓		○	-	-	○	○	-	△	○	-	-	-	○	-	△(1)	△	-	-	-	-	-	-	-	-	-	-	-	-	8		
	51	再処理施設	ウラン・プルトニウム混合脱硝建屋	廃*処理第1*ロープボックス	✓		○	-	-	-	●(2)	○	-	△	-	-	-	○	-	△(1)	△	○(1-2)	-	△	○	-	-	○	-	-	-	-	-	-	11	
	52	再処理施設	ウラン・プルトニウム混合脱硝建屋	廃*処理第2*ロープボックス	✓		○	-	-	-	●(2)	○	-	△	-	-	-	○	-	△(1)	△	○(1-2)	-	△	○	-	-	○	-	-	-	-	-	-	11	
	53	再処理施設	ウラン・プルトニウム混合脱硝建屋	廃*処理第3*ロープボックス	✓		○	-	-	-	●(2)	○	-	△	-	-	-	○	-	△(1)	△	●(2)	-	△	○	-	-	○	-	-	-	-	-	-	11	
	54	再処理施設	ウラン・プルトニウム混合脱硝建屋	脱硝廃*処理*ロープボックス	✓		○	-	-	-	●(2)	○	-	△	-	-	-	○	-	△(1)	△	○(1-2)	-	△	○	-	-	○	-	-	-	-	-	-	11	
	55	再処理施設	前処理建屋	第1よう素追出し槽A,B 第2よう素追出し槽A,B	✓		○	-	-	○	○	-	△	○	△	-	-	○	-	●(2)	-	△(1)	△	●(2)	-	●	○	-	-	-	-	-	-	-	12	
	56	再処理施設	前処理建屋	溶解槽A,B*ミキサ	✓		●(2)	-	-	○	○	-	△	○	△	-	-	○	-	△(1)	△	●(2)	-	●	○	-	-	-	-	-	-	-	-	-	12	
	57	再処理施設	前処理建屋	*ミキサ	✓		○	-	-	-	●(3-1)	○	-	△	○	△	-	-	○	-	●(2)	-	△(1)	△	●(2)	-	△	○	-	-	-	-	-	-	12	
	58	再処理施設	前処理建屋	硝酸供給槽B	✓		○	-	-	-	●(1-2)	○	-	△	-	-	-	○	-	●(2)	-	△(1)	△	●(2)	-	△	○	-	-	-	-	-	-	-	10	
	59	再処理施設	分離建屋	抽出塔	✓		●(2)	-	-	-	●(3-1)	○	-	△	○	△	-	-	○	-	●(3)	-	△(1)	△	●(3)	-	△	○	-	-	-	-	-	-	12	
60	再処理施設	分離建屋	第1洗浄塔	✓		●(2)	-	-	-	●(3-1)	○	-	△	○	△	-	-	○	-	●(3)	-	△(1)	△	●(3)	-	△	○	-	-	-	-	-	-	12		
61	再処理施設	分離建屋	第2洗浄塔	✓		●(2)	-	-	-	●(3-1)	○	-	△	○	△	-	-	○	-	●(3)	-	△(1)	△	●(3)	-	△	○	-	-	-	-	-	-	12		
62	再処理施設	分離建屋	プロトコム分配塔	✓		●(2)	-	-	-	●(3-1)	○	-	△	○	△	-	-	○	-	●(3)	-	△(1)	△	●(3)	-	△	○	-	-	-	-	-	-	12		
63	再処理施設	分離建屋	TBP洗浄塔	✓		●(2)	-	-	-	●(3-1)	○	-	△	○	△	-	-	○	-	●(3)	-	△(1)	△	●(3)	-	△	○	-	-	-	-	-	-	12		
64	再処理施設	ウラン・プルトニウム混合脱硝建屋	硝酸プロトコム貯槽一時貯槽	✓		○	-	-	-	●(3-1)	○	-	△	○	△	-	-	○	-	△(1)	△	●(2)	-	△	○	-	-	-	-	-	-	-	-	12		
65	再処理施設	ウラン・プルトニウム混合脱硝建屋	混合槽A,B	✓		○	-	-	-	●(3-1)	○	-	△	○	△	-	-	○	-	△(1)	△	●(2)	-	△	○	-	-	-	-	-	-	-	-	12		
66	再処理施設	前処理建屋	溶解槽A,B燃料せん断片シュート(上部)	✓	☆	○	-	-	○	○	-	△	●(2-2)	-	-	-	○	-	●(2)	-	△(1)	△	●(2)	-	●	●(2)	-	-	-	-	-	-	-	11		
67	再処理施設	前処理建屋	エンドピースシュートA,B	✓		○	-	-	○	○	-	△	●(2-2)	-	-	-	○	-	●(2)	-	△(1)	△	●(2)	-	●	●(2)	-	-	-	-	-	-	-	11		
68	再処理施設	第1ガラス固化体貯蔵建屋西棟	冷却空気入口第1流路形成板、冷却空気入口第2流路形成板	✓		-	-	-	-	-	-	-	-	-	-	-	-	-	-	-	-	-	-	-	-	-	-	-	-	-	-	-	-	2		
69	再処理施設	第1ガラス固化体貯蔵建屋西棟	冷却空気出口第1流路形成板、冷却空気出口第2流路形成板	✓		-	-	-	-	-	-	-	-	-	-	-	-	-	-	-	-	-	-	-	-	-	-	-	-	-	-	-	-	2		
70	再処理施設	精製建屋	抽出塔	✓		○	-	-	-	●(3-1)	○	-	△	●(2-1)	△	-	-	○	-	△(1)	△	○(1-2)	-	△	○	-	-	-	-	-	-	-	-	12		
71	再処理施設	精製建屋	核分裂生成物洗浄塔	✓		○	-	-	-	●(3-1)	○	-	△	●(2-1)	△	-	-	○	-	△(1)	△	○(1-2)	-	△	○	-	-	-	-	-	-	-	-	12		
72	再処理施設	精製建屋	TBP洗浄塔	✓		○	-	-	-	●(3-1)	○	-	△	○	-	-	-	○	-	△(1)	△	○(1-2)	-	△	○	-	-	-	-	-	-	-	-	11		
73	再処理施設	精製建屋	逆抽出塔	✓		○	-	-	-	●(3-1)	○	-	△	●(2-1)	△	-	-	○	-	△(1)	△	○(1-2)	-	△	○	-	-	-	-	-	-	-	-	12		
74	再処理施設	精製建屋	*洗浄塔	✓		○	-	-	-	●(3-1)	○	-	△	●(2-1)	△	-	-	○	-	△(1)	△	○(1-2)	-	△	○	-	-	-	-	-	-	-	-	12		

類型化分類ごとの代表設備選定結果
(FEM (1) JEAG4601の計算式を適用する設備)

類型化分類	別紙番号	番号	施設区分	設置場所	設備名称	設工認申請分割申請状況 (✓は申請対象設備)	代表設備又は差込設説明を行う設備	①事業変更許可申請書の記載内容のうち当社特有の説明事項		②新規制基準における追加要求に係る説明事項	③評価内容及び既設工認からの変更点に係る説明事項	④その他先行発電プラントの審査実績を踏まえた説明事項等																				計			
								一関東評価用地震動(鉛直)に対する影響確認	重大事故評価における許容限界等の適用			可搬型SA設備等の耐震計算方針	既設工認からの変更点	水平2方向及び鉛直方向地震力の組合せに関する設備の抽出及び考え方	鉛直方向の動的地震力考慮による設備の引き上がり等の影響	動的地震力のSRS法による組合せ	下位クラス施設の影響の検討	Sd評価結果の記載方法	剛な設備の固有周期の算出	配管系の評価手法	材料物性のばらつき	動的機能維持評価手法の適用	新たに適用した減衰定数	機電設備の耐震計算書の作成	隣接建屋の影響に対する影響確認	地震荷重と事故時荷重との組合せ	機器と配管の相対変位に対する設計上の扱い	計算機プログラム(解析コード)の概要	電気盤等の機能維持評価に適用する水平方向の評価用地震力	等価繰返し回数等の妥当性確認	屋内設備に対するアンカー一定着部の評価		機器の耐震計算における既設工認からの計算式の変更点	液状化に伴う機電設備の影響確認	ダクト評価で用いる補正係数、安全係数の設定根拠
								耐震機電12	後次回			後次回	耐震機電13	耐震機電10	耐震機電01	耐震機電02	耐震機電03	耐震機電09	耐震機電17	耐震機電16	耐震機電11	耐震機電14	耐震機電18	耐震機電19	耐震機電21	耐震機電22	耐震機電23	耐震建物29	後次回	後次回	後次回		後次回	後次回	後次回
別紙2-25	75	再処理施設	精製建屋	抽出塔流量計測	抽出塔流量計測	✓		○	-	●(③-1)	○	-	△	○	△	-	-	○	-	△(①)	△	○(①-2)	-	△	○	-	-	-	-	-	-	-	-	12	
	76	再処理施設	精製建屋	核分裂生成物洗浄塔流量計測	核分裂生成物洗浄塔流量計測	✓		○	-	●(③-1)	○	-	△	○	△	-	-	○	-	△(①)	△	○(①-2)	-	△	○	-	-	-	-	-	-	-	-	12	
	77	再処理施設	精製建屋	ラジ洗浄塔流量計測	ラジ洗浄塔流量計測	✓		○	-	●(③-1)	○	-	△	○	△	-	-	○	-	△(①)	△	○(①-2)	-	△	○	-	-	-	-	-	-	-	-	12	
	78	再処理施設	精製建屋	TBP洗浄器	TBP洗浄器	✓		○	-	●(③-1)	○	-	△	○	△	-	-	○	-	△(①)	△	○(①-2)	-	△	○	-	-	-	-	-	-	-	-	12	
	79	再処理施設	精製建屋	逆抽出塔流量計測	逆抽出塔流量計測	✓		○	-	●(③-1)	○	-	△	○	△	-	-	○	-	△(①)	△	○(①-2)	-	△	○	-	-	-	-	-	-	-	-	12	
	80	再処理施設	精製建屋	逆抽出塔流量計測	逆抽出塔流量計測	✓		-	-	●(①-2)	○	-	△	○	-	○(②)	-	-	-	△(①)	△	-	-	△	○	-	-	-	-	-	-	-	-	9	
81	再処理施設	精製建屋	フルトニウム洗浄器	フルトニウム洗浄器	✓		-	-	●(①-2)	○	-	△	○	-	○(②)	-	-	-	△(①)	△	-	-	△	○	-	-	-	-	-	-	-	-	9		
別紙2-26	82	再処理施設	精製建屋	第1酸化塔	第1酸化塔	✓		○	-	●(③-1)	○	-	△	●(②-1)	△	-	-	○	-	△(①)	△	○(①-2)	-	△	○	-	-	-	-	-	-	-	12		
	83	再処理施設	精製建屋	第1脱ガス塔	第1脱ガス塔	✓		○	-	●(③-1)	○	-	△	●(②-1)	△	-	-	○	-	△(①)	△	○(①-2)	-	△	○	-	-	-	-	-	-	-	12		
	84	再処理施設	精製建屋	第2酸化塔	第2酸化塔	✓		○	-	●(③-1)	○	-	△	●(②-1)	△	-	-	○	-	△(①)	△	○(①-2)	-	△	○	-	-	-	-	-	-	-	-	12	
	85	再処理施設	精製建屋	第2脱ガス塔	第2脱ガス塔	✓		○	-	●(③-1)	○	-	△	●(②-1)	△	-	-	○	-	△(①)	△	○(①-2)	-	△	○	-	-	-	-	-	-	-	-	12	
別紙2-27	86	再処理施設	前処理建屋	計量調整槽	計量調整槽	✓		○	-	●(③-1)	○	-	△	○	△	-	-	●(②)	-	△(①)	△	●(②)	-	△	○	-	-	-	-	-	-	-	12		
	87	再処理施設	分離建屋	溶解液供給槽	溶解液供給槽	✓		○	-	○	○	-	△	○	△	-	-	●(②)	-	△(①)	△	●(②)	-	△	○	-	-	-	-	-	-	-	-	12	
	88	再処理施設	分離建屋	抽出廃液受槽	抽出廃液受槽	✓		○	-	○	○	-	△	○	△	-	-	●(②)	-	△(①)	△	●(②)	-	△	○	-	-	-	-	-	-	-	-	12	
	89	再処理施設	分離建屋	第3一時貯留処理槽	第3一時貯留処理槽	✓		○	-	○	○	-	△	○	△	-	-	●(②)	-	△(①)	△	●(②)	-	△	○	-	-	-	-	-	-	-	-	12	
	90	再処理施設	分離建屋	第4一時貯留処理槽	第4一時貯留処理槽	✓		○	-	○	○	-	△	○	△	-	-	●(②)	-	△(①)	△	●(②)	-	△	○	-	-	-	-	-	-	-	-	12	
	91	再処理施設	高レベル廃液ガラス固化建屋	第1,第2高レベル濃縮廃液貯槽	第1,第2高レベル濃縮廃液貯槽	✓		○	-	○	○	-	△	○	△	-	-	○	-	△(①)	△	○(①-2)	-	△	●(②)	-	-	-	-	-	○(①-2)	-	-	13	
	92	再処理施設	高レベル廃液ガラス固化建屋	第1,第2高レベル濃縮廃液一時貯槽	第1,第2高レベル濃縮廃液一時貯槽	✓		○	-	○	○	-	△	○	△	-	-	○	-	△(①)	△	○(①-2)	-	△	●(②)	-	-	-	-	-	○(①-2)	-	-	13	
	93	再処理施設	高レベル廃液ガラス固化建屋	高レベル廃液共用貯槽	高レベル廃液共用貯槽	✓		○	-	○	○	-	△	○	△	-	-	●(②)	-	△(①)	△	○(①-2)	-	△	●(②)	-	-	-	-	-	○(①-2)	-	-	13	
	94	再処理施設	高レベル廃液ガラス固化建屋	高レベル廃液混合槽A	高レベル廃液混合槽A	✓		○	-	○	○	-	△	○	△	-	-	○	-	△(①)	△	○(①-2)	-	△	●(②)	-	-	-	-	-	○(①-2)	-	-	13	
	95	再処理施設	高レベル廃液ガラス固化建屋	高レベル廃液混合槽B	高レベル廃液混合槽B	✓		○	-	○	○	-	△	○	△	-	-	○	-	△(①)	△	○(①-2)	-	△	●(②)	-	-	-	-	-	○(①-2)	-	-	13	
	96	再処理施設	高レベル廃液ガラス固化建屋	高レベル濃縮廃液中和槽	高レベル濃縮廃液中和槽	✓		○	-	○	○	-	△	○	△	-	-	○	-	△(①)	△	○(①-2)	-	△	●(②)	-	-	-	-	-	○(①-2)	-	-	13	
	97	再処理施設	高レベル廃液ガラス固化建屋	供給液槽A	供給液槽A	✓		○	-	○	○	-	△	○	△	-	-	○	-	△(①)	△	○(①-2)	-	△	●(②)	-	-	-	-	-	○(①-2)	-	-	13	
	98	再処理施設	高レベル廃液ガラス固化建屋	供給液槽A,B	供給液槽A,B	✓		○	-	○	○	-	△	○	△	-	-	○	-	△(①)	△	○(①-2)	-	△	●(②)	-	-	-	-	-	○(①-2)	-	-	13	
	99	再処理施設	高レベル廃液ガラス固化建屋	供給液槽B	供給液槽B	✓		○	-	○	○	-	△	○	△	-	-	○	-	△(①)	△	○(①-2)	-	△	●(②)	-	-	-	-	-	○(①-2)	-	-	13	
100	再処理施設	高レベル廃液ガラス固化建屋	廃液洗浄器A,B	廃液洗浄器A,B	✓		○	-	○	○	-	△	○	△	-	-	○	-	△(①)	△	○(①-2)	-	△	●(②)	-	-	-	-	-	○(①-2)	-	-	13		
別紙2-28	101	再処理施設	前処理建屋	計量前中間貯槽A,B	計量前中間貯槽A,B	✓		●(②)	-	●(③-1)	○	-	△	○	△	-	-	●(②)	-	△(①)	△	●(②)	-	△	○	-	-	○	-	-	-	-	13		
	102	再処理施設	前処理建屋	計量後中間貯槽	計量後中間貯槽	✓		●(②)	-	●(③-1)	○	-	△	○	△	-	-	●(②)	-	△(①)	△	●(②)	-	△	○	-	-	○	-	-	-	-	13		
	103	再処理施設	前処理建屋	計量補助槽	計量補助槽	✓		○	-	●(③-1)	○	-	△	○	△	-	-	●(②)	-	△(①)	△	●(②)	-	△	○	-	-	○	-	-	-	-	-	13	
	104	再処理施設	分離建屋	溶解液中間貯槽	溶解液中間貯槽	✓		○	-	○	○	-	△	○	△	-	-	○	-	△(①)	△	●(②)	-	△	○	-	-	○	-	-	-	-	-	13	
	105	再処理施設	分離建屋	抽出廃液中間貯槽	抽出廃液中間貯槽	✓		○	-	○	○	-	△	○	△	-	-	○	-	△(①)	△	●(②)	-	△	○	-	-	○	-	-	-	-	-	13	
	106	再処理施設	分離建屋	抽出廃液供給槽A	抽出廃液供給槽A	✓		○	-	○	○	-	△	○	△	-	-	●(②)	-	△(①)	△	●(②)	-	△	○	-	-	○	-	-	-	-	-	13	
	107	再処理施設	分離建屋	抽出廃液供給槽B	抽出廃液供給槽B	✓		○	-	○	○	-	△	○	△	-	-	●(②)	-	△(①)	△	●(②)	-	△	○	-	-	○	-	-	-	-	-	13	
	108	再処理施設	分離建屋	高レベル廃液供給槽A	高レベル廃液供給槽A	✓		○	-	○	○	-	△	○	△	-	-	●(②)	-	△(①)	△	○(①-2)	-	△	○	-	-	○	-	-	-	-	-	13	
	109	再処理施設	分離建屋	高レベル廃液供給槽B	高レベル廃液供給槽B	✓		○	-	○	○	-	△	○	△	-	-	●(②)	-	△(①)	△	○(①-2)	-	△	○	-	-	○	-	-	-	-	-	13	
別紙2-29	110	再処理施設	前処理建屋	洗浄槽A,B	洗浄槽A,B	✓		○	-	○	-	△	○	△	-	-	●(②)	-	△(①)	△	●(②)	-	●	○	-	-	-	-	-	-	-	-	12		
別紙2-30	111	再処理施設	分離建屋	ラジ洗浄塔	ラジ洗浄塔	✓		○	-	●(③-1)	○	-	△	○	△	-	-	○	-	△(①)	△	●(②)	-	△	○	-	-	-	-	○(①-2)	-	-	13		
別紙2-31	112	再処理施設	前処理建屋	よう素追出し塔A,B	よう素追出し塔A,B	✓		○	-	○	-	△	○	△	-	-	●(②)	-	△(①)	△	●(②)	-	△	○	-	-	-	-	-	-	-	-	12		
別紙2-32	113	再処理施設	前処理建屋	清澄機A,B	清澄機A,B	✓		○	-	○	-	△	○	△	-	-	●(②)	-	△(①)	△	○(①-2)	-	△	○	-	-	-	-	-	-	-	-	12		

類型化分類ごとの代表設備選定結果
(FEM (1) JEAG4601の計算式を適用する設備)

類型化分類	別紙番号	番号	施設区分	設置場所	設備名称	設工認申請分割申請状況 (✓は申請対象設備)	代表設備又は差分設説明を行う設備	①事業変更許可申請書の記載内容のうち当社特有の説明事項		②新規制基準における追加要求に係る説明事項	③評価内容及び既設工認からの変更点に係る説明事項	④その他先行発電プラントの審査実績を踏まえた説明事項等																				計	
								一関東評価用地震動(鉛直)に対する影響確認	重大事故評価における許容限界等の適用	可搬型SA設備等の耐震計算方針	既設工認からの変更点	水平2方向及び鉛直方向地震力の組合せに関する設備の引き上げ等影響	鉛直方向の動的地震力考慮による影響	動的地震力のSRSS法による組合せ	下位クラス施設の波及的影響の検討	Sd評価結果の記載方法	剛な設備の固有周期の算出	配管系の評価手法	材料物性のばらつき	動的機能維持評価手法の適用	新たに適用した減衰定数	機電設備の耐震計算書の作成	隣接建屋の影響確認	地震荷重と事故時荷重との組合せ	機器と配管の相対変位に対する設計上の扱い	計算機プログラム(解析コード)の概要	電気盤等の機能維持評価に適用する水平方向の評価用地震力	等価繰返し回数確認	屋内設備に対するアンカー一定着部の評価	機器の耐震計算における既設工認からの計算式の変更点	液状化に伴う機電設備の影響確認		ダクト評価で用いる補正係数、安全係数の設定根拠
								耐震機電12	後次回	後次回	耐震機電13	耐震機電10	耐震機電01	耐震機電02	耐震機電03	耐震機電09	耐震機電17	耐震機電16	耐震機電11	耐震機電14	耐震機電18	耐震機電19	耐震機電21	耐震機電22	耐震機電23	耐震建物29	後次回	後次回	後次回	後次回	後次回		後次回
FEM (1) JEAG4601の計算式を適用する設備	別紙2-33	114	再処理施設	高レベル廃液ガラス固化建屋	ガラス溶融炉A, B	✓		○	-	-	-	○	-	△	○	△	-	-	○	-	△(①)	△	○(①-2)	-	△	●(②)	-	-	-	-	○(①-2)	-	12
	別紙2-34	115	再処理施設	高レベル廃液ガラス固化建屋	セルナ-7A セルナ-7B セルナ-7C セルナ-7D セルナ-7E セルナ-7F セルナ-7G セルナ-7H セルナ-7I セルナ-7J	✓		-	-	○	-	-	△	-	-	-	-	-	-	-	△(①)	△	-	-	●	○	-	-	-	-	-	-	6
	別紙2-36	116	再処理施設	前処理建屋	溶解槽A, B	✓		●(②)	-	-	○	○	-	△	○	△	-	-	●(②)	-	△(①)	△	●(②)	-	●	○	-	-	-	-	-	-	12
	別紙2-38	117	再処理施設	分離建屋	高レベル廃液濃縮缶A 高レベル廃液濃縮缶B	✓	◎	○	-	-	●(③-1)	○	-	△	○	△	-	-	●(②)	-	△(①)	△	●(②)	-	●	○	-	●	-	-	-	-	13
	別紙2-42	118	再処理施設	精製建屋	補助油水分離槽	✓		○	-	-	●(③-1)	○	-	△	○	△	-	-	○	-	△(①)	△	○(①-2)	-	△	○	-	-	-	-	-	-	12
	別紙2-46	119	再処理施設	使用済燃料受入れ・貯蔵建屋	ア-6水冷却系熱交換器A, B, C	✓		○	-	-	○	○	-	△	○	△	-	-	○	-	△(①)	△	○(①-2)	-	△	○	-	-	○	-	-	-	13
	別紙2-49	120	再処理施設	精製建屋	アト-2M濃縮缶	✓		○	-	-	●(③-1)	○	-	△	○	△	-	-	○	-	△(①)	△	○(①-2)	-	△	○	-	-	-	-	-	-	12

類型化分類ごとの代表設備選定結果
(FEM(2) 材料力学の計算式を適用する設備)

類型化分類ごとの代表設備選定結果 (FEM (2) 材料力学の計算式を適用する設備)

・本表では類型化分類における代表設備の選定結果について示す。
・選定に当たっては、本紙3.3項に示す方法により行うものとし、各設備に対して補足説明資料「耐震建物01「耐震評価対象の網羅性、既設工認との手法の相違点の整理について」に示す説明事項の該当項目を示した上で、分類における説明事項が網羅的となる設備を代表として選定する。

※ 本資料の目的は、6月24日のヒアリングにて指摘のあった類型化分類を用いた代表設備選定の過程を示す事であり、後次回申請にて示す類型化分類毎の代表設備選定結果に対するサンプルを示す。

【凡例】
一：補足説明対象外
△：検討対象設備/方針に対する説明を行う設備
○：検討対象設備/床応答ベクトルの重ね合わせ等により説明を行い、設備個別の検討結果をまでは示さず妥当性を示す設備
●：検討対象設備/補足説明資料にて設備個別の検討結果を用いて妥当性を示す設備
◎：説明代表設備
☆：差分説明を行う設備

Table with columns: 類型化分類, 別紙番号, 番号, 施設区分, 設置場所, 設備名称, 工認申請分割申請状況, 代表設備又は差分説明を行う設備, ①事業変更許可申請書の記載内容のうち当社特有の説明事項, ②新規基準における追加要求に係る説明事項, ③評価内容及び既設工認からの変更点に係る説明事項, ④その他先行発電プラントの審査実績を踏まえた説明事項等, 計. Rows include equipment like 安全冷却水B冷却塔, 使用済燃料の受入れ施設, etc.

類型化分類ごとの代表設備選定結果
(FEM (2) 材料力学の計算式を適用する設備)

類型化分類	別紙番号	番号	施設区分	設置場所	設備名称	設工認申請分割申請状況 (✓は申請対象設備)		代表設備又は差分設説明を行う設備	①事業変更許可申請書の記載内容のうち当社特有の説明事項		②新規基準における追加要求に係る説明事項	③評価内容及び既設工認からの変更点に係る説明事項	④その他先行発電プラントの審査実績を踏まえた説明事項等																								計
						第1回申請	後次回申請		一関東評価用地震動(鉛直)に対する影響確認	重大事故評価における許容限界等の適用			可搬型SA設備等の耐震計算方針	既設工認からの変更点	水平2方向及び鉛直方向地震力の組合せに関する設備の抽出及び考	鉛直方向の動的地震力考慮による設備の浮き上がり等の影響	動的地震力の組合せによる組合せ	下位クラス施設の影響の検討	S4評価結果の記載方法	剛な設備の固有周期の算出	配管系の評価手法	材料物性のばらつき	動的機能維持評価手法の適用	新たに適用した減衰定数	機電設備の耐震計算書の作成	隣接建屋の影響に対する影響確認	地震荷重と事故時荷重との組合せ	機器と配管の相対変位に対する設計上の扱い	計算機プログラム(解析コード)の概要	電気室等の機能維持評価に適用する水平方向の評価用地震力	等価繰返し回数の妥当性確認	屋内設備に対するアンカー一定着部の評価	機器の耐震計算における既設工認からの計算式の変更点	液状化に伴う機電設備の影響確認	ダクト評価で用いる補正係数、安全係数の設定根拠		
						耐震機電12	後次回		後次回	耐震機電13			耐震機電10	耐震機電01	耐震機電02	耐震機電03	耐震機電09	耐震機電17	耐震機電16	耐震機電11	耐震機電14	耐震機電18	耐震機電19	耐震機電21	耐震機電22	耐震機電23	耐震建物29	後次回	後次回	後次回	後次回	後次回	後次回	後次回	後次回		
FEM (2) 材料力学の計算式を適用する設備	別紙2-21	35	廃棄物管理施設	ガラス固化体貯蔵建屋B棟	冷却空気入口整流板		✓		○	-	-	●(③-1)	○	-	△	-	-	-	-	●(②)	-	△(①)	△	●(②)	-	-	○	-	-	-	-	-	○(①-1)	-	9		
		36	廃棄物管理施設	ガラス固化体貯蔵建屋B棟	冷却空気出口整流板		✓		○	-	-	●(③-1)	○	-	△	-	-	-	-	-	●(②)	-	△(①)	△	●(②)	-	-	○	-	-	-	-	○(①-1)	-	9		
	別紙2-35	37	廃棄物管理施設	ガラス固化体貯蔵建屋	ガラス固化体放射能測定装置		✓		○	-	-	○	○	-	△	-	-	-	-	○	-	△(①)	△	●(②)	-	-	○	-	-	-	-	○(①-1)	-	9			
	別紙2-37	38	再処理施設	高レベル廃液ガラス固化建屋	固化セル移送台車A,B		✓		○	-	-	○	○	-	△	○	△	-	-	○	-	△(①)	△	○(①-1)	-	-	●(②)	-	-	-	-	○(①-1)	-	11			
	別紙2-39	43	再処理施設	使用済燃料受入れ・貯蔵建屋	パレット搬送機A,B		✓		○	-	-	●(②)	○	●	△	-	-	-	-	○	-	●	△	○(①-1)	-	-	○	-	-	-	-	-	-	9			
	別紙2-40	44	再処理施設	第1ガラス固化体貯蔵建屋東棟	パレット移送台車(ガラス固化体の移送機構)		✓		○	-	-	○	○	-	△	○	△	-	-	○	-	△(①)	△	-	-	-	●(②)	-	-	-	-	○(①-1)	-	10			
	別紙2-40	45	再処理施設	第1ガラス固化体貯蔵建屋東棟	パレット移送台車(しゃへい容器)		✓		○	-	-	○	○	-	△	○	△	-	-	○	-	△(①)	△	-	-	-	●(②)	-	-	-	-	○(①-1)	-	10			
	別紙2-41	42	再処理施設	ウラン・プルトニウム混合酸化物貯蔵建屋	貯蔵セル		✓		○	-	-	●(②)	○	-	△	-	-	-	-	○	-	△(①)	△	●(②)	-	●	○	-	-	○	-	-	-	10			
別紙2-45	43	再処理施設	使用済燃料受入れ・貯蔵建屋	燃料移送水中台車		✓		○	-	-	●(②)	○	-	△	-	-	-	-	○	-	●	△	○(①-1)	-	-	○	-	-	-	-	-	-	8				

類型化分類ごとの代表設備選定結果
(配管標準支持間隔)

類型化分類ごとの代表設備選定結果
(配管標準支持間隔)

・本表では類型化分類における代表設備の選定結果について示す。
 ・選定に当たっては、本紙3.3項に示す方法により行うものとし、各設備に対して補足説明資料「耐震建物01「耐震評価対象の網羅性、既設工認との手法の相違点の整理について」に示す説明事項の該当項目を示した上で、分類における説明事項が網羅的となる設備を代表として選定する。

※ 本資料の目的は、6月24日のヒアリングにて指摘のあった類型化分類を用いた代表設備選定の過程を示す事であり、後次回申請にて示す類型化分類毎の代表設備選定結果に対するサンプルを示す。

【凡例】
 一：補足説明対象外
 △：検討対象設備/方針に対する説明を行う設備
 ○：検討対象設備/床応答ベクトルの重ね合わせ等により説明を行い、設備個別の検討結果をまでは示さず妥当性を示す設備
 ●：検討対象設備/補足説明資料にて設備個別の検討結果を用いて妥当性を示す設備
 ◎：説明代表設備
 ☆：差説明を行う設備

類型化分類	番号	施設区分	設置場所	設備名称	設工認申請分割申請状況 (✓は申請対象設備)	代表設備又は差分設説明を行う設備	①事業変更許可申請書の記載内容のうち当社特有の説明事項		②新規基準における追加要求に係る説明事項	③評価内容及び既設工認からの変更点に係る説明事項	④その他先行発電プラントの審査実績を踏まえた説明事項等																				計						
							設工認申請分割申請状況				一関東評価用地震動(鉛直)に対する影響確認	重大事故評価における許容限界等の適用	可搬型SA設備等の耐震計算方針	既設工認からの変更点	水平2方向及び鉛直方向地震力の組合せに関する設備の抽出及び考え方	鉛直方向の動的地震力考慮による設備の浮き上がり等の影響	動的地震力のSRS法による組合せ	動的地震力のSRS法による組合せ	下位クラス施設の影響の検討	Sd評価結果の記載方法	剛な設備の固有周期の算出	配管系の評価手法	材料物性のばらつき	動的機能維持評価手法の適用	新たに適用した減衰定数	機電設備の耐震計算書の作成	隣接建物の影響に対する影響確認	地震荷重と事故時荷重の組合せ	機器と配管の相対変位に対する設計上の扱い	計算機プログラム(解析コード)の概要		電気盤等の機能維持評価に適用する水平方向の評価用地震力	容積繰返し回数等の妥当性確認	屋内設備に対するアンカー一定着部の評価	機器の耐震計算における既設工認からの計算式の変更点	液状化に伴う機器設備の影響確認	ダクト評価で用いる補正係数、安全係数の設定根拠
							第1回申請	後次回申請																													
配管標準支持間隔	1	再処理施設	安全冷却水B冷却塔	配管標準支持間隔(安全冷却水B冷却塔)	✓	◎	○	-	-	●(2)	○	-	△	○	△	-	●(3,4)	●(2)	-	△(1)	△	●(2)	-	-	○	-	-	-	-	-	-	-	○(1-1)	-	14		
	2	再処理施設	前処理建屋	配管標準支持間隔(前処理建屋)	✓	◎	●(2)	-	-	○	○	-	△	●(2-2)	-	-	●(3,4)	●(2)	-	△(1,3)	△	●(3)	-	-	○	-	-	-	-	-	-	-	-	-	11		
	3	再処理施設	分離建屋	配管標準支持間隔(分離建屋)	✓	◎	●(2)	-	-	○	○	-	△	○	○	-	●(3,4)	●(2)	-	△(1,3)	△	●(2)	-	-	○	-	-	-	-	-	-	-	-	-	12		
	4	再処理施設	精製建屋	配管標準支持間隔(精製建屋)	✓	◎	●(2)	-	-	○	○	-	△	○	△	-	●(3,4)	●(2)	-	△(1,3)	△	●(2)	-	-	○	-	-	-	-	-	-	-	-	-	12		
	5	再処理施設	ウラン・プルトニウム混合脱硝建屋	配管標準支持間隔(ウラン・プルトニウム混合脱硝建屋)	✓	◎	○	-	-	○	○	-	△	○	△	-	●(3,4)	○	-	△(1,3)	△	○(1-2)	-	-	○	-	-	-	-	-	-	-	-	-	12		
	6	再処理施設	高レベル廃液ガラス固化建屋	配管標準支持間隔(高レベル廃液ガラス固化建屋)	✓	◎	○	-	-	○	○	-	△	○	△	-	●(3,4)	○	-	△(1)	△	○(1-2)	-	-	○	-	-	-	-	-	-	○(1-1)	-	13			
	7	再処理施設	使用済燃料受入れ・貯蔵建屋	配管標準支持間隔(使用済燃料受入れ・貯蔵建屋)	✓	◎	○	-	-	○	○	-	△	●(2-1)	△	-	●(3)	○	-	△(1)	△	●(2)	-	-	○	-	-	-	-	-	-	-	-	-	12		
	8	再処理施設	安全冷却水系冷却塔A	配管標準支持間隔(安全冷却水系冷却塔A)	✓	◎	○	-	-	○	○	-	△	●(2-1)	△	-	●(3)	○	-	△(1)	△	●(2)	-	-	○	-	-	-	-	-	-	-	-	-	12		
	9	再処理施設	安全冷却水系冷却塔B	配管標準支持間隔(安全冷却水系冷却塔B)	✓	◎	○	-	-	○	○	-	△	●(2-1)	△	-	●(3)	○	-	△(1)	△	●(2)	-	-	○	-	-	-	-	-	-	-	-	-	12		
	10	再処理施設	非常用電源建屋	配管標準支持間隔(非常用電源建屋)	✓	◎	●(2)	-	-	○	○	-	△	●(2-1)	△	-	●(3,4)	●(2)	-	△(1)	△	●(2)	-	-	○	-	-	-	-	-	-	-	-	-	-	12	
	11	再処理施設	非常用電源建屋燃料油貯蔵タンクA,B	配管標準支持間隔(非常用電源建屋燃料油貯蔵タンクA,B)	✓	◎	●(2)	-	-	○	○	-	△	○	△	-	●(3,4)	●(2)	-	△(1)	△	●(2)	-	-	○	-	-	-	-	-	-	-	-	-	12		
	12	再処理施設	制御建屋	配管標準支持間隔(制御建屋)	✓	◎	●(2)	-	-	○	○	-	△	○	△	-	●(3,4)	●(2)	-	△(1)	△	●(2)	-	-	○	-	-	-	-	-	-	-	-	-	-	12	
	13	再処理施設	分離建屋/高レベル廃液ガラス固化建屋間洞道、分離建屋/精製建屋/ウラン脱硝建屋/ウラン・プルトニウム混合脱硝建屋/低レベル廃液処理建屋/低レベル廃液処理建屋/分析建屋間洞道、精製建屋/ウラン脱硝建屋間洞道、精製建屋/ウラン脱硝建屋間洞道、精製建屋/ウラン・プルトニウム混合脱硝建屋間洞道	配管標準支持間隔(分離建屋/高レベル廃液ガラス固化建屋間洞道、分離建屋/精製建屋/ウラン脱硝建屋/ウラン・プルトニウム混合脱硝建屋/低レベル廃液処理建屋/低レベル廃液処理建屋/分析建屋間洞道、精製建屋/ウラン脱硝建屋間洞道、精製建屋/ウラン脱硝建屋間洞道、精製建屋/ウラン・プルトニウム混合脱硝建屋間洞道)	✓	◎	●(2)	-	-	○	○	-	△	○	△	-	●(3,4)	●(2)	-	△(1)	△	○(1-2)	-	-	○	-	-	-	-	-	-	-	○(1-1)	-	13		
	14	再処理施設	前処理建屋/分離建屋/精製建屋/高レベル廃液ガラス固化建屋/ウラン・プルトニウム混合脱硝建屋/制御建屋/非常用電源建屋/冷却塔設備の安全冷却水系/主排気筒/主排気筒管理建屋間洞道	配管標準支持間隔(前処理建屋/分離建屋/精製建屋/高レベル廃液ガラス固化建屋/ウラン・プルトニウム混合脱硝建屋/制御建屋/非常用電源建屋/冷却塔設備の安全冷却水系/主排気筒/主排気筒管理建屋間洞道)	✓	◎	●(2)	-	-	○	○	-	△	○	△	-	●(3,4)	●(2)	-	△(1)	△	○(1-2)	-	-	○	-	-	-	-	-	-	-	○(1-1)	-	13		
	15	再処理施設	主排気筒管理建屋	配管標準支持間隔(主排気筒管理建屋)	✓	◎	FRS提示待ち	-	-	○	○	-	△	○	△	-	●(3)	FRS提示待ち	-	△(1)	△	○(1-1)	-	-	●(2)	-	-	-	-	-	-	-	-	-	-	10	
	16	再処理施設	主排気筒基礎	配管標準支持間隔(主排気筒基礎)	✓	◎	FRS提示待ち	-	-	○	○	-	△	○	△	-	●(3,4)	FRS提示待ち	-	△(1)	△	○(1-1)	-	-	●(2)	-	-	-	-	-	-	-	-	-	-	10	
	17	再処理施設	主排気筒筒身	配管標準支持間隔(主排気筒筒身)	✓	◎	FRS提示待ち	-	-	○	○	-	△	○	△	-	●(3)	FRS提示待ち	-	△(1)	△	○(1-1)	-	-	●(2)	-	-	-	-	-	-	-	-	-	-	10	
	18	再処理施設	使用済燃料受入れ・貯蔵建屋/安全冷却水系冷却塔A,B基礎間洞道	配管標準支持間隔(使用済燃料受入れ・貯蔵建屋/安全冷却水系冷却塔A,B基礎間洞道)	✓	◎	○	-	-	○	○	-	△	○	△	-	●(3)	○	-	△(1)	△	●(2)	-	-	○	-	-	-	-	-	-	-	○(1-1)	-	13		
	19	再処理施設	安全冷却水系A冷却塔	配管標準支持間隔(安全冷却水A冷却塔)	✓	◎	●(2)	-	-	●(2)	○	-	△	●(2-1)	△	-	●(3,4)	●(2)	-	△(1)	△	●(2)	-	-	○	-	-	-	-	-	-	-	-	-	-	12	
	20	再処理施設	冷却塔A,B	配管標準支持間隔(冷却塔A,B)	✓	◎	●(2)	-	-	●(2)	○	-	△	●(2-1)	△	-	●(3,4)	●(2)	-	△(1)	△	●(2)	-	-	○	-	-	-	-	-	-	-	-	-	-	12	
	21	再処理施設	ウラン・プルトニウム混合酸化物貯蔵建屋	配管標準支持間隔(ウラン・プルトニウム混合酸化物貯蔵建屋)	✓	◎	○	-	-	○	○	-	△	○	△	-	●(3)	○	-	△(1,3)	△	○(1-2)	-	-	○	-	-	-	-	-	-	-	-	-	-	12	
	22	再処理施設	第1ガラス固化体貯蔵建屋	配管標準支持間隔(第1ガラス固化体貯蔵建屋)	✓	◎	○	-	-	○	○	-	△	○	△	-	●(3)	○	-	△(1)	△	○(1-2)	-	-	○	-	-	-	-	-	-	-	-	-	-	12	
	23	再処理施設	緊急時対策建屋	配管標準支持間隔(緊急時対策建屋)	✓	◎	○	-	-	○	○	-	△	○	△	-	●(3)	○	-	△(1)	△	○(1-2)	-	-	○	-	-	-	-	-	-	-	-	-	-	12	
24	再処理施設	分離建屋/高レベル廃液ガラス固化建屋間洞道、分離建屋/精製建屋/ウラン脱硝建屋/ウラン・プルトニウム混合脱硝建屋/低レベル廃液処理建屋/低レベル廃液処理建屋/分析建屋間洞道、精製建屋/ウラン脱硝建屋間洞道、精製建屋/ウラン脱硝建屋間洞道、精製建屋/ウラン・プルトニウム混合脱硝建屋間洞道	漏えい液受皿標準支持間隔(分離建屋/高レベル廃液ガラス固化建屋間洞道、分離建屋/精製建屋/ウラン脱硝建屋/ウラン・プルトニウム混合脱硝建屋/低レベル廃液処理建屋/低レベル廃液処理建屋/分析建屋間洞道、精製建屋/ウラン脱硝建屋間洞道、精製建屋/ウラン脱硝建屋間洞道、精製建屋/ウラン・プルトニウム混合脱硝建屋間洞道)	✓	◎	●(2)	-	-	○	○	-	△	○	△	-	●(3)	●(2)	-	△(1)	△	○(1-2)	-	-	○	-	-	-	-	-	-	-	-	○(1-1)	-	13		

類型化分類ごとの代表設備選定結果
(ダクト標準支持間隔)

類型化分類ごとの代表設備選定結果
(ダクト標準支持間隔)

・本表では類型化分類における代表設備の選定結果について示す。
 ・選定に当たっては、本紙3.3項に示す方法により行うものとし、各設備に対して補足説明資料「耐震建物01「耐震評価対象の網羅性、既設工認との手法の相違点の整理について」に示す説明事項の該当項目を示した上で、分類における説明事項が網羅的となる設備を代表として選定する。

※ 本資料の目的は、6月24日のヒアリングにて指摘のあった類型化分類を用いた代表設備選定の過程を示す事であり、後次回申請にて示す類型化分類毎の代表設備選定結果に対するサンプルを示す。

【凡例】
 一：補足説明対象外
 △：検討対象設備/方針に対する説明を行う設備
 ○：検討対象設備/床応答スペクトルの重ね合わせ等により説明を行い、設備個別の検討結果をまでは示さず妥当性を示す設備
 ●：検討対象設備/補足説明資料にて設備個別の検討結果を用いて妥当性を示す設備
 ◎：説明代表設備
 ☆：差分説明を行う設備

類型化分類	番号	施設区分	設置場所	設備名称	設工認申請状況 (✓は申請対象設備)	代表設備又は差分設備説明を行う設備	①事業変更許可申請書の記載内容のうち当社特有の説明事項		②新規制基準における追加要求に係る説明事項	③評価内容及び既設工認からの変更点に係る説明事項	④その他先行発電プラントの審査実績を踏まえた説明事項等																				計				
							一関東評価用地震動(鉛直)に対する影響確認	重大事故評価における許容限界等の適用	可搬型SA設備等の耐震計算方針	既設工認からの変更点	水平2方向及び鉛直方向地震力の組合せに関する設備の抽出及び考え方	鉛直方向の動的地震力考慮による設備の浮き上がり等の影響	動的地震力のSRSS法による組合せ	下位クラス施設の波及的影響の検討	Sd評価結果の記載方法	剛な設備の固有周期の算出	配管系の評価手法	材料物性のばらつき	動的機能維持評価手法の適用	新たに適用した減衰定数	機器設備の耐震計算書の作成	隣接建屋の影響に対する影響確認	地震荷重と事故時荷重との組合せ	機器と配管の相対変位に対する設計上の扱い	計算機プログラム(解析コード)の概要	電気盤等の機能維持評価に適用する水平方向の評価用地震力	等価繰返し回数等の妥当性確認	屋内設備に対するアンカー一定着部の評価	機器の耐震計算における既設工認からの計算式の変更点	液状化に伴う機器設備の影響確認		ダクト評価で用いる補正係数、安全係数の設定根拠			
							耐震機電12	後次回	後次回	耐震機電13	耐震機電10	耐震機電01	耐震機電02	耐震機電03	耐震機電09	耐震機電17	耐震機電16	耐震機電11	耐震機電14	耐震機電18	耐震機電19	耐震機電21	耐震機電22	耐震機電23	耐震建物29	後次回	後次回	後次回	後次回	後次回		後次回	後次回		
ダクト標準支持間隔	1	再処理施設	前処理建屋	ダクト標準支持間隔(前処理建屋)	✓		●(2)	-	-	○	○	-	△	○	-	-	△(2)	●(2)	-	△(1,3)	△	●(3)	-	-	○	-	-	-	-	-	-	-	-	△	11
	2	再処理施設	分離建屋	ダクト標準支持間隔(分離建屋)	✓	◎	●(2)	-	-	○	○	-	△	○	△	-	△(2)	●(2)	-	△(1,3)	△	●(2)	-	-	○	-	-	-	-	-	-	-	-	△	13
	3	再処理施設	精製建屋	ダクト標準支持間隔(精製建屋)	✓		●(2)	-	-	○	○	-	△	○	△	-	△(2)	●(2)	-	△(1)	△	●(2)	-	-	○	-	-	-	-	-	-	-	-	△	12
	4	再処理施設	ウラン・プルトニウム混合脱硝建屋	ダクト標準支持間隔(ウラン・プルトニウム混合脱硝建屋)	✓		○	-	-	○	○	-	△	○	△	-	△(2)	○	-	△(1)	△	○(1-1)	-	-	○	-	-	-	-	-	-	-	-	△	12
	5	再処理施設	高レベル廃液ガラス固化建屋	ダクト標準支持間隔(高レベル廃液ガラス固化建屋)	✓		○	-	-	-	○	-	△	○	-	-	△(2)	-	-	△(1,3)	△	-	-	-	-	○	-	-	-	-	-	-	-	△	8
	6	再処理施設	制御建屋	ダクト標準支持間隔(制御建屋)	✓		●(2)	-	-	○	○	-	△	○	△	-	△(2)	●(2)	-	△(1)	△	●(2)	-	-	○	-	-	-	-	-	-	-	-	△	12
	7	再処理施設	前処理建屋/分離建屋/精製建屋/高レベル廃液ガラス固化建屋/ウラン・プルトニウム混合脱硝建屋/制御建屋/非常用電源建屋/冷却塔設備の安全冷却水系/主排気筒/主排気筒管理建屋間洞道	ダクト標準支持間隔(前処理建屋/分離建屋/精製建屋/高レベル廃液ガラス固化建屋/ウラン・プルトニウム混合脱硝建屋/制御建屋/非常用電源建屋/冷却塔設備の安全冷却水系/主排気筒/主排気筒管理建屋間洞道)	✓		●(2)	-	-	○	○	-	△	○	△	-	△(2)	●(2)	-	△(1)	△	-	-	-	-	○	-	-	-	-	-	-	-	△	11
	8	再処理施設	主排気筒基礎	ダクト標準支持間隔(主排気筒基礎)	✓		●(2)	-	-	○	○	-	△	●(2-1)	△	-	△(2)	●(2)	-	△(1)	△	-	-	-	-	○	-	-	-	-	-	-	-	△	11
	9	再処理施設	ウラン・プルトニウム混合酸化物貯蔵建屋	ダクト標準支持間隔(ウラン・プルトニウム混合酸化物貯蔵建屋)	✓		○	-	-	○	○	-	△	○	△	-	△(2)	○	-	△(1)	△	○(1-1)	-	-	○	-	-	-	-	-	-	-	-	△	12
	10	再処理施設	緊急時対策建屋	ダクト標準支持間隔(緊急時対策建屋)	✓			-	-	○	○	-	△																					1	
	11	再処理施設	分離建屋/高レベル廃液ガラス固化建屋間洞道、分離建屋/精製建屋/ウラン脱硝建屋/ウラン・プルトニウム混合脱硝建屋/低レベル廃液処理建屋/低レベル廃棄物処理建屋/分析建屋間洞道、精製建屋/ウラン脱硝建屋間洞道、精製建屋/ウラン・プルトニウム混合脱硝建屋間洞道	漏えい液受皿標準支持間隔(分離建屋/高レベル廃液ガラス固化建屋間洞道、分離建屋/精製建屋/ウラン脱硝建屋/ウラン・プルトニウム混合脱硝建屋/低レベル廃液処理建屋/低レベル廃棄物処理建屋/分析建屋間洞道、精製建屋/ウラン脱硝建屋間洞道、精製建屋/ウラン・プルトニウム混合脱硝建屋間洞道)	✓		●(2)	-	-	○	○	-	△	○	△	-	△(2)	●(2)	-	△(1)	△	-	-	-	-	○	-	-	-	-	-	-	-	△	11
	12	再処理施設	分離建屋/高レベル廃液ガラス固化建屋間洞道、分離建屋/精製建屋/ウラン脱硝建屋/ウラン・プルトニウム混合脱硝建屋/低レベル廃液処理建屋/低レベル廃棄物処理建屋/分析建屋間洞道、精製建屋/ウラン脱硝建屋間洞道、精製建屋/ウラン・プルトニウム混合脱硝建屋間洞道	配管収納容器標準支持間隔(分離建屋/高レベル廃液ガラス固化建屋間洞道、分離建屋/精製建屋/ウラン脱硝建屋/ウラン・プルトニウム混合脱硝建屋/低レベル廃液処理建屋/低レベル廃棄物処理建屋/分析建屋間洞道、精製建屋/ウラン脱硝建屋間洞道、精製建屋/ウラン・プルトニウム混合脱硝建屋間洞道)	✓		●(2)	-	-	○	○	-	△	○	△	-	△(2)	●(2)	-	△(1)	△	-	-	-	-	○	-	-	-	-	-	-	-	△	11

類型化分類ごとの代表設備選定結果
(配管多質点系はりモデル)

類型化分類ごとの代表設備選定結果
(配管多質点系はりモデル)

・本表では類型化分類における代表設備の選定結果について示す。
 ・選定に当たっては、本紙3.3項に示す方法により行うものとし、各設備に対して補足説明資料「耐震建物01「耐震評価対象の網羅性、既設工認との手法の相違点の整理について」に示す説明事項の該当項目を示した上で、分類における説明事項が網羅的となる設備を代表として選定する。

※ 本資料の目的は、6月24日のヒアリングにて指摘のあった類型化分類を用いた代表設備選定の過程を示す事であり、後次回申請にて示す類型化分類毎の代表設備選定結果に対するサンプルを示す。

【凡例】
 ー：補足説明対象外
 △：検討対象設備/方針に対する説明を行う設備
 ○：検討対象設備/床応答スペクトルの重ね合わせ等により説明を行い、設備個別の検討結果をまでは示さず妥当性を示す設備
 ●：検討対象設備/補足説明資料にて設備個別の検討結果を用いて妥当性を示す設備
 ◎：説明代表設備
 ☆：差分説明を行う設備

類型化分類	番号	施設区分	設置場所	設備名称	設工認申請分割申請状況 (✓は申請対象設備)	代表設備又は差分説明を行う設備	①事業変更許可申請書の記載内容のうち当社特有の説明事項										②新規基準における追加要求に係る説明事項										③評価内容及び既設工認からの変更点に係る説明事項										④その他先行発電プラントの審査実績を踏まえた説明事項等										計
							一関東評価用地震動(鉛直)に対する影響確認	重大事故評価における許容限界等の適用	可搬型SA設備等の耐震計算方針	既設工認からの変更点	水平2方向及び鉛直方向地震力の組合せに関する設備の抽出及び考え方	鉛直方向の動的地震力考慮による設備の浮き上がり等の影響	動的地震力のSRS法による組合せ	下位クラス施設の波及的影響の検討	Sd評価結果の記載方法	剛な設備の固有周期の算出	配管系の評価手法	材料物性のばらつき	動的機能維持評価手法の適用	新たに適用した減衰定数	機電設備の耐震計算書の作成	隣接建屋の影響に対する影響確認	地震荷重と事故時荷重との組合せ	機器と配管の相対変位に対する設計上の扱い	計算機プログラム(解析コード)の概要	電気盤等の機能維持評価に適用する水平方向の評価用地震力	等価繰返し回数等の妥当性確認	屋内設備に対するアンカー一定着部の評価	機器の耐震計算における既設工認からの計算式の変更点	液状化に伴う機電設備の影響確認	ダクト評価で用いる補正係数、安全係数の設定根拠																
							耐震機電12	後次回	後次回	耐震機電13	耐震機電10	耐震機電01	耐震機電02	耐震機電03	耐震機電09	耐震機電17	耐震機電16	耐震機電11	耐震機電14	耐震機電18	耐震機電19	耐震機電21	耐震機電22	耐震機電23	耐震建物29	後次回	後次回	後次回	後次回	後次回	後次回	後次回															
配管多質点系はりモデル	1	再処理施設	前処理建屋	7105 AV-M001	✓		●(②)	-	-	●(③-1)	●	-	△	-	-	-	●(②)	-	△(①)	△	●(②)	-	-	○	-	-	-	-	-	-	-	-	-	-	-	-	-	9									
	2	再処理施設	前処理建屋	7105 AV-M002	✓		●(②)	-	-	●(③-1)	●	-	△	-	-	-	●(②)	-	△(①)	△	●(②)	-	-	○	-	-	-	-	-	-	-	-	-	-	-	-	9										
	3	再処理施設	前処理建屋	7105 PR-H001	✓		●(②)	-	-	○	●	-	△	-	-	-	●(②)	-	△(①)	△	●(②)	-	-	○	-	-	-	-	-	-	-	-	-	-	-	-	9										
	4	再処理施設	前処理建屋	7105 PR-H002	✓		○	-	-	○	●	-	△	-	-	-	●(②)	-	△(①)	△	●(②)	-	-	○	-	-	-	-	-	-	-	-	-	-	-	-	9										
	5	再処理施設	前処理建屋	7105 PR-H003	✓		○	-	-	○	●	-	△	-	-	-	●(②)	-	△(①)	△	○(①-2)	-	-	○	-	-	-	-	-	-	-	-	-	-	-	-	9										
	6	再処理施設	前処理建屋	7105 PR-H004	✓		○	-	-	●(③-1)	●	-	△	-	-	-	○	-	△(①)	△	●(②)	-	-	○	-	-	-	-	-	-	-	-	-	-	-	-	9										
	7	再処理施設	前処理建屋	7105 PR-H005	✓		○	-	-	○	●	-	△	-	-	-	●(②)	-	△(①)	△	○(①-2)	-	-	○	-	-	-	-	-	-	-	-	-	-	-	-	9										
	8	再処理施設	前処理建屋	7105 PR-H006	✓		○	-	-	○	●	-	△	-	-	-	●(②)	-	△(①)	△	●(②)	-	-	○	-	-	-	-	-	-	-	-	-	-	-	-	9										
	9	再処理施設	前処理建屋	7105 PR-H007	✓		●(②)	-	-	○	●	-	△	-	-	-	●(②)	-	△(①)	△	●(②)	-	-	○	-	-	-	-	-	-	-	-	-	-	-	-	9										
	10	再処理施設	前処理建屋	配管多質点系はり 7105 7105-3003	✓		-	-	-	●(①-1)	-	-	△	-	-	-	-	-	△(①)	△	-	-	-	○	-	-	-	-	-	-	-	-	-	-	-	-	5										
	11	再処理施設	前処理建屋	配管多質点系はり 7105 7105-3003	✓		-	-	-	●(①-1)	-	-	△	-	-	-	-	-	△(①)	△	-	-	-	○	-	-	-	-	-	-	-	-	-	-	-	-	5										
	12	再処理施設	前処理建屋	配管多質点系はり 7105 7105-3003	✓		-	-	-	●(①-1)	-	-	△	-	-	-	-	-	△(①)	△	-	-	-	○	-	-	-	-	-	-	-	-	-	-	-	-	5										
	13	再処理施設	前処理建屋	配管多質点系はり 7105 7105-3602	✓		-	-	-	●(①-1)	-	-	△	-	-	-	-	-	△(①)	△	-	-	-	○	-	-	-	-	-	-	-	-	-	-	-	-	5										
	14	再処理施設	前処理建屋	配管多質点系はり 7105 7105-3602	✓		-	-	-	●(①-1)	-	-	△	-	-	-	-	-	△(①)	△	-	-	-	○	-	-	-	-	-	-	-	-	-	-	-	-	5										
	15	再処理施設	安全冷却水系冷却塔A	7183CW-1001	✓		○	-	-	-	●	-	△	●(②-1)	△	-	-	○	-	△(①)	△	●(②)	-	-	○	-	-	-	-	-	-	-	-	-	-	-	10										
	16	再処理施設	安全冷却水系冷却塔B	7183CW-1002	✓		○	-	-	-	●	-	△	●(②-1)	△	-	-	○	-	△(①)	△	●(②)	-	-	○	-	-	-	-	-	-	-	-	-	-	-	10										
	17	再処理施設	分離建屋	7205 AV-H001	✓		○	-	-	●(③-1)	●	-	△	-	△	-	-	○	-	-	△	○(①-2)	-	-	○	-	-	-	-	-	-	-	-	-	-	-	9										
	18	再処理施設	分離建屋	7205 AV-H002	✓		○	-	-	●(③-1)	●	-	△	-	△	-	-	○	-	-	△	●(②)	-	-	○	-	-	-	-	-	-	-	-	-	-	-	9										
	19	再処理施設	分離建屋	7205 AV-H003	✓		○	-	-	●(③-1)	●	-	△	-	△	-	-	●(②)	-	-	△	●(②)	-	-	○	-	-	-	-	-	-	-	-	-	-	-	9										
	20	再処理施設	分離建屋	7281 PR-H004	✓		○	-	-	●(③-1)	●	-	△	-	△	-	-	○	-	-	△	○(①-2)	-	-	○	-	-	-	-	-	-	-	-	-	-	-	9										
	21	再処理施設	分離建屋	7281 AS-H005	✓		○	-	-	●(①-2)	●	-	△	-	△	-	-	○	-	-	△	○(①-2)	-	-	○	-	-	-	-	-	-	-	-	-	-	-	9										
	22	再処理施設	分離建屋	7281 AS-H006	✓		○	-	-	●(①-2)	●	-	△	-	△	-	-	●(②)	-	-	△	●(②)	-	-	○	-	-	-	-	-	-	-	-	-	-	-	9										
	23	再処理施設	分離建屋	7281 HA-H007	✓		○	-	-	●(①-2)	●	-	△	-	△	-	-	●(②)	-	-	△	●(②)	-	-	○	-	-	-	-	-	-	-	-	-	-	-	9										
	24	再処理施設	分離建屋	7281 HA-H008	✓		○	-	-	●(①-2)	●	-	△	-	△	-	-	○	-	-	△	○(①-2)	-	-	○	-	-	-	-	-	-	-	-	-	-	-	9										
	25	再処理施設	分離建屋	7281 HA-H009	✓		○	-	-	●(①-2)	●	-	△	-	△	-	-	●(②)	-	-	△	●(②)	-	-	○	-	-	-	-	-	-	-	-	-	-	-	9										
	26	再処理施設	分離建屋	7281 HA-H010	✓		○	-	-	●(①-2)	●	-	△	-	△	-	-	●(②)	-	-	△	●(②)	-	-	○	-	-	-	-	-	-	-	-	-	-	-	9										
	27	再処理施設	分離建屋	7281 HA-H011	✓		○	-	-	●(①-2)	●	-	△	-	△	-	-	○	-	-	△	●(②)	-	-	○	-	-	-	-	-	-	-	-	-	-	-	9										
	28	再処理施設	分離建屋	7281 HA-H012	✓		○	-	-	●(①-2)	●	-	△	-	△	-	-	○	-	-	△	●(②)	-	-	○	-	-	-	-	-	-	-	-	-	-	-	9										
	29	再処理施設	分離建屋	7281 HA-H013	✓		○	-	-	●(①-2)	●	-	△	-	△	-	-	●(②)	-	-	△	●(②)	-	-	○	-	-	-	-	-	-	-	-	-	-	-	9										
	30	再処理施設	分離建屋	7281 HA-H014	✓		○	-	-	●(①-2)	●	-	△	-	△	-	-	○	-	-	△	●(②)	-	-	○	-	-	-	-	-	-	-	-	-	-	-	9										
	31	再処理施設	分離建屋	7281 HA-H015	✓		○	-	-	●(①-2)	●	-	△	-	△	-	-	○	-	-	△	○(①-2)	-	-	○	-	-	-	-	-	-	-	-	-	-	-	9										
	32	再処理施設	分離建屋	7281 HA-H016	✓		○	-	-	●(①-2)	●	-	△	-	△	-	-	○	-	-	△	●(②)	-	-	○	-	-	-	-	-	-	-	-	-	-	-	9										

類型化分類ごとの代表設備選定結果
(配管多質点系はりモデル)

類型化分類	番号	施設区分	設置場所	設備名称	設計申請 分割申請状 (✓は申請 対象設備)	代表設備又 は差分設 明を行う設 備	①事業変更許可申請書の記載内容のうち当社特有の説明事項																			計														
							④その他先行発電プラントの審査実績を踏まえた説明事項等																																	
							一開東評価 用地震動(鉛 直)に対する 影響確認	重大事故評 価における 許容限界等 の適用	可搬型SA設 備等の耐震 計算方針	既設工認か らの変更点	水平2方向及 び鉛直方向 地震力の組 合せに關す る設備の抽 出及び考え 方	鉛直方向の 動的地震力 考慮による 設備の浮き 上がり等の 影響	動的地震力 のSRSS法に よる組合せ	下位クラス 施設の波及 的影響の検討	Sd評価結果 の記載方法	剛な設備の 固有周期の 算出	配管系の評 価手法	材料物性 のばらつき	動的機能維 持評価手法 の適用	新たに適用 した減衰定 数	機電設備の 耐震計算書 の作成	隣接建屋の 影響に對する 影響確認	地震荷重と 事故時荷重 との組合せ	機器と配管 の相対変位 に對する設 計上の扱い	計算機プロ グラム(解 析コード) の概要		電気盤等の 機能維持評 価に適用す る水平方向 の評価用地 震力	等価繰返し 回数に對する 妥当性確認	屋内設備に 對するアン カー一定着部 の評価	機器の耐震 計算に對する 既設工認か らの計算式 の変更点	液状化に伴 う機電設備 の影響確認	ダクト評価 で用いる補 正係数、安 全係数の設 定根拠								
耐震機電12	後次回	後次回	耐震機電13	耐震機電10	耐震機電01	耐震機電02	耐震機電03	耐震機電09	耐震機電17	耐震機電16	耐震機電11	耐震機電14	耐震機電18	耐震機電19	耐震機電21	耐震機電22	耐震機電23	耐震建物29	後次回	後次回	後次回	後次回	後次回	後次回																
配管多質点系はりモデル	33	再処理施設	分離建屋	F281-HA-H017	✓		○	-	-	●(①-2)	●	-	△	-	-	○	-	-	△	●(②)	-	-	○	-	-	-	-	-	-	-	-	-	-	-	-	-	-	-	9	
	34	再処理施設	分離建屋	F281-HA-H018	✓		○	-	-	●(①-2)	●	-	△	-	△	-	-	○	-	-	△	●(②)	-	-	○	-	-	-	-	-	-	-	-	-	-	-	-	-	-	9
	35	再処理施設	分離建屋	F281-HA-H019	✓		○	-	-	●(①-2)	●	-	△	-	△	-	-	●(②)	-	-	△	●(②)	-	-	○	-	-	-	-	-	-	-	-	-	-	-	-	-	-	9
	36	再処理施設	分離建屋	F281-HA-H020	✓		○	-	-	●(①-2)	●	-	△	-	△	-	-	○	-	-	△	○(①-2)	-	-	○	-	-	-	-	-	-	-	-	-	-	-	-	-	-	9
	37	再処理施設	分離建屋	F281-HA-H021	✓		○	-	-	●(①-2)	●	-	△	-	△	-	-	○	-	-	△	●(②)	-	-	○	-	-	-	-	-	-	-	-	-	-	-	-	-	-	9
	38	再処理施設	分離建屋	F281-HA-H022	✓		○	-	-	●(①-2)	●	-	△	-	△	-	-	○	-	-	△	○(①-2)	-	-	○	-	-	-	-	-	-	-	-	-	-	-	-	-	-	9
	39	再処理施設	分離建屋	F281-HA-H023	✓		○	-	-	●(①-2)	●	-	△	-	△	-	-	●(②)	-	-	△	●(②)	-	-	○	-	-	-	-	-	-	-	-	-	-	-	-	-	-	9
	40	再処理施設	分離建屋	F281-HA-H024	✓		○	-	-	●(①-2)	●	-	△	-	△	-	-	○	-	-	△	○(①-2)	-	-	○	-	-	-	-	-	-	-	-	-	-	-	-	-	-	9
	41	再処理施設	分離建屋	F281-PR-H025	✓		○	-	-	●(①-2)	●	-	△	-	△	-	-	○	-	-	△	○(①-2)	-	-	○	-	-	-	-	-	-	-	-	-	-	-	-	-	-	9
	42	再処理施設	分離建屋	F281-PR-H026	✓		○	-	-	●(①-2)	●	-	△	-	△	-	-	○	-	-	△	●(②)	-	-	○	-	-	-	-	-	-	-	-	-	-	-	-	-	-	9
	43	再処理施設	分離建屋	F281-PR-H027	✓		○	-	-	●(①-2)	●	-	△	-	△	-	-	○	-	-	△	○(①-2)	-	-	○	-	-	-	-	-	-	-	-	-	-	-	-	-	-	9
	44	再処理施設	分離建屋	F281-PR-H028	✓		○	-	-	●(①-2)	●	-	△	-	△	-	-	○	-	-	△	○(①-2)	-	-	○	-	-	-	-	-	-	-	-	-	-	-	-	-	-	9
	45	再処理施設	分離建屋	配管多質点系はり F282-W8001	✓	☆	●(②)	-	-	●(①-2)	-	-	△	-	-	-	-	●(②)	●	-	△	●(②)	-	-	○	-	-	-	-	-	-	-	-	-	-	-	-	-	-	8
	46	再処理施設	分離建屋	配管多質点系はり F282-W8104/F282-W8107	✓		●(②)	-	-	●(①-2)	-	-	△	-	-	-	-	●(②)	●	-	△	●(②)	-	-	○	-	-	-	-	-	-	-	-	-	-	-	-	-	-	8
	47	再処理施設	分離建屋	配管多質点系はり F282-W8008/F282-W8005/F282-W8009/F282-W8012/F282-W8014	✓		●(②)	-	-	●(①-2)	-	-	△	-	-	-	-	●(②)	●	-	△	●(②)	-	-	○	-	-	-	-	-	-	-	-	-	-	-	-	-	-	8
	48	再処理施設	分離建屋	配管多質点系はり F282-W8007/F282-W8016	✓		●(②)	-	-	●(①-2)	-	-	△	-	-	-	-	●(②)	●	-	△	●(②)	-	-	○	-	-	-	-	-	-	-	-	-	-	-	-	-	-	8
	49	再処理施設	分離建屋	配管多質点系はり F282-W8076	✓		●(②)	-	-	●(①-2)	-	-	△	-	-	-	-	●(②)	●	-	△	●(②)	-	-	○	-	-	-	-	-	-	-	-	-	-	-	-	-	-	8
	50	再処理施設	分離建屋	配管多質点系はり F282-W8075	✓		●(②)	-	-	●(①-2)	-	-	△	-	-	-	-	●(②)	●	-	△	●(②)	-	-	○	-	-	-	-	-	-	-	-	-	-	-	-	-	-	8
	51	再処理施設	分離建屋	配管多質点系はり F282-W8086	✓		●(②)	-	-	●(①-2)	-	-	△	-	-	-	-	●(②)	●	-	△	●(②)	-	-	○	-	-	-	-	-	-	-	-	-	-	-	-	-	-	8
	52	再処理施設	分離建屋	配管多質点系はり F282-W8087	✓		●(②)	-	-	●(①-2)	-	-	△	-	-	-	-	●(②)	●	-	△	●(②)	-	-	○	-	-	-	-	-	-	-	-	-	-	-	-	-	-	8
	53	再処理施設	分離建屋	配管多質点系はり F282-W8088	✓		●(②)	-	-	●(①-2)	-	-	△	-	-	-	-	●(②)	●	-	△	●(②)	-	-	○	-	-	-	-	-	-	-	-	-	-	-	-	-	-	8
	54	再処理施設	分離建屋	配管多質点系はり F282-W8056/F282-W8055	✓		●(②)	-	-	●(①-2)	-	-	△	-	-	-	-	●(②)	●	-	△	●(②)	-	-	○	-	-	-	-	-	-	-	-	-	-	-	-	-	-	8
	55	再処理施設	高レベル廃液ガラス固化建屋	F08-WV-1001	✓		○	-	-	○	●	-	△	○	△	-	-	○	-	-	△	○(①-2)	-	-	○	-	-	-	-	-	-	-	-	-	-	-	-	-	11	
	56	再処理施設	高レベル廃液ガラス固化建屋	F08-WV-1002	✓		○	-	-	○	●	-	△	○	△	-	-	○	-	-	△	○(①-2)	-	-	○	-	-	-	-	-	-	-	-	-	-	-	-	-	-	11
	57	再処理施設	高レベル廃液ガラス固化建屋	F08-WV-1003	✓		○	-	-	○	●	-	△	○	△	-	-	○	-	-	△	○(①-2)	-	-	○	-	-	-	-	-	-	-	-	-	-	-	-	-	-	11
	58	再処理施設	高レベル廃液ガラス固化建屋	F08-WV-1004	✓		○	-	-	○	●	-	△	○	△	-	-	○	-	-	△	○(①-2)	-	-	○	-	-	-	-	-	-	-	-	-	-	-	-	-	-	11
	59	再処理施設	高レベル廃液ガラス固化建屋	F08-WV-1005	✓		○	-	-	○	●	-	△	○	△	-	-	○	-	-	△	○(①-2)	-	-	○	-	-	-	-	-	-	-	-	-	-	-	-	-	-	11
	60	再処理施設	高レベル廃液ガラス固化建屋	F08-WV-1006	✓	☆	○	-	-	○	●	-	△	○	△	-	-	○	-	-	△	○(①-2)	-	-	○	-	-	-	●	-	-	-	-	-	-	-	-	-	-	12
	61	再処理施設	高レベル廃液ガラス固化建屋	F316-HA-1001	✓		○	-	-	○	●	-	△	○	△	-	-	○	-	-	△	○(①-2)	-	-	○	-	-	-	-	-	-	-	-	-	-	-	-	-	-	11
	62	再処理施設	高レベル廃液ガラス固化建屋	F316-HA-1002	✓		○	-	-	○	●	-	△	○	△	-	-	○	-	-	△	○(①-2)	-	-	○	-	-	-	-	-	-	-	-	-	-	-	-	-	-	11
	63	再処理施設	高レベル廃液ガラス固化建屋	F316-WV-1001	✓		○	-	-	○	●	-	△	○	△	-	-	○	-	-	△	○(①-2)	-	-	○	-	-	-	-	-	-	-	-	-	-	-	-	-	-	11
	64	再処理施設	高レベル廃液ガラス固化建屋	F316-WV-1002	✓		○	-	-	○	●	-	△	○	△	-	-	○	-	-	△	○(①-2)	-	-	○	-	-	-	-	-	-	-	-	-	-	-	-	-	-	11
	65	再処理施設	高レベル廃液ガラス固化建屋	F316-WV-1003	✓		○	-	-	○	●	-	△	○	△	-	-	○	-	-	△	○(①-2)	-	-	○	-	-	-	-	-	-	-	-	-	-	-	-	-	-	11
66	再処理施設	高レベル廃液ガラス固化建屋	F316-WV-1004	✓		○	-	-	○	●	-	△	○	△	-	-	○	-	-	△	○(①-2)	-	-	○	-	-	-	-	-	-	-	-	-	-	-	-	-	-	11	
67	再処理施設	高レベル廃液ガラス固化建屋	F316-WV-1005	✓		○	-	-	○	●	-	△	○	△	-	-	○	-	-	△	○(①-2)	-	-	○	-	-	-	-	-	-	-	-	-	-	-	-	-	-	11	

類型化分類ごとの代表設備選定結果
(配管多質点系はりモデル)

類型化分類	番号	施設区分	設置場所	設備名称	設工認申請 分割申請状 (✓は申請 対象設備)	代表設備又 は差分設 明を行う設 備	④その他先行発電プラントの審査実績を踏まえた説明事項等																				計					
							①事業変更許可申請書の記載内容のうち当社特有の説明事項						②新規制基 準における 追加要求に 係る説明事 項															③評価内容 及び既設工 認からの変 更点に係る 説明事項				
							一関東評価 用地震動(鉛 直)に対する 影響確認	重大事故評 価における 許容限界等 の適用	可搬型SA設 備等の耐震 計算方針	既設工認か らの変更点	水平2方向及 び鉛直方向 地震力の組 合せによる 設備の浮き 上がり等の 影響	鉛直方向の 動的地震力 考慮による 設備の浮き 上がり等の 影響	動的地震力 のSRSS法に よる組合せ	下位クラス 施設の波及 的影響の検 討	Sd評価結果 の記載方法	剛な設備の 固有周期の 算出	配管系の評 価手法	材料物性 のばらつき	動的機能維 持評価手法 の適用	新たに適用 した減衰定 数	機器設備の 耐震計算書 の作成	隣接建屋の 影響に對する 影響確認	地震荷重と 事故時荷重 との組合せ	機器と配管 の相対変位 に對する設 計上の扱い	計算機プロ グラム(解 析コード) の概要	電気盤等の 機能維持評 価に適用す る水平方向 の評価用地 震力		等価繰返し 回数に對し の妥当性 確認	屋内設備に 對するアン カー着部 の評価	機器の耐震 計算におけ る既設工認 からの計算 式の変更点	液状化に伴 う機器設備 の影響確認	ダクト評価 で用いる補 正係数、安 全係数の設 定根拠
耐震機電12	後次回	後次回	耐震機電13	耐震機電10	耐震機電01	耐震機電02	耐震機電03	耐震機電09	耐震機電17	耐震機電16	耐震機電11	耐震機電14	耐震機電18	耐震機電19	耐震機電21	耐震機電22	耐震機電23	耐震建物29	後次回	後次回	後次回	後次回	後次回	後次回	後次回							
配管多質点系はりモデル	68	再処理施設	高レベル廃液ガラス固化建屋	2316 AV-1006	✓		○	-	-	○	●	-	△	○	△	-	-	○	-	-	△	○(D-2)	-	-	○	-	-	-	-	○(D-2)	-	11
	69	再処理施設	高レベル廃液ガラス固化建屋	2316 AV-1007	✓		○	-	-	○	●	-	△	○	△	-	-	○	-	-	△	○(D-2)	-	-	○	-	-	-	-	○(D-2)	-	11
	70	再処理施設	高レベル廃液ガラス固化建屋	2316 AV-1008	✓		○	-	-	○	●	-	△	○	△	-	-	○	-	-	△	○(D-2)	-	-	○	-	-	-	-	○(D-2)	-	11
	71	再処理施設	高レベル廃液ガラス固化建屋	2316 AV-1009	✓		○	-	-	○	●	-	△	○	△	-	-	○	-	-	△	○(D-2)	-	-	○	-	-	-	-	○(D-2)	-	11
	72	再処理施設	高レベル廃液ガラス固化建屋	2316 AV-1010	✓		○	-	-	○	●	-	△	○	△	-	-	○	-	-	△	○(D-2)	-	-	○	-	-	-	-	○(D-2)	-	11
	73	再処理施設	高レベル廃液ガラス固化建屋	配管多質点 2309 AV-1011	✓	◎	○	-	-	○	●	-	△	○	-	-	-	○	●	-	△	○(D-2)	-	-	○	-	-	-	-	○(D-2)	-	12
	74	再処理施設	高レベル廃液ガラス固化建屋	配管多質点 2309 W057	✓		○	-	-	○	●	-	△	○	-	-	-	○	●	-	△	○(D-2)	-	-	○	-	-	-	-	○(D-2)	-	11
	75	再処理施設	高レベル廃液ガラス固化建屋	配管多質点 2309 W058	✓		○	-	-	○	●	-	△	○	-	-	-	○	●	-	△	○(D-2)	-	-	○	-	-	-	-	○(D-2)	-	11
	76	再処理施設	高レベル廃液ガラス固化建屋	配管多質点 2309 W059	✓		○	-	-	○	●	-	△	○	-	-	-	○	●	-	△	○(D-2)	-	-	○	-	-	-	-	○(D-2)	-	11
	77	再処理施設	高レベル廃液ガラス固化建屋	配管多質点 2314 W059	✓		○	-	-	○	●	-	△	○	-	-	-	○	●	-	△	○(D-2)	-	-	○	-	-	-	-	○(D-2)	-	11
	78	再処理施設	高レベル廃液ガラス固化建屋	配管多質点 2314 W059	✓		○	-	-	○	●	-	△	○	-	-	-	○	●	-	△	○(D-2)	-	-	○	-	-	-	-	○(D-2)	-	11
	79	再処理施設	高レベル廃液ガラス固化建屋	配管多質点 2314 W059	✓		○	-	-	○	●	-	△	○	-	-	-	○	●	-	△	○(D-2)	-	-	○	-	-	-	-	○(D-2)	-	11
	80	再処理施設	高レベル廃液ガラス固化建屋	配管多質点 2314 W059	✓		○	-	-	○	●	-	△	○	-	-	-	○	●	-	△	○(D-2)	-	-	○	-	-	-	-	○(D-2)	-	11
	81	再処理施設	精製建屋	403 AV-T001	✓		○	-	-	●(3-1)	●	-	△	○	△	-	-	○	-	-	△	○(D-2)	-	-	○	-	-	-	-	-	-	10
	82	再処理施設	精製建屋	403 AV-T002	✓		○	-	-	●(3-1)	●	-	△	○	△	-	-	○	-	-	△	○(D-2)	-	-	○	-	-	-	-	-	-	10
	83	再処理施設	精製建屋	403 AV-T003	✓		○	-	-	●(3-1)	●	-	△	○	△	-	-	○	-	-	△	○(D-2)	-	-	○	-	-	-	-	-	-	10
	84	再処理施設	精製建屋	403 E-T001	✓		○	-	-	●(D-2)	●	-	△	○	△	-	-	○	-	-	△	○(D-2)	-	-	○	-	-	-	-	-	-	10
	85	再処理施設	精製建屋	403 E-T002	✓		○	-	-	●(D-2)	●	-	△	○	△	-	-	○	-	-	△	○(D-2)	-	-	○	-	-	-	-	-	-	10
	86	再処理施設	精製建屋	403 E-T003	✓		○	-	-	●(D-2)	●	-	△	○	△	-	-	○	-	-	△	○(D-2)	-	-	○	-	-	-	-	-	-	10
	87	再処理施設	精製建屋	403 E-T001	✓		○	-	-	●(D-2)	●	-	△	○	△	-	-	○	-	-	△	○(D-2)	-	-	○	-	-	-	-	-	-	10
	88	再処理施設	精製建屋	403 E-T002	✓		○	-	-	●(D-2)	●	-	△	○	△	-	-	○	-	-	△	○(D-2)	-	-	○	-	-	-	-	-	-	10
	89	再処理施設	精製建屋	403 E-T003	✓		○	-	-	●(D-2)	●	-	△	○	△	-	-	○	-	-	△	○(D-2)	-	-	○	-	-	-	-	-	-	10
	90	再処理施設	精製建屋	403 E-T004	✓		○	-	-	●(D-2)	●	-	△	○	△	-	-	○	-	-	△	○(D-2)	-	-	○	-	-	-	-	-	-	10
	91	再処理施設	精製建屋	403 E-T005	✓		○	-	-	●(D-2)	●	-	△	○	△	-	-	○	-	-	△	○(D-2)	-	-	○	-	-	-	-	-	-	10
	92	再処理施設	精製建屋	403 E-T006	✓		○	-	-	●(D-2)	●	-	△	○	△	-	-	○	-	-	△	○(D-2)	-	-	○	-	-	-	-	-	-	10
	93	再処理施設	精製建屋	403 PR-T001	✓		○	-	-	●(D-2)	●	-	△	○	△	-	-	○	-	-	△	○(D-2)	-	-	○	-	-	-	-	-	-	10
	94	再処理施設	精製建屋	483 PR-C002	✓		○	-	-	●(D-2)	●	-	△	○	△	-	-	○	-	-	△	○(D-2)	-	-	○	-	-	-	-	-	-	10
	95	再処理施設	精製建屋	配管多質点系はり 482 W001 W002 W003	✓		○	-	-	●(D-2)	●	-	△	-	-	-	-	○	●	-	△	○(D-2)	-	-	○	-	-	-	-	-	-	9
	96	再処理施設	精製建屋	配管多質点系はり 482 W001 W002 W003	✓		○	-	-	●(D-2)	●	-	△	-	-	-	-	○	●	-	△	○(D-2)	-	-	○	-	-	-	-	-	-	9
	97	再処理施設	精製建屋	配管多質点系はり 482 W001 W002 W003	✓		○	-	-	●(D-2)	●	-	△	-	-	-	-	○	●	-	△	○(D-2)	-	-	○	-	-	-	-	-	-	9
98	再処理施設	精製建屋	配管多質点系はり 482 W001 W002 W003	✓		○	-	-	●(D-2)	●	-	△	-	-	-	-	○	●	-	△	○(D-2)	-	-	○	-	-	-	-	-	-	9	
99	再処理施設	精製建屋	配管多質点系はり 482 W001 W002 W003	✓		○	-	-	●(D-2)	●	-	△	-	-	-	-	○	●	-	△	○(D-2)	-	-	○	-	-	-	-	-	-	9	
100	再処理施設	使用済燃料受入れ・貯蔵建屋	配管多質点系はり (7121-W001, W002)	✓		○	-	-	-	●	-	△	○	-	-	-	○	●	△(D)	△	●(2)	-	-	○	-	-	-	-	-	-	10	
101	再処理施設	使用済燃料受入れ・貯蔵建屋	配管多質点系はり (7121-W006, W007)	✓		○	-	-	-	●	-	△	○	-	-	-	○	●	△(D)	△	●(2)	-	-	○	-	-	-	-	-	-	10	
102	再処理施設	使用済燃料受入れ・貯蔵建屋	配管多質点系はり (7121-W010, W223)	✓		○	-	-	-	●	-	△	○	-	-	-	○	●	△(D)	△	●(2)	-	-	○	-	-	-	-	-	-	10	

類型化分類ごとの代表設備選定結果
(配管多質点系はりモデル)

類型化分類	番号	施設区分	設置場所	設備名称	設工認申請 分割申請状 (✓は申請 対象設備)	代表設備又 は差分設 明を行う設 備	①事業変更許可申請書の記載内容のうち当社特有の説明事項		②新規基準 における 追加要求に 係る説明事 項	③評価内容 及び既設工 認からの変 更点に係る 説明事項	④その他先行発電プラントの審査実績を踏まえた説明事項等																				計				
							一関東評価 用地震動(鉛 直)に対する 影響確認	重大事故評 価における 許容限界等 の適用	可搬型SA設 備等の耐震 計算方針	既設工認か らの変更点	水平2方向及 び鉛直方向 地震力の組 合せに關す る設備の抽 出及び考え 方	鉛直方向の 動的地震力 考慮による 設備の浮き 上がり等の 影響	動的地震力 のSRSS法に よる組合せ	下位クラス 施設の波及 的影響の検 討	Sd評価結果 の記載方法	剛な設備の 固有周期の 算出	配管系の評 価手法	材料物性 のばらつき	動的機能維 持評価手法 の適用	新たに適用 した減定 数	機電設備の 耐震計算書 の作成	隣接建屋の 影響に對す る影響確認	地震荷重と 事故時荷重 との組合せ	機器と配管 の相対変位 に對する設 計上の扱い	計算機プロ グラム(解 析コード) の概要	電気盤等の 機能維持評 価に適用す る水平方向 の評価用地 震力	等価繰返し 回数に對し の妥当性 確認	屋内設備に 對するアン カ一定着部 の評価	機器の耐震 計算に對し る既設工認 からの計算 式の変更点	液状化に伴 う機電設備 の影響確認		ダクト評価 で用いる補 正係数、安 全係数の設 定根拠			
							耐震機電12	後次回	後次回	耐震機電13	耐震機電10	耐震機電01	耐震機電02	耐震機電03	耐震機電09	耐震機電17	耐震機電16	耐震機電11	耐震機電14	耐震機電18	耐震機電19	耐震機電21	耐震機電22	耐震機電23	耐震建物29	後次回	後次回	後次回	後次回	後次回		後次回			
配管多質点系はりモデル	103	再処理施設	使用済燃料受入れ・貯蔵建屋	配管多質点系はり (7121-W014, W015)	✓		○	-	-	-	●	-	△	○	-	-	-	○	●	△(①)	△	●(②)	-	-	○	-	-	-	-	-	-	-	-	-	10
	104	再処理施設	使用済燃料受入れ・貯蔵建屋	配管多質点系はり (7122-W002)	✓		○	-	-	-	●	-	△	○	-	-	-	○	●	△(①)	△	●(②)	-	-	○	-	-	-	-	-	-	-	-	-	10
	105	再処理施設	使用済燃料受入れ・貯蔵建屋	配管多質点系はり (7183-W007, W008)	✓		○	-	-	-	●	-	△	○	-	-	-	○	●	△(①)	△	●(②)	-	-	○	-	-	-	-	-	-	-	-	-	10
	106	再処理施設	使用済燃料受入れ・貯蔵建屋	配管多質点系はり (7183-W009)	✓		○	-	-	-	●	-	△	○	-	-	-	○	●	△(①)	△	●(②)	-	-	○	-	-	-	-	-	-	-	-	-	10
	107	再処理施設	使用済燃料受入れ・貯蔵建屋	配管多質点系はり (7183-W014)	✓		○	-	-	-	●	-	△	○	-	-	-	○	●	△(①)	△	●(②)	-	-	○	-	-	-	-	-	-	-	-	-	10
	108	再処理施設	使用済燃料受入れ・貯蔵建屋	配管多質点系はり (7183-W015)	✓		○	-	-	-	●	-	△	○	-	-	-	○	●	△(①)	△	●(②)	-	-	○	-	-	-	-	-	-	-	-	-	10
	109	再処理施設	使用済燃料受入れ・貯蔵建屋	配管多質点系はり (7122-W001 (7121-W006にて代表))	✓		○	-	-	-	●	-	△	○	-	-	-	○	●	△(①)	△	●(②)	-	-	○	-	-	-	-	-	-	-	-	-	10
	110	再処理施設	使用済燃料受入れ・貯蔵建屋	配管多質点系はり (7183-W013 (7183-W007にて代表))	✓		○	-	-	-	●	-	△	○	-	-	-	○	●	△(①)	△	●(②)	-	-	○	-	-	-	-	-	-	-	-	-	10
	111	再処理施設	使用済燃料受入れ・貯蔵建屋	配管多質点系はり (7183-W226, 7183-W260)	✓		○	-	-	-	●	-	△	○	-	-	-	○	●	△(①)	△	●(②)	-	-	○	-	-	-	-	-	-	-	-	-	10
	112	再処理施設	使用済燃料受入れ・貯蔵建屋	配管多質点系はり (7991A-W800)	✓		○	-	-	-	●	-	△	○	-	-	-	○	●	△(①)	△	●(②)	-	-	○	-	-	-	-	-	-	-	-	-	10
	113	再処理施設	使用済燃料受入れ・貯蔵建屋	配管多質点系はり (7991A-W801, 7991B-W800, 7991B-W801 (7991A-W800にて代表))	✓		○	-	-	-	●	-	△	○	-	-	-	○	●	△(①)	△	●(②)	-	-	○	-	-	-	-	-	-	-	-	-	10